

THÈSE

En vue de l'obtention du DOCTORAT DE L'UNIVERSITÉ DE TOULOUSE

Délivré par l'Université Toulouse 2 - Jean Jaurès

Volume 2 : annexes et bibliographie

Présentée et soutenue par

Josephine CARO

Le 13 novembre 2020

Productions céramiques et dynamiques des sociétés au Ve millénaire avant notre ère: la transition du Néolithique ancien au Néolithique moyen dans le bassin Nord-occidental de la Méditerranée

Ecole doctorale : **TESC - Temps, Espaces, Sociétés, Cultures**

Spécialité : **Préhistoire**

Unité de recherche :

TRACES - Travaux et Recherches Archéologiques sur les Cultures, les Espaces et les Sociétés

Thèse dirigée par

Jean VAQUER et Claire MANEN

Jury

M. Didier Binder, Rapporteur

M. Miquel Molist, Rapporteur

Mme Valentine Roux, Examinatrice

Mme Louise Gomart, Examinatrice

Mme Jessie Cauliez, Examinatrice

M. Jean Vaquer, Directeur de thèse

Mme Claire Manen, Co-directrice de thèse

SOMMAIRE

ANNEXE I : INVENTAIRE DES SITES.....	p. 1
Ligurie et Provence.....	p. 2
Basse vallée du Rhône.....	p. 4
Languedoc méditerranéen.....	p. 6
Pyrénées – Catalogne – Aragon.....	p. 8
Moyenne vallée de la Garonne.....	p. 13
Causses.....	p. 13
Massif central.....	p. 14
Bassin aquitain.....	p. 15
Haute vallée de l’Ebre.....	p. 17
ANNEXE II : REFERENTIEL ACTUALISTE POUR L’IDENTIFICATION DES MACROTRACES TECHNIQUES : LES PRODUCTIONS CERAMIQUES WOLOYTA ET OROMO (REGIONS ARSI ET WEST ARSI, ETHIOPIE).....	p. 19
I. Contexte de l’enquête ethnoarchéologique.....	p. 19
II. Protocole d’élaboration du référentiel technique.....	p. 23
III. Les chaînes opératoires Woloyta.....	p. 25
IV. Les chaînes opératoires Oromo.....	p. 34
V. Et après ? Les aléas de la vie d’un vase.....	p. 44
ANNEXE III : DONNEES COMPLEMENTAIRES ET PLANCHES.....	p.47
I. La grotte Gazel (Sallèles-Cabardès, Aude).....	p. 49
II. L’abri de Font-Juvénal (Conques-sur-Orbiel, Aude).....	p. 61
III. Auriac-Golf (Carcassonne, Aude).....	p. 73
IV. Las Trincados (Cépie, Aude).....	p. 97
V. La grotte de Montou (Corbères-les-Cabanès, Pyrénées-Orientales) – Salle 2 inférieure.....	p. 111
VI. Les Coudoumines I-C (Caramany, Pyrénées-Orientales).....	p. 137
VII. La Teularia (Saint-Génis-des-Fontaines, Pyrénées-Orientales).....	p. 157
VIII. L’abri de Roquemissou (Montrozier, Aveyron).....	p. 183
IX. L’abri du Clos de Poujol (Campagnac, Aveyron).....	p. 187
X. L’abri de Combe-Grèze (La Cresse, Aveyron).....	p. 191
XI. L’abri des Usclades (Nant, Aveyron).....	p. 195
XII. La grotte 1 de Sargel (St-Rome-de-Cernon, Aveyron).....	p. 201
XIII. Lautagne (Valence, Drôme).....	p. 209
XIV. La baume de Montclus (Montclus, Gard).....	p. 217
XV. Los Cascajos (Los Arcos, Navarre).....	p. 225
ANNEXE IV : SYNTHÈSE.....	p. 243
Catalogue des datations radiocarbone de fiabilité 1 et 2 classées par traditions techniques.....	p. 243
Liste des datations radiocarbone écartées du corpus.....	p. 246
Tableaux de décompte des critères analysés en synthèse.....	p. 248
Liste des sites hypothétiquement affiliés à la sphère d’influence montboloïde.....	p. 257
BIBLIOGRAPHIE.....	p. 259

ANNEXE I : INVENTAIRE DES SITES

Les sites ont été répertoriés dans différentes sources de documentation archéologique : travaux universitaires, articles de synthèse, ouvrages monographiques, rapports de fouille, BSR et base de données BDA (Perrin, 2019).

La liste fournie sous forme de tableaux est classée d'après le découpage en neuf aires géographiques proposé dans la partie « 1.2. Synthèse chronologique et géoculturelle », puis par départements ou provinces. La numérotation des sites renvoie aux différentes cartes de répartition illustrant le texte du volume 1.

Lorsque l'information a été identifiée, l'inventaire précise pour chaque site le type de gisement (grotte-abri ou plein air), la nature de l'opération (fouille programmée ou préventive, diagnostic, sondage ou prospections) et le détail des occupations attribuées à la période du V^e millénaire.

De même, lorsque l'information a été identifiée, l'inventaire précise pour chaque occupation, la dénomination de terrain (US), la nature de l'occupation (domestique ou funéraire) et le faciès chronoculturel proposé. L'indice de confiance fait référence à la fiabilité des assemblages archéologiques d'après des critères de maîtrise du contexte, de superficie fouillée, de représentativité du corpus céramique et de fiabilité des datations radiocarbones (cf. Partie 2.1.3. La hiérarchisation des données). L'inventaire précise également pour chaque occupation la disponibilité ou non de datations radiocarbones.

LIGURIE ET PROVENCE

GENOVA

N°	Site	Commune	Type de site	US	Faciès	Confiance	Dates
1	Riparo dell'Alpicella	Varazze	Grotte-Abri		Chasséen ancien	Médiocre	Aucune

SAVONA

N°	Site	Commune	Type de site	US	Faciès	Confiance	Dates
2	Grotta Pollera	Finale Ligure	Grotte-Abri	C 18-16 (Odetti)	VBQ0	Bonne	NC
				C 15-8 (Odetti)	VBQ1	Bonne	NC
				C 7-1 (Odetti)	VBQ2	Bonne	NC
3	Grotta delle Arene Candide	Finale Ligure	Grotte-Abri	C 13 (Tiné) C 24-22 (Brea)	VBQ0	Bonne	B/M
				C 12d-12a (Tiné) C 21-20 (Brea)	VBQ1	Bonne	B/M
				C 12-9 (Tiné) C 19-14 (Brea)	VBQ2	Bonne	B/M
				C 8-1 (Tiné) C 13-9 (Brea)	Chasséen ancien	Bonne	B/M
4	Caverna dell'Arma dell'Acqua	Orco Feglino	Grotte-Abri		VBQ0	Moyenne	Aucune
5	Grotta dei Parmorari	Borgio Verezzi	Grotte-Abri		VBQ2	Moyenne	Aucune
6	Caverna dei Pipistrelli	Finale Ligure	Grotte-Abri		VBQ0	Médiocre	Aucune
7	Riparo di Pian del Ciliegio	Finale Ligure	Grotte-Abri		VBQ0	Bonne	B/M
8	Arma delle Manie	Finale Ligure	Grotte-Abri		VBQ	Moyenne	Aucune
9	Caverna delle Fate	Finale Ligure	Grotte-Abri		VBQ	Moyenne	Aucune
10	Caverna del Sanguineto	Finale Ligure	Grotte-Abri		VBQ	Médiocre	Aucune
11	Caverna dell'Acqua	Finale Ligure	Grotte-Abri		VBQ0	Moyenne	Aucune
12	Caverna della Fontana	Finale Ligure	Grotte-Abri		VBQ0	Moyenne	Aucune
13	Arma dell'Aquila	Orco Feglino	Grotte-Abri		VBQ1	Moyenne	Aucune
14	Caverna di Sant Eusebio	Finale Ligure	Grotte-Abri		VBQ0	Médiocre	Aucune
15	Caverna della Mandurea	Finale Ligure	Grotte-Abri	C4	VBQ	Moyenne	Aucune
16	Caverna di Ponte di Vara	Tovo San Giacomo	Grotte-Abri		VBQ	Moyenne	Aucune
17	Grotta del Edera	Magliolo	Grotte-Abri		VBQ	Moyenne	Aucune
18	Arma di Nasino	Castelbianco	Grotte-Abri	US VIII, IX et X	VBQ	Médiocre	Aucune

ALPES-MARITIMES ET PRINCIPAUTE DE MONACO

N°	Site	Commune	Type de site	US	Faciès	Confiance	Dates
19	Abri de Pendimoun	Castellar	Grotte-Abri	Pendimoun 4	VBQ0	Excellente	Bonnes
					Chasséen ancien	Moyenne	Aucune
20	Grotte du Rastel	Peillon	Grotte-Abri	C 5 (Sépulture)	VBQ1	Bonne	Bonnes
21	Grotte Barriera	La Turbie	Grotte-Abri		VBQ0	Moyenne	Aucune
22	Baume Périgaud	Tourrettes-Levens	Grotte-Abri		VBQ1	Moyenne	Aucune
23	La Rouret	Carros	Plein air		Chasséen ancien	Moyenne	Aucune
24	Villa Giribaldi	Nice	Plein air	Phase A : St 1	VBQ1-Pré-Chasséen	Moyenne	Aucune
				Phase B : St 6B	VBQ2	Moyenne	Médiocres
				Phase B : St 6A	Proto-Chasséen	Moyenne	Aucune
				Phase C : St 3, St 7	Chassée ancien	Excellente	Bonne
25	Caucade	Nice	Plein air	C 5	Chasséen ancien	Moyenne	Médiocres
26	Les Breguières	Mougins	Plein air	C1	VBQ1	Bonne	Bonnes
27	Usine Chiris	Grasse	Plein air	Foyer 3225	NM1	Moyenne	Médiocres
					Chasséen ancien	Excellente	Bonnes
28	Vallon de Pierrefeu	Gourdon	Plein air		Pré-Chasséen	Médiocre	Aucune
29	Grotte Lombard	Saint-Vallier-de-Thiery	Grotte-Abri	C 5A-3A	Cardial récent	Bonne	B/M

HAUTES-ALPES

N°	Site	Commune	Type de site	US	Faciès	Confiance	Dates
30	Saint-Antoine	Vitrolles	Plein air	Parcelle 42, st. 4228	Post-Cardial	Bonne	Bonnes

ALPES-DE-HAUTE-PROVENCE

N°	Site	Commune	Type de site	US	Faciès	Confiance	Dates
31	Abri 3 de Saint-Mître	Reillanne	Grotte-Abri		Cardial récent	Moyenne	Médiocre
32	ZAC des Chalus II	Forcalquier	Plein air	St. 1062	VBQ0	Bonne	Bonnes
33	Les Clavelles	Lurs	Plein air		Chasséen ancien	Moyenne	Aucune
34	Grotte de Saint-Benoît	Saint-Benoît	Grotte-Abri		VBQ0	Moyenne	Aucune
					VBQ1	Moyenne	Aucune
					Chasséen ancien	Moyenne	Aucune
35	Grotte Murée	Montpezat	Grotte-Abri		Chasséen ancien	Moyenne	Aucune
36	Abri du Jardin du Capitaine	Sainte-Croix-de-Verdon	Grotte-Abri	C 18	Cardial récent	Moyenne	Médiocre

VAR

N°	Site	Commune	Type de site	US	Faciès	Confiance	Dates
37	Aven de Vaclare	Esparron-de-Verdon	Plein air		Pré-Chasséen	Moyenne	Aucune
38	Grotte C	Baudinard	Grotte-Abri	C 5	Chasséen ancien	Moyenne	Médiocres
39	Grotte de l'Eglise (réseau supérieur)	Baudinard	Grotte-Abri	Reseau moy 8 à 10, Reseau sup 8B	Chasséen ancien	Moyenne	Médiocres
40	Baume de Fontbrégoua	Salernes	Grotte-Abri	C 44-40	Cardial récent	Moyenne	Médiocres
				C 39-30	Pré-Chasséen	Bonne	B/M
				C 29-25	Chasséen ancien	Moyenne	Médiocres
41	Station du vallon de Fey	Villecroze	Plein air		Chasséen ancien	Médiocre	Aucune
42	Station de Font-Marthe	Villecroze	Plein air		Chasséen ancien	Médiocre	Aucune
43	Station de Saint-Jean	Villecroze	Plein air		Chasséen ancien	Médiocre	Aucune
44	Station du Castellet	Villecroze	Plein air		Chasséen ancien	Médiocre	Aucune
45	Grotte des Fées	Châteauvieux	Grotte-Abri		Chasséen ancien	Moyenne	Aucune
46	La Roquette	Roquebrune-sur-Argens	Plein air		VBQ1	Moyenne	Aucune
47	Les Salins	Saint-Tropez	Plein air		Chasséen ancien	Moyenne	Aucune
48	Centre-Ville	Cavalaire	Plein air		Pré-Chasséen	Moyenne	Aucune
49	Grotte du Logis du Bord de l'Eau	Evenos	Grotte-Abri	C 16-11	Pré-Chasséen	Moyenne	Aucune
50	Grotte Cimay	Evenos	Grotte-Abri		Pré-Chasséen	Moyenne	Aucune
51	Grotte de la Stalagmite	Evenos	Grotte-Abri		VBQ1	Moyenne	Aucune
52	Le Clos de Roque	Saint-Maximin-la-Sainte-Baume	Plein air	Zone 2	VBQ1	Excellente	Bonnes

BOUCHES-DU-RHÔNE

N°	Site	Commune	Type de site	US	Faciès	Confiance	Dates
53	Col Sainte-Anne	Simiane-Collongue	Plein air	Sépulture	Post-Cardial	Moyenne	Aucune
54	Baume Sourne	Allauch	Grotte-Abri		Pré-Chasséen	Moyenne	Aucune
55	Abri de la Loubière	Marseille	Grotte-Abri		Pré-Chasséen	Moyenne	Aucune
56	Petite Bastide	Bouc-Bel-Air	Plein air		Pré-Chasséen	Bonne	Bonnes
57	Grotte de l'Adaouste	Jouques	Grotte-Abri	C 5-3B	Post-Cardial-Jouquien	Moyenne	Aucune
58	Grotte du Mourre de la Barque	Jouques	Grotte-Abri	Couche D4-16	Cardial récent	Excellente	Bonnes
				MB1, MB06-Q	Chasséen ancien	Moyenne	Aucune
59	Grand abri de la Font-des-Pigeons	Châteauneuf-les-Martigues	Grotte-Abri	c14-11	Cardial récent	Bonne	B/M
				c11-7	Post-Cardial	Moyenne	Médiocres
60	Miouvin	Istres	Plein air	C III	NM1	Moyenne	Médiocres
61	Sivier	Istres	Plein air	Zone 1	Chasséen ancien	Bonne	Bonnes
62	Jardinet-Pierrefeu	Alleins	Plein air		Chasséen ancien	Moyenne	Aucune

63	Abri d'Escanin 2	Les-Baux-de-Provence	Grotte-Abri		Epicardial	Moyenne	Aucune
				Sondage Eboulis (foyer)	Pré-Chasséen	Moyenne	Médiocres
64	ZAC d'Ussol	St-Rémy-de-Provence	Plein air	6 fonds de silos	Epicardial	Moyenne	Aucunes

VAUCLUSE

N°	Site	Commune	Type de site	US	Faciès	Confiance	Dates
65	Grande Grotte	Cheval Blanc	Grotte-Abri		Epicardial	Moyenne	Aucune
66	Les Bagnoles	L'Isle-sur-la-Sorgue	Plein air		Chasséen ancien	Excellente	NC
67	La Boudine	Saumane-de-Vaucluse	Plein air		Chasséen ancien	Médiocre	Aucune
68	Abri 2 du Fraischamp	La Roque-sur-Pernes	Grotte-Abri	F4	Cardial récent	Moyenne	Aucune
69	Grotte d'Unang	Malemort-du-Comtat	Grotte-Abri	C 6-5	Epicardial	Moyenne	Aucune
				C 3	Chasséen ancien	Moyenne	Médiocres
70	Céron	Venasque	Plein air	St 1	Post-Cardial	Bonne	Bonnes
71	La Bertaude	Orange	Plein air		Chasséen ancien	Moyenne	Aucune
72	Le Baratin	Courthézon	Plein air	St 2, St 5, St 1	Cardial récent	Excellente	Bonnes
73	Pont de Pierre 2	Bollène	Plein air	fossé F1, fossé F2, Nx occup. Gpe D	Chasséen ancien	Moyenne	Aucune
74	Les Petites Bâties	Lamotte-du-Rhône	Plein air	St 13837, St 7192, St 3826, St 1411	Cardial récent	Excellente	Bonnes
				Empt 11814, F 17640	Post-Cardial	Excellente	Bonnes

BASSE ET MOYENNE VALLEE DU RHÔNE

GARD

N°	Site	Commune	Type de site	US	Faciès	Confiance	Dates
75	Grotte de Château-Vieux	Aiguèze	Grotte-Abri		Tardi-Cardial	Moyenne	Médiocres
76	Baume d'Oullins	Le Garn	Grotte-Abri	C 4	Tardi-Cardial	Moyenne	Médiocres
77	Baume de Montclus	Montclus	Grotte-Abri	C 2	Epicardial récent ou Tardi-Cardial	Bonne	B/M

ARDECHE

N°	Site	Commune	Type de site	US	Faciès	Confiance	Dates
78	Abri de la Tardive	Berrias-et-Casteljau	Grotte-Abri	C 2	Cardial récent ou Tardi-Cardial	Bonne	Bonnes
79	Grotte de Chazelle	Saint-André-de-Cruzières	Grotte-Abri	C VII	Tardi-Cardial	Moyenne	Médiocres
80	Baume de Ronze	Ornac-l'Aven	Grotte-Abri	Ensemble 3 : C 40-38	Tardi-Cardial	Bonnes	Bonnes
81	Aven de Rochas	Saint-Remèze	Grotte-Abri	C4-3, C4-2	Tardi-Cardial	Moyenne	Médiocres
82	Grotte de Saint-Marcel	Bidon	Grotte-Abri	C K	Cardial récent-Epicardial	Moyenne	Médiocres
				C J, J'	Tardi-Cardial	Moyenne	Médiocres
83	Abri de la Vesigné	Saint-Marcel-d'Ardèche	Grotte-Abri		Cardial récent ou Tardi-Cardial	Moyenne	Bonnes
84	Combe Obscure	Lagorce	Grotte-Abri	C5	Cardial récent ou Tardi-Cardial	Moyenne	Aucune
85	La Bregoule	Soyons	Plein air	Niveau D	Epicardial-Chasséen ancien	Moyenne	Aucune

DRÔME

N°	Site	Commune	Type de site	US	Faciès	Confiance	Dates
86	Les Mallalones	Pierrelatte	Plein air		Tardi-Cardial	Moyenne	Aucune
87	Le Valladas	Saint-Paul-Trois-Châteaux	Plein air	Fosse 2	Epicardial récent ou Tardi-Cardial	Moyenne	Médiocres
88	Les Moulins	Saint-Paul-Trois-Châteaux	Plein air	Fosse 131	Groupe C	Excellente	NC
89	La Roberte	Châteauneuf-du-Rhône	Plein air	Fosse 46	Groupe C	Bonne	NC
90	Le Gournier	Montélimar	Plein air		Saint-Uze	Moyenne	Aucune
				B5	Groupe C	Moyenne	Aucune
91	Terrasse inférieure de Lalo	Espeluche	Plein air	Z1-6/G3	Epicardial récent ou Tardi-Cardial	Bonne	Bonnes
92	Les Prades	Le Pègue	Plein air		Chasséen ancien	Médiocre	Aucune
93	Le Serre 1	Roynac	Plein air		Pré-Chasséen décoré	Moyenne	Aucune
94	Lautagne	Valence	Plein air	FS 5012	Saint-Uze-Chasséen ancien-VBQ	Bonne	Bonnes
95	Plateau Raverre	Saint-Uze	Plein air		Saint-Uze	Moyenne	Médiocres
					Groupe C	Moyenne	Aucune
96	Baume Sourde	Francillon	Grotte-Abri		Chasséen ancien-VBQ	Moyenne	Aucune
					Groupe C	Moyenne	Aucune
97	Chanqueyras	Die	Plein air	S1, S3, S2, S8	Saint-Uze	Moyenne	Aucune
98	Grotte d'Antonnaire	Montmaur-en-Diois	Grotte-Abri		Saint-Uze	Moyenne	Aucune
				C 5-4	Chasséen ancien-VBQ2	Moyenne	Médiocres
99	Les Terres Blanches	Menglon	Plein air		Chasséen ancien	Moyenne	Aucune
100	Le Trou Arnaud	Saint-Nazaire-le-Désert	Plein air	Niveau G	Saint-Uze	Bonne	Bonnes
				Niveau E	Groupe D1	Bonne	Bonnes
101	Abri de la Barthalasse	Sahune	Grotte-Abri		Saint-Uze ancien	Bonne	Bonnes
102	Oppidum de Sainte-Luce	Vercoiran	Plein air	Point B, C 5	Saint-Uze ancien	Moyenne	Médiocres
				Point A, C 2	Chasséen ancien-VBQ	Moyenne	Aucune
103	Station du Moulin	Barret-de-Lioure	Plein air	C6	Cardial récent ou Tardi-Cardial	Moyenne	Médiocres
				C5	Pré-Chasséen décoré	Moyenne	Médiocres
				C4	Chasséen ancien-VBQ	Moyenne	Aucune
104	Tresclard	Ballons	Plein air	C 3	Pré-Chasséen décoré	Moyenne	Aucune

HAUTES-ALPES

N°	Site	Commune	Type de site	US	Faciès	Confiance	Dates
105	Col des Tourettes	Montmorin	Plein air	C VIb	Chasséen ancien-VBQ	Moyenne	Aucune

ISERE

N°	Site	Commune	Type de site	US	Faciès	Confiance	Dates
106	Les Pingallas	Sinard	Plein air		Pré-Chasséen décoré	Moyenne	Aucune
107	Saint-Loup	Vif	Plein air		Pré-Chasséen décoré	Médiocre	Aucune
108	Abri du Pas de la Charmatte	Châtelus	Grotte-Abri		Chasséen ancien-VBQ	Moyenne	Médiocres
109	Abri de la Grande Rivoire	Sassenage	Grotte-Abri		Epicardial ?	Bonne	Bonnes
					NA-NM1	Bonne	B/M
					NM1	Bonne	Bonnes
110	Les Ardélières	Brézins/Saint-Etienne-de-Saint-Geoirs	Plein air	Fosse F 42.1	Pré-Chasséen ou NM1	Moyenne	NC

RHÔNE

N°	Site	Commune	Type de site	US	Faciès	Confiance	Dates
111	Les Estournelles	Simandres	Plein air		Saint-Uze/VBQ1	Excellente	Bonnes

AIN

N°	Site	Commune	Type de site	US	Faciès	Confiance	Dates
112	Grotte du Gardon	Ambérieu-en-Bugey	Grotte-Abri	C 52-51	NM1	Bonne	B/M
				C 50-48	Saint-Uze récent	Excellente	B/M
				C 47-46	Saint-Uze récent-Chasséen ancien	Excellente	Bonnes

LANGUEDOC MEDITERRANEEN

GARD

N°	Site	Commune	Type de site	US	Faciès	Confiance	Dates
113	La Roquette	Tresques	Plein air	Sondage 2	Transition NA-NM	Moyenne	Aucune
114	Baume Bourbon	Cabrières	Grotte-Abri		Epicardial récent	Moyenne	Médiocres
115	ZAC de Fumérian	Manduel	Plein air	F 1092	Chasséen ancien	Moyenne	Aucune
116	Piechégut Ouest 1	Bellegarde	Plein air		Epicardial récent-NM1	Bonne	NC
					Chasséen ancien	Bonne	NC
117	Le Moulin Villard	Caissargues	Plein air	Sepultures	Pré-Chasséen	Bonne	Bonnes
118	Voie urbaine sud	Nîmes	Plein air		Pré-Chasséen	Moyenne	Aucune
119	Parc Georges Besse II-1	Nîmes	Plein air		Pré-Chasséen	Moyenne	Aucune
120	Parc Georges Besse II-4	Nîmes	Plein air		Pré-Chasséen	Moyenne	Aucune
121	Parc Georges Besse II-7	Nîmes	Plein air	Tranchées 1, 2 et 13	Pré-Chasséen	Moyenne	Aucune
122	Vistre de la Fontaine	Nîmes	Plein air	Bassin aval, couche archeo	Pré-Chasséen	Moyenne	Aucune
123	Le Mas des Abeilles II-7	Nîmes	Plein air	F278, F308, F499	Pré-Chasséen	Moyenne	Aucune
124	Le Mas de Vignoles IV	Nîmes	Plein air	F8325, F4029, F3064	Pré-Chasséen	Bonne	NC
				FS 8013	Proto-Chasséen	Excellente	NC
				FS 2123	Chasséen ancien	Excellente	NC
125	Le Mas de Vignoles XI	Nîmes	Plein air	FS 1128, FS 1129	Chasséen ancien	Moyenne	Aucune
126	Le Mas de Vignoles XVII	Nîmes	Plein air		Chasséen ancien	Moyenne	Aucune
127	Le Cadereau d'Alès	Nîmes	Plein air		Proto-Chasséen	Moyenne	Aucune
				FS 3162 (Style 2a), F1094, F5129 (style 2b)	Chasséen ancien	Excellente	Bonnes
128	La Roussillonne	Nîmes	Plein air	Lot 13	Epicardial récent	Excellente	Bonnes
129	Mas Neuf	Nîmes	Plein air	Zone 1	Epicardial récent	Excellente	B/M
130	Mas Mayan 05	Nîmes	Plein air		Pré-Chasséen	Moyenne	Aucune
131	Mas Mayan 06	Nîmes	Plein air		Pré-Chasséen	Excellente	NC
132	Le Puech de la Fontaine	Congénies	Plein air		Chasséen ancien	Médiocre	Aucune
133	Le Lavous	Gallargues-le-Montueux	Plein air	C IIb	Chasséen ancien	Moyenne	Aucune
134	Valergues St-Brès sud	Valergues/Saint-Brès	Plein air		Pré-Chasséen	Moyenne	Aucune

HERAULT

N°	Site	Commune	Type de site	US	Faciès	Confiance	Dates
135	La Capoulière 2	Mauguio	Plein air	F062	Chasséen ancien	Moyenne	Aucune
136	La Courconne	Mauguio	Plein air		Transition NA-NM	Moyenne	Aucune
137	Le Péras	Mauguio	Plein air	FS 1028	Pré-Chasséen	Excellente	Bonnes
					Chasséen ancien	Moyenne	Aucune
138	La Mourre	Mauguio	Plein air		Epicardial récent	Excellente	NC
139	ZAC Saint-Antoine II	Saint-Aunès	Plein air	Zone 1	Proto-Chasséen	Bonne	Bonnes
				Zone 2	Chasséen ancien	Excellente	Bonnes
140	Les Près du Château	Castries	Plein air		Chasséen ancien	Moyenne	Aucune
141	Montbeyre-la-Cadoule	Teyran	Plein air		Proto-Chasséen	Moyenne	Aucune
142	Jardins de Vert-Parc	Castelnau-le-Lez	Plein air	F1068, F1095, F1084, F1077, F1016, F1044, F1085	Chasséen ancien	Moyenne	Aucune
143	Jacques Coeur II	Montpellier	Plein air	F22, F9	Chasséen ancien	Moyenne	Aucune
144	Port Ariane III	Lattes	Plein air	US 21077, 21078, 21079	Proto-Chasséen	Bonne	Bonnes
					Chasséen ancien	Bonne	Bonnes
145	CMN Castelle et Fromigüe	Lattes	Plein air		Chasséen ancien	Moyenne	Aucune
146	Grotte de la Madeleine	Villeneuve-lès-Maguelone	Grotte-Abri		Proto-Chasséen	Moyenne	Aucune
				C VII	Chasséen ancien	Moyenne	Aucune
147	Grotte de l'Abbé Pialat	Saint-Bauzille-de-Putois	Grotte-Abri	S2-C5	Chasséen ancien	Moyenne	Médiocres
148	Grotte du Claux	Gorniès	Grotte-Abri		Chasséen ancien	Moyenne	Médiocres
149	La Clau III	Gigean	Plein air	FS 1062, FS 1044, FS 1120, FS 1122	Proto-Chasséen	Excellente	Bonnes
				F1195	Chasséen ancien	Excellente	Bonnes
150	La Reille	Montbazin/Pousan	Plein air		Chasséen ancien	Moyenne	Aucune
151	Grotte IV	Saint Pierre-de-la-Fage	Grotte-Abri	C 3A-3B-3C	Epicardial récent	Moyenne	Aucune
				C 2A-2B-2C	Fagien	Moyenne	Médiocres
152	La Bernat	Aspiran	Plein air		Chasséen ancien	Bonne	Bonnes
153	Montferrier 2	Tourbes	Plein air		Chasséen ancien	Moyenne	Aucune
154	Cantobres St Jean	Tourbes	Plein air		Transition NA-NM	Moyenne	Aucune
					Chasséen ancien	Moyenne	Aucune
155	Vignes de Bioaux	Valros	Plein air		Chasséen ancien	Bonne	NC
156	Le Pirou	Valros	Plein air		Chasséen ancien	Excellente	NC
157	La Resclauze	Gabian	Plein air	C 11	Transition NA-NM	Moyenne	Médiocres
158	Le Barreau de la Devèze sud	Béziers	Plein air	FS 3036 : sépulture	Chasséen ancien	Bonne	Bonnes
159	Le Crès	Béziers	Plein air		Chasséen ancien	Excellente	Bonnes
160	Pech de Montady	Montady	Plein air	Sépulture	Proto-Chasséen	Médiocre	Aucune
161	Encombres	Quarante	Plein air		Chasséen ancien	Excellente	Bonnes
162	Grotte de Camprafaud	Ferrières-Poussarou	Grotte-Abri	C18/C17/C16	Epicardial récent	Bonne	B/M
				C14-15	Proto-Chasséen	Bonne	B/M
163	Grotte du Pont	Poussarou	Grotte-Abri		Epicardial récent	Moyenne	Aucune
164	Grotte Tournié	Pardailhan	Grotte-Abri		Proto-Chasséen	Moyenne	Médiocres
165	Cazelles	Agel	Plein air		Proto-Chasséen	Médiocre	Médiocres
166	Les Mardes	Cessero	Plein air		Chasséen ancien	Moyenne	Aucune
167	Najac	Siran	Plein air	Sépultures	Chasséen ancien	Bonne	Bonnes
168	Grotte de l'Abeurador	Félines-Minervois	Grotte-Abri		Epicardial récent	Bonne	Bonnes

TARN

N°	Site	Commune	Type de site	US	Faciès	Confiance	Dates
169	Station de Sagnebaude	Arfons	Plein air		Epicardial récent	Médiocre	Aucune

AUDE

N°	Site	Commune	Type de site	US	Faciès	Confiance	Dates
170	Grotte Gazel	Sallèles-Cabardès	Grotte-Abri	C2c	Epicardial récent	Excellente	B/M
				C2a et C2b	Gazel IV	Excellente	B/M
171	Abri de Font-Juvénal	Conques-sur-Orbiel	Grotte-Abri	C 13	Epicardial récent	Bonne	Bonnes
				C12	Gazel IV	Bonne	Bonnes
				C 11	Proto-Chasséen	Moyenne	B/M
				C 10inf	Chasséen ancien	Moyenne	B/M
172	Station des Plos	Ventenac-Cabardès	Plein air		Epicardial récent	Médiocre	Aucune
173	Giratoire de la Madeleine	Pezens	Plein air		Chasséen ancien	Moyenne	Aucune
174	La Poste Vieille	Pezens	Plein air	F3, T6, T9, T30	Chasséen ancien	Moyenne	Aucune
175	Prat Mary	Carcassonne	Plein air		Chasséen ancien	Moyenne	Aucune
176	Le Champ du Poste	Carcassonne	Plein air		Pré-Chasséen	Bonne	Bonnes
					Chasséen ancien	Excellente	Bonnes
177	Auriac-Golf	Carcassonne	Plein air	St.2 à St.19	Chasséen ancien	Excellente	B/M
178	Les Plots	Berriac	Plein air		Chasséen ancien	Excellente	B/M
179	Las Trincados	Cépie	Plein air	FS 1200 (sépulture)	NM1	Bonne	Bonnes
				Secteurs 1 et 2, Secteurs 3 et 4	Chasséen ancien	Excellente	Bonnes
180	L'Elisyque	Mailhac	Plein air		Chasséen ancien	Excellente	Aucune
181	Les Prats	Mailhac	Plein air		Chasséen ancien	Moyenne	Aucune
182	Petite grotte de Bize	Bize-Minervois	Grotte-Abri	Carré D12- C3c	NM1	Moyenne	Bonnes
183	Le Perreiras	Pouzols-Minervois	Plein air		Chasséen ancien	Moyenne	Médiocres
184	Station de Bonne Terre	Ouveillan	Plein air		Chasséen ancien	Médiocre	Aucune
185	ZAC du Couchant	Ouveillan	Plein air		Chasséen ancien	Moyenne	Aucune
186	Langel	Armissan	Plein air		Chasséen ancien	Moyenne	Aucune
187	Moujan-Bertrand	Narbonne	Plein air		Chasséen ancien	Moyenne	Aucune
188	Grotte de la Crouzade	Gruissan	Grotte-Abri		Epicardial récent	Médiocre	Aucune
189	La Croix de Fer	La Palme	Plein air		Chasséen ancien	Médiocre	Aucune

PYRENEES – CATALOGNE – ARAGON

HAUTE-GARONNE

N°	Site	Commune	Type de site	US	Faciès	Confiance	Dates
190	Abri de Gahuzère 2	Montmaurin	Grotte-Abri	Niveau 3b (Fy2)	Néolithique ancien évolué	Moyenne	Aucune
191	Abri de Buholoup	Montberaud	Grotte-Abri	C2b	Epicardial final	Bonne	Bonnes
192	La Spugo	Ganties-les-Bains	Grotte-Abri		Epicardial final	Moyenne	Aucune
193	Gouffre et grotte de Gelès	Aspet	Grotte-Abri		Juberrien	Médiocre	Aucune
194	Arihouat	Garin	Plein air	Fosse 170A	Montbolo	Moyenne	Aucune

ARIEGE

N°	Site	Commune	Type de site	US	Faciès	Confiance	Dates
195	Abri Martel	Niaux	Grotte-Abri	Autour de la couche IIIa	Juberrien	Médiocre	Aucune
196	Petite grotte de Niaux	Niaux	Grotte-Abri		Juberrien	Médiocre	Aucune
197	Grande grotte de Bédeilhac	Bédeilhac-et-Aynat	Grotte-Abri	C VI	Juberrien-Montbolo	Moyenne	Aucune
198	Grotte d'Enlène	Montesquieu-Avantès	Grotte-Abri		Juberrien	Médiocre	Aucune
199	Grotte du Mas d'Azil	Mas d'Azil	Grotte-Abri		Montbolo chasseoïde	Médiocre	Aucune
200	Grotte de l'Herm	L'Herm	Grotte-Abri		Montbolo	Médiocre	Aucune

201	Grotte de Rieufourcant	Dun	Grotte-Abri		Juberrien	Médiocre	Aucune
202	Grotte de Las Morts	Benaix	Grotte-Abri	Ca-Cb	Epicardial final-Montbolo ancien	Médiocre	Aucune
203	Grotte des Oueilles	Belesta	Grotte-Abri		Juberrien	Médiocre	Aucune

AUDE

N°	Site	Commune	Type de site	US	Faciès	Confiance	Dates
204	Abri de Dourgne	Fontanès-de-Sault	Grotte-Abri	C5 sup	Montbolo	Moyenne	Aucune
205	Abri Jean Cros	Labastide-en-Val	Grotte-Abri	C2a	Epicardial	Bonne	B/M
206	Station de la Corrège	Leucate	Plein air	Point 2	Epicardial récent	Médiocre	Médiocres

PYRENEES-ORIENTALES

N°	Site	Commune	Type de site	US	Faciès	Confiance	Dates
207	Abri de la Coma Francèze	Salses-le-Château	Grotte-Abri	C 4	Néolithique ancien évolué	Bonne	Bonnes
208	Cova de l'Esperit	Salses-le-Château	Grotte-Abri	C 2s	Montbolo chasseoïde	Moyenne	Aucune
209	Cova de les Bruixes	Tautavel	Grotte-Abri	C1 remanié	Néolithique ancien évolué	Médiocre	Médiocres
210	Grotte des Goleiros	Tautavel	Grotte-Abri		Montbolo chasseoïde	Médiocre	Aucune
211	Station de Cabanac	Calce	Plein air		Montbolo	Médiocre	Aucune
212	Diaclase de San Brecqs	Saint-Paul-de-Fenouillet	Plein air		Néolithique ancien évolué	Médiocre	Aucune
213	Terrofort	Caramany	Plein air		Montbolo classique	Excellente	Bonnes
214	Les Coudoumines	Caramany	Plein air		Epicardial final-Montbolo ancien	Excellente	B/M
215	Camp del Ginèbre	Caramany	Plein air		Montbolo	Excellente	B/M
216	Cortal del Mouli II	Caramany	Plein air		Montbolo chasseoïde	Médiocre	Aucune
217	La Cauna de Belesta	Belesta	Grotte-Abri	Locus I, Locus VII	Montbolo	Excellente	Bonnes
218	Grotte de Montou	Corbères-les-Cabanes	Grotte-Abri	Galerie close C3	Montbolo	Moyenne	Aucune
				Salle 2 - Galerie Fabresse	Montbolo chasseoïde	Excellente	Bonnes
219	Campellanes	Le Soler	Plein air		Epicardial final-Montbolo ancien	Moyenne	Aucune
220	Lotissement Le Petit Prince	Perpignan	Plein air		Montbolo chasseoïde	Moyenne	Aucune
221	La Carrerrassa	Perpignan	Plein air		Montbolo	Moyenne	Aucune
222	El Cami de la Coma Serra	Perpignan	Plein air	FS2, FS6, FY9, FY12, FY19, FS1, FS4, FS8	NM1	Bonne	Bonnes
				Zone 2, tiers sud	Montbolo	Excellente	Bonnes
223	Moli Cremat	Perpignan	Plein air	Fosse-silo	Epicardial final-Montbolo ancien	Moyenne	Aucune
224	Le Mas Rous II	Perpignan	Plein air		Montbolo	Moyenne	Aucune
225	La Colomina	Villeneuve-de-la-Raho	Plein air	Sd. 91 - St1, Sd. 103 St103-1 (diag)	Néolithique ancien évolué	Excellente	NC
226	Station de l'Estany	Montescot	Plein air		Montbolo	Médiocre	Aucune
227	Contournement Nord d'Argelès	Argelès-sur-Mer	Plein air		Montbolo chasseoïde	Moyenne	Aucune
228	La Teularia	Saint-Génis-des-Fontaines	Plein air	ST24, ST83, ST8	Montbolo	Excellente	B/M
229	Trompette-Basse	Montesquieu-des-Albères	Plein air		Montbolo chasseoïde	Excellente	Bonnes
230	Cortal d'En Kirck	Le Boulou	Plein air		Montbolo	Médiocre	Aucune
231	Cova de la Font Calde	Reynès	Grotte-Abri	Comblement puits naturel	Juberrien	Médiocre	Aucune
232	La Balma de Montbolo	Montbolo	Grotte-Abri		Montbolo classique	Moyenne	Médiocre
233	Grotte de Can Pey	Montferrer	Grotte-Abri		Epicardial final-Montbolo ancien	Médiocre	Aucune

Productions céramiques et dynamiques des sociétés au V^e millénaire avant notre ère : la transition du Néolithique ancien au Néolithique moyen dans le bassin nord-occidental de la Méditerranée

234	Réseau Mitjville	Ria-Sirach	Grotte-Abri		Juberrien	Médiocre	Aucune
235	Grotte de la Chance	Ria-Sirach	Grotte-Abri	Niveau 4 - f6, f7, f8	Epicardial final-Montbolo ancien	Moyenne	Aucune
				Niveau 3 f4 et f5	Montbolo	Moyenne	Médiocres
236	Grotte Sainte-Marie	Ria-Sirach	Grotte-Abri		Montbolo	Moyenne	Aucune
237	Grotte d'En Gorner	Villefranche de Conflent	Grotte-Abri	Sondage J1, Q-R/10-niv1, W-Y/1-4	Montbolo	Moyenne	Médiocres
238	Lo Pla del Bach	Eyne	Grotte-Abri	C 4	NA-NM1	Bonne	Bonnes
239	Llo II	Llo	Plein air	C 6-5	Juberrien	Bonne	Bonnes
240	Oppidum de San Feliu	Llo	Plein air	C 6	Post-Cardial	Bonne	B/M
241	Chaos des Tartères	Angoustrine-Villeneuve-des-Escaldes	Plein air		Montbolo chasseoïde	Médiocre	Aucune

ANDORRE

N°	Site	Commune	Type de site	US	Faciès	Confiance	Dates
242	Prat del Call	Ordino	Plein air		Post-Cardial	Bonne	Bonnes
243	Tomba de Segudet	Segudet	Plein air	Tombe	Post-Cardial	Bonne	Bonnes
244	Balma Margineda	Sant Coloma	Grotte-Abri	C3a	Néolithique ancien évolué	Bonne	B/M
245	Feixa del Moro	Juberri	Plein air	Structures domestiques	Juberrien	Moyenne	Médiocres
246	Carrer Llineas 28	Juberri	Plein air		Juberrien	Moyenne	Aucune
247	Camp del Colomer	Juberri	Plein air		Juberrien	Excellente	Bonnes

GERONE

N°	Site	Commune	Type de site	US	Faciès	Confiance	Dates
248	Coves A y B d'Olopte	Isóvol	Grotte-Abri		Juberrien	Médiocre	Aucune
249	Sanavastre	Das	Plein air		Epicardial récent	Excellente	Bonnes
250	Cova del Senglar	Albanya	Grotte-Abri	Niv. III	Montbolo	Moyenne	Aucune
251	Cova de la Caula	Boadella i les Escuaules	Grotte-Abri		Montbolo	Moyenne	Aucune
252	Túmulo de la Vinya d'en Bertat	Pau	Plein air		Montbolo	Moyenne	Aucune
253	Ca n'Isach	Palau-Sabardera	Plein air	Niv. II, EH-7	Montbolo	Moyenne	Médiocres
254	La Serra del Mas Bonnet	Vilafant	Plein air		Epicardial récent	Bonne	Bonnes
255	Cova dels Ermitons	Sales de Llierca	Grotte-Abri		Epicardial final	Moyenne	Aucune
256	Cova 120	Sales de Llierca	Grotte-Abri	Niveau III	Epicardial final	Moyenne	Médiocres
257	Cova del Bisbe	Sales de Llierca	Grotte-Abri		Epicardial final	Moyenne	Aucune
258	Plansallosa	Tortella	Plein air	Plansallosa II	Epicardial récent	Excellent	Bonnes
259	Cova Mariver	Esponella	Grotte-Abri		Epicardial final	Moyenne	Aucune
260	Cova de les Encantades de Martis	Esponella	Grotte-Abri		Montbolo	Médiocre	Non
261	Cova d'En Pau	Serinya	Grotte-Abri	Niveau III	Montbolo	Moyenne	Médiocres
262	Cova dels Encantats	Serinya	Grotte-Abri		Montbolo	Médiocre	Aucune
263	Cova del Reclau-Viver	Serinya	Grotte-Abri		Epicardial final	Moyenne	Aucune
					Montbolo-Molinot	Moyenne	Aucune
264	La Codella	La Pinya	Plein air		Epicardial final	Médiocre	Médiocres
265	La Dou	Sant Esteve d'en Bas	Plein air		Néolithique ancien évolué	Excellente	Bonnes
					Montbolo	Excellente	Bonnes
266	Cova de l'Avellaner	Les Planes d'Hostoles	Grotte-Abri		Epicardial final	Excellente	B/M
267	Cova de la Bora Tuna	Sant Marti de Llemana	Grotte-Abri		Epicardial récent	Moyenne	Aucune
268	Cova del Pasteral	La Callera de Ter	Grotte-Abri	Espace III	Epicardial final	Excellente	Bonnes
				Espace II	Montbolo	Moyenne	Aucune
269	Can Gelats	Aiguaviva	Plein air		Montbolo	Moyenne	Aucune
270	El Puig Mascaro	Torroella de Montgri	Plein air		Epicardial récent	Moyenne	Aucune
271	Balma de la Fonteta	La Bisbal	Plein air		Montbolo chasseoïde	Moyenne	Aucune

272	La Bassa	Fonteta	Grotte-Abri		Montbolo chasseoïde	Moyenne	Aucune
273	Cova de la Sardineta	Calonge	Grotte-Abri		Epicardial final	Moyenne	Aucune
274	Barraca de N'Oller	Calonge	Grotte-Abri		Epicardial récent	Moyenne	Aucune
275	Cova de l'Avellana	Calonge	Grotte-Abri		Epicardial final	Moyenne	Aucune

BARCELONE

N°	Site	Commune	Type de site	US	Faciès	Confiance	Dates
276	El Padró I et II	Tavertet	Plein air		Montbolo	Moyenne	B/M
277	Font de la Vena	Tavertet	Plein air		Montbolo	Moyenne	Médiocre
278	Collet de Rajols	Tavertet	Plein air		Montbolo	Moyenne	Aucune
279	Cova de los Grioterres	Vilanova de Sau	Grotte-Abri		Montbolo	Moyenne	Médiocres
280	Cova de Sant Bartomeu	Sant Bartomeu	Grotte-Abri		Montbolo	Moyenne	Aucune
281	Cova del Toll	Moia	Grotte-Abri	C5	Epicardial final	Bonne	B/M
				C4	Epicardial final-Montbolo ancien	Moyenne	Médiocres
				C3	Montbolo-Molinot	Excellente	B/M
282	Pla del Serrador	Les Franqueces del Valles	Plein air		Epicardial récent	Bonne	Bonnes
283	Ca l'Estrada	Canavelles	Plein air		Epicardial récent	Excellente	Bonnes
284	Carrer Reina Amalia	Barcelone	Plein air		Epicardial final	Excellente	Bonnes
285	Caserna Sant Pau del Camp	Barcelone	Plein air		Montbolo-Molinot	Excellente	NC
286	Conservatori Liceu	Barcelone	Plein air		Molinot	Excellente	Bonnes
287	Els Mallols	Cerdanyola del Valles	Plein air		Montbolo-Molinot	Bonne	Bonnes
288	Salcies	Santa Perpètua de Mogoda	Plein air		Epicardial final	Moyenne	Aucune
289	Can Roqueta II	Sabadell	Plein air		Montbolo-Molinot	Excellente	Bonnes
290	La Vinya del Regalat	Castellar-del-Vallès	Plein air		Montbolo-Molinot	Bonne	B/M
291	Cova del Frare	Sant Llorenç del Munt	Grotte-Abri	C5	Epicardial récent	Excellente	B/M
				C4?	Montbolo-Molinot	Moyenne	Médiocres
292	Cova de l'Or	Sant Feliu de Llobregat	Grotte-Abri		Molinot	Moyenne	Aucune
293	Can Tintorer	Molins de Rei	Plein air	Mina 8	Montbolo	Moyenne	Médiocre
294	Cova de Can Sadurni	Begues	Grotte-Abri	C 15-14-13	Epicardial récent	Moyenne	Aucune
				C 11b-11-10b-10	Montbolo-Molinot	Excellente	B/M
295	Cova Bonica	Villarana	Grotte-Abri		Molinot	Moyenne	Aucune
296	Cova dels Lladres	Vacarisses	Grotte-Abri		Epicardial récent	Bonne	Bonnes
297	Cova Freda	Collbato	Grotte-Abri		Montbolo-Molinot	Médiocre	Aucune
298	Cova Gran	Collbato	Grotte-Abri		Montbolo-Molinot	Médiocre	Médiocres
299	Cova dels Degotalls	Capellades	Grotte-Abri		Molinot	Moyenne	Aucune
300	Cova de Simeon	Capellades	Grotte-Abri		Molinot	Moyenne	Aucune
301	Els Vilars de Tous	Igualada	Plein air		Molinot	Bonne	Bonnes
302	Cova de la Guineu	Font-Rubí	Grotte-Abri	IIA-IIB-IIC	Molinot	Excellente	Bonnes
303	El Turó de la Font del Roure	Font-Rubi	Grotte-Abri	E 10	Molinot	Bonne	Bonnes
304	Cova de Sant Llorenç	Sitges	Grotte-Abri	Niveau 3 (A4 sup)	Néolithique ancien évolué	Bonne	Bonnes
305	Cova del Gegant	Sitges	Grotte-Abri		Montbolo	Moyenne	Aucune
306	Pujolet de Moja	Olerdola	Plein air		Montbolo-Molinot	Bonne	Bonnes
307	Les Guixeres	Vilobi	Plein air		Molinot	Moyenne	Aucune
308	Hort d'En Grimau	Castellvi de la Marca	Plein air		Molinot	Excellente	Bonnes
309	Mas d'En Boixos	Pacs del Penedes	Plein air		Montbolo-Molinot	Moyenne	Aucune
310	La Serreta	Villafranca del Penedés	Plein air		Molinot	Bonne	Bonnes
311	Mas Pujó	Vilafranca del Penedès	Plein air		Molinot	Bonne	Bonnes
312	Pou Nou 2 et 3	Sant Pere Molanta	Plein air		Epicardial récent	Bonne	Bonnes
					Molinot	Moyenne	Aucune
313	Cova de l'Esquerda de les Roques del Pany	Torrelles de Foix	Grotte-Abri		Néolithique ancien évolué	Médiocre	Aucune

314	Font del Molinot	Pontons	Grotte-Abri	Nivel V	Molinot	Excellente	B/M
-----	------------------	---------	-------------	---------	---------	------------	-----

TARRAGONE

N°	Site	Commune	Type de site	US	Faciès	Confiance	Dates
315	Cova del Gaia	Pontils	Grotte-Abri		Molinot	Moyenne	Aucune
316	Molins de la Vila	Montblanc	Plein air		Epicardial récent	Bonne	Bonnes
317	Aéroport de Reus	Reus	Plein air	UE 2051, UE 129	Néolithique ancien évolué	Moyenne	Médiocres
318	Quatre Carreteres	Vila-Seca	Plein air		Post-Cardial	Moyenne	Aucune
319	Timba de Barenys	Riudoms	Plein air		Epicardial récent	Moyenne	Médiocres
320	El Cavet	Cambrils	Plein air		Epicardial récent	Bonne	Bonnes
321	Mas Benita	L'Aldea	Plein air		Bocas del Ebro	Moyenne	Aucune
322	Barranc d'en Fabra	Amposta	Plein air		Epicardial récent	Bonne	Médiocre
323	El Molló de la Torre	Amposta	Plein air		Bocas del Ebro	Bonne	Aucune
324	Clota del Molinas	Amposta	Plein air	E8 et E9	Bocas del Ebro	Moyenne	Aucune
325	Masdenvergenc	Masdenvergenc	Plein air		Bocas del Ebro	Moyenne	Aucune
326	El Molló	Móra la Nova	Plein air		Bocas del Ebro	Moyenne	Aucune
327	Balma de l'Auferí	Margalef	Grotte-Abri		Epicardial récent	Moyenne	Aucune

SARAGOSSE

N°	Site	Commune	Type de site	US	Faciès	Confiance	Dates
328	Abrigo de El Pontet	Maella	Grotte-Abri	Niv. b	Les Auvelles	Moyenne	Médiocre
329	Abrigo de la Costalena	Maella	Grotte-Abri	C2	Les Auvelles	Médiocre	Aucune
330	Plano Pulido	Caspe	Plein air	Cb	Les Auvelles	Moyenne	Médiocre
331	Riols I	Mequinenza	Plein air	Niv. 1a	Les Auvelles	Moyenne	Médiocre

LLEIDA

N°	Site	Commune	Type de site	US	Faciès	Confiance	Dates
332	Quatre Pilans	Lleida	Plein air		Les Auvelles	Moyenne	Aucune
333	Les Roques del Monjo	Artesa	Plein air		Epicardial final	Moyenne	Aucune
334	Pla del Gardelo	Juneda	Plein air		Les Auvelles	Moyenne	Aucune
335	El Collet	Puiggros	Plein air		Les Auvelles	Bonne	Bonnes
336	Espina C	Tàrrega	Plein air		Les Auvelles	Moyenne	Aucune
337	La Pedrera	Vallfogona de Balaguer	Plein air		Les Auvelles	Moyenne	Aucune
338	Les Auvelles	Castelló de Farfanya	Plein air		Les Auvelles	Excellente	Bonnes
339	Cova Gran de Santa Linya	Os de Balaguer	Grotte-Abri		Les Auvelles	Médiocre	Aucune
340	Cova del Parco	Alós de Balaguer	Grotte-Abri		Les Auvelles	Moyenne	Médiocre
341	Balma de la Massana	Sant Esteve de la Sarga	Grotte-Abri		Les Auvelles	Médiocre	Aucune
342	Cova del Pas de la Lloba	Llimiana	Grotte-Abri		Epicardial récent	Moyenne	Aucune
343	Serrat dels Espinyers	Isona	Plein air		Les Auvelles	Moyenne	Aucune
344	Cova de les Llenes	Pobla de Segur	Grotte-Abri		Epicardial final	Moyenne	Aucune
345	Cova de la Fou de Bor	Bor	Grotte-Abri		Juberrien	Médiocre	Aucune
346	Pleta de les Bacives I	Torre de Cabdella	Plein air		Post-Cardial	Médiocre	Aucune
347	La Cova del Sardo	Boí	Grotte-Abri	C 8	Post-Cardial	Bonne	Bonnes

HUESCA

N°	Site	Commune	Type de site	US	Faciès	Confiance	Dates
348	Cuevas del Moro de Gabasa	Gabasa	Grotte-Abri		Epicardial final	Moyenne	Aucune
349	Mina d'Orriols	Tamarite de Litera	Plein air		Les Auvelles	Médiocre	Aucune
350	Cornobis	Tamarite de Litera	Plein air		Les Auvelles	Médiocre	Aucune
351	Sosa III	Sant Esteban de Litera	Plein air		Les Auvelles	Médiocre	Aucune
352	Cueva del Moro de Olvena	Olvena	Grotte-Abri		Epicardial récent	Moyenne	Aucune
				C5	Post-Cardial/Neolitico Pleno	Bonne	Bonnes

353	Cova Chaves	Bástaras	Grotte-Abri	Niv. Ia	Epicardial récent	Moyenne	Aucune
				Niv. Ib	Montbolo	Moyenne	Aucune
354	Cueva de Els Trocs	Sant Feliú de Veri-Bisaurri	Grotte-Abri	Trocs II	Néolithique ancien évolué	Excellente	NC
355	Espulga de la Puyascada	La Fueva	Grotte-Abri	Niv. II	Epicardial final	Bonne	Bonnes
356	Cueva de Coro Trasito	Telle-Sin	Grotte-Abri	UE 3002-3004	Néolithique ancien évolué	Excellente	Bonnes

MOYENNE VALLEE DE LA GARONNE

HAUTE-GARONNE

N°	Site	Commune	Type de site	US	Faciès	Confiance	Dates
357	Avenue de Toulouse	Seysse	Plein air		Chasséen ancien	Moyenne	NC
358	Villeneuve-Tolosane-Cugnaux	Villeneuve-Tolosane-Cugnaux	Plein air	E5-2, sep. 250	Pré-Chasséen	Bonne	B/M
				E4-4, D4-8, D4-7, C3-3, N15-3, St. 64, St. 78	Chasséen garonnais I	Excellente	Bonnes
359	Saint-Michel-du-Touch	Toulouse	Plein air	Enceinte 1 : Fossés A150B et A141	Chasséen ancien	Bonne	Bonnes
360	Les Monges	Launaguet	Plein air	F1	Chasséen garonnais I	Moyenne	Aucune
361	Pinot 2	Blagnac	Plein air		Chasséen ancien-Montbolo	Excellente	Bonnes
362	Château-Percin	Seilh	Plein air	26 structures	Chasséen ancien	Excellente	Bonnes

GERS

N°	Site	Commune	Type de site	US	Faciès	Confiance	Dates
363	La Pouché	Duran	Plein air	US 5004 et 5016	Chasséen garonnais I	Bonne	Bonnes

TARN-ET-GARONNE

N°	Site	Commune	Type de site	US	Faciès	Confiance	Dates
364	Saint-Genès	Castelferrus	Plein air		Chasséen garonnais I	Moyenne	Aucune

TARN

N°	Site	Commune	Type de site	US	Faciès	Confiance	Dates
365	Grotte de la Pyramide	Penne	Grotte-Abri		Chasséen garonnais I	Moyenne	Aucune

CAUSSES

LOT

N°	Site	Commune	Type de site	US	Faciès	Confiance	Dates
366	Grotte du Noyer	Esclauzels	Grotte-Abri	Ensemble inf.	Pré-Chasséen	Moyenne	Aucune
367	Combe-Nègre	Loupiac	Grotte-Abri	St. 92, st. 146	Proto-Chasséen	Bonne	Bonnes
368	Le Cuzoul de Gramat	Gramat	Grotte-Abri	HA1	NA Continental	Bonne	NC
369	Doline de Roucadour	Thémines	Grotte-Abri	C 3	Chasséen ancien	Moyenne	B/M
370	Mas de la Fineau	Livernon	Grotte-Abri		Pré-Chasséen	Médiocre	Aucune
371	Abri de Capdenac-le-Haut	Capdenac	Grotte-Abri	Niveau C (C3)	Proto-Chasséen	Bonne	Médiocres
				Niveau B	Chasséen ancien	Bonne	Aucune

AVEYRON

N°	Site	Commune	Type de site	US	Faciès	Confiance	Dates
372	Abri de Roquemissou	Montrozier	Grotte-Abri		NA Continental	Bonne	B/M
					Proto-Chasséen	Bonne	B/M
373	Le Clos de Poujol	Campagnac	Grotte-Abri	Se, Sn et Sm	NA Continental	Moyenne	B/M
374	Abri de Combe-Grèze	La Cresse	Grotte-Abri	C4 (A à F) fouille Costantini	NA Continental	Bonne	B/M
375	Aven de Merdeplau	Creissels	Grotte-Abri		Chasséen ancien	Médiocre	Aucune
376	Le Pla de Peyre	Creissels	Plein air	St.8, 20 et 21 + épandages zones A et C + St à galets chauffés	Proto-Chasséen	Bonne	B/M
377	Grotte 1 de Sargel	Saint-Rome-de-Cernon	Grotte-Abri	Secteur A-C : Niveaux XII et XI, Secteur G-K : Niveaux XIV et XIII	Chasséen ancien	Médiocre	Médiocres
378	Grotte de l'Ourtiguet	Sainte-Eulalie-de-Cernon	Grotte-Abri	Carrés A2-C2-G2	Epicardial récent	Moyenne	Aucune
379	Abri du Roc Troué	Sainte-Eulalie-de-Cernon	Grotte-Abri	C5	NA Continental	Médiocre	Médiocres
380	Abri de Saint-Amans	Millau	Grotte-Abri		NA Continental	Médiocre	Aucune
381	Abri de La Poujade	Millau	Grotte-Abri	C7 et C8	NA Continental	Moyenne	Médiocres
				C6f à C6a2	Pré-Chasséen	Moyenne	Médiocres
382	Grotte de la Calade	Nant	Grotte-Abri		Chasséen ancien	Médiocre	Aucune
383	Les Usclades	Nant	Grotte-Abri	C2 et C3	NA Continental	Médiocre	Médiocres

GARD

N°	Site	Commune	Type de site	US	Faciès	Confiance	Dates
384	Grotte du Luc	Lanuéjols	Grotte-Abri		NA Continental	Médiocre	Aucune

MASSIF CENTRAL

HAUTE-LOIRE

N°	Site	Commune	Type de site	US	Faciès	Confiance	Dates
385	Abri de la Baume d'Arlempdes	Arlempdes	Grotte-Abri	Taille 10	NA Continental	Moyenne	Médiocres
386	Suc d'Arlempdes	Arlempdes	Grotte-Abri		Néolithique ancien	Moyenne	Médiocres
387	Grotte de Longetraye	Freyenet-la-Cuche	Grotte-Abri	C1b base	NA Continental	Moyenne	Médiocres
388	Les Brûlades	Les Estables	Grotte-Abri		Epicardial	Médiocre	Aucune
389	Le Pirou	Polignac	Plein air		Chasséen ancien	Bonne	Bonnes
390	Grotte Rouge du Brunelet	Saint-Germain-Laprade	Grotte-Abri	Tamisage déblais	Epicardial	Médiocre	Aucune
391	Les Rivaux	Espaly-Saint-Marcel	Plein air	Ensemble 7	NA Continental	Moyenne	Médiocres
				Ensemble 6	Chasséen ancien	Moyenne	Médiocres
				Ensemble 4 inf	Chasséen ancien-récent	Moyenne	Aucune
392	Grotte du Rond du Barry	Polignac	Grotte-Abri	C A	NA Continental	Médiocres	Aucune

CANTAL

N°	Site	Commune	Type de site	US	Faciès	Confiance	Dates
393	La Rochette-Félines	Massiac	Plein air		Epicardial	Médiocre	Aucune

LOIRE

N°	Site	Commune	Type de site	US	Faciès	Confiance	Dates
394	Suc de la Violette	Périgneux	Plein air		Chasséen ancien	Moyenne	Médiocre
395	La Pège	Chambéon	Plein air		Epicardial	Moyenne	Aucune

ALLIER

N°	Site	Commune	Type de site	US	Faciès	Confiance	Dates
396	Site n°582 de Y. Miras	Saint-Clément	Plein air		Néolithique ancien	Médiocre	Aucune

PUY-DE-DÔME

N°	Site	Commune	Type de site	US	Faciès	Confiance	Dates
397	Les Chambons	Prompsat	Plein air		Chasséen ancien	Bonne	B/M
398	La Roussille	Vertaizon	Plein air		NM1	Excellente	Bonnes
399	La Madeleine	Pont-du-Château	Plein air		Néolithique ancien	Médiocre	Médiocres
400	La Pradelle	Pont-du-Château	Plein air		NM1	Moyenne	Médiocres
401	Chambussière	Pont-du-Château	Plein air		Epicardial	Moyenne	Aucune
402	ZAC de Champ Lamet	Pont-du-Château	Plein air		Epicardial	Excellente	Bonnes
403	ZAC des Acilloux	Cournon-d'Auvergne	Plein air		NM1	Bonne	Bonnes
404	Lotissement de la Rue du Lot	Martres-de-Veyre	Plein air		Chasséen ancien	Excellente	NC
405	ZA Pra de Serre III	Veyre-Monton	Plein air		Epicardial	Moyenne	Aucune
406	La Croix Saint-Roch	Le Crest	Plein air		Epicardial	Médiocre	Aucune
407	Opme-Cimetière	Romagnat	Plein air		Chasséen ancien	Moyenne	Aucune
408	Le Colombier	Beaumont	Plein air		Epicardial	Moyenne	Aucune
409	La Grande Borne	Clermont-Ferrand	Plein air		Chasséen ancien-récent	Bonne	Bonnes
410	Pontcharaud II	Clermont-Ferrand	Plein air		Chasséen ancien-récent	Moyenne	Aucune
411	Rue de l'Oradou	Clermont-Ferrand	Plein air		Epicardial	Bonne	B/M
412	Boulevard Joseph Girod	Clermont-Ferrand	Plein air		NM1	Bonne	Bonnes
413	Quartier du Changil	Clermont-Ferrand	Plein air		Chasséen ancien-récent	Moyenne	Aucune
414	Rue des Quatre Passeports	Clermont-Ferrand	Plein air		Epicardial	Moyenne	Aucune
415	Le Brézet-Est	Clermont-Ferrand	Plein air		Epicardial	Bonne	Aucune
416	Le Creux Rouge	Clermont-Ferrand	Plein air		NM1	Excellente	Bonnes
417	Oppidum des Côtes	Clermont-Ferrand	Plein air		Néolithique ancien	Moyenne	Médiocres
					Chasséen ancien	Moyenne	Aucune

BASSIN AQUITAIN**CHARENTES-MARITIMES**

N°	Site	Commune	Type de site	US	Faciès	Confiance	Dates
418	Port-Punay	Châtellaiillon-Plage	Plein air	US9, US10 St. 39	NACA	Excellente	B/M
419	La Pierre-Saint-Louis	Geay	Plein air		NM1	Excellente	B/M
420	Les Ouchettes	Plassay	Plein air		NACA	Médiocre	Médiocres
421	La Garde	Barzan	Plein air		NACA	Excellente	B/M
422	Diconche	Saintes	Plein air		NM1	Médiocre	Aucune
423	Les Orgeries	Courcoury	Plein air		NACA	Médiocre	Aucune
424	Le Lit de la Charente	Chérac	Plein air		NACA	Médiocre	Médiocres
425	Grotte du Bois-Bertaud	Saint-Léger	Grotte-Abri		NM1	Médiocre	Médiocres
426	Germignac	Germignac	Plein air		NACA	Moyenne	Bonnes
427	La Grande Prairie	Vibrac	Plein air		NACA	Médiocre	Aucune

CHARENTE

N°	Site	Commune	Type de site	US	Faciès	Confiance	Dates
428	Font-Rase	Barbezieux-Saint-Hilaire	Plein air		NACA	Médiocre	Aucune
429	Font-Belle	Ségonzac	Plein air		NACA	Médiocre	Aucune
430	L'île des Bois	Saint-Simon	Plein air		NM1	Médiocre	Aucune
431	Le Peu	Charmé	Plein air		NM1	Excellente	Bonnes
432	Jurignac	Jurignac	Plein air	St. 125	NACA	Moyenne	Aucune
433	Grotte du Quéroy	Chazelles	Grotte-Abri		NM1	Moyenne	Médiocres

DORDOGNE

N°	Site	Commune	Type de site	US	Faciès	Confiance	Dates
434	La Grande Allée	Aubeterre-sur-Dronne	Plein air		NM1	Médiocre	Aucune
435	Garage Citroën	Brantôme	Plein air		NM1	Médiocre	Aucune
436	Saint-Laurent de Gogabaud	Condat-sur-Trincou	Plein air		NA Continental	Médiocre	Aucune
437	Grotte des Barbilloux	Saint-Aquilin	Grotte-Abri		Roquefort	Moyenne	Médiocres
438	Grotte de Campniac	Coulounieix-Chamiers	Grotte-Abri		Roquefort	Médiocre	Aucune
439	Le Muguet Ouest 1	Saint-Rabier	Plein air		NM1	Moyenne	Médiocres
440	Grotte de Rouffignac	Rouffignac-Saint-Cernin-de-Reilhac	Grotte-Abri	C2	NA Continental	Médiocre	Médiocres
				C2	Roquefort	Médiocre	Médiocres
441	Abri de Pageyral	Les-Eyzies-de-Tayac	Grotte-Abri		NA Continental	Médiocre	Aucune
442	Abri de la Laugerie Basse	Les-Eyzies-de-Tayac	Grotte-Abri		Roquefort	Médiocre	Aucune
443	Abri du Squelette	Les-Eyzies-de-Tayac	Grotte-Abri		NM1	Médiocre	Aucune

LOT-ET-GARONNE

N°	Site	Commune	Type de site	US	Faciès	Confiance	Dates
444	Abri du Martinet	Sauveterre-la-Lémance	Grotte-Abri		NA Continental	Médiocre	Aucune
					NM1	Médiocre	Aucune
445	La Borie-del-Rey	Blanquefort-sur-Briolance	Grotte-Abri		NA Continental	Médiocre	Aucune
446	Verteuil-d'Agenais	Verteuil-d'Agenais	Plein air		NM1	Médiocre	Aucune

GIRONDE

N°	Site	Commune	Type de site	US	Faciès	Confiance	Dates
447	Aux Bartos 2	Saint-Pey-de-Castets	Plein air		NA Continental	Moyenne	Aucune
448	Eperon de Roquefort	Lugasson	Plein air		NM1-Roquefort	Moyenne	Médiocres
				Plateau: C1-C2 ; Talus: C3	Roquefort	Moyenne	Médiocres
449	Roanne	Villegouge	Plein air		Roquefort	Médiocre	Aucune
450	Tumulus du Bernet	Saint-Sauveur	Plein air		Roquefort	Moyenne	Aucune
451	Le Peuilh	Vertheuil	Plein air		NM1	Moyenne	Aucune
					Roquefort	Moyenne	Aucune
452	La Balise	Soulac-sur-Mer	Plein air		NACA	Médiocre	Médiocres
453	L'Amélie	Soulac-sur-Mer	Plein air		NACA	Médiocre	Aucune
454	La Lède du Gulp	Grayan-et-l'Hôpital	Plein air	C8 a, b, c	NACA	Moyenne	Bonnes
				C7	NM1	Moyenne	Bonnes
455	Le Bétey	Andernos-les-Bains	Plein air		NACA	Médiocre	Aucune
					NM1	Médiocre	Aucune
456	Tumulus de Perbost	Saint-Morillon	Plein air		Roquefort	Moyenne	Aucune

LANDES

N°	Site	Commune	Type de site	US	Faciès	Confiance	Dates
457	Allée couverte d'Arboucave	Arboucave	Plein air		Roquefort	Moyenne	Aucune
458	Lamothe	Labatut	Plein air		NACA	Médiocre	Aucune

PYRENEES-ATLANTIQUES

N°	Site	Commune	Type de site	US	Faciès	Confiance	Dates
459	La grotte d'Apons	Sarrance	Grotte-Abri	C3 niv. 1b	NA Continental	Moyenne	Aucune
460	Mont T1	Mont	Plein air		Roquefort	Médiocre	Aucune
461	Moulligna	Bidart	Plein air		NA Continental	Moyenne	Aucune

HAUTE VALLEE DE L'EBRE**NAVARRRE**

N°	Site	Commune	Type de site	US	Faciès	Confiance	Dates
462	Cueva de Abauntz	Arraitz	Grotte-Abri	b4	Neolítico Pleno	Moyenne	Médiocres
463	Abrigo de Padre Areso	Bigüézal	Grotte-Abri	Niv. IIIa ou II	Neolítico Pleno	Bonne	Bonnes
464	Urbasa 11	Urbasa-Lóquiz-Estella	Plein air		Neolítico Pleno	Médiocre	Aucune
465	Los Cascajos	Los Arcos	Plein air	Fase I	NA II	Excellente	B/M
				Fase II	Neolítico Pleno	Excellente	B/M
466	Abrigo de La Peña	Marañón	Grotte-Abri	Niv. d sup	Neolítico Pleno	Moyenne	Médiocres

ÁLAVA

N°	Site	Commune	Type de site	US	Faciès	Confiance	Dates
467	Abrigos de Los Husos I y II	Elvillar	Grotte-Abri	Niv. XV (HI) et niv. V-VI-VII (HII)	Neolítico Pleno	Bonne	Bonnes
468	Larrenke Norte	Mijancas-Santurde	Plein air	Paquete III	Neolítico Pleno	Moyenne	Bonnes
469	Fuente Hoz	Anúcita	Plein air	Niv I	Neolítico Pleno	Bonne	Bonnes

ANNEXE II : REFERENTIEL ACTUALISTE POUR L'IDENTIFICATION DES MACROTRACES TECHNIQUES : LES PRODUCTIONS CERAMIQUES WOLOYTA ET OROMO (REGIONS ARSI ET WEST ARSI, ETHIOPIE)

I. Contexte de l'enquête ethnoarchéologique

L'Éthiopie est aujourd'hui subdivisée en huit grandes régions fédérales. Notre fenêtre d'étude se situe au cœur de la région Oromiya dans le centre de la vallée du rift qui constitue l'une des plus grandes régions de l'Éthiopie, elle-même segmentée en 19 zones administratives. Le programme de recherche ethnoarchéologique intitulé « *Diffusion and transmission of ceramics techniques and styles in the Ethiopian Rift: Ethnoarchaeological studies of Oromo, Wolayta and Wata potters communities (Arsi Zone West Arsi Zone, Oromiya Region)* », mené sous la direction de J. Cauliez et C. Manen de 2011 à 2015, s'est déroulé en zone Arsi et en zone ouest Arsi¹ (Cauliez *et al.*, 2017). Ces zones sont situées sur les hauts plateaux éthiopiens entre 2000 et 4000 m d'altitude, proche des grands lacs Abiyata, Langano et Ziway, où vivent des communautés de potières se rapportant à deux groupes ethniques distincts, les Wolayta et les Oromo, vivant dans deux localités distinctes, Goljoota et Qarsa (fig. 1).

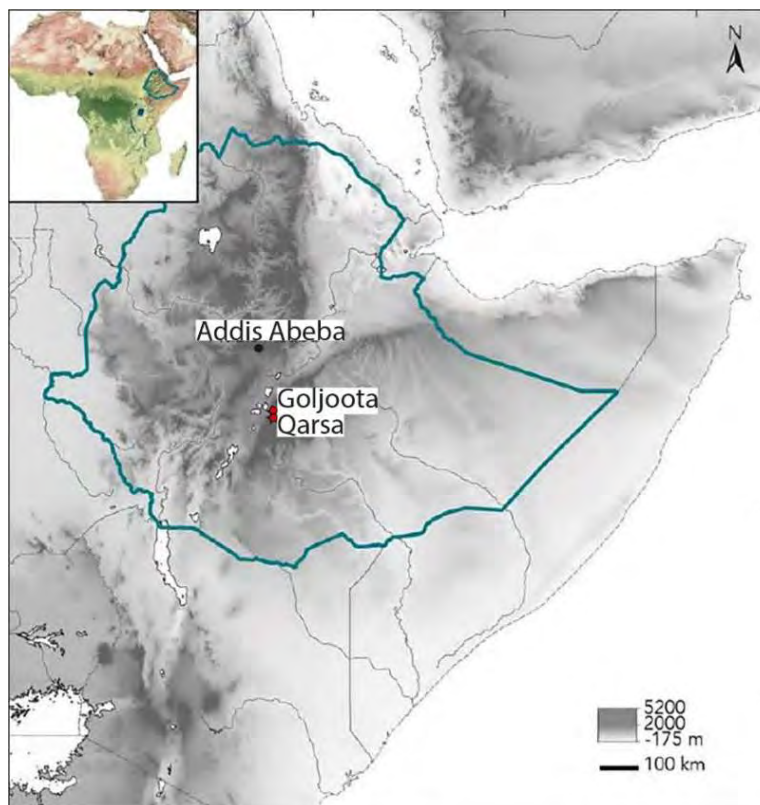


Figure 1 : localisation de la zone d'enquête ethnoarchéologique et des villes de Goljoota et Qarsa (d'après Cauliez *et al.*, 2017).

¹ Ces recherches ont été accrédités et financés par la fondation Fyssen, par l'Agence Nationale de la Recherche dans le cadre du projet DiffCeram (dir. V. Roux, UMR 7055 PréTech), par le Centre Français des Etudes Ethiopienne à Addis, par l'agence gouvernementale éthiopienne pour la conservation du patrimoine, l'ARCCH (Authority for Research and Conservation of Cultural Heritage) et par l'UMR 5608 Traces de Toulouse.

La ville de Goljoota rassemble environ 9900 habitants et différentes populations : les Oromo qui sont majoritaires, les Amhara, les Woloyta, les Tigrea, les Gurage et les Kambata. L'économie est fondée sur l'agriculture et l'élevage mais différents artisanats sont également pratiqués tels que la poterie, la métallurgie, le tissage, la vannerie, le travail du bois et des peaux et la distillerie. La ville de Qarsa compte plus de 10 000 habitants, principalement Oromo qui vivent majoritairement de l'agriculture, complétée d'un peu d'élevage. L'ensemble de la zone bénéficie de sols fertiles et d'un climat propice à la culture céréalière et vivrière (*Ibid.* ; fig. 2).



Figure 2 : photographies du paysage entre les sources d'argile et les maisons ou le quartier des potières. 1 : Goljoota en 2013 ; 2 : Qarsa en 2014.

Les potières Woloyta de Goljoota parlent le Woloytania et ne sont pas originaires de la région Oromya. Elles sont nées dans la région SNNPR (Southern Nations, Nationalities, and People's Region), à l'ouest de la région Oromya, qu'elles ont quitté en raison de la dégradation de la situation politique, commerciale et sanitaire. Les Woloyta sont chrétiens orthodoxes ou protestants. Les potières Oromo de Qarsa parlent l'Afaan Oromo. Le groupe ethnique Oromo présente une importante variabilité culturelle et linguistique mais ces populations partagent néanmoins un système socio-politique, économique et administratif traditionnel, nommé « système *Gada* ». D'un point de vue religieux, la majorité des Oromo sont aujourd'hui chrétiens orthodoxes et protestants, musulmans, ou suivent le système de croyance traditionnel nommé *Wakefana (Waqeffannaa)*. Le système de filiation de ces différentes communautés est patrilinéaire. Les résidences post-maritales sont patrilocales et les réseaux matrimoniaux sont denses (*Ibid.*).

Les potières Woloyta habitent un quartier de Goljoota bien délimité à proximité de la rivière et des sources d'extraction. La communauté comprend actuellement une trentaine de noyaux familiaux, tous liés par le sang ou par l'alliance. En raison de leur migration récente en région Oromiya (environ une trentaine d'années auparavant), les Woloyta n'ont pas de terre et l'artisanat potier constitue leur principale source de revenus. Les potières Oromo, pratiquent souvent leur activité à temps partiel puisque l'agriculture fonde l'économie de subsistance. Les Oromo sont généralement propriétaires de leurs terres. Trente unités familiales de potières sont installées dans des habitats dispersés en aval de l'agglomération de Qarsa. Toutes sont originaires de la région, nées dans les environs proches mais ne sont pas toutes issues d'une famille de potiers. Elles ont parfois choisi de pratiquer la poterie tardivement pour obtenir des revenus supplémentaires. Dans tous les cas, la poterie est une activité essentiellement féminine. Les productions concernent des récipients à usage domestique, produits dans un cadre domestique, sans énergie cinétique rotative. Cependant, les volumes de production permettent de dégager un excédent qui est écoulé sur des marchés voisins de plus ou moins grande taille. Ainsi, les deux communautés se côtoient, puisqu'elles se retrouvent plusieurs jours par semaine dans un secteur du marché de Goljoota (Roux *et al.*, 2017 ; fig. 3).



Figure 3 : photographies des étals de potières au marché de Goljoota en 2013 et 2015. 1 : production Woloyta ; 2 : production Oromo.

Nous avons répertorié 20 types de récipients différents au sein des productions Woloyta et 18 types dans les productions Oromo. Les deux communautés ont en commun 15 types de mêmes fonctions, mais qui divergent tant dans le style que dans les techniques employées pour les confectionner. En revanche, certains types sont exclusivement réalisés par l'une ou l'autre des communautés (fig. 4 et 5). D'autres sont produits par les deux communautés mais constituent des monopoles sur le marché de Goljoota tels que le plat à injera² (*Bashe*), uniquement vendu par les Woloyta, ou les cafetières (*Jabana*) qui sont l'exclusivité des Oromo (*Ibid.*).

² Galette de teff qui fait partie des produits alimentaires de base en Ethiopie.

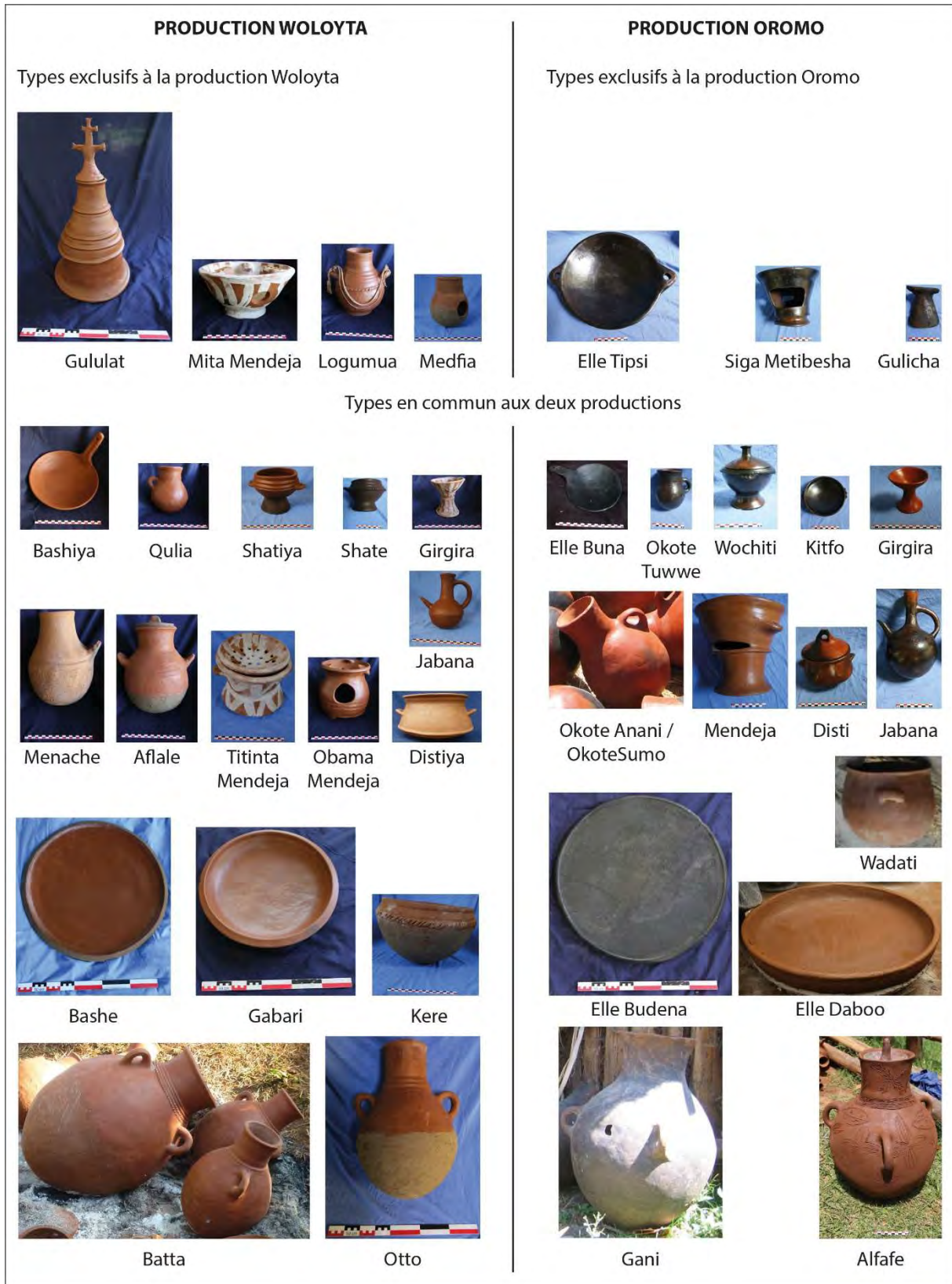


Figure 4 : photographies des différents types de récipients répertoriés dans les productions Woloyta et Oromo.

Nom Woloyta	Nom Oromo	Fonction
Gululat		Epi de façage
Mita Mendeja		Braséro à bois
Logumua		Transport d'aliments offerts à l'occasion de cérémonies
Medfia		Couvercle de jarre à alcool pour la distillation
	Elle Tipsi	Présentation de la viande
	Siga Metibesha	Chauffe-plat pour consommer la viande
	Gulicha	Support de plat pour la cuisson des galettes de teff, fonctionne par trois
Bashiya	Elle Buna	Poêle à griller le café
Qulia	Okote Tuwwe	Récipient à lait, à puiser ou à boire
Shatiya	Wochiti	Présentation des aliments
Shate	Kitfo	Présentation des aliments
Girgira	Girgira	Brûleur d'encens
Menache	Okote Anani	Fabrication du beurre
Aflale	Okote Sumo	Cuisson des aliments
Titinta Mendeja	Mendeja	Braséro à charbon
Obama Mendeja		
Distiya	Disti	Cuisson ou présentation des aliments
Jabana	Jabana	Cafetière
Bashe	Elle Budena	Cuisson des galettes de teff
Gabari	Elle Daboo	Cuisson du pain
Kere	Wadati	Préparation des aliments
Batta	Gani	Conservation des liquides, notamment de la bière
Otto	Alfafe	Conservation des liquides et distillation

Figure 5 : liste des différents types de récipients des productions Woloyta et Oromo et indication de la fonction principale qui leur est associée.

II. Protocole d'élaboration du référentiel technique

Notre méthode de terrain se compose de deux axes principaux impliquant plusieurs protocoles. Le premier correspond à la documentation de l'artisanat potier, nécessaire à la contextualisation de nos recherches. Il permet d'aborder les chaînes opératoires mises en œuvre ainsi que le contexte ou l'organisation de la production (identité sociale et statut de l'artisan, ses réseaux, son degré d'expertise, etc.). Nous avons ainsi développé un enregistrement systématique des techniques par la photographie et les films, soutenu par une série de questionnaires standardisés (fig. 6, n°1 et 2). Le second axe se rapporte à la collecte du mobilier pour le référentiel technique. L'objectif est d'acquérir un échantillon représentatif qui pourra être caractérisé selon des approches archéométriques, technologiques et tracéologiques pour décrire les différents paramètres propres à chaque production, par exemple les contraintes physiques liées aux matériaux (Borgen, 2016), les contraintes et les conséquences liées à la fonction des vases, ou le rôle des outils. Nous avons donc effectué des prélèvements dans les sources d'approvisionnement des potières, des prélèvements sur le matériau à chaque stade de sa transformation, collecté des vases neufs et utilisés ainsi que des outils (fig. 6, n°3 à 6). Le référentiel rassemble à ce jour 45 vases ou tessons de la production Woloyta et 24 vases ou tessons de la production Oromo. Pour chacun de ces éléments nous renseignons le type, la provenance, la fonction, la chaîne opératoire de fabrication, puis nous procédons à la description typologique et technologique du vase ou du tesson en établissant la corrélation entre stigmates et

techniques, mais aussi, le cas échéant, la corrélation entre stigmates et utilisation. Les stigmates sont alors documentés par des photographies macroscopiques et à la loupe binoculaire.



Figure 6 : illustration du protocole d'enquête. 1 : enregistrement photographique et filmographique des techniques ; 2 : entretien avec une potière ; 3 : Prélèvement dans une source d'argile ; 4 : prélèvement sur un vase en cours de façonnage ; 5 : vue d'ensemble des vases acquis durant la campagne de 2015 ; 6 : principaux outils d'une potière Woloyta.

Dans le cadre de nos travaux de thèse, nous nous sommes essentiellement intéressés aux séquences du façonnage, des finitions, de la cuisson et des traitements de surfaces pré- et post-cuisson qui constituent les principales séquences étudiées dans notre corpus archéologique. Notre présentation du référentiel technique éthiopien est ainsi concentrée sur ces aspects et fait abstraction de la documentation concernant les matières premières, la préparation de la pâte, l'ajout de préhensions ou de pieds, les opérations d'ajourage ou de perforation et les décors. Nous décrivons donc dans les parties suivantes les techniques impliquées dans les différentes chaînes opératoires Woloyta et Oromo qui ont servi de support à l'interprétation des macrotraces observées dans nos séries archéologiques (Cf. Partie 2).

III. Les chaînes opératoires Woloyta

L'étude des séquences du façonnage, des finitions, de la cuisson et des traitements de surface pré- et post-cuisson de la tradition céramique Woloyta permet d'établir 12 chaînes opératoires pour la production de 20 types de récipients différents et quatre couvercles ou coupelles (fig. 7). La plupart de ces chaînes opératoires sont réunies dans l'étape d'ébauchage et dans le début de l'étape du préformage qui apparaissent très homogènes malgré quelques variantes que nous détaillerons ensuite. L'emploi ou non de la technique du repoussage marque une première distinction à partir du préformage, puis les variantes s'expriment dans la combinaison des techniques de finitions et de traitements de surface. Tous les vases de la production hebdomadaire sont cuits de manière simultanée dans la même structure de cuisson.

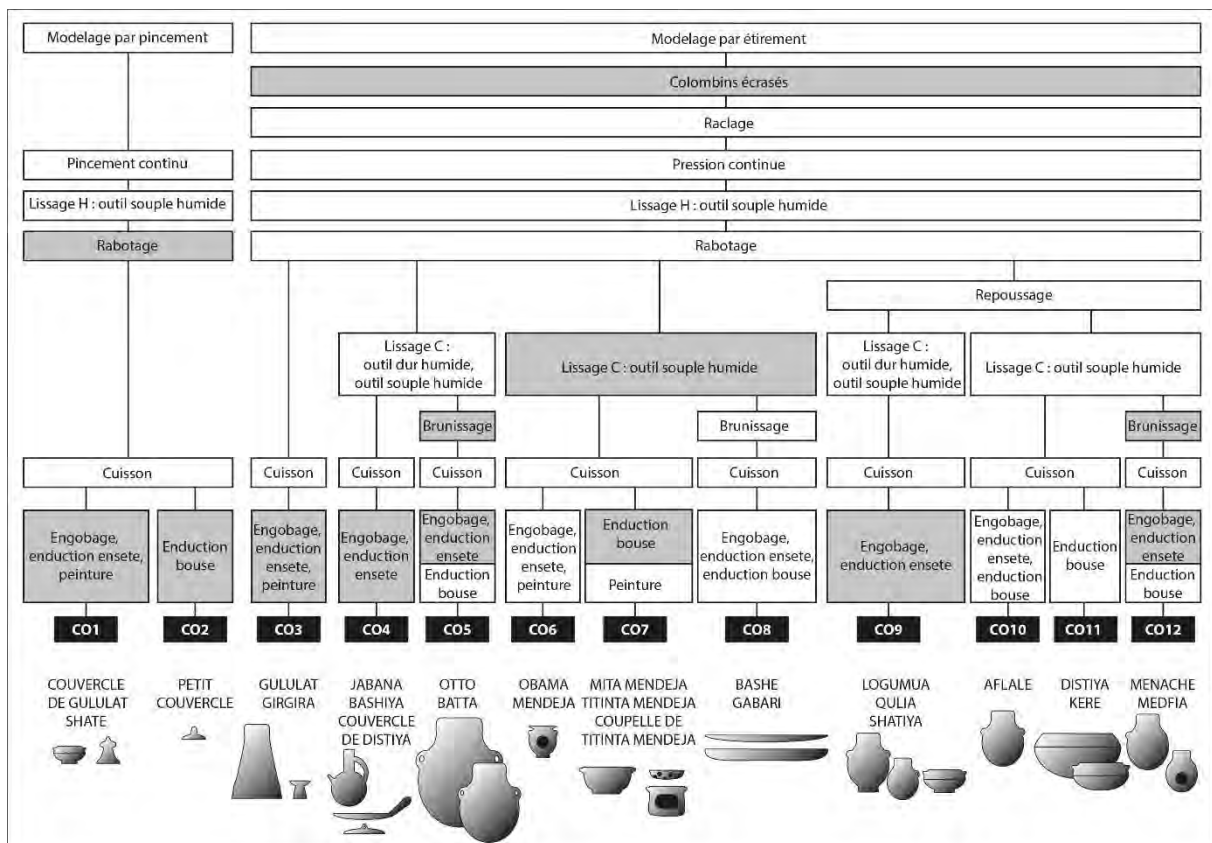


Figure 7 : restitution synthétique des chaînes opératoires de la tradition Woloyta. Les cases en gris indiquent des opérations non systématiques ; Lissage H = Lissage sur pâte humide ; Lissage C = Lissage sur pâte cuir ; Ensete = racine du bananier d'Abyssinie (cf. infra).

L'ébauchage peut mobiliser trois techniques : le modelage par pincement, le modelage par étirement et le colombinage. Le modelage par pincement correspond exclusivement aux chaînes opératoires CO1 et CO2, réservées aux vases de très petite dimension (*Shate*) ou aux petits couvercles. La potière prélève à la main une petite quantité de pâte. La masse de pâte est creusée entre les mains de la potière par pressions discontinues (fig. 8). En modelant la masse de pâte, la potière réalise dans le même temps l'ébauchage et le début du préformage.



Figure 8 : modelage d'un petit couvercle par pressions discontinues.

Le modelage par étirement concerne toutes les autres chaînes opératoires de la production. La potière prélève à la main la quantité de pâte nécessaire à la réalisation d'un vase. L'estimation de la bonne quantité de pâte requise se fait par expérience, très peu de pâte étant généralement retirée ou ajoutée par la suite. Deux variantes ont été observées selon la forme finale recherchée. Dans la plupart des cas, la potière procède au malaxage et à la mise en forme d'une motte conique par pression et rotation de la masse de pâte (fig. 9, n°1). Cette motte est ensuite jetée pointe vers le bas sur un petit support de bâche en plastique étalé au sol de manière à former un cylindre que les potières creusent à l'aide des poings (fig. 9, n°2). Dans le cas de vases plats (*Bashe, Gabari*) ou de très grande dimension (*Batta*), l'ébauche se présente sous la forme d'une galette grossière que les potières écrasent sur un petit support de bâche en plastique étalé au sol (fig. 9, n°3).



Figure 9 : modelage par étirement d'une masse d'argile. 1 : malaxage et mise en forme d'une motte conique ; 2 : creusement/étirement au poing de la motte conique ; 3 : creusement/étirement d'une galette.

La technique du colombinage peut intervenir dans un second temps. Elle est réservée aux types de très grande dimension (*Batta*), de forme particulière (*Gululat*) ou plus ponctuellement pour le façonnage des cols (*Jabana*) ou encore du fond (*Otto*) lorsque la quantité de pâte n'est pas suffisante. Après une première étape de préformage, la potière prélève à la main une petite quantité de pâte pour former un colombin grossier qu'elle écrase en long par pressions discontinues contre la face interne de la paroi, la face externe ou de manière alternée selon les potières (fig. 10, n°1 et 2). Cette

opération est répétée autant de fois que nécessaire pour façonner toute la partie manquante du vase. Lorsque que le colombinage est réalisé en plusieurs phases interrompues par un temps de séchage (*Batta*), la jonction entre les deux parties du vase est précédée d'une opération de guillochage qui consiste à strier la paroi dans l'épaisseur à l'aide d'un bâton pour renforcer l'adhésion du premier colombin sur la pâte cuir, moins plastique (fig. 10, n°3).



Figure 10 : colombinage. 1 et 2 : écrasement d'un colombin pour le façonnage d'un Gululat ; 3 : écrasement d'un colombin après une opération de guillochage de la paroi pour le façonnage d'une Batta.

Le préformage peut se dérouler en une à trois phases selon les vases et peut mobiliser jusqu'à quatre techniques différentes : le raclage, la pression continue, le rabotage et le repoussage. Le raclage intervient dans le prolongement du modelage par étirement, lorsque la pâte est encore humide. La potière étire les parois du cylindre vers le haut à l'aide des doigts ou d'un outil semi-rigide comme une pièce de jean repliée plusieurs fois sur elle-même. Elle réalise d'une main des gestes linéaires verticaux sur la face externe tout en se déplaçant autour de l'ébauche, tandis que l'autre main sert de soutien contre la face interne (fig. 11, n°1). La pression exercée sur la paroi permet d'amincir l'épaisseur du vase et de profiler la préforme. Dans le cas des ébauches en galette, la potière réalise d'une main des gestes linéaires horizontaux qui poussent la pâte vers l'extérieur, en se déplaçant autour de l'ébauche (fig. 11, n°2). La pression exercée sur la paroi permet d'élargir le vase et d'homogénéiser son épaisseur. Si le vase est façonné en plusieurs phases, une autre opération de raclage intervient après un temps de séchage pour la seconde partie du vase. Dans certains cas (*Batta, Gululat, Jabana, Otto*), elle peut être liée à l'étirement de colombins. Dans d'autres cas (*Jabana, Otto*), une réserve de pâte maintenue humide contre le support en plastique est creusée à la main puis rabattue progressivement contre la paroi du vase. Les potières étirent ensuite la pâte vers le haut jusqu'à former le fond arrondi (fig. 11, n°3 et 4).



Figure 11 : raclage. 1 : raclage vertical ; 2 : raclage horizontal ; 3 : creusement de la réserve de pâte ; 4 : raclage vertical de la réserve de pâte pour former le fond arrondi.

Le préformage par pression continue intervient immédiatement après le raclage, lorsque la pâte est encore humide. La potière met en forme la lèvre, aménage un col ou l'orientation du bord par un geste rotatif horizontal, à l'aide d'un tissu chargé en eau et en se déplaçant autour de la préforme (fig. 12). Cette opération est généralement mêlée à la séquence des finitions et parfois des décors (réalisation de cannelures horizontales par pression des doigts). Elle est suivie d'un temps de séchage d'une demi-journée au moins³ et jusqu'à deux jours pour les vases de très grande dimension (*Batta*), durant lequel le vase est entreposé à l'ombre sur un support de bâche en plastique qui permet de conserver une partie plus humide (réserve de pâte). Cette technique est employée dans toutes les chaînes opératoires.

³ Les temps de séchage peuvent toutefois varier en fonction des saisons sèche ou humide.



Figure 12 : Pression continue. 1 : mise en forme du bord d'un petit couvercle ; 2 : mise en forme du col et de la lèvre d'une Otto ; 3 : mise en forme du bord d'un Bashe ; 4 : mise en forme du bord d'un Kere et réalisation de décors.

Le rabotage intervient de manière quasi systématique dans toutes les chaînes opératoires après un temps de séchage, lorsque la pâte est à consistance cuir. La potière détache des copeaux de pâte de la surface des récipients à l'aide d'un couteau en métal, d'une pièce courbe en métal ou encore d'une côte de bovidé (fig. 13). Cette technique est principalement destinée à amincir la paroi du vase, en particulier le fond ou l'ensemble de la surface externe des vases plats. Dans certains cas (*Batta, Jabana, Logumua, Otto*), le rabotage est réalisé dans un premier temps sur toute la panse jusqu'à la base du col et une seconde opération de rabotage intervient pour la partie inférieure du vase. Cette technique permet également de régulariser la courbure de la paroi et éventuellement d'accentuer la rupture de profil. Le surplus de pâte éliminé est recyclé. Au cours de cette opération, la potière peut ajouter ponctuellement de petits amas de pâte pour régulariser l'épaisseur de la paroi. Le rabotage est préférentiellement réalisé sur la surface externe des vases. Néanmoins, quelques cas de rabotage interne ont été observés. Le rabotage interne peut être localisé au niveau de la jonction entre les deux éléments pour préparer la paroi à la pose d'un nouveau colombin de la même manière que le guillochage (*Batta, Gululat*) ou employé pour des formes particulières de petite dimension (couvercle de *Gululat*, piédestal du *Girgira*). Dans le cas de vases de grande dimension (*Batta, Otto*), le rabotage de la face externe est doublé par un rabotage interne afin de diminuer le poids du vase et de faciliter sa manipulation.



Figure 13 : rabotage. 1 : rabotage externe de la panse d'une Otto ; 2 : rabotage du fond d'un Bashe ; 3 : rabotage du fond d'un Distiya et mise en forme de la carène.

Le repoussage est lié à la mise en forme d'un fond arrondi et éventuellement de la carène lorsque la pâte est à consistance cuir, immédiatement après le rabotage. La potière, en position assise et jambes tendues, place le vase sur ses genoux. Elle repousse progressivement la réserve de pâte maintenue humide contre le support en plastique par pression du poing contre la face interne, tandis que l'autre main sert de support contre la face externe (fig. 14). Cette technique concerne les chaînes

opératoires CO9 à CO12. Elle est employée pour les vases creux de petite à moyenne dimension dont l'ouverture est suffisamment large pour permettre le passage de la main.



Figure 14 : mise en forme du fond et de la carène d'un Distiya par repoussage.

La séquence des finitions consiste au lissage des surfaces. Plusieurs modalités de lissage ont été observées, parfois exécutées successivement sur un même vase. Un premier lissage sur pâte humide est mêlé aux premières étapes de préformage de toutes les chaînes opératoire (fig. 15, n°1). La potière utilise un tissu au préalable trempé dans l'eau (plus rarement sa main), pour régulariser la surface de la préforme selon un geste rotatif horizontal. Le lissage est réalisé sur le bord ou le col et la panse. Le lissage sur pâte humide est réalisé sur la surface externe des vases à ouverture rétrécie et sur la surface interne des vases plats ou évasés. Le lissage sur pâte cuir intervient après toutes les étapes de préformage mais diffère selon les chaînes opératoires. Dans le cas des chaînes opératoire CO4, CO5 et CO9, la potière régularise les surfaces externes rabotées à l'aide d'un objet plat et dur préalablement trempé dans l'eau tel qu'une lame de bambou, un os ou le plat d'un couteau. Elle effectue des gestes linéaires verticaux (fig. 15, n°2). Certaines parties de certains vases, souvent destinées à être enduites post-cuisson, sont laissées brutes de rabotage. Ainsi, le lissage sur pâte cuir peut être réalisé sur la panse (*Batta, Otto*) ou sur la panse et le fond (*Bashiya, Couvercle de Distiya, Jabana, Logumua, Qulia, Shatiya*). Enfin, un second type de lissage sur pâte cuir à l'aide d'un outil souple préalablement trempé dans l'eau (tissu ou estèque en caoutchouc⁴) peut être réalisé (fig. 15, n°3). Dans le cas des chaînes opératoire CO4, CO5 et CO9, cette opération intervient à la suite du premier lissage sur pâte cuir à l'outil dur. Pour les chaînes opératoires CO6, CO7, CO8, CO10, CO11 et CO12, ce lissage consiste à améliorer la régularité des surfaces internes ou externes de la panse (*Aflale, Bashe, Distiya, Gabari, Kere, Medfia, Menache*) ou du fond raboté (*Obama Mendeja, Titinta Mendeja*), plus ou moins sommairement. Sur la surface externe, ce type de lissage est souvent lié à la pose de préhensions, de pieds ou à la régularisation de certains décors (cannelures digitées).

⁴ L'usage d'outils en caoutchouc ou en verre (cf. *infra*) est bien évidemment incompatible avec notre corpus archéologique. Ces opérations sont décrites ici afin de compléter la documentation des étapes de finitions et de traitements de surface mais les vases ayant subi l'intervention de ces types d'outil ne sont pas pris en compte dans notre référentiel des états de surface (cf. Partie 2).



Figure 15 : différentes modalités de lissage. 1 : lissage sur pâte humide à l'aide d'un outil souple humide (tissu) de la surface interne d'une coupelle de Titinta Mendeja ; 2 : lissage sur pâte cuir à l'aide d'un outil dur humide (bois) de la surface externe d'une Otto ; 3 : lissage sur pâte cuir à l'aide d'un outil souple humide (estèque en caoutchouc) de la surface interne d'un Kere ; 4 : lissage sur pâte cuir à l'aide d'un outil souple (estèque en caoutchouc) de la surface interne d'un Bashe.

La seule technique de traitements de surface pré-cuisson observée est le brunissage qui ne s'applique qu'aux vases des chaînes opératoires CO5, CO8 et CO12. Cette opération intervient après un nouveau temps de séchage d'environ une journée. Les potières procèdent au frottement de la surface à consistance quasi-sèche à l'aide d'un outil dur et lisse, généralement un galet et parfois une petite bouteille en verre. Cette technique est employée sur la surface interne des vases plats (*Bashe, Gabari*) afin de l'adoucir et de la préparer aux enductions post-cuisson. La potière effectue d'abord des gestes linéaires à l'intérieur du plat, puis des gestes rotatifs sous le bord (fig. 16, n°1). Le brunissage est également réalisé sur la surface externe de certains vases à col (*Medfia, Menache, Otto, Batta*) mais de manière moins systématique et selon des procédés qui varient selon les potières : la totalité de la partie supérieure du vase peut être brunie ou uniquement le col, le brunissage peut être couvrant ou en bandes alternées de plages non brunies créant ainsi un motif qui reste visible après la cuisson

(fig. 16, n°2 et 3). Le brunissage des vases à col se rattache sans doute plus à des préoccupations d'ordre esthétique.



Figure 16 : traitements de surface pré-cuisson. 1 : brunissage de la surface interne d'un Bashe à l'aide d'un galet ; 2 : brunissage du col d'une Otto à l'aide d'un galet ; 3 : autre exemple de brunissage de la surface externe d'une Otto (état de surface après cuisson).

Comme évoqué en introduction, la cuisson est identique pour toutes les chaînes opératoires puisque les vases sont cuits au sein d'une même structure en meule. Chaque potière réalise sa propre cuisson à même le sol devant sa maison et toujours au même endroit, généralement la veille du marché. Certains vases dont le séchage ne peut pas aboutir à temps pour la cuisson subissent une opération de pré-cuisson (fig. 17, n°1). Les potières placent les vases autour d'un foyer, puis les braises sont recueillies et versées directement à l'intérieur des vases. Pour préparer leur structure de cuisson, les potières répandent en cercle du bois débité en copeaux grossiers. Puis elles installent un support central en disposant les plus gros vases (*Batta, Otto*) ou en superposant des vases cassés déjà cuits (fig. 17, n°2). Les plats (*Bashe, Gabari*) sont disposés à la verticale autour du support central et se chevauchent partiellement. Ils sont séparés et calés entre eux par des tessons de vases cassés pour permettre à l'air de circuler lors de la cuisson. Les plus petits vases sont placés par-dessus le tout (fig. 17, n°3). Au sommet de la structure, les potières disposent des tessons de vases cassés pour faciliter la circulation de l'air entre les vases à cuire et le combustible. Certains pots cassés sont également disposés autour de la structure pour caler l'ensemble. Les braises de la pré-cuisson sont ensuite déversées au milieu des vases et attisées pour amorcer la combustion. Enfin, les potières disposent la masse de combustible : d'abord des tiges séchées sur le pourtour de la structure de cuisson, puis de la paille qui forme alors une meule recouvrant la totalité de la structure (fig. 17, n°4). Le feu est encore entretenu et la cuisson se poursuit durant la nuit sans besoin de recharger le dispositif en combustible. Les potières extraient les vases des cendres refroidies tôt le lendemain matin. Ce type de cuisson en meule permet d'obtenir essentiellement des atmosphères de fin de cuisson oxydantes et les vases cuits sont de couleur rouge malgré quelques traces noires dues aux coups de feu. Hommes et enfants participent aux préparatifs et à l'allumage du feu.



Figure 17 : opérations relatives à la cuisson des vases. 1 : dispositif de pré-cuisson ; 2 : installation du support central ; 3 : disposition des vases à cuire et des tessons ou vases de calage ; 4 : aspect final de la structure en meule.

Suite à l'extraction des vases de la structure de cuisson et avant d'apporter leur production sur le marché, les potières réalisent plusieurs types d'opérations post-cuisson. Les traitements post-cuisson sont réalisés par enduction ou peinture et peuvent être associés sur un même vase, voire superposés. Les diverses combinaisons permettent encore de distinguer les chaînes opératoires. La première étape consiste à engober certaines surfaces. La potière utilise une argile « pourpre » différente de celle employée pour le façonnage des vases qu'elle dilue dans l'eau pour créer l'engobe. Elle enduit ensuite la surface des vases par frottements à l'aide d'un tissu trempé dans l'engobe (fig. 18, n°1). Seules les surfaces visibles, lissées ou brunies sont engobées. Selon le type de vase, l'engobage est ainsi réalisé sur la surface externe (*Bashiya, Distiya, Couvercle de Distiya, Girgira, Gulutat, Couvercle de Gululat, Jabana, Logumua, Obama Mendeja, Qulia, Shate, Shatiya*) ou sur la surface interne (*Bashe, Bashiya, Gabari*). L'engobage est plus rarement réalisé sur la partie supérieure des vases à col (*Aflale, Batta, Medfia, Menache, Otto*). Cette technique permet de masquer les traces noires dues aux coups de feu pendant la cuisson pour obtenir une surface uniformément rouge et parfois de réparer les petites fissures de séchage ou de cuisson. Ensuite, la potière utilise une décoction de racines d'*ensete ventricosum* (*etima*), autrement appelé « faux bananier » ou « bananier d'Abyssinie » pour enduire à nouveau les surfaces à l'aide d'un morceau de sac en plastique (fig. 18, n°2). Cet enduit permet de protéger l'engobe et de rendre la surface brillante, tel un vernis. Cette technique est employée sur tous les vases dont la surface externe ou interne est engobée. Une troisième enduction peut être réalisée sur les surfaces non engobées. La potière utilise de la bouse fraîche qu'elle applique à la main uniquement sur les surfaces externes des vases, préférentiellement laissées brutes de rabotage (fig.

18, n°3). Cette technique est ainsi employée sur le fond des vases à col ou des vases creux (*Aflale, Batta, Distiya, Kere, Menache, Medfia, Mita Mendeja, Otto*), la face externe du bord des vases plats (*Bashe, Gabari*) ou les petits couvercles. L'enduit de bouse de vache est considéré comme une ornementation, peut-être valorisée par la symbolique du bétail. Il permet également de masquer les traces noires dues aux coups de feu pendant la cuisson. La dernière opération consiste à appliquer une peinture sur les surfaces préalablement engobées et enduites d'*ensete* ou simplement lissées. La potière utilise une roche crayeuse blanche qu'elle se procure au marché. La roche est réduite en poudre et diluée dans l'eau avec de la cendre. La potière emploie ce mélange pour tracer des motifs, parfois presque couvrants, sur la surface de certains vases (*Girgira, Gulutat, Couvercle de Gululat, Mita Mendeja, Obama Mendeja, Titinta Mendeja, Coupelle de Titinta Mendeja*), au doigt ou à l'aide d'un tissu (fig. 18, n°4).



Figure 18 : traitements de surface post-cuisson. 1 : engobage de la surface interne d'un *Bashe* ; 2 : enduction d'*ensete* de la surface interne d'un *Bashe* préalablement engobée ; 3 : enduction de bouse de vache de la surface externe du fond d'une *Otto* ; 4 : peinture sur *Titinta Mendeja*.

IV. Les chaînes opératoires Oromo

L'étude des séquences du façonnage, des finitions, de la cuisson et des traitements de surface pré- et post-cuisson de la tradition céramique Oromo permet d'établir cinq chaînes opératoires pour la production de 17 types de récipients différents⁵ (fig. 19). A la différence de la tradition Woloyta, les séquences du préformage, des finitions et plus encore des traitements de surface pré- et post-cuisson présentent une très faible variabilité. En revanche, l'ébauchage permet de distinguer totalement les chaînes opératoires CO1, CO2 et CO3 d'une part, de CO4 et de CO5 d'autre part. En outre, la chaîne opératoire CO5 renvoie à une production singulière, tant du point de vue des matières premières

⁵ Les chaînes opératoires de la grande jarre à bière (*Gani*) et des couvercles n'ont pas été documentées.

(ajout de chamotte) que des techniques et procédés de fabrication ou des modalités de cuisson, qui n'est pas mise en œuvre par toutes les potières Oromo. Elle dépend de potières spécifiquement impliquées dans cette production. Les vases issus des autres chaînes opératoires sont tous cuits simultanément au sein de la même structure de cuisson.

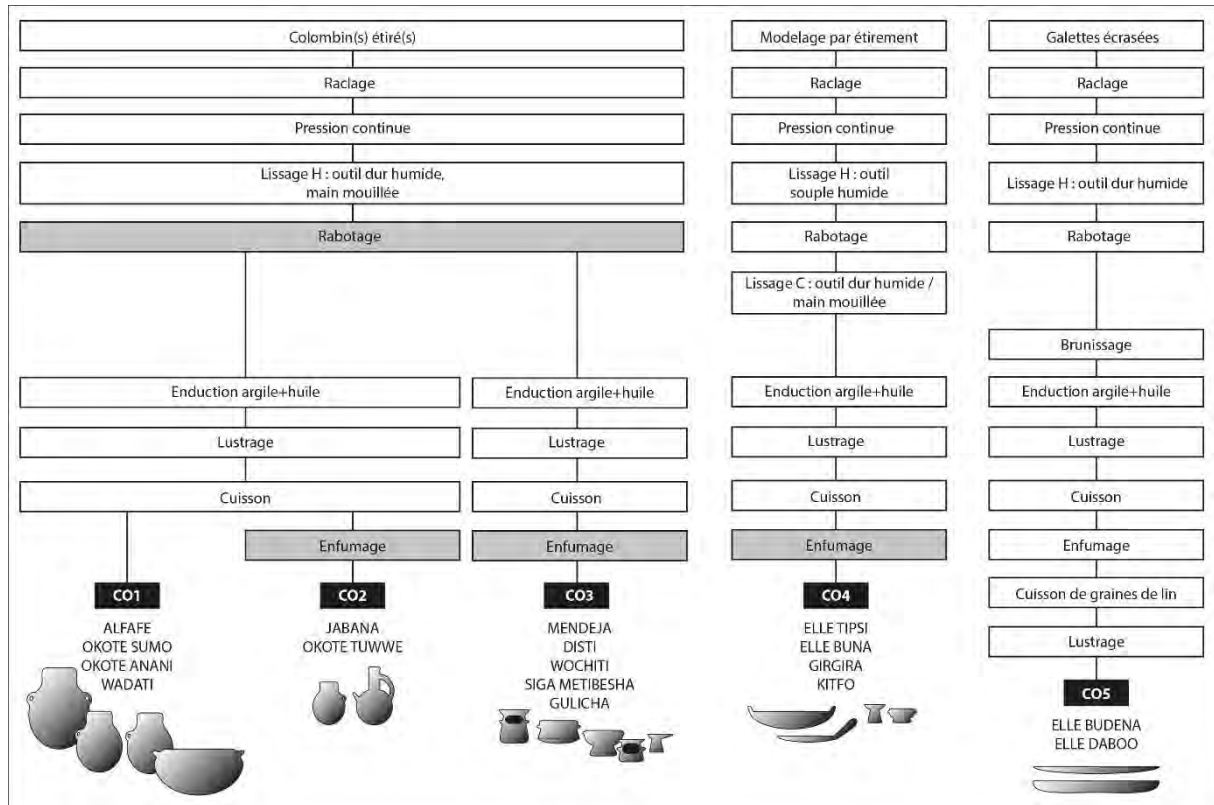


Figure 19 : restitution synthétique des chaînes opératoires de la tradition Oromo. Les cases en gris indiquent des opérations non systématiques ; Lissage H = Lissage sur pâte humide ; Lissage C = Lissage sur pâte cuir.

L'ébauchage peut être réalisé selon trois techniques différentes : le colombinage, le modelage par étirement ou à l'aide de galettes de pâte écrasées l'une sur l'autre. La technique d'ébauchage aux colombins regroupe les chaînes opératoires CO1, CO2 et CO3. La potière prélève à la main une petite quantité de pâte et façonne entre ses doigts ou contre une bâche en plastique un gros colombin qu'elle aplatit sommairement (fig. 20, n°1 et 2). Le colombin est ensuite enroulé sur lui-même pour former un anneau cylindrique et placé sur un support en bois dont la dimension varie selon la taille du vase, servant ainsi de gabarit. Pour les plus grands vases, l'anneau peut être composé de plusieurs segments de colombins (fig. 20, n°3). La potière ajoute autant de colombins que nécessaire qu'elle étire au moment du préformage. Dans le cas des petits récipients (*Gulichha*, *Siga Metibesha*, *Wochiti*), le corps du vase n'est formé que d'un seul gros colombin, mais des colombins de plus petit module peuvent être ajoutés pour le bord ou l'ajout d'un pied. Les autres vases sont formés d'au moins deux gros colombins, puis de plus petits colombins peuvent être ajoutés pour le bord ou le col (fig. 20, n°4). L'ébauchage est souvent réalisé en deux phases interrompues par un temps de séchage de quelques heures à une journée selon la taille du récipient. Les étapes de l'ébauchage et du préformage sont donc entremêlées et sont également associées aux finitions.



Figure 20 : ébauchage par colombinage. 1 : façonnage d'un colombin entre les doigts ; 2 : façonnage d'un colombin contre un support au sol ; 3 : superposition de segments de colombins ; 4 : ajout d'un petit colombin pour le bord d'un Siga Metibesha.

Le modelage par étirement concerne la chaîne opératoire CO4. La potière prélève à la main la quantité de pâte nécessaire à la réalisation d'un vase. Comme dans la tradition Woloyta, l'estimation de la bonne quantité de pâte requise se fait par expérience, très peu de pâte étant retirée ou ajoutée par la suite. La potière procède à la mise en forme d'une petite motte conique qu'elle écrase contre le sol ou le support, pointe vers le bas. La motte est ensuite creusée et évasée par enfoncement des pouces dans la pâte (fig. 21). Ce type d'ébauche est réalisé sur un support en plastique et non sur un support en bois. Cette technique est employée pour le façonnage de vases très évasés (*Elle Tipsi, Elle Buna*) ou de petits récipients (*Girgira, Kitfo*).



Figure 21 : modelage par étirement d'une petite motte conique.

L'ébauchage à l'aide de galettes de pâte concerne la chaîne opératoire CO5. La potière prélève à la main la quantité de pâte nécessaire à la réalisation d'un vase, estimée par expérience comme précédemment. Elle procède ensuite à la mise forme d'une galette d'argile qu'elle pose sur un morceau de toile ou de bâche, puis façonne grossièrement une seconde galette qu'elle jette sur la première (fig. 22, n°1 et 2). Les deux galettes sont compactées par percussion et pression des mains, puis l'ébauche est transportée sur un support plat (fig. 22, n°3 et 4). Ce support est fait en vannerie ou d'un mélange d'argile, de bouse et de paille et recouvert de cendres afin de limiter l'adhésion du vase. Sa dimension varie en fonction de la taille du vase recherchée.



Figure 22 : ébauchage à l'aide de galettes écrasées. 1 : mise en forme de la première galette ; 2 : ajout de la seconde galette plus grossière ; 3 : compaction des galettes par pression des mains ; 4 : installation de l'ébauche sur un support plat.

Le préformage est réalisé en deux ou trois phases qui peuvent alterner avec une seconde phase d'ébauchage. Trois techniques ont été observées : le raclage, la pression continue et le rabotage. Le raclage est employé dans toutes les chaînes opératoires, immédiatement après la formation de l'ébauche lorsque la pâte est encore humide. Dans les chaînes opératoires CO1 à CO3, la potière étire l'ébauche vers le haut par des gestes linéaires verticaux en effectuant une pression du bout des doigts sur la face externe, tandis que l'autre main est placée en support contre la face interne (fig. 23, n°1). Le cas échéant, l'opération est répétée après la seconde phase d'ébauchage et la pose de nouveaux colombins (*Alfafe, Disti, Jabana, Okote Anani, Okote Sumo, Okote Tuwwe, Wadati*), ou autres pièces assemblées telles que de petites galettes de pâte pour fermer la forme (*Mendeja, Siga Metibesha*). Dans les chaînes opératoires CO4 et CO5, la potière étire l'ébauche vers l'extérieur par des gestes linéaires ou rotatifs horizontaux. Elle effectue une pression du bout des doigts sur la surface interne de l'ébauche tandis que l'autre main peut être placée contre la face externe (fig. 23, n°2). Dans la chaîne opératoire CO5, ce geste est précédé d'un premier raclage horizontal avec le plat de la main (fig. 23, n° 3 et 4). Le raclage réalisé dans les chaînes opératoires CO1 à CO4 a pour but d'amincir la

paroi par étirement et de profiler la préforme. Le raclage réalisé dans la chaîne opératoire CO5 amincie et régularise la paroi par étirement et enlèvement de pâte.



Figure 23 : raclage. 1 : raclage vertical de la face externe de la panse d'une Alfafe ; 2 : raclage horizontal de la face interne d'un Elle Buna ; 3 : raclage de la face interne avec le plat de la main d'un Elle Budena ; 4 : raclage et enlèvement de pâte avec le bout des doigts.

Dans toutes les chaînes opératoires, la mise en forme du bord et de la lèvre par pression continue intervient à la suite du raclage et des premières finitions, lorsque la pâte est encore humide⁶. La potière effectue un geste rotatif horizontal, à l'aide d'une feuille d'arbre ou d'un tissu trempés dans l'eau ou simplement à la main mouillée (fig. 24). Après cette opération, la préforme est laissée à sécher sur son support. Dans les chaînes opératoires CO1 à CO4, le temps de séchage maximum est d'environ une journée. Les parois des préformes produites par la chaîne opératoire CO5 étant très épaisses (pluricentimétriques), le temps de séchage peut durer jusqu'à une semaine. Le vase est alors laissé au soleil durant environ une heure, puis déplacé à l'ombre et retiré du support lorsqu'il est suffisamment sec pour être manipulé.

⁶ Cette technique est toutefois très rarement mise en œuvre pour le façonnage du *Gulicha*.



Figure 24 : pression continue. 1 : à l'aide d'une feuille d'arbre humide ; 2 : à l'aide d'un tissu humide ; 3 : à la main mouillée.

Le rabotage est mis en œuvre après le temps de séchage, lorsque la pâte est à consistance cuir. Cette technique intervient principalement pour retirer le surplus de pâte du fond des vases évasés et leur donner une forme arrondie (*Elle Buna, Elle Tipsi, Girgira, Kitfo, Wochiti*) et pour désépaissir la paroi des vases plats (*Elle Budena, Elle Daboo*). La potière effectue alors un rabotage de la surface externe des vases à l'aide d'un couteau en métal ou d'une pièce courbe en métal (fig. 25, n°1 et 2). La potière peut également réaliser un rabotage de la surface en contact avec le support en bois ou de la surface interne localisé dans le bas de la préforme (fig. 25, n°3). Cette opération a pour but d'amincir la paroi tassée contre le support durant le temps de séchage et de préparer la surface à l'ajout d'un colombin dans le cas d'un ébauchage en deux phases. Elle n'est néanmoins pas systématique, en particulier dans les chaînes opératoires CO1 et CO2. La jointure entre deux parties de vase peut alors être renforcée par un raclage localisé sur la surface interne à l'aide du bout des doigts.

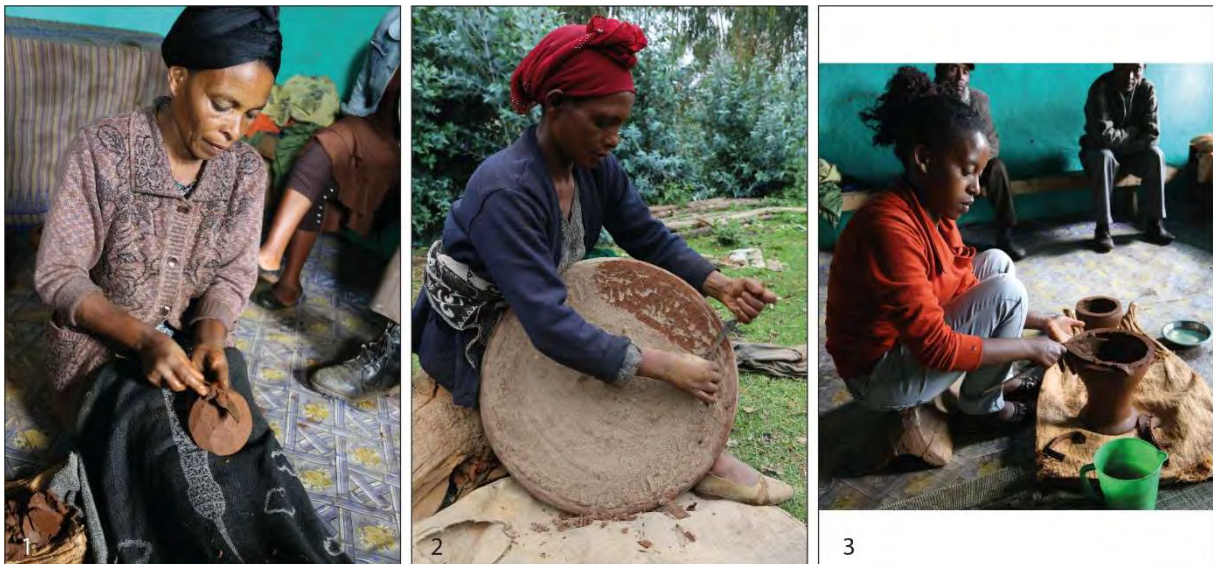


Figure 25 : rabotage. 1 : rabotage externe du fond d'un Kitfo ; 2 : rabotage externe du fond d'un Elle Budena ; 3 : rabotage de la surface de contact avec le support bois de la préforme d'un Mendeja.

Dans toutes les chaînes opératoires, les opérations de finitions sont intercalées entre les différentes phases d'ébauchage et de préformage. Cette séquence est représentée par la technique du lissage, déclinée selon plusieurs modalités qui peuvent être exécutées sur différentes surfaces d'un même vase ou successivement sur une même surface. Dans certains cas (CO1, CO2 et CO3), la potière régularise la surface externe raclée par lissage à consistance humide à l'aide d'un outil dur trempé dans l'eau,

généralement une côte de bovidé (fig. 26, n°1). Puis elle effectue un second lissage de la même surface à la main mouillée lorsque la pâte est encore humide afin d'effacer les traces d'outils (fig. 26, n°2). Cette opération est répétée à chaque ajout d'un colombin et lors des différentes phases de façonnage. La surface interne des récipients peut être sommairement lissée à la main mouillée au cours du façonnage. Dans le cas des petits vases évasés ou des vases plats (CO4, CO5), le lissage à consistance humide est réalisé sur la surface interne. Dans la chaîne opératoire CO4, la potière emploie un outil souple tel qu'un tissu trempé dans l'eau et n'effectue pas de second lissage à la main mouillée (fig. 26, n°3). Dans la chaîne opératoire CO5, la potière lisse la surface interne à l'aide d'une estèque en céramique (fragment de bord de *Elle Budena*) trempée dans l'eau (fig. 26, n°4). Le lissage à consistance cuir intervient uniquement dans la chaîne opératoire CO4. Pour les vases plats (*Elle Buna*, *Elle Tipsi*), la potière régularise la surface externe du vase après le rabotage à l'aide d'un outil dur, par exemple un galet, trempé dans l'eau⁷ (fig. 26, n°5), puis peut terminer par un lissage à la main mouillée. Pour les petits vases (*Girgira*, *Kitfo*), la potière n'effectue qu'un lissage à la main mouillée (fig. 26, n°6).



Figure 26 : différentes modalités de lissage. 1 : lissage sur pâte humide à l'aide d'un outil dur (os) ; 2 : lissage sur pâte humide à la main mouillée ; 3 : lissage sur pâte humide à l'aide d'un outil souple (tissu) ; 4 : lissage sur pâte humide à l'aide d'un outil dur (estèque) ; 5 : lissage sur pâte cuir à l'aide d'un outil dur (galet) ; 6 : lissage sur pâte cuir à la main mouillée.

A l'issue des finitions, les vases sont mis à sécher. Dans la chaîne opératoire CO5, un long temps de séchage à l'ombre est respecté avant que le vase subisse une dernière opération de préformage (cf.

⁷ Cette technique consistant à frotter la surface à l'état cuir ré-humidifiée avec un outil dur pourrait également être apparentée au doucissage et à la séquence des traitements de surface. Nous avons cependant choisi de la présenter avec les finitions considérant que toutes les autres techniques de traitements de surface de la tradition Oromo sont exécutées sur pâte sèche ou cuite.

supra). Pour les autres productions (CO1 à CO4), le séchage est plus rapide et se fait au soleil ou peut être accéléré à la faveur d'un foyer de cuisson des aliments par exemple. Les vases sont placés dans un dispositif de séchage sous forme de grenier ajouré installé au-dessus de l'aire de cuisson, dans un appentis adjacent à la maison. Lorsque les vases sont secs, plusieurs traitements de surface pré-cuisson peuvent être réalisés. Le brunissage n'est effectué que sur les vases plats de la chaîne opératoire CO5. Après le rabotage de la surface externe, la potière procède au frottement de la surface interne à l'aide d'un outil dur tel qu'un galet ou une petite bouteille en verre afin de l'adoucir. Elle effectue des gestes linéaires à l'intérieur du plat et des gestes rotatifs près du bord (fig. 27, n°1). Ensuite, la potière enduit la surface interne à l'aide d'un tissu. L'enduit est fait d'un mélange d'argile « pourpre », différente de celle employée pour le façonnage, d'eau et d'huile de cuisine (parfois remplacée par de l'essence). Cette technique et cette recette est employée dans toutes les chaînes opératoires, pour tous les types de vases (fig. 27, n°2). Néanmoins, dans les chaînes opératoires CO1 et CO2 les vases ne sont enduits que sur leur surface externe, dans la chaîne opératoire CO3 l'enduit peut être appliqué sur la surface externe (*Gulichia, Mendeja, Siga Metibesha*) ou sur les deux surfaces (*Disti, Wochiti*) et les vases de la chaîne opératoire CO4 sont entièrement enduits. Lorsqu'une surface est enduite le traitement est appliqué à toutes les parties du vase. Les couvercles sont également enduits dans la plupart des cas mais jamais sur leur surface interne. L'enduction permet de faire briller la surface et favorise le traitement à chaud post-cuisson. Enfin, dans toutes les chaînes opératoires, la séquence se termine par un lustrage des surfaces enduites. La potière procède au frottement de la surface à l'aide d'un chiffon en tissu épais et doux de type couverture ou étoffe laineuse, ce qui permet d'augmenter la brillance du vase (fig. 27, n°3).



Figure 27 : traitements de surface pré-cuisson. 1 : brunissage de la surface interne d'un Elle Daboo ; 2 : enduction de la surface externe de Mendeja ; 3 : lustrage de la surface externe d'une Jabana.

Les vases sont mis à sécher une dernière fois avant la cuisson. Le temps de séchage peut alors être très court et la potière peut commencer la mise en place de la structure de cuisson à la suite des traitements de surface. Chaque potière réalise sa propre cuisson à même le sol à proximité de sa maison et toujours au même endroit. Les vases des chaînes opératoires CO1 à CO4 sont cuits simultanément dans la même structure de cuisson en meule. L'aire de cuisson correspond à un espace légèrement sur-creusé. Une petite quantité de combustible (branchages et bouses de vache séchées) est placée au centre du creusement pour l'allumage du feu (fig. 28, n°1). Puis, la potière dispose les vases sur les braises en ajoutant des branchages (fig. 28, n°2). Ensuite elle recouvre la totalité de l'installation de bouses de vache séchées. Les vases en cours de séchage peuvent alors être placés autour du foyer (fig. 28, n°3). La paille est ajoutée en dernier, soit par quelques poignées seulement, soit en plus grande quantité pour former une meule (fig. 28, n°4). La cuisson dure ainsi environ une heure puis la potière extrait les vases de la structure à l'aide d'une branche ou d'une tige en métal et

les laisse refroidir à l'air libre ou effectue un traitement à chaud. La structure en meule permet d'obtenir une atmosphère de cuisson essentiellement oxydante et les vases cuits sont de couleur rouge mais comportent des plages noires dues au contact de la surface des récipients avec les bouses de vache. Cette coloration hétérogène peut être conservée visible tel un décor. Hommes et enfants participent aux préparatifs et à l'allumage du feu.



Figure 28 : opérations relatives à la cuisson des vases des chaînes opératoires CO1 à CO4. 1 : départ du feu au centre du petit creusement ; 2 : installation des vases ; 3 : formation d'une meule avec des bouses de vaches séchées et disposition des vases en cours de séchage près du foyer ; 4 : ajout de paille en meule.

Dans la chaîne opératoire CO5, les vases sont cuits un par un sur un petit foyer qui peut être installé à l'intérieur d'un appentis ou à l'extérieur, à proximité de la maison de la potière. La potière installe un petit lit de branchages et de fragments de bouse séchée qu'elle allume et place immédiatement le vase plat au-dessus du foyer, face interne vers les braises, sur trois supports en céramique (*Gulich*) qui servent également lors de l'utilisation des récipients comme vases à cuire, ou trois objets (pierres, fragments de vases) équivalents en taille (fig. 29, n°1 et 2). Puis elle dispose des bouses de vache séchées sur tout le pourtour de la structure ainsi qu'une couche de cendres sur la face externe du récipient pour couvrir le haut de la structure (fig. 29, n°2). La cuisson dure ainsi environ une heure, le temps que le combustible soit consommé. Le dispositif produit ainsi une atmosphère de cuisson essentiellement oxydante mais la potière réalise systématiquement un traitement à chaud dès son extraction du foyer. Ces opérations sont répétées pour chaque vase et la production est cuite en série.



Figure 29 : opérations relatives à la cuisson des vases de la chaîne opératoire CO5. 1 : mise en place du foyer ; 2 : installation du vase au-dessus du feu sur les supports ; 3 : recouvrement de la structure de bouses de vache séchées et de cendres.

Le seul traitement post-cuisson observé dans la tradition Oromo est réalisé à chaud par enfumage. Cette technique consiste à obtenir une surface uniformément noire en maintenant le vase à sa sortie de cuisson dans une atmosphère réductrice avec du combustible, créant ainsi un dépôt de particules de carbone. Elle est employée pour les vases des chaînes opératoires CO2 à CO5 mais selon différentes modalités et de manière non systématique pour les vases de CO2, CO3 et CO4. Seuls les vases de la chaîne opératoire CO1 ne sont jamais enfumés (*Alfafe, Okote Anani, Okote Sumo, Wadati*). Lorsque les vases des chaînes opératoires CO2, CO3 et CO4 sont enfumés, la potière prépare un amas de paille à côté de la structure de cuisson (fig. 30, n°1). Puis elle saisit un vase dans la structure à l'aide d'une branche ou d'une tige en métal, le dépose sur la paille avec laquelle elle le recouvre immédiatement à la main en frottant la surface (fig. 30, n°2). La paille se consume alors légèrement au contact du vase brûlant. Cette opération dure quelques minutes à l'issue desquelles la surface du vase est entièrement noircie (fig. 30, n°3). Pour les vases de la chaîne opératoire CO5, la potière installe un petit lit de paille circulaire à côté de la structure de cuisson puis transporte le vase avec la couche de cendres déposée lors de la cuisson sur le lit de paille (fig. 30, n°4). Elle ajoute ensuite de la cendre de manière à ce que le vase soit totalement couvert et privé d'apport en oxygène (fig. 30, n°5). Le vase est conservé sous la cendre durant quelques minutes, le temps d'installer une nouvelle structure de cuisson. Lorsque la potière dégage les cendres et extrait le vase, ses surfaces sont entièrement noires et le lit de paille est carbonisé (fig. 30, n°6). Une dernière opération intervient après le refroidissement du vase. La potière fait cuire des graines de lin dans le plat puis étale l'huile ainsi produite sur la surface interne à l'aide d'un chiffon, procédant de ce fait à une nouvelle enduction et à un nouveau lustrage. Cette étape n'a pas pu être documentée lors de nos enquêtes, mais doit impérativement être menée avant la première utilisation du vase.



Figure 30 : différentes modalités d'enfumage. 1 : dépôt du vase sur un amas de paille ; 2 : recouvrement et frottement de la surface avec la paille ; 3 : résultat de l'enfumage ; 4 : transport du vase sur un lit de paille ; 5 : ajout de cendres pour enfermer le vase dans un espace hermétique ; 6 : résultat de l'enfumage.

V. Et après ? Les aléas de la vie d'un vase

Notre présentation du référentiel actualiste élaboré à Goljoota et Qarsa s'est spécifiquement intéressé à la chaîne opératoire de fabrication des vases depuis la séquence du façonnage jusqu'aux traitements de surface post-cuisson. Néanmoins, lors de l'enregistrement des pièces du référentiel en base de données, l'observation de vases neufs et utilisés nous a permis d'apprécier la diversité des modifications possibles de l'aspect du vase, et donc de certaines macrotraces pouvant participer au diagnostic technologique. Bien que l'étude des traces d'usure n'ait pas été développée dans l'approche de notre corpus archéologique, ces aspects sont toutefois à prendre en compte lors de l'interprétation de nos données. Nous présentons ainsi en conclusion quelques situations d'utilisation primaire ou secondaire des vases ou fragments de vases observées au cours des différentes campagnes d'enquête.

Tout d'abord, les jarres à col de la production Woloyta (*Otto*) ainsi que les couvercles (*Medfia*) utilisés pour la distillation fonctionnent en permanence sur un foyer dans un espace confiné (fig. 31, n°1). Les flammes et la fumée dégagée par cette activité entraînent un dépôt de particules de carbone qui couvre peu à peu l'ensemble des vases dont les surfaces deviennent uniformément noires comme lors d'une opération d'enfumage.

Certains récipients peuvent être utilisés dans le cadre de l'artisanat potier. Le vase utilisé pour contenir l'engobe des traitements post-cuisson de la tradition Woloyta présente une surface interne entièrement engobée (fig. 31, n°2) alors que l'engobe n'est jamais appliqué sur la surface interne des vases creux de la production Woloyta (cf. *supra*). Les potières utilisent aussi fréquemment des fragments de vases brisés comme outils. Nous avons évoqué le cas de l'estèque en fragment de bord de *Elle Budena* dans la chaîne opératoire CO5 de la tradition Oromo (cf. *supra*). Les potières Woloyta

et Oromo réemploient aussi des fragments de fond ou des vases ébréchés comme réservoir à eau pour le trempage de leurs outils (fig. 31, n°3). Les potières Oromo se servent également des fragments de col des grandes jarres (*Gani*) comme support pour le façonnage de certains vases en plusieurs phases (fig. 31, n°4). Les vases brisés ou les ratés de cuisson peuvent être utilisés comme supports pour le séchage des vases avant cuisson (fig. 31, n°5). Ces fragments sont encore utilisés dans la structure de cuisson des potières Woloyta, soit pour la formation d'un support central ou d'un calage périphérique (cf. *supra*), soit comme petites cales s'il s'agit de tessons (fig. 31, n°6). Ces éléments sont conservés à proximité de l'aire de cuisson et sont soumis au feu de manière répétée. Ils peuvent occasionnellement servir de pelle pour transporter des braises durant la séquence de cuisson (fig. 31, n°7). Toutes ces actions sont ainsi susceptibles de modifier l'aspect de surface ou la coloration des vases.

Certains fragments de vases brisés peuvent également être réemployés dans le cadre des activités domestiques. Les fragments de col des grandes jarres à bière Woloyta (*Batta*) peuvent être utilisés comme supports de vase à cuire et sont alors mis en contact avec le feu (fig. 31, n°8). D'autres fragments ou ratés de cuisson sont utilisés sur l'envers, pour servir de tablette par exemple (ou de siège ?). Les tessons peuvent aussi être employés dans l'architecture des maisons comme éléments de calage ou de renfort (fig. 31, n°9) et les fragments de jarres à col Woloyta ou Oromo (*Otto, Alfafa*) sont parfois placés au sommet des toitures comme épi de faitage (fig. 31, n°10). Enfin, les tessons finalement abandonnés jonchent le sol à la marge des aires d'habitation ou d'activités, exposés encore à diverses altérations possibles. Il est également notable que les vases utilisés présentant des surfaces noircies par le contact avec le feu affichent fréquemment un lustre plus ou moins couvrant, même lorsque les surfaces sont non brunies, non lustrées et non enduites. La brillance peut alors être attribuée à un poli d'usage.

Le programme d'enquêtes ethnoarchéologiques développé dans les deux communautés Woloyta et Oromo documente ainsi de nombreux aspects de l'artisanat potier. Il offre la possibilité d'observer des manières de faire tout à fait différentes pour la réalisation d'une gamme de récipients morphologiquement proches, ce qui permet de mener une approche comparative des différentes macrotraces identifiées sur les vases. Il constitue donc un contexte extrêmement favorable à l'élaboration d'un référentiel technique. En outre, la diversité des traitements de surfaces opérés dans ces productions (brunissage, lustrage, enfumage, engobage) s'avère particulièrement bénéfique pour la caractérisation des techniques du début du Néolithique moyen dans le Sud de la France (cf. Partie II.3.2).



Figure 31 : exemple d'utilisation ou de réemploi des vases ou tessons. 1 : utilisation des Otto et Medfia pour la distillation ; 2 : utilisation d'un pot pour contenir l'engobe ; 3 : Recyclage d'un fond de Otto brisée comme récipient à eau ; 4 : réemploi d'un col de Gani brisée comme support de façonnage ; 5 : utilisation des ratés de cuisson comme supports de séchage ; 6 : réemploi des tessons pour le calage des plats dans la structure de cuisson ; 7 : réemploi d'un fragment de Bashe comme pelle pour transporter des braises ; 8 : réemploi de cols de Batta brisées comme support de récipient à cuire (à côté, réemploi d'un Kere comme tablette ou tabouret ?) ; 9 : réemploi de tessons pour le calage d'un pas de porte ; 10 : réemploi de la partie supérieure d'une Aflale comme épi de faitage ; 11 : tessons éparés abandonnés dans l'arrière-cour d'une maison.

ANNEXE III : DONNEES COMPLEMENTAIRES ET PLANCHES

L'annexe III comprend principalement les planches de dessins des séries céramiques et se développe dans le même ordre que celui adopté dans la partie 3 : « Analyses du corpus céramique ». L'iconographie présentée dans les planches n'est pas toujours exhaustive et consiste alors en une sélection des éléments les plus complets et les plus représentatifs de la série. Il en est ainsi pour les assemblages de :

- Gazel III et Gazel IV ;
- Font-Juvénal C10 inf. ;
- Auriac-Golf ;
- Las Trincados ;
- Montou salle 2 inférieure ;
- Montclus (C4, C3, C2 et Fosse) ;
- Los Cascajos phase1 et phase 2.

I. La grotte Gazel (Sallèles-Cabardès, Aude)

Phase	Secteur	US	NR	Longueur max. (cm)			Epaisseur max (mm)			
				< 5	5 - 10	> 10	< 6	6 - 9	> 9	Indét.
IV	Eboulis	C2a	155	88	66	1	16	117	20	2
		C2a-F1	21	18	3		2	13	6	
		C2b	68	44	21	3	6	31	30	1
		C2b-F1	7	7			1	5	1	
		C2b-F1b	18	13	2	3	6	8	3	1
		C2c	1			1		1		
	C2d	1		1				1		
	SCN	C1	1	1					1	
		C2a	33	24	9			12	21	
		C2b	38	21	16	1	2	24	12	
		C2c	5		5			5		
		HS	1	1					1	
	SCS	C1	2	1	1				2	
		C2a	105	79	21	5	6	16	82	1
		C2b	35	30	5		3	24	7	
		C2c	2	1	1			1	1	
		C2d	1	1					1	
	HS	48	45	2	1			48		
Total Phase IV		N	542	374	153	15	42	257	237	5
		%	100%	69%	28%	3%	8%	47%	44%	1%
III	Eboulis	C2b	1		1			1		
		C2c	102	74	26	2	6	56	40	
		C2d	6	1	5			2	4	
		C2e	1			1			1	
		HS	23	7	12	4		7	16	
	SCN	C2c	49	22	25	2	1	17	31	
		C2d	17		15	2		4	13	
		C2d-F1	4		3	1		2	2	
		C2e	1			1			1	
		C2e-F1	9		7	2			9	
		C2f-F1	2		1	1			2	
		HS	4		4				4	
	SCS	C2a-b	1		1				1	
		C2c	27	24	1	2	2	17	8	
		C2c-L2	11	11			1	7	3	
		C2d	1			1			1	
		C2e	1	1					1	
	HS	2		2				2		
Total Phase III		N	262	140	103	19	10	113	139	
		%	100%	53%	39%	7%	4%	43%	53%	

Figure 1 : décomptes généraux détaillé par US du mobilier céramique des phases III et IV de Gazel (NR = Nombre de Restes), proportions des classes de longueur maximum des tessons et d'épaisseur maximum des parois.

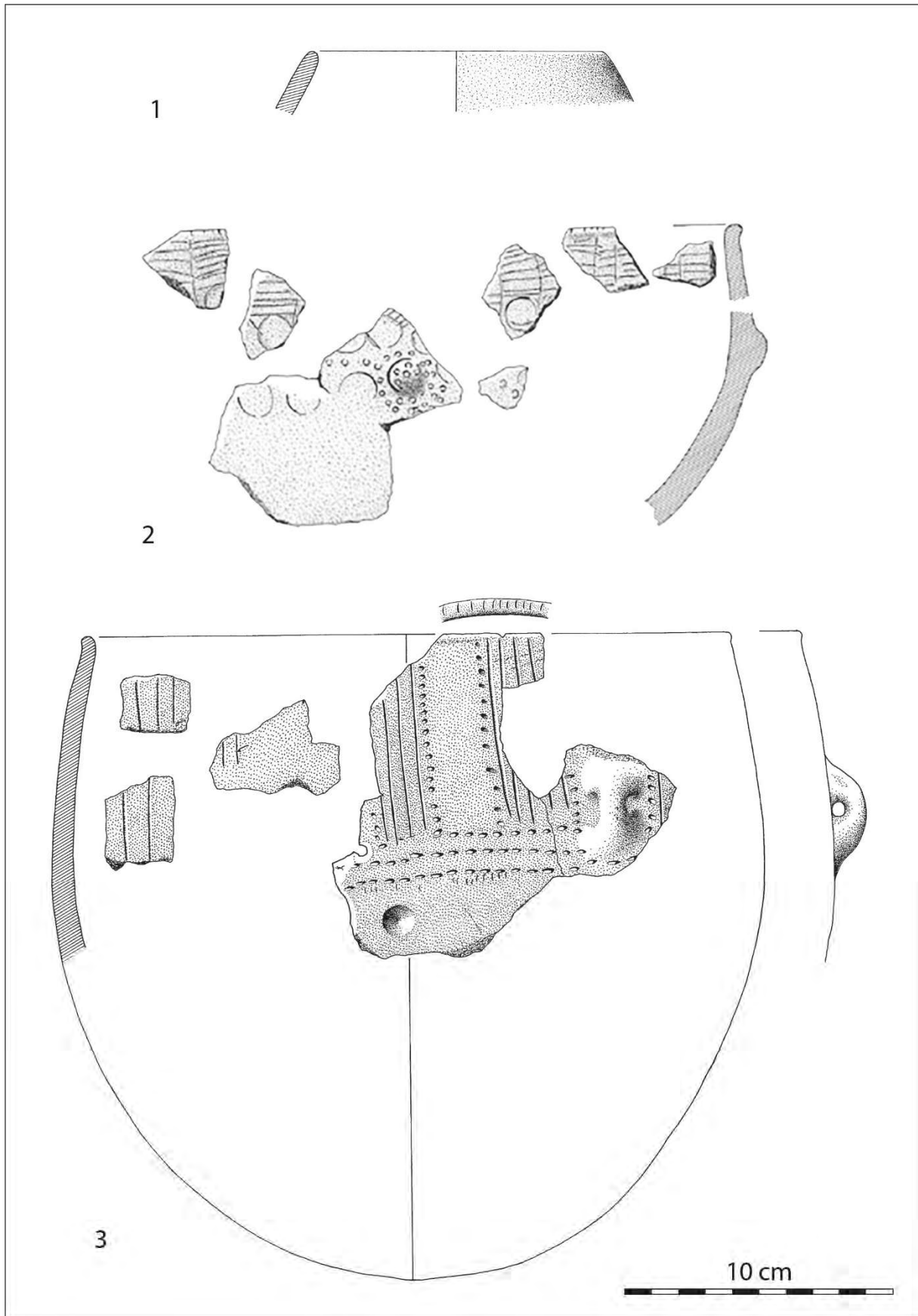


Planche 1 : profil restitué, profil incomplet et vases décorés de la phase III. Dessins : J. Coularou.

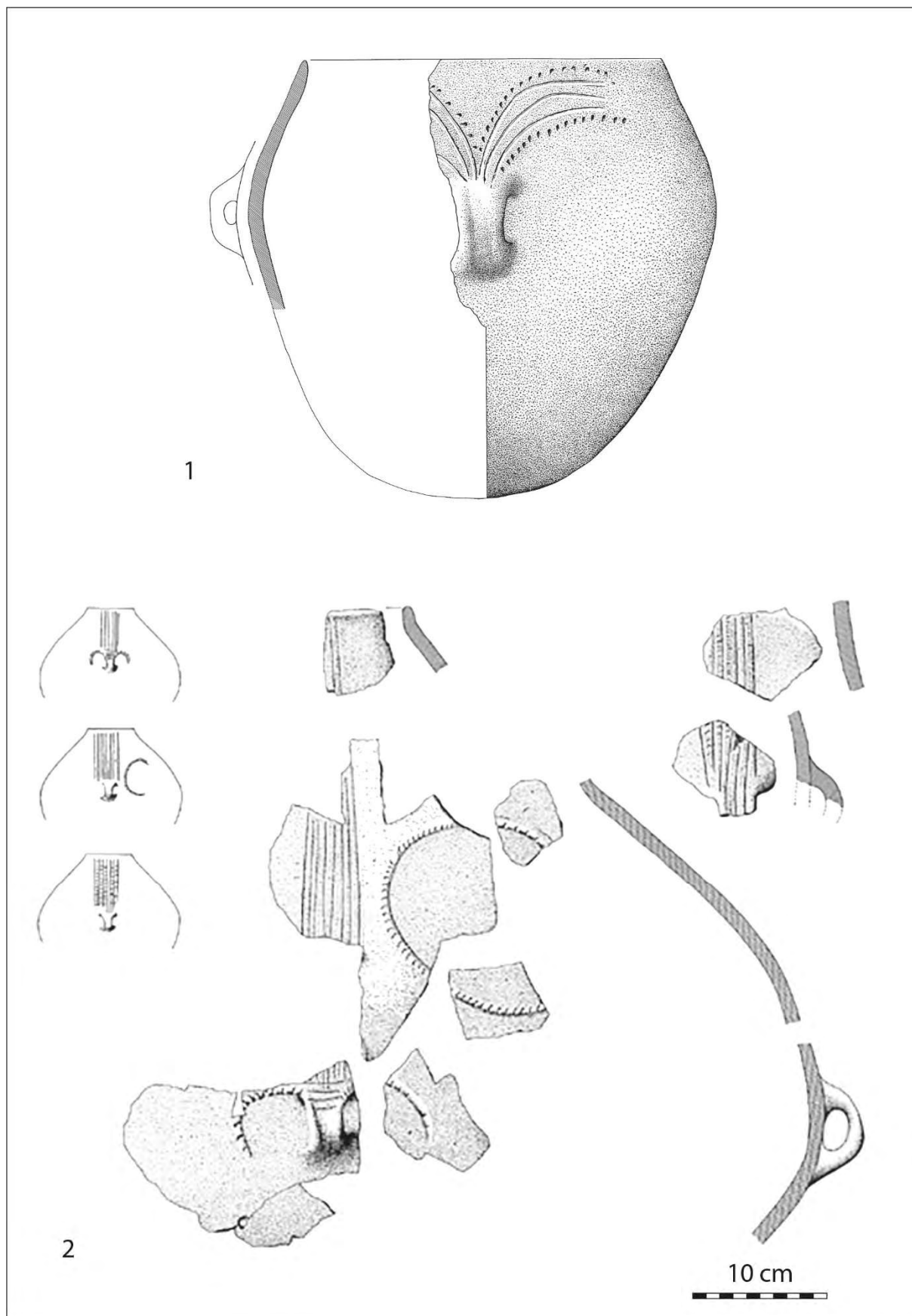


Planche 2 : profil restitué et vases décorés de la phase III. Dessins : J. Coularou.

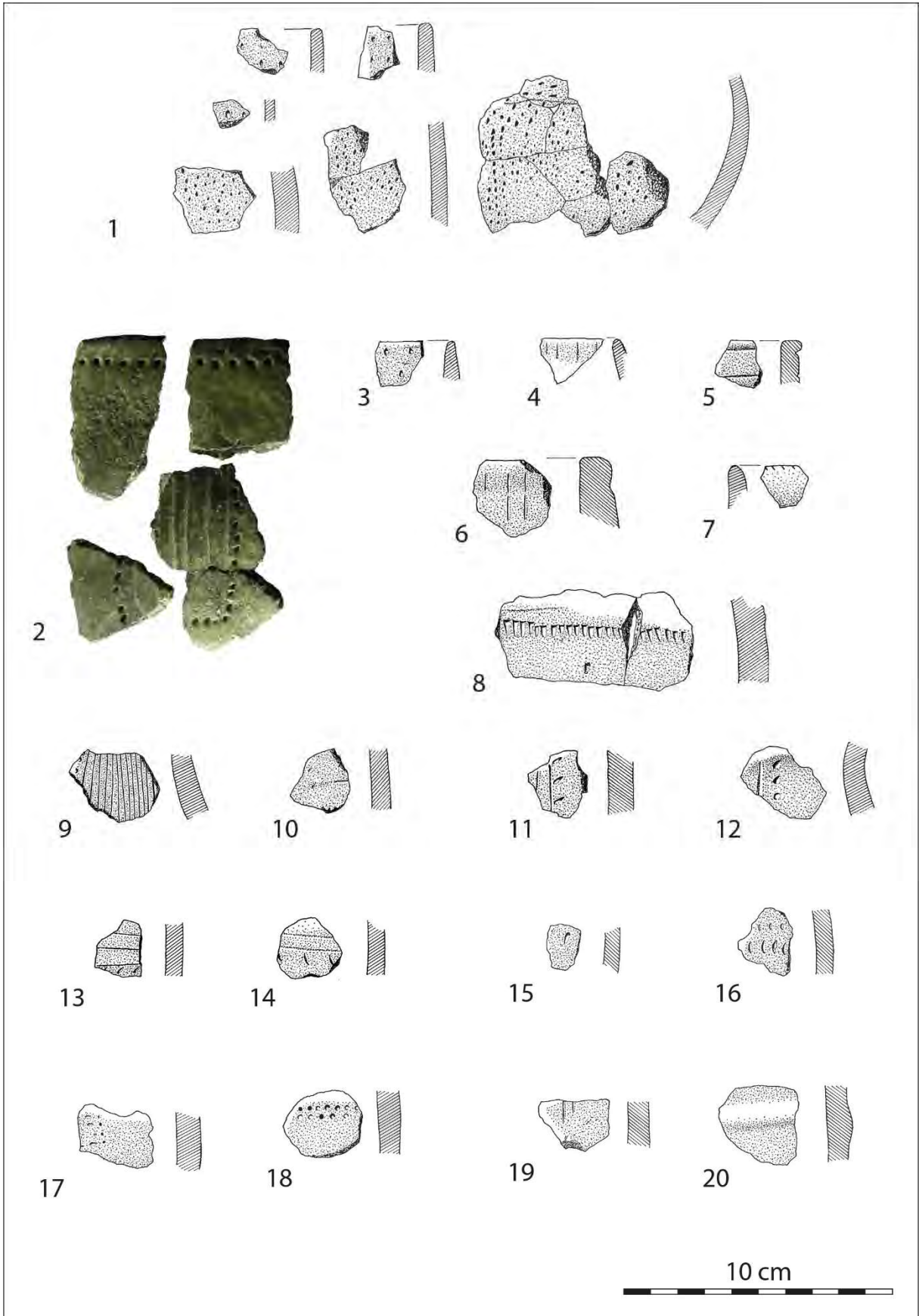


Planche 3 : éléments de vases et décors de la phase III. Dessins : J. Coularou.

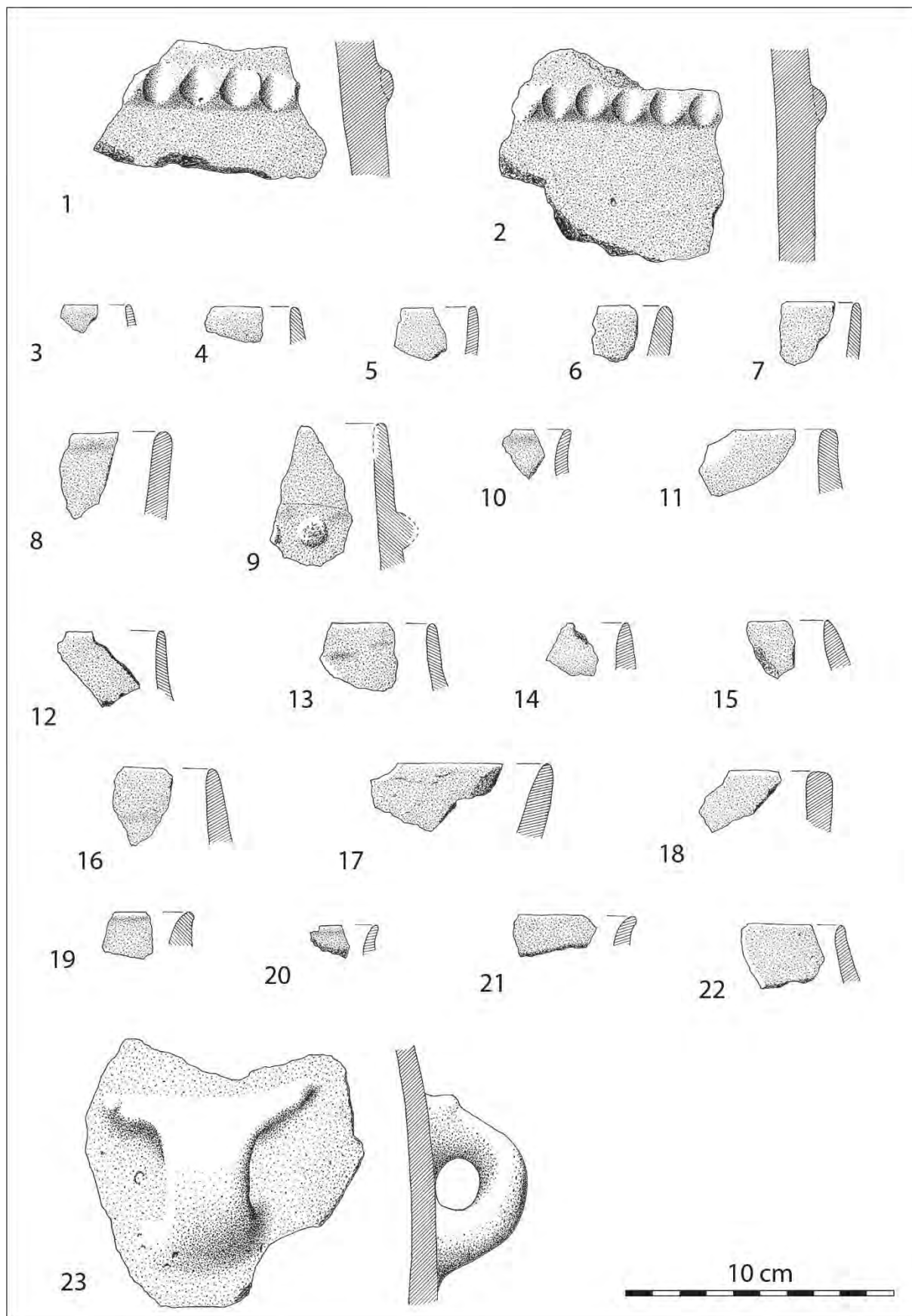


Planche 4 : éléments de vases, décors et préhension de la phase III. Dessins : J. Coularou.

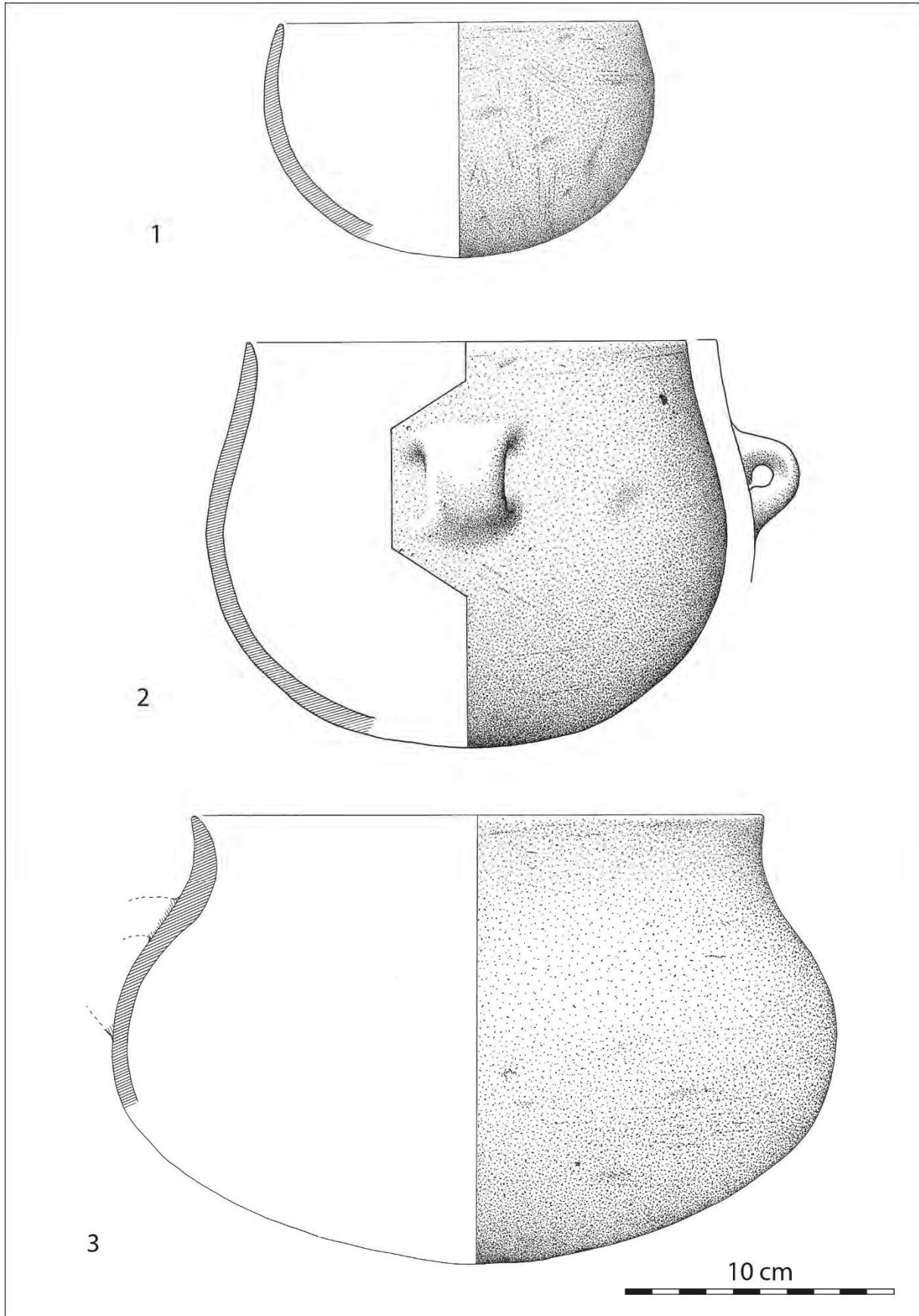


Planche 5 : profils restitués de la phase IV. Dessins : J. Coularou.

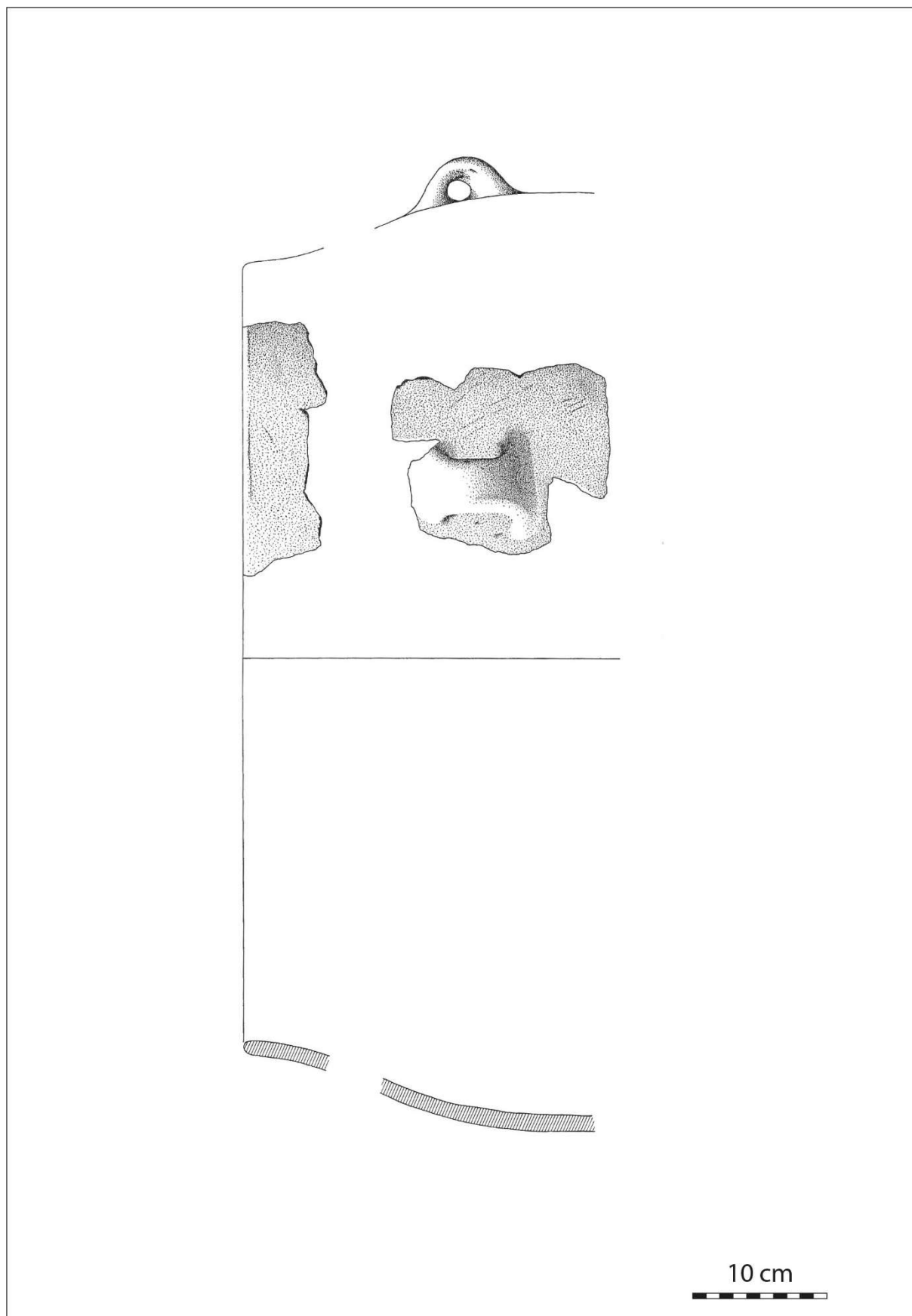


Planche 6 : profil incomplet de la phase IV. Dessins : J. Coularou.

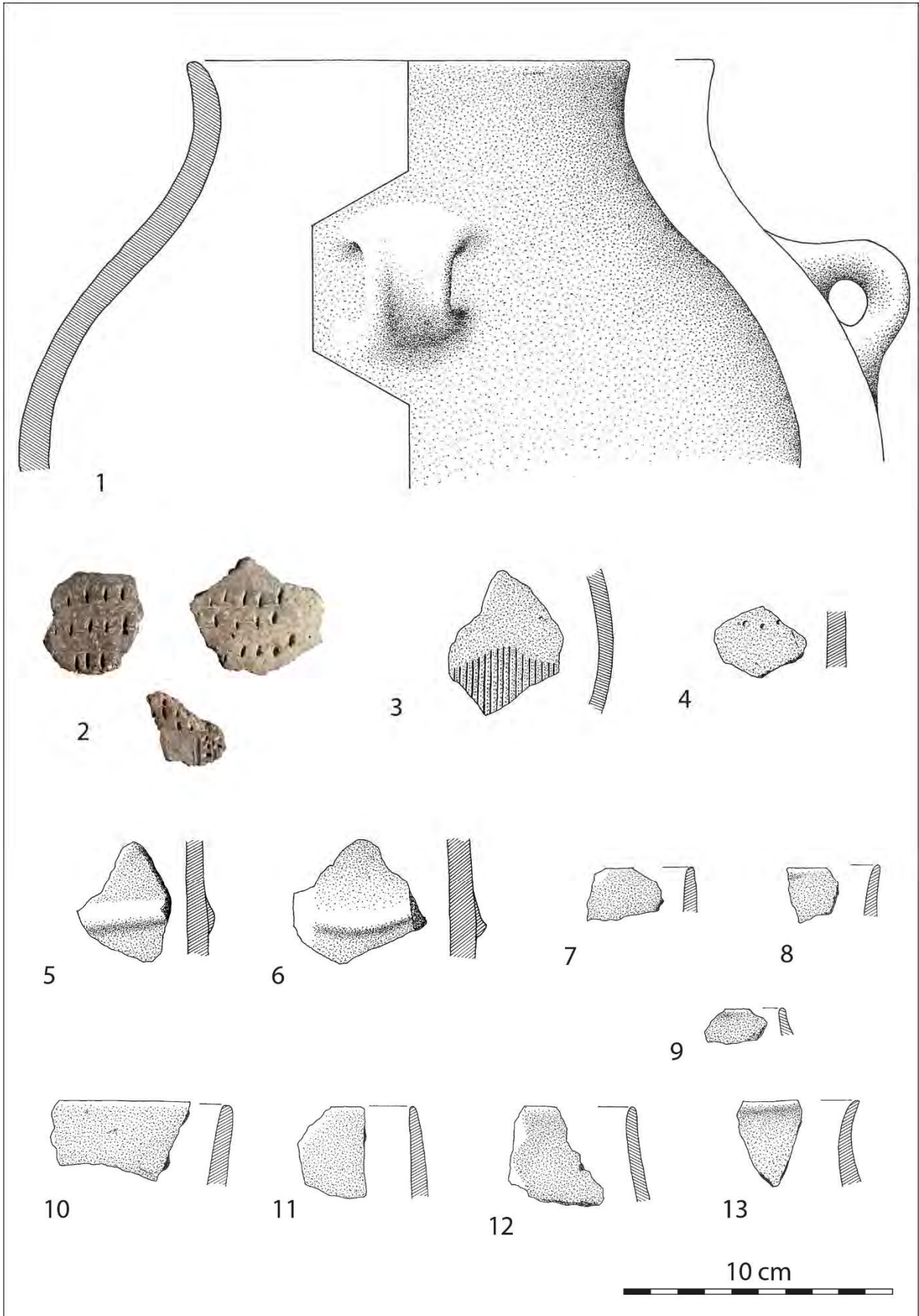


Planche 7 : profil incomplet, éléments de vases et décors de la phase IV. Dessins : J. Coularou.

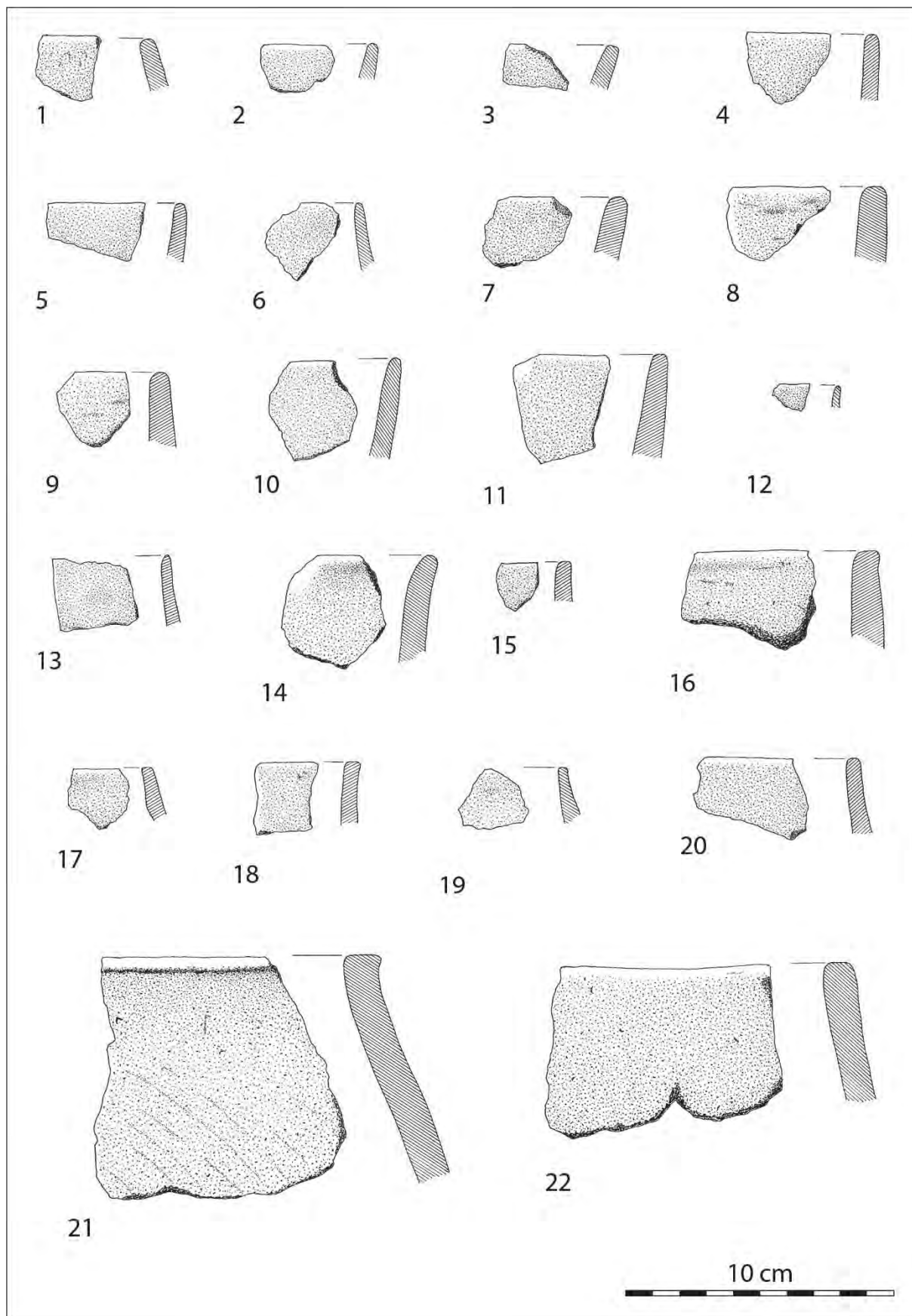


Planche 8 : éléments de vases de la phase IV. Dessins : J. Coularou.

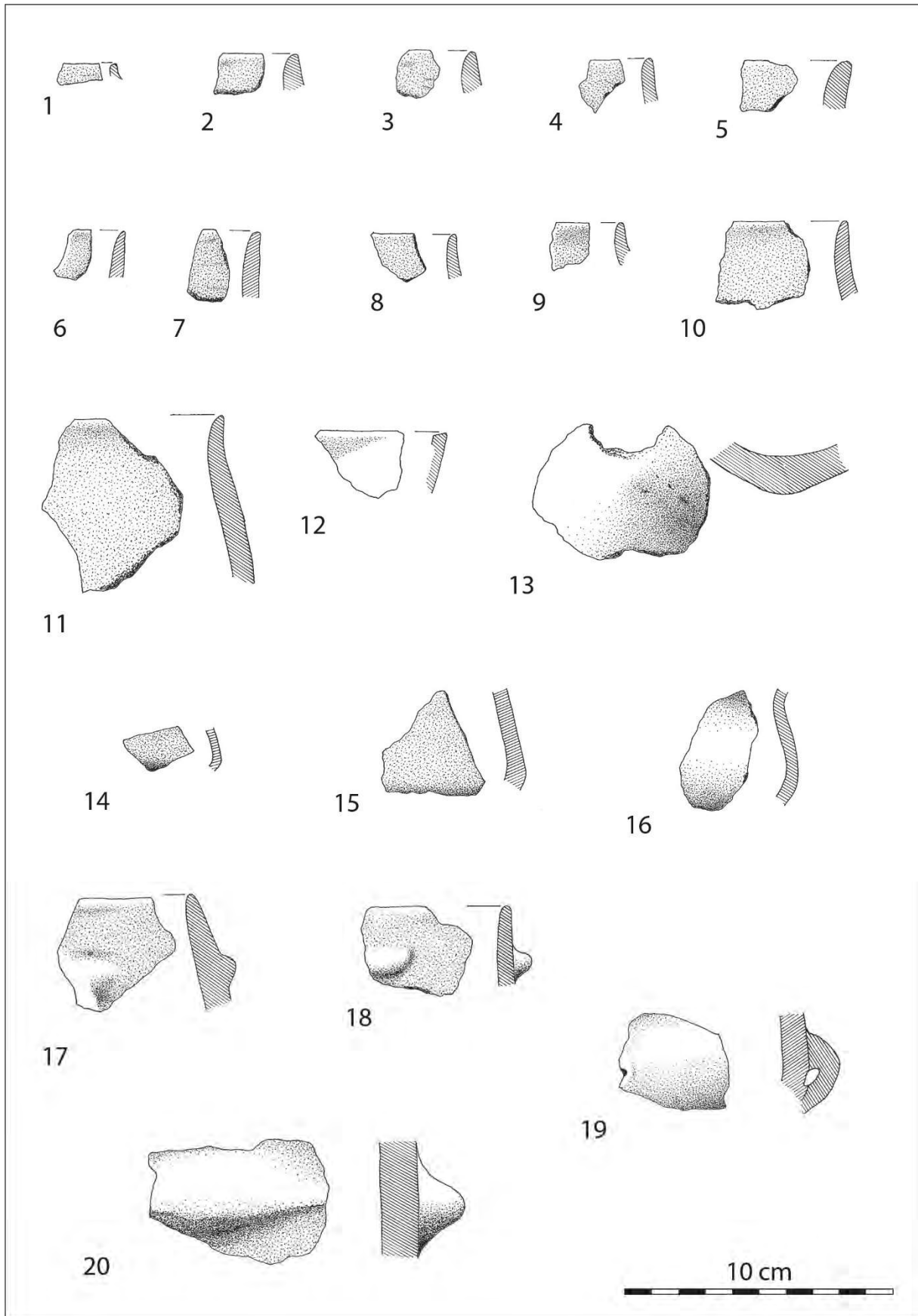


Planche 9 : éléments de vases et préhensions de la phase IV. Dessins : J. Coularou.

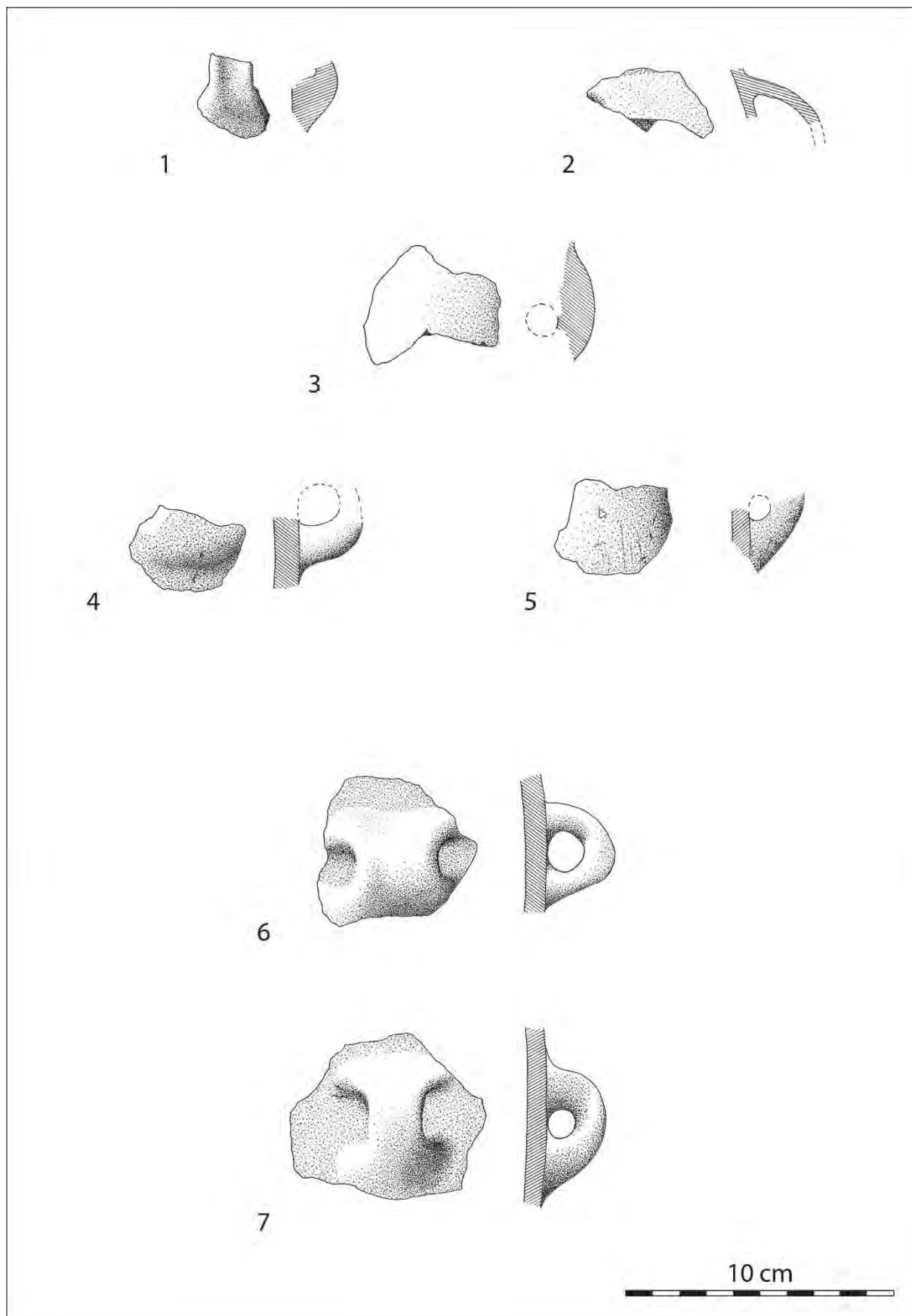


Planche 10 : éléments de préhension de la phase IV. Dessins : J. Coularou.

II. L'abri de Font-Juvénal (Conques-sur-Orbiel, Aude)

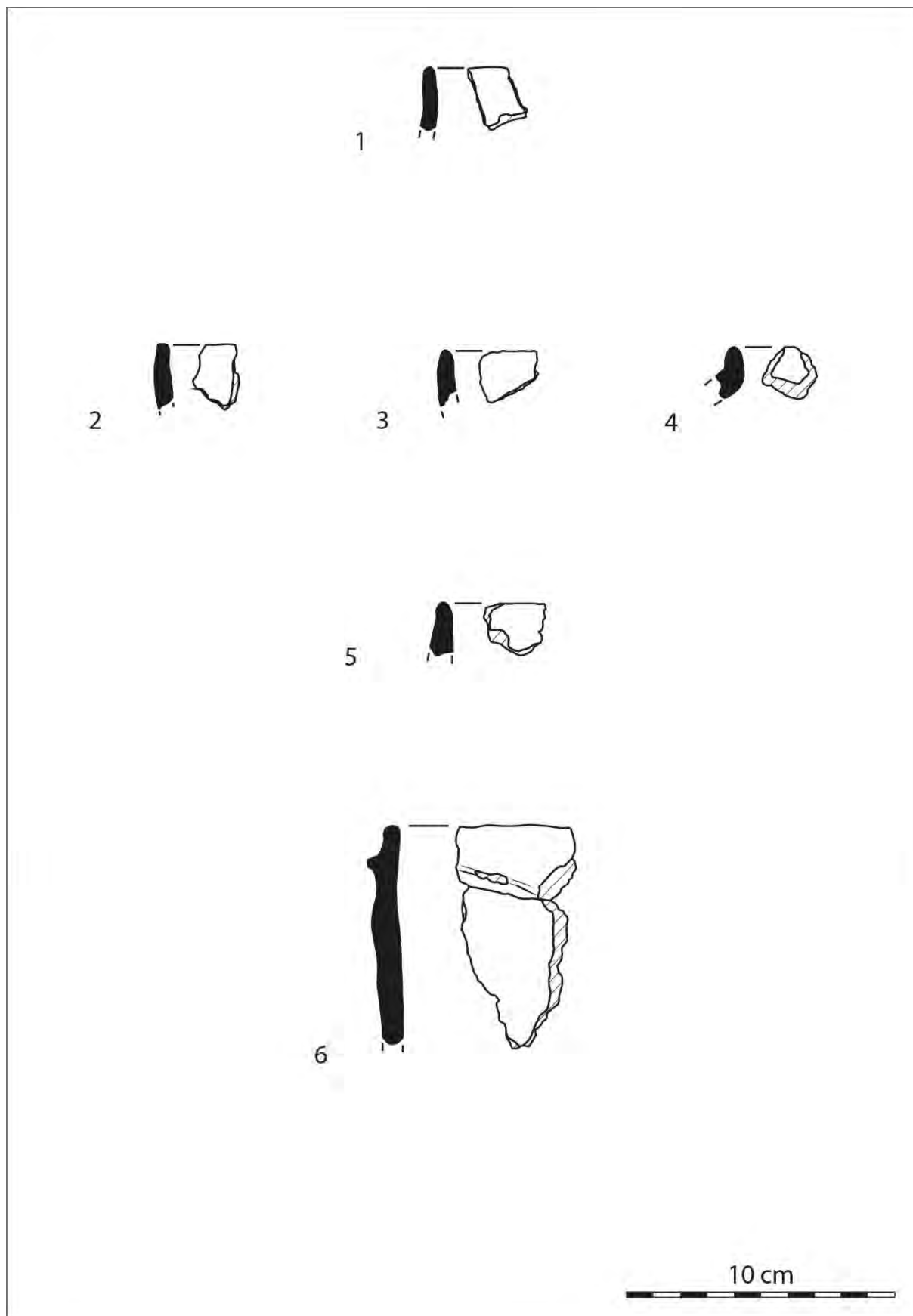


Planche 1 : éléments de vases et décors des couches C16 et C14. 1 : C16 ; 2 à 6 : C14.

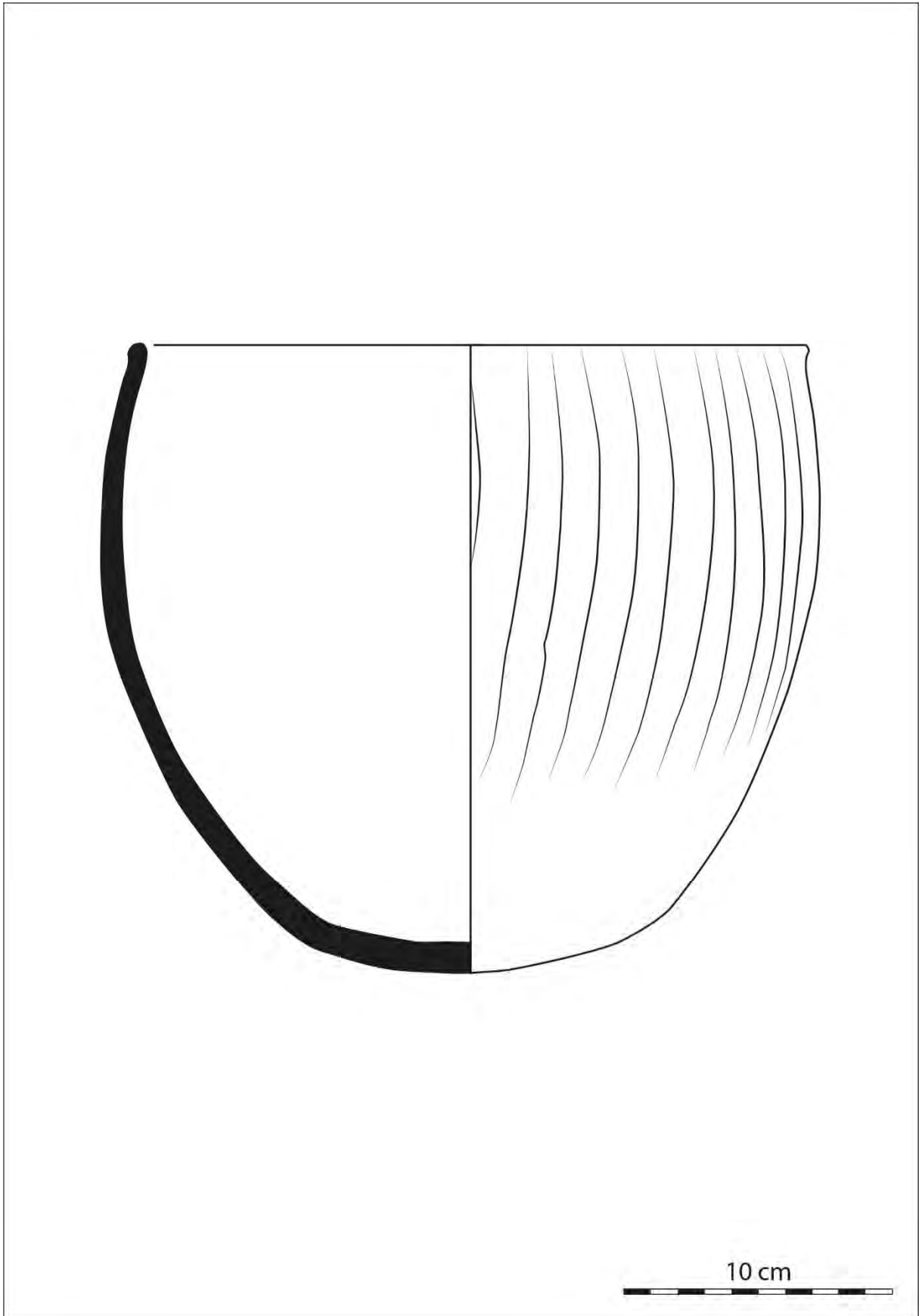


Planche 2 : profil restitué de la couche C13.

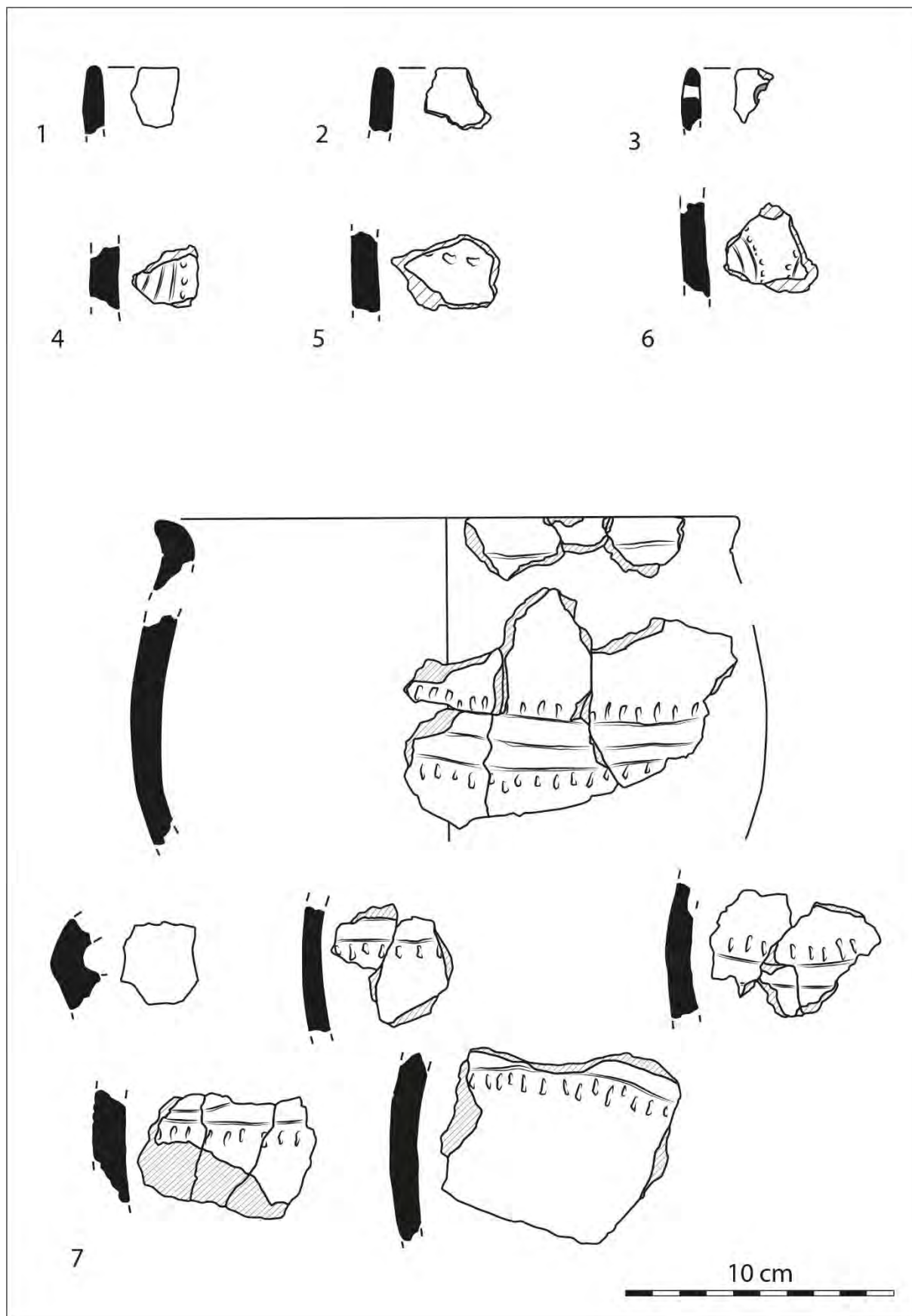


Planche 3 : profil incomplet, éléments de vases et décors de la couche C13.

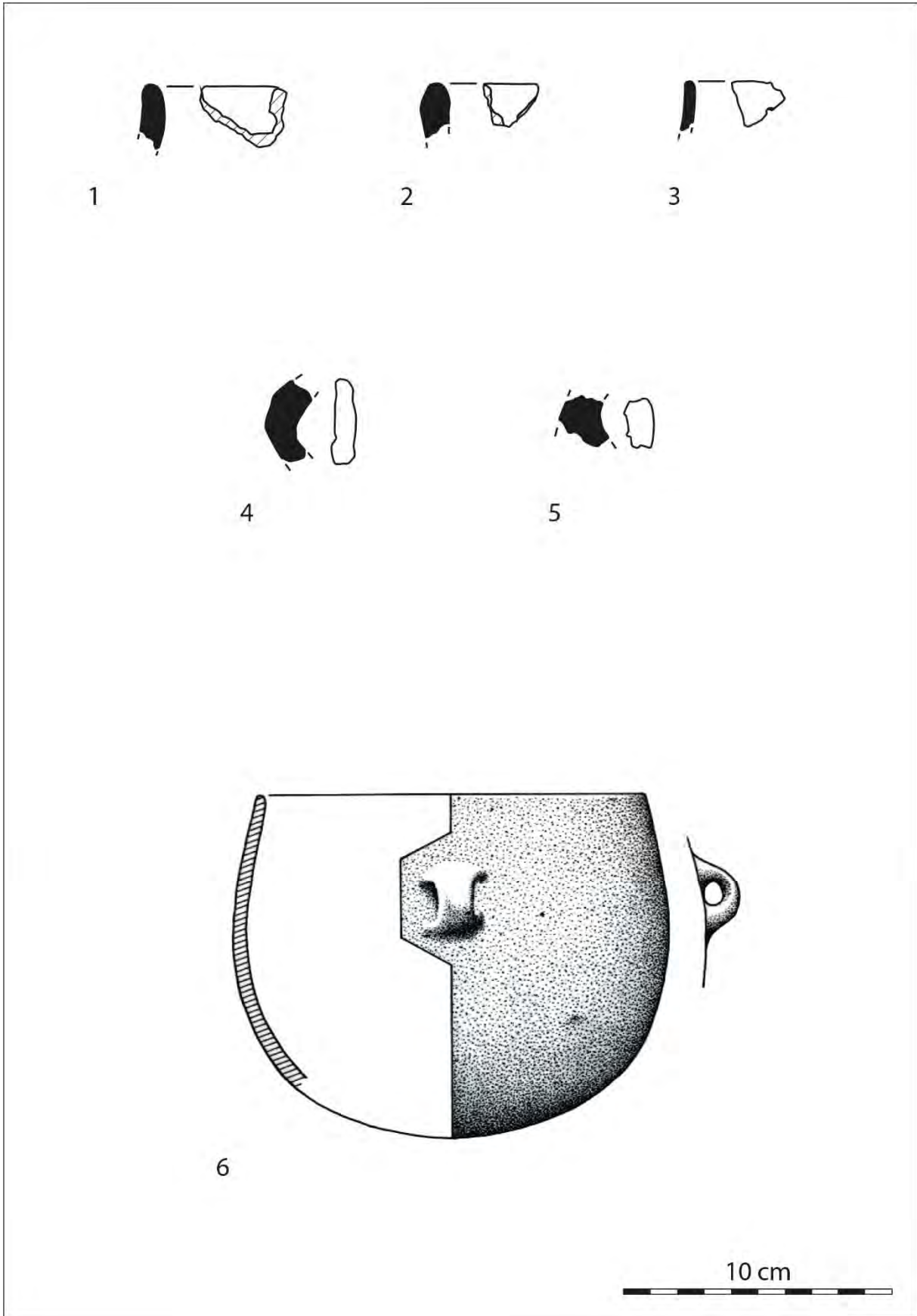


Planche 4 : profil restitué, éléments de vases et préhensions de la couche C12. 6 : dessin : J. Coularou.

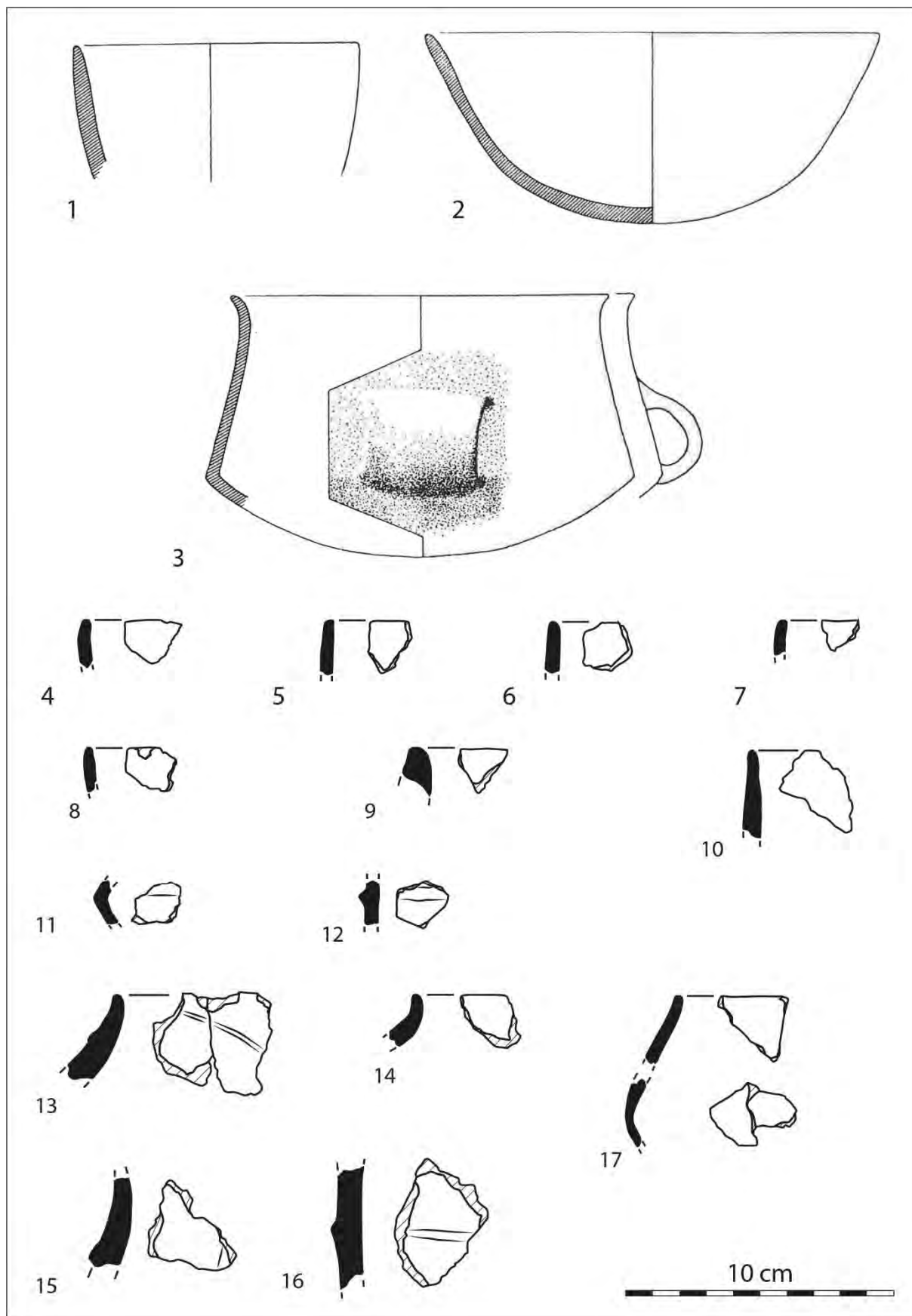


Planche 5 : profils restitués, profil incomplet, éléments de vases et décors de la couche C11. 1 à 3 : dessin : P. Barthès.

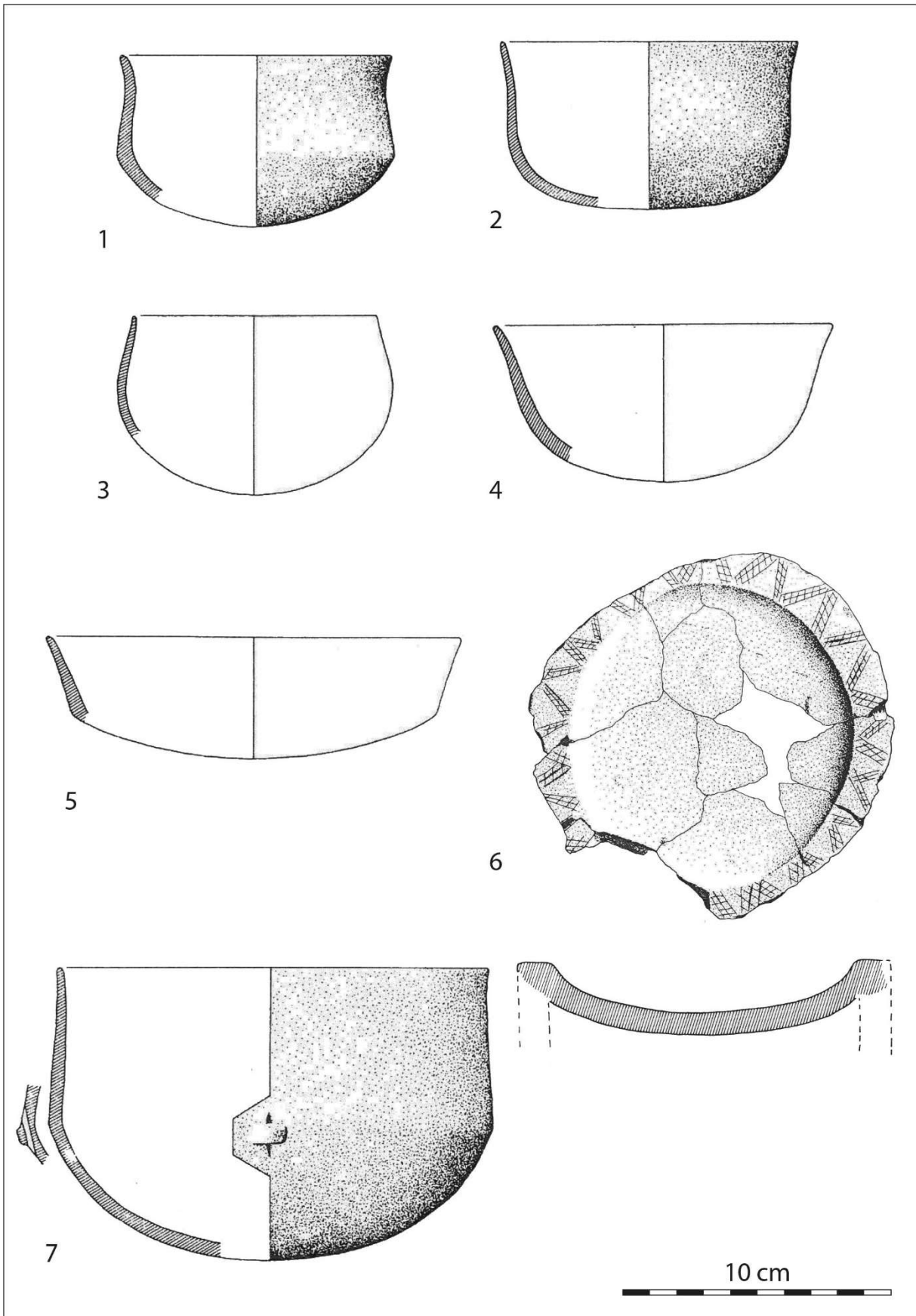


Planche 6 : profils restitués et décor de l'ensemble C10 inf. Dessins : P. Barthès.

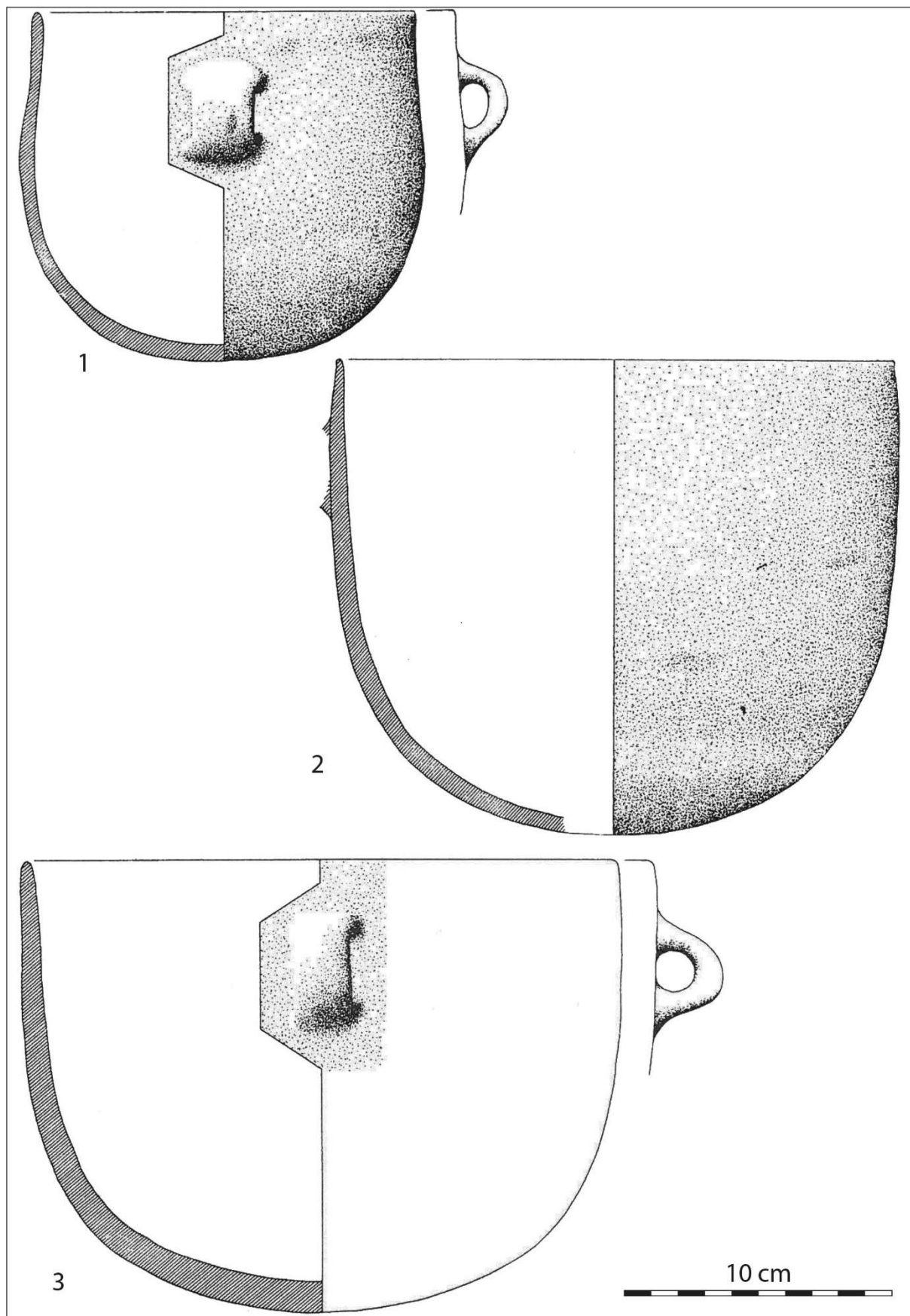


Planche 7 : profils restitués de l'ensemble C10 inf. Dessins : P. Barthès.

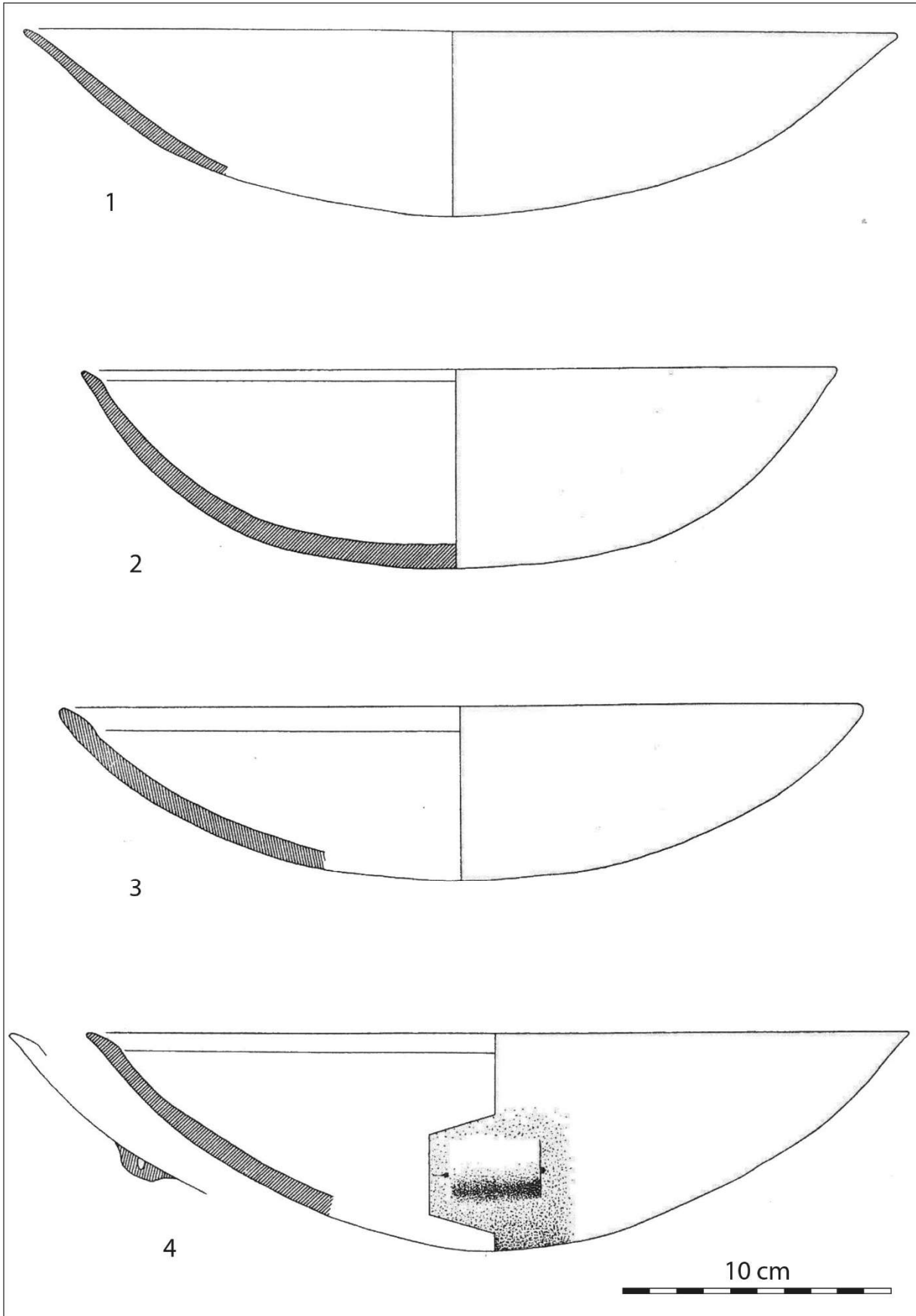


Planche 8 : profils restitués de l'ensemble C10 inf. Dessins : P. Barthès.

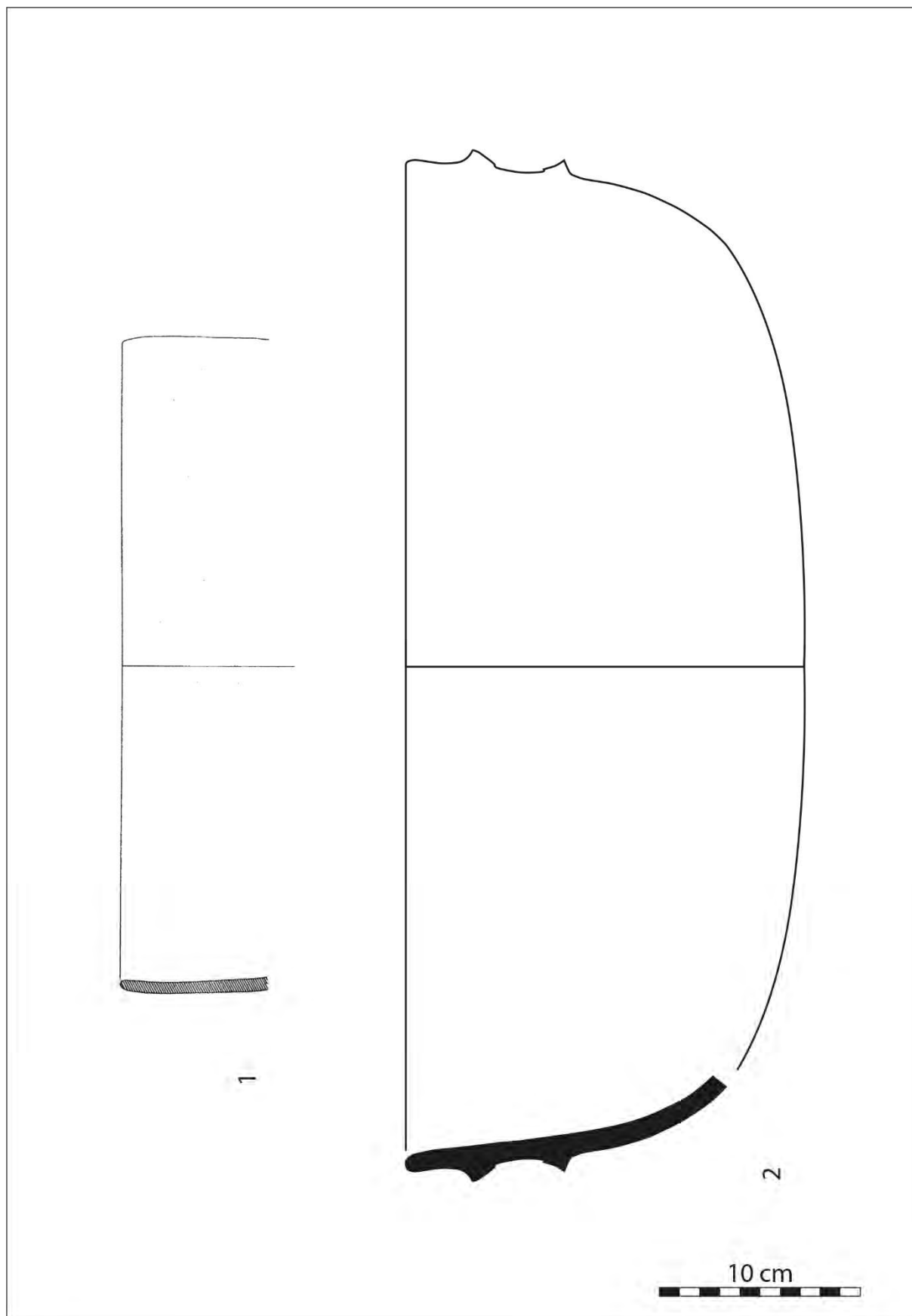


Planche 9 : profil incomplet et profil restitué de l'ensemble C10 inf. 1 : dessin : P. Barthès.

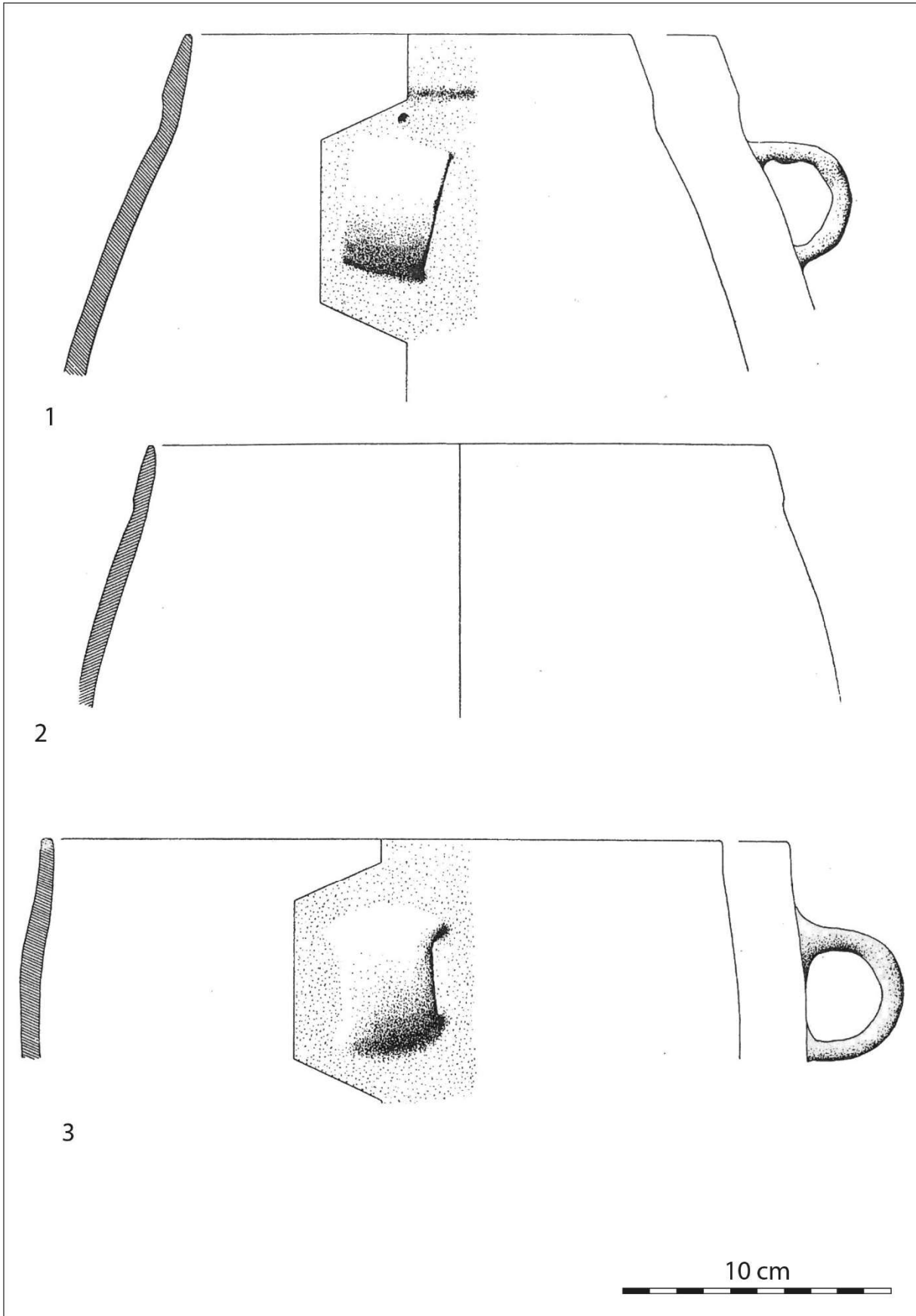


Planche 10 : profils incomplets de l'ensemble C10 inf. Dessins : P. Barthès.

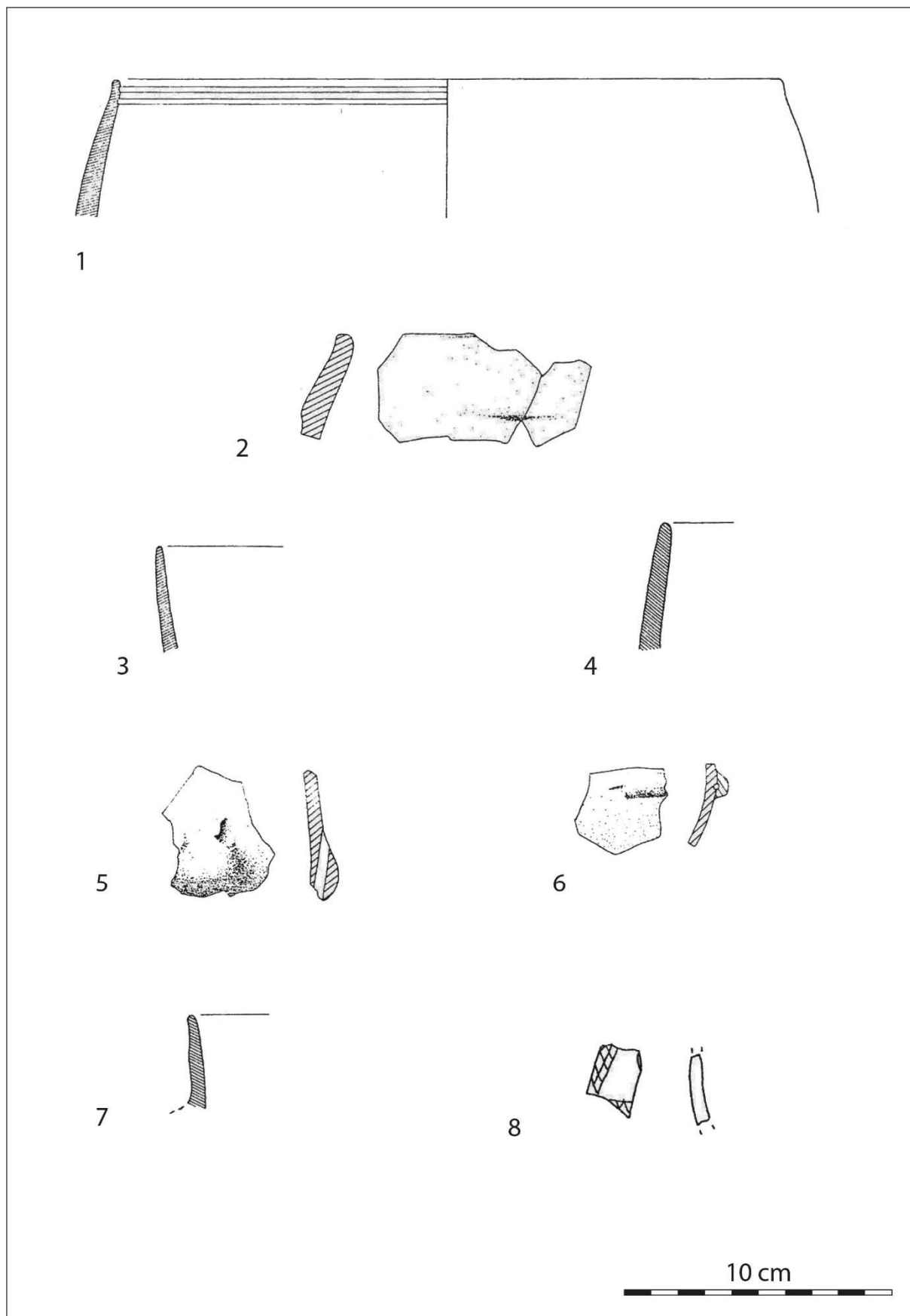


Planche 11 : profil incomplet, éléments de vases, préhensions et décors de l'ensemble C10 inf. Dessins : P. Barthès.

III. Auriac-Golf (Carcassonne, Aude)

Structure	NR	Poids (g)	Poids moyen	Epaisseur (mm)		
				< 6	6 - 9	> 9
St 2	95	619	6,5	54	32	9
				57%	34%	9%
St 3	58	404	7,0	47	11	
				81%	19%	
St 4	34	296	8,7	17	12	5
				50%	35%	15%
St 6	489	5419	11,1	298	175	16
				61%	36%	3%
St 7	66	581	8,8	40	23	3
				61%	35%	5%
St 8	187	1868	10,0	87	89	11
				47%	48%	6%
St 9	103	315	3,1	79	16	8
				77%	16%	8%
St 10	173	1777	10,3	82	71	20
				47%	41%	12%
St 11	370	5041	13,6	156	146	68
				42%	39%	18%
St 12	95	683	7,2	64	24	7
				67%	25%	7%
St 13	26	51	2,0	14	11	1
St 16	30	78	2,6	20	9	1
				67%	30%	3%
St 17	119	955	8,0	46	58	15
				39%	49%	13%
St 18	80	297	3,7	39	37	4
				49%	46%	5%
St 19	88	551	6,3	36	43	9
				41%	49%	10%
Nappe sud	321	1617	5,0	136	142	43
				42%	44%	13%
Total	2334	20552	8,8	1215	899	220

Figure 1 : décomptes généraux détaillés par structures du mobilier céramique du site d'Auriac-Golf (NR = Nombre de Restes), proportions des classes d'épaisseur des parois.

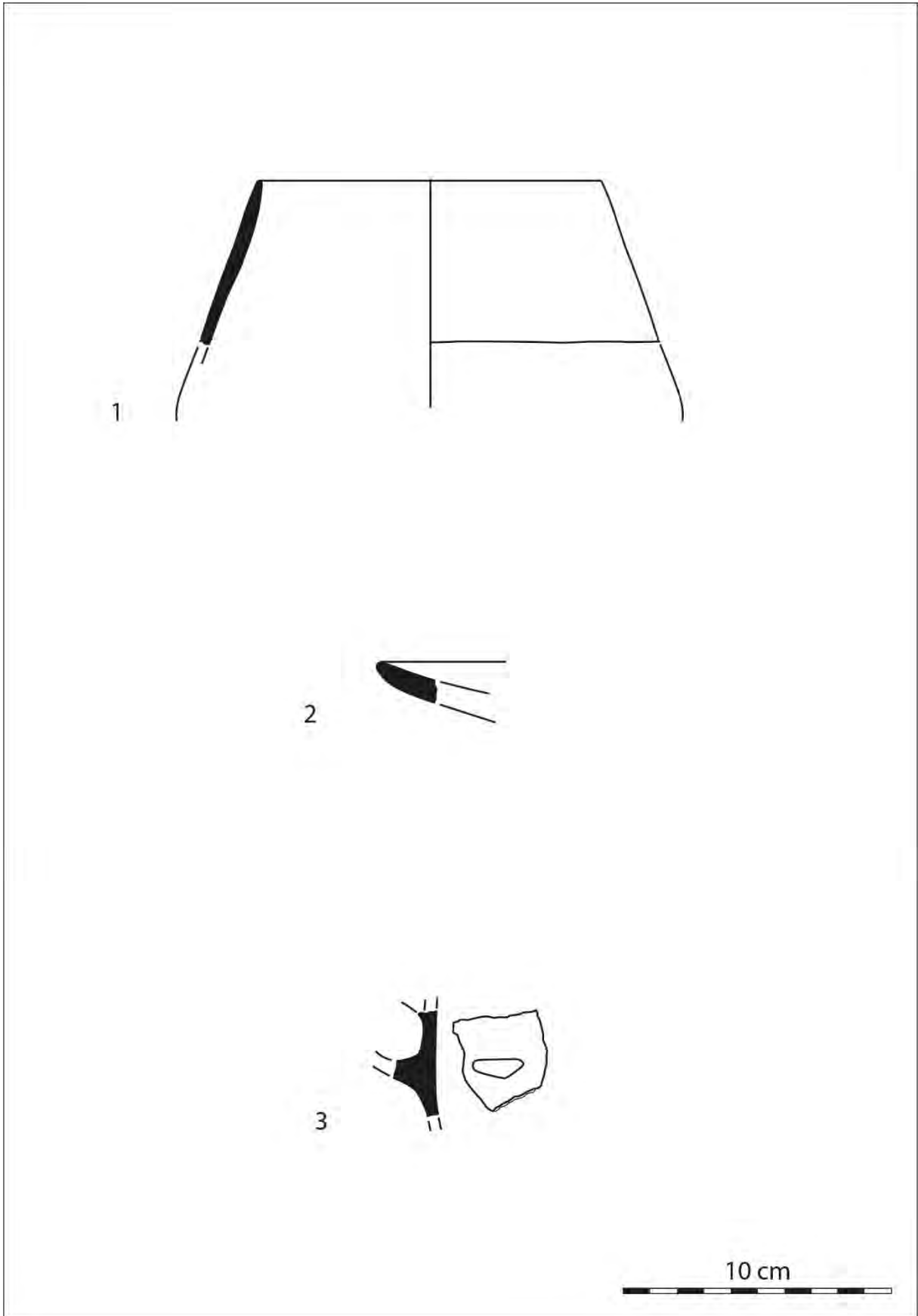


Planche 1 : profil incomplet, élément de vase et préhension de la structure St 2. Dessins : A. Gaillard.

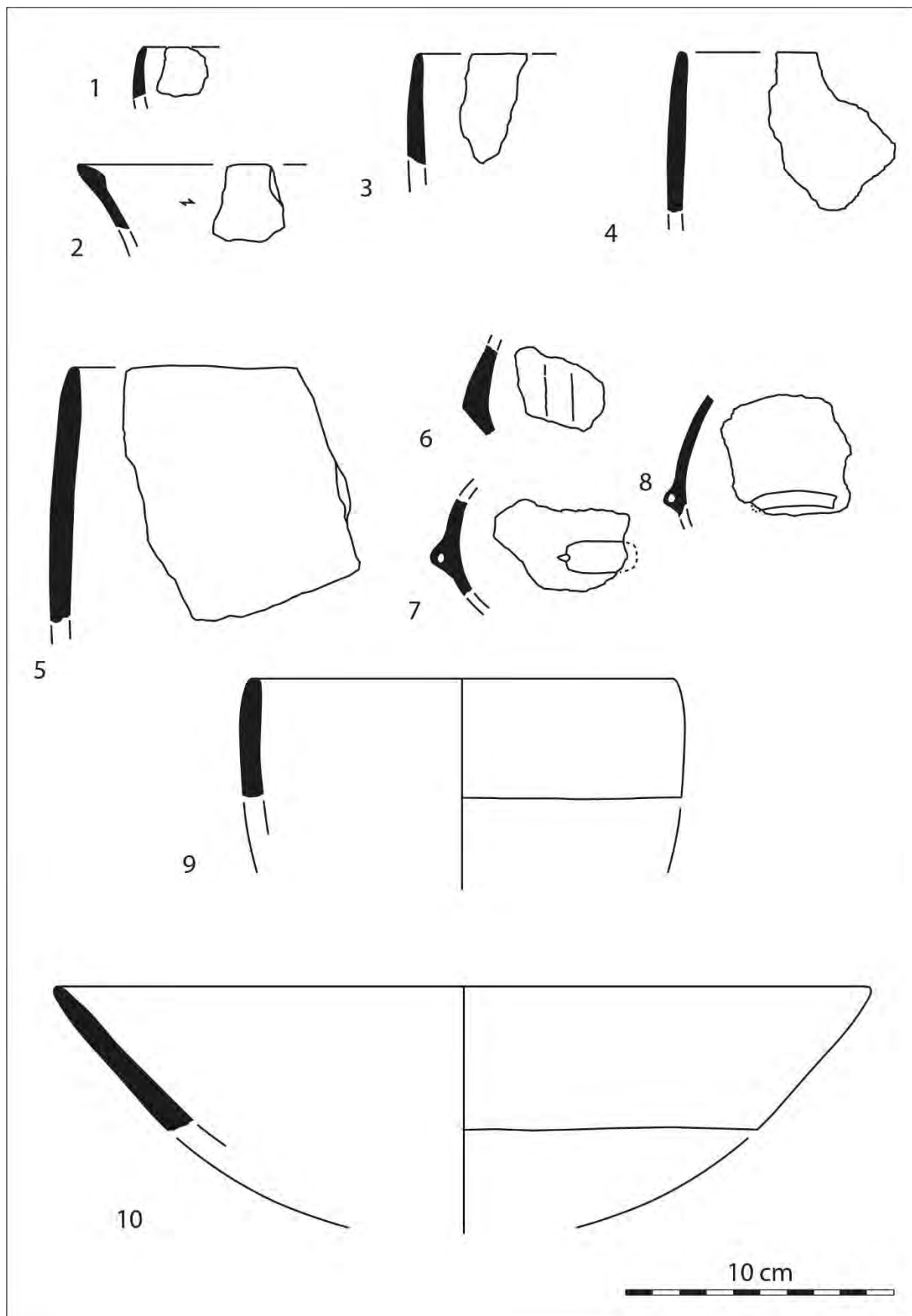


Planche 2 : profil restitué, profil incomplet, éléments de vases et préhensions de la structure St 3. Dessins : A. Gaillard.

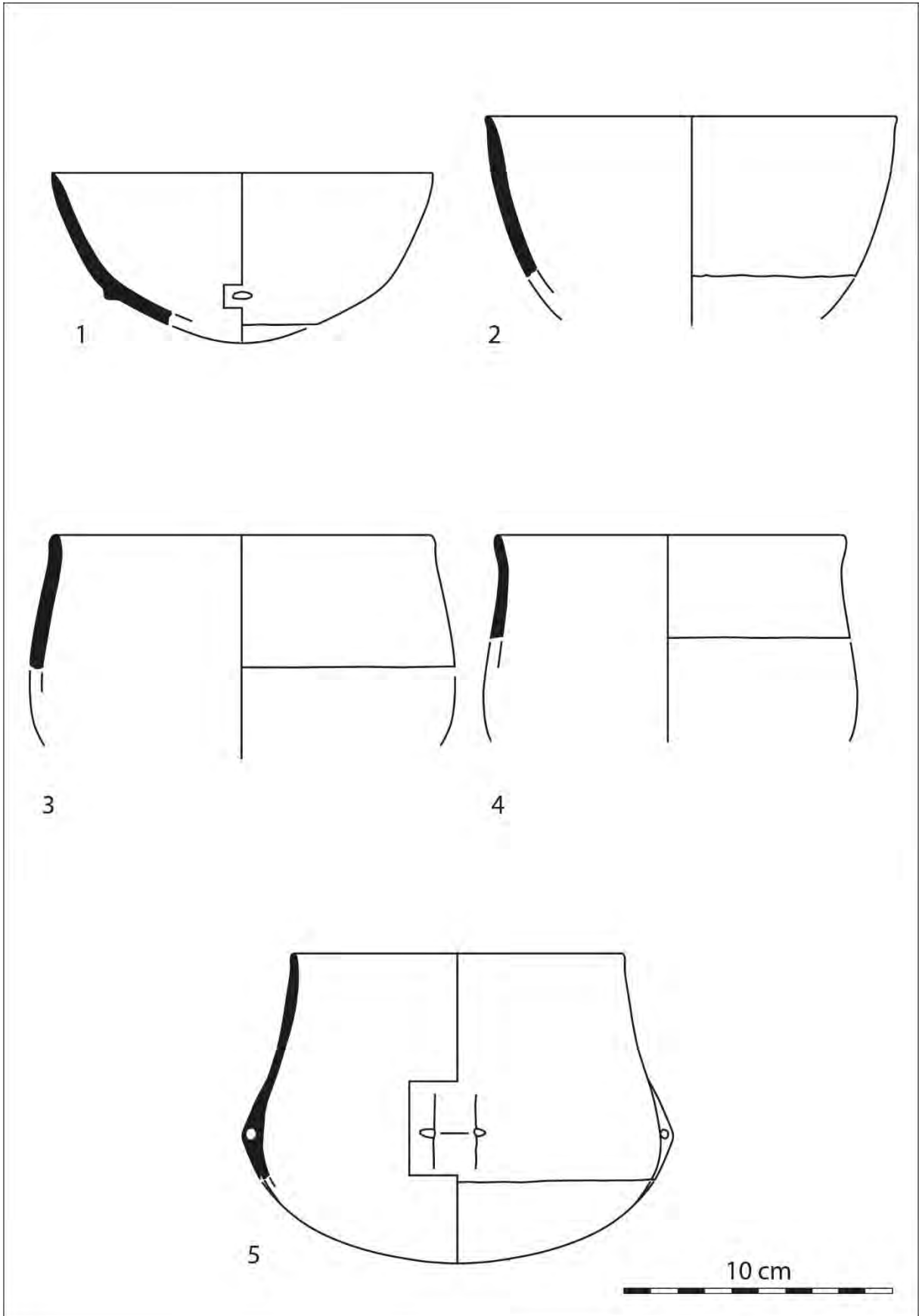


Planche 3 : profils restitués de la structure St 6. Dessins : A. Gaillard.

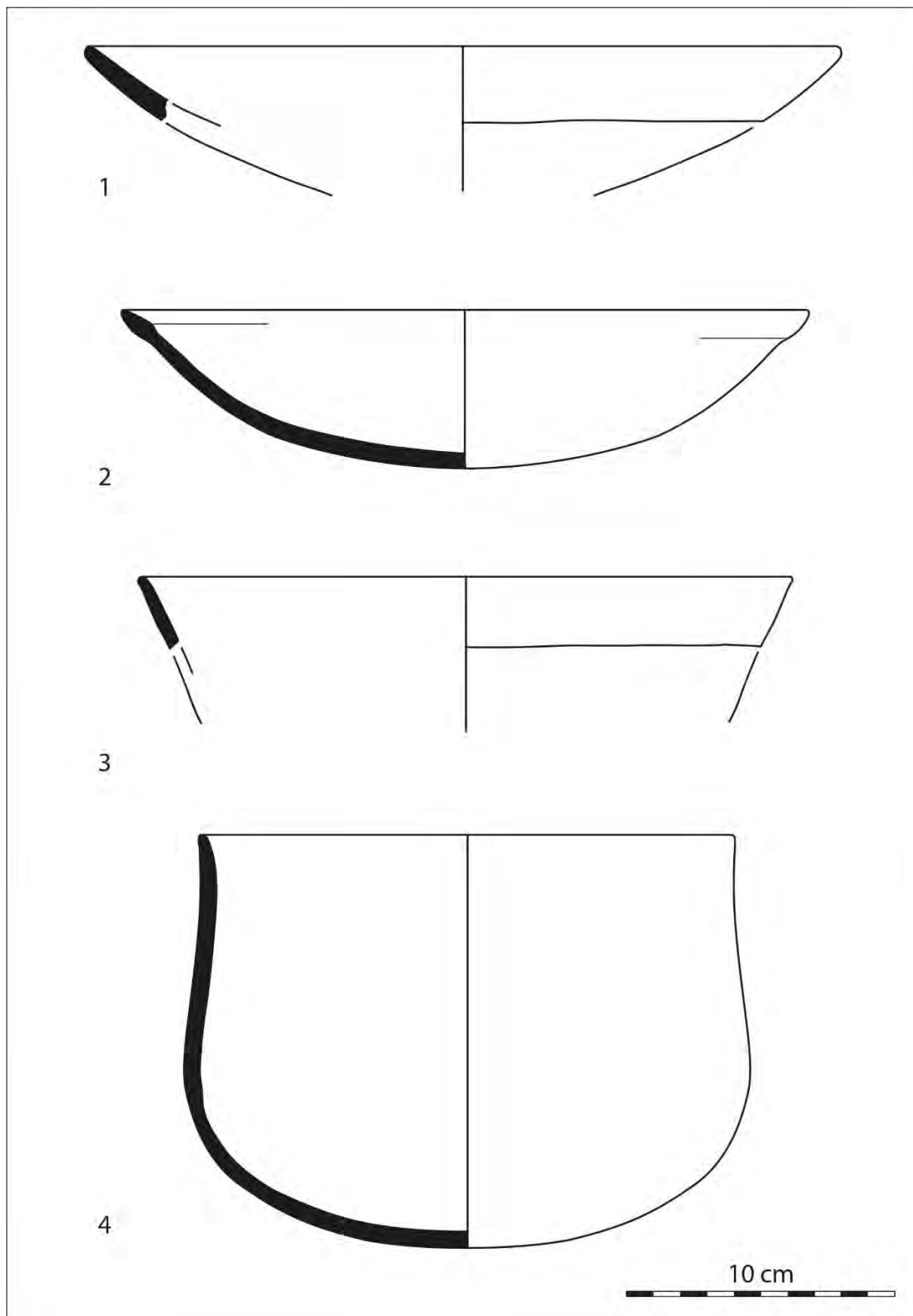


Planche 4 : profils restitués ou incomplets de la structure St 6. Dessins : A. Gaillard.

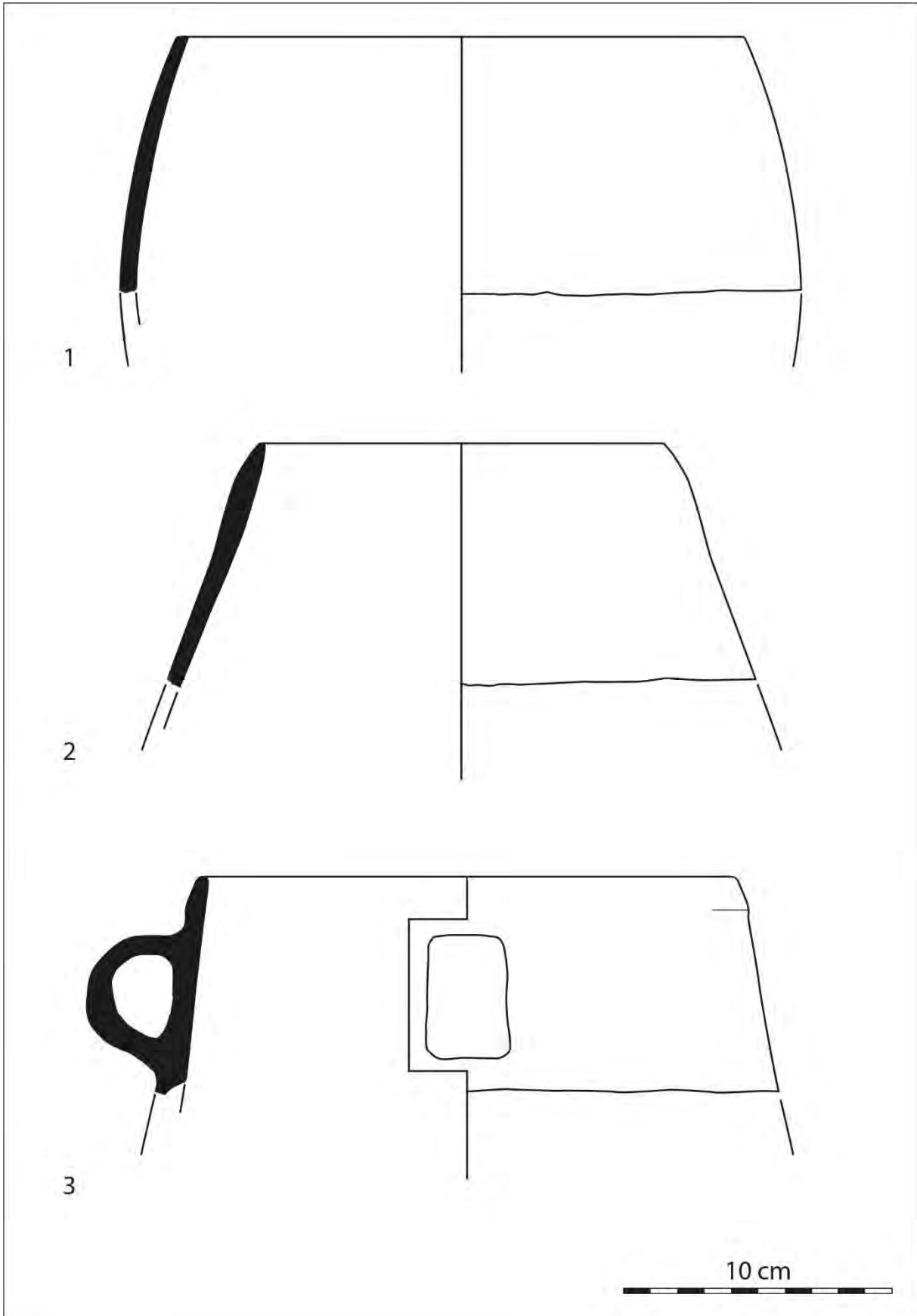


Planche 5 : profils incomplets de la structure St 6. Dessins : A. Gaillard.

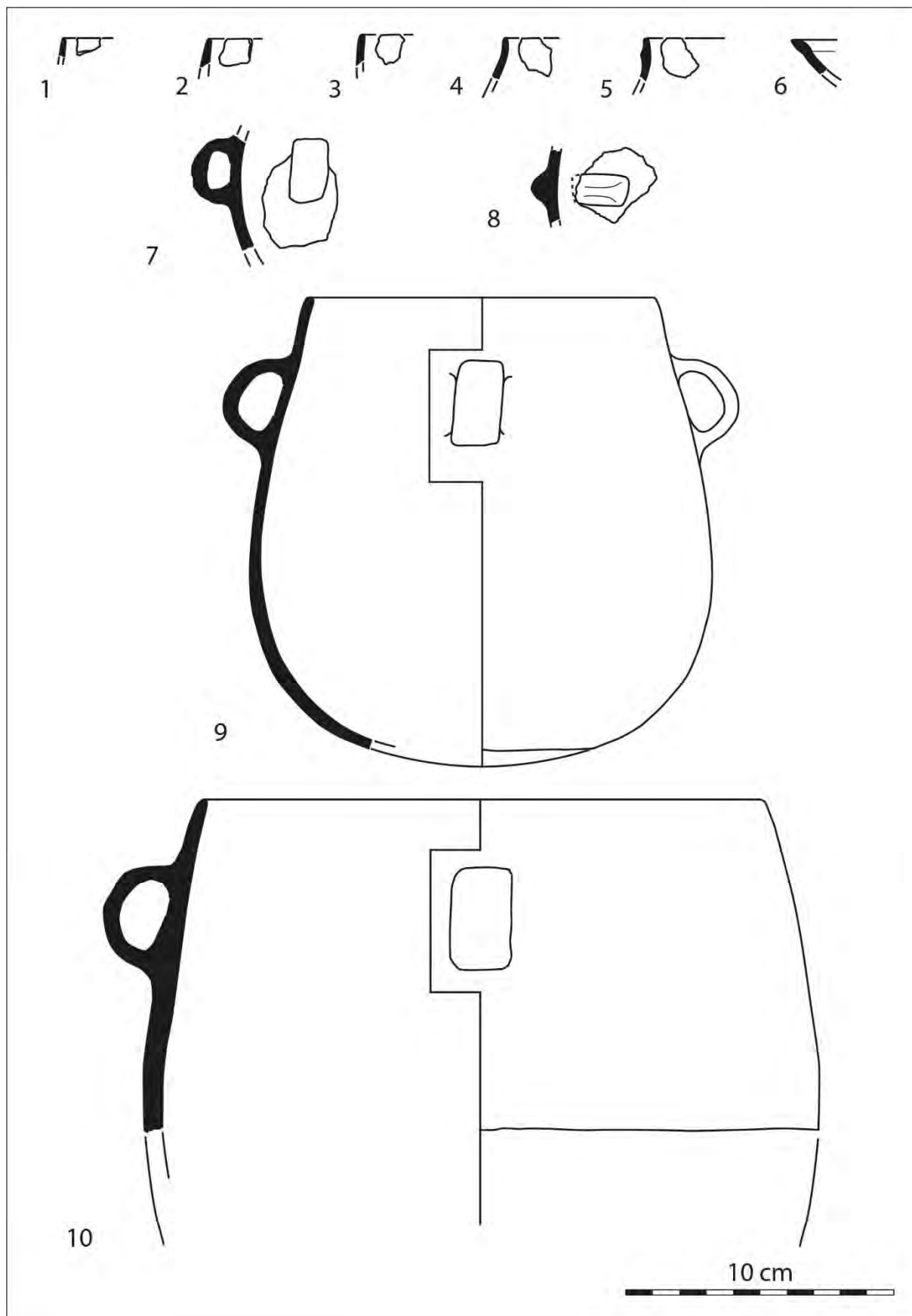


Planche 6 : profils restitués ou incomplets, éléments de vases et préhensions de la structure St 6. Dessins : A. Gaillard.

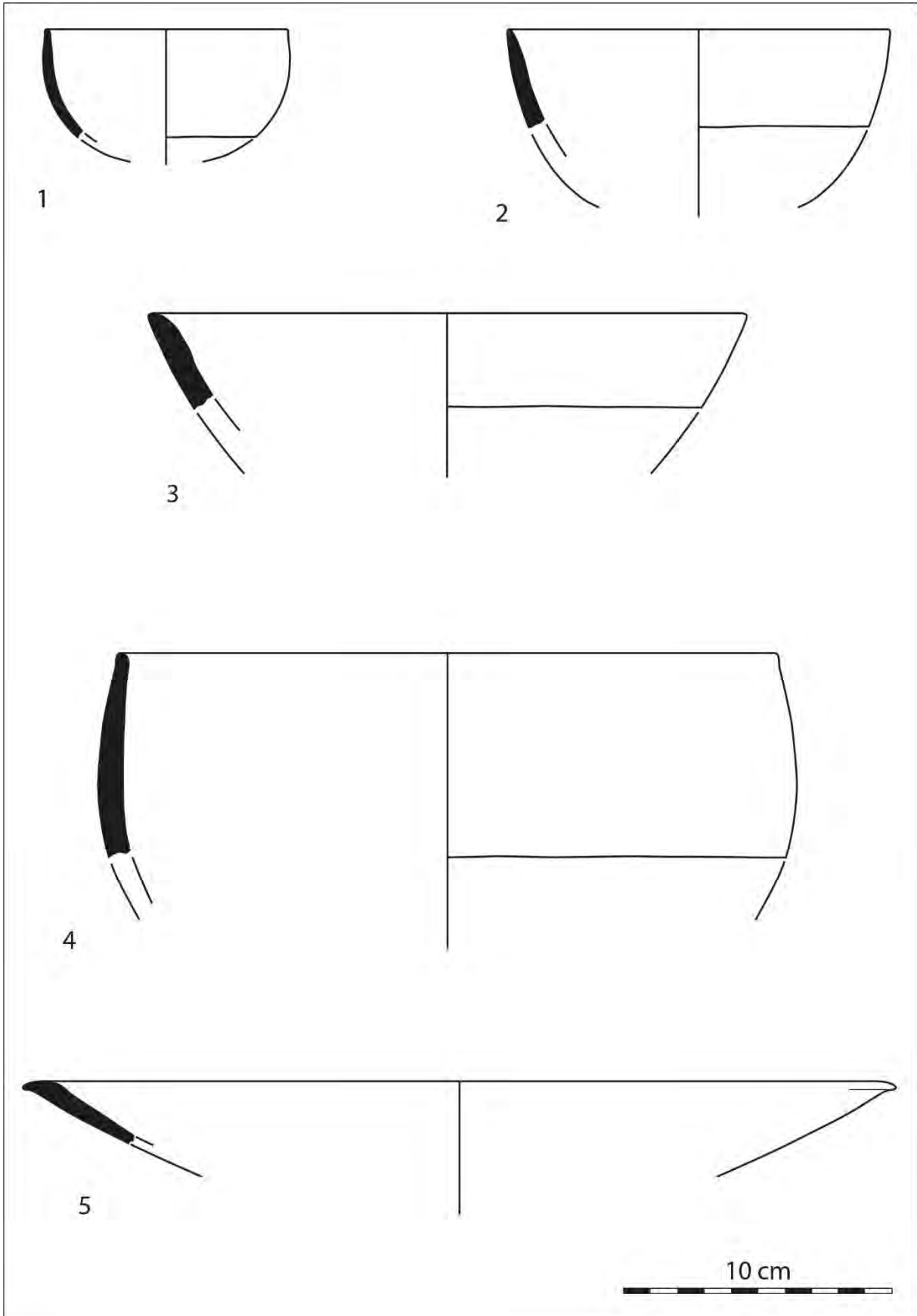


Planche 7 : profils restitués ou incomplets de la structure St 8. Dessins : A. Gaillard.

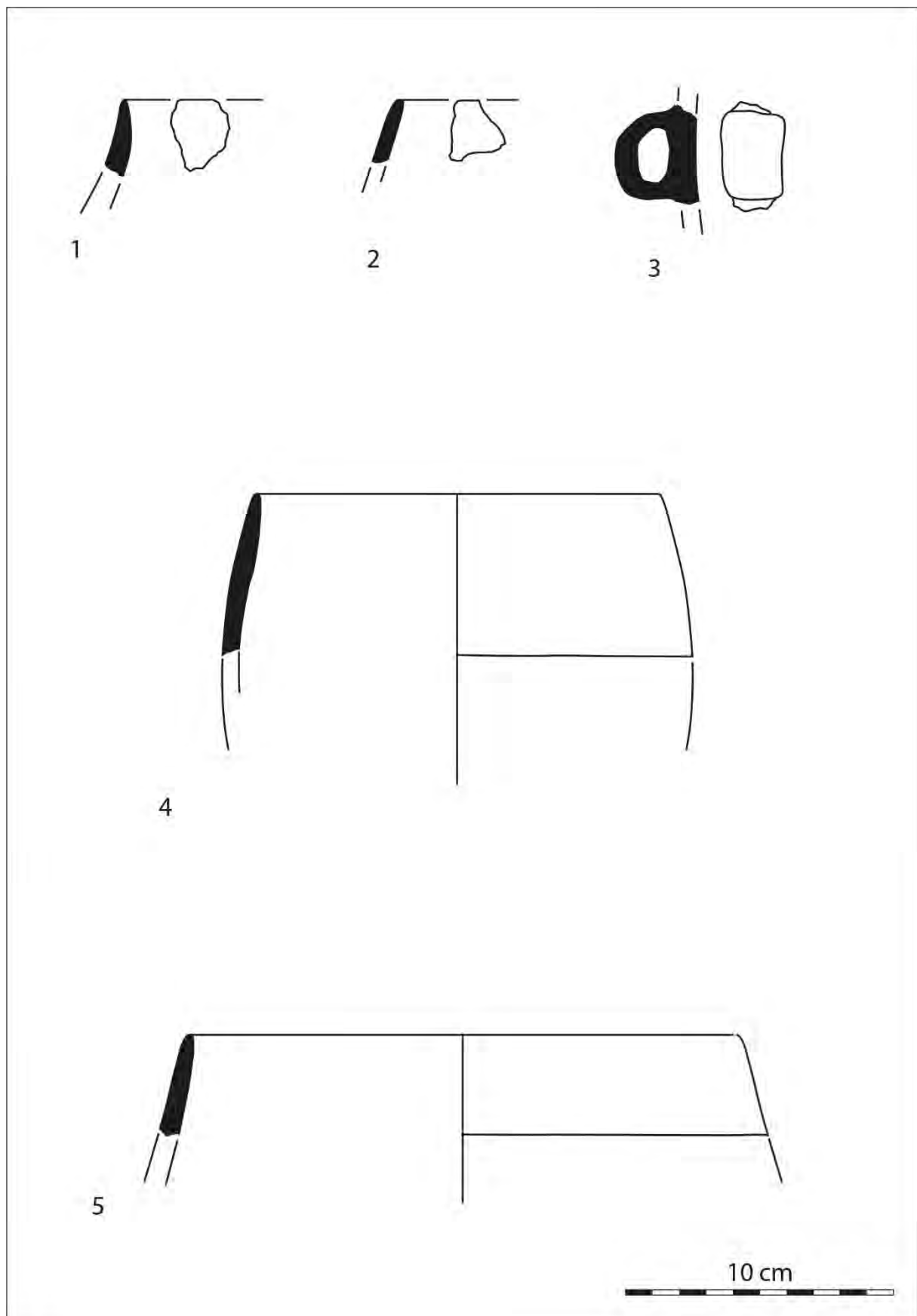


Planche 8 : profils incomplets, éléments de vases et préhensions de la structure St 8. Dessins : A. Gaillard.

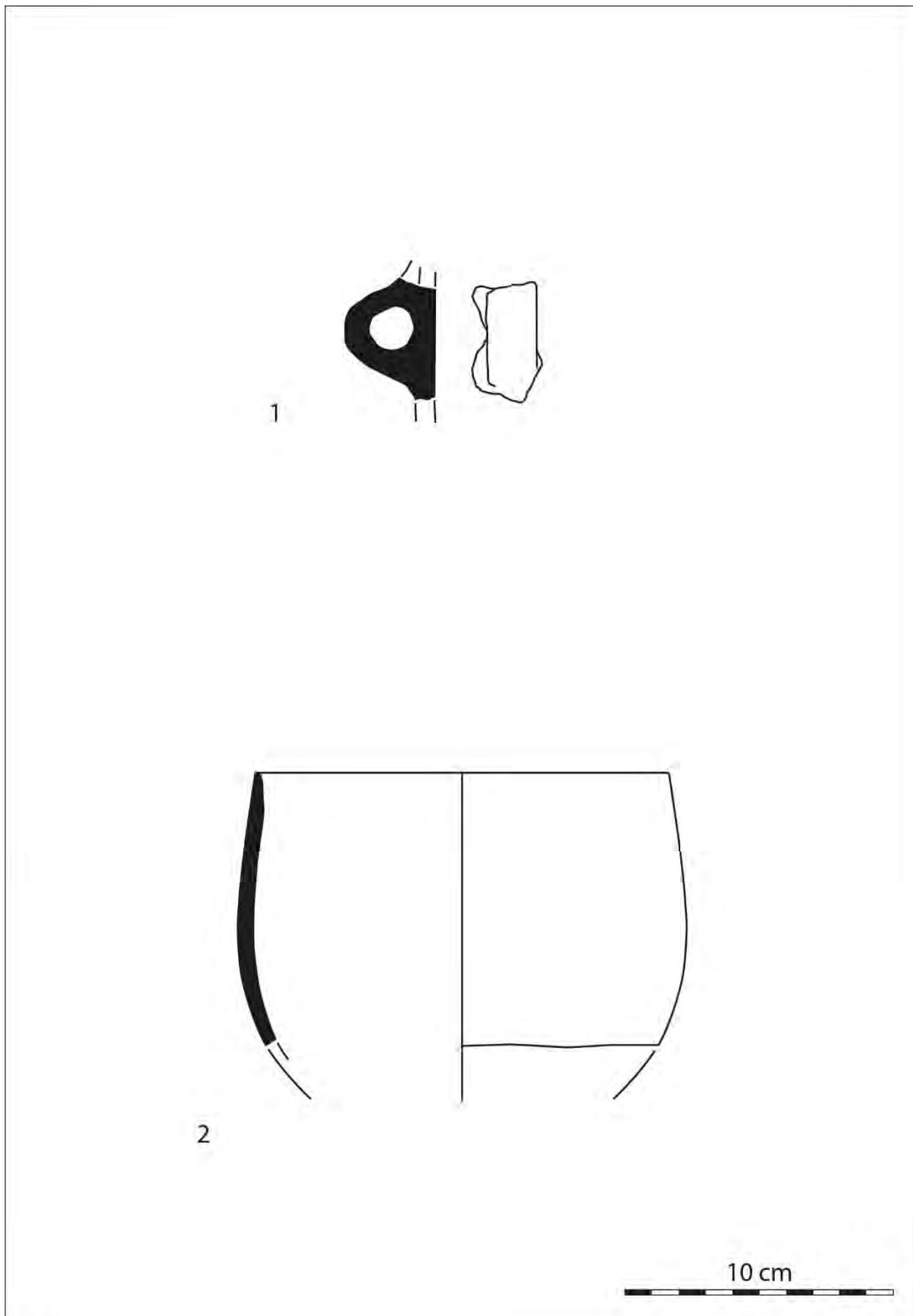


Planche 9 : profil restitué et élément de préhension de la structure St 9. Dessins : A. Gaillard.

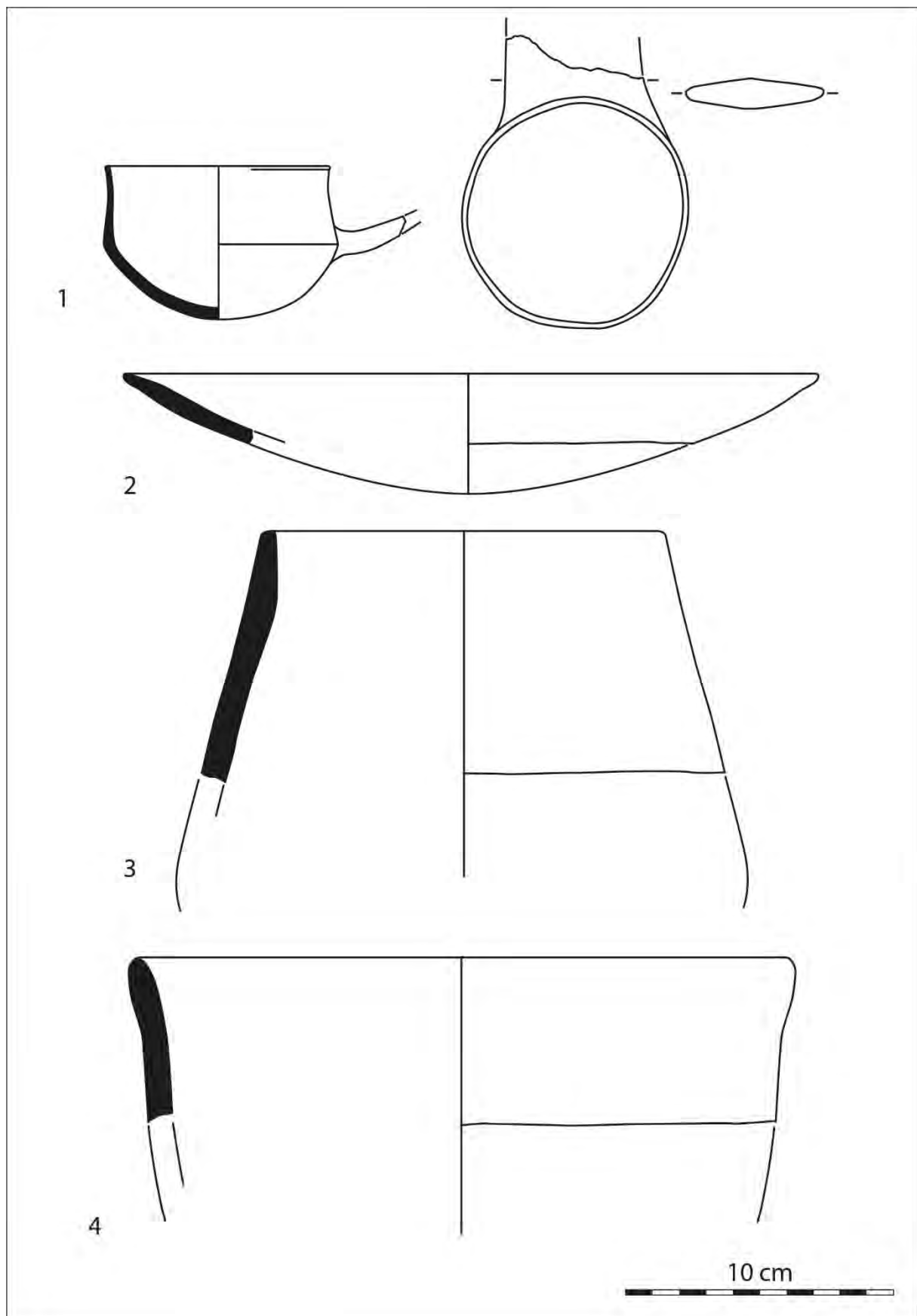


Planche 10 : profils restitués ou incomplets de la structure St 10. Dessins : A. Gaillard.

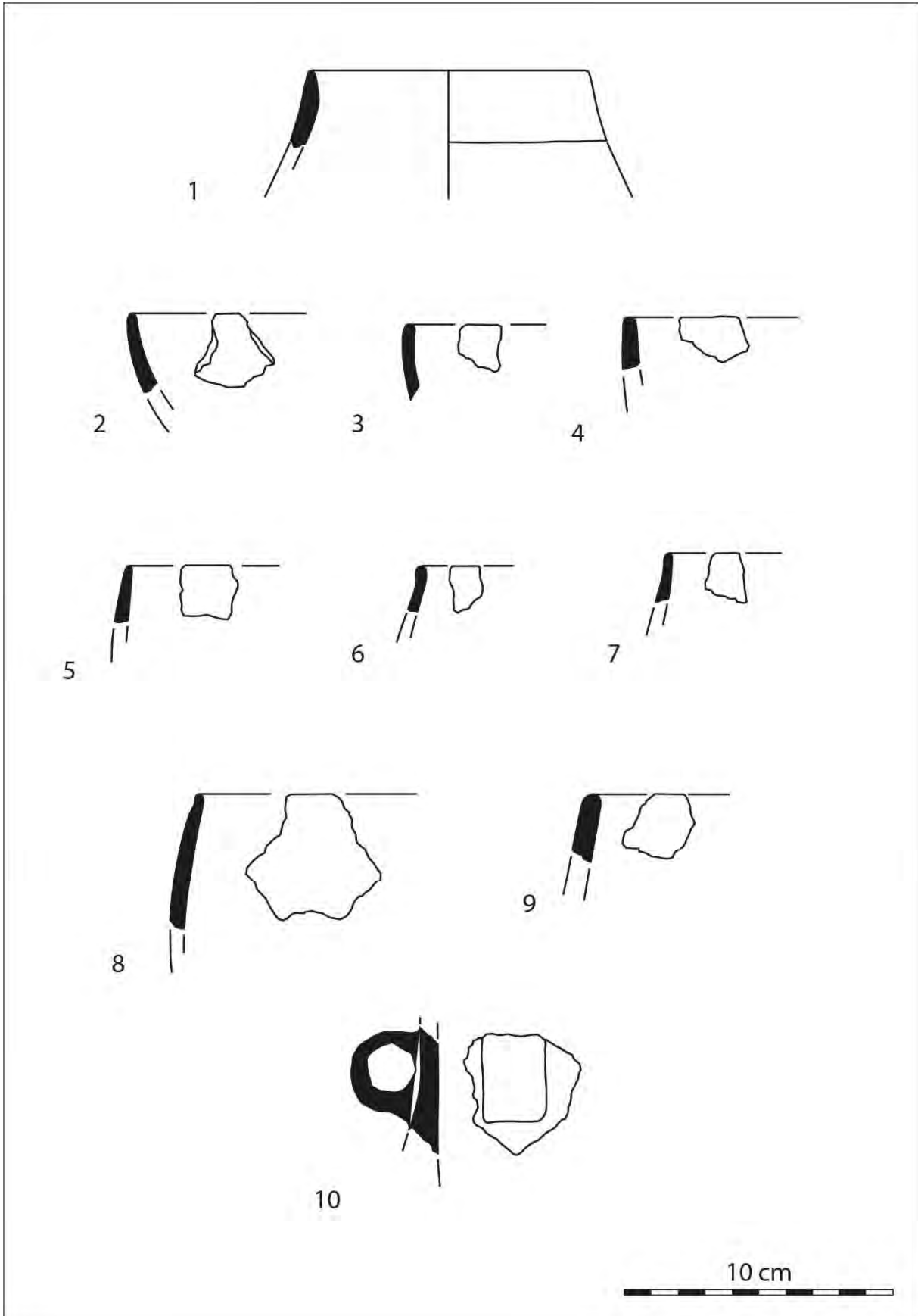


Planche 11 : profil incomplet, éléments de vases et préhension de la structure St 10. Dessins : A. Gaillard.

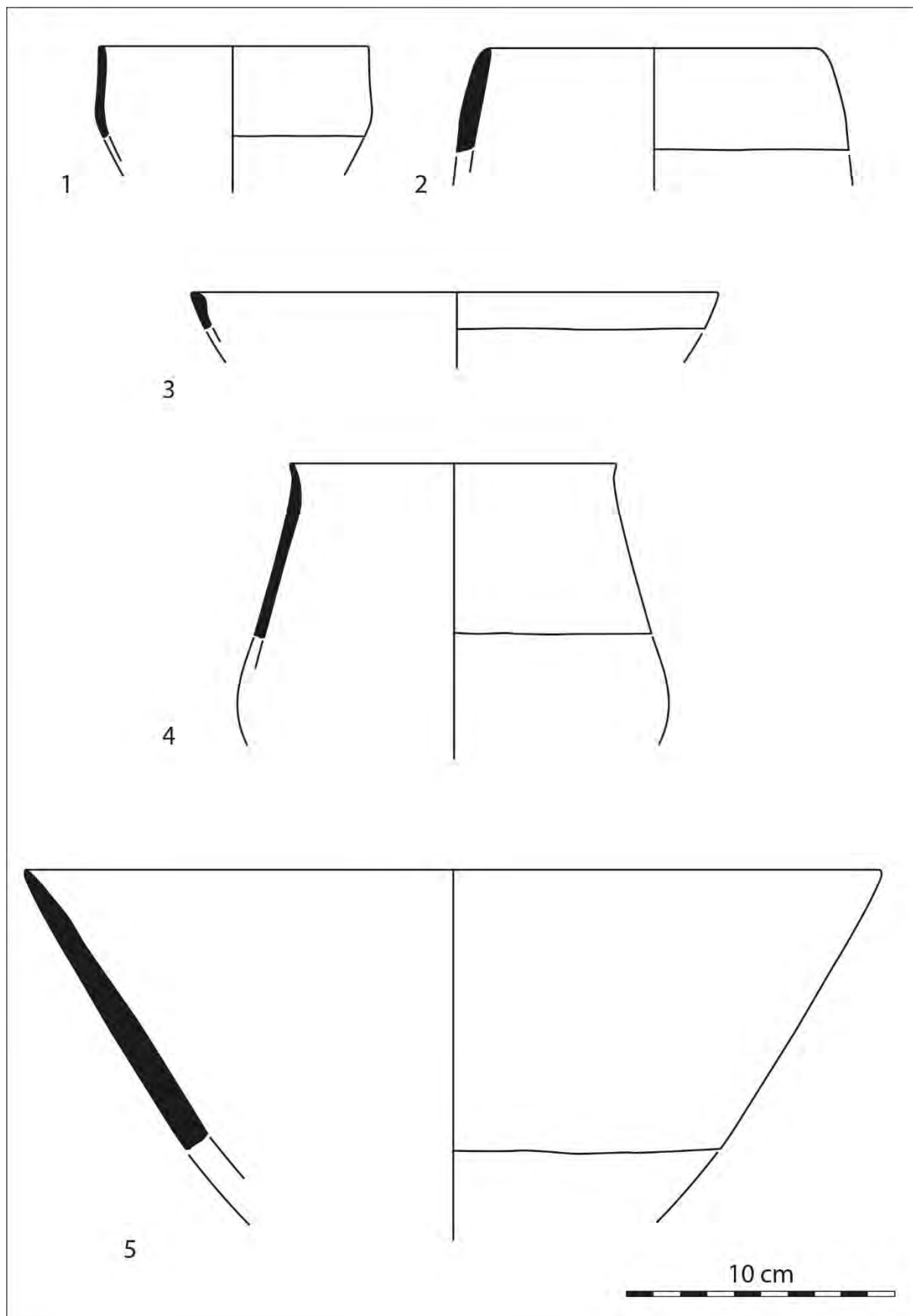


Planche 12 : profils restitués ou incomplets de la structure St 11. Dessins : A. Gaillard.

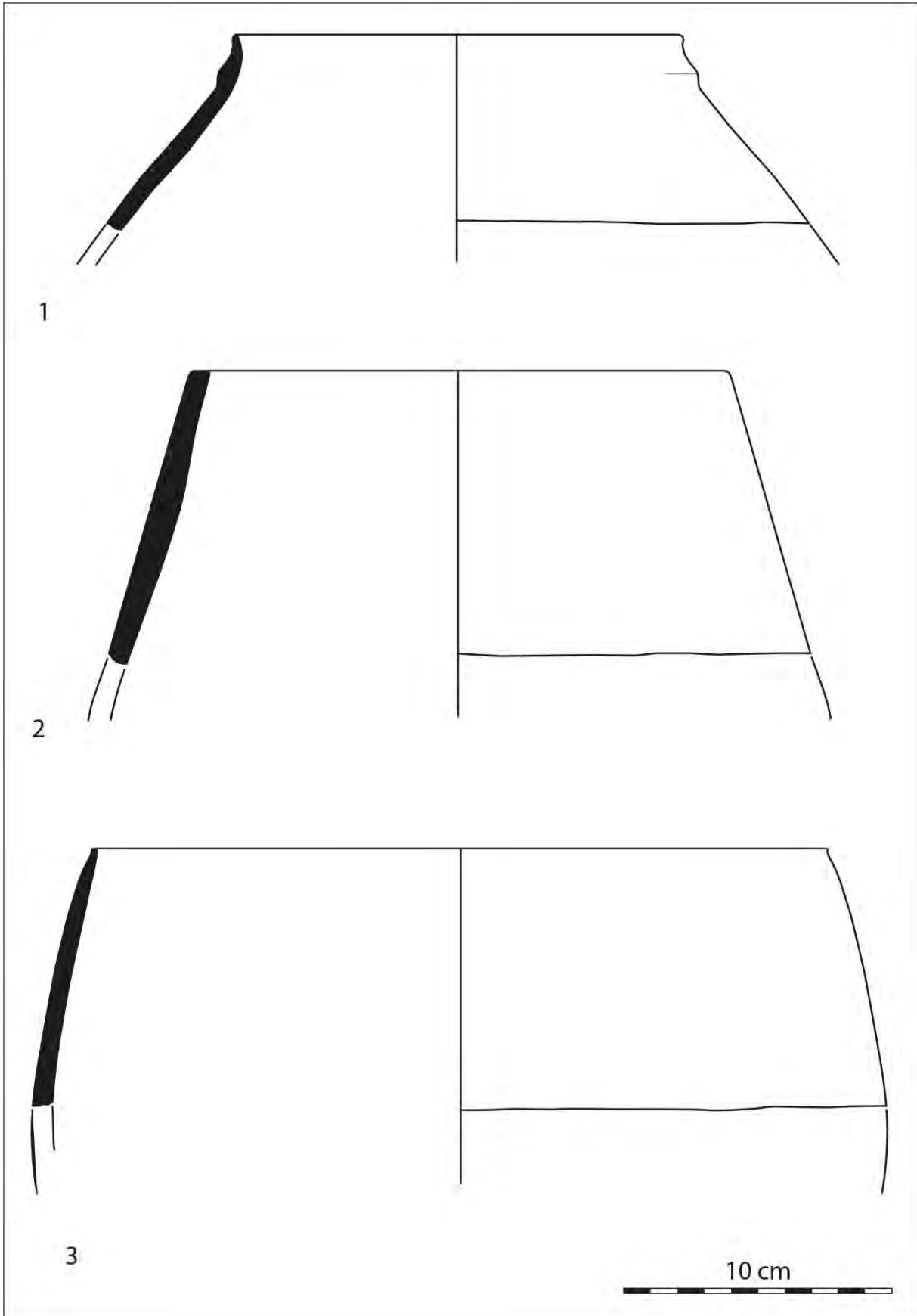


Planche 13 : profils incomplets de la structure St 11. Dessins : A. Gaillard.

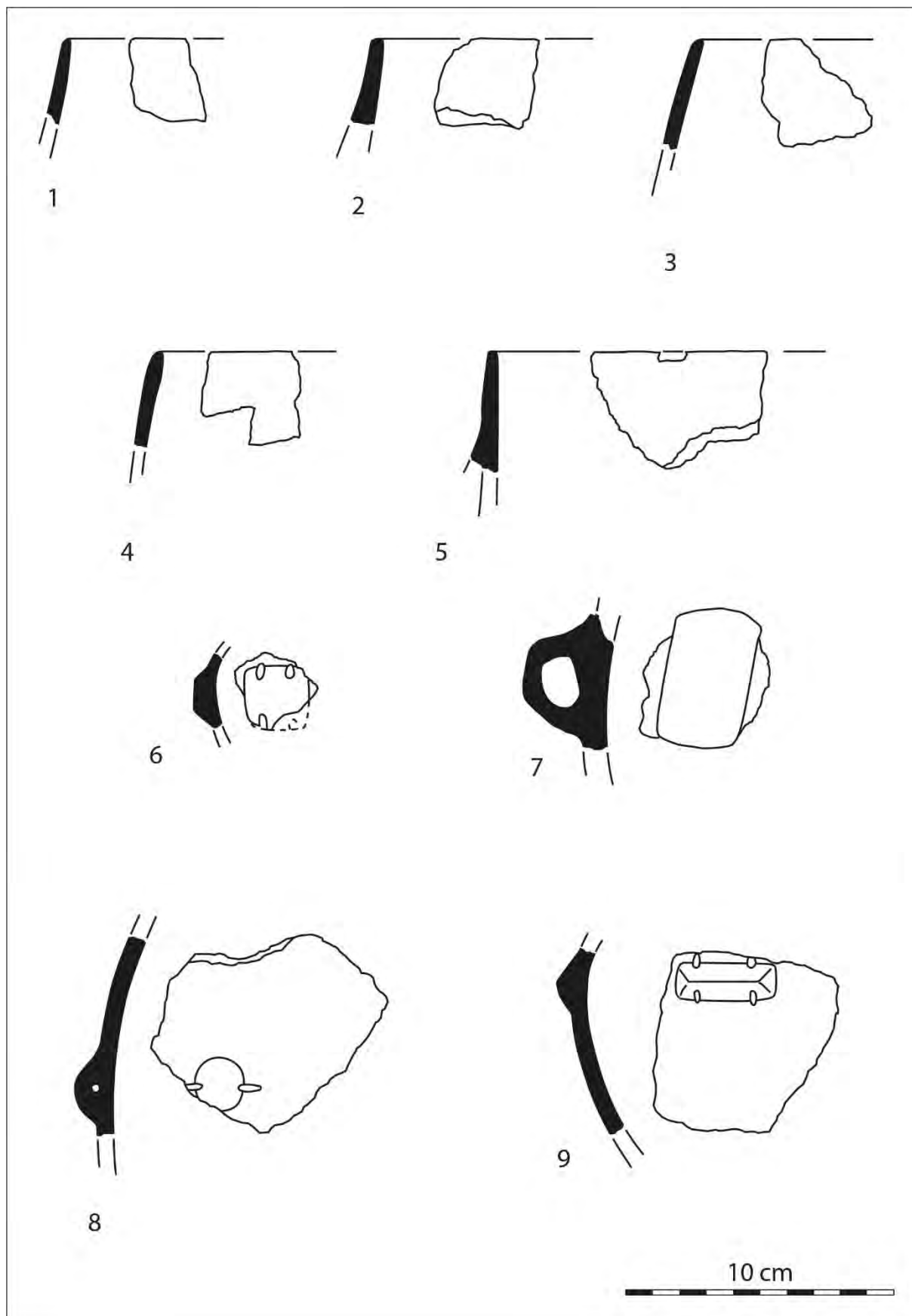


Planche 14 : éléments de vases et préhensions de la structure St 11. Dessins : A. Gaillard.

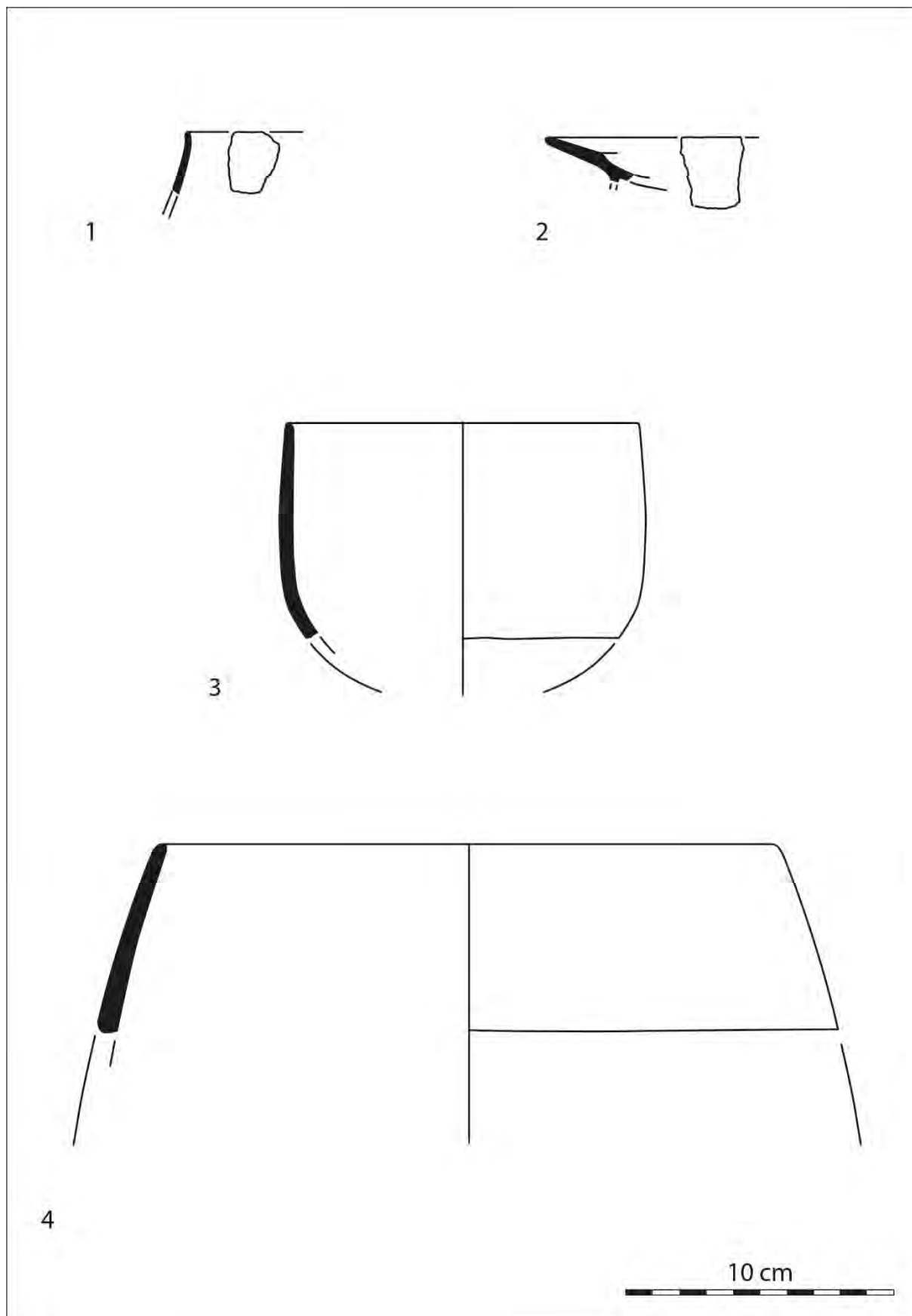


Planche 15 : profil restitué, profil incomplet et éléments de vases de la structure St 12. Dessins : A. Gaillard.

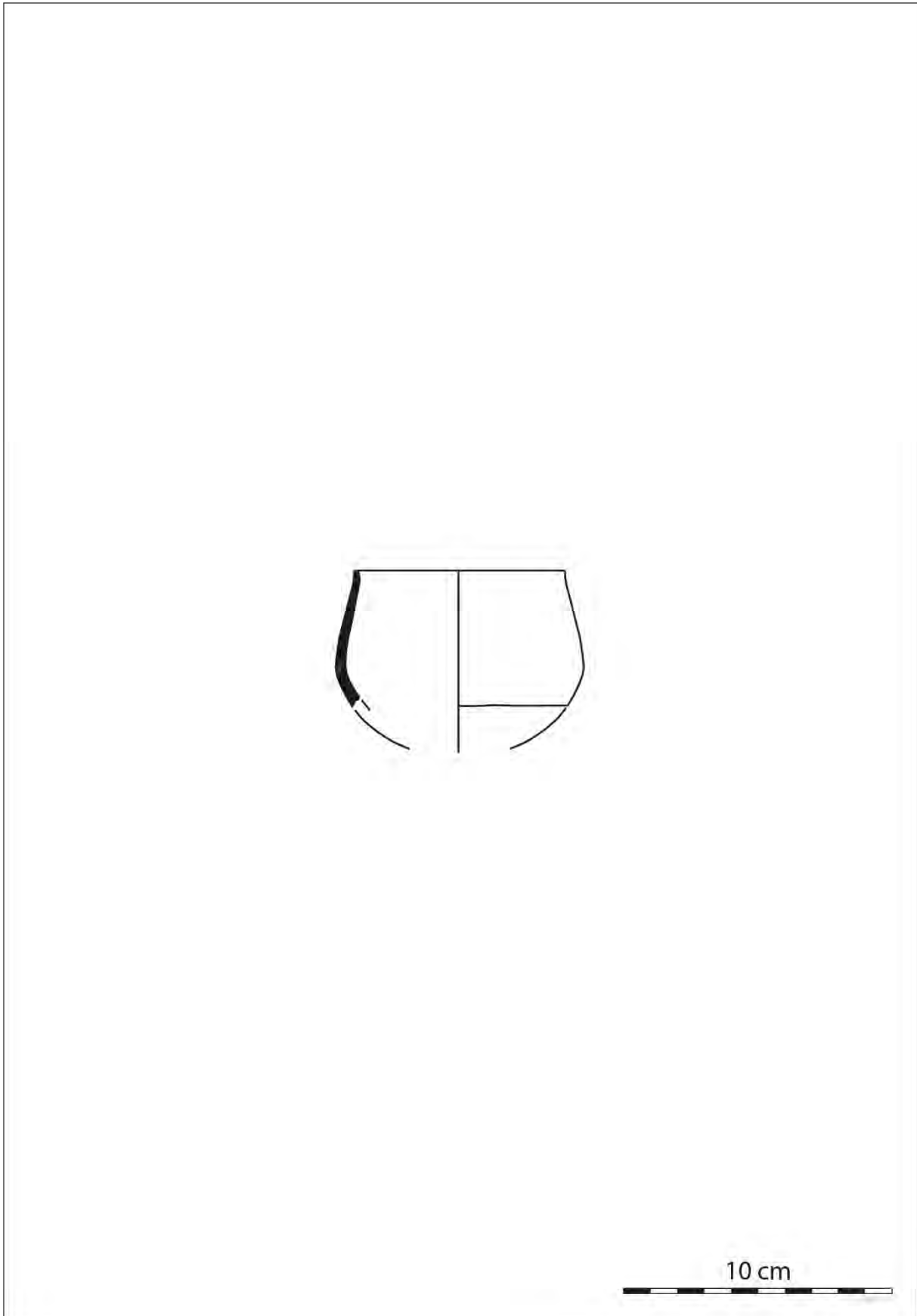


Planche 16 : profil restitué de la structure St 13. Dessins : A. Gaillard.

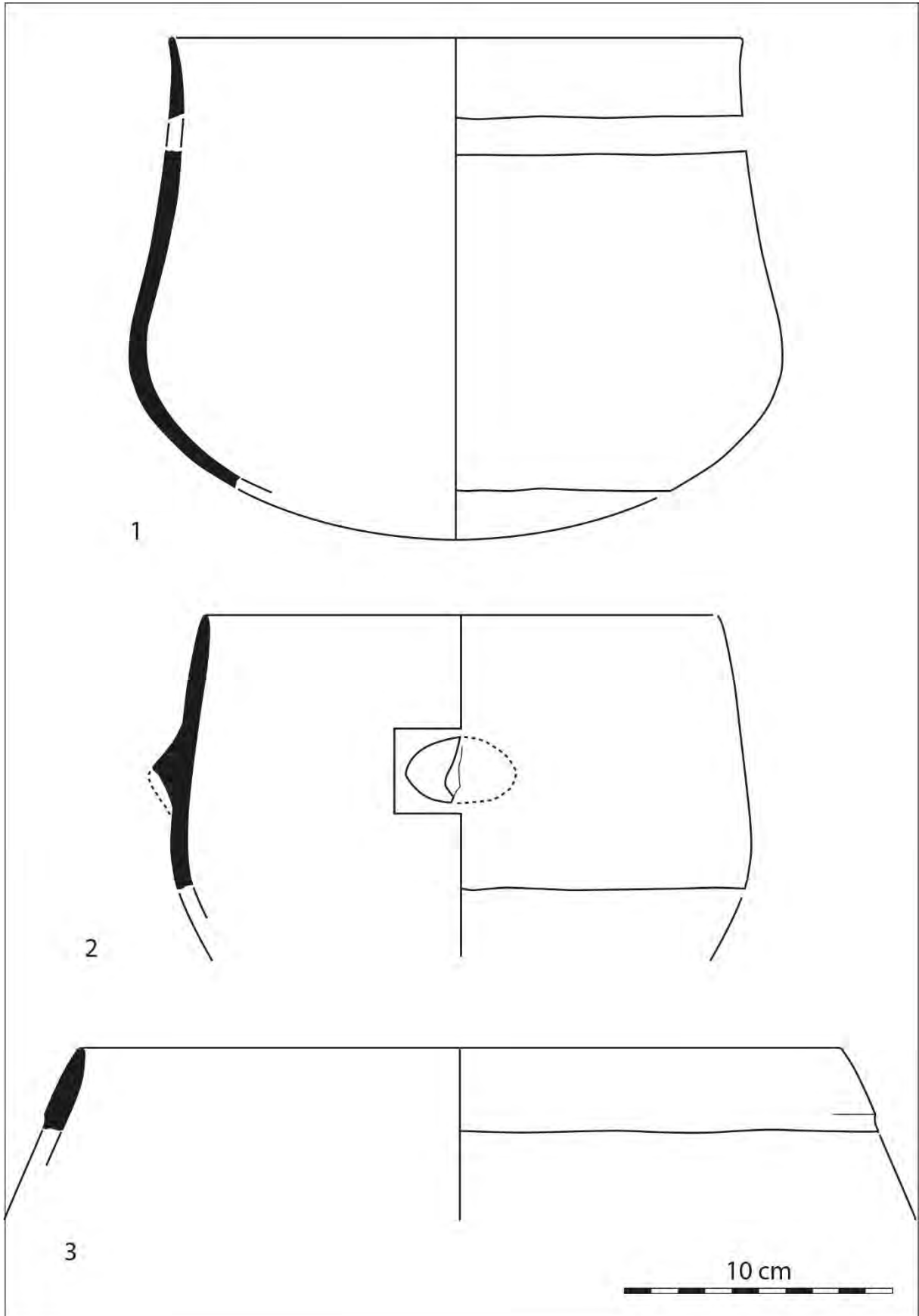


Planche 17 : profils restitués ou incomplets de la structure St 17. Dessins : A. Gaillard.

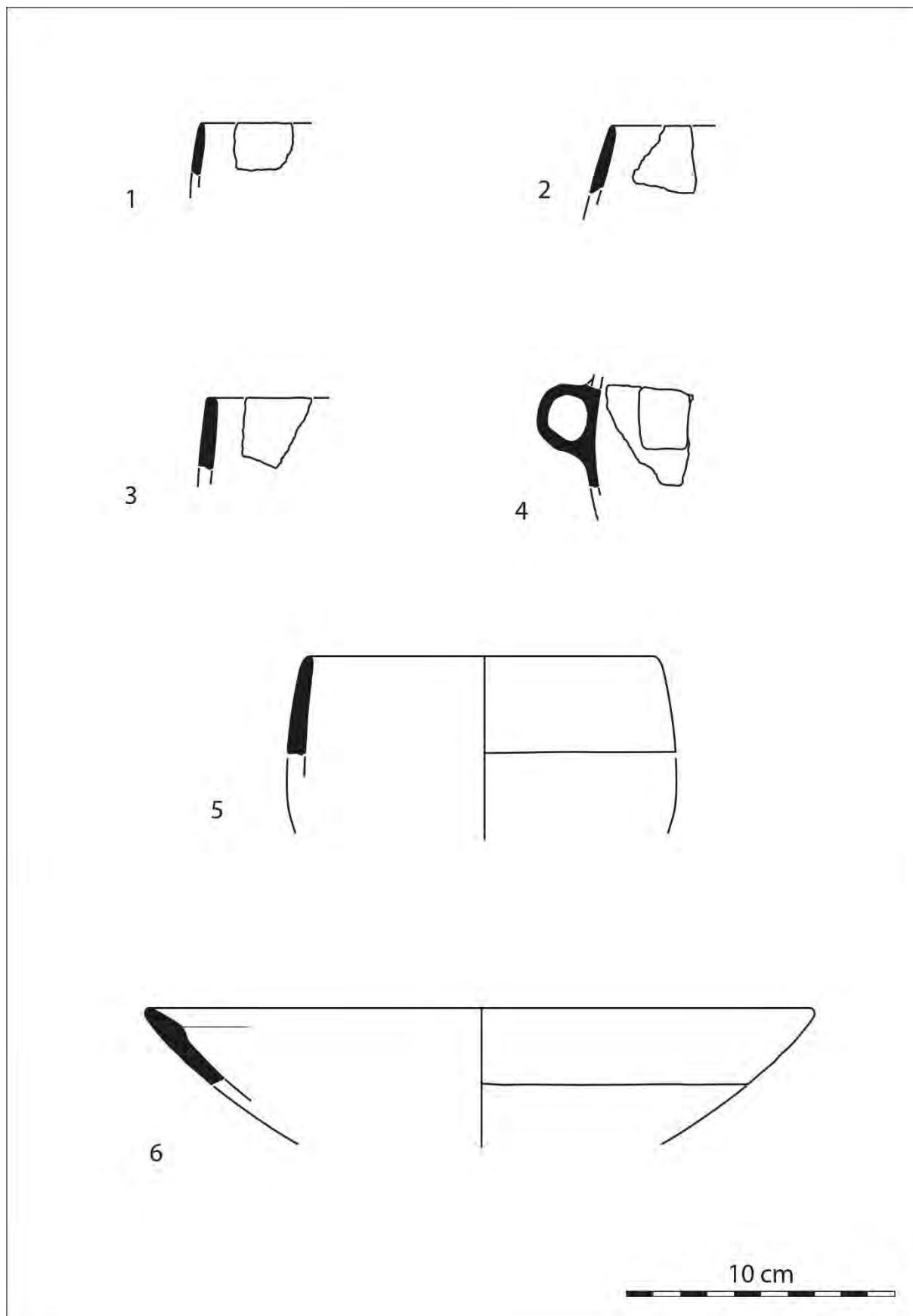


Planche 18 : profil restitué, profil incomplet, éléments de vases et préhension de la structure St 17. Dessins : A. Gaillard.

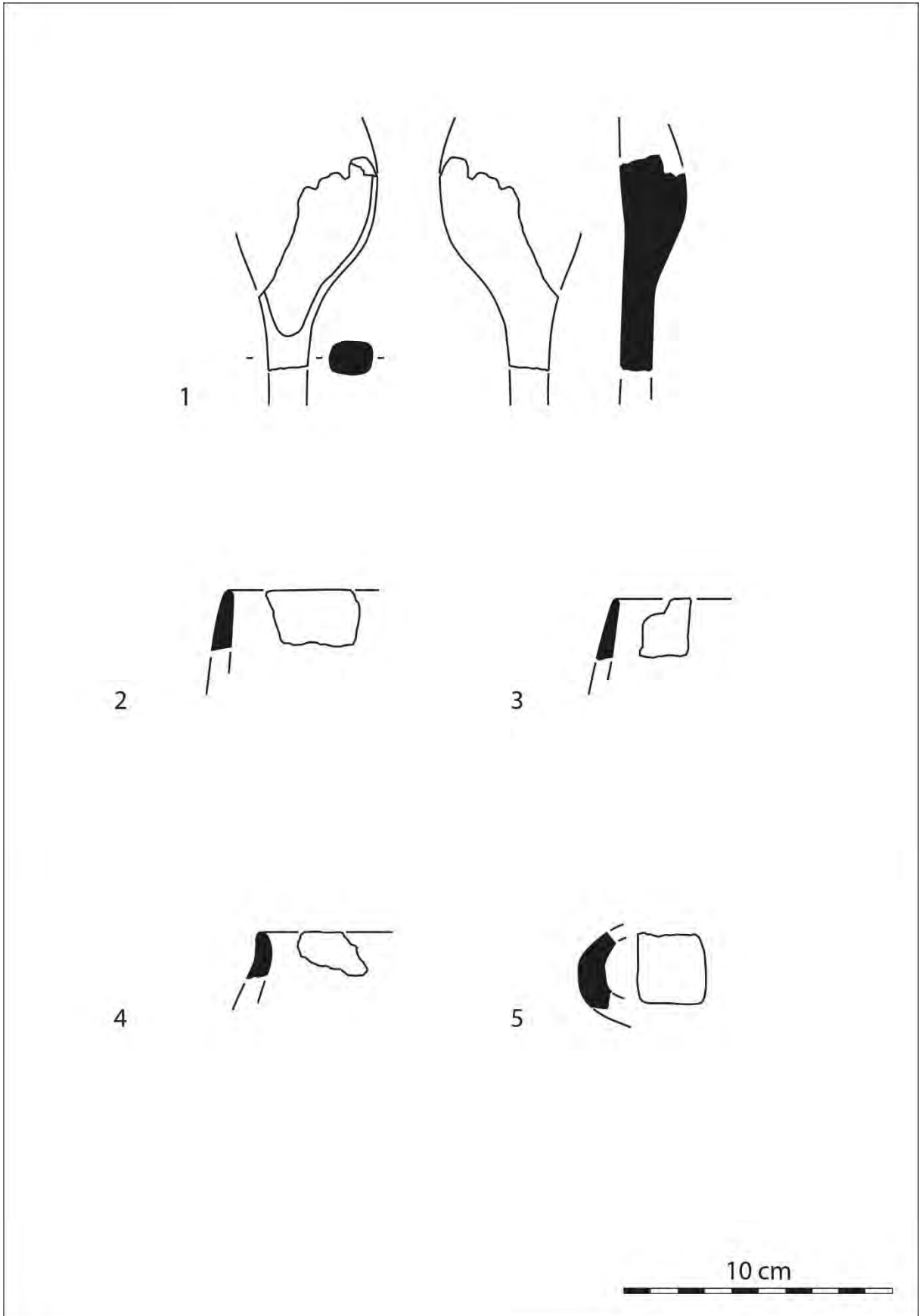


Planche 19 : éléments de vases et préhensions de la structure St 18. Dessins : A. Gaillard.

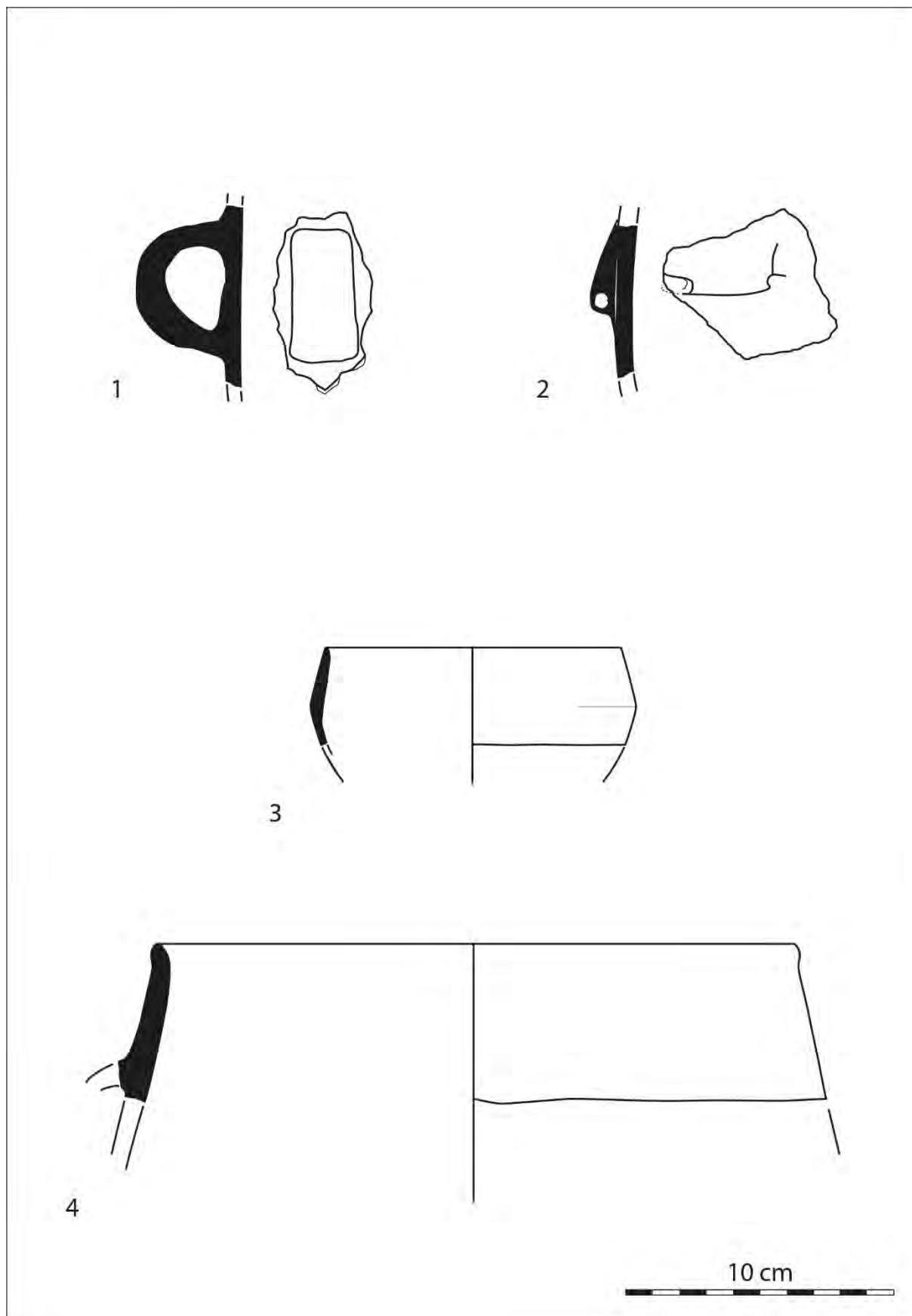


Planche 20 : profil restitué, profil incomplet et éléments de préhension de la structure St 19. Dessins : A. Gaillard.

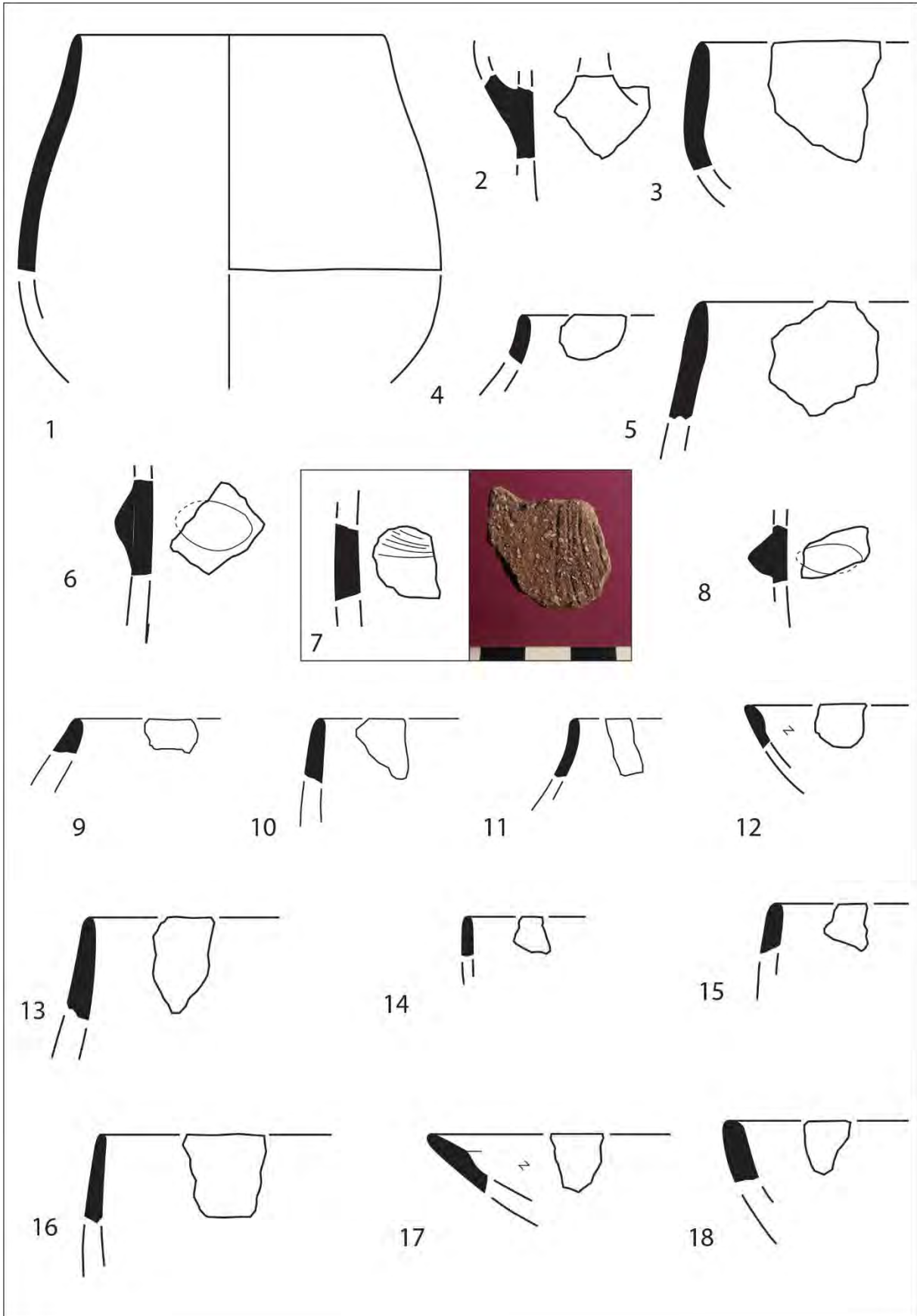


Planche 21 : profil incomplet, éléments de vases et préhension de la nappe Sud. Dessins et photo : A. Gaillard.

IV. Las Trincados (Cépie, Aude)

Structure	US	NR	Poids (g)	Poids moyen	Epaisseur (mm)		
					< 6	6 - 9	> 9
FS 1010	1011	94	683	7,3	44	34	16
	1012	180	1681	9,3	75	93	12
	1013	139	723	5,2	66	67	6
FS 1020	1021	146	644	4,4	85	60	1
FY 1025	1027	3	11	3,7	3		
FS 1090	1091	240	1394	5,8	83	139	18
	1092	1	43	43,0			1
FS 1215	1216	65	447	6,9	18	41	6
	1217	101	977	9,7	58	8	35
	1216-1217-1218-1219	58	233	4,0	23	34	1
FY 1225	1227	12	24	2,0		12	
FS 1250	1251	76	687	9,0	35	34	7
FY 1260	1261	23	243	10,6	6	11	6
Epandage 1290	1291	26	206	7,9	3	23	
FS 1360	1361	100	1741	17,4	6	51	43
FS 1365	1366	176	765	4,3	101	72	3
FS 1370	1371	51	480	9,4	25	18	8
	1372	3	18	6,0	2	1	
FS 1375	1377	457	8361	18,3	175	76	206
FS 1430	1431	296	1143	3,9	101	186	9
	1432	223	980	4,4	76	137	10
FS 1440	1441	229	1235	5,4	36	170	23
FS 1585	1586-1587	671	4660	6,9	470	138	63
	1589	68	555	8,2	48	13	7
	2269	77	847	11,0	42	21	14
	2271	56	1384	24,7	18	17	21
SP 1600	1604	149	2210	14,8	14	97	38
FS 1605	1606	30	181	6,0	12	18	
SP 1610	1611	162	1335	8,2	75	80	7
FS 1620	1621	67	272	4,1	39	26	2
FS 1640	1641	204	956	4,7	115	84	5
	1642	11	19	1,7	8	3	
FS 1645	1646	123	975	7,9	81	38	4
FS 1650	1651	2	4	2,0	2		
	1652	26	352	13,5	9	10	7
SP 1685	1686	83	666	8,0	31	46	6
FS 1690	1691	29	174	6,0	13	13	3
FS 1695	1696	6	24	4,0	6		
FS 1715	1716	149	1164	7,8	31	116	2
FS 1730	1731	3	14	4,7	3		
FY 1790	1791	1	40	40,0		1	
TP 1975	1977	4	14	3,5	4		
SP 1995	1997-1999	174	1930	11,1		39	35
FS 2020	2021	27	101	3,7	12	15	
SP 2255	2257	12	141	11,8	3	6	3
Total secteur 1		4833	40737	8,4	2057	2048	628
T1		19	108	5,7	17	2	
T2		5	26	5,2		5	

T3	30	81	2,7	30		
T8	32	86	2,7	32		
T9	4	33	8,3	2	1	1
T12	106	1072	10,1	81	25	
Total secteur 3	196	1406	7,2	162	33	1
Total général	5029	42143	8,4	2219	2081	629
%_Total général				44%	41%	13%

Figure 1 : décomptes généraux détaillés par structures et par US du mobilier céramique du site de Las Trincados (NR = Nombre de Restes), proportions des classes d'épaisseur des parois.

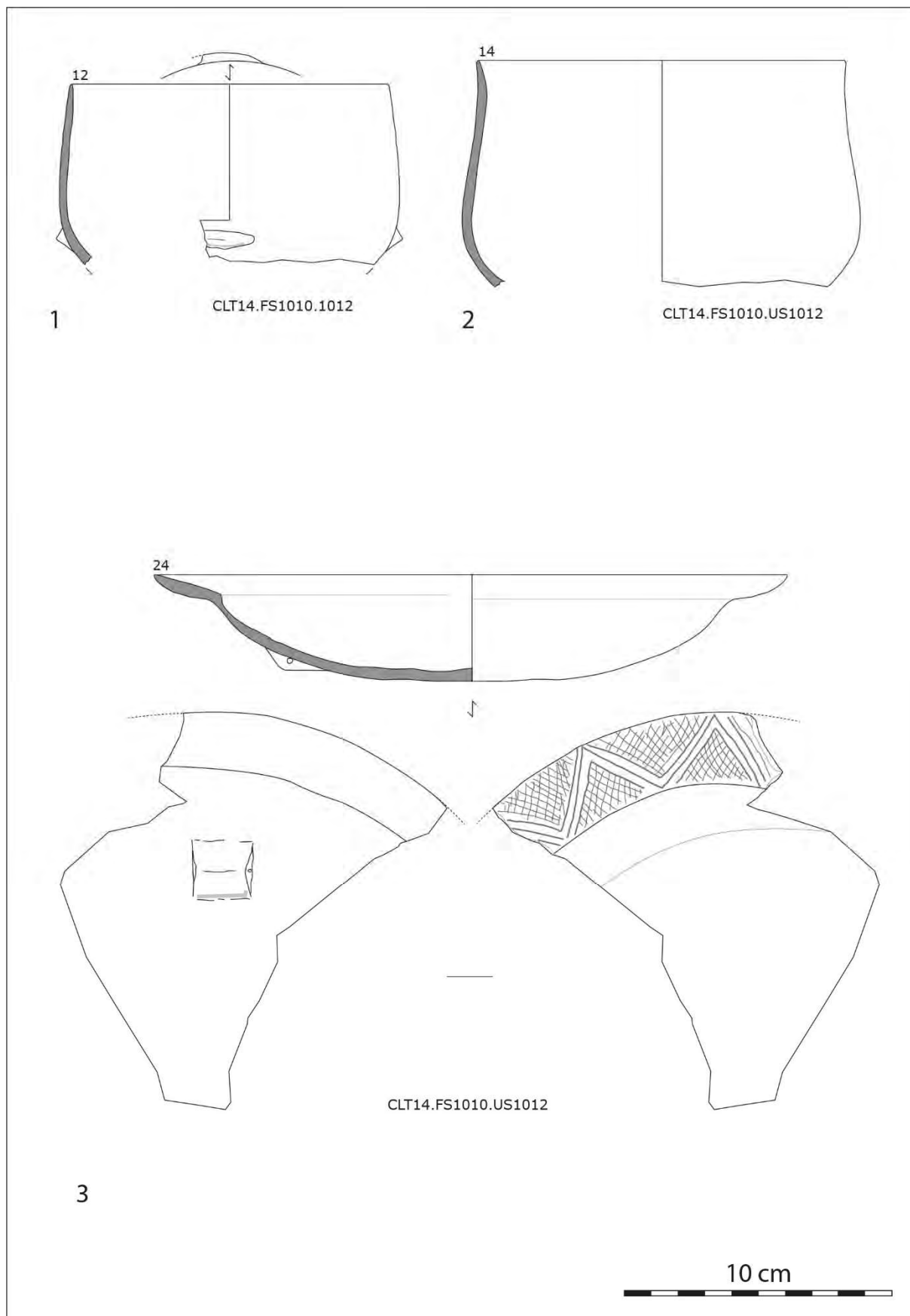


Planche 1 : profils restitués de la structure FS 1010. Dessins : A. Gaillard.

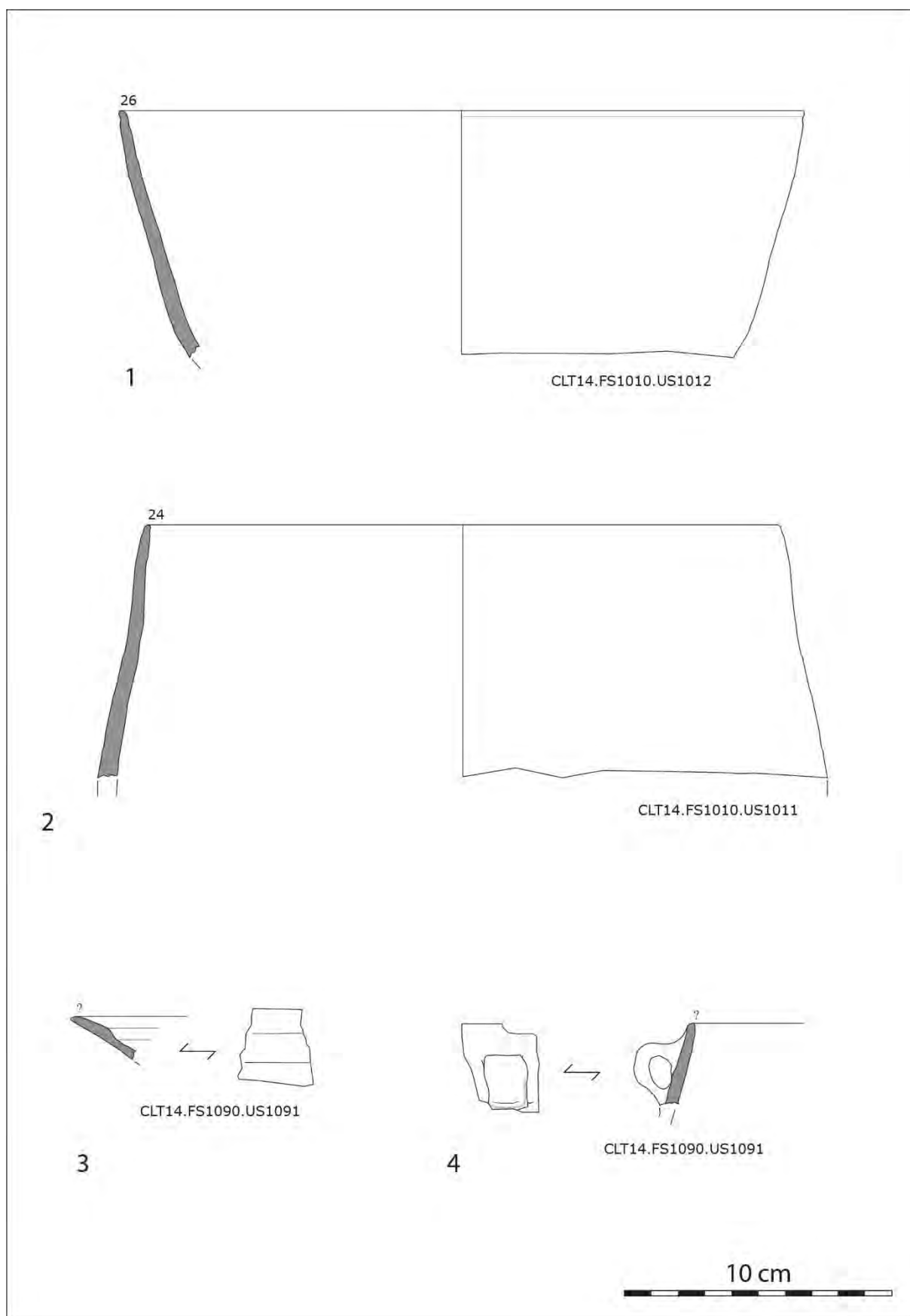


Planche 2 : profils incomplet, élément de vase et préhension. 1 : FS 1010 ; 2 : FS 1090. Dessins : A. Gaillard.

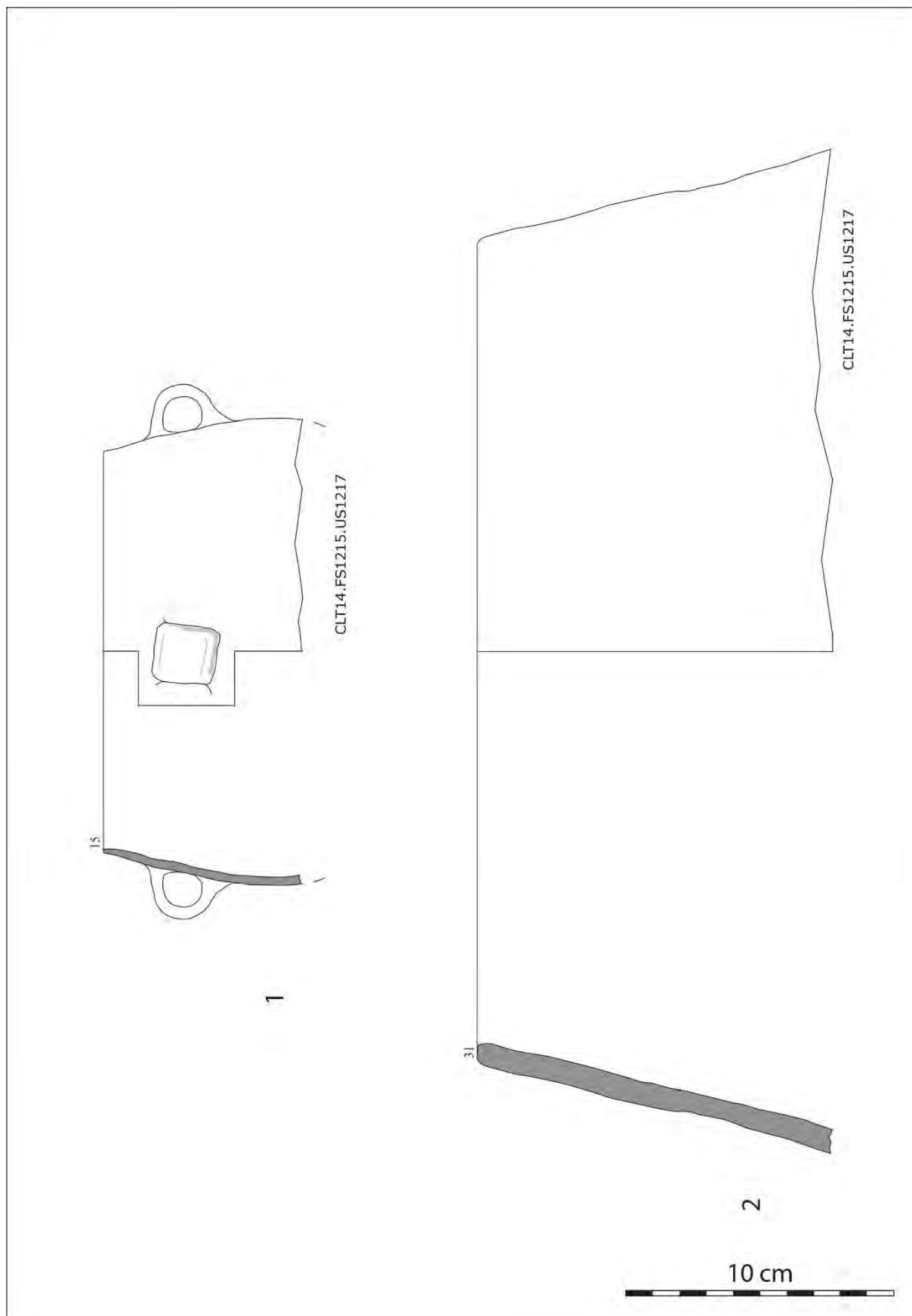


Planche 3 : profils incomplets de la structure FS 1215. Dessins : A. Gaillard.

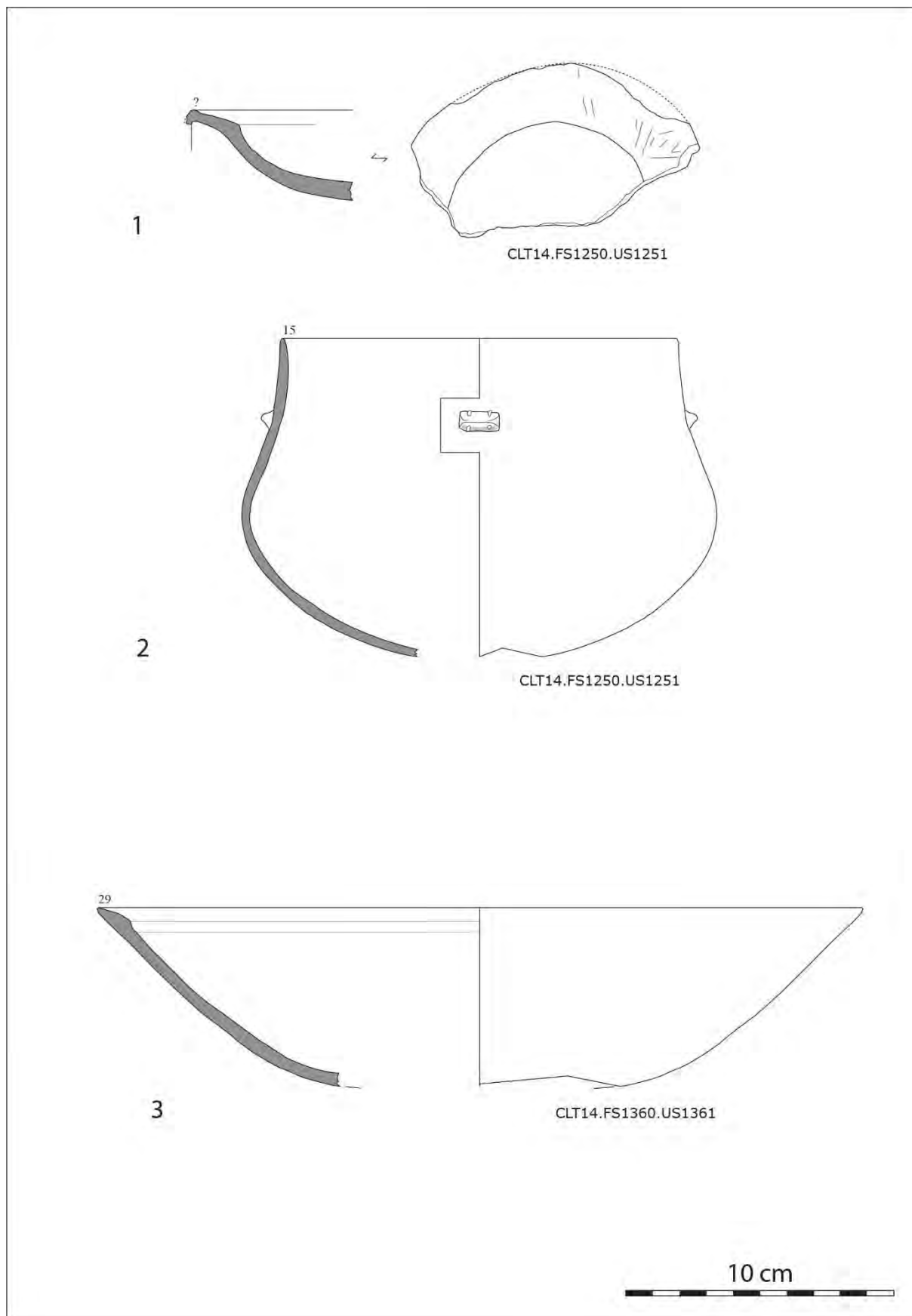


Planche 4 : profils restitués de la structure FS 1250. Dessins : A. Gaillard.

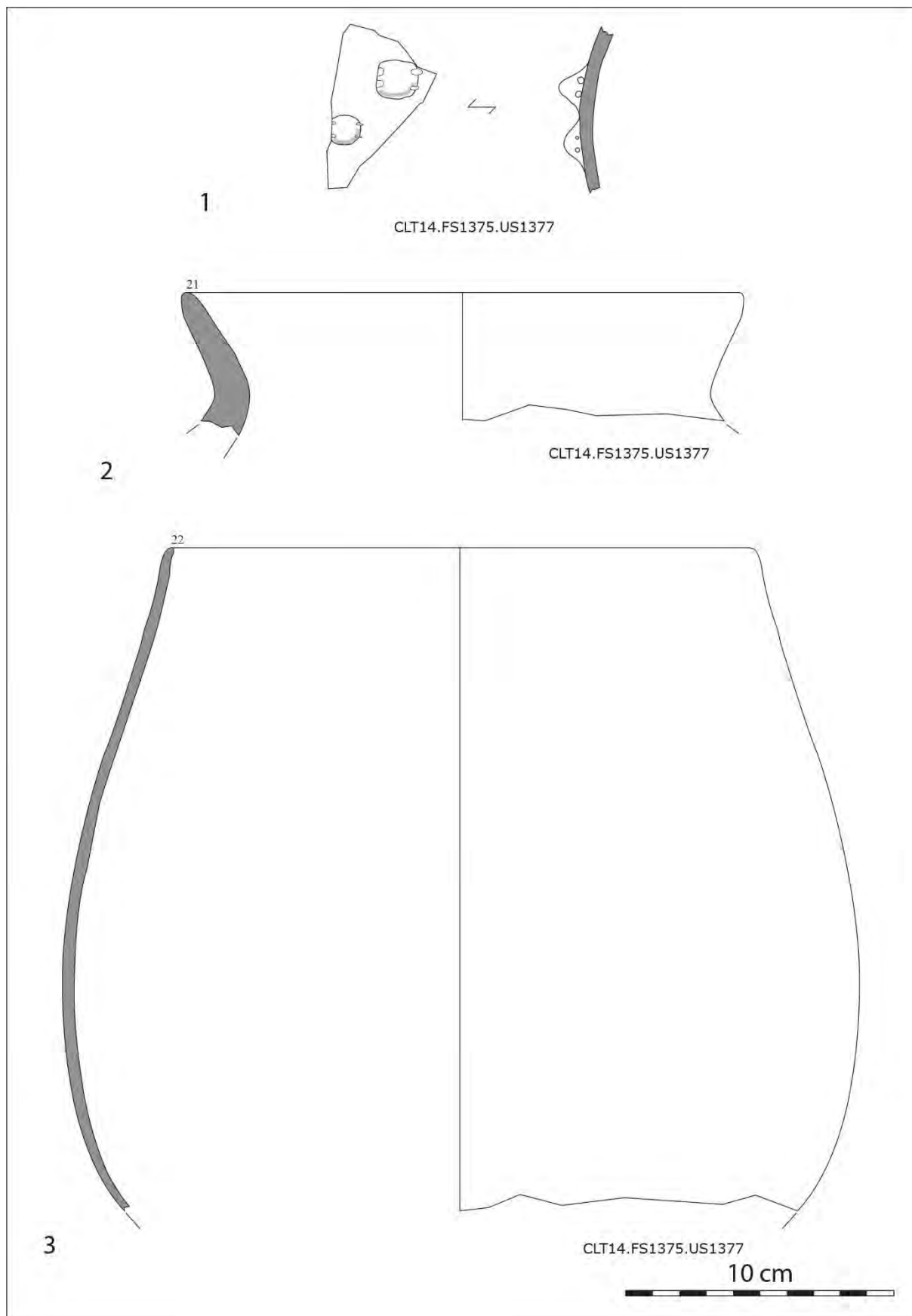


Planche 5 : profil restitué, profil incomplet et élément de préhension de la structure FS 1375. Dessins : A. Gaillard.

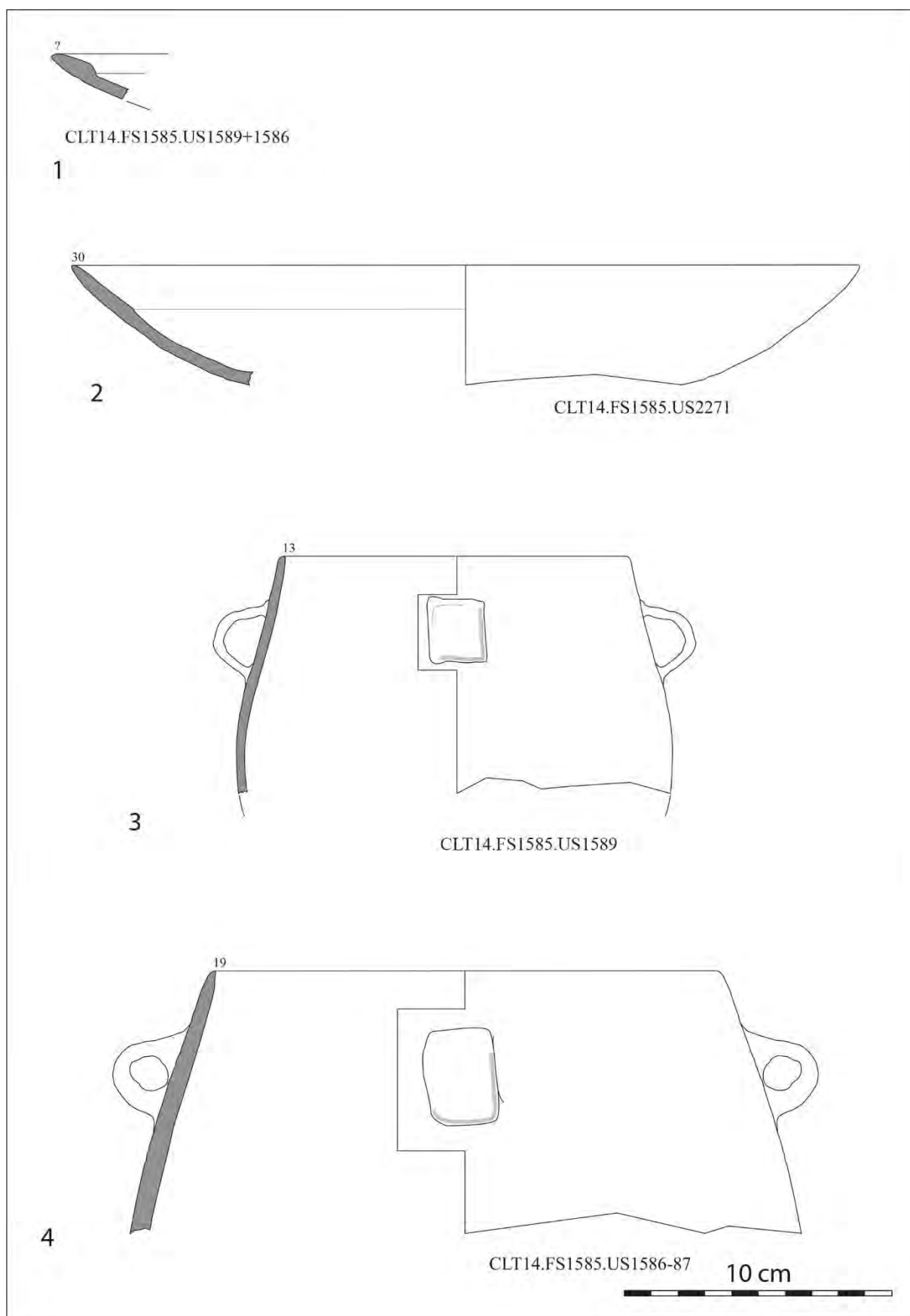


Planche 6 : profil restitué, profils incomplets et élément de vase de la structure FS 1585. Dessins : A. Gaillard.

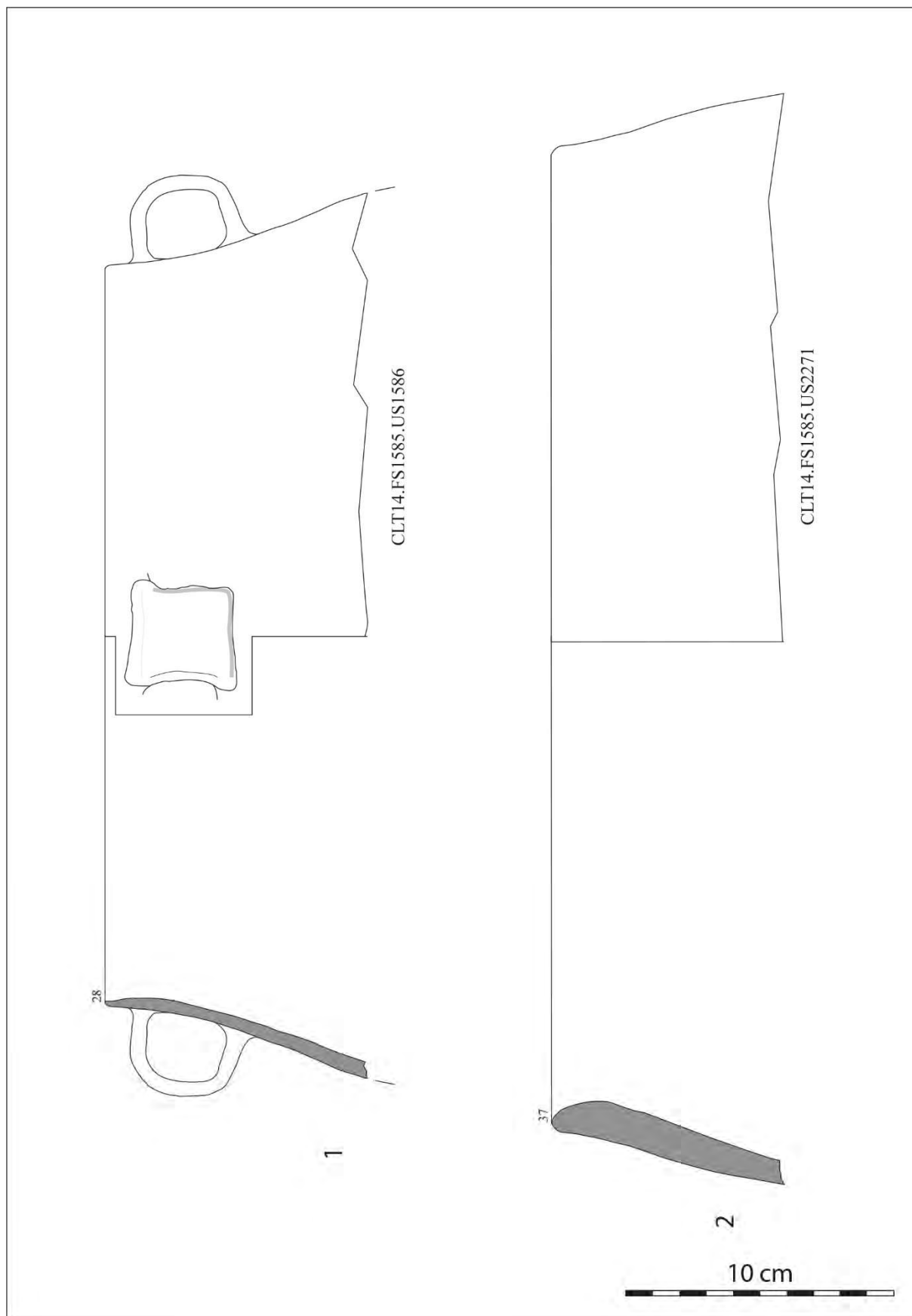


Planche 7 : profils incomplets de la structure FS 1585. Dessins : A. Gaillard.

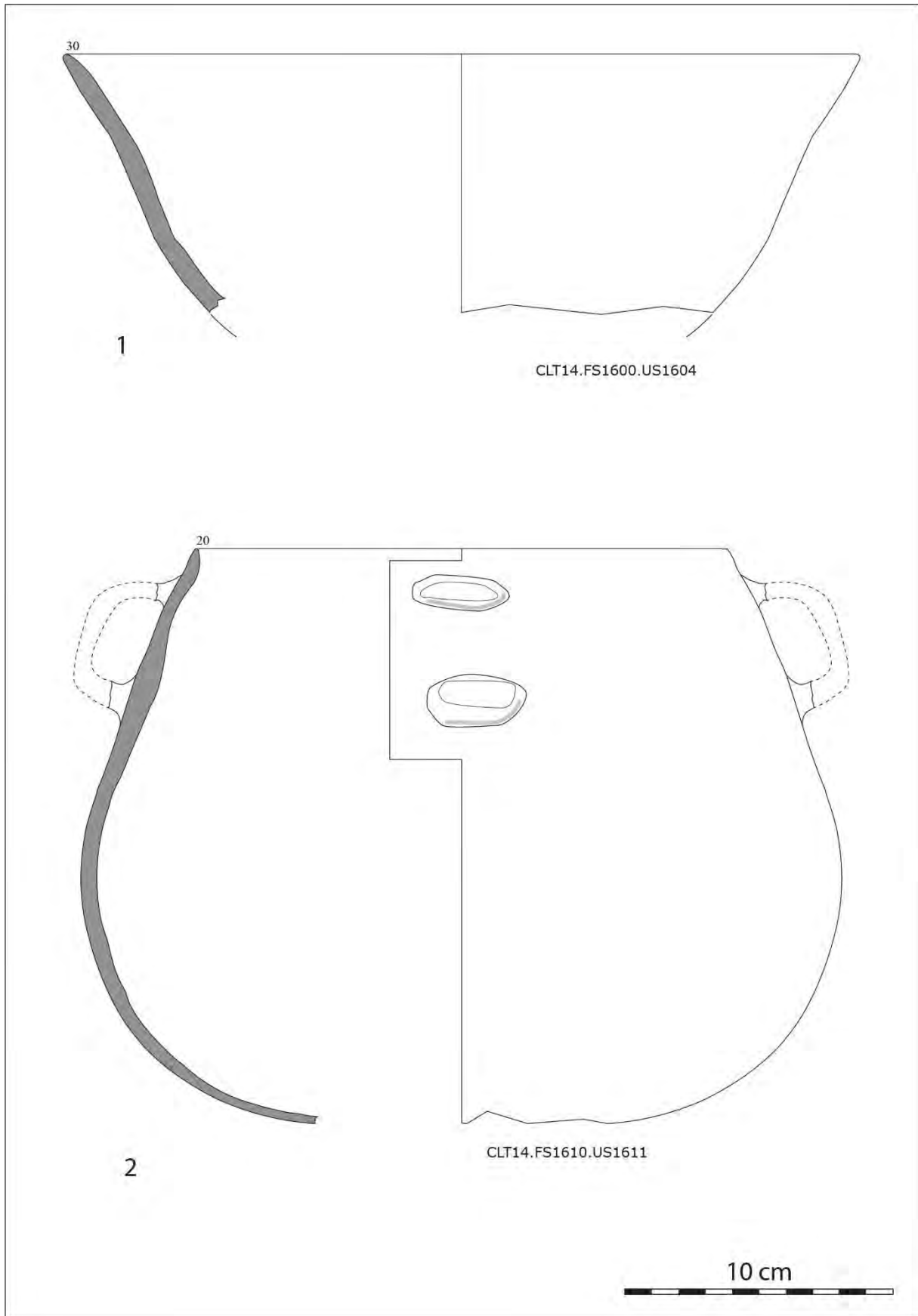


Planche 8 : profil incomplet et profil restitué. 1 : FS 1600 ; 2 : FS 1610. Dessins : A. Gaillard.

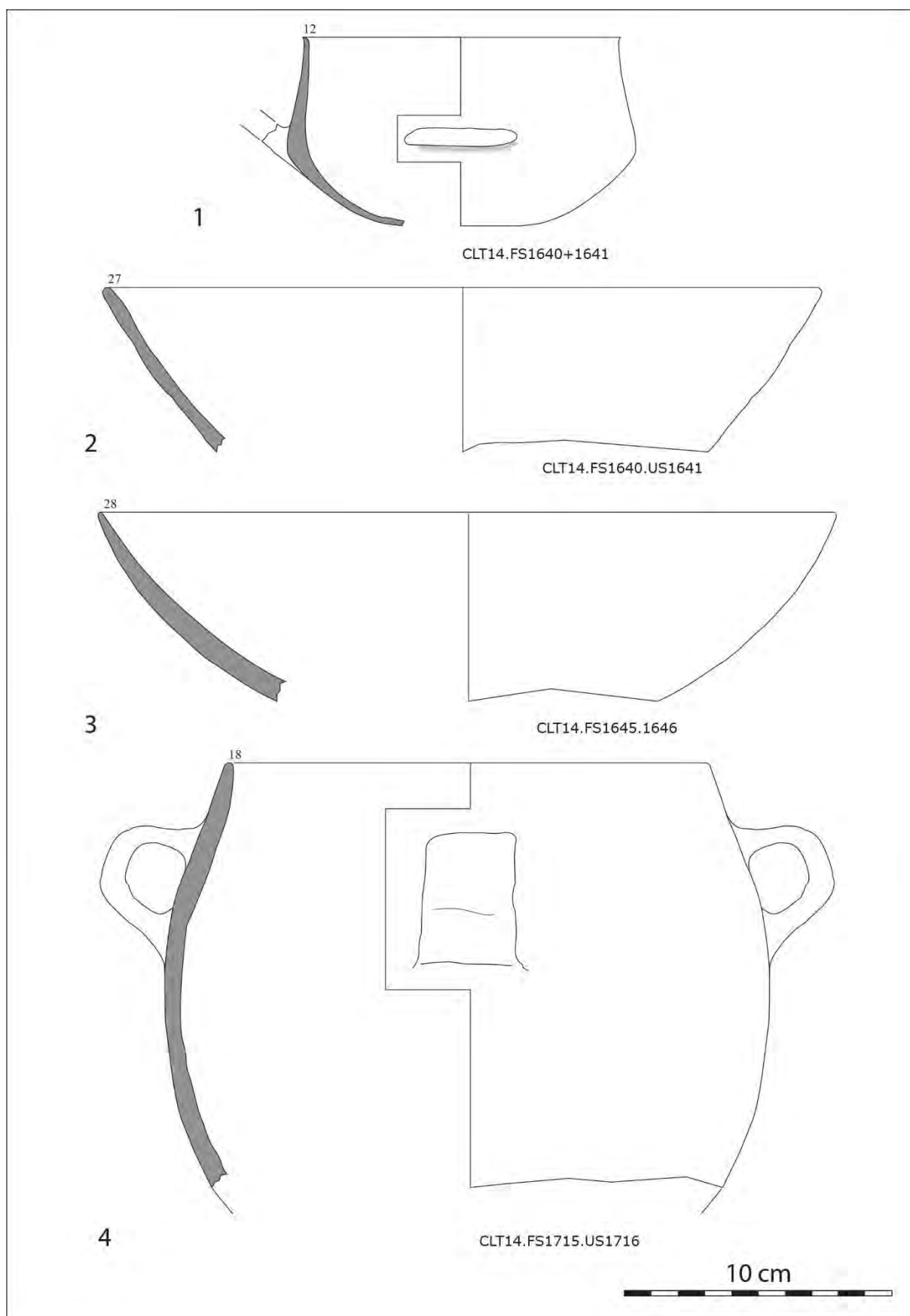


Planche 9 : profils restitués. 1 et 2 : FS 1640 ; 3 : FS 1645 ; 4 : FS 1715. Dessins : A. Gaillard.

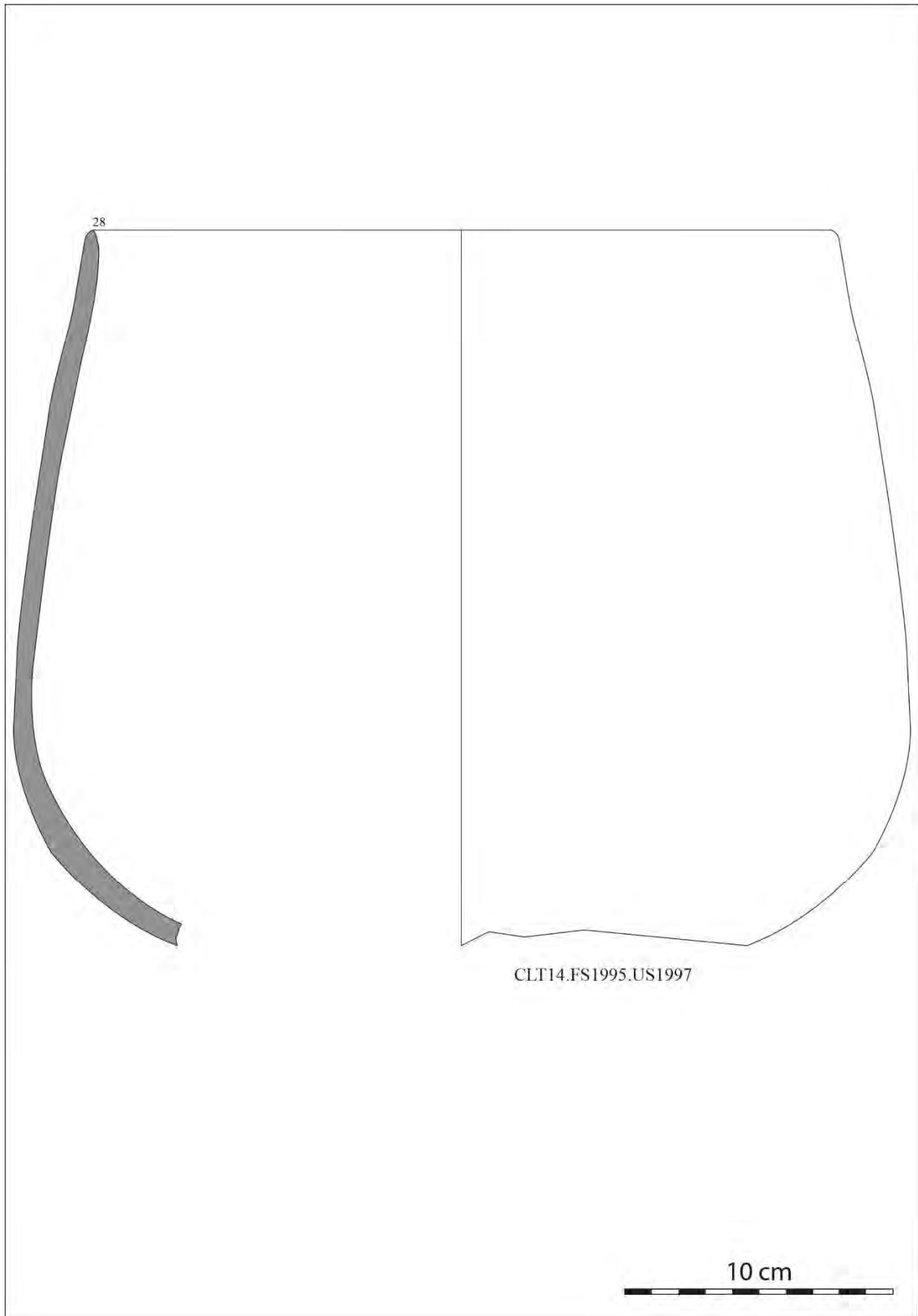


Planche 10 : profil restitué de la structure FS 1995. Dessins : A. Gaillard.

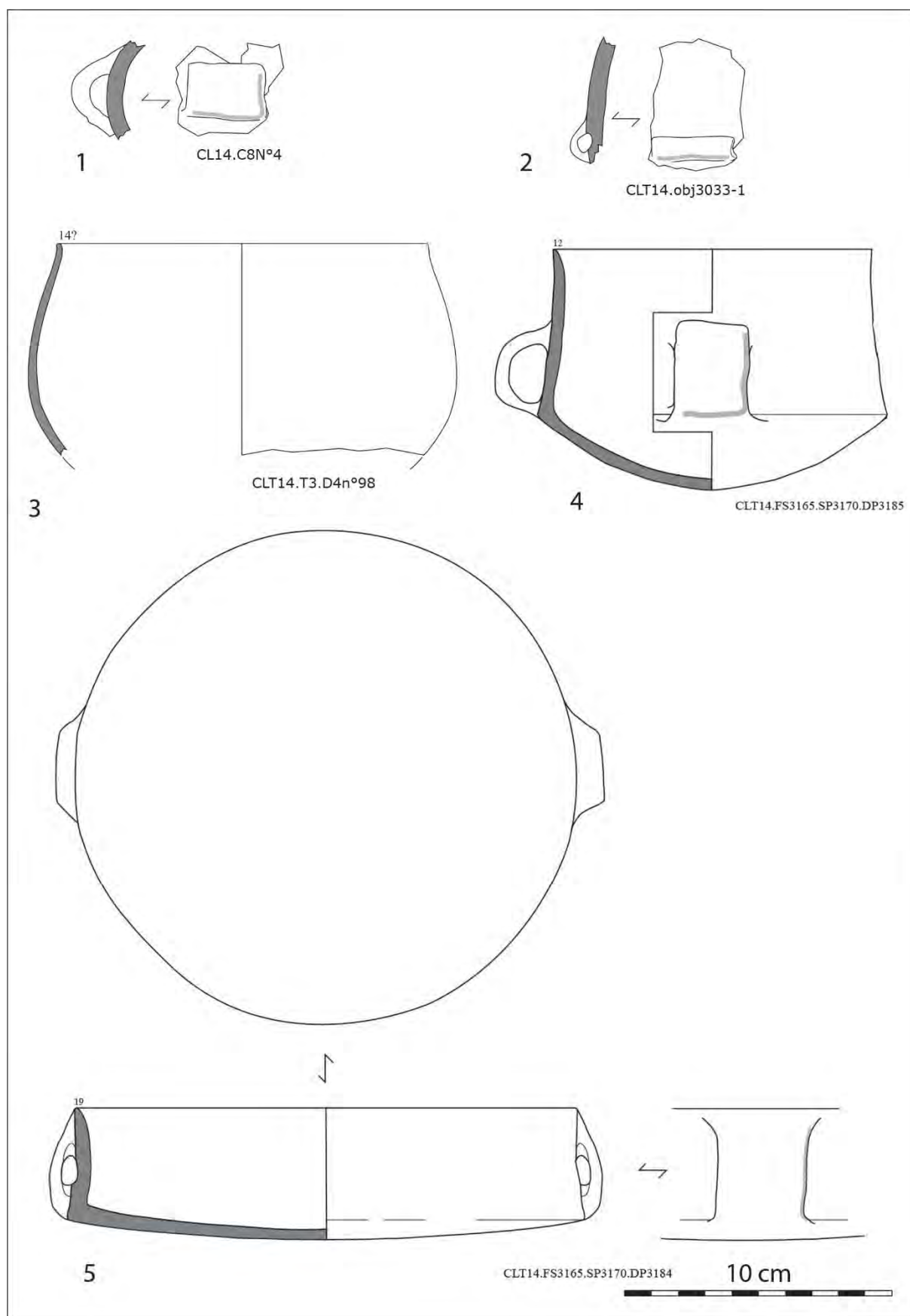


Planche 11 : profils restitués et éléments de préhension du Secteur 3. 1 : T9 ; 2 : T12 ; 3 : T3 ; 4 et 5 : T12. Dessins : A. Gaillard.

V. La grotte de Montou (Corbère-les-Cabanes, Pyrénées-Orientales) Salle 2 inférieure

Problème	Carré	Relevé	N
Us de Nettoyage de surface ou ravivage de coupe	G-H/5		62
	G-H/8		6
	H/8-9		34
	H4		10
	H6		53
	H7		21
	H-I-J/7		41
	H8		70
	H-I/8-19		4
	H-I/3	R14	24
	H-I/7-8		38
	H-I/8		10
	H-I/9		2
	H-I-J/6		11
	I/2-3		9
	I/8-9		4
	I/9-10		12
	I3		20
	I7		3
	I8		21
	I/8-9		5
	I-J/8		4
	J6		7
	J-K/9		2
	K-L/9-10		3
	L-M/10-11		43
M7		18	
Terrier	H7	R50-51-52	30
	H8	R35-R55	65
	H-I/8	R54	3
	I7	R29	42
	K7	R38	10
Mobilier hétérogène (âge du Bronze, Néolithique final, Néolithique moyen)	H4	R16	80
	H8	R22-R30-R32-R51-R53	47
	I4	R14	60
	I5	R20	35
	I7	R33-R47-R52	57
	I8	R30	3
	I9	R23-24-R27	101
	I-J/9	R27	8
	J4	R32	2
	J5	R15"Complément"	24
	J6	R36-R43	32
	J7	R29	108
	J8	R17	56
	K10	R31-32	174
	K3	R28	2
K4	R43-R54-55-R57	63	
K5	R24-25-26-27-28	136	

	K6	R13	7
	K7	R21	1
	K8	R25	3
	K9	R37-R42	77
	K9d-L9	R37	2
	L5	R18	118
	L6	R11	43
	L7	R27-28-29-30-31-32	722
	M6	R5-6-7-8-9	8
	M7	R25-26-27-28-29-30	799
Remanié, ramassages	I4	R17	16
	K4b	R58	92
	K10	R42	5
	L10		23
Marquage incomplet	I7		1
	K10		433
	K6		1
	M6		1
Total			4027

Figure 1 : liste des US de la Salle 2 inférieure écartées de l'analyse.

Ensemble	N°	Format	Contour	Ouverture	Profondeur	Type	Appellation forme	Attributs	Douv	Dpanse	Hmax	Vol	IO	IP
Sep.	MT-097	Jatte	Complexe	Rétrécie	Profond	II-G.2.bg	Piriforme		20,6	26	14,5	4,4	79	56
	MT-098	Bol	Simple	Evasée	Profond	I.1.b	Hémi-ellipsoïdale H		14,2	12,8	6,7	0,7	111	47
	MT-099	Bol	Simple	Evasée	Profond	I.1.c	Hémi-ellipsoïdale V		15	13,8	10,4	1,5	109	69
	MT-100	Jarre	Simple	Rétrécie	Très profond	I.2.c	Sub-ellipsoïdale V		34,1	36,5	29,4	20,4	93	81
	MT-101	Bol	Simple	Evasée	Profond	I.1.a	Hémisphérique		5,5	4,9	2,7	0,04	112	49
	MT-102	Petite marmite	Simple	Rétrécie	Très profond	I.2.b	Sub-ellipsoïdale H	Anse en boudin sur la panse	10,2	11,2	9,2	0,6	91	82
	MT-103	Bol	Complexe	Evasée	Profond	II-CA.1.bg-bas	Hyperboloïde à carène basse		9,3	7,1	4,9	0,2	131	53
	MT-104	Bol	Complexe	Rétrécie	Profond	II-B.2.bf	A bord redressé	Départ de préhension perforée sous la lèvre	10	11	5,7	0,3	91	52
	MT-105	Bol	Complexe	Rétrécie	Profond	II-G.2.bg	Piriforme	Prise multiforée à tubulures suggérées sur la panse	11,6	18,8	11,1	2,1	62	59
	MT-106	Bol	Complexe	Rétrécie	Profond	II-B.2.bf	A bord redressé	Anse en ruban sur la panse	12,6	14,6	9,6	1	86	66
	MT-107	Bol	Simple	Rétrécie	Profond	I.2.b	Sub-ellipsoïdale H		12,6	13,8	8,5	0,8	91	62
	MT-108	Bol	Simple	Evasée	Profond	I.1.c	Hémi-ellipsoïdale V	Poignée plate sur la lèvre	13,2	11,6	8	0,8	114	61
	MT-109	Bol	Complexe	Rétrécie	Profond	II-G.2.bg	Piriforme	Décor en volute	16,2	20	11,6	2,1	81	58
	MT-111	Petite coupe	Simple	Evasée	Peu profond	I.1.b	Hémi-ellipsoïdale H	Poignée plate sur la lèvre	12,4	10,4	4,7	0,3	119	38
	MT-112	Grande coupe	Simple	Evasée	Peu profond	I.1.b	Hémi-ellipsoïdale H		21,8	14,8	4,3	0,8	147	20
	MT-113	Petite coupe	Simple	Evasée	Peu profond	I.1.b	Hémi-ellipsoïdale H		15	13	5,2	0,5	115	35
	MT-114	Bol	Simple	Evasée	Profond	I.1.b	Hémi-ellipsoïdale H		15,6	14,6	7,3	0,9	107	47
	MT-115	Jatte	Complexe	Rétrécie	Profond	II-G.2.bg	Piriforme	Anse tubulaire sous la lèvre	15	24,8	14	3,6	60	56
MT-116	Bol	Complexe	Evasée	Profond	II-G.1.cg	Tulipiforme		18,8	17,6	10,5	2	107	56	

Productions céramiques et dynamiques des sociétés au V^e millénaire avant notre ère : la transition du Néolithique ancien au Néolithique moyen dans le bassin nord-occidental de la Méditerranée

	MT-117	Bol	Simple	Evasée	Profond	I.1.c	Hémi-ellipsoïdale V		12,2	11	9	0,9	111	74
	MT-118	Jatte	Complexe	Rétrécie	Profond	II-G.2.bg	Piriforme	Départ de préhension sur la panse	12,8	22,4	17	3,4	57	76
	MT-119	Bol	Simple	Evasée	Profond	I.1.b	Hémi-ellipsoïdale H		17,4	15	7,9	1,2	116	45
	MT-120	Petite marmite	Simple	Sub-V	Très profond	I.3.f	Sub-cylindrique		15,4	15	12,8	2,3	103	83
	MT-121	Bol	Complexe	Evasée	Profond	II-G.1.cg	Tulipiforme		10,6	9,6	7,3	0,5	110	69
	MT-122	Bol	Simple	Sub-V	Profond	I.3.f	Sub-cylindrique		11,4	11,6	7,8	0,6	98	68
	MT-123	Bol	Simple	Sub-V	Profond	I.3.f	Sub-cylindrique	Prise ovulaire perforée H sur le bord	10,3	10	7	0,5	103	68
	MT-124	Bol	Simple	Rétrécie	Profond	I.2.b	Sub-ellipsoïdale H		11,4	12,4	6,5	0,5	92	52
	MT-125	Bol	Complexe	Rétrécie	Profond	II-B.2.bg	A bord éversé		15,6	17,4	12,4	1,9	90	71
	MT-126	Bol	Complexe	Rétrécie	Profond	II-CA.2.bg-med	Hyperboloïde à carène médiane	Anses tubulaires juxtaposées sous la lèvre	15,2	18,2	11,8	1,8	84	65
	MT-127	Jatte	Complexe	Sub-V	Profond	II-B.3.bg	A bord éversé		20	20,4	9,5	1,9	98	47
	MT-128	Jatte	Complexe	Rétrécie	Profond	II-B.2.bf	A bord redressé		18,2	20,8	12,8	2,7	88	62
	MT-129	Bol	Complexe	Sub-V	Profond	II-B.3.bg	A bord éversé		14,2	14,7	8,3	0,9	97	56
	MT-130	Bol	Complexe	Sub-V	Profond	II-G.2.bg	Piriforme		9,6	9,8	6,2	0,3	98	63
	MT-131	Bol	Simple	Evasée	Profond	I.1.c	Hémi-ellipsoïdale V		11,2	10,2	6,8	0,5	110	61
	MT-132	Jatte	Simple	Sub-V	Profond	I.3.f	Sub-cylindrique		24,7	25,6	17,1	5,8	96	67
	MT-133	Petite marmite	Simple	Sub-V	Très profond	I.3.f	Sub-cylindrique	Anse en ruban dépassant du bord	16	16,4	18,2	2,8	98	111
	MT-136	Bol	Complexe	Rétrécie	Profond	II-CA.2.bg-bas	Hyperboloïde à carène médiane		12,8	14,4	10,1	1	89	70
E1-G1	MT-001	Bol	Simple	Evasée	Profond	I.1.b	Hémi-ellipsoïdale H	Poignée plate sur la lèvre	14,6	13	5,9	0,6	112	40
	MT-002	Bol	Complexe	Sub-V	Profond	II-G.2.bg	Piriforme		13,6	13,2	8,8	1	103	65
	MT-003	Petite coupe	Complexe	Evasée	Peu profond	II-B.1.ad	A marli		9,6	5,8	2,3	0,1	166	24
	MT-004	Grande coupe	Simple	Evasée	Peu profond	I.1.b	Hémi-ellipsoïdale H	Bord épaissi	45,4	34,8	6,8	5,7	130	15
	MT-005	Jatte	Complexe	Rétrécie	Profond	II-G.2.bg	Piriforme	Anse en ruban sur la panse	18	30,2	21,1	8	60	70
	MT-006	Bol	Complexe	Sub-V	Profond	II-B.3.bg	A bord éversé	Prise prismatique perforée H	12,1	12,6	7	0,6	96	56
	MT-007	Petite coupe	Simple	Evasée	Peu profond	I.1.b	Hémi-ellipsoïdale H		16	15	6,3	1,3	107	39
	MT-008	Bol	Complexe	Evasée	Profond	II-G.1.cg	Tulipiforme	Départ de préhension sur le bord	12,8	12	8,6	0,9	107	67
	MT-009	Bol	Simple	Evasée	Profond	I.1.c	Hémi-ellipsoïdale V		11,8	11	6,6	0,5	107	56
	MT-010	Bol	Complexe	Sub-V	Profond	II-B.3.bg	A bord éversé		11,2	10,8	7,4	0,6	104	66
	MT-011	Bol	Simple	Evasée	Profond	I.1.c	Hémi-ellipsoïdale V		13,2	12,2	8,5	0,9	108	64
E1-G2	MT-012	Bol	Simple	Evasée	Profond	I.1.c	Hémi-ellipsoïdale V	Poignée plate sur la lèvre	15	14	8	1	107	53
	MT-013	Bol	Complexe	Sub-V	Profond	II-CA.3.bf-bas	Cylindrique à carène basse		12,8	12,4	7,9	0,7	103	62
	MT-014	Bol	Simple	Evasée	Profond	I.1.b	Hémi-ellipsoïdale H		12,6	11,4	6	0,5	111	48
	MT-015	Bol	Simple	Sub-V	Profond	I.3.f	Sub-cylindrique		16,8	16,4	9,2	1,4	102	55
E1-G3	MT-016	Jatte	Simple	Rétrécie	Profond	I.2.b	Sub-ellipsoïdale H	Anse tubulaire sous la lèvre	17,2	22,8	13,2	3	75	58
	MT-017	Bol	Simple	Evasée	Profond	I.1.b	Hémi-ellipsoïdale H		17,2	15,2	8,3	1,2	113	48
	MT-018	Bol	Simple	Evasée	Profond	I.1.b	Hémi-ellipsoïdale H	Poignée plate sur la lèvre	11,2	10,2	5,2	0,3	110	46

	MT-019	Grande coupe	Simple	Evasée	Peu profond	I.1.b	Hémi-ellipsoïdale H		30,6	24,2	6,3	2,4	126	21
	MT-020	Bol	Simple	Evasée	Profond	I.1.b	Hémi-ellipsoïdale H	Poignée plate sur la lèvre	18,9	17,7	8,9	1,6	107	47
	MT-021	Bol	Complexe	Rétrécie	Profond	II-G.2.bg	Piriforme	Losanges quadrillés gravés	7,8	9	5	0,2	87	56
	MT-022	Petite coupe	Simple	Evasée	Peu profond	I.1.b	Hémi-ellipsoïdale H		19,6	16,8	7,7	1,4	117	39
	MT-023	Bol	Simple	Sub-V	Profond	I.3.f	Sub-cylindrique		13,6	13,4	8	0,85	101	59
E1	MT-139	Bol	Simple	Rétrécie	Profond	I.2.c	Sub-ellipsoïdale V		16	17,4	12,7	1,95	92	73
E2	MT-024	Bol	Simple	Rétrécie	Profond	I.2.b	Sub-ellipsoïdale H		13	14	9,5	1	93	68
	MT-025	Jatte	Simple	Evasée	Profond	I.1.c	Hémi-ellipsoïdale V		21	18	15,7	4,7	117	75
	MT-026	Jatte	Complexe	Rétrécie	Profond	II-G.2.bg	Piriforme	Décor en volute	19,6	22,8	12,8	3	86	56
	MT-027	Grande coupe	Simple	Evasée	Peu profond	I.1.b	Hémi-ellipsoïdale H		28,6	21,4	6,5	2,3	134	23
	MT-028	Petite marmite	Simple	Rétrécie	Très profond	I.2.c	Sub-ellipsoïdale V	Bord renforcé, anse en ruban ensellée sur le bord	11,6	13,4	11,3	1	87	84
	MT-029	Bol	Simple	Evasée	Profond	I.1.c	Hémi-ellipsoïdale V	Poignée plate sur la lèvre	12	11,2	6,4	0,5	107	53
	MT-030	Grande coupe	Simple	Evasée	Peu profond	I.1.b	Hémi-ellipsoïdale H	Bord épaissi	34	30	5	2,3	113	15
	MT-031	Bol	Complexe	Evasée	Profond	II-G.1.bg	Tulipiforme	Anse en ruban dépassant du bord, impressions au poinçon	13,6	11,4	5,8	0,5	119	43
	MT-032	Petite coupe	Complexe	Evasée	Peu profond	II-B.1.ad	A marli	Marli à perforations traversières, losanges et triangles hachurés	17,2	16,2	4,8	0,6	106	28
	MT-033	Grande coupe	Simple	Evasée	Peu profond	I.1.b	Hémi-ellipsoïdale H	Bord épaissi	29	23	7,3	2,6	126	25
	MT-034	Grande coupe	Simple	Evasée	Peu profond	I.1.b	Hémi-ellipsoïdale H	Bord épaissi	23	18	8,2	2	128	36
	MT-035	Petite coupe	Simple	Evasée	Peu profond	I.1.b	Hémi-ellipsoïdale H	Bord épaissi	20,8	14,4	5,5	1	144	26
	MT-036	Grande coupe	Complexe	Evasée	Peu profond	II-CA.1.bg-med	Hyperboloïde à carène médiane		27,4	25,6	4,8	1,6	107	18
	MT-037	Bol	Simple	Rétrécie	Profond	I.2.b	Sub-ellipsoïdale H	Prises non perforées arrondies juxtaposées	13	14,6	9	1	89	62
	MT-038	Jatte	Complexe	Rétrécie	Profond	II-G.2.bg	Piriforme		30,2	34	15	7,9	89	44
	MT-039	Bol	Complexe	Rétrécie	Profond	II-CA.2.bd-med	Tronconique à carène médiane	Anse en ruban dépassant du bord et sur la carène	8,4	10,4	8	0,4	81	77
	MT-040	Bol	Complexe	Sub-V	Profond	II-CA.3.bg-bas	Hyperboloïde à carène basse	Départ de préhension sur la panse	14,2	13,8	8,3	0,9	103	58
	MT-041	Bol	Complexe	Rétrécie	Profond	II-G.2.bg	Piriforme		12,8	14,8	9,4	1	86	64
	MT-042	Bol	Simple	Evasée	Profond	I.1.b	Hémi-ellipsoïdale H		12	9,6	6	0,45	125	50
	MT-043	Petite marmite	Complexe	Rétrécie	Très profond	II-G.2.bd	Piriforme		8	9,6	8,4	0,4	83	88
	MT-044	Bol	Simple	Sub-V	Profond	I.3.f	Sub-cylindrique		13	13,2	8,8	0,8	98	67
	MT-045	Bol	Simple	Rétrécie	Profond	I.2.b	Sub-ellipsoïdale H		11,8	14,2	9	0,9	83	63
	MT-046	Bol	Complexe	Sub-V	Profond	II-CA.3.bg-bas	Hyperboloïde à carène basse	Prise non perforée rectangulaire sur la carène	14,6	14	9	1	104	62
MT-047	Bol	Complexe	Sub-V	Profond	II-CA.3.bf-med	Cylindrique à carène médiane	Prise tubulaire H sur la carène	14,6	14,6	8,3	0,9	100	57	
MT-048	Jatte	Simple	Sub-V	Profond	I.3.f	Sub-cylindrique	Anse en ruban sur le bord	30,4	29,4	21,3	9,8	103	70	
MT-049	Bol	Complexe	Sub-V	Profond	II-CA.3.bf-med	Cylindrique à carène médiane	Prise non perforée ovulaire sur la carène	6,8	7	3,6	0,09	97	51	

Productions céramiques et dynamiques des sociétés au V^e millénaire avant notre ère : la transition du Néolithique ancien au Néolithique moyen dans le bassin nord-occidental de la Méditerranée

MT-050	Jatte	Simple	Sub-V	Profond	I.3.f	Sub-cylindrique	Départ de préhension dépassant du bord	22,8	22,2	10	2,6	103	44
MT-051	Bol	Complexe	Rétrécie	Profond	II-B.2.bg	A bord éversé		15,6	18,6	11,4	1,9	84	61
MT-052	Bol	Simple	Evasée	Profond	I.1.b	Hémi-ellipsoïdale H		18,4	17,4	8,9	1,5	106	48
MT-053	Jatte	Simple	Evasée	Profond	I.1.b	Hémi-ellipsoïdale H		24	21,8	11,1	3,2	110	46
MT-054	Bol	Complexe	Rétrécie	Profond	II-G.2.bd	Piriforme		12	19,2	14,5	2,3	63	76
MT-055	Jatte	Simple	Rétrécie	Profond	I.2.c	Sub-ellipsoïdale V		23,4	25	20	6,8	94	80
MT-056	Petite marmite	Simple	Rétrécie	Très profond	I.2.a	Subsphérique		11	12,6	11	0,9	87	87
MT-057	Jatte	Complexe	Evasée	Profond	II-G.1.ag	Tulipiforme		20,2	19	10	2,1	106	50
MT-058	Bol	Simple	Evasée	Profond	I.1.c	Hémi-ellipsoïdale V		10,4	9,8	7	0,5	106	67
MT-059	Jatte	Simple	Sub-V	Profond	I.3.f	Sub-cylindrique		20,2	20,2	10,1	2,2	100	50
MT-060	Bol	Complexe	Sub-V	Profond	II-CA.3.bg-med	Hyperboloïde à carène médiane		11,6	12	4,8	0,3	97	40
MT-061	Bol	Complexe	Sub-V	Profond	II-CA.3.bf-med	Cylindrique à carène médiane	Prise non perforée rectangulaire sur la carène	14,4	15,2	6,2	0,7	95	41
MT-062	Jatte	Simple	Rétrécie	Profond	I.2.b	Sub-ellipsoïdale H		23,6	27,4	18,7	6,7	86	68
MT-063	Jatte	Complexe	Rétrécie	Profond	II-B.2.bf	A bord redressé	Prises discoïdes biforées juxtaposées sur la panse	17	26,4	13,1	3,7	64	50
MT-064	Bol	Complexe	Evasée	Profond	II-CA.1.bg-bas	Hyperboloïde à carène basse		14,8	13	7,2	0,8	114	49
MT-065	Bol	Complexe	Evasée	Profond	II-CA.1.bd-bas	Tronconique à carène basse		13,4	12,4	6,5	0,6	108	49
MT-066	Jatte	Simple	Sub-V	Profond	I.3.f	Sub-cylindrique		21,2	20,8	10,5	2,5	102	50
MT-067	Jatte	Simple	Evasée	Profond	I.1.c	Hémi-ellipsoïdale V		19,2	18	13,4	3,2	107	70
MT-068	Bol	Complexe	Rétrécie	Profond	II-CA.2.bd-bas	Tronconique à carène basse	Prise non perforée ovale sur la carène	10	10,8	5	0,3	93	46
MT-069	Bol	Simple	Evasée	Profond	I.1.c	Hémi-ellipsoïdale V		10	9,2	6,1	0,4	109	61
MT-070	Grande coupe	Simple	Evasée	Peu profond	I.1.b	Hémi-ellipsoïdale H		25,8	20,8	4	1,1	124	16
MT-071	Bol	Complexe	Evasée	Profond	II-G.1.ag	Tulipiforme		8,4	7,2	4,2	0,2	117	50
MT-072	Bol	Complexe	Sub-V	Profond	II-B.3.bg	A bord éversé		13,6	14	7,8	0,8	97	56
MT-073	Bol	Simple	Evasée	Profond	I.1.c	Hémi-ellipsoïdale V		12,6	11,6	8,2	0,8	109	65
MT-074	Bol	Complexe	Rétrécie	Profond	II-CA.2.bd-med	Tronconique à carène médiane		12,2	13	8,4	0,7	94	65
MT-075	Bol	Complexe	Rétrécie	Profond	II-CA.2.bd-med	Tronconique à carène médiane		13,2	14	7,7	0,8	94	55
MT-076	Jatte	Simple	Sub-V	Profond	I.3.f	Sub-cylindrique	Anse en ruban sur la panse	22	21,4	15,7	5	103	71
MT-077	Grande marmite	Simple	Rétrécie	Très profond	I.2.c	Sub-ellipsoïdale V	Anse en ruban sur la panse	18	19,2	18,2	4,4	94	95
MT-078	Bol	Simple	Sub-V	Profond	I.3.f	Sub-cylindrique		12,6	12	8	0,7	105	63
MT-079	Bol	Simple	Rétrécie	Profond	I.2.c	Sub-ellipsoïdale V	Anse en ruban sur la panse	14	15,8	12,5	1,6	89	79
MT-080	Petite coupe	Simple	Evasée	Peu profond	I.1.b	Hémi-ellipsoïdale H		17,6	13,4	6,8	1	131	39
MT-081	Bol	Simple	Evasée	Profond	I.1.b	Hémi-ellipsoïdale H		14,4	12,4	6,8	0,7	116	47
MT-082	Bol	Complexe	Rétrécie	Profond	II-B.2.bf	A bord redressé		12,2	13,4	9	0,8	91	67
MT-083	Grande coupe	Simple	Evasée	Peu profond	I.1.b	Hémi-ellipsoïdale H		25,4	17,6	5,8	1,6	144	23
MT-084	Bol	Simple	Evasée	Profond	I.1.b	Hémi-ellipsoïdale H		14,8	13,6	6,7	0,7	109	45

	MT-085	Bol	Complexe	Sub-V	Profond	II-CA.3.bg-med	Hyperboloïde à carène médiane		13,6	13,6	7	0,7	100	51
	MT-086	Bol	Simple	Sub-V	Profond	I.3.f	Sub-cylindrique	Prise prismatique perforée H sur la panse	13,4	14	10	1	96	71
	MT-087	Bol	Complexe	Rétrécie	Profond	II-CA.2.bd-med	Tronconique à carène médiane		10,3	11,2	7,2	0,5	92	64
	MT-088	Petite marmite	Simple	Rétrécie	Très profond	I.2.e	Ovoïde	Anse en ruban dépassant du bord	9	20,2	21,2	3,6	45	105
	MT-089	Bol	Simple	Evasée	Profond	I.1.c	Hémi-ellipsoïdale V		14	12	9,2	1,1	117	66
	MT-110	Bol	Simple	Sub-V	Profond	I.3.f	Sub-cylindrique		12	11,4	9	0,9	105	75
E3	MT-090	Grande coupe	Simple	Evasée	Peu profond	I.1.b	Hémi-ellipsoïdale H		25,2	20,8	5,8	1,5	121	23
	MT-091	Jatte	Complexe	Rétrécie	Profond	II-G.2.bd	Piriforme		21	23,8	13	3,5	88	55
	MT-092	Grande coupe	Simple	Evasée	Peu profond	I.1.b	Hémi-ellipsoïdale H	Bord épaissi	37,6	31	7,7	4,5	121	20
	MT-093	Bol	Simple	Evasée	Profond	I.1.a	Hémisphérique	Poignée plate sur la lèvre	10,2	9	5,3	0,3	113	52
	MT-094	Petite marmite	Complexe	Rétrécie	Très profond	II-B.2.af	A bord redressé	Anse en ruban dépassant du bord	9,6	13,2	13,4	1,1	73	102
	MT-095	Bol	Simple	Evasée	Profond	I.1.c	Hémi-ellipsoïdale V		9	8	5	0,2	113	56
	MT-096	Bol	Simple	Evasée	Profond	I.1.b	Hémi-ellipsoïdale H		12,4	11,4	5,6	0,4	109	45
	MT-134	Grande coupe	Simple	Evasée	Peu profond	I.1.b	Hémi-ellipsoïdale H		24,4	19,2	9,3	2,6	127	38
	MT-135	Bol	Simple	Rétrécie	Profond	I.2.b	Sub-ellipsoïdale H	Prise arrondie perforée V	9	12,8	9,7	0,7	70	76
	MT-137	Bol	Complexe	Rétrécie	Profond	II-CA.2.bg-med	Hyperboloïde à carène basse		11,2	13,4	8,9	0,8	84	66
	MT-138	Bol	Complexe	Rétrécie	Profond	II-B.2.bf	A bord redressé	Anse en ruban sur le bord	9,6	10,6	7,7	0,45	91	73
E2-E3	MT-140	Jatte	Simple	Evasée	Profond	I.1.c	Hémi-ellipsoïdale V		30	27,7	22	13,3	108	73
	MT-141	Bol	Simple	Evasée	Profond	I.1.c	Hémi-ellipsoïdale V	Anse en ruban dépassant du bord	13,8	11,6	9,5	1,2	119	69
	MT-142	Bol	Simple	Evasée	Profond	I.1.a	Hémisphérique	Départ de préhension sur le bord	13,4	12,2	6,2	0,6	110	46
	MT-143	Grande jatte	Simple	Rétrécie	Profond	I.2.c	Sub-ellipsoïdale V	Anse en ruban sur la panse	33,6	37	28,5	20,6	91	77
	MT-144	Bol	Simple	Evasée	Profond	I.1.c	Hémi-ellipsoïdale V	Poignée plate sur la lèvre	12,4	10,5	6,5	0,5	118	52
	MT-145	Grande coupe	Simple	Evasée	Peu profond	I.1.b	Hémi-ellipsoïdale H	Bord épaissi	23,8	20	7,4	1,9	119	31
	MT-146	Jatte	Complexe	Rétrécie	Profond	II-B.2.bf	A bord redressé	Anse tubulaire sur la panse	18	27,4	15	4,7	66	55
	MT-147	Bol	Simple	Evasée	Profond	I.1.c	Hémi-ellipsoïdale V	Anse en ruban sur la panse	12,2	11	7	0,6	111	57
	MT-148	Bol	Simple	Evasée	Profond	I.1.c	Hémi-ellipsoïdale V		14	12,8	7,3	0,8	109	52
	MT-149	Jatte	Complexe	Rétrécie	Profond	II-G.2.bd	Piriforme	Anse en ruban à bord équilibrés sur le galbe	23,6	25,4	12,8	3,9	93	50

Figure 2 : tableau récapitulatif des caractéristiques morphométriques des profils archéologiquement complets (Douv = Diamètre à l'ouverture, Dpanse = Diamètre de la panse, Hmax = Hauteur maximum en cm ; Vol. = Volume en litres ; IO = Indice d'ouverture, IP = Indice de profondeur).

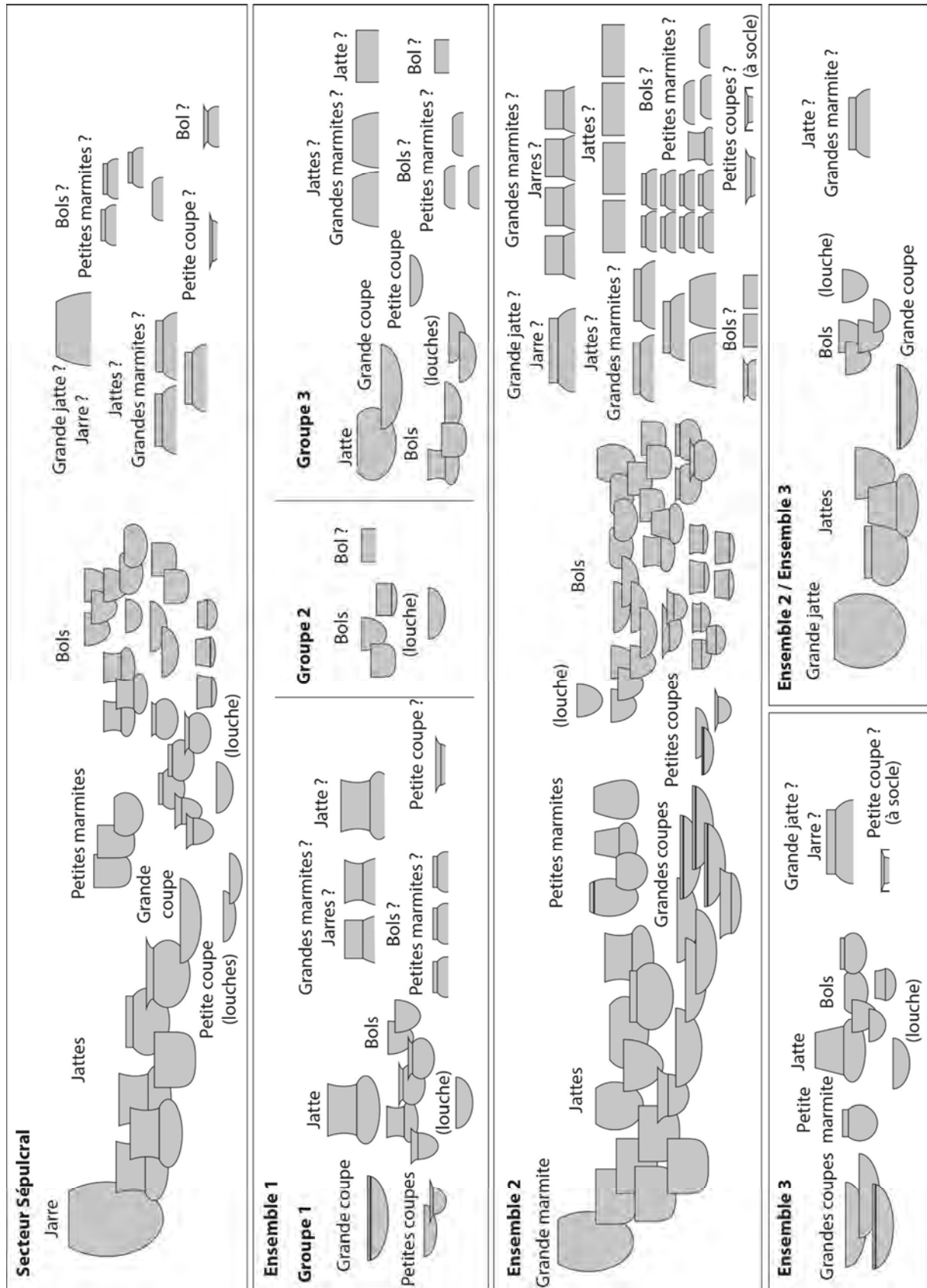


Figure 3 : illustration schématique des formes et formats de vases identifiés dans chaque assemblage (profils archéologiquement complets et profils incomplets avec hypothèses d'attribution d'un format).

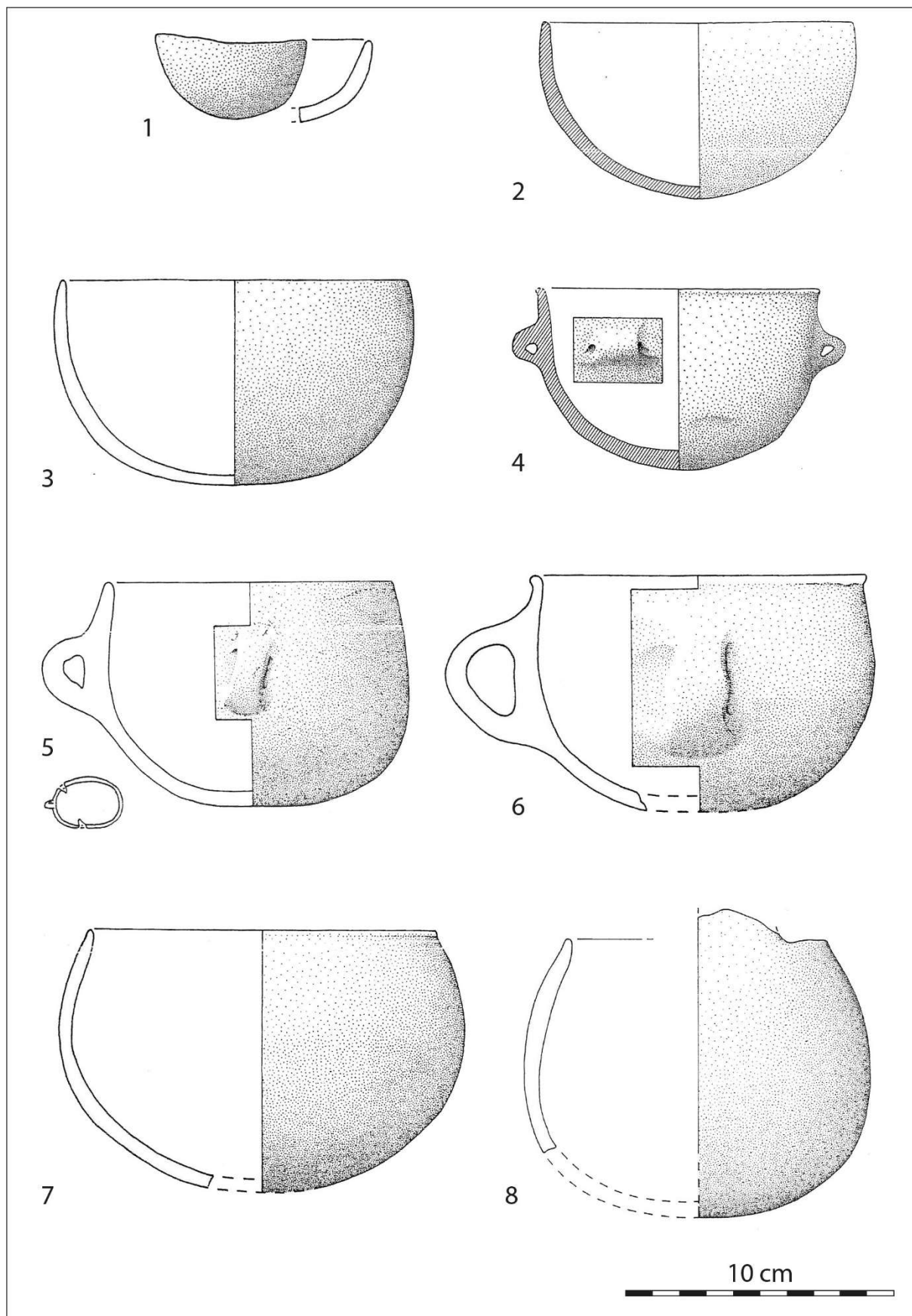


Planche 1 : profils restitués du secteur Sépulcral. Dessins : N. Delcos, D. Gourmellet et P. Ponsich.

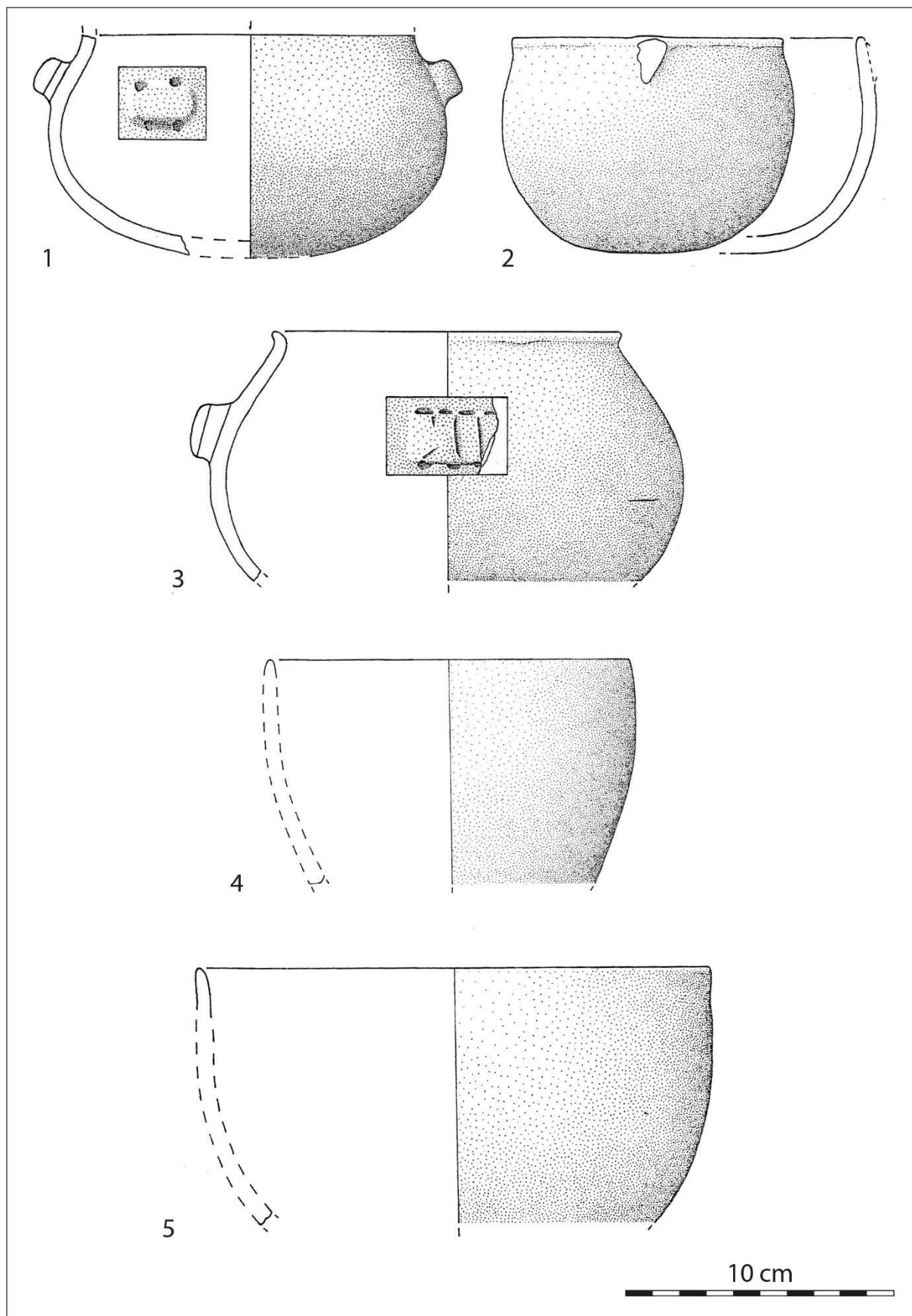


Planche 2 : profils restitués du secteur Sépulcral. Dessins : N. Delcos, D. Gourmellet et P. Ponsich.

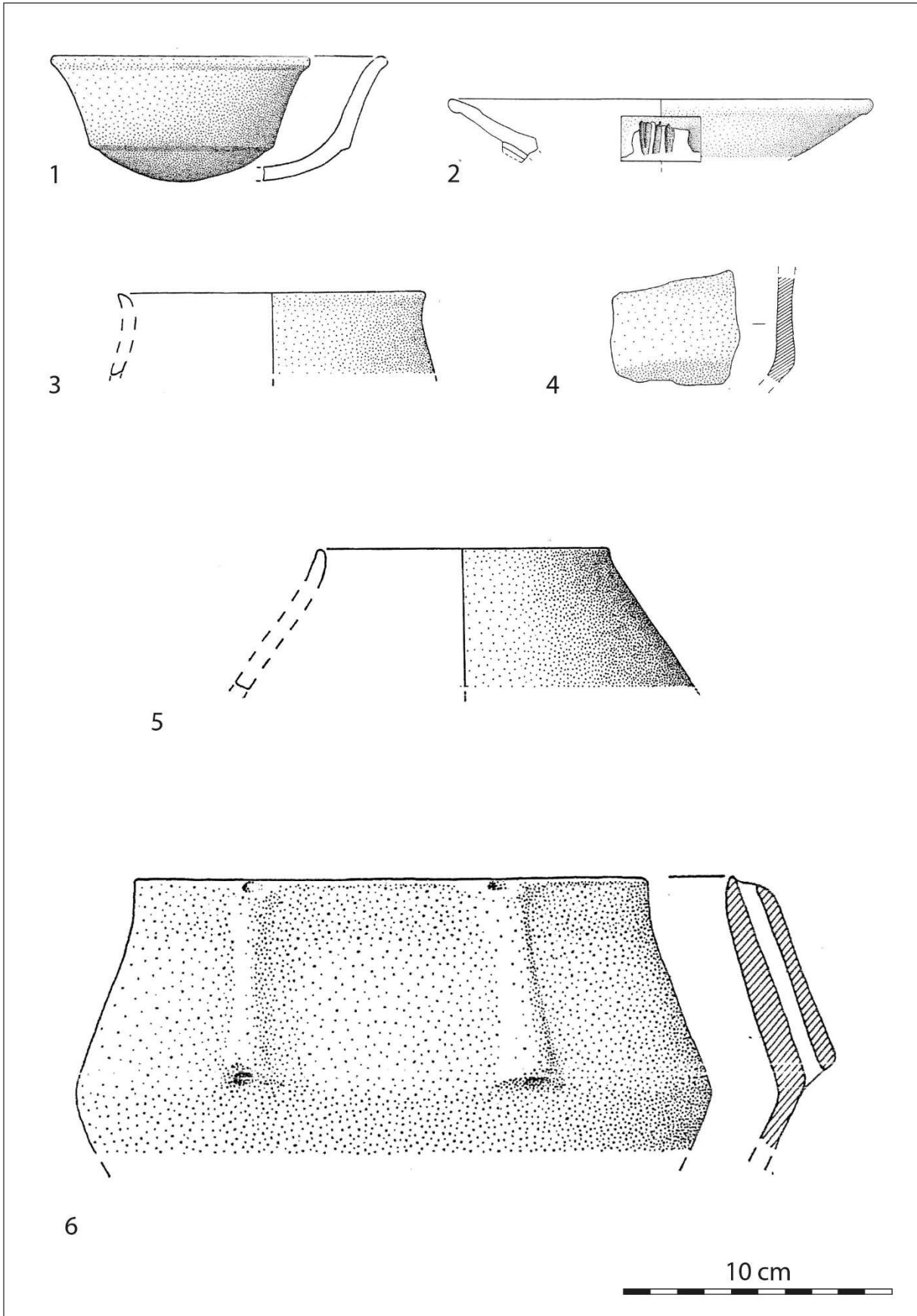


Planche 3 : éléments de vase, profils incomplets et profils restitués du secteur Sépulcral. Dessins : N. Delcos, D. Gourmellet et P. Ponsich.

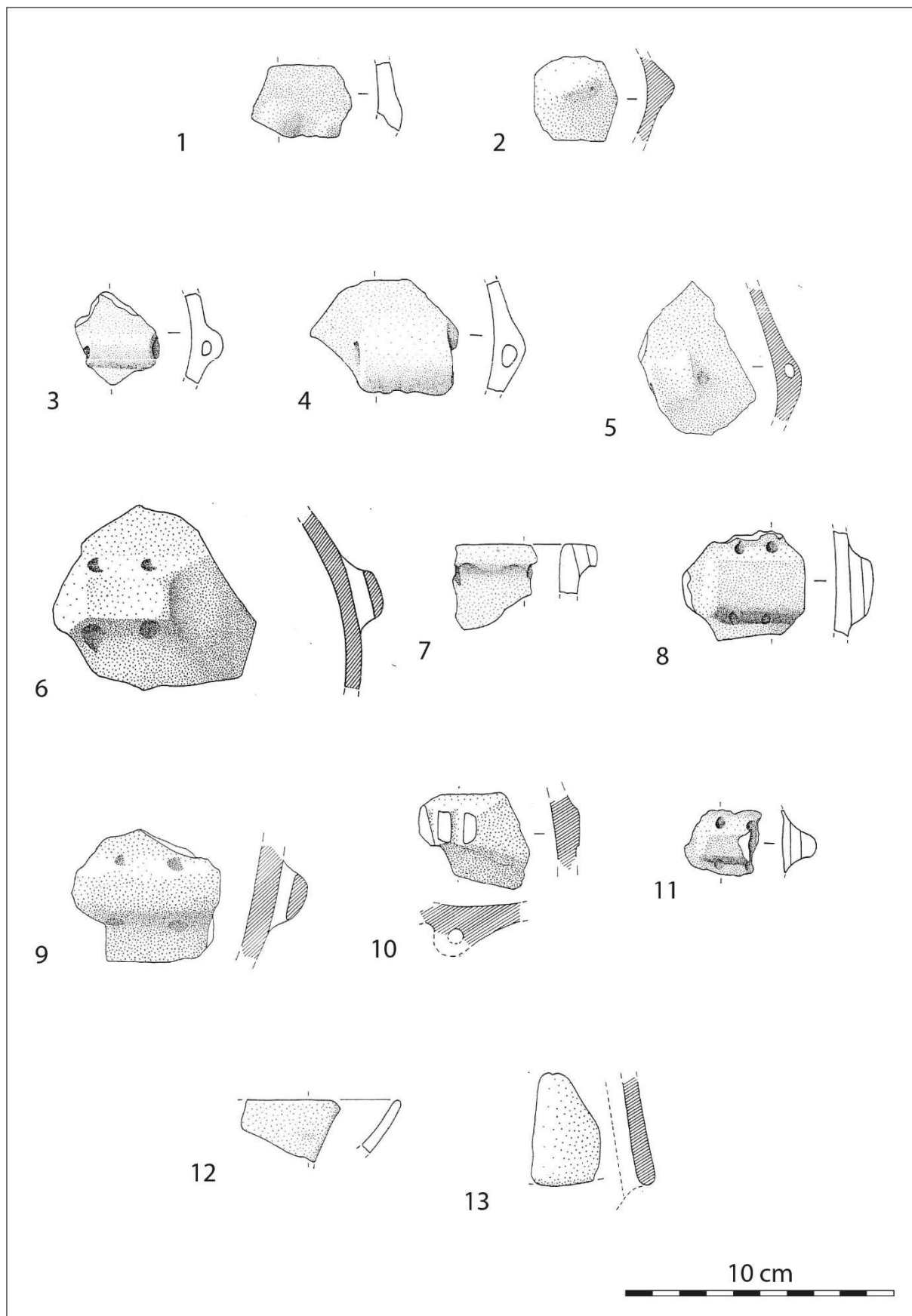


Planche 4 : éléments de préhension du secteur Sépulcral. Dessins : N. Delcos, D. Gourmellet et P. Ponsich.

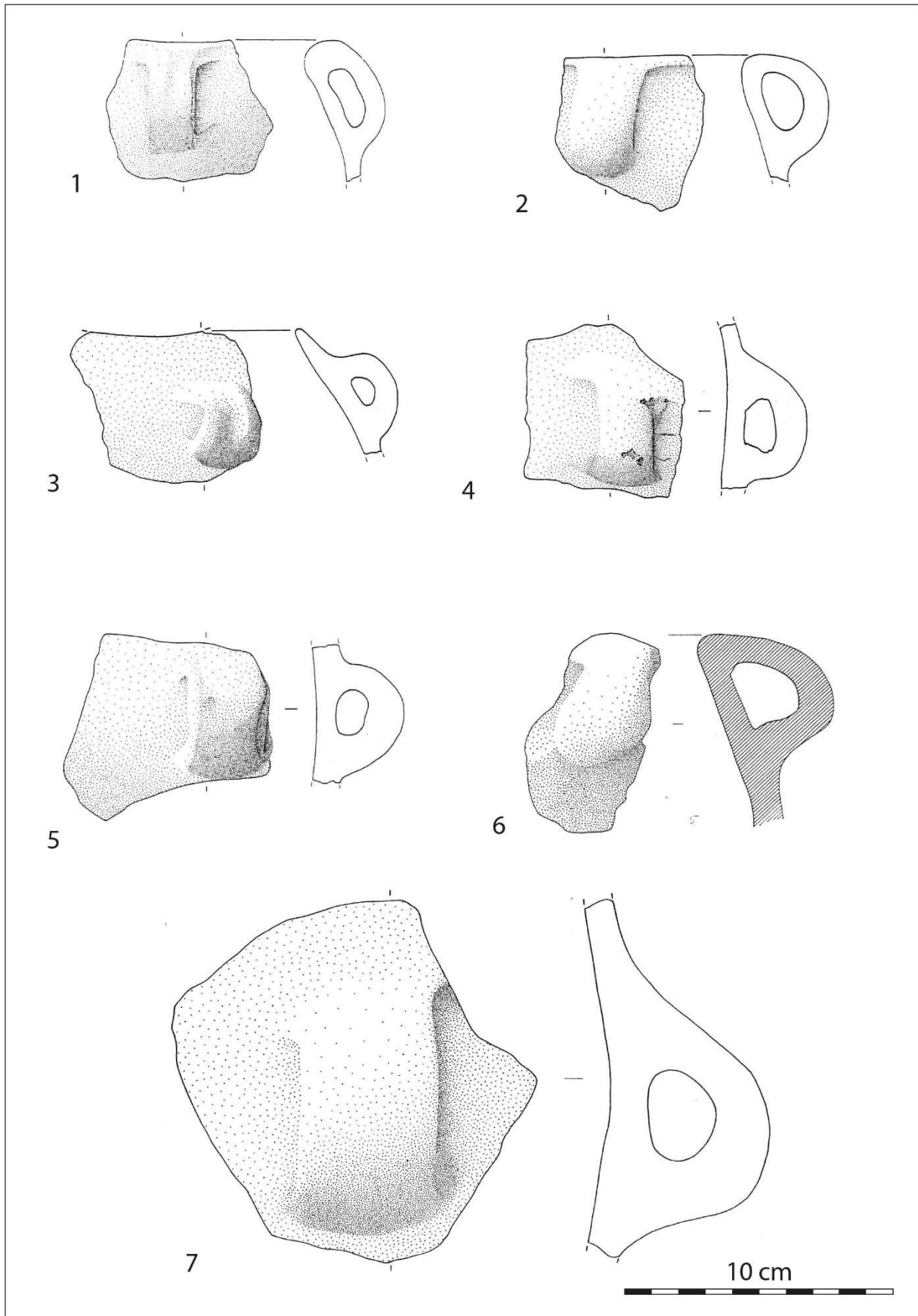


Planche 5 : éléments de préhension du secteur Sépulcral. Dessins : N. Delcos, D. Gourmellet et P. Ponsich.

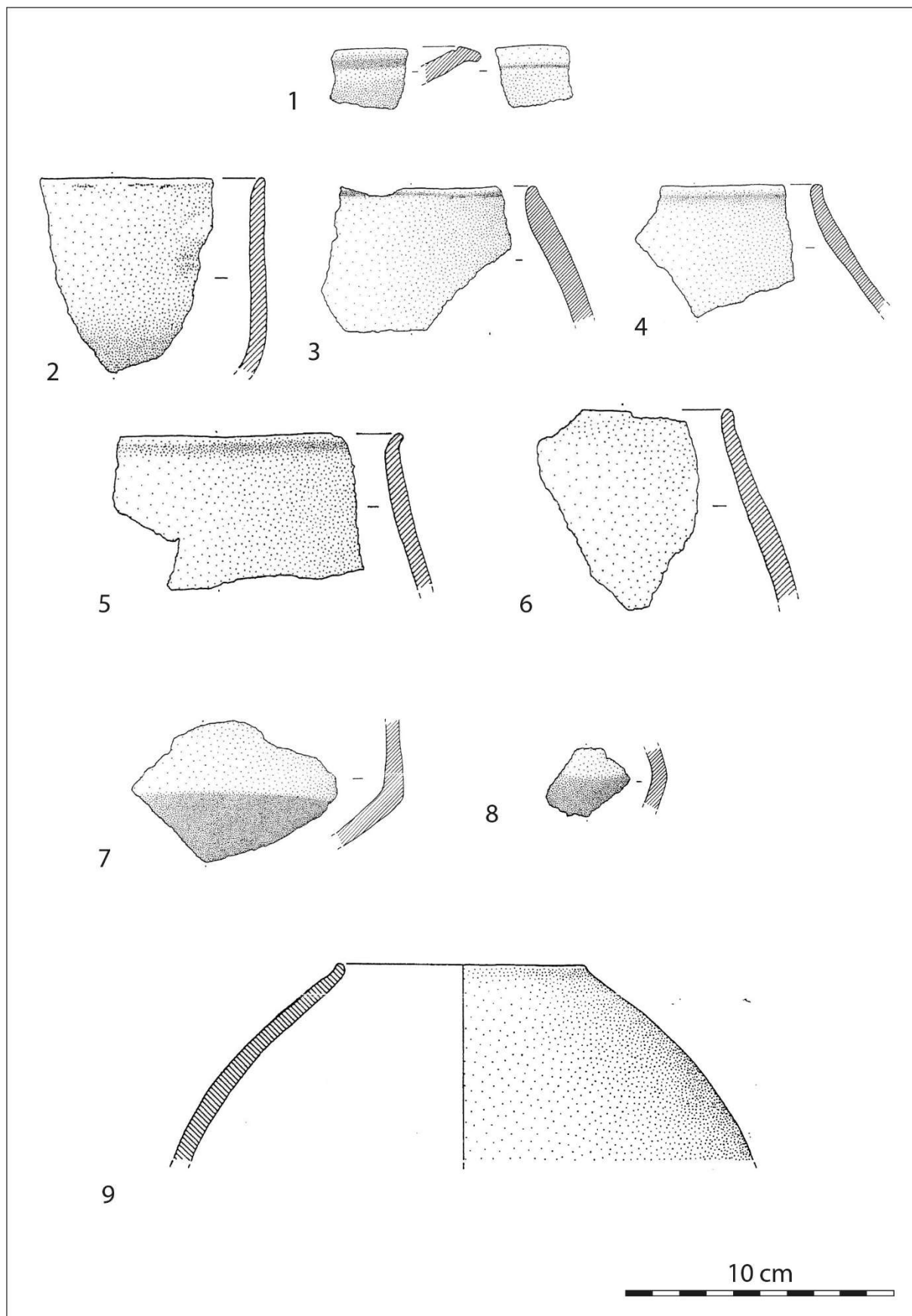


Planche 6 : éléments de vase et profil incomplet du Groupe 1 de l'Ensemble 1. Dessins : N. Delcos, D. Gourmellet et P. Ponsich.

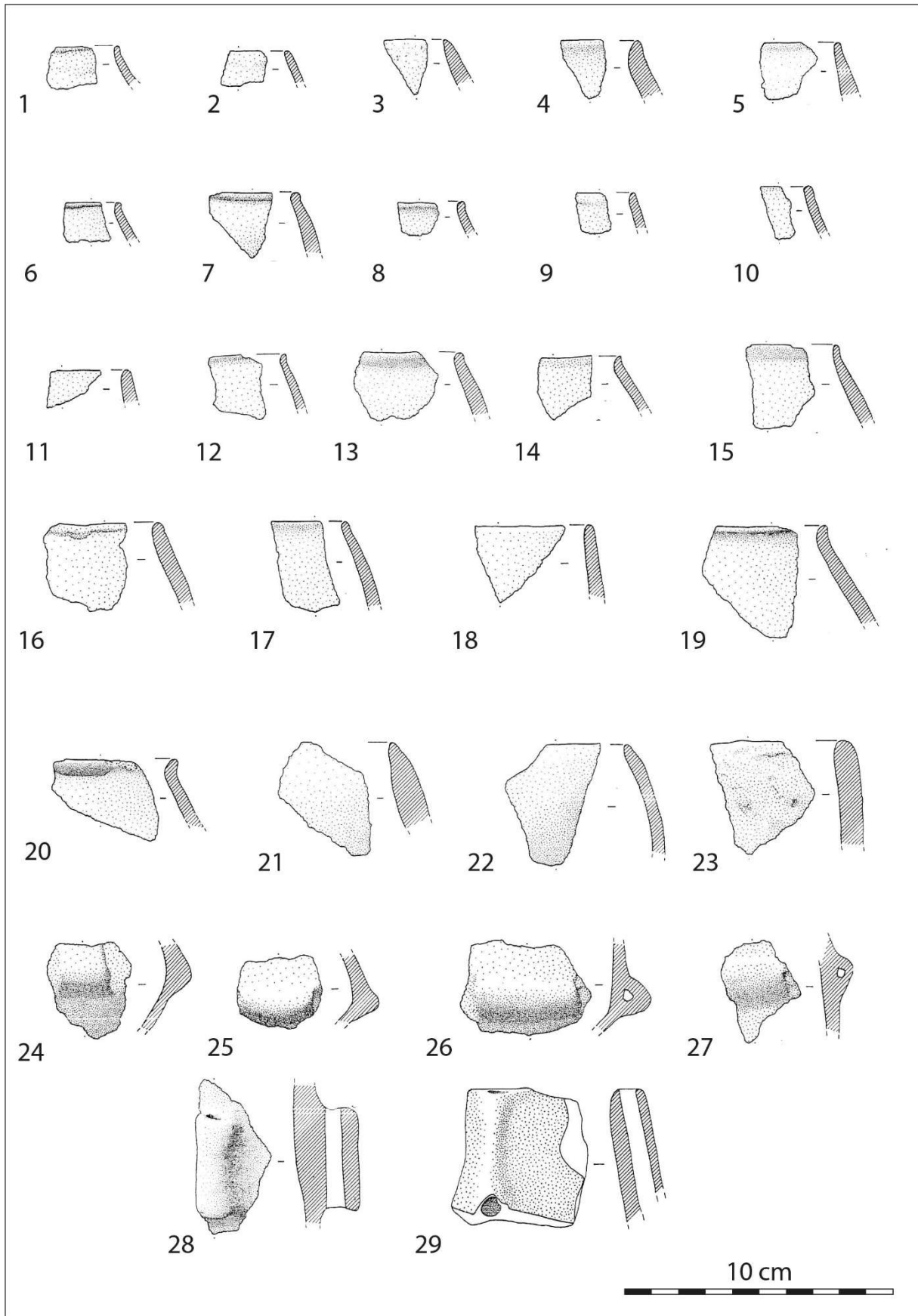


Planche 7 : éléments de vase et préhensions du Groupe 1 de l'Ensemble 1. Dessins : N. Delcos, D. Gourmellet et P. Ponsich.

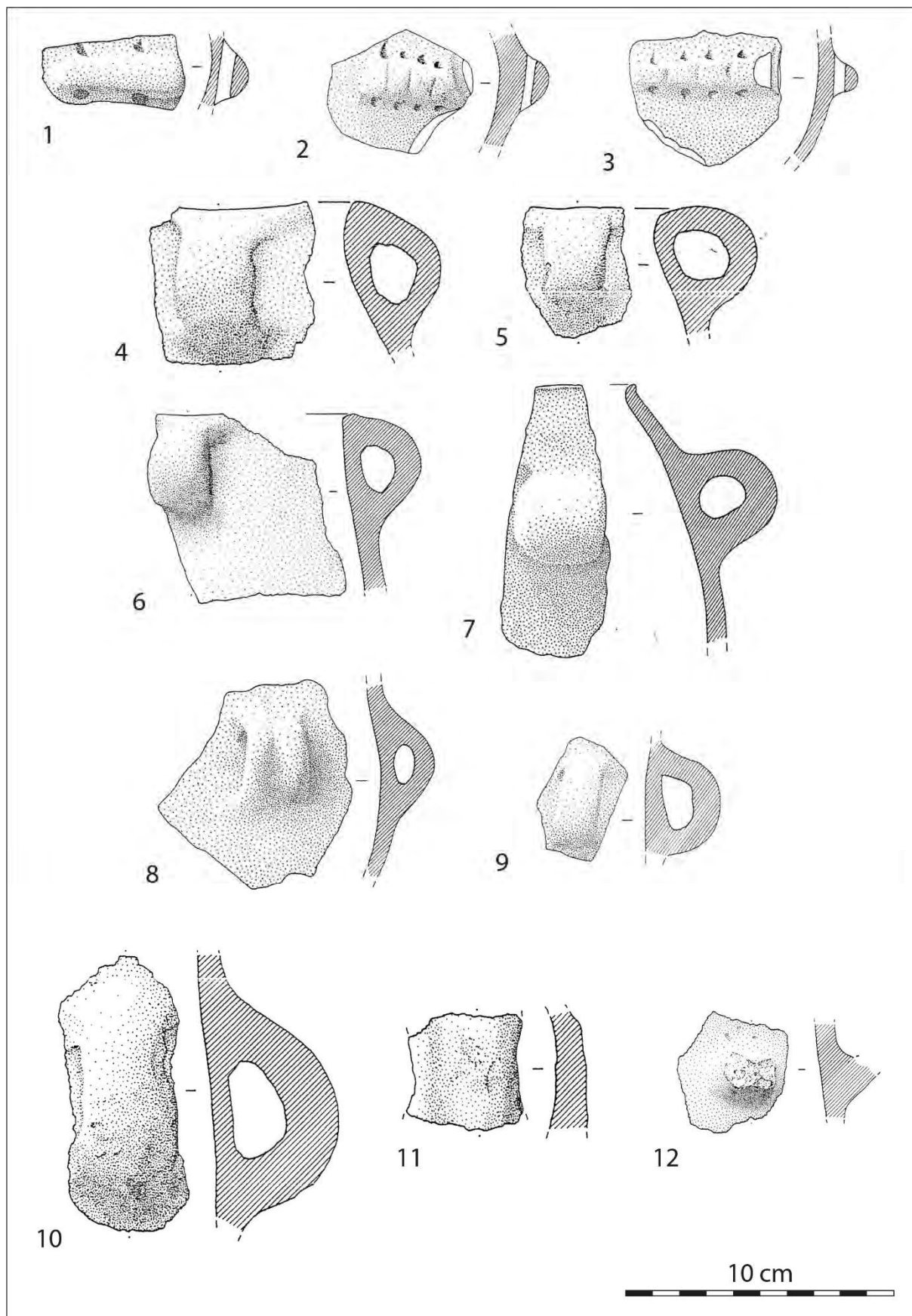


Planche 8 : éléments de préhension du Groupe 1 de l'Ensemble 1. Dessins : N. Delcos, D. Gourmellet et P. Ponsich.

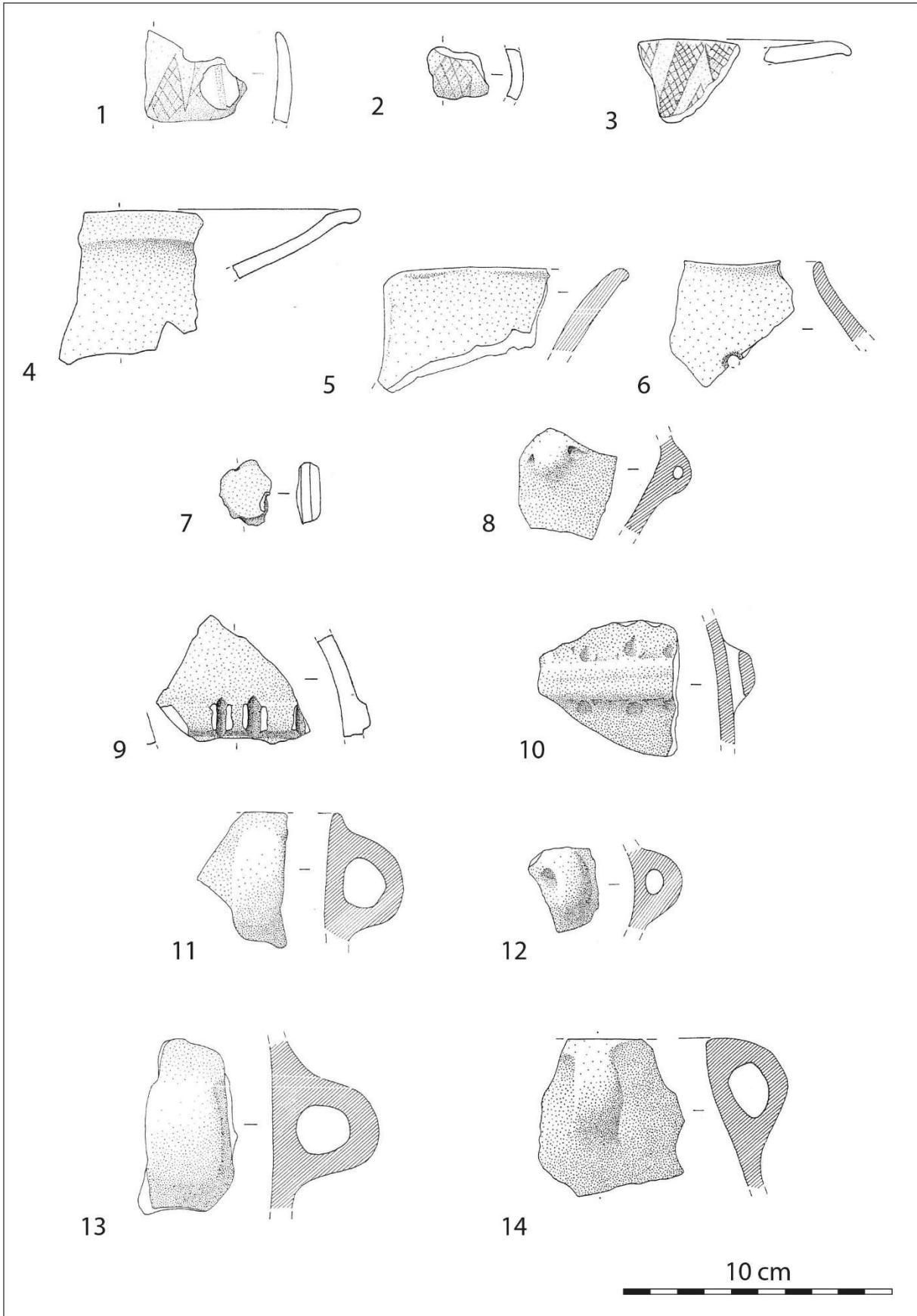


Planche 9 : décors, éléments de vase et préhensions du Groupe 2 de l'Ensemble 1. Dessins : N. Delcos, D. Gourmellet et P. Ponsich.

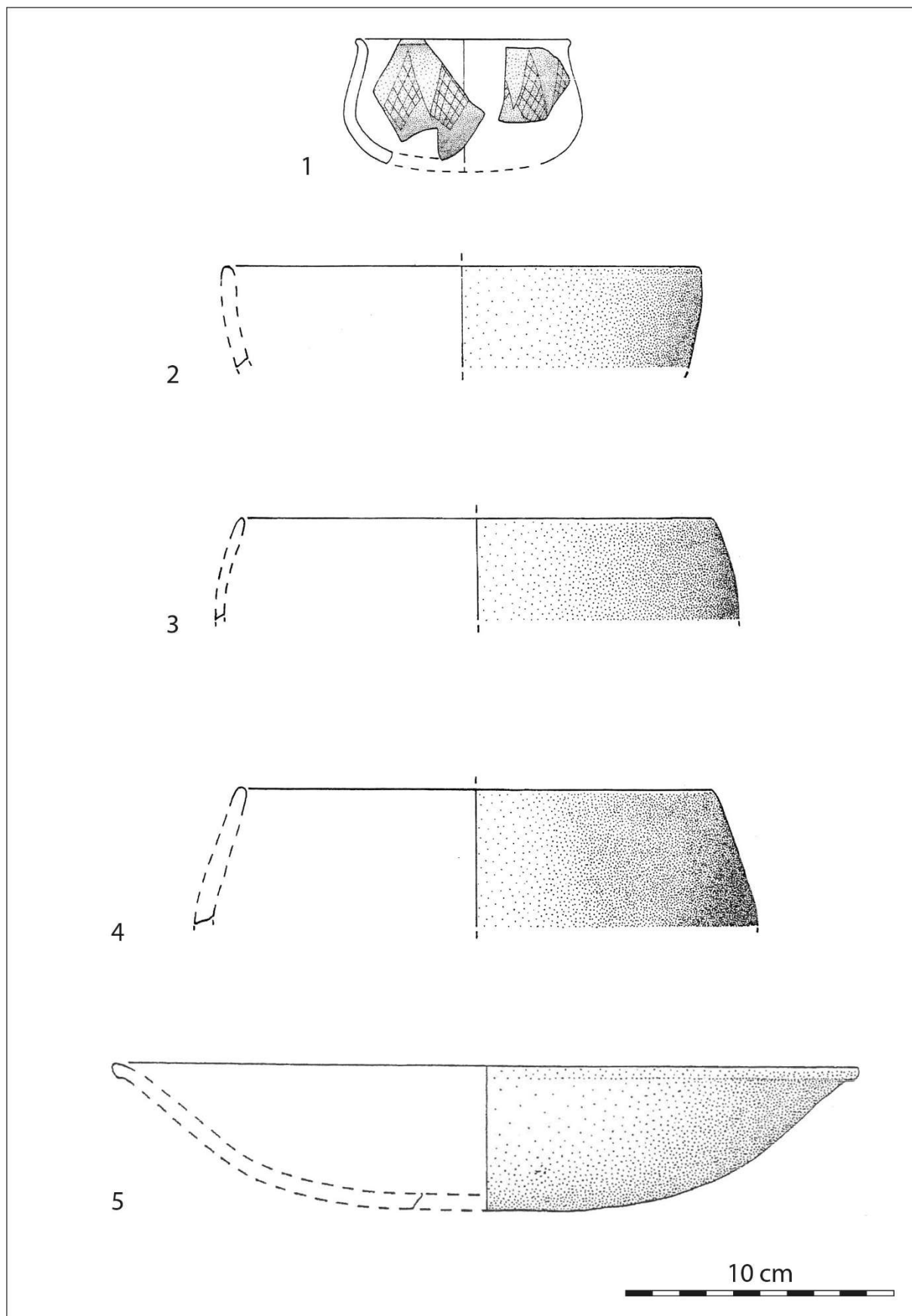


Planche 10 : profils incomplets et profils restitués du Groupe 3 de l'Ensemble 1. Dessins : N. Delcos, D. Gourmellet et P. Ponsich.

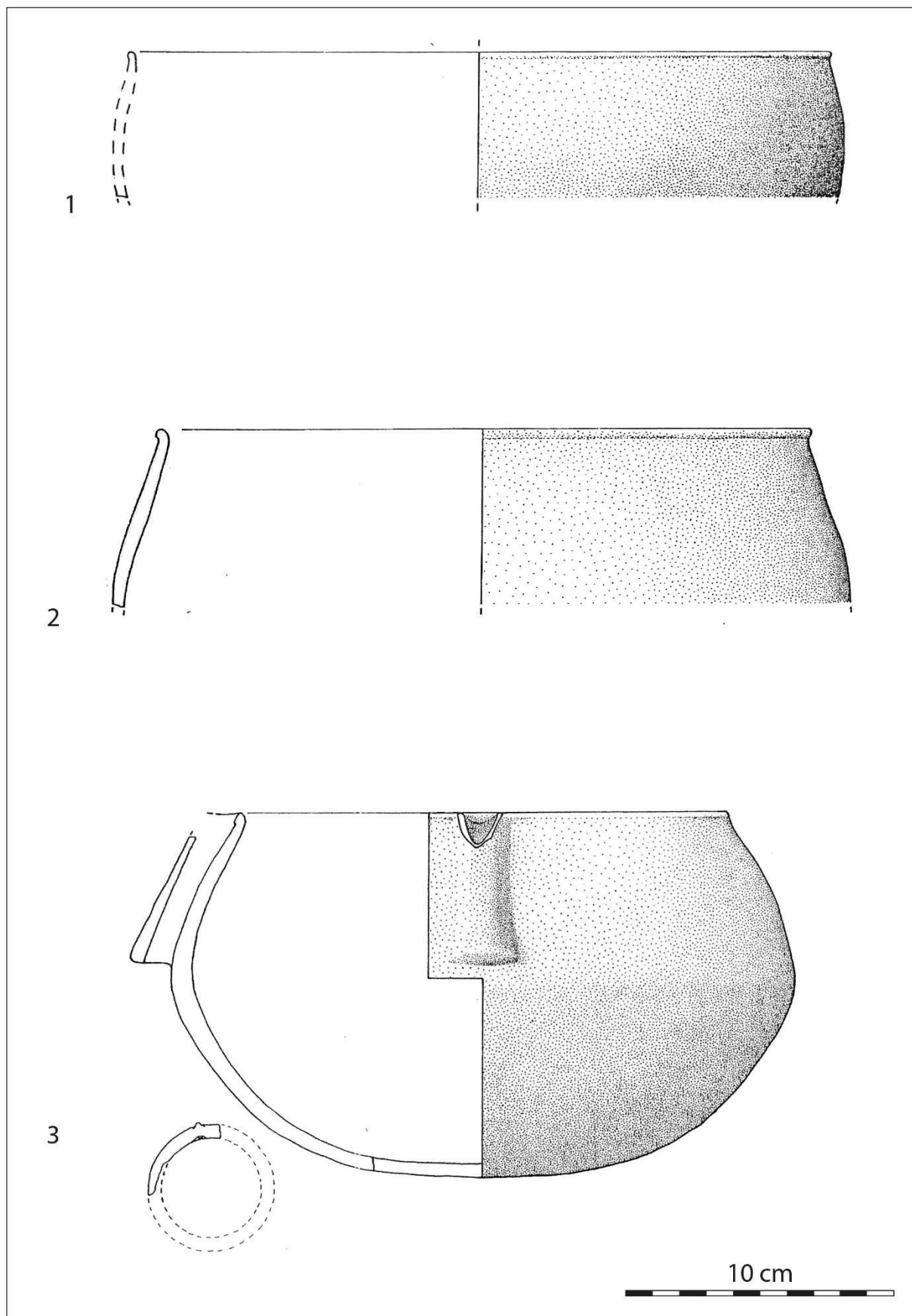


Planche 11 : profils incomplets et profil restitué du Groupe 3 de l'Ensemble 1. Dessins : N. Delcos, D. Gourmellet et P. Ponsich.

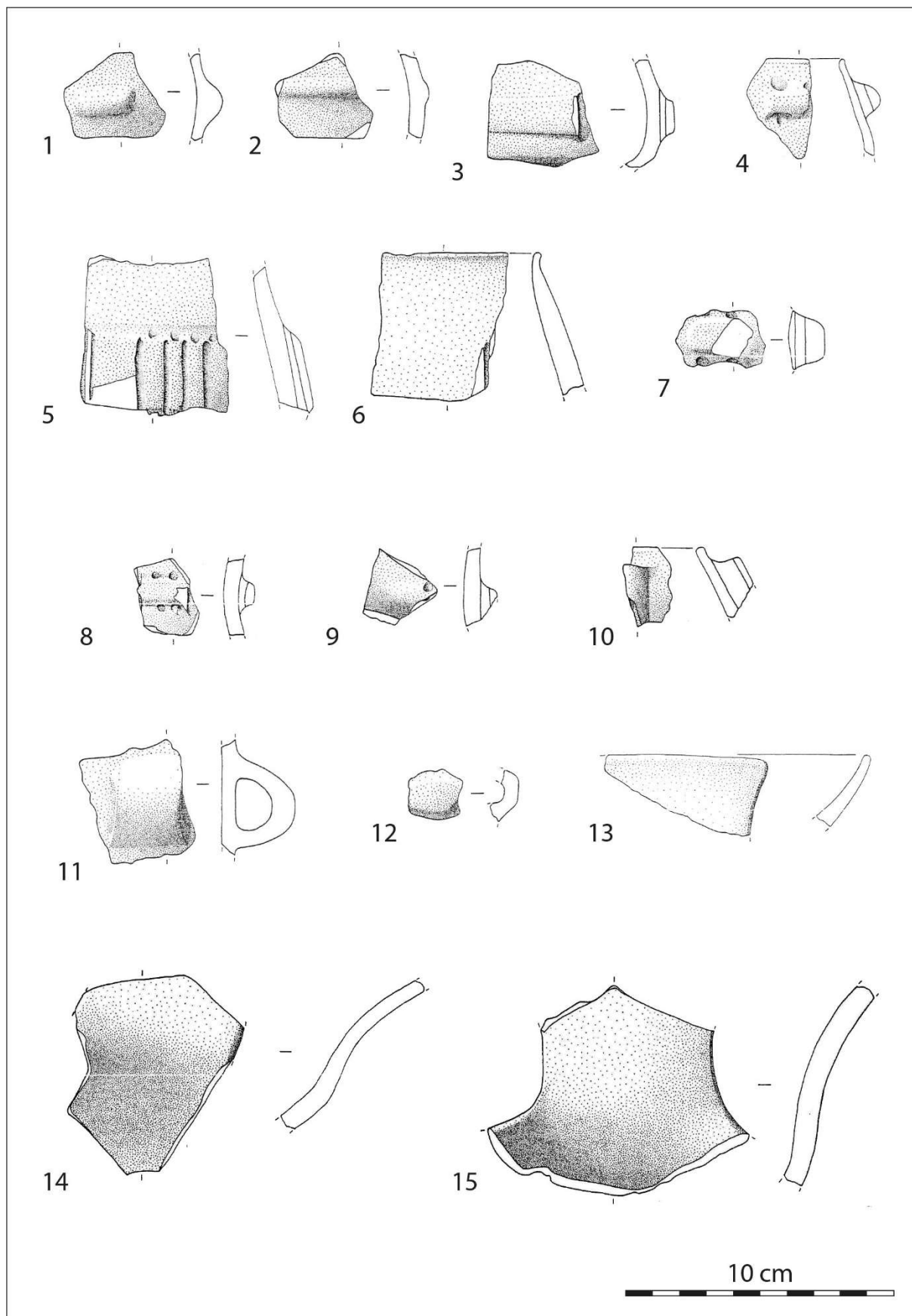


Planche 12 : décor, éléments de vase et préhensions du Groupe 3 de l'Ensemble 1. Dessins : N. Delcos, D. Gourmellet et P. Ponsich.

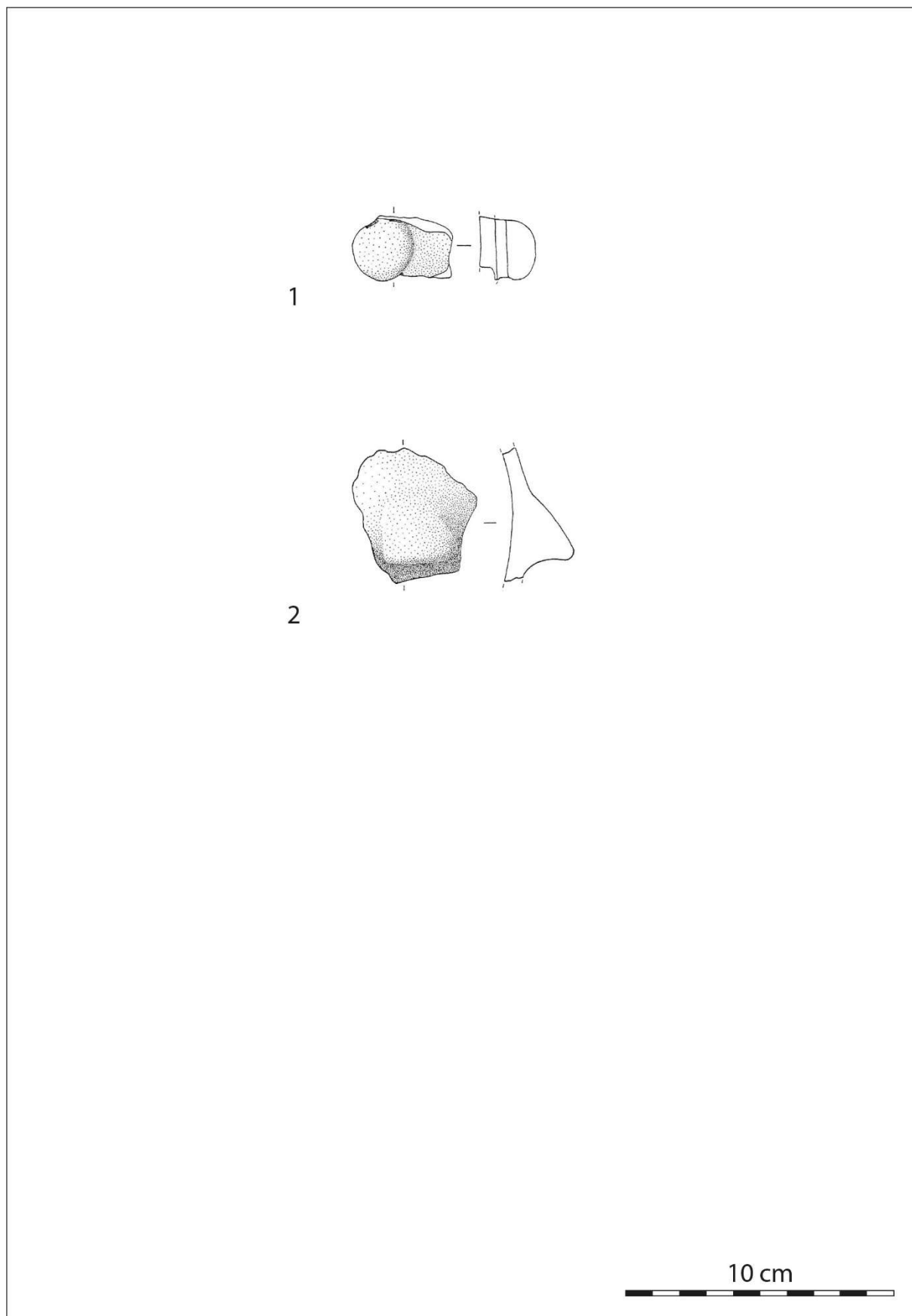


Planche 13 : éléments de préhension du Groupe 4 de l'Ensemble 1. Dessins : N. Delcos, D. Gourmellet et P. Ponsich.

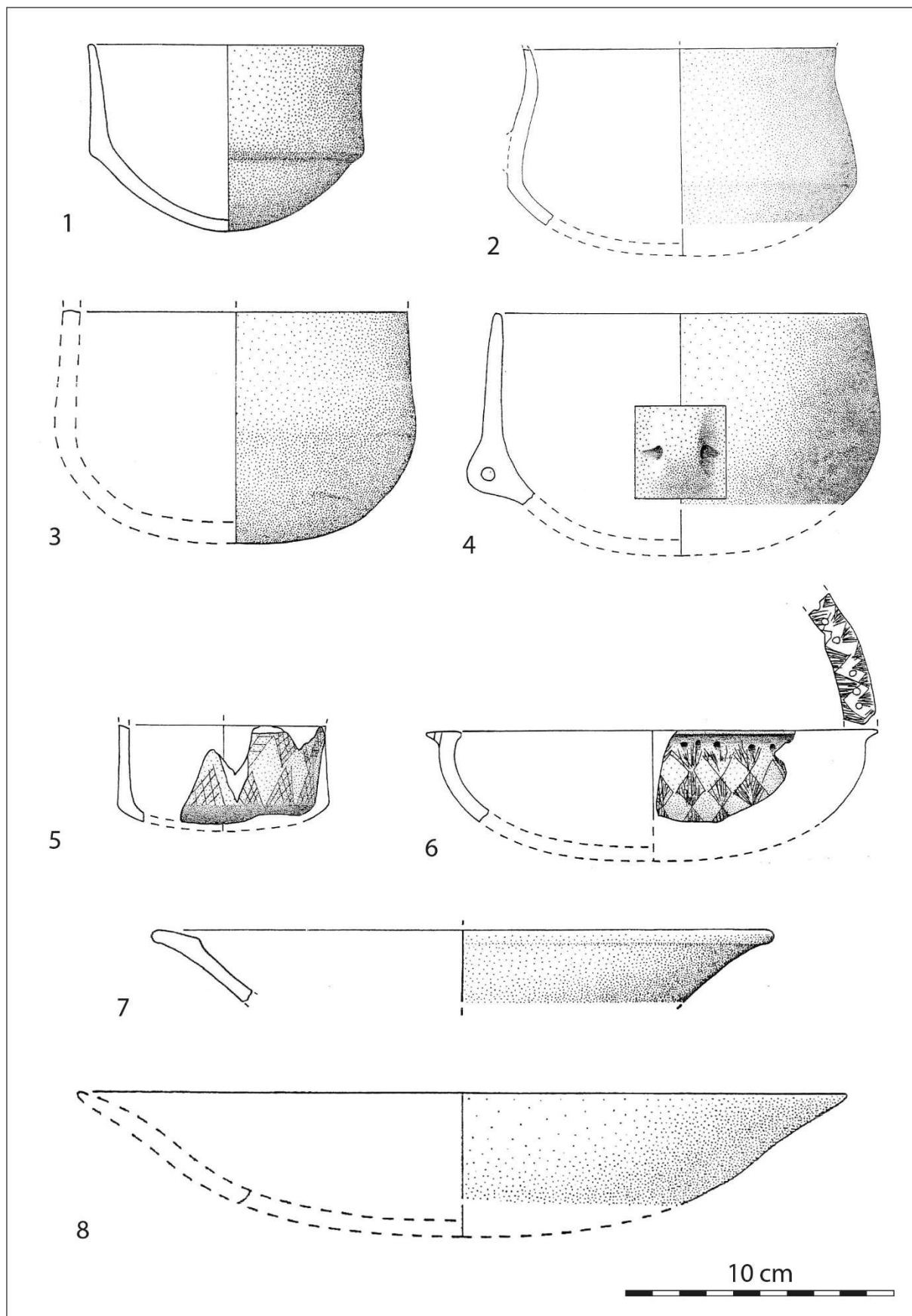


Planche 14 : profils incomplets et profils restitués de l'Ensemble 2. Dessins : N. Delcos, D. Gourmellet et P. Ponsich.

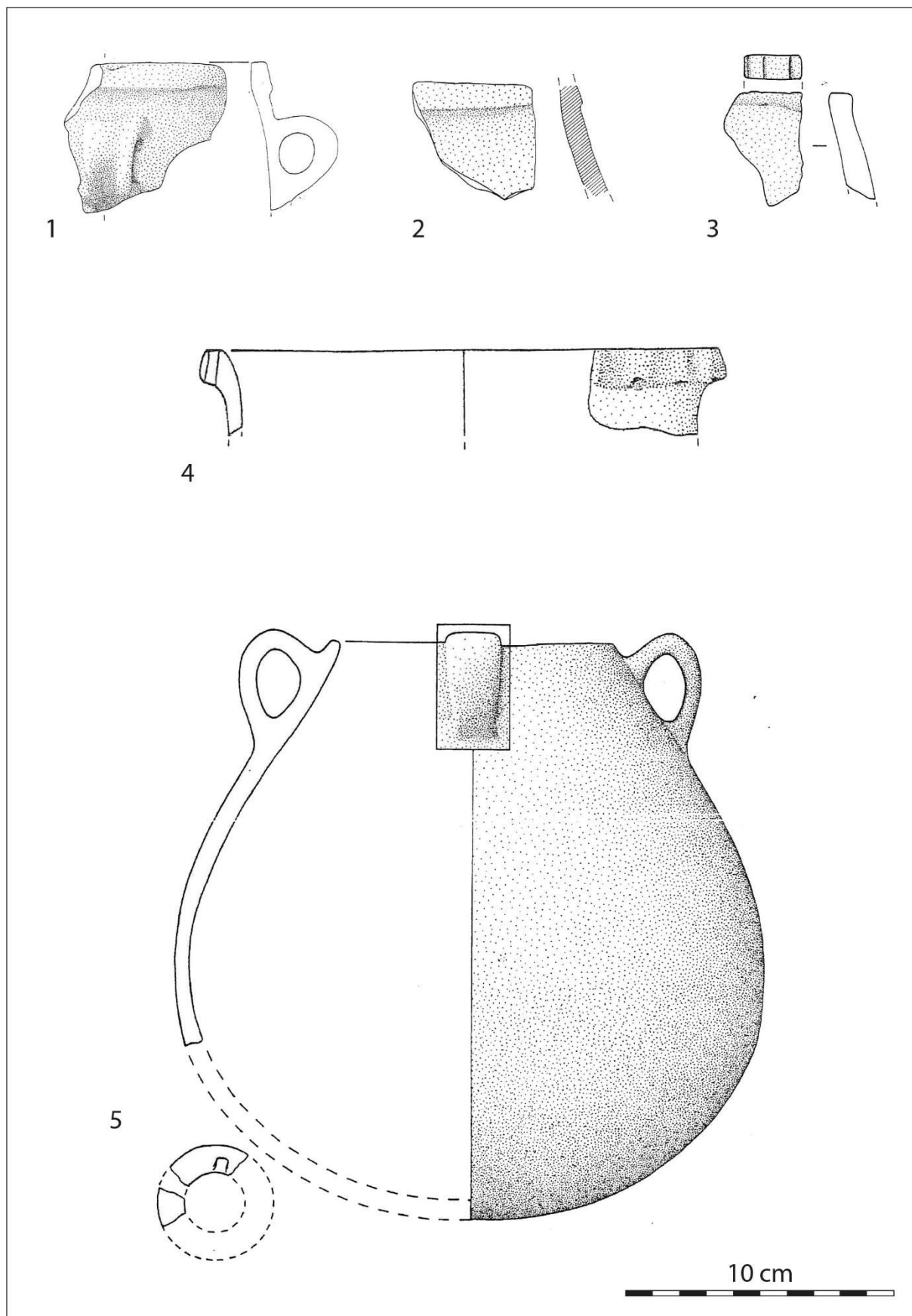


Planche 15 : décor, éléments de vase, profils incomplets et profils restitués de l'Ensemble 2. Dessins : N. Delcos, D. Gourmellet et P. Ponsich.

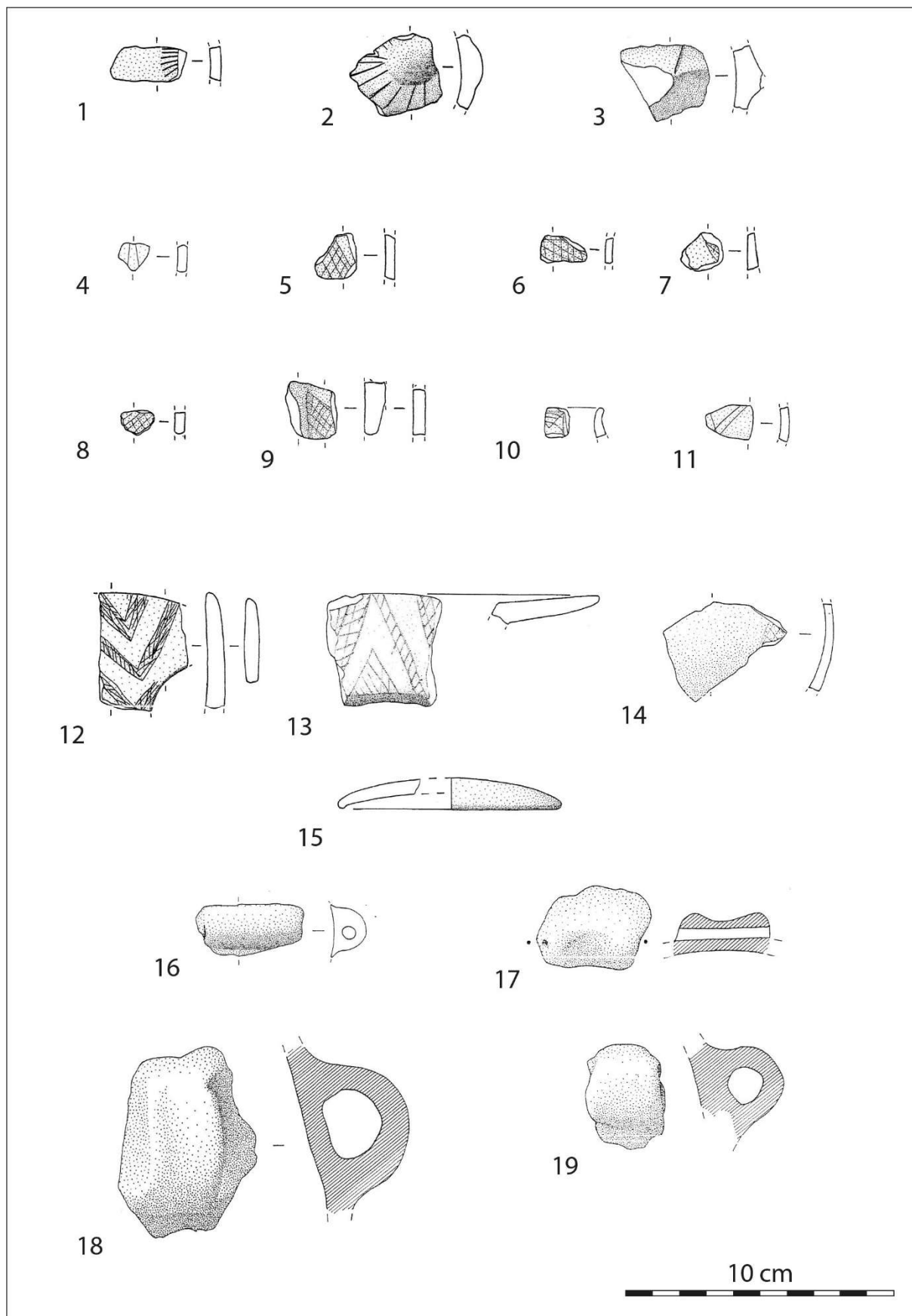


Planche 16 : décors, éléments de vase et préhensions de l'Ensemble 2. Dessins : N. Delcos, D. Gourmellet et P. Ponsich.

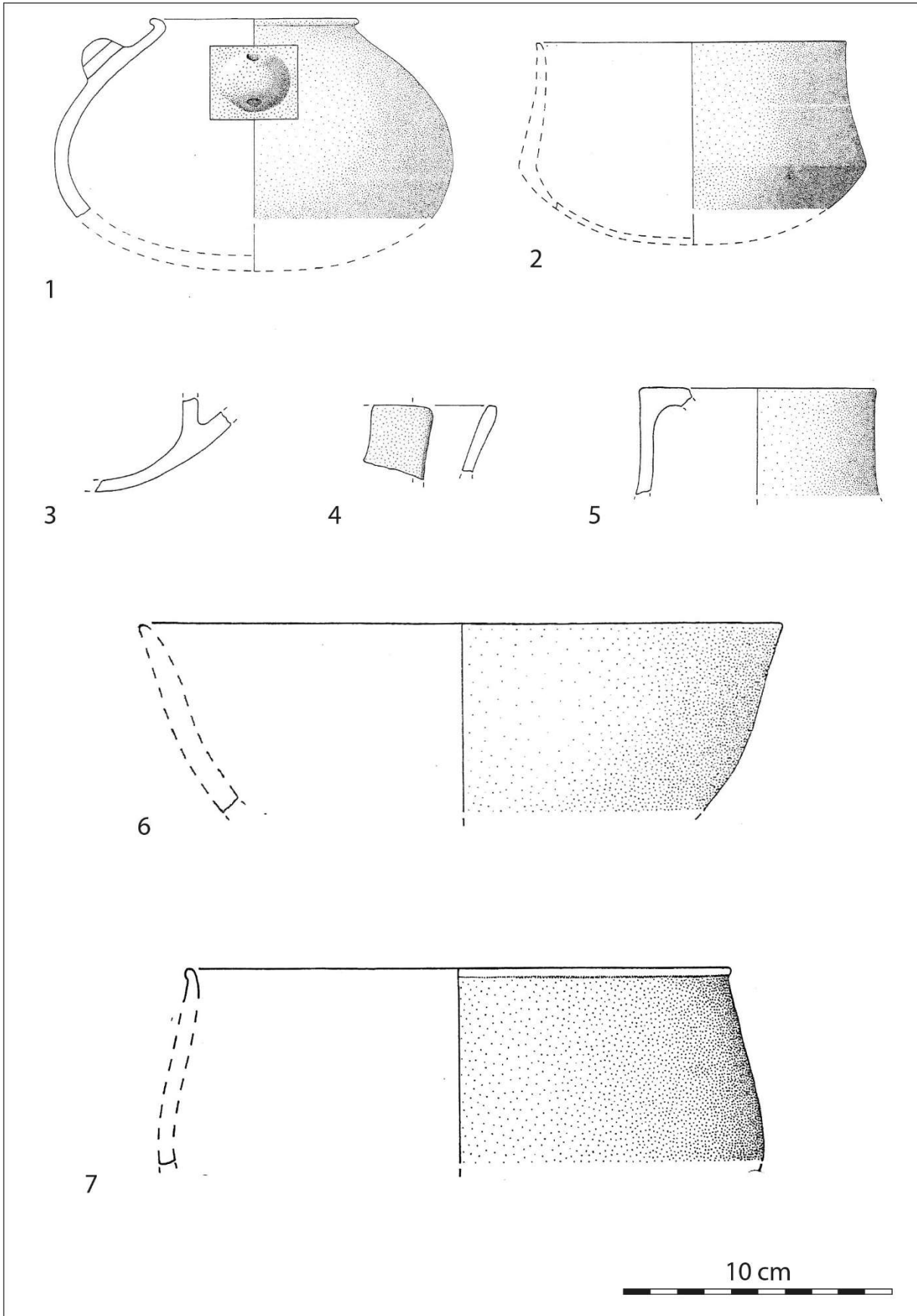


Planche 17 : éléments de préhension, profils incomplets et profils restitués de l'Ensemble 3. Dessins : N. Delcos, D. Gourmellet et P. Ponsich.

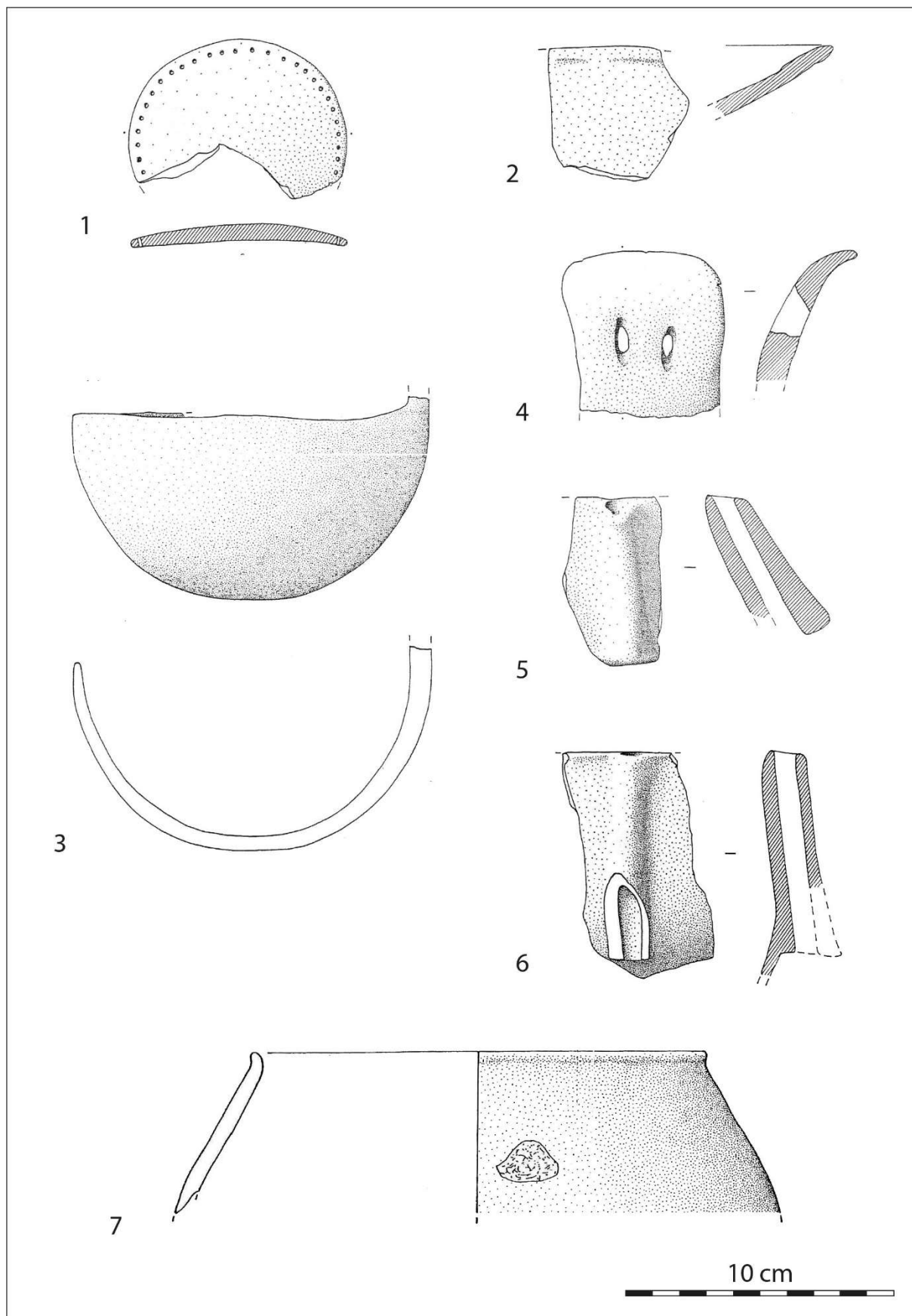


Planche 18 : éléments de vase, préhensions, profil incomplet et profils restitués de l'assemblage attribuable aux Ensembles 2 et 3. Dessins : N. Delcos, D. Gourmellet et P. Ponsich.

VI. Les Coudoumines I-C (Caramany, Pyrénées-Orientales)

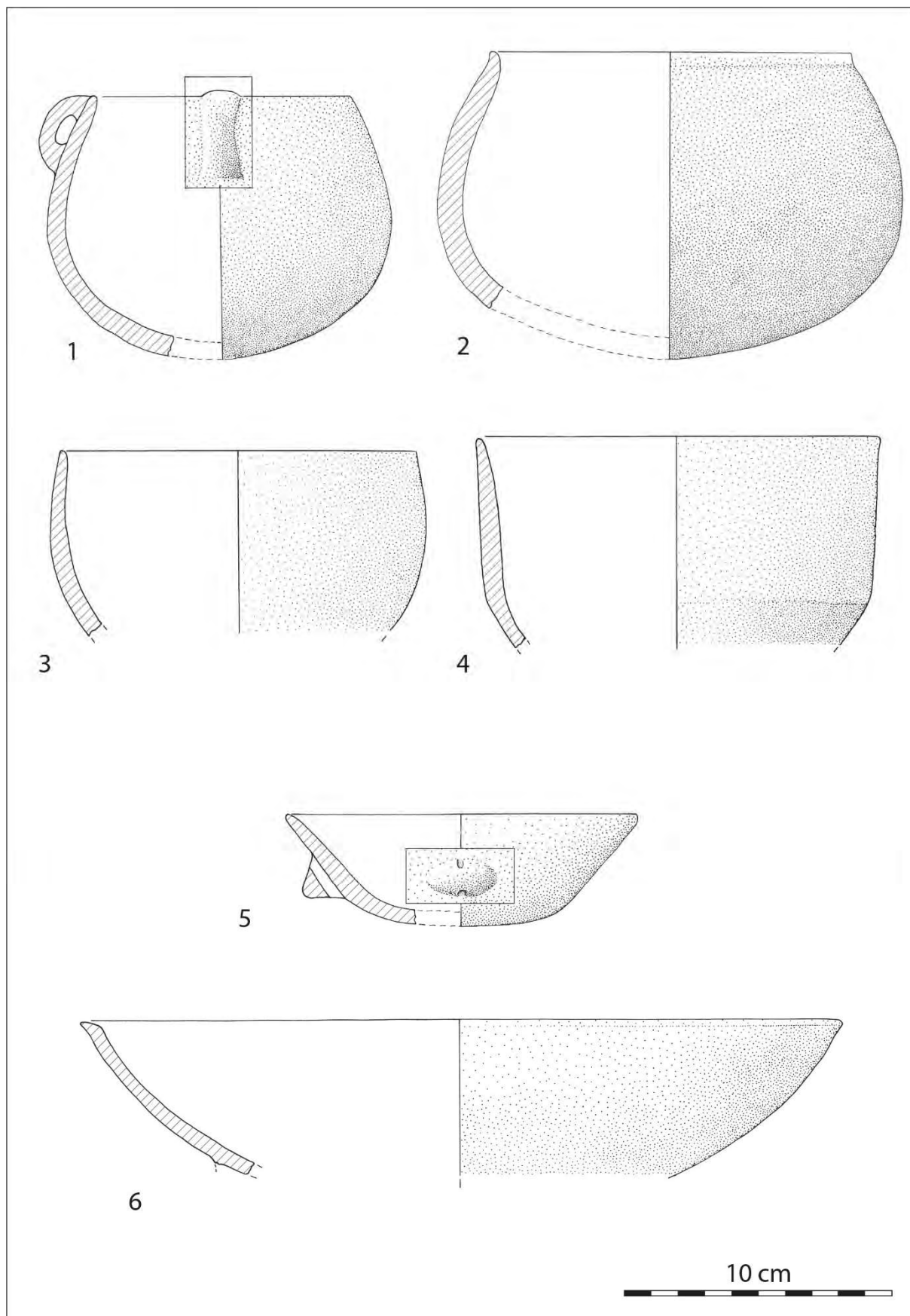


Planche 1 : profils restitués du Silo SI 1. Dessins : C. Manen.

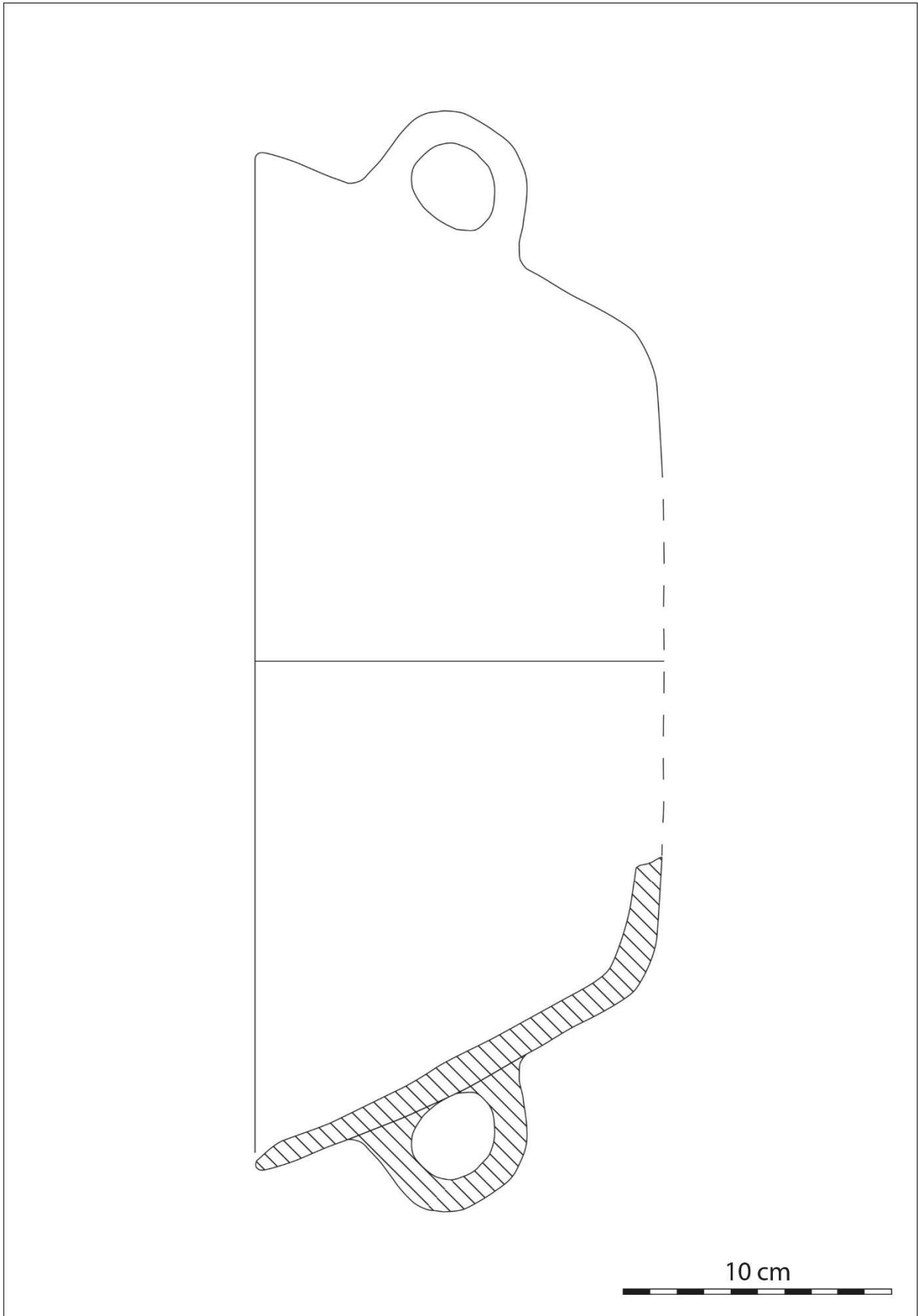


Planche 2 : profil restitué du Silo SI 1.

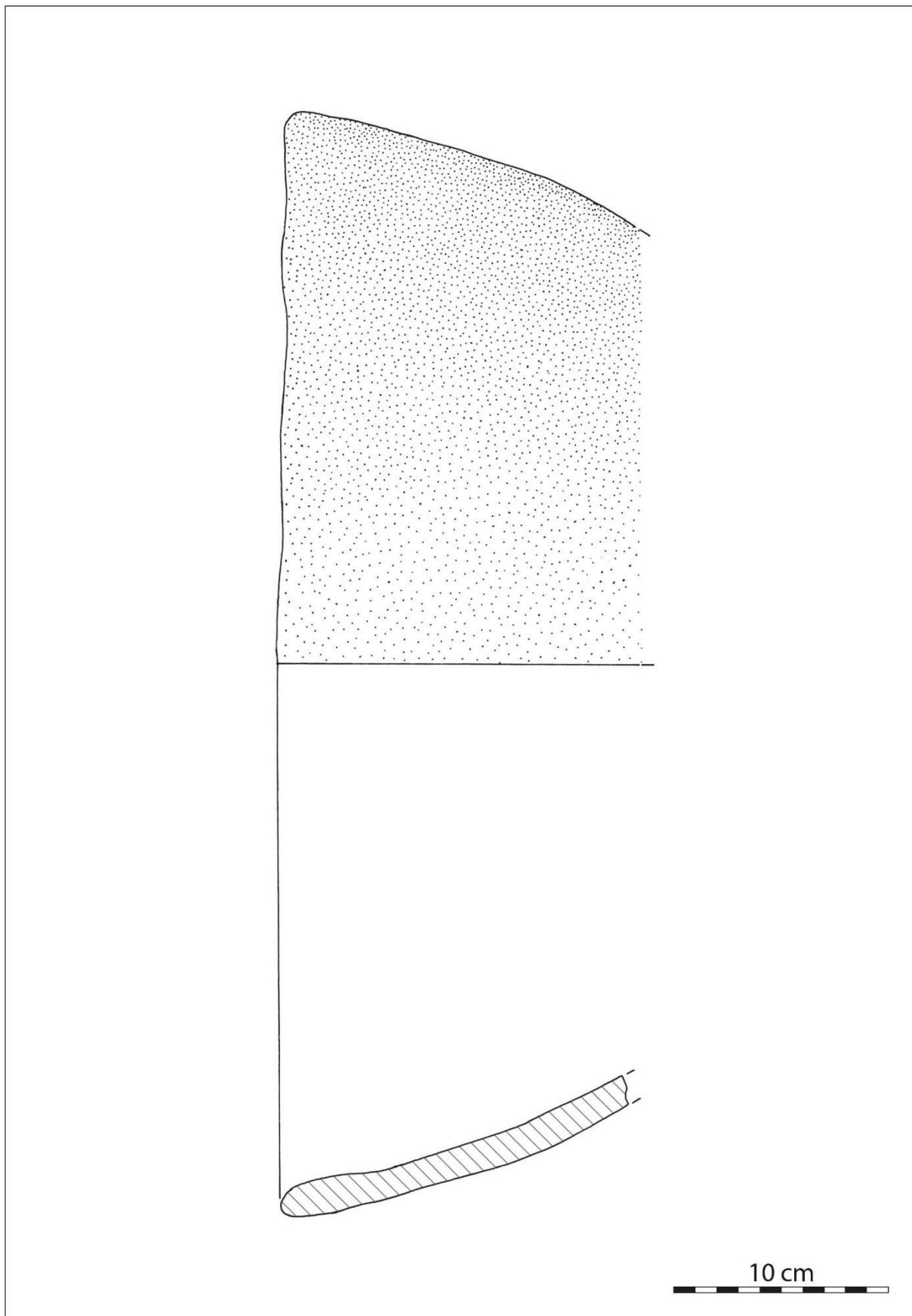


Planche 3 : profil restitué du Silo SI 1. Dessins : C. Manen.

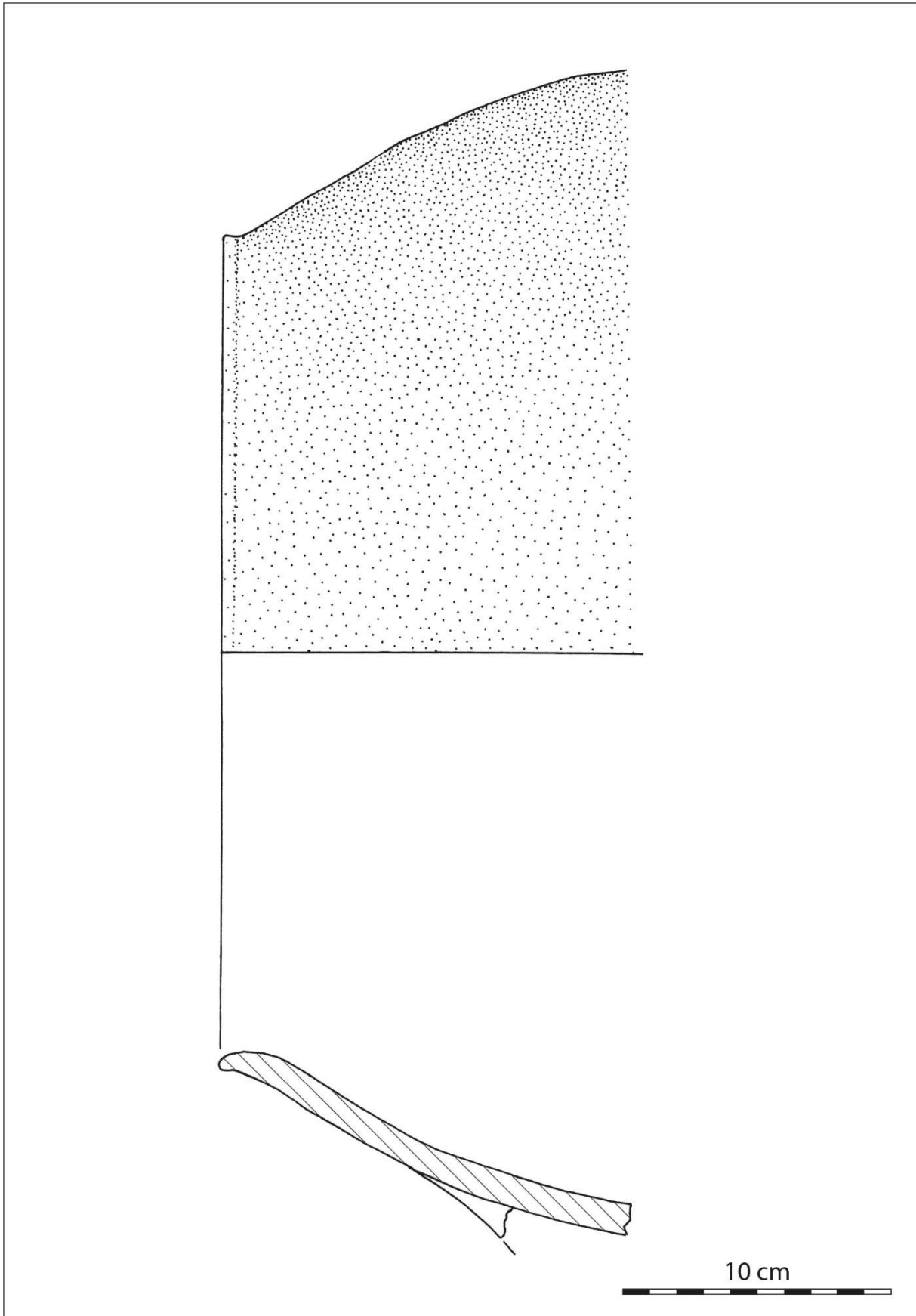


Planche 4 : profil incomplet du Silo SI 1. Dessins : C. Manen.

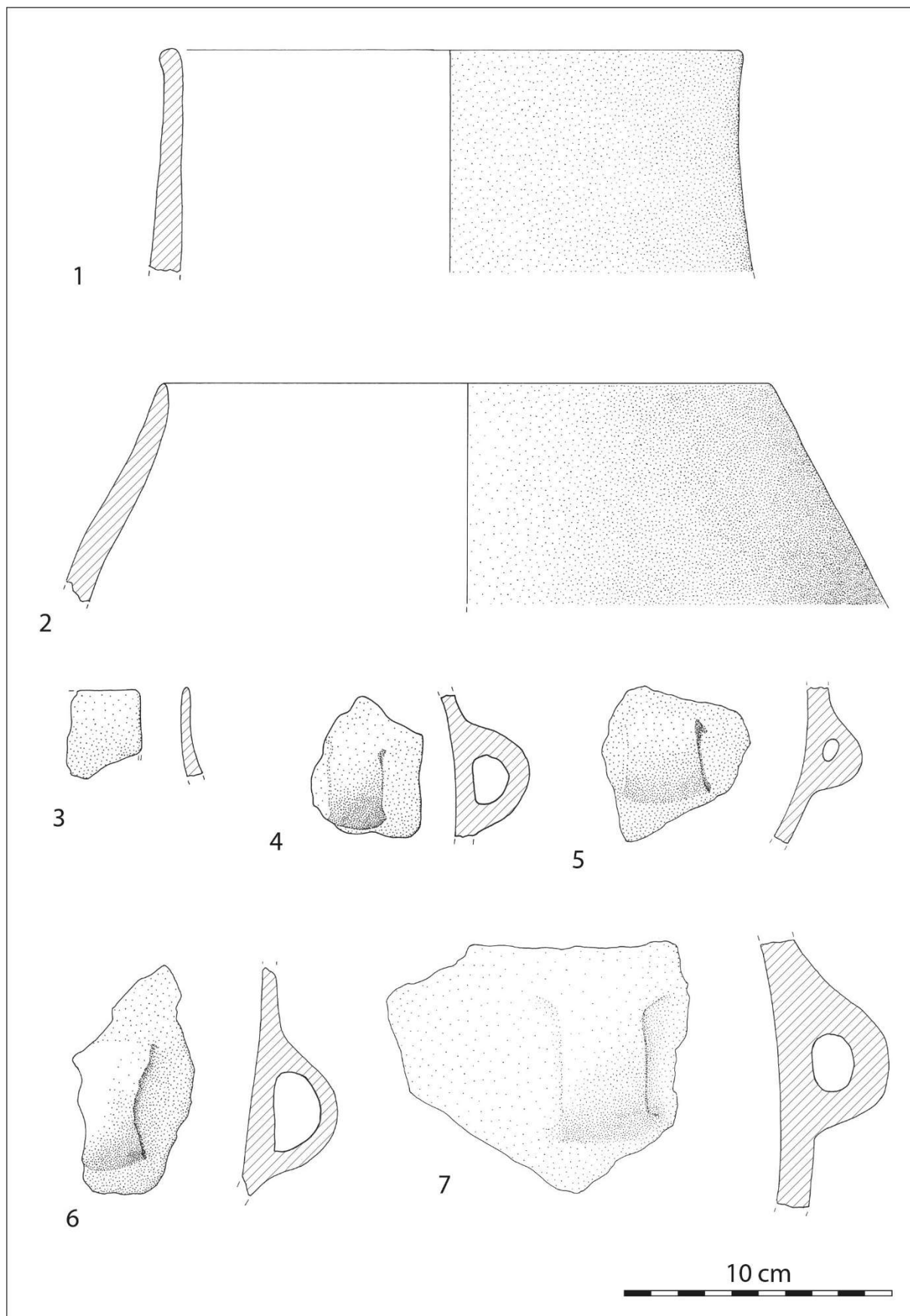


Planche 5 : profils incomplets et préhensions du silo SI 1 Dessins : C. Manen.

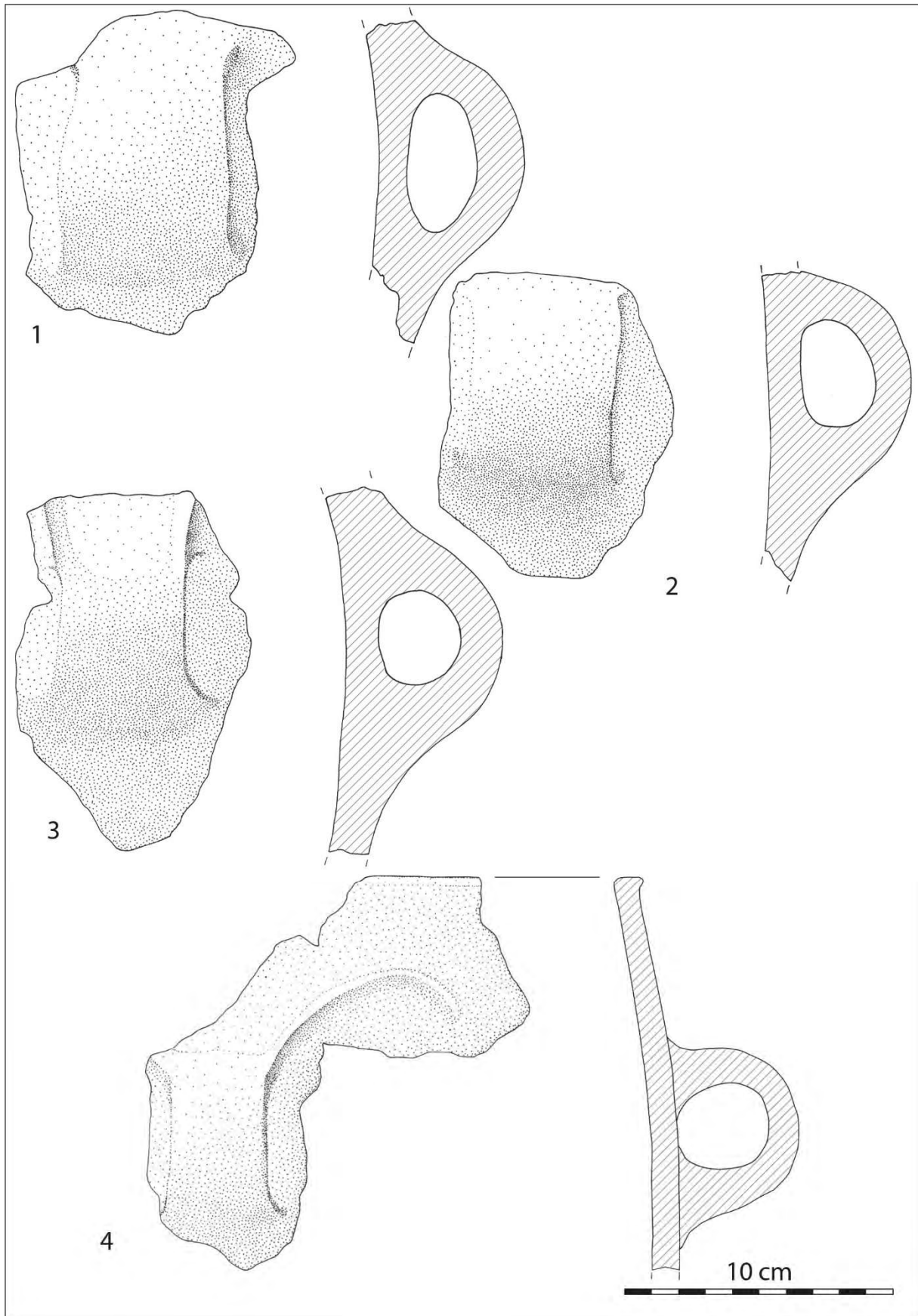


Planche 6 : éléments de préhension et décors du silo SI 1. Dessins : C. Manen.

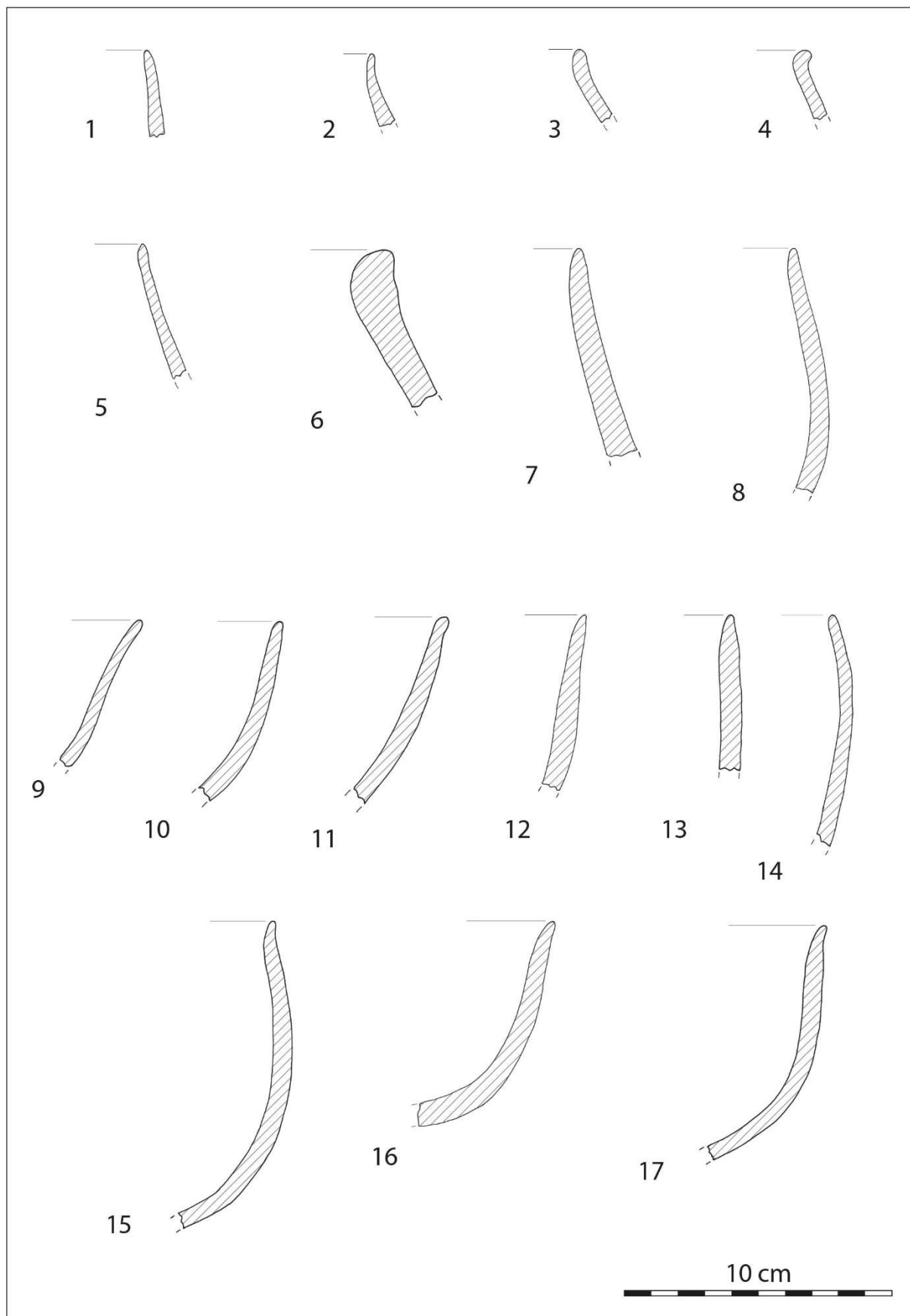


Planche 7 : éléments de vase du silo SI 1. Dessins : C. Manen.

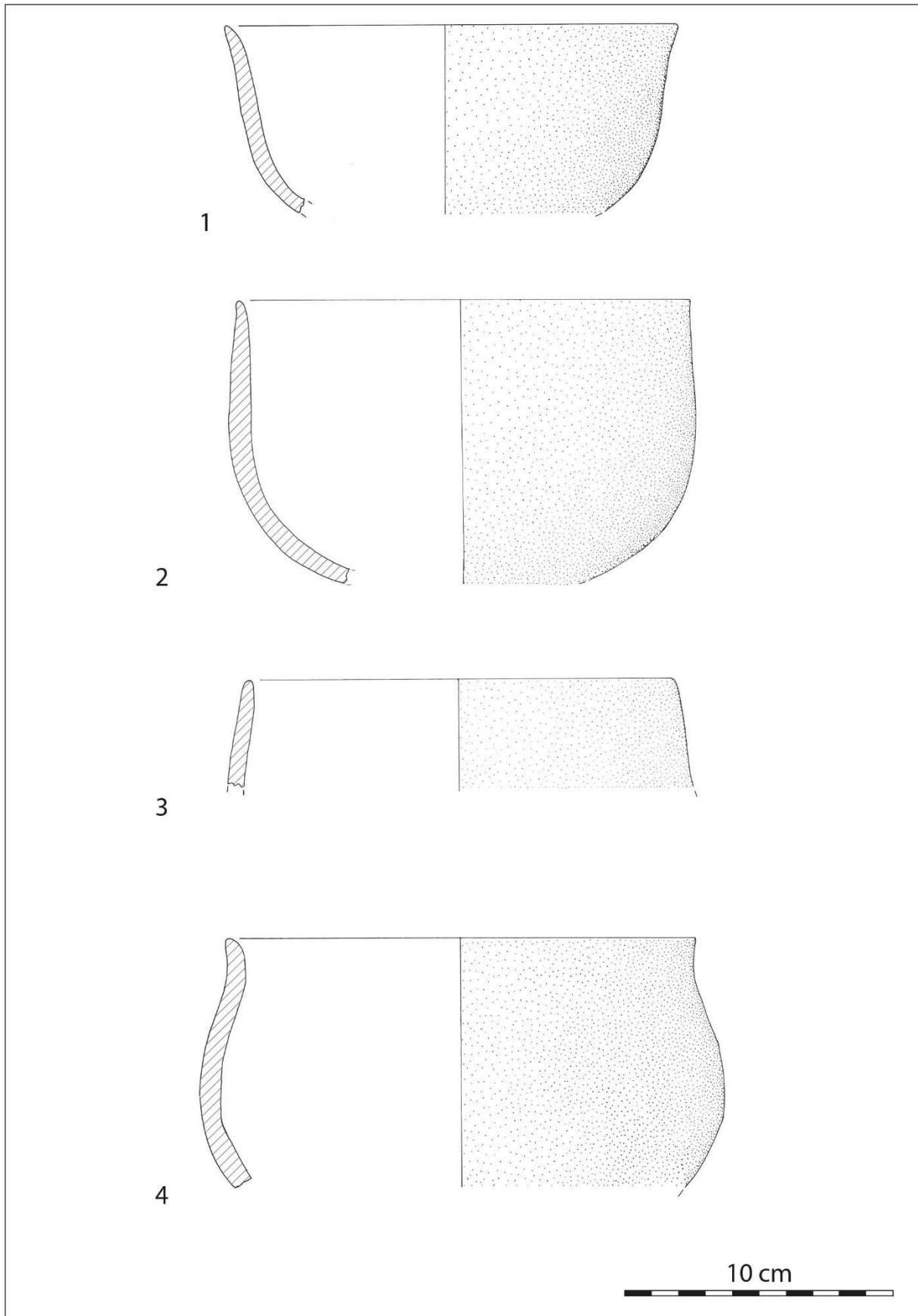


Planche 8 : profils restitués et profil incomplet du silo SI 2. Dessins : C. Manen.

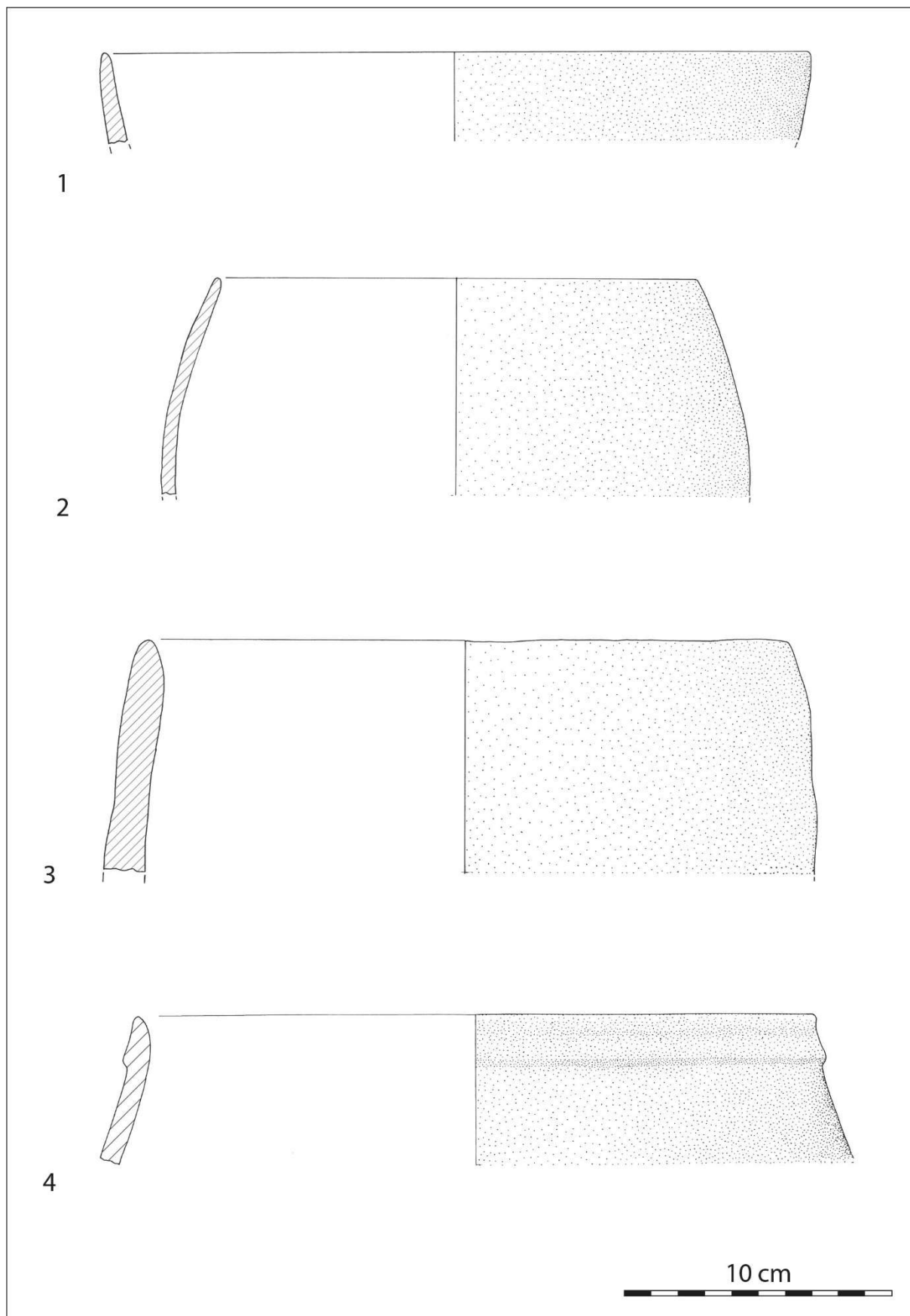


Planche 9 : profils incomplets du silo SI 2. Dessins : C. Manen.

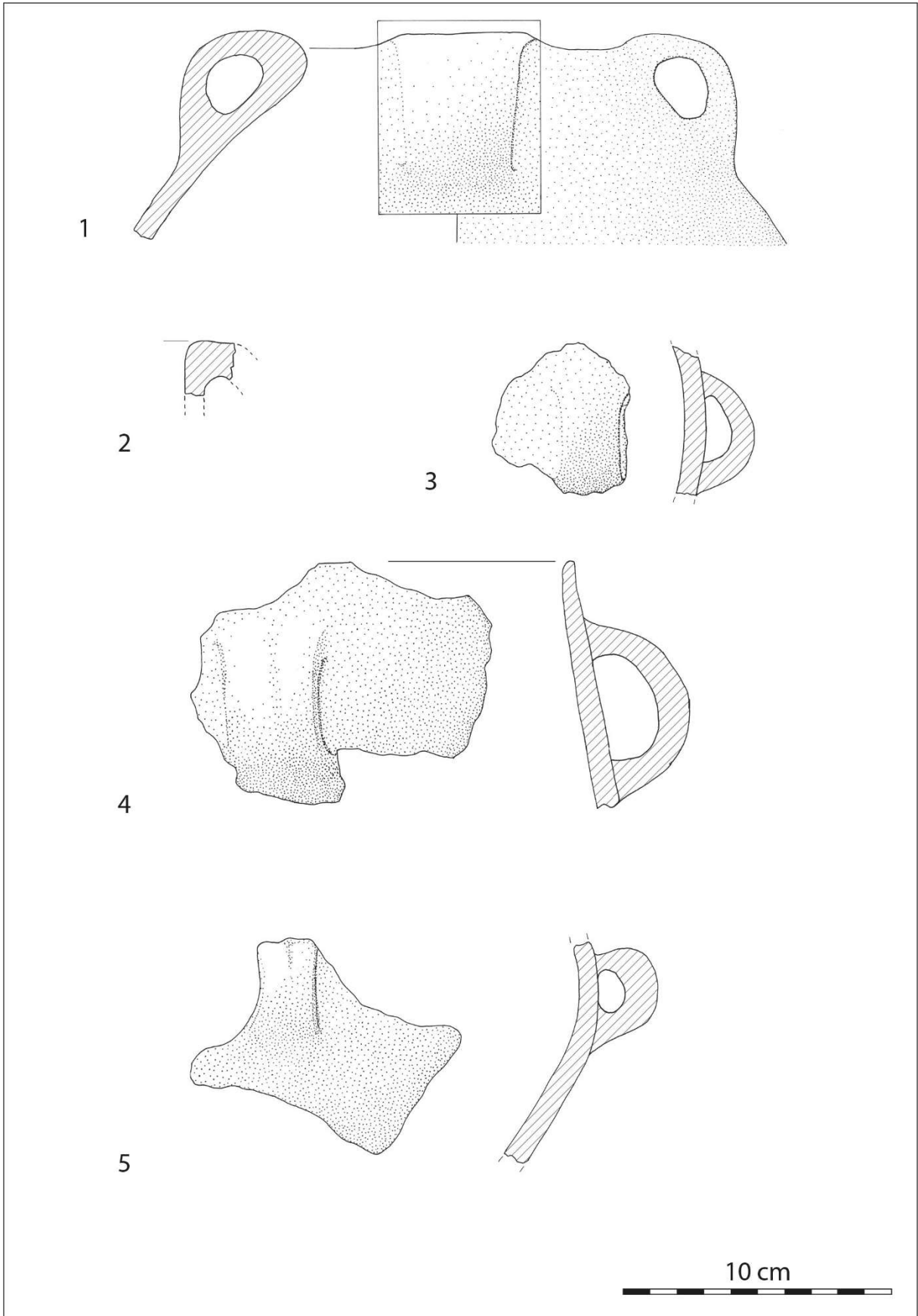


Planche 10 : profil incomplet et préhensions du silo SI 2. Dessins : C. Manen.

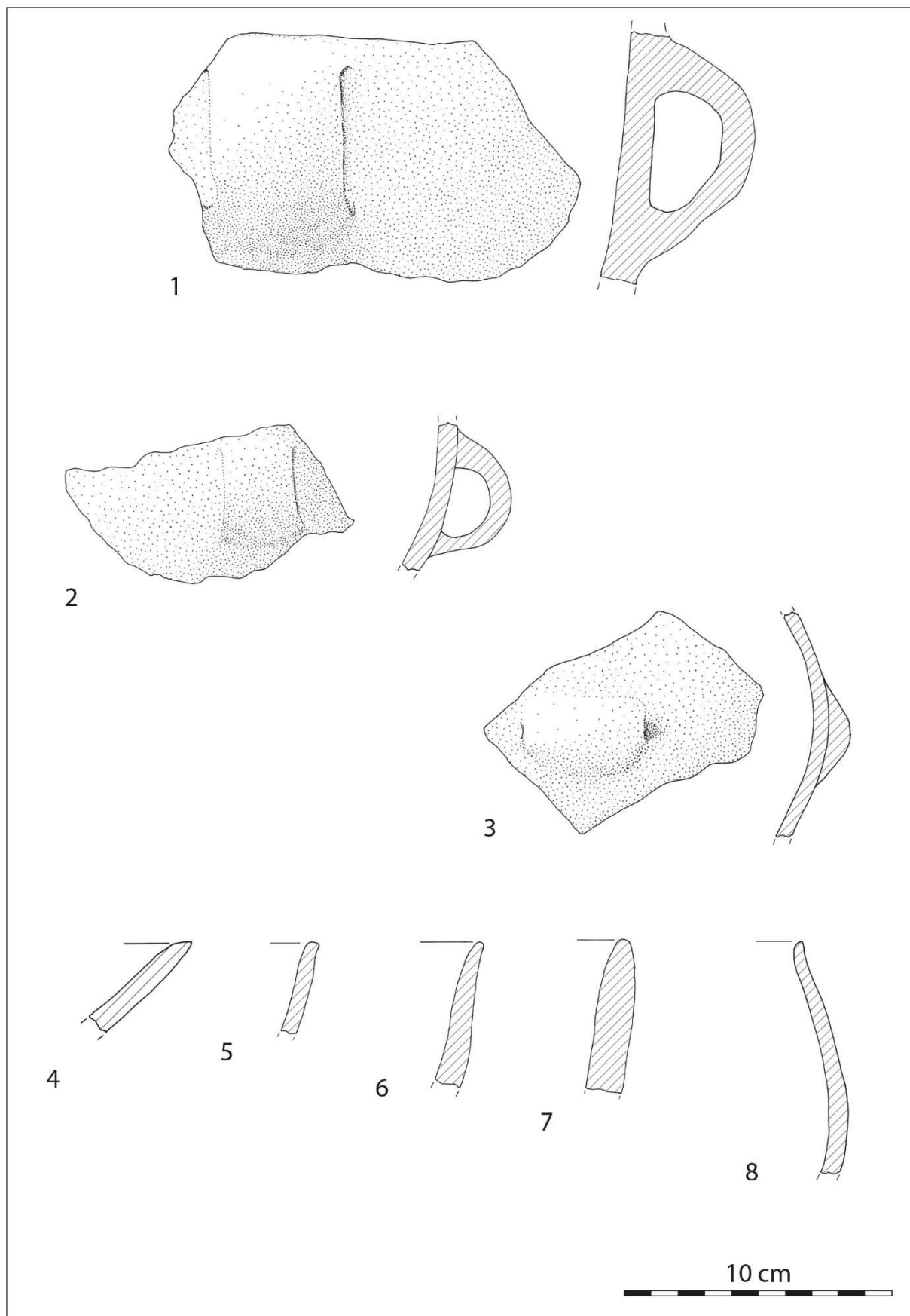


Planche 11 : préhensions et éléments de vase du silo SI 2. Dessins : C. Manen.

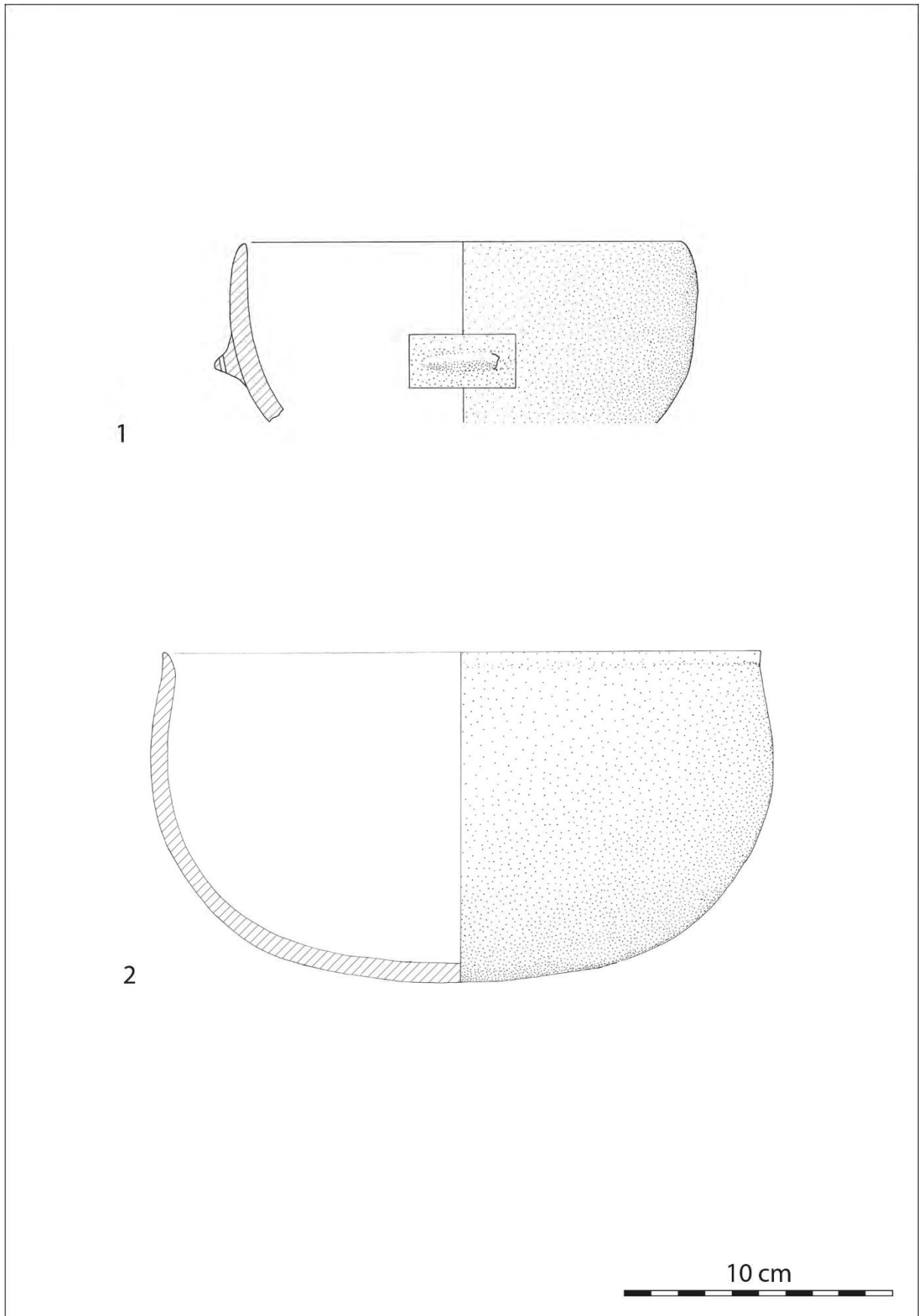


Planche 12 : profils restitués du silo SI 4. Dessins : C. Manen.

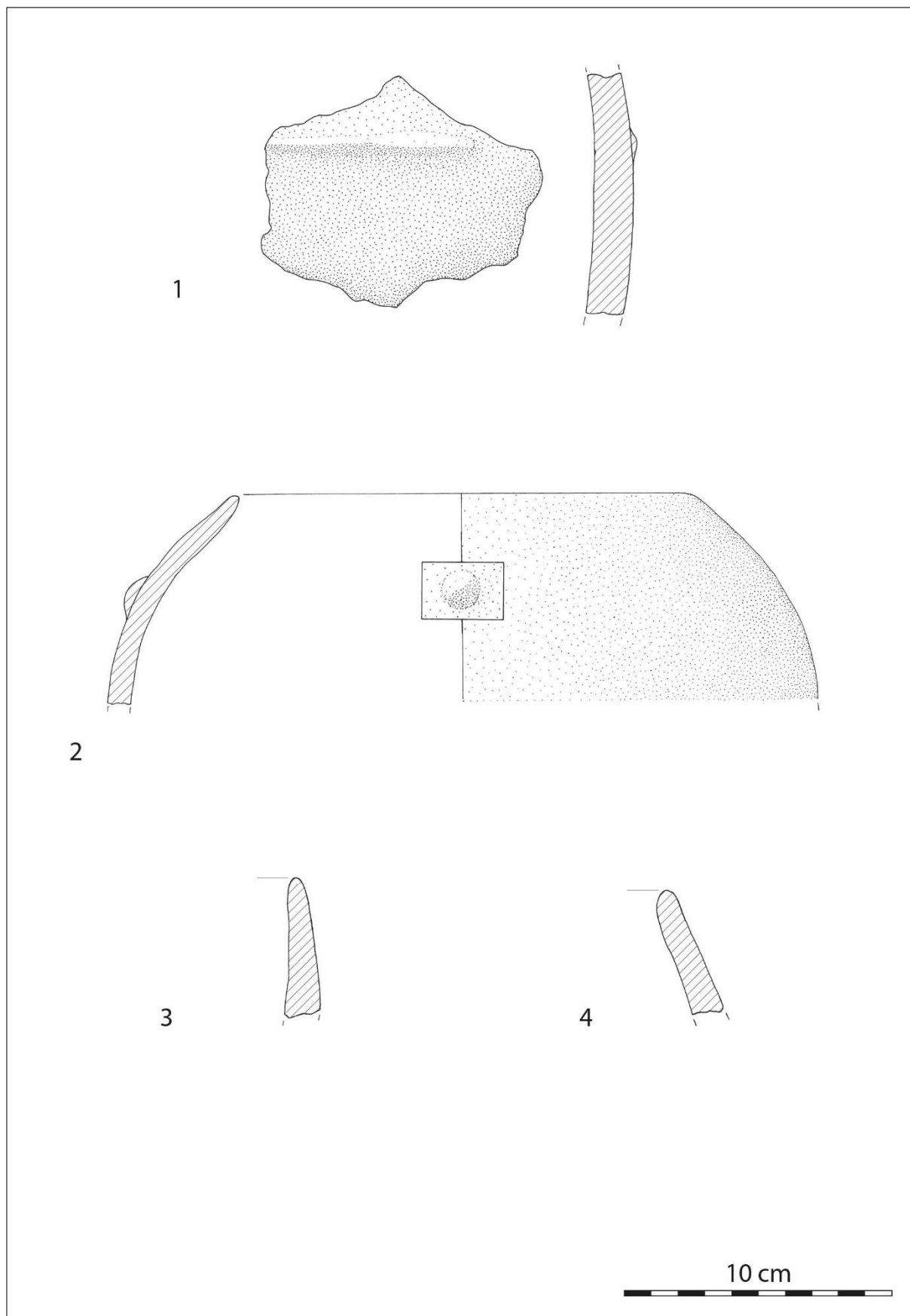


Planche 13 : décor, profil incomplet et éléments de vase. 1 : silo SI 5 ; 2 : silo SI 6 ; 3 : silo SI 9. Dessins : C. Manen.

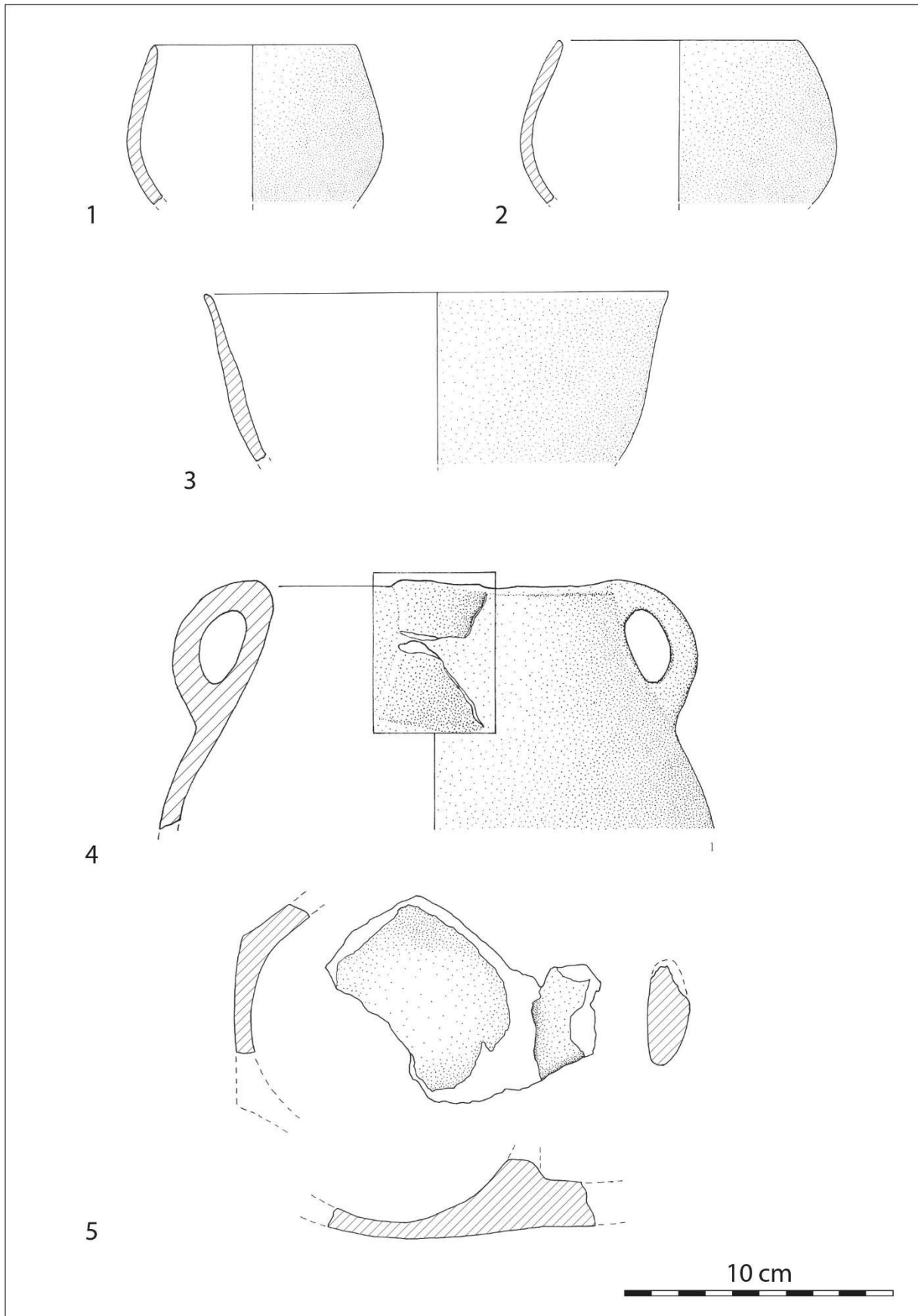


Planche 14 : profils restitués, profil incomplet et éléments de vase du silo SI 10. Dessins : C. Manen.

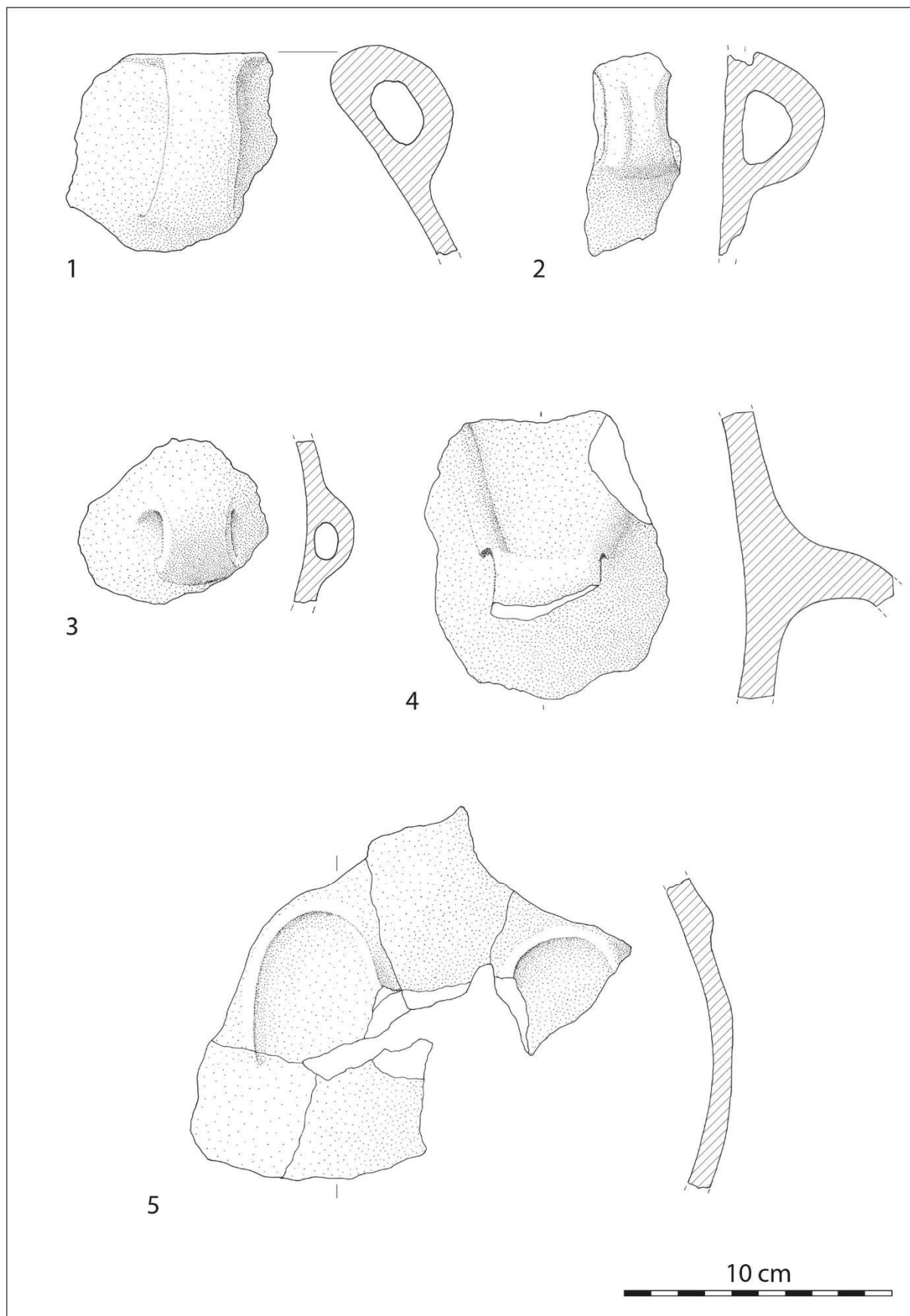


Planche 15 : éléments de vase, préhensions et décors du silo SI 10. Dessins : C. Manen.

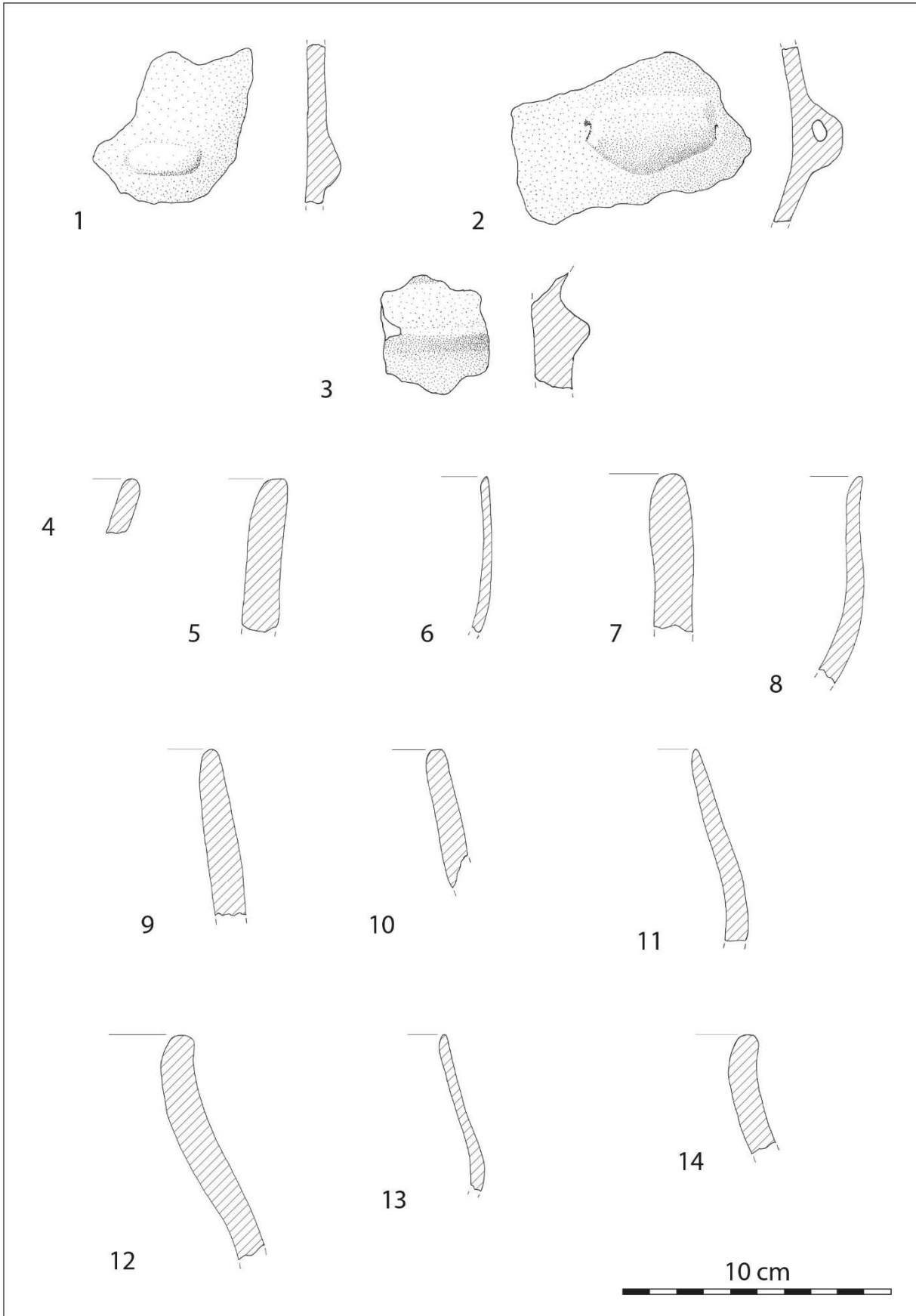


Planche 16 : préhensions, décor et éléments de vase du silo SI 10. Dessins : C. Manen.

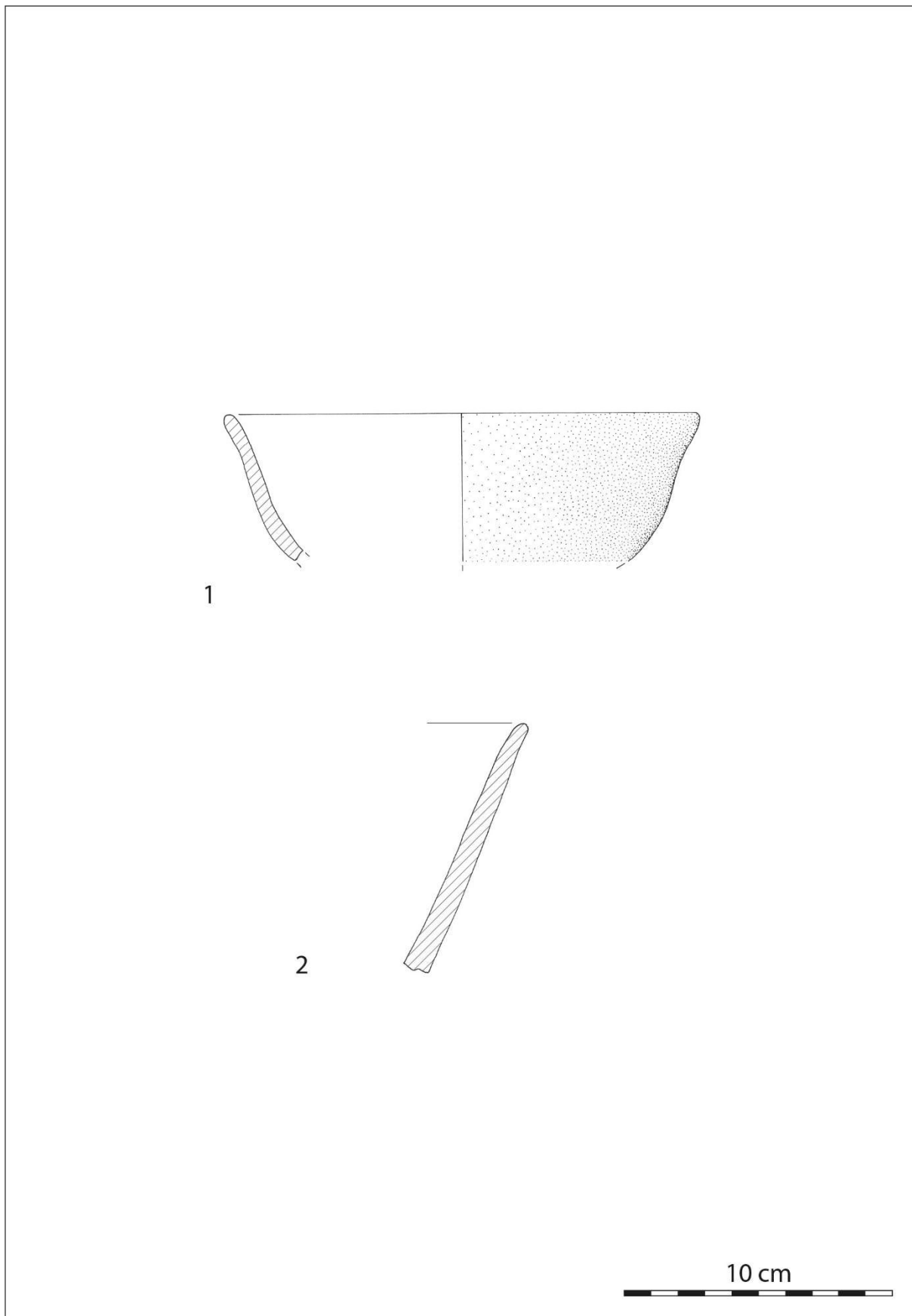


Planche 17 : profil restitué et élément de vase du silo SI 11. Dessins : C. Manen.

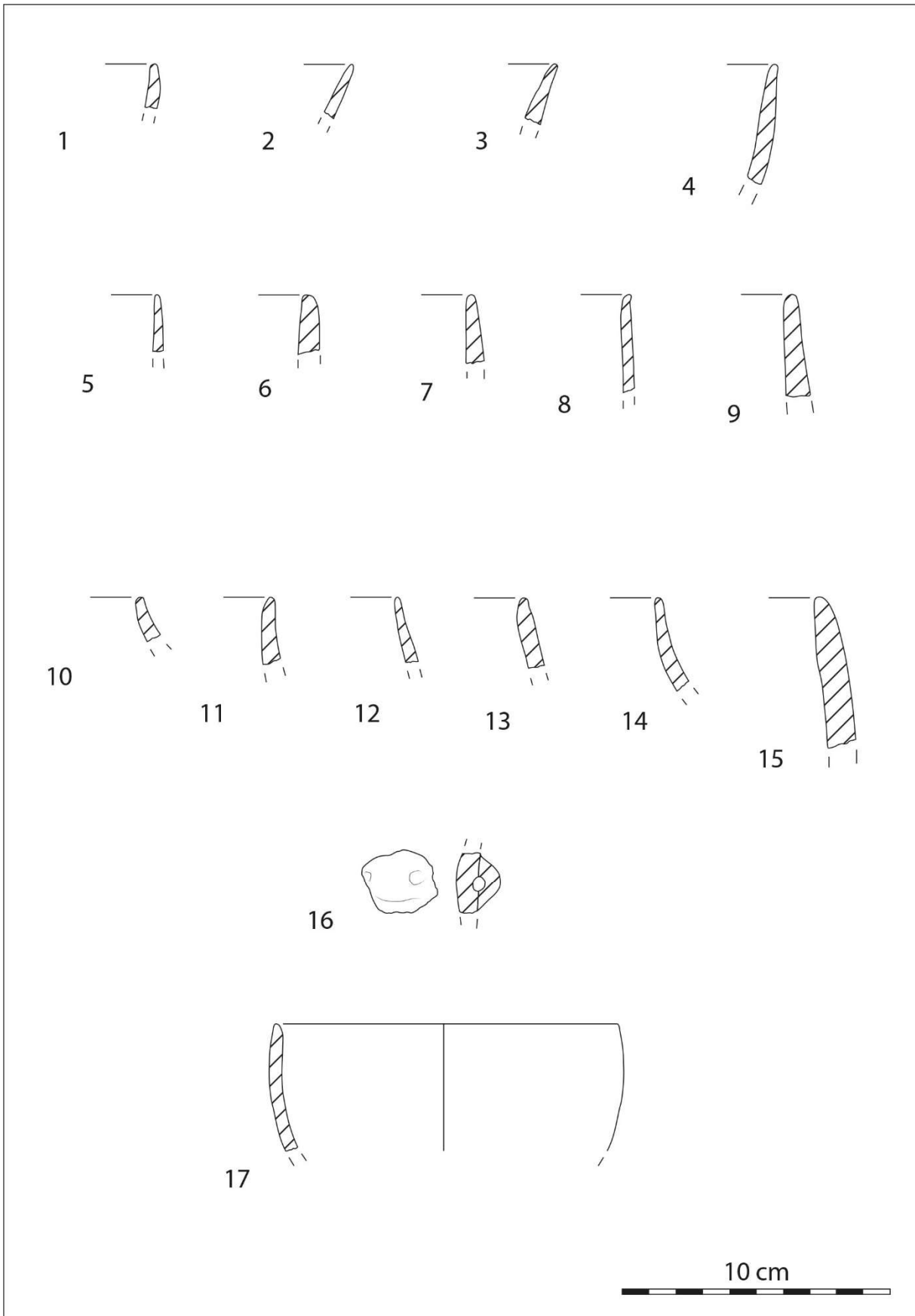


Planche 18 : éléments de vase, préhension et profil restitué de l'ensemble FY 3.

VII. La Teularia (Saint-Génis-des-Fontaines, Pyrénées-Orientales)

Structure	US	NR	NR/St	Poids/St	Poids moyen/St	Epaisseur des tessons		
						Epais	Moyens	Fins
St. 1	2026	3	3	203	67,7	3		
St. 2	2071	2	91	669	7,4	8	67	16
	2072	33						
	2075	51						
	2080	5						
St. 8	2018	298	348	8454	24,3	103	159	86
	2082	3						
	2083	4						
	US Indet.	43						
St. 24	2044	10	1155	18935	16,4	448	577	130
	2045	88						
	2048	7						
	2052	1050						
St. 33	2074	8	8	195	24,4	3	3	2
St. 34	2064	20	40	754	18,9	18	13	9
	US Indet.	20						
St. 80	2014	1	1	4		1		
St. 83	2029-2031-2032	19	341	4645	13,6	64	142	135
	2030	113						
	2033	103						
	2034	17						
	2039	59						
	2042	30						
HS		1	1	183			1	
		1988	1988	34042	17,1	648	962	378

Figure 1 : décomptes généraux par structure du mobilier céramique de La Teularia (NR = Nombre de Restes) et proportions des classes d'épaisseur de parois.

Structure	NMI	N_Typo	N_Techno	N_Profil	Etat de conservation		
					Bon	Moyen	Médiocre
St. 02	8	4	5	1	4	3	1
St. 08	63	50	50	8	19	35	9
					30%	56%	14%
St. 24	52	36	37	5	30	17	5
					58%	33%	10%
St. 33	3	3	1		1	1	1
St. 34	7	5	5		4	3	
St. 83	41	33	30	2	18	13	10
					45%	33%	23%
HS	1	1	1		1		
Total	175	132	129	16	76	73	26
					44%	41%	15%

Figure 2 : composition du mobilier céramique de chaque structure de La Teularia (NMI : Nombre Minimum d'Individus) et proportions des états de conservation.

Analyses micro-tomographiques de la céramique néolithique de La Teularia

D'après V. L. Coli, R. Ledevin et J. Caro, 2020.

La micro-tomographie est une technique d'imagerie très utilisée dans le domaine médical. En archéologie, l'usage de cette technique consiste à exposer les objets aux rayons X ce qui permet de reconstituer avec une grande précision leur structure interne et leur surface. Cette méthode présente en outre l'avantage d'être non invasive et non destructive, et de fournir une restitution tridimensionnelle de l'objet.

Pour les objets en céramique, l'imagerie micro-tomographique permet d'examiner les microstructures de certains éléments à l'intérieur de la pâte, c'est-à-dire la morphologie et l'organisation des vides (porosités, fissures de discontinuité) ainsi que l'orientation des inclusions non plastiques. La variabilité observée à partir de ces différents critères peut renseigner alors sur les techniques de façonnage des vases, dépassant ainsi le problème de l'oblitération des macrotraces au cours des étapes successives de régularisation de la forme et de la surface des récipients (Kozatsas *et al.*, 2018). Néanmoins, dans le contexte des productions céramiques néolithiques façonnées sans l'aide du tour de potier à partir de matières premières faiblement standardisées, les données acquises par micro-tomographie apparaissent très bruitées, mettant en évidence des matériaux très hétérogènes. Leur interprétation constitue ainsi un défi de taille.

L'identification récente de la technique d'ébauchage aux patches spiralés, d'après l'analyse macroscopique des productions céramiques du Néolithique ancien *Impressa*, a donné lieu au développement d'un premier protocole d'analyses micro-tomographiques focalisé sur la caractérisation de cette technique, jusqu'alors inédite d'un point de vue archéologique ou ethnographique (Gomart *et al.*, 2017). En effet, le manque de référentiel et le caractère plus ou moins lisible des tessons selon leurs profils taphonomiques ou les matières premières employées ont pour conséquence de restreindre le champ des observations et la description de traits diagnostiques spécifiques. Ce constat a conduit à l'adoption d'une approche multiscalaire du document céramique, intégrant l'imagerie micro-tomographique, afin de préciser les critères de distinction d'un ébauchage aux patches spiralés de la technique du colombin. Dans ce cadre, le projet « ToMAT - Multiscala Tomography: Imaging and Modelling Ancient Materials, Technical Traditions and Transfers », dirigé par D. Binder (CEPAM – UMR 7264) depuis 2017, vise à caractériser les techniques de montage des poteries néolithiques en modélisant la distribution des pores et des inclusions à différentes échelles. Ce projet réunit archéologues et mathématiciens pour le développement d'un outil d'interprétation des reconstructions 3D fondé sur l'analyse conjointe de corpus archéologiques et expérimentaux.

L'analyse macroscopique de la série de La Teularia met en évidence plusieurs indices évocateurs de l'emploi de la technique des patches spiralés, en référence aux macrotraces décrites dans les travaux de L. Gomart (Gomart *et al.*, 2017 ; Manen *et al.*, 2019), mais suggère également l'association de la technique du colombin pour certains vases. Ces caractéristiques présentent ainsi un bon potentiel pour servir de support aux recherches menées par le projet ToMAT. La série a donc été sélectionnée pour enrichir le corpus archéologique. Une première campagne d'acquisition d'images micro-tomographiques a été réalisée par R. Ledevin (PACEA – UMR 5199) avec l'équipement de la plateforme PLACAMAT (Plateforme Aquitaine de Caractérisation des Matériaux – UMS 3626) et financée par la société ACTER Archéologie. Le corpus a ensuite été complété par une seconde campagne d'acquisition réalisée par D. Pisani (IBV/CNRS UMR7277/INSERM U1091) et V.L. Coli (UCA, CEPAM – UMR 7264), financée par le projet ToMAT (CEPAM – UMR 7264). Les analyses menées sur la série de La Teularia doivent ainsi permettre de préciser les hypothèses de restitution des chaînes opératoires livrées dans l'analyse techno-stylistique de la série et, plus largement, contribuer à enrichir les cadres de référence pour la compréhension des traditions techniques céramiques néolithiques.

L'échantillonnage de la série a été effectué en concertation entre céramologues, tomographistes et mathématiciens afin de pouvoir répondre à la fois aux questionnements archéologiques, aux contraintes techniques et aux problématiques du projet ToMAT. L'échantillonnage a donc privilégié les éléments de la série les plus complets, dont la forme est au moins partiellement restituable ou bien caractérisée dans notre classement typologique. Ensuite les échantillons ont été choisis en fonction de la variabilité techno-stylistique de la série, de manière à obtenir un panel représentatif des différentes composantes observées. Les éléments présentant des macrotraces caractéristiques de la technique des patches spiralés ont toutefois été particulièrement ciblés. Lors de la première campagne d'acquisition, les échantillons ont été numérisés avec un μ -CT scanner à rayons X « V/tome/x s » (General Electric), avec une énergie du faisceau (*beam energy*) de 130 kV, un filtre de 0.1mm Cu, un pas de rotation de 0.1° et une résolution supérieure à 10 μ m (tube directionnel) et supérieure à 2 μ m (tube à transmission). Ce modèle de scanner permet de travailler sur des échantillons d'une taille maximale de 25 cm en diamètre et 40 cm en longueur pour un poids maximum de 10 kg. Durant la seconde campagne d'acquisition, les échantillons ont été numérisés avec un μ -CT scanner à rayons X « SkyScan-1178 » (Brucker), avec une énergie du faisceau (*beam energy*) de 60 kV, un filtre en aluminium de 0.5mm d'épaisseur, un pas de rotation de 0.7° et une résolution de 81 μ m. La taille maximale des échantillons pour ce modèle de scanner est 6 cm de largeur et 10 cm de longueur, ce qui permet de numériser uniquement des tessons de petite taille. Les images sont ensuite visualisées et présentées à l'aide du logiciel Fiji (Schindelin *et al.*, 2012).

Le traitement des données par séquençage 3D est encore en cours. La description des résultats obtenus d'après les premières observations des reconstructions 3D est présentée dans la partie III.5 du volume « Texte et figures ». Par ailleurs, la numérisation des tessons permet également d'approfondir l'analyse macroscopique puisqu'elle offre la possibilité de visualiser l'intérieur des fragments et d'observer des macrotraces supplémentaires et/ou d'obtenir une image plus nette, notamment en plan radial, puisqu'en l'absence de cassures fraîches la lisibilité des tranches des tessons est parfois fortement affectée par l'érosion. L'illustration et la description des macrotraces identifiées d'après l'imagerie obtenue lors de la première campagne d'acquisition seront ainsi présentées en complément de l'étude macroscopique initiale du mobilier.

Les échantillons TM01, TM02 et TM03 offrent de beaux exemples de traits diagnostiques évoquant la technique des patches spiralés (fig. 3). On peut d'abord observer de longues fissures parallèles à la paroi (en pointillés) qui correspondent à la jointure entre les patches juxtaposés dans l'épaisseur de la paroi. Puis, de part et d'autres de ces longues fissures, apparaissent de petites fissures subcirculaires qui matérialisent les jointures entre les petits colombins enroulés en spirales. L'échantillon TM04 (fig. 4), comporte ces mêmes traits diagnostiques, bien que ceux-ci ne soient pas observables simultanément sur toute la longueur de la coupe. Les images de l'échantillon TM05 sont plus difficiles à interpréter selon l'approche macroscopique des macrotraces. La première coupe ne montre qu'une série de fissures discontinues et parallèles à la paroi. Cette particularité, plus éloquente en plan tangentiel, est interprétée comme une caractéristique du montage au colombin (cf. Volume « Texte et figures », Partie III.5). Sur la seconde coupe, latitudinale, on peut observer une fissure de jointure subcirculaire bien nette à la droite de l'image, qui laisse supposer l'ajout d'un petit colombin pour la lèvre. L'autre partie du tesson comporte de légères fissures qui plaident alors pour des colombins posés selon un plan oblique externe puis fortement écrasés ou étirés. L'analyse de l'échantillon TM06 est également délicate à notre échelle d'observation. Comme sur les coupes de l'échantillon TM05, la pâte apparaît très dense et les pores compactés. Il est néanmoins possible d'observer par endroits de petites fissures subcirculaires qui semblent accolées à une plus longue fissure parallèle à la paroi. Ces macrotraces rejoignent donc l'hypothèse de l'emploi de la technique des patches spiralés identifiée par l'analyse de la répartition spatiale des inclusions en plan tangentiel (cf. Volume « Texte et figures », Partie III.5). Les macrotraces visibles sur la coupe de l'échantillon TM07, qui correspond au profil d'un

petit vase (fig. 5), suscitent plusieurs remarques. On observe d'abord une cassure nette, située au niveau de la jonction entre le fond et la panse, reportée de manière symétrique sur le profil (traits plus épais). Dans la partie supérieure du vase, on peut voir une longue fissure parallèle à la paroi de chaque côté de la coupe qui se développe au moins jusqu'à la cassure. Aucune fissure subcirculaire n'apparaît clairement de part et d'autres de la longue fissure. En revanche, la partie inférieure du récipient témoigne de petites fissures subcirculaires en plusieurs endroits du profil. Ces caractéristiques peuvent alors suggérer un façonnage en deux phases et éventuellement l'emploi de techniques différentes pour les deux parties du vase, soit pour le façonnage de l'ébauche (patches spiralés et colombin étiré ?), soit au cours des opérations de préformage ou de finitions (rabotage ? Doucissage ?). Enfin, la coupe de l'échantillon TM08, présente des caractéristiques similaires à l'échantillon TM06 : pâte dense mais qui laisse transparaître par endroits des fissures subcirculaires probablement accolées à une fissure centrale parallèle à la paroi. Les échantillons TM06 et TM08 proviennent par ailleurs de deux vases de morphologie et dimensions semblables.

Les images acquises par micro-tomographie constituent ainsi un apport notable à l'analyse macroscopique par observation directe des tessons, tant pour la reconnaissance des macrotraces et la précision du diagnostic que pour la traduction iconographique des informations enregistrées sur les vases. Les différents degrés de lisibilité des macrotraces selon les échantillons soulèvent également des questions concernant la variabilité des étapes de préformage ou finitions dans le cadre du façonnage par la technique des patches spiralés. Ces questions pourront être discutées à l'issue du développement d'une méthode de lecture systématique des images micro-tomographiques.

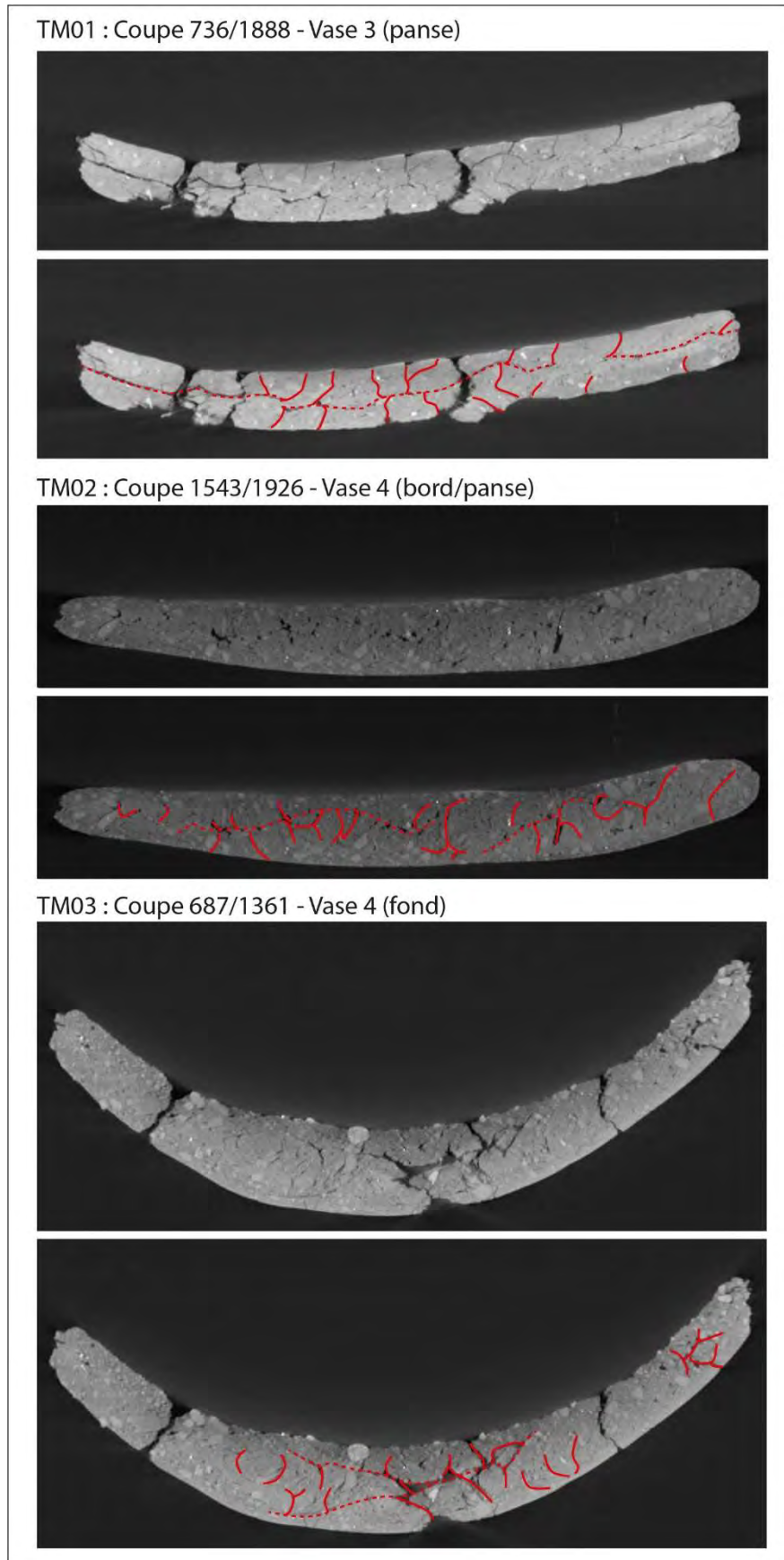


Figure 3 : échantillons TM01, TM02 et TM03 en vues radiales (acquisition : R. Ledevin - PACEA). Fiji (Schindelin et al., 2012).

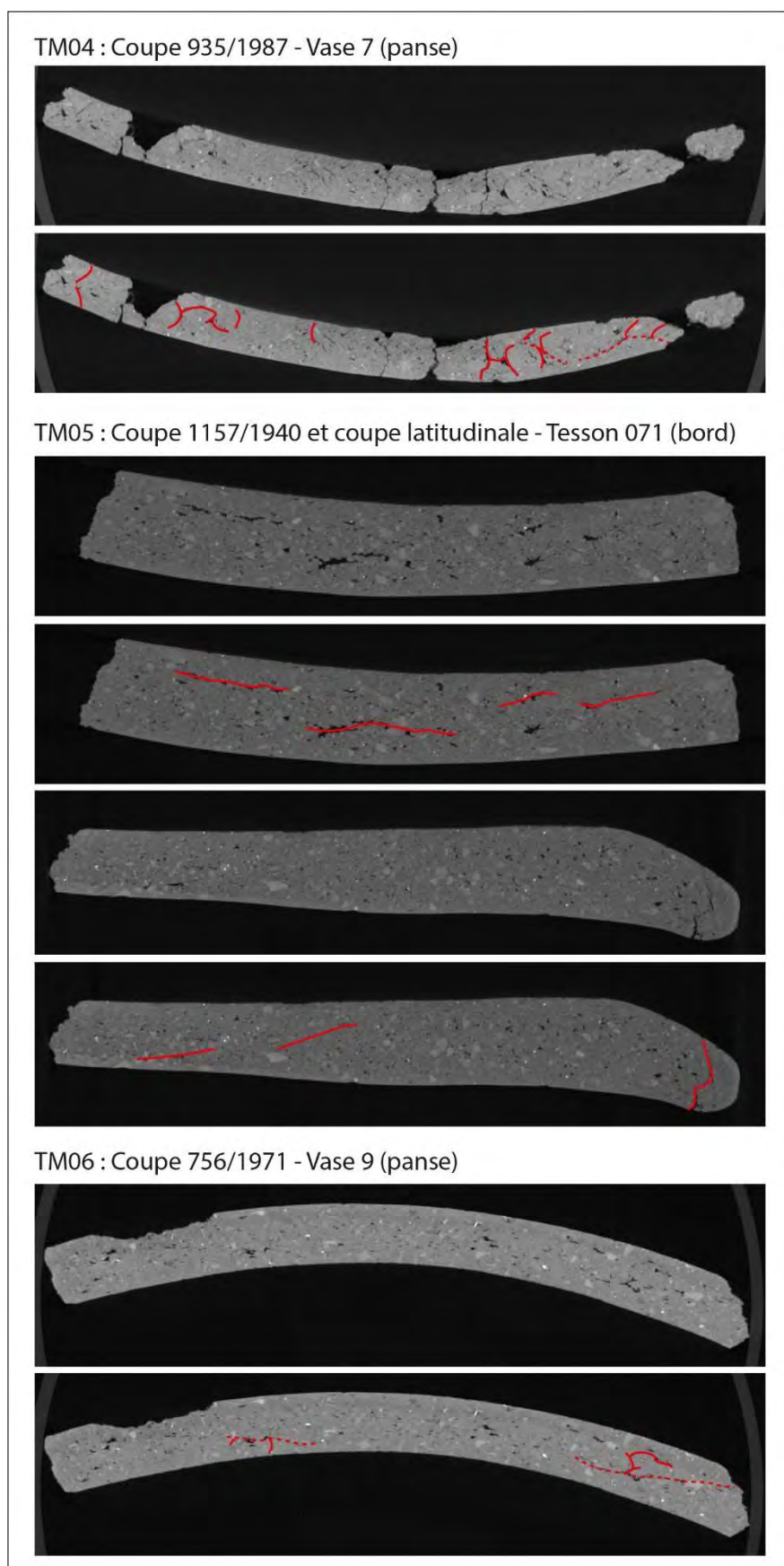
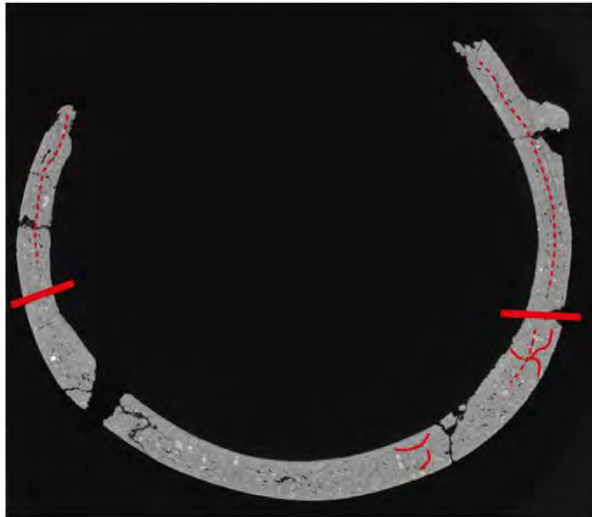


Figure 4 : échantillons TM04, TM05 et TM06 en vues radiales (acquisition : R. Ledevin - PACEA). Fiji (Schindelin et al., 2012).

TM07 : Coupe 995/1156 - Vase 16 (profil)



TM08 : Coupe 1001/1825 - Vase 6 (bord/panse)

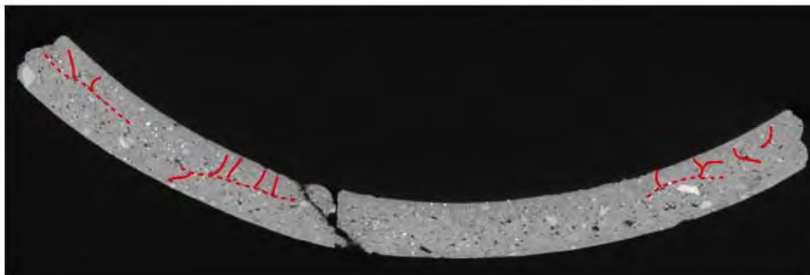
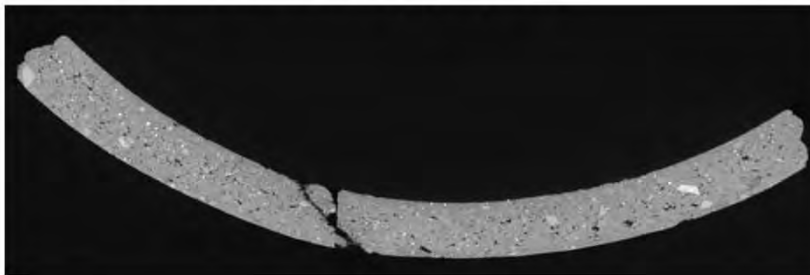


Figure 5 : échantillons TM07 et TM08 en vues radiales (acquisition : R. Ledevin - PACEA). Fiji (Schindelin et al., 2012).

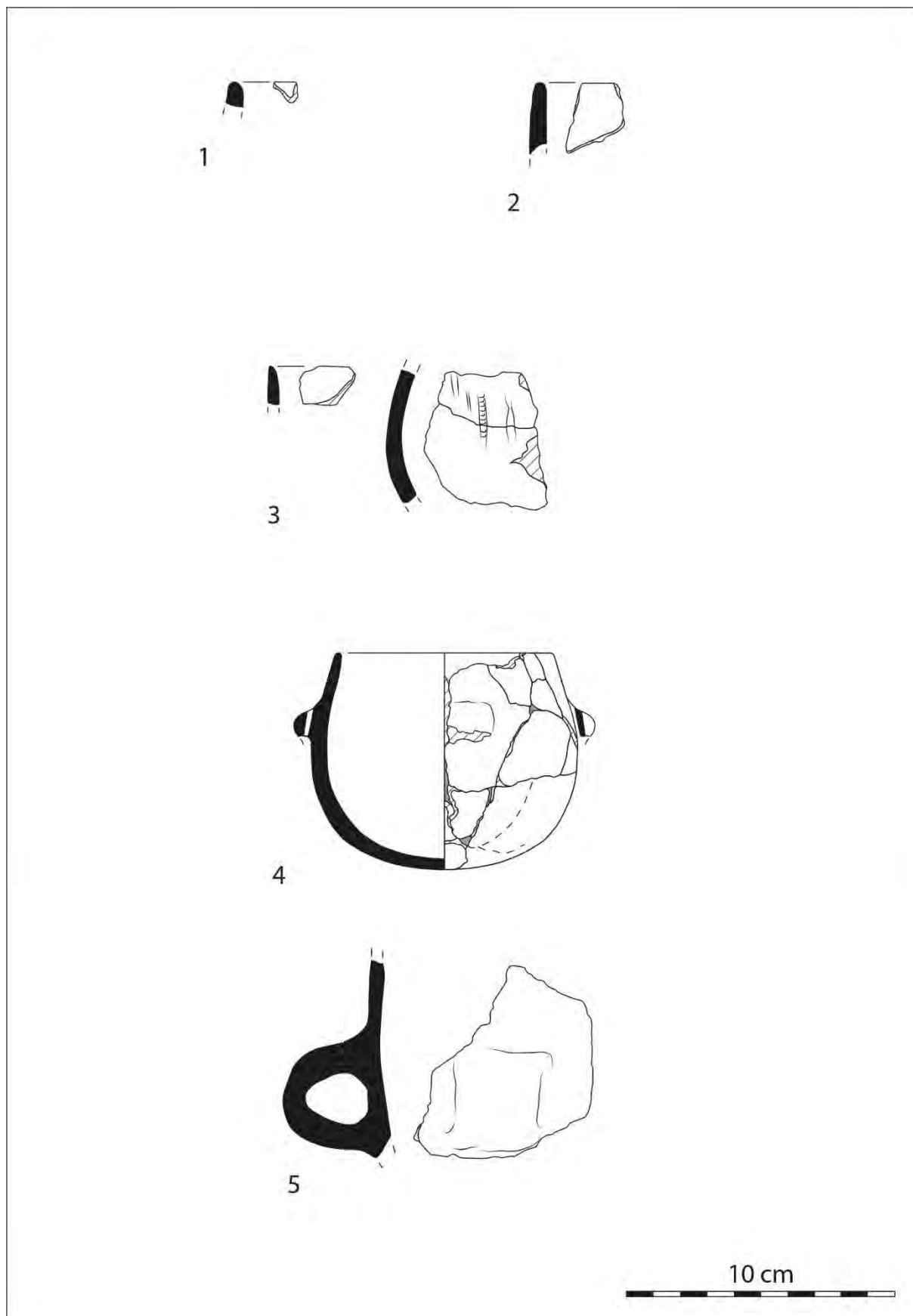


Planche 1 : éléments de vases, préhensions et profil restitué. 1 à 4 : structure St. 2 ; 5 : hors-stratigraphie.

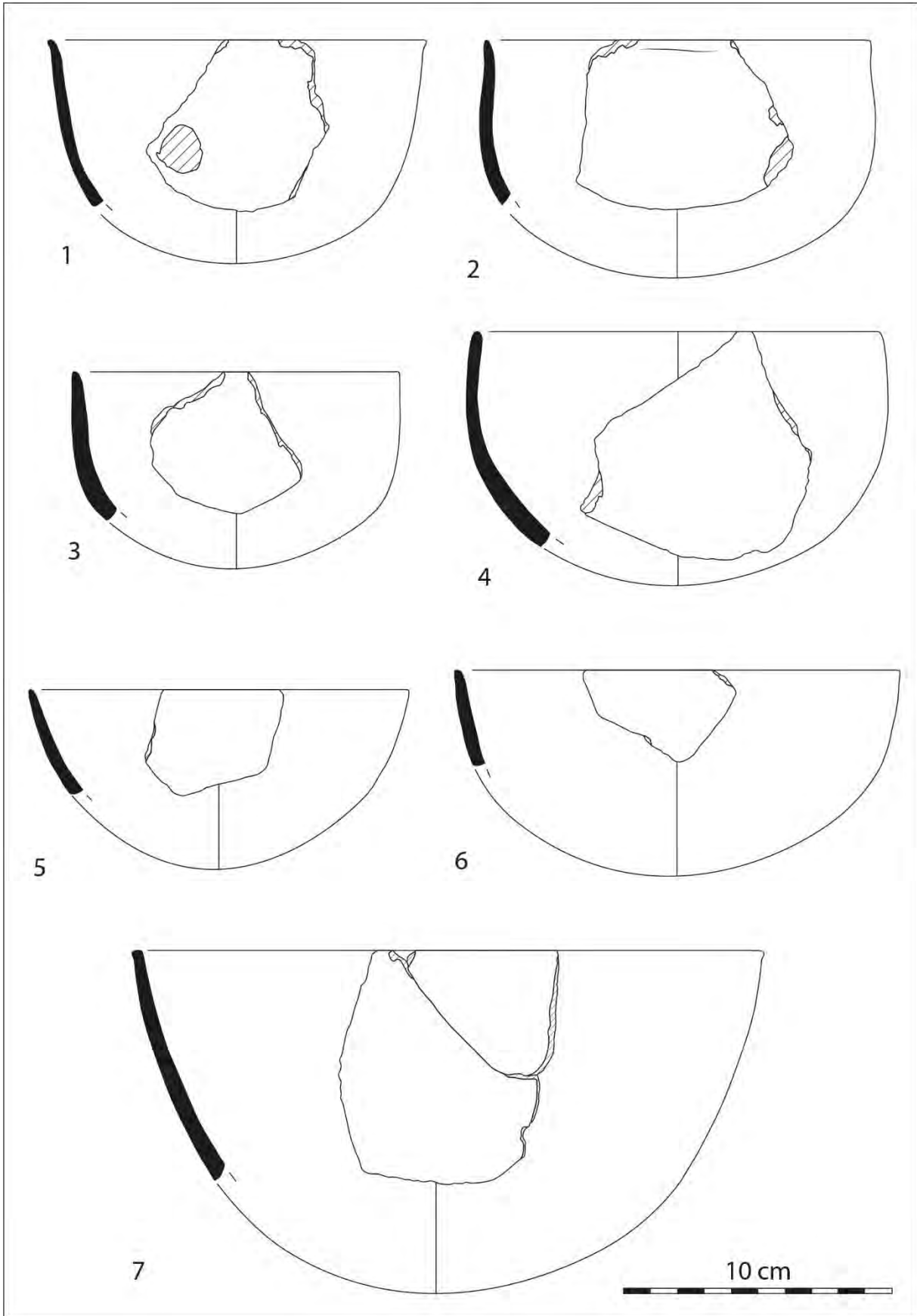


Planche 2 : profils restitués de la structure St. 8.

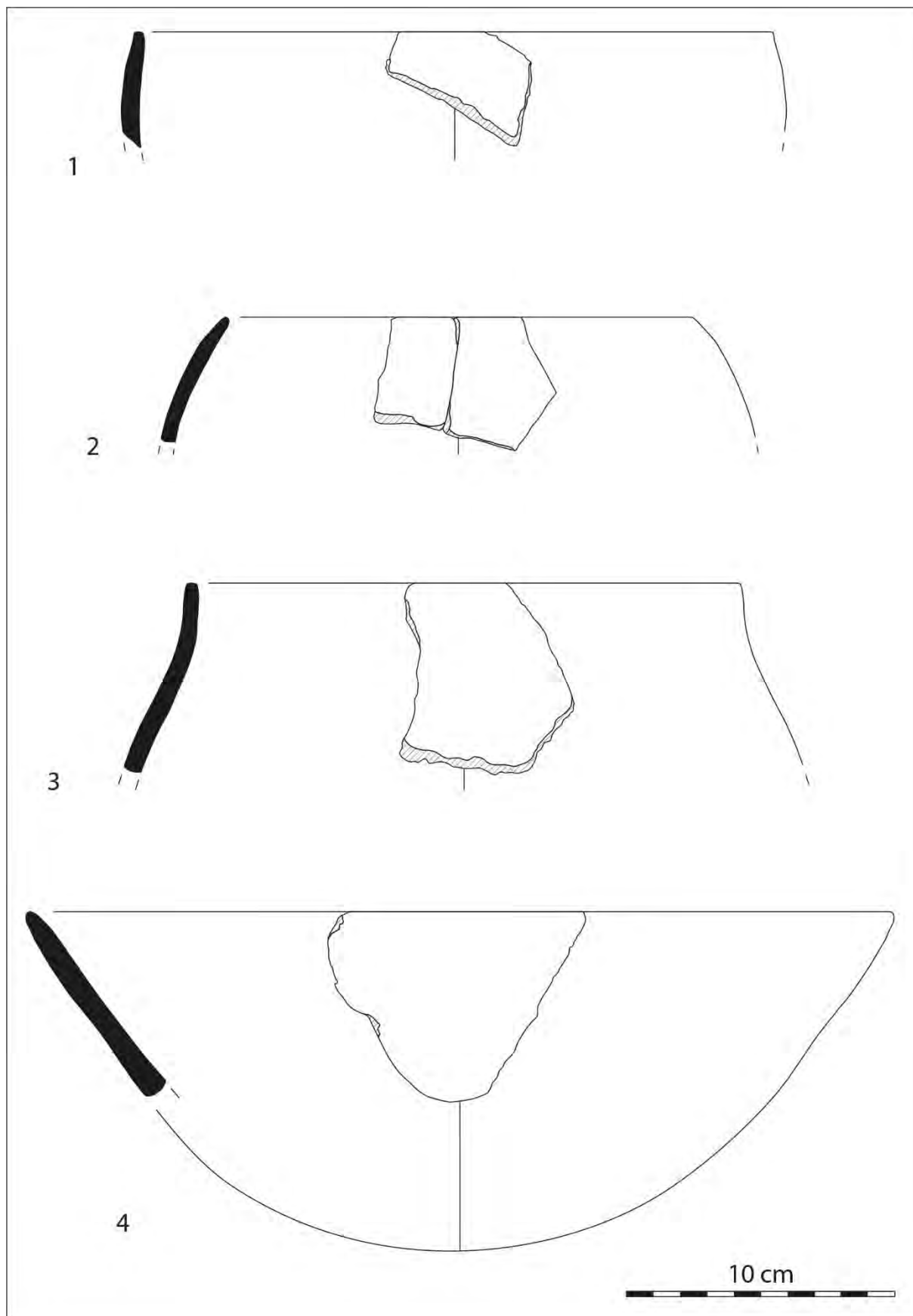


Planche 3 : profil restitué et profils incomplets de la structure St. 8.

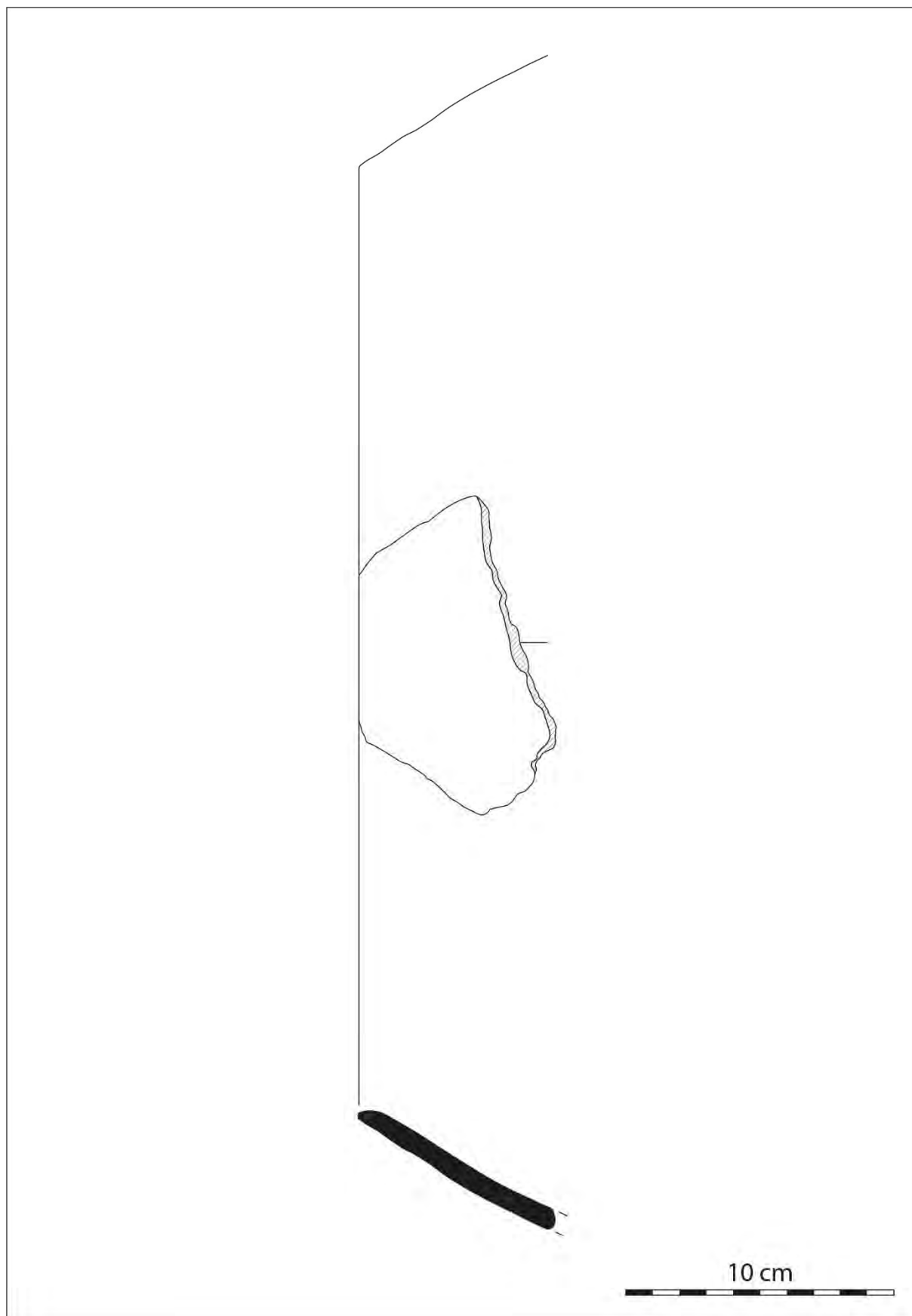


Planche 4 : profil incomplet de la structure St. 8.

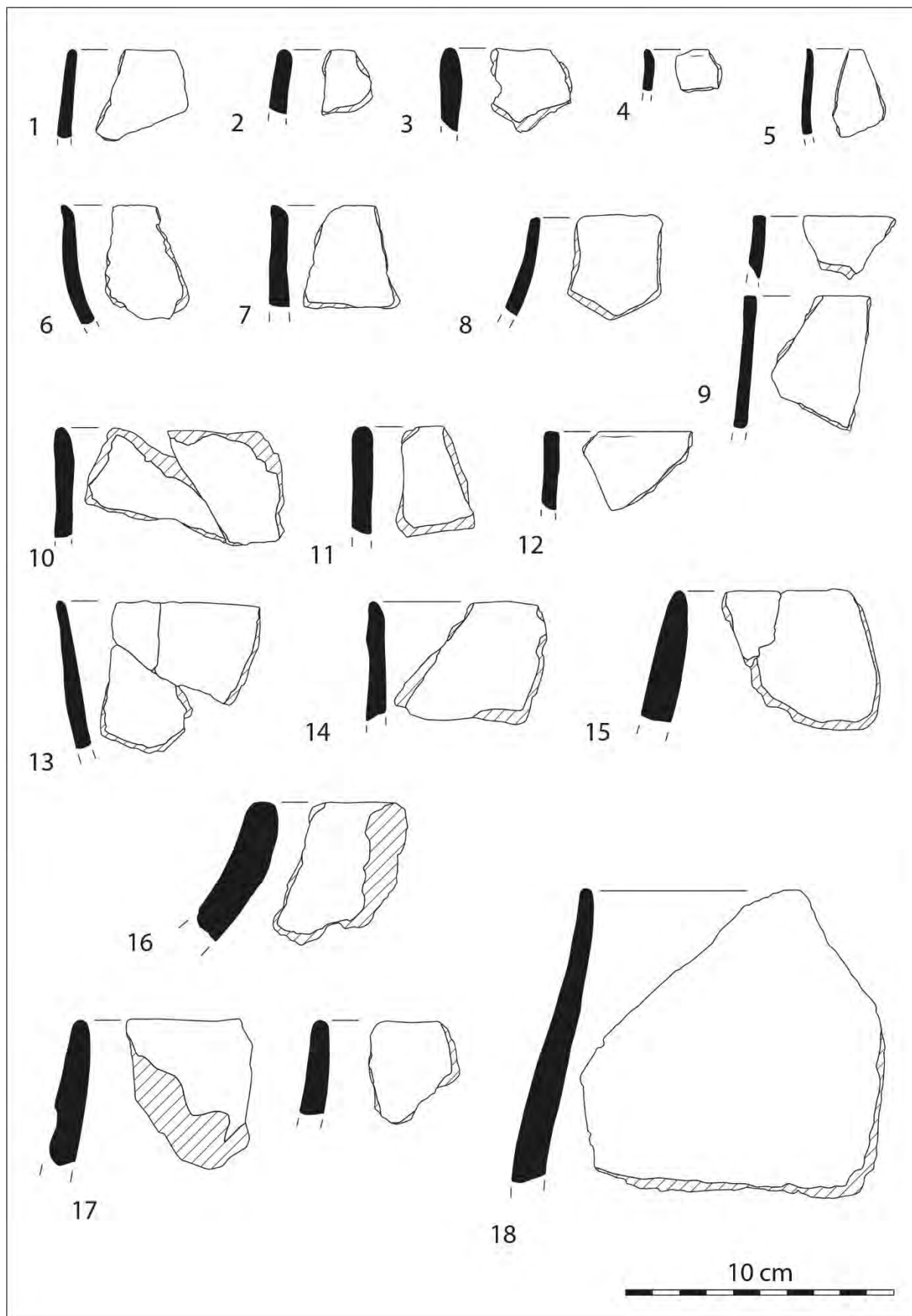


Planche 5 : éléments de vases de la structure St. 8.

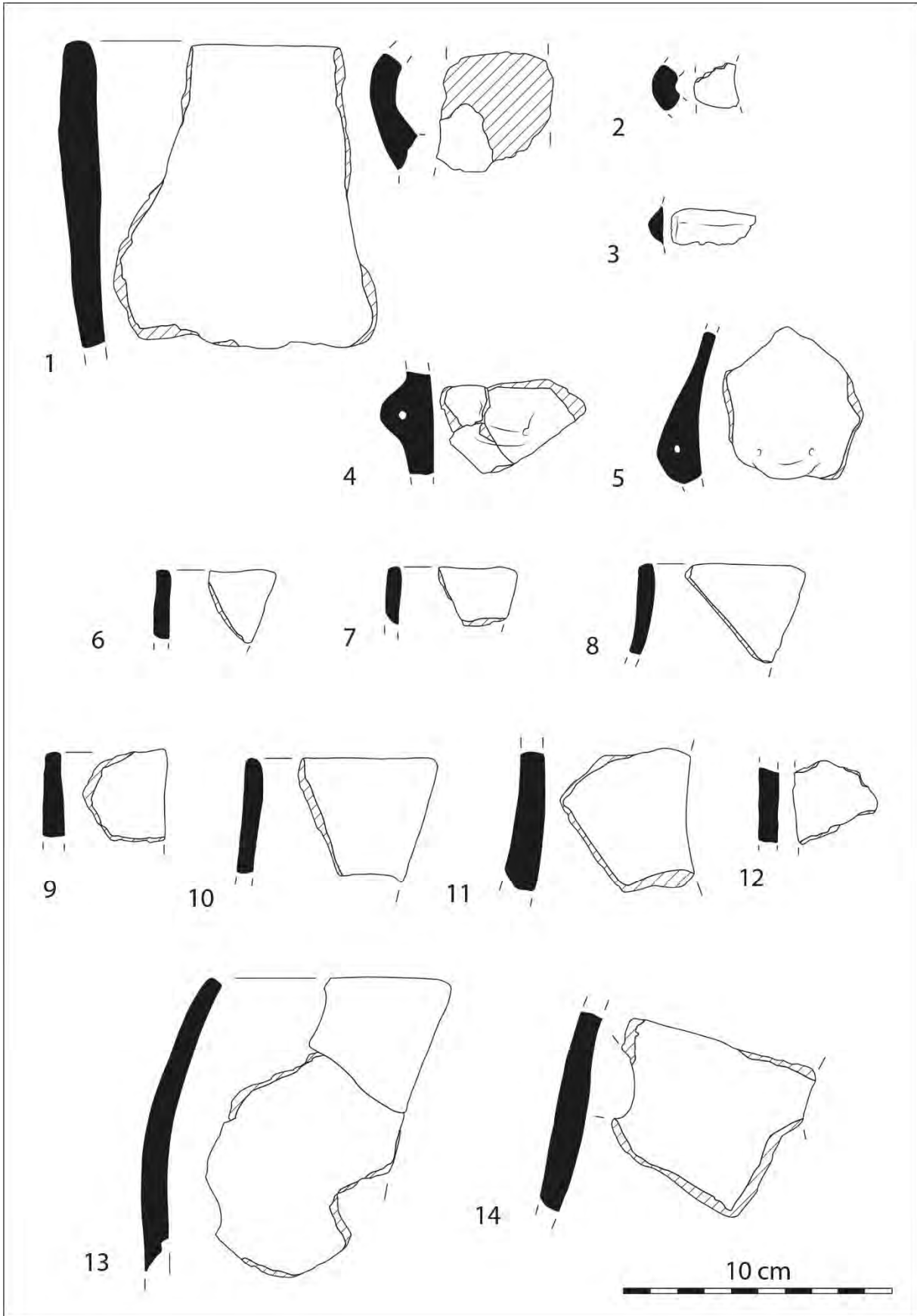


Planche 6 : élément de vase et préhensions de la structure St. 8.

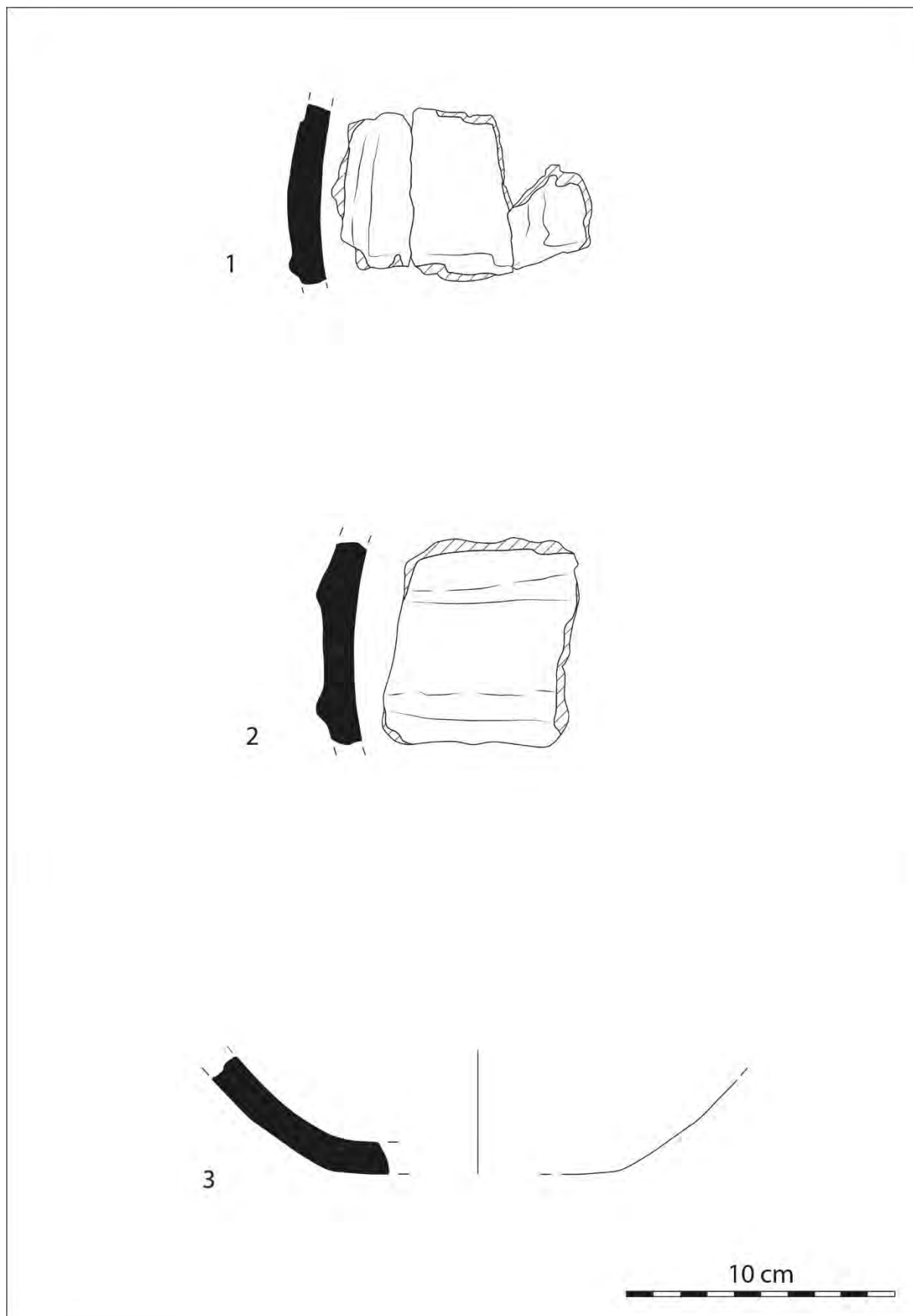


Planche 7 : décors et profil incomplet de la structure St. 8.

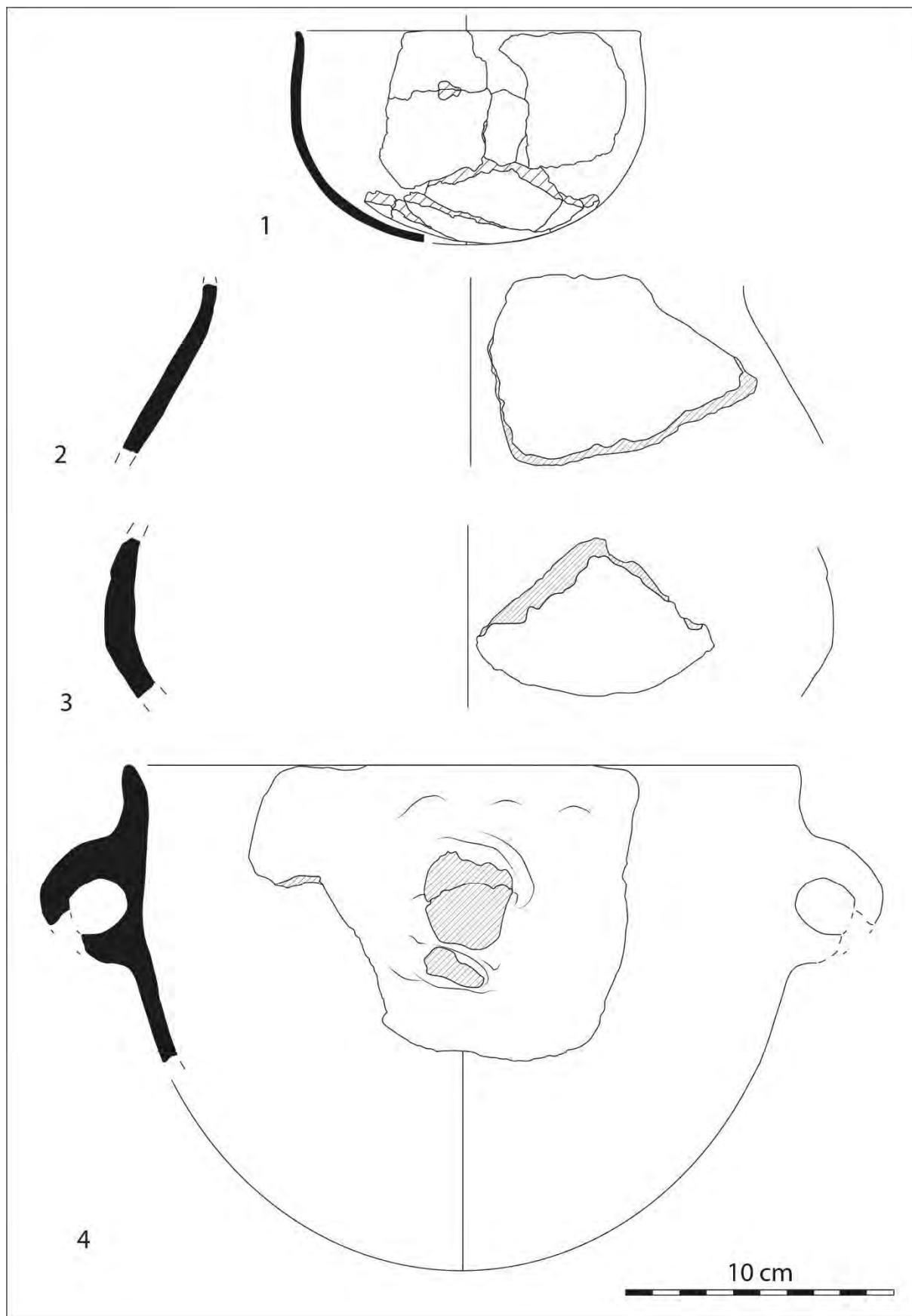


Planche 8 : profils restitués et profils incomplets de la structure St. 24.

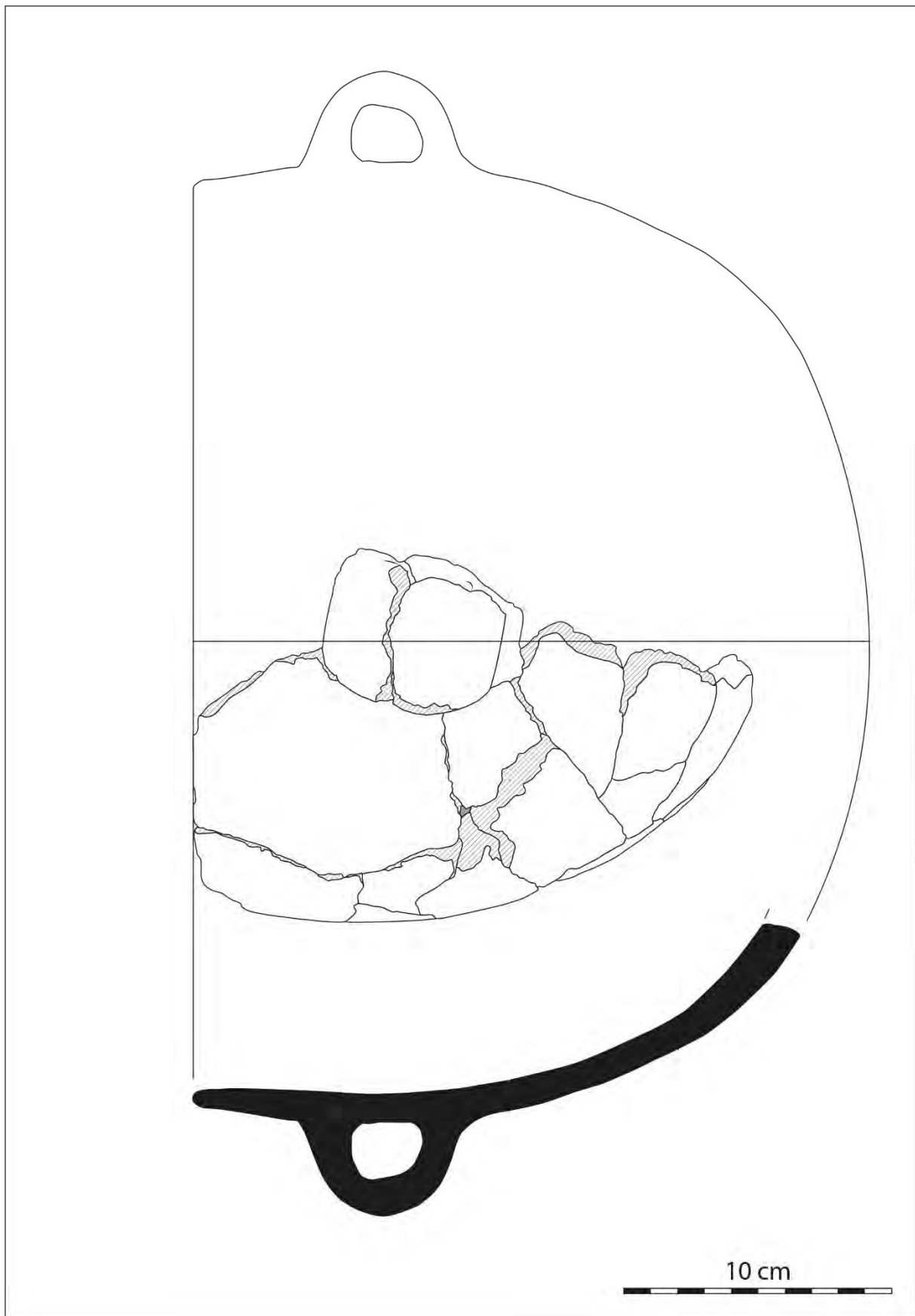


Planche 9 : profil restitué de la structure St. 24.

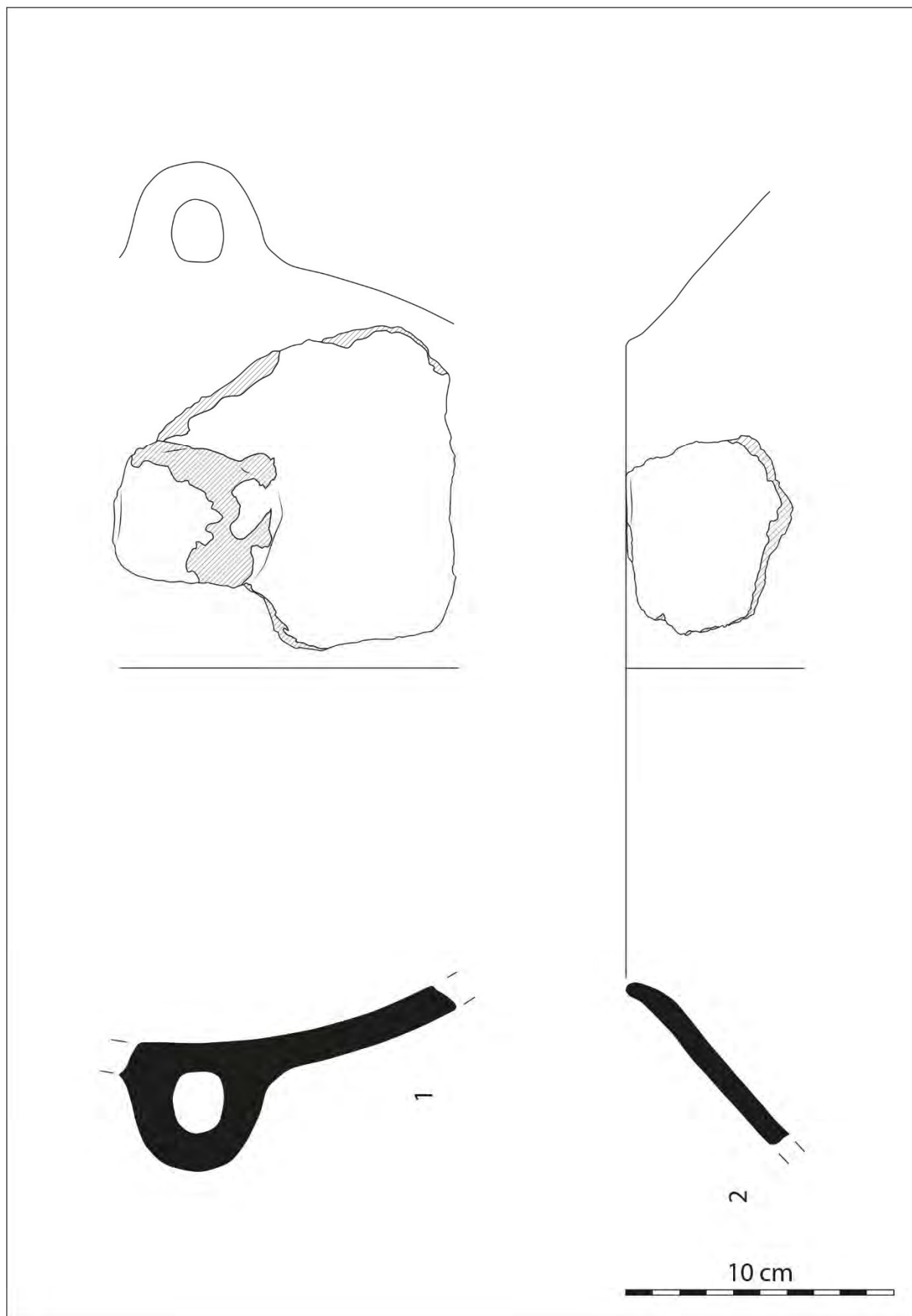


Planche 10 : profils incomplets de la structure St. 24.

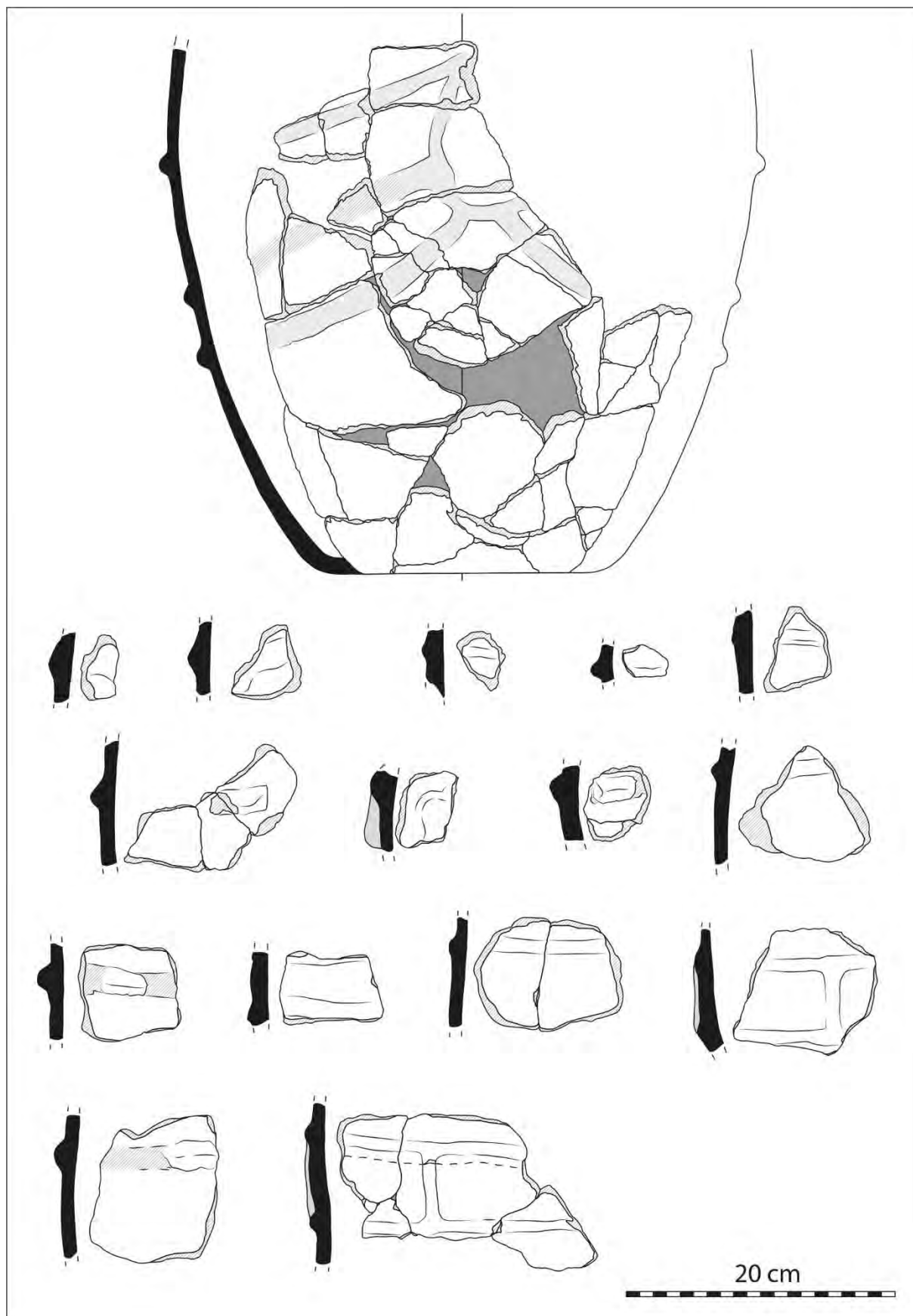


Planche 11 : profil quasi restitué et décor de la structure St. 24.

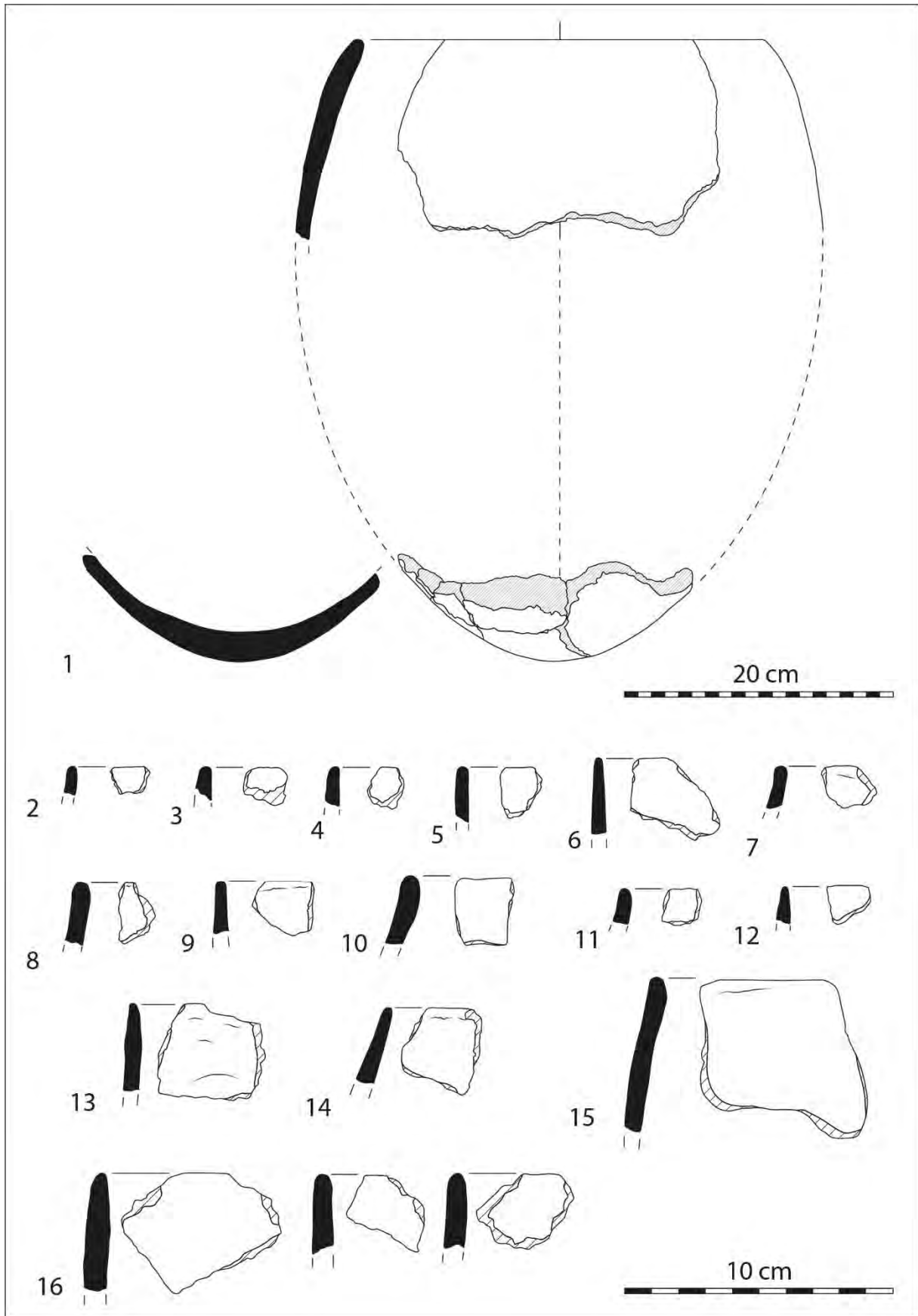


Planche 12 : profil restitué et éléments de vases de la structure St. 24.

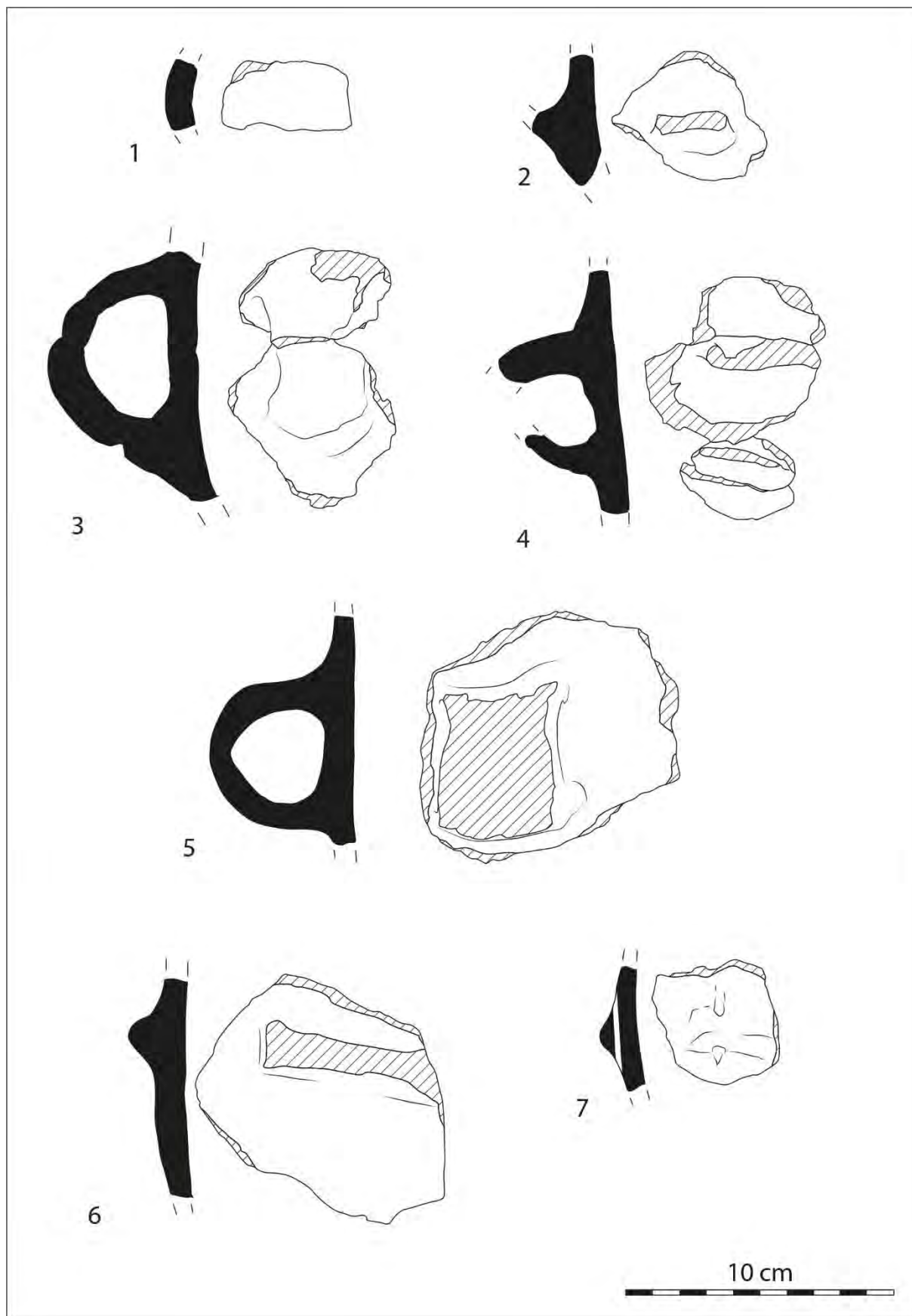


Planche 13 : éléments de préhension de la structure St. 24.

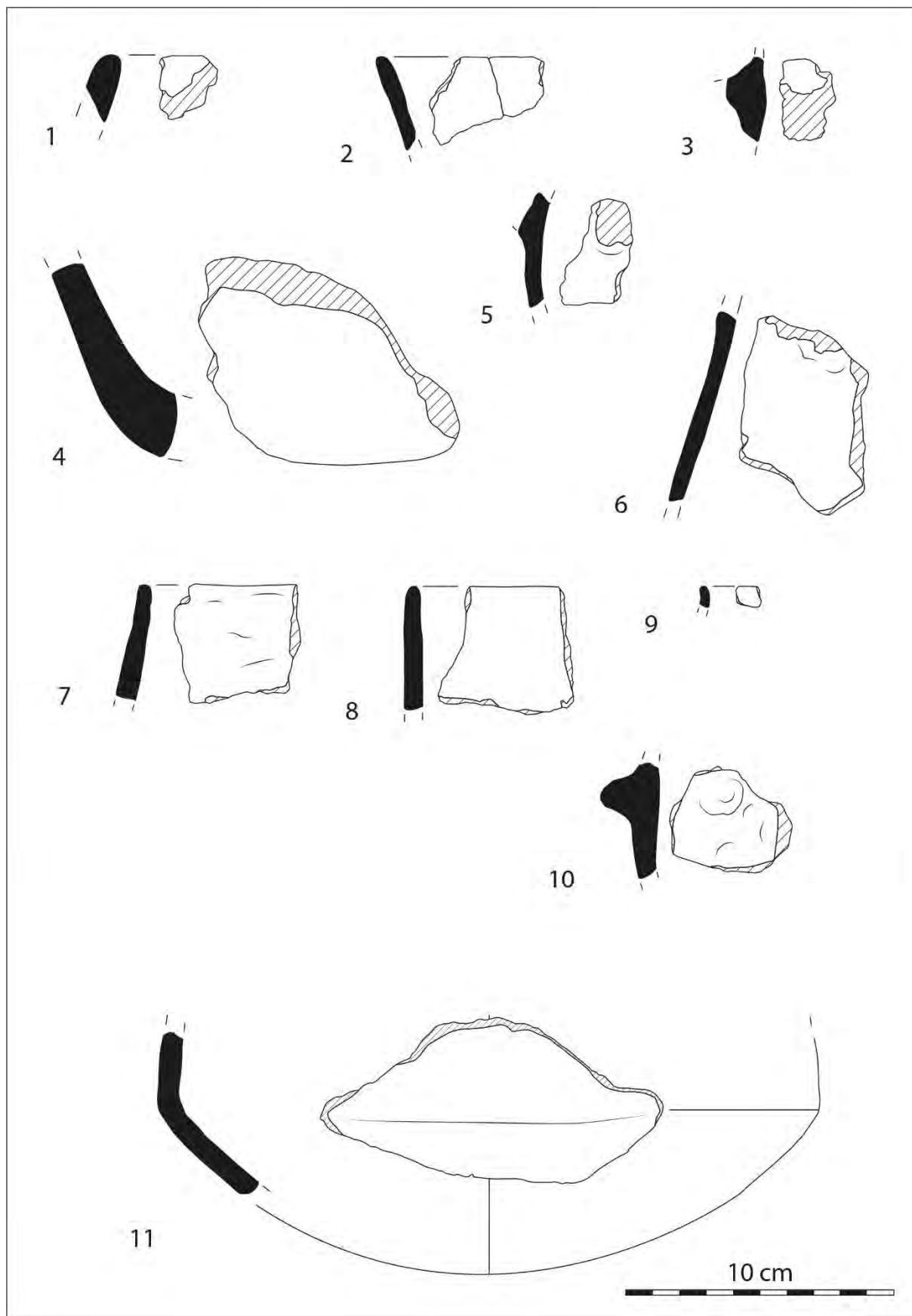


Planche 14 : élément de vase, préhensions et profil incomplet. 1 à 6 : structure St. 33 ; 7 à 11 : structure St. 34.

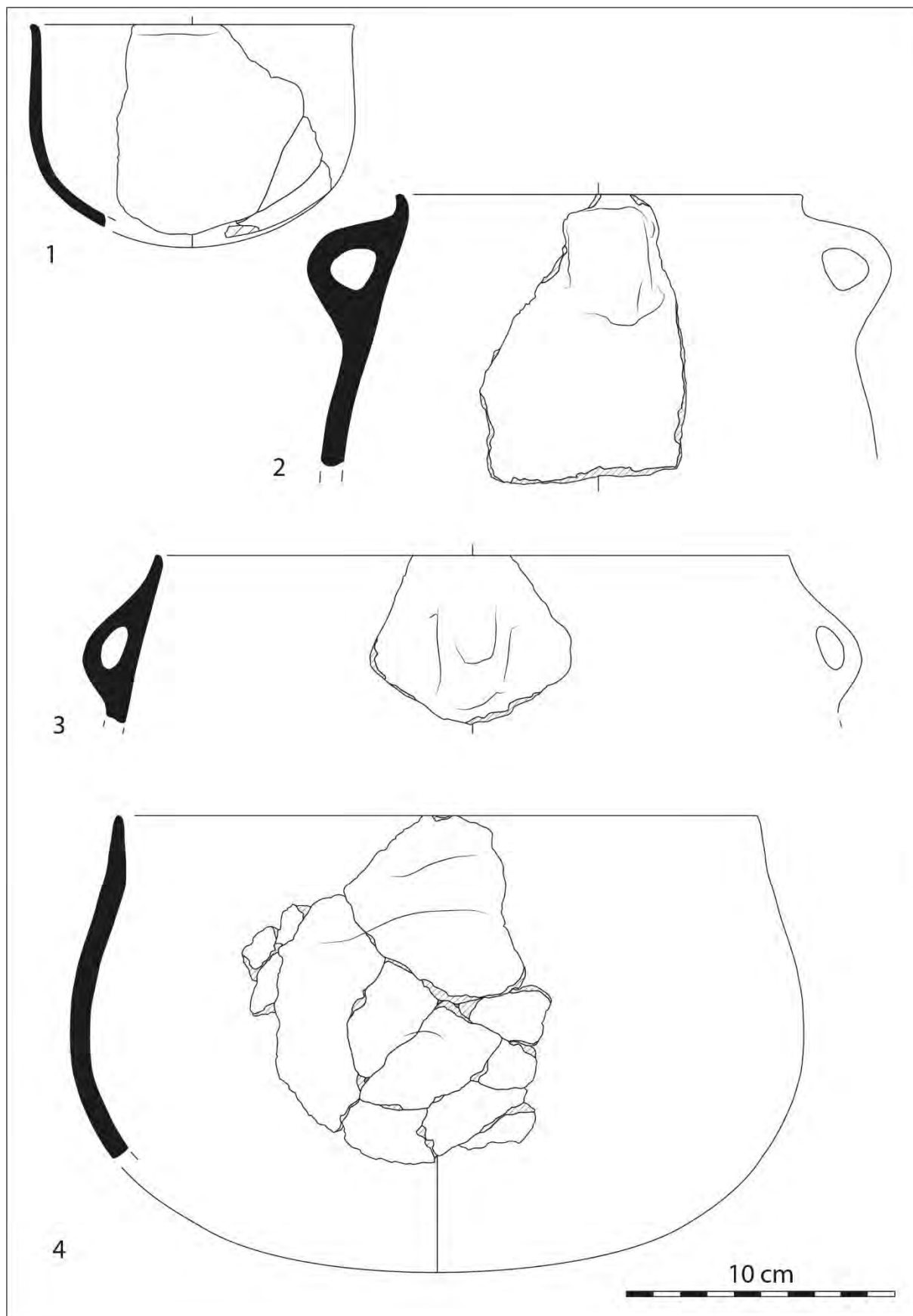


Planche 15 : profils restitués et profils incomplets de la structure St. 83.

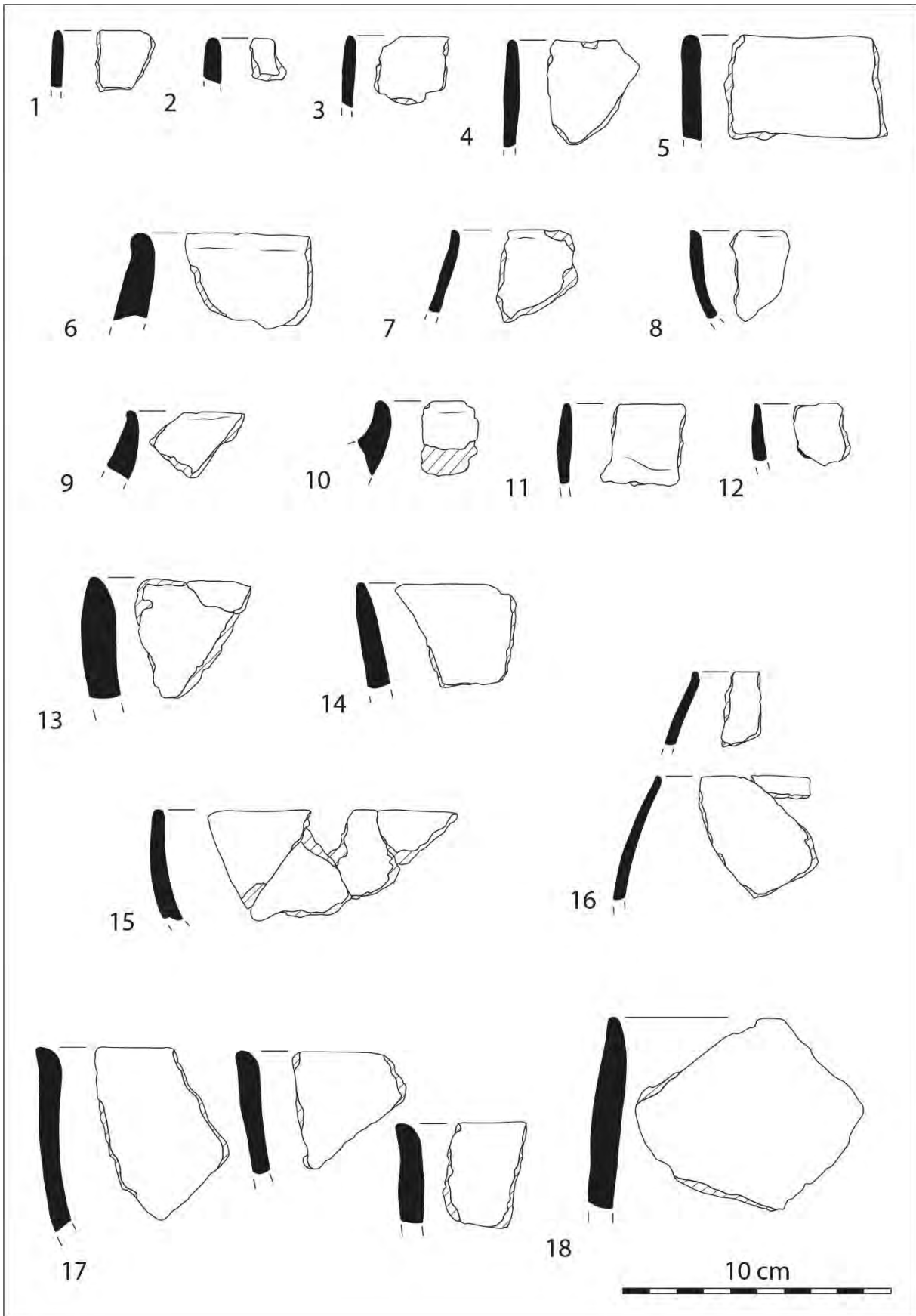


Planche 16 : éléments de vases de la structure St. 83.

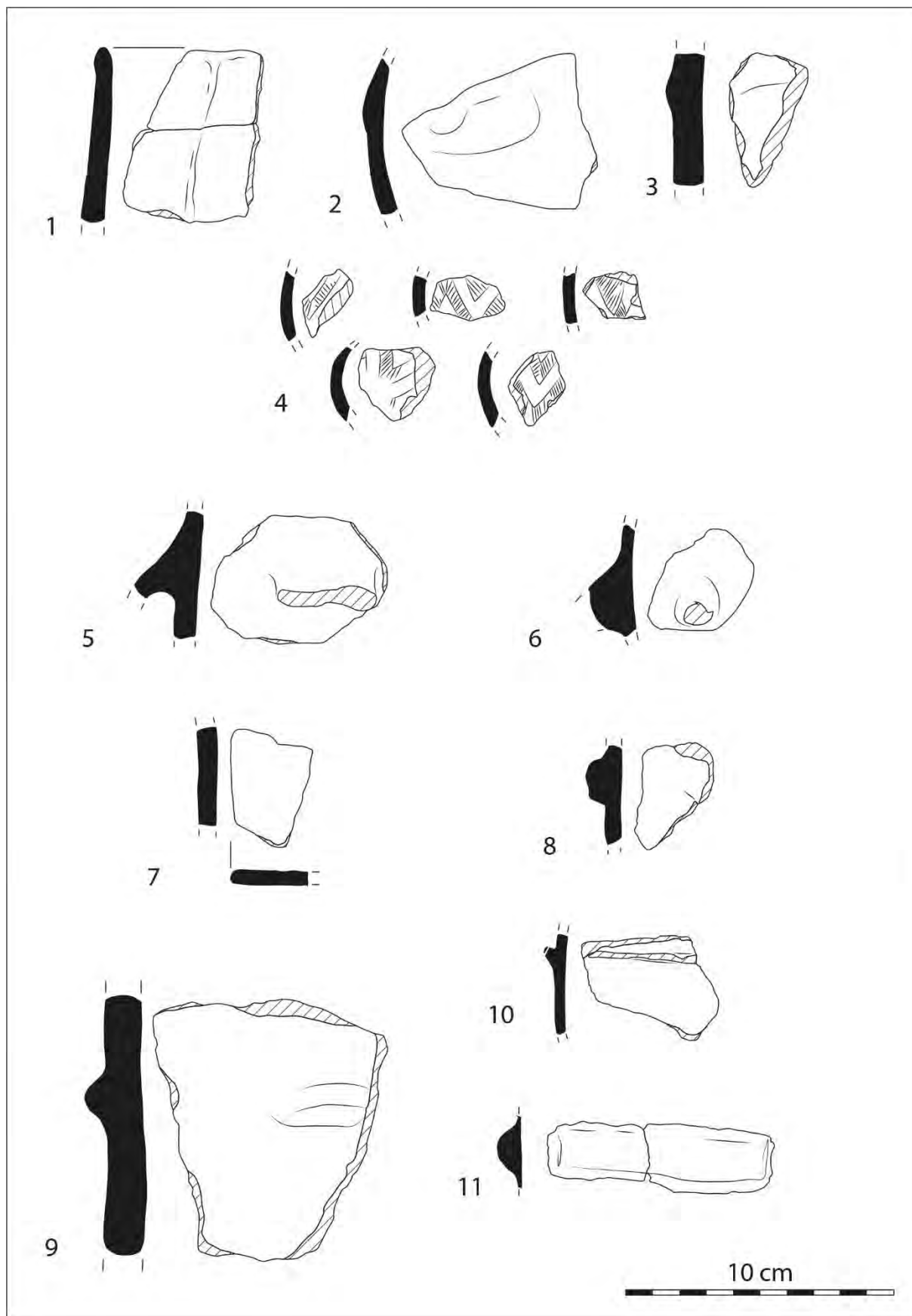


Planche 17 : élément de vase, décors et préhensions de la structure St. 83.

VIII. L'abri de Roquemissou (Montrozier, Aveyron)

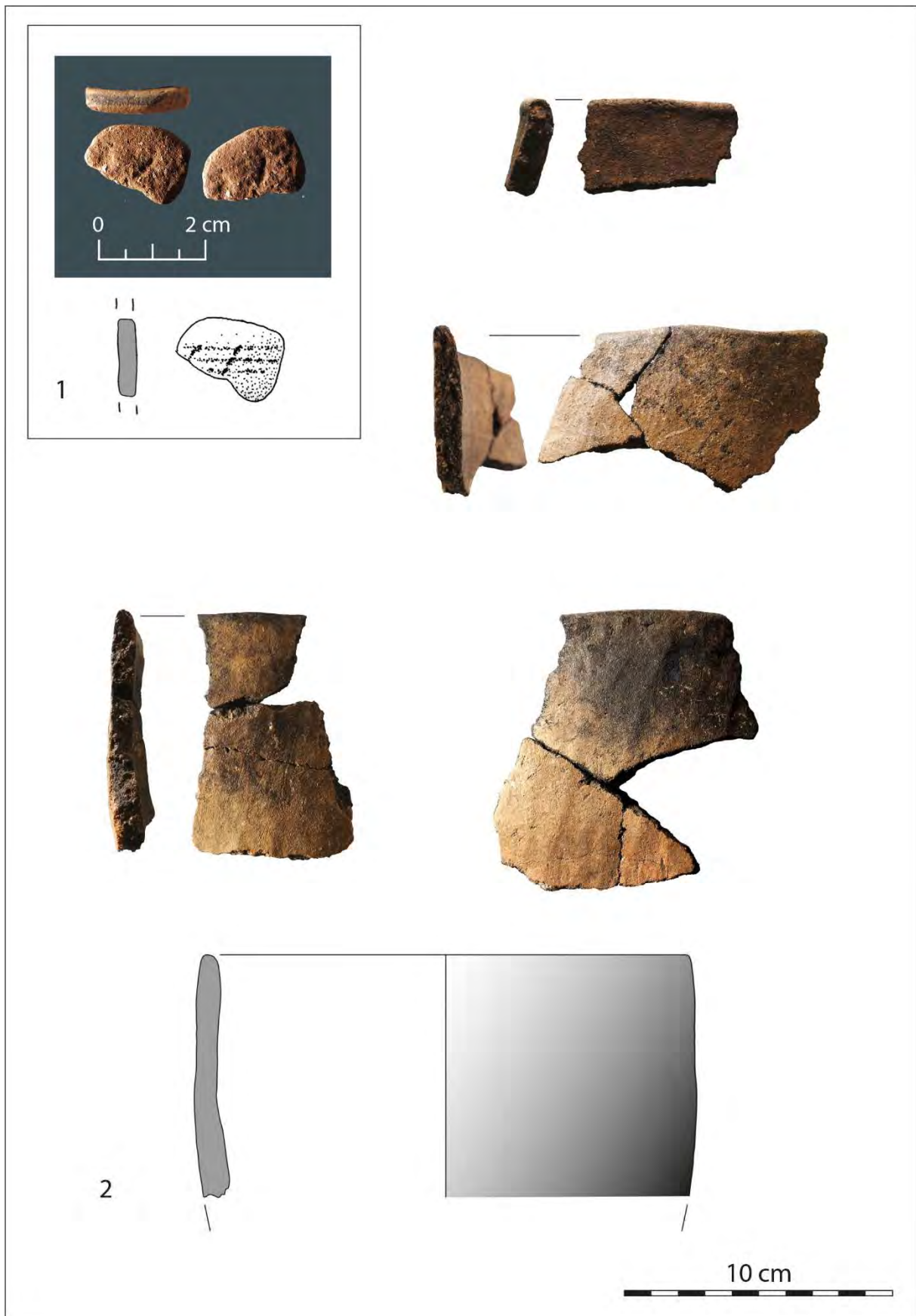


Planche 1 : décor supposé intrusif et profil incomplet.

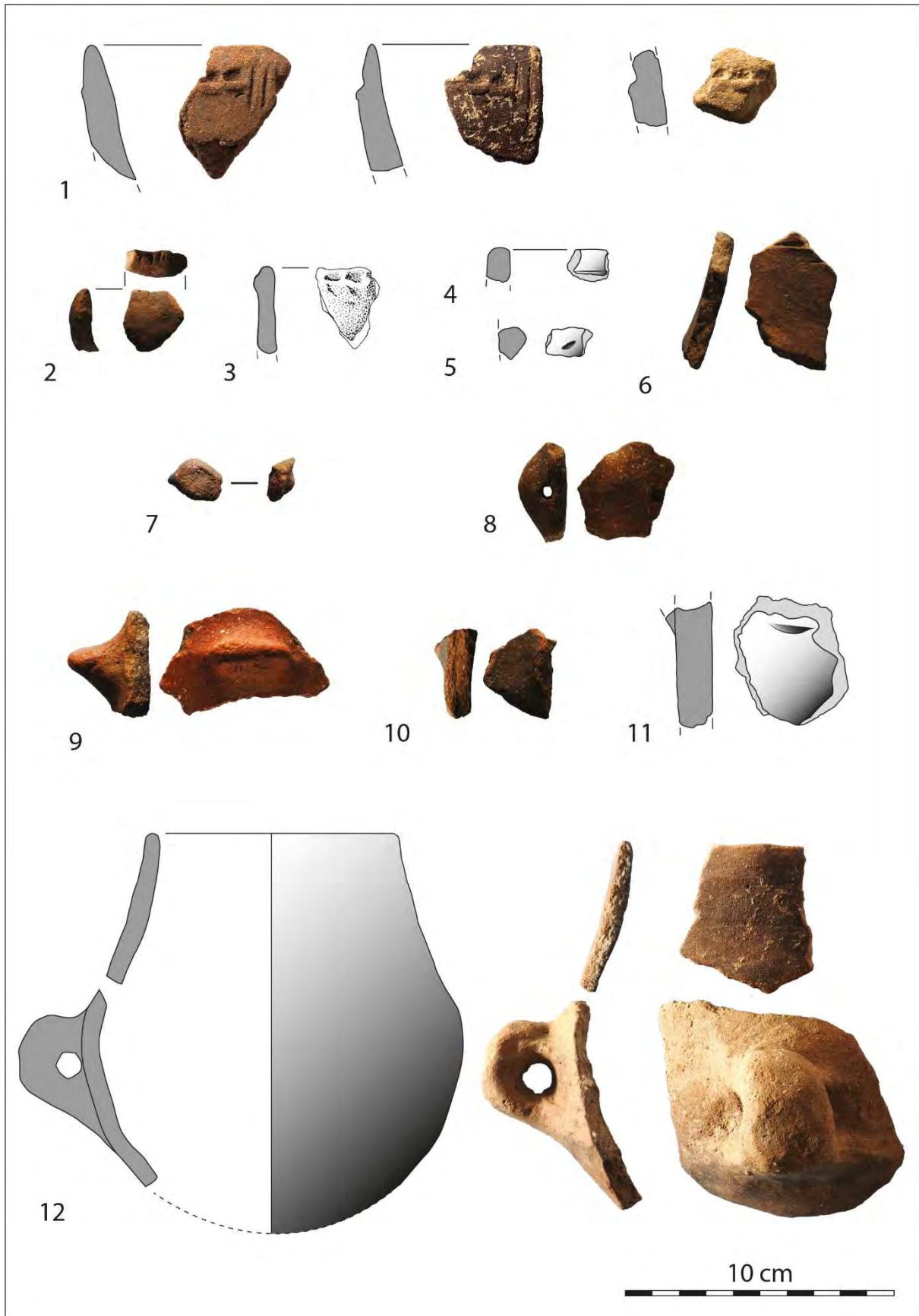


Planche 2 : éléments de vases, décors, préhensions et hypothèse de restitution d'un profil.

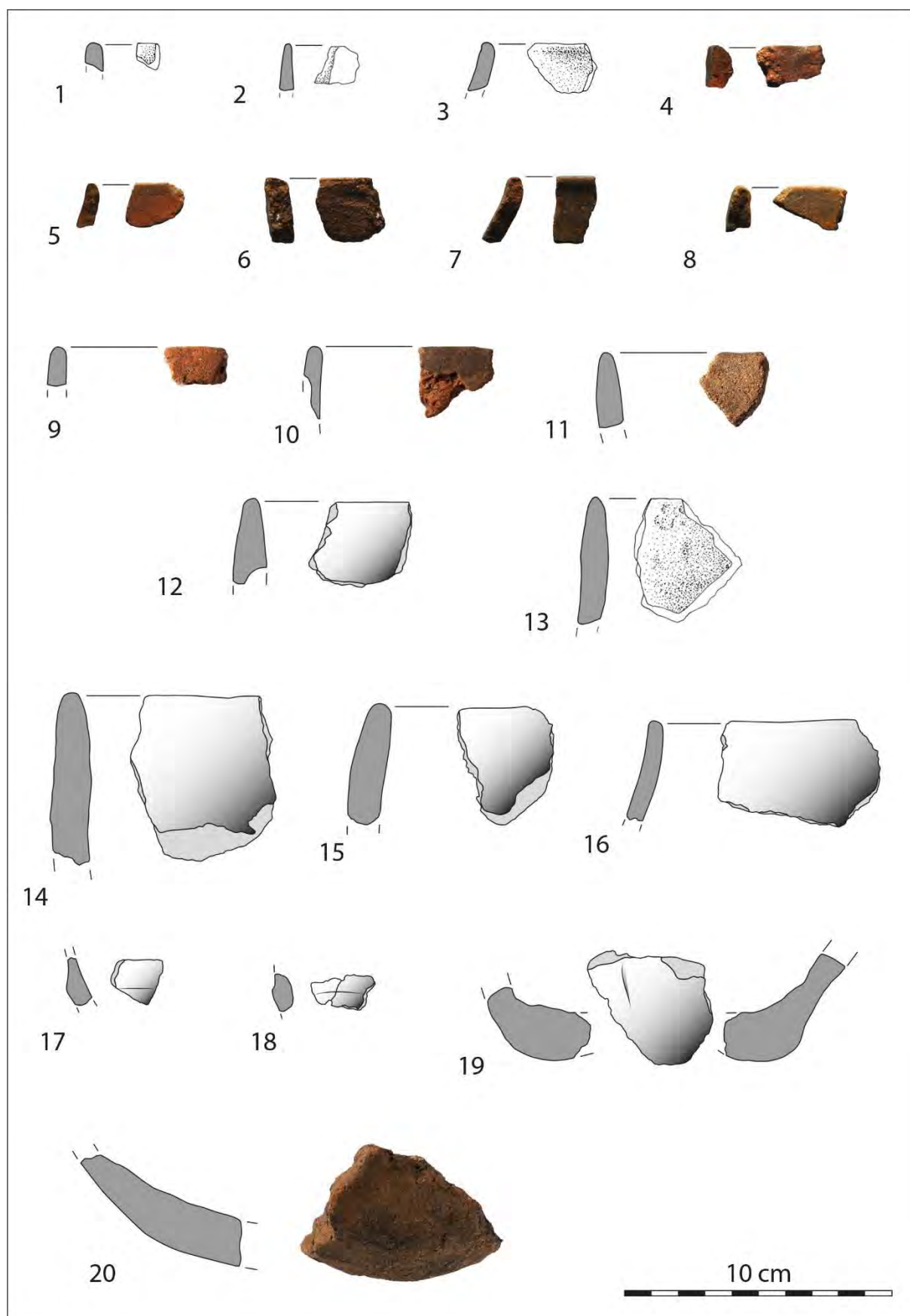


Planche 3 : éléments de vases.

IX. L'abri du Clos de Poujol (Campagnac, Aveyron)

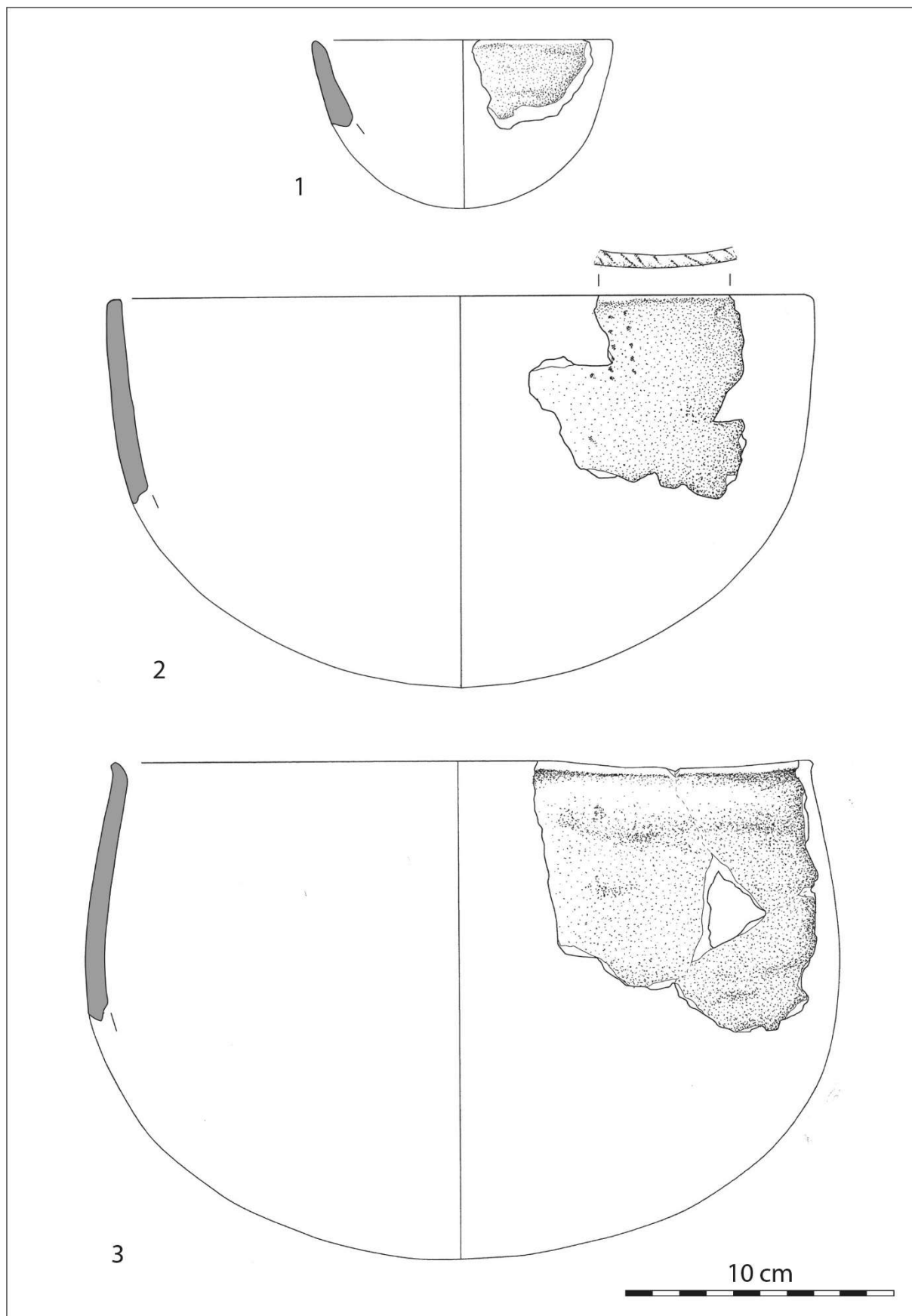


Planche 1 : profils restitués.

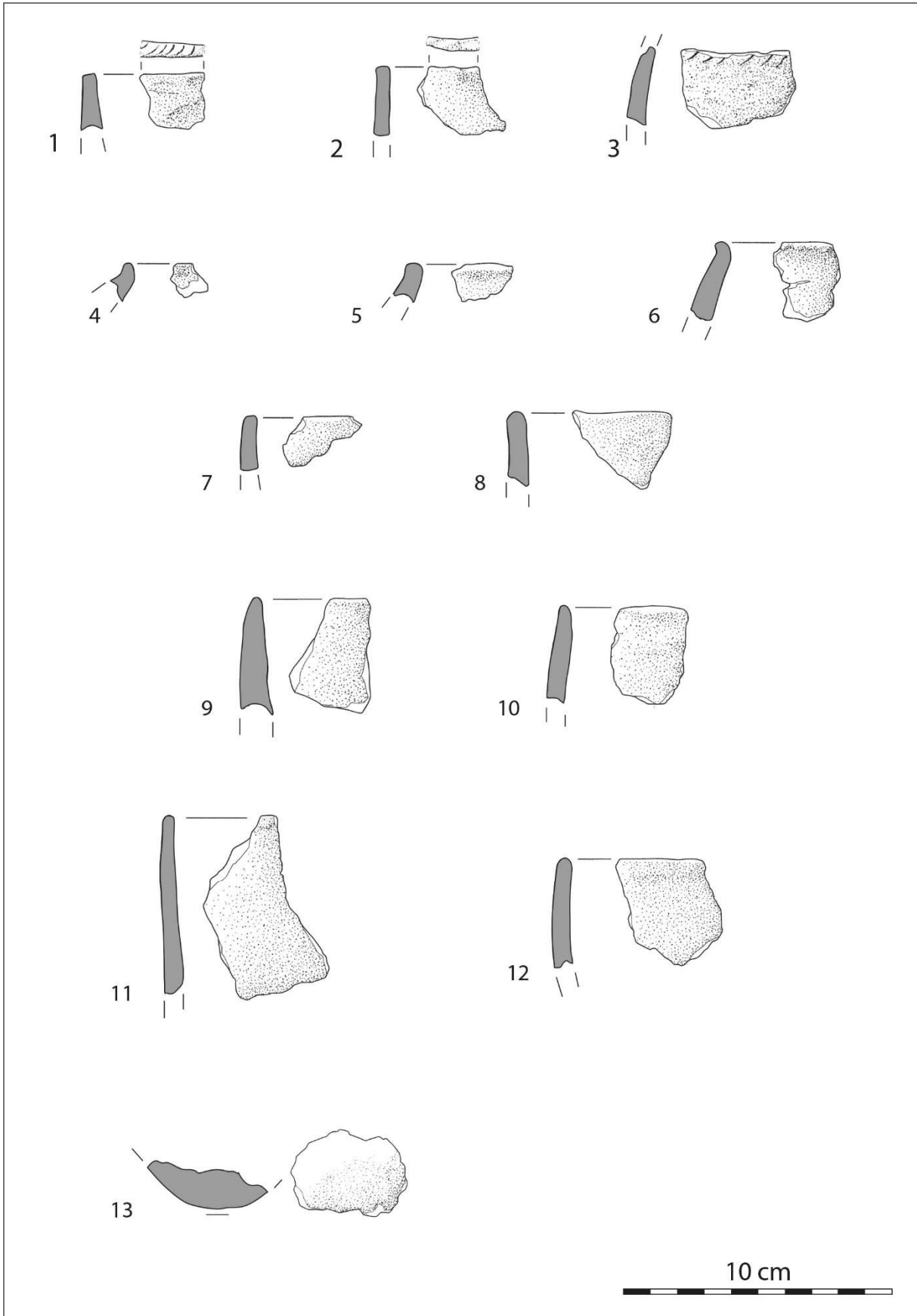


Planche 2 : éléments de vases et décors.

X. L'abri de Combe-Grèze (La Cresse, Aveyron)

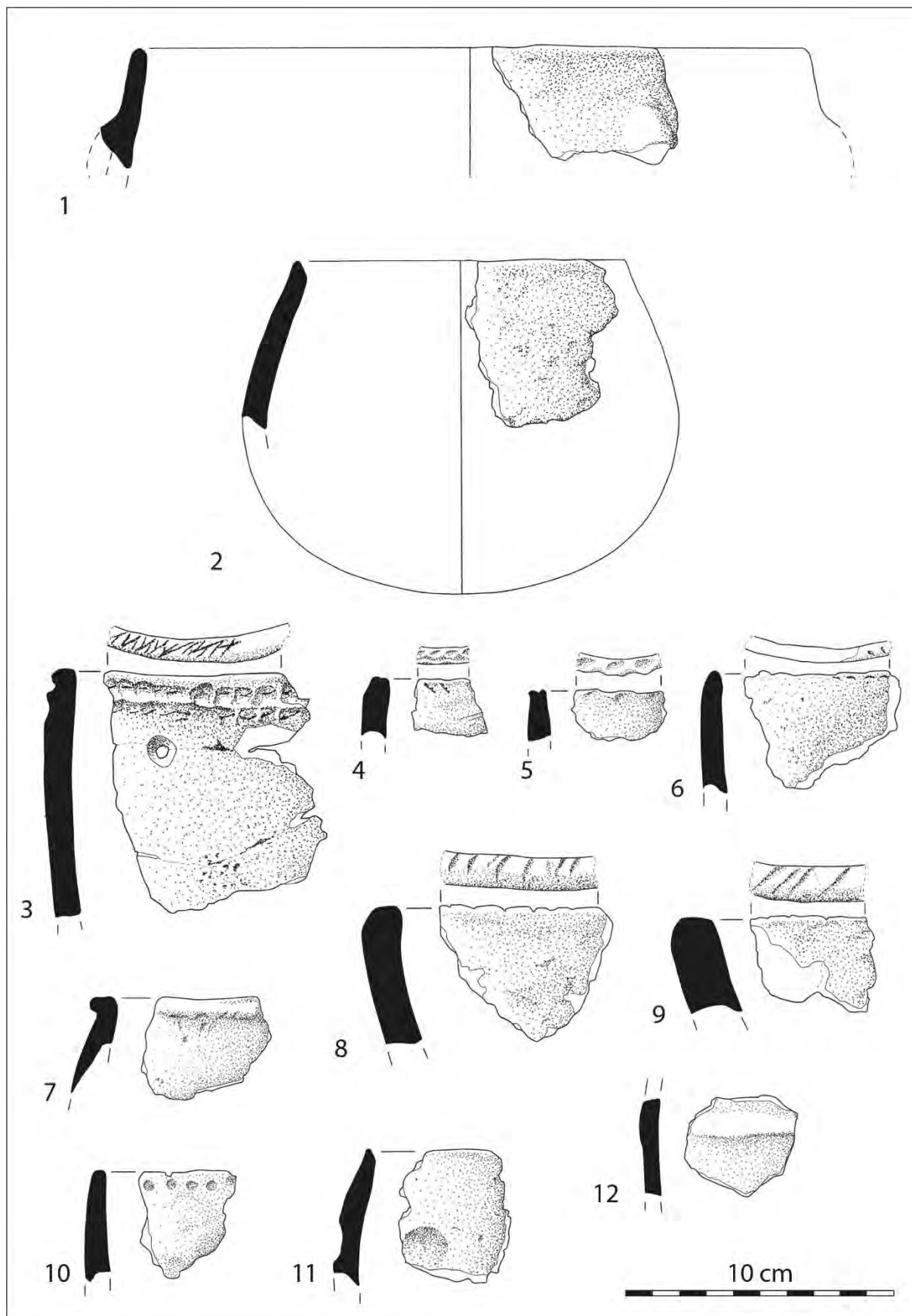


Planche 1 : profil restitué, profil incomplet, éléments de vases et décors.

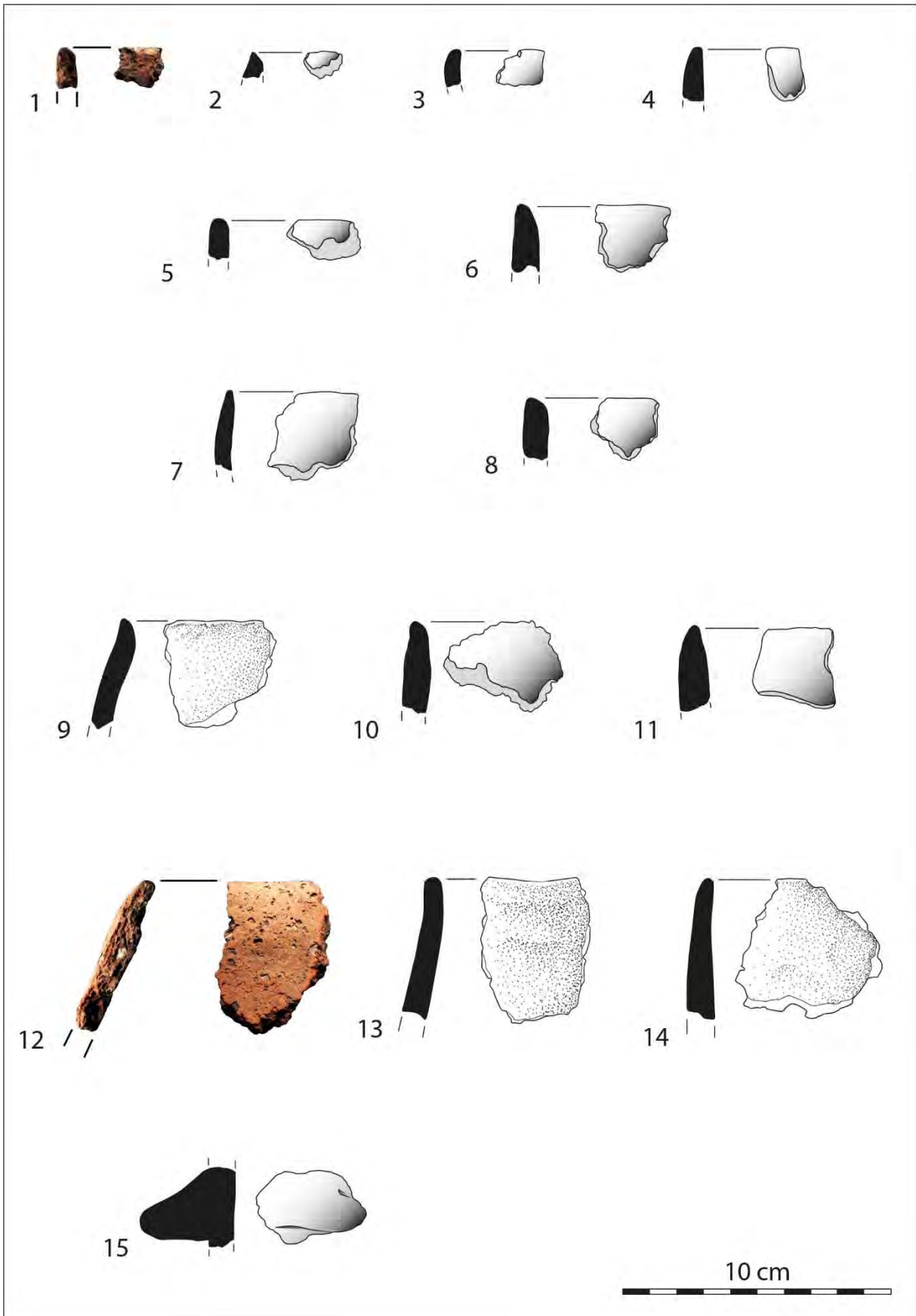


Planche 2 : éléments de vases.

XI. L'abri des Usclades (Nant, Aveyron)

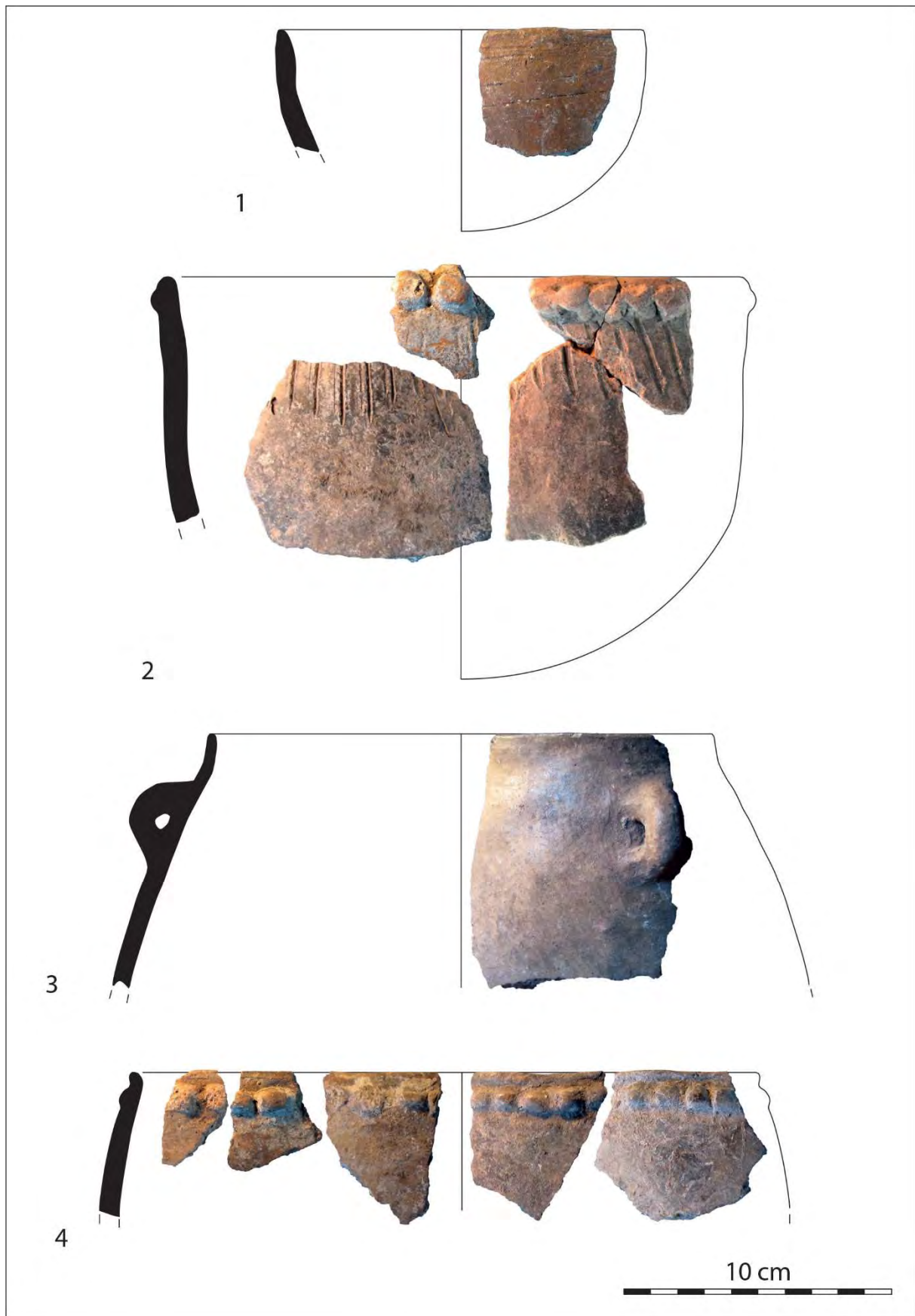


Planche 1 : profil restitué et profils incomplets.

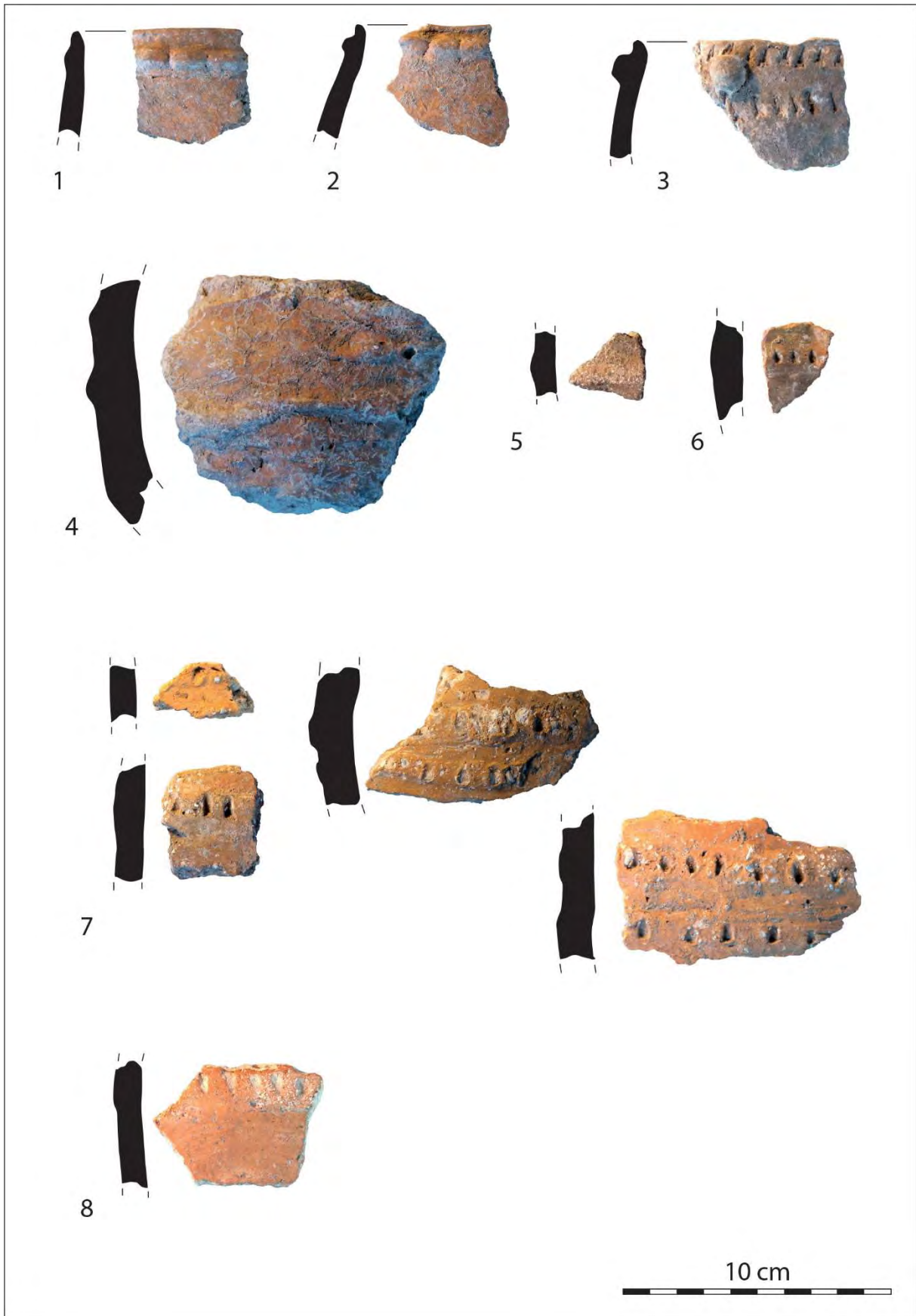


Planche 2 : éléments de vases et décors.

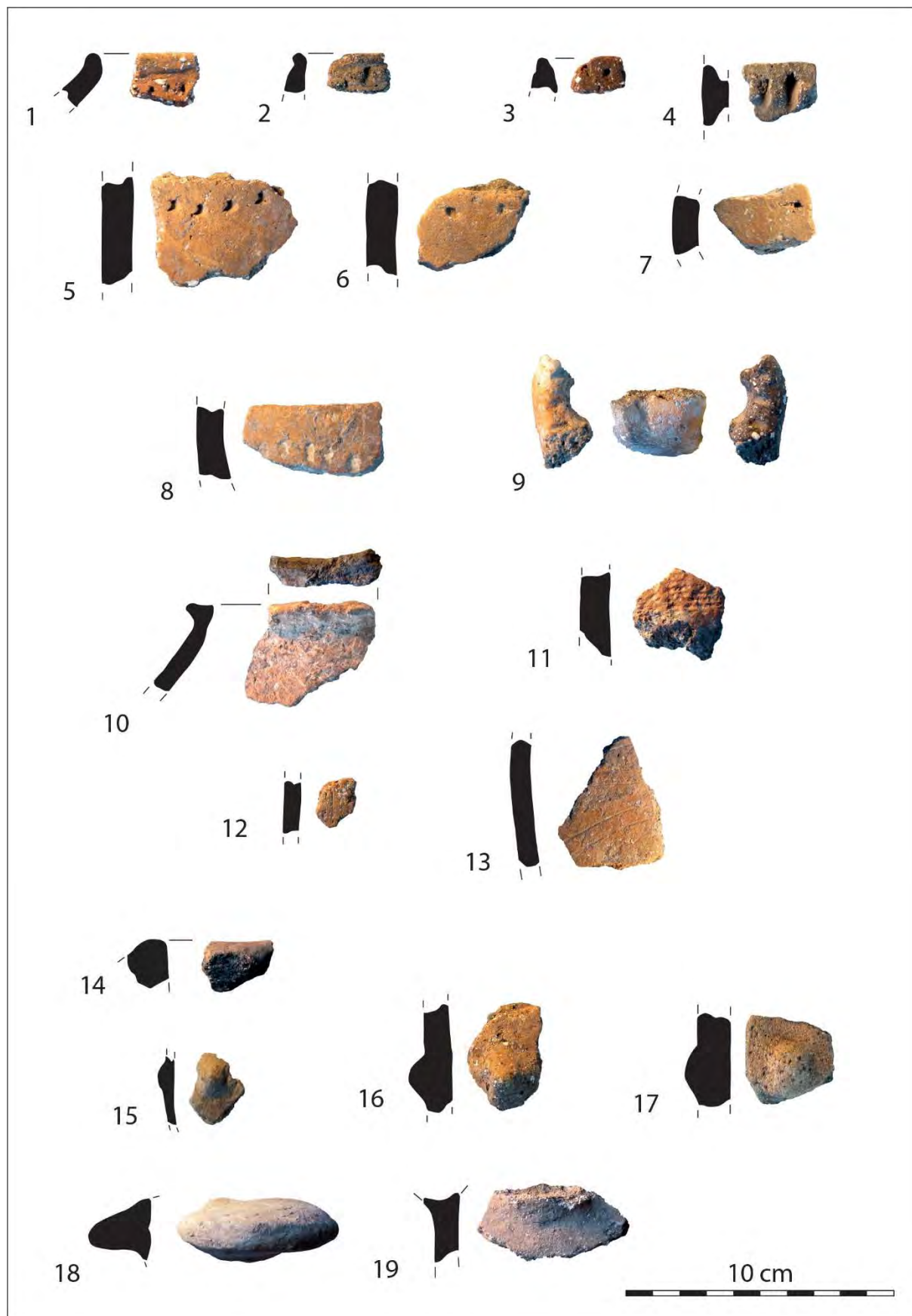


Planche 3 : éléments de vases, décors et préhensions.

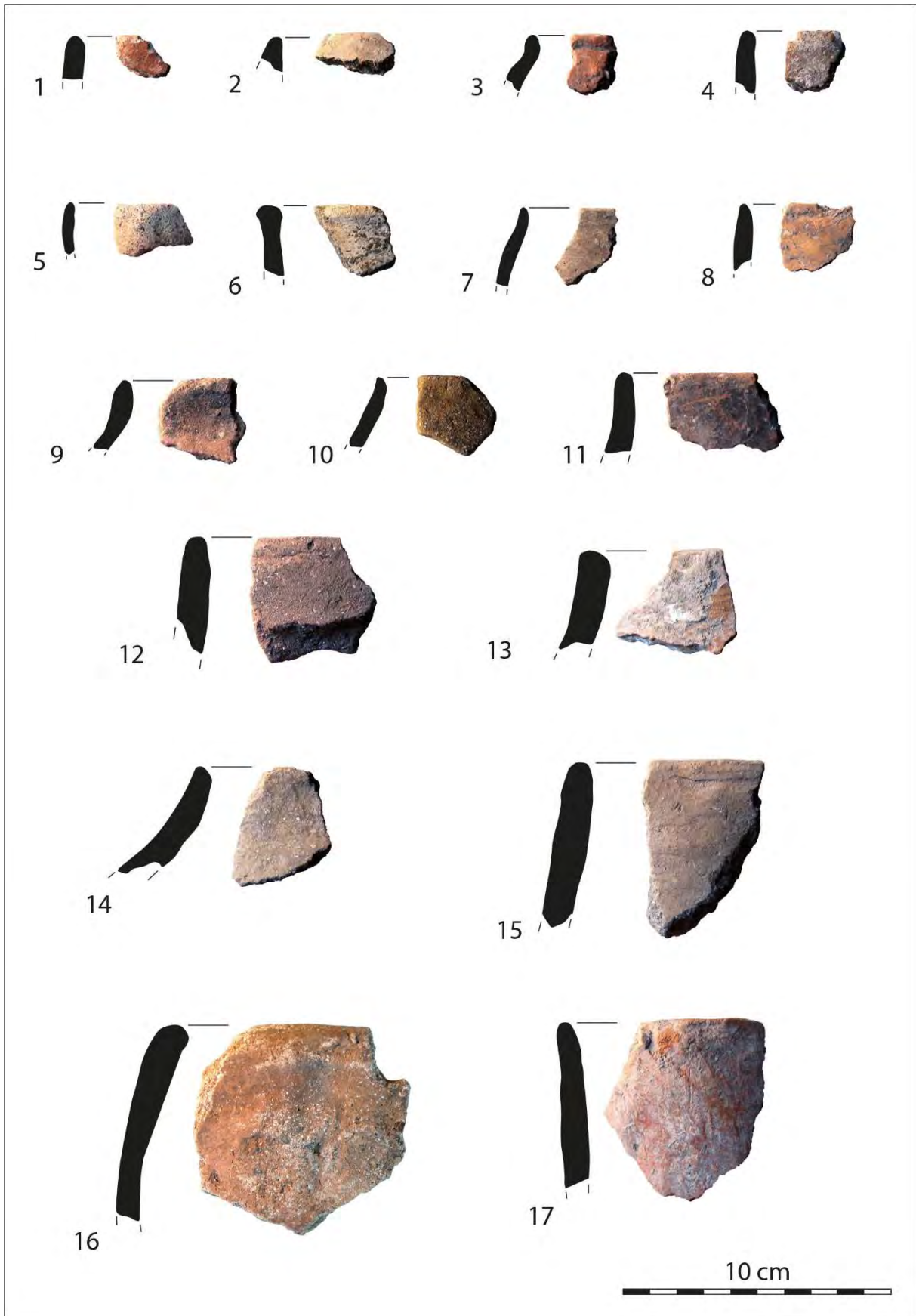


Planche 4 : éléments de vases.

XII. La grotte 1 de Sargel (Saint-Rome-de-Cernon, Aveyron)

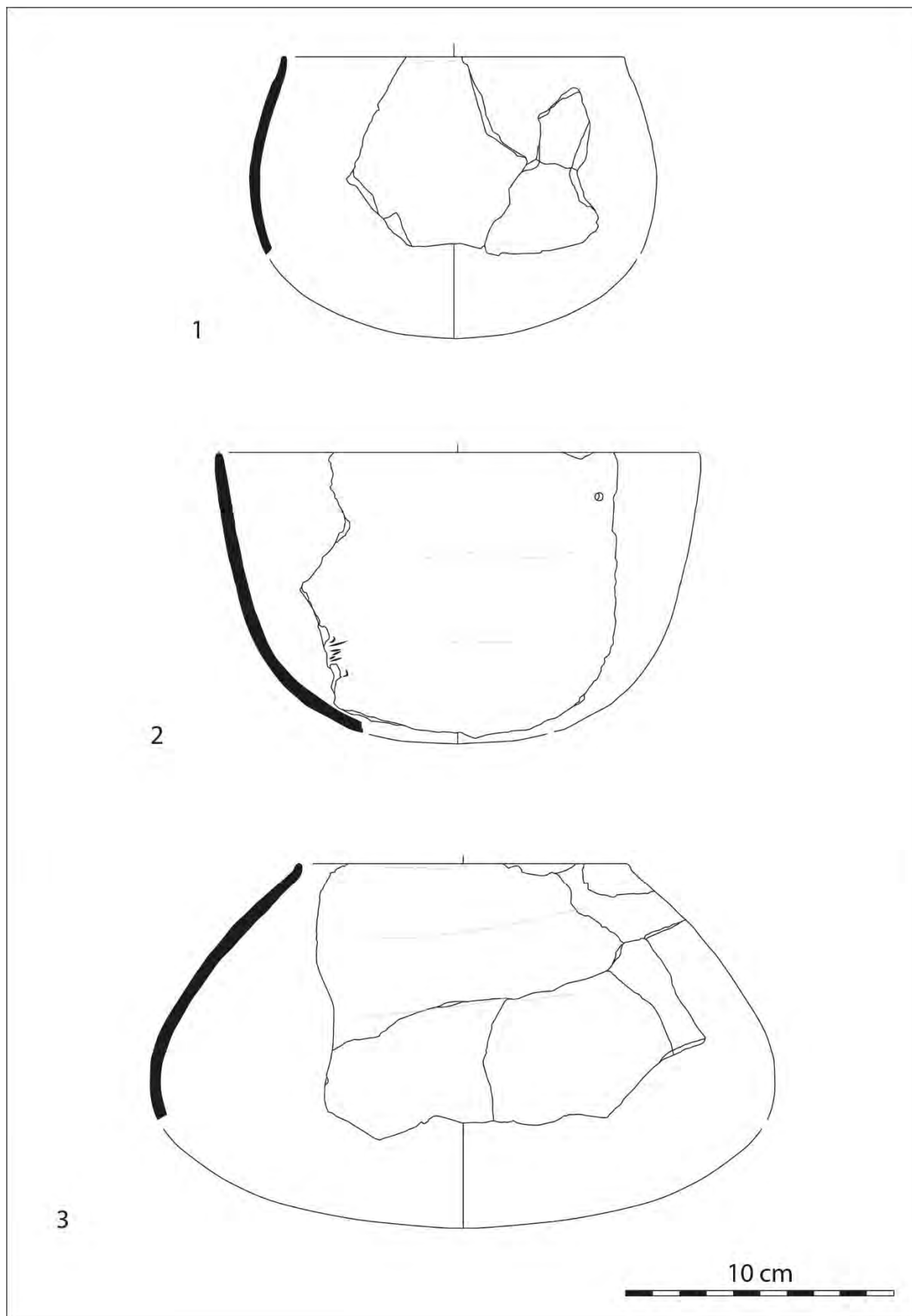


Planche 1 : profils restitués.

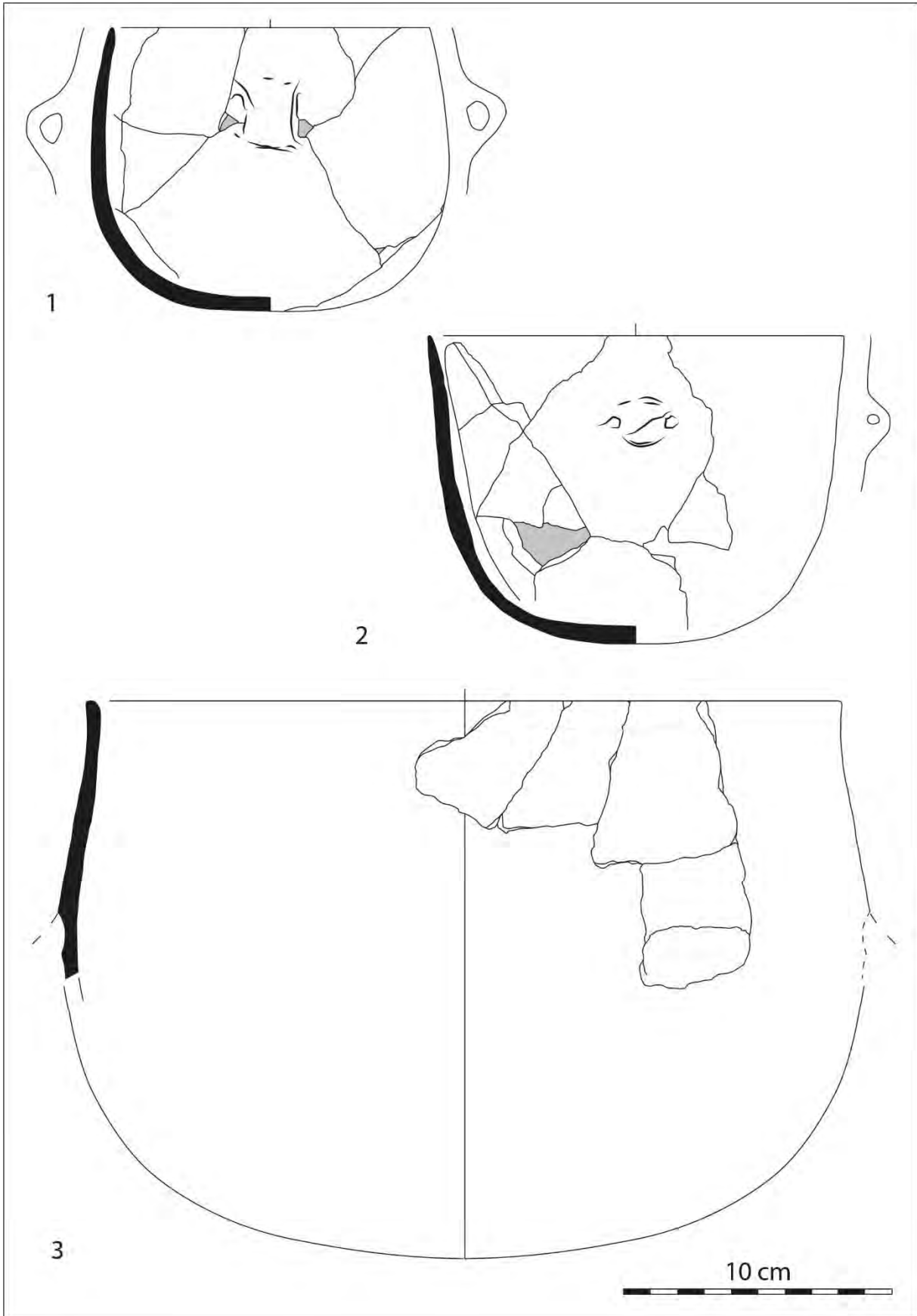


Planche 2 : profils restitués.

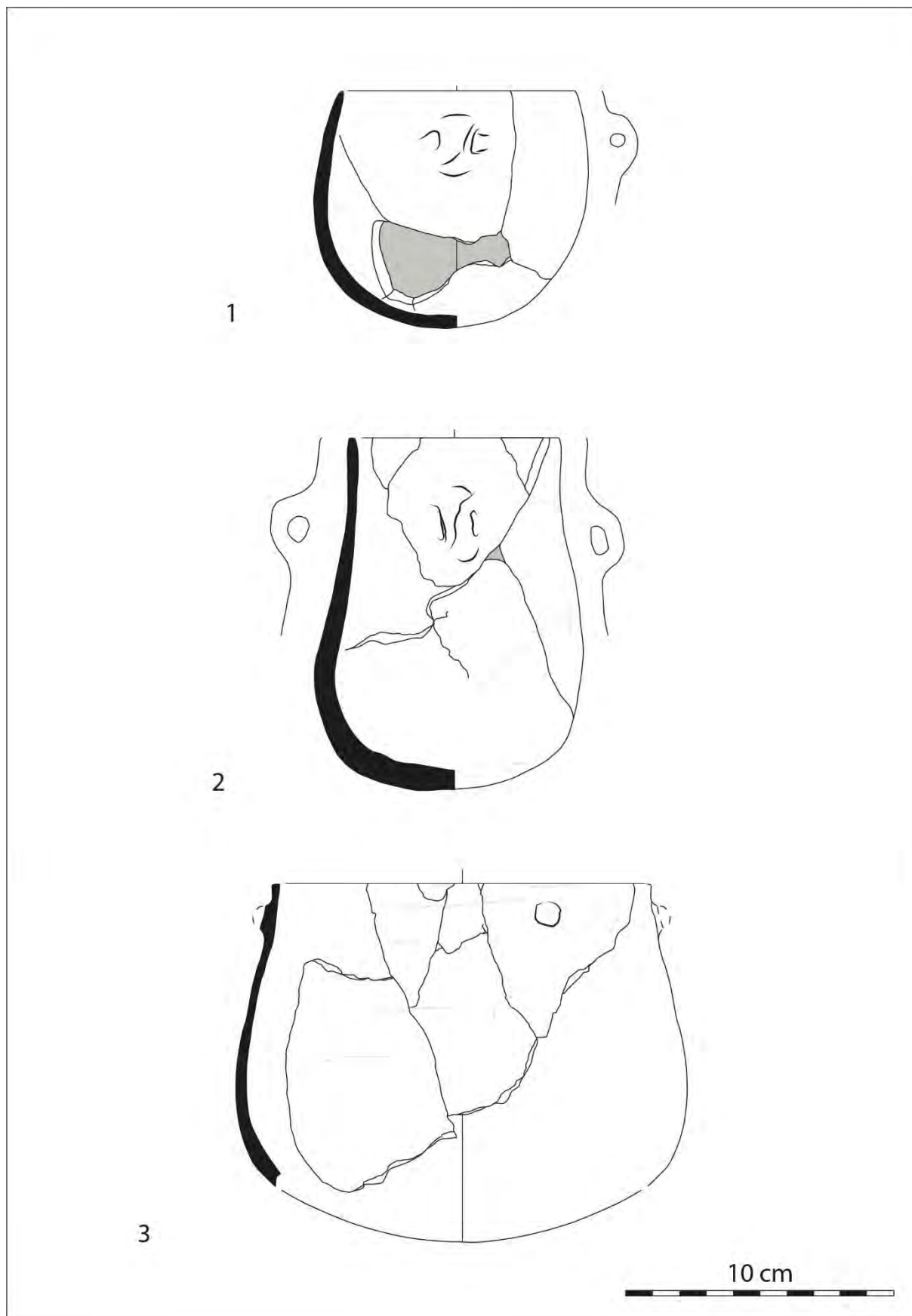


Planche 3 : profils restitués.

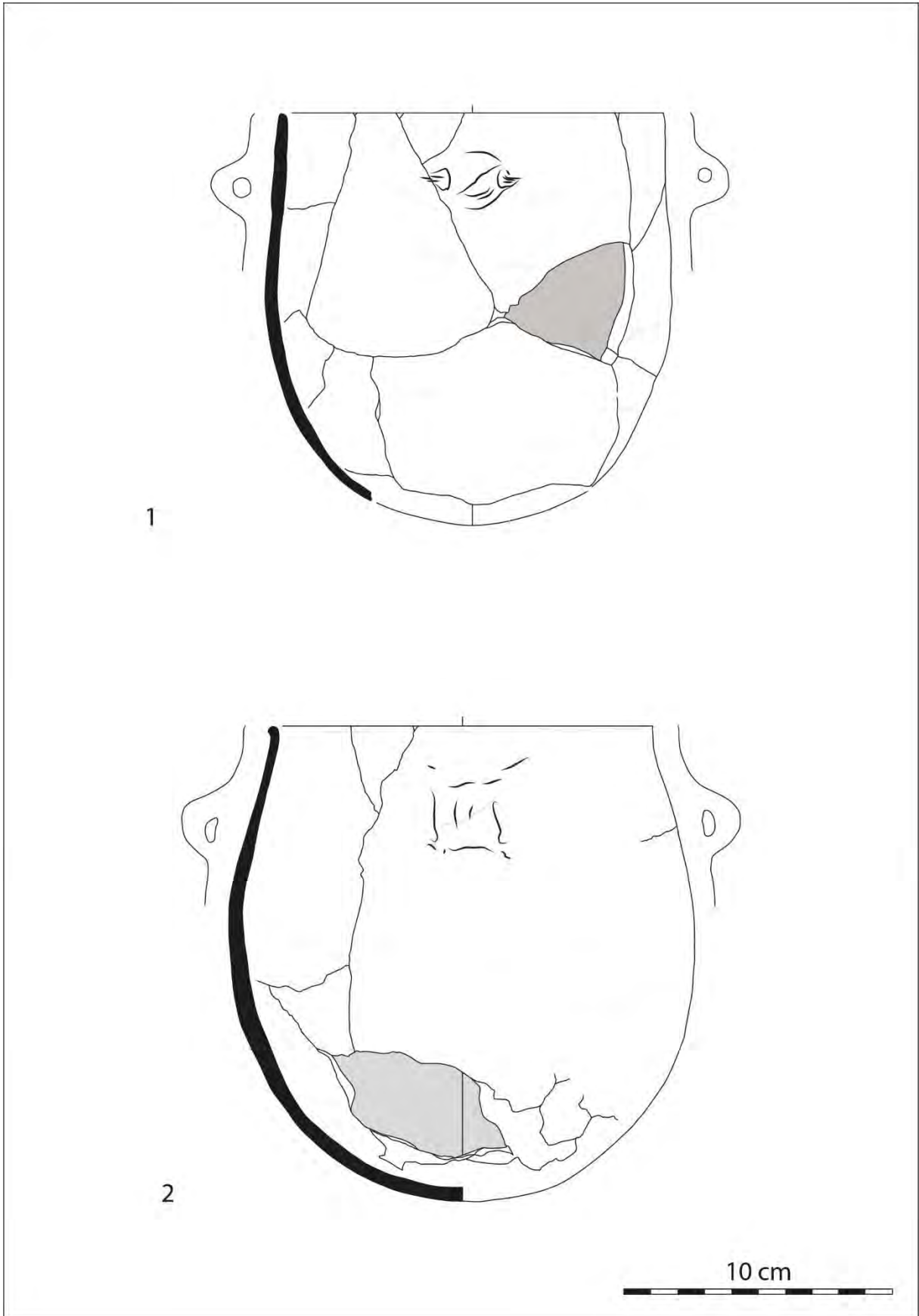


Planche 4 : profils restitués.

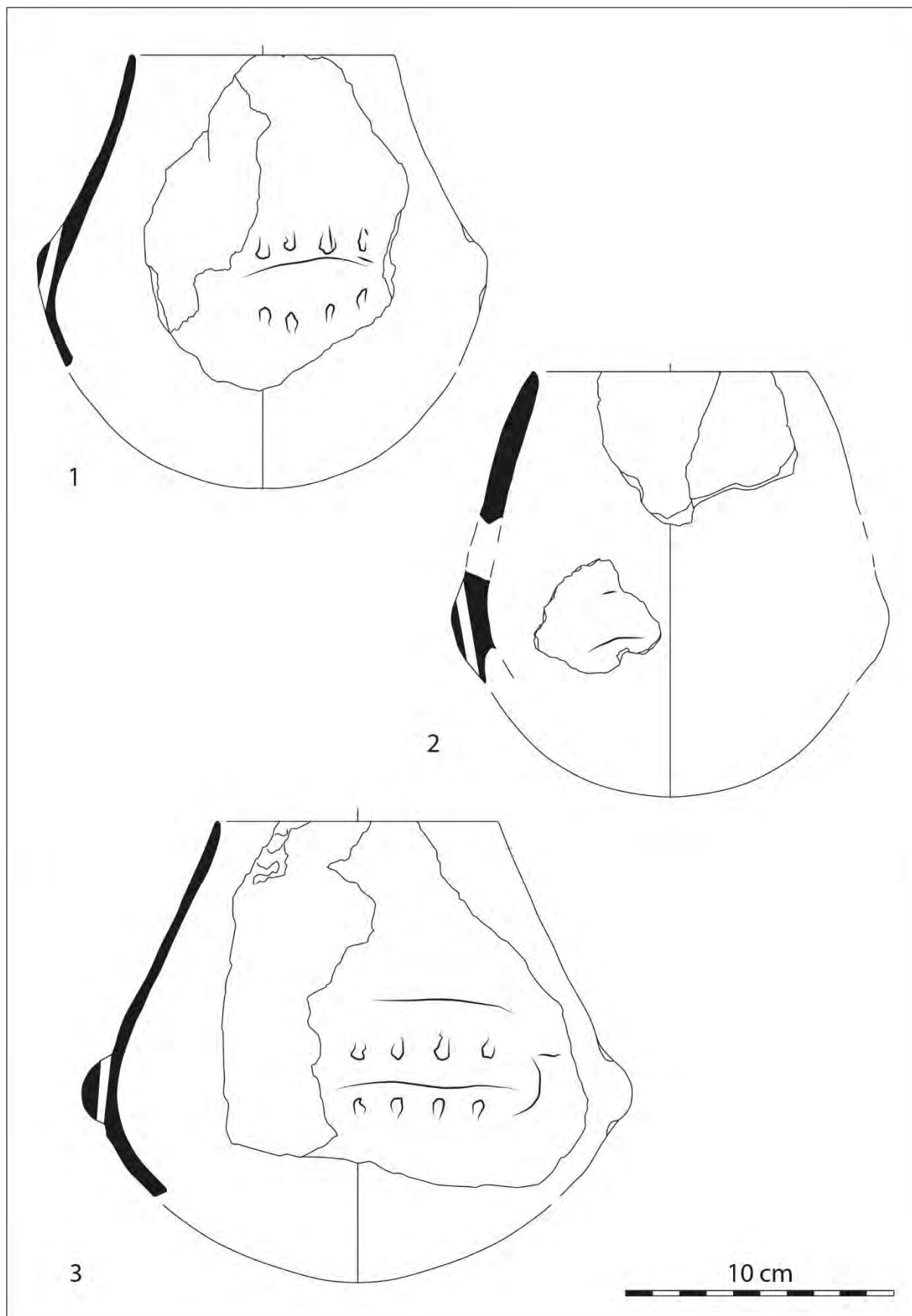


Planche 5 : profils restitués.

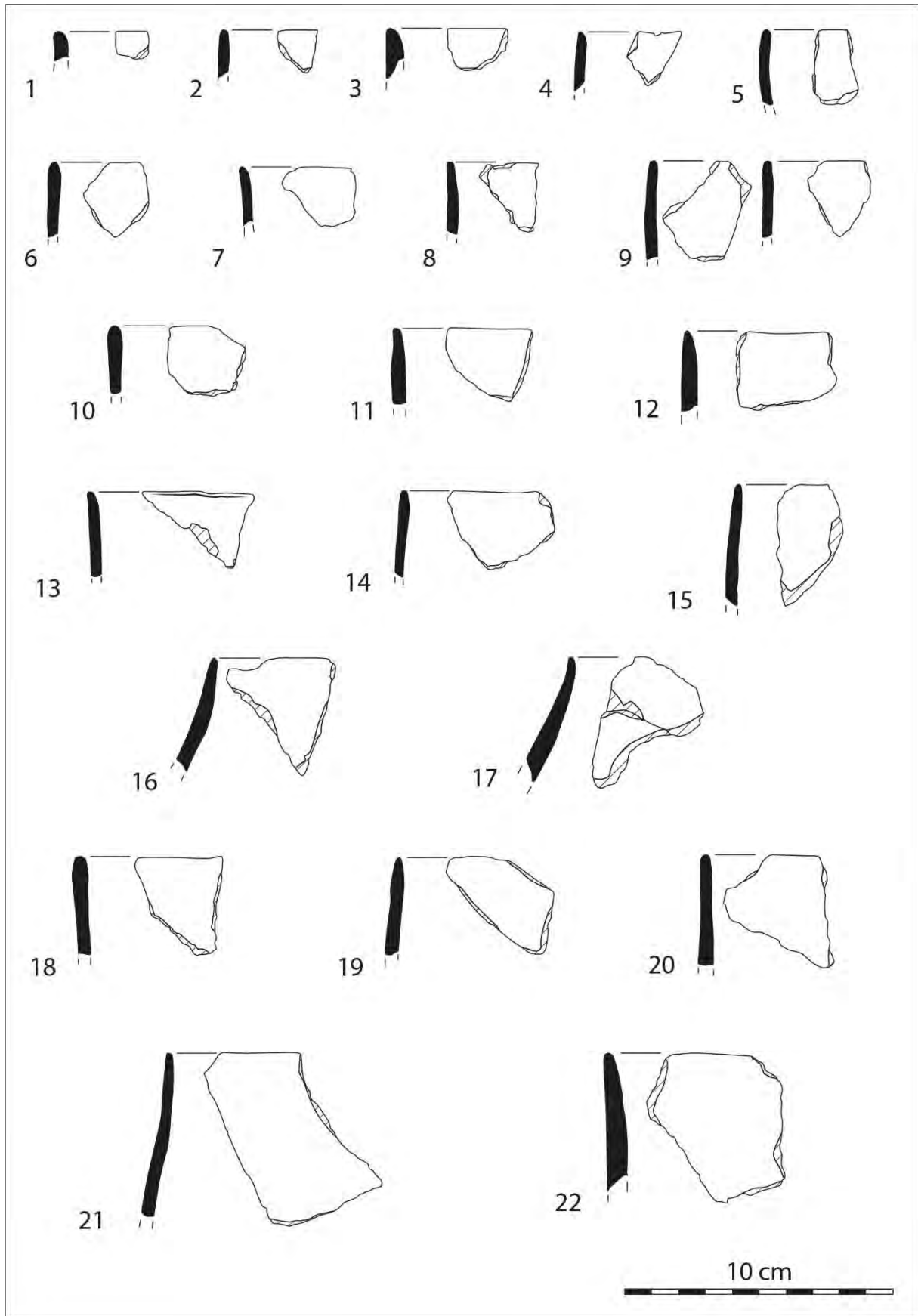


Planche 6 : éléments de vases.

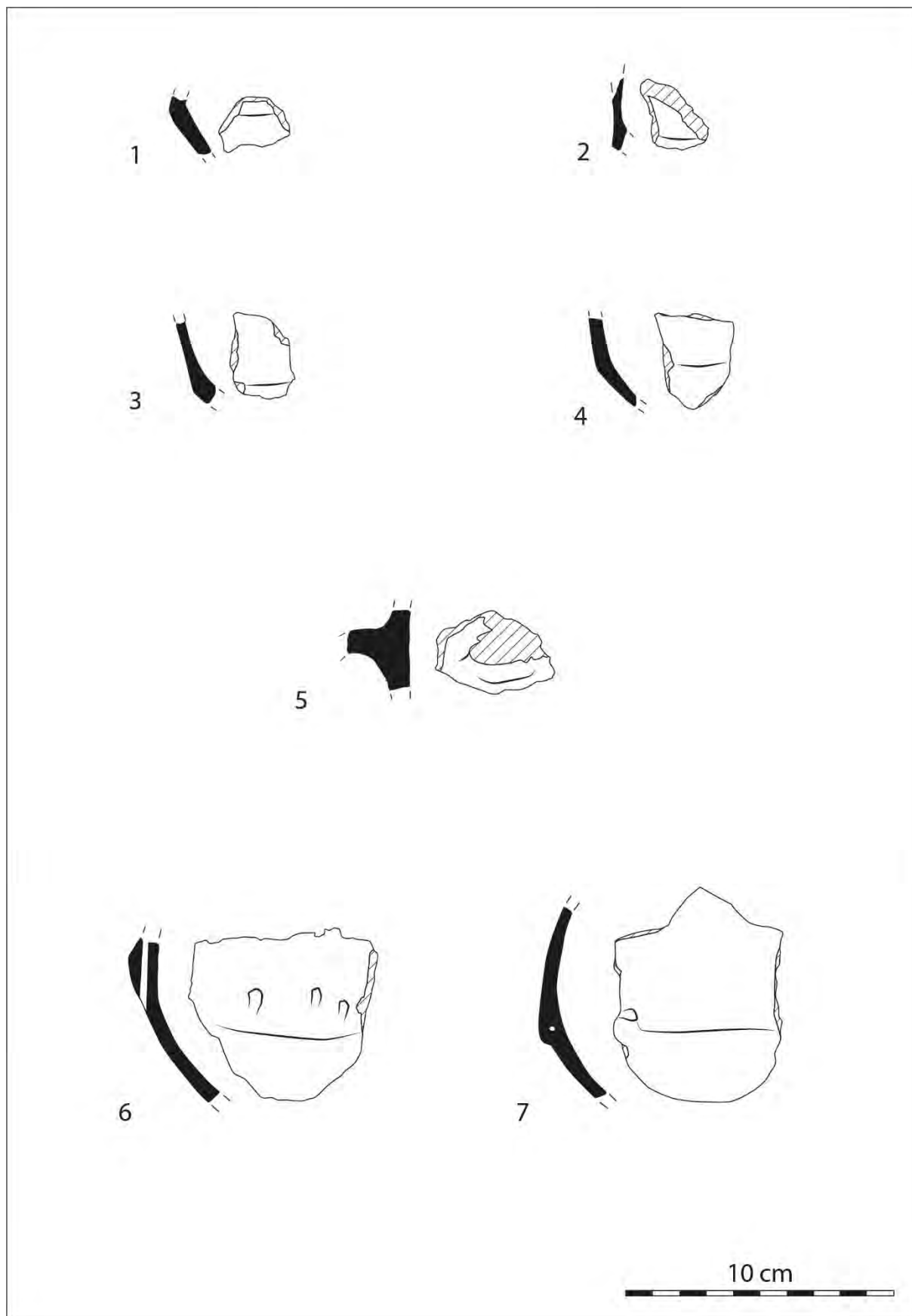


Planche 7 : éléments de vases et préhensions.

XIII. Lautagne (Valence, Drôme)

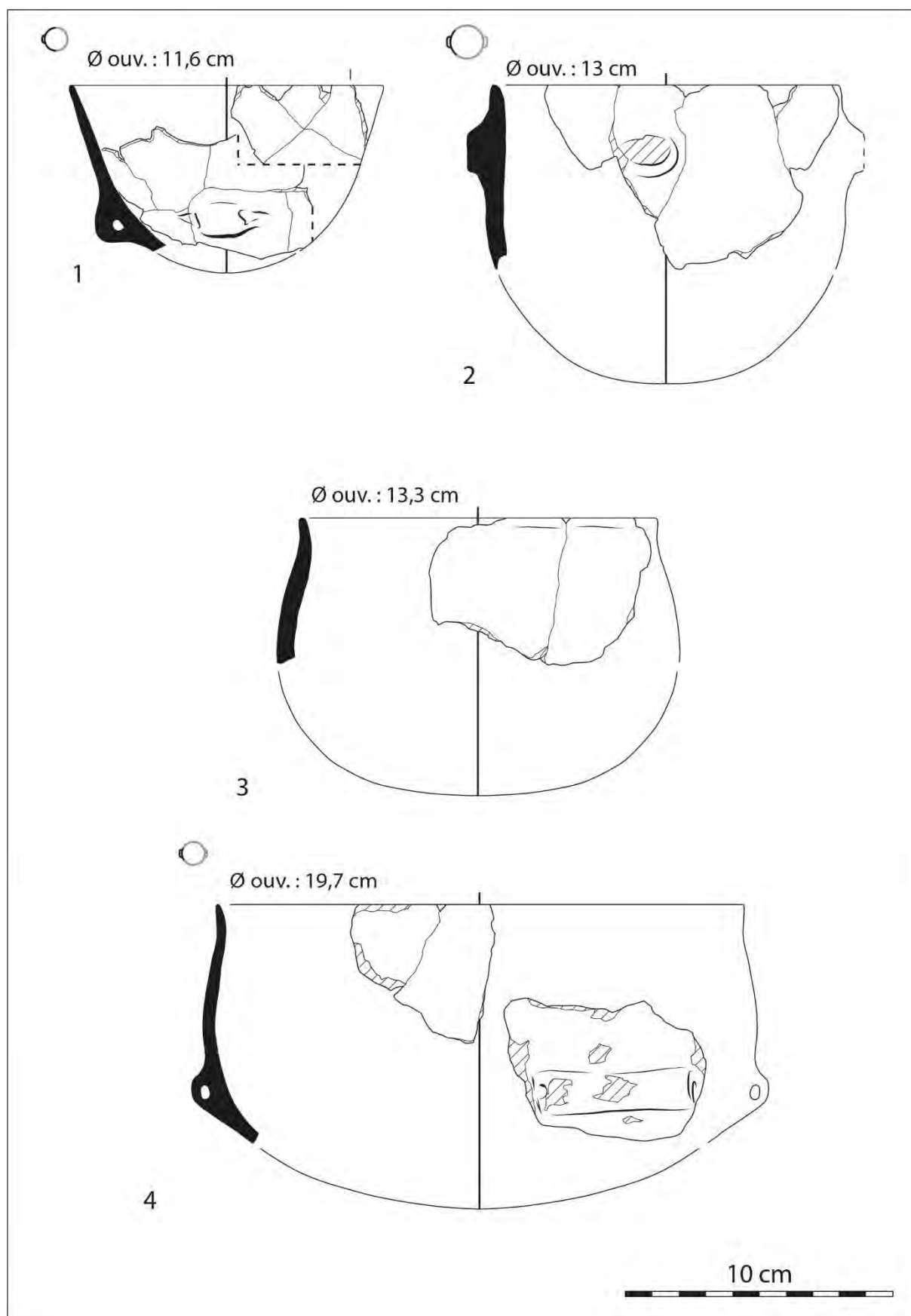


Planche 1 : profils restitués de la fosse FS 5012.

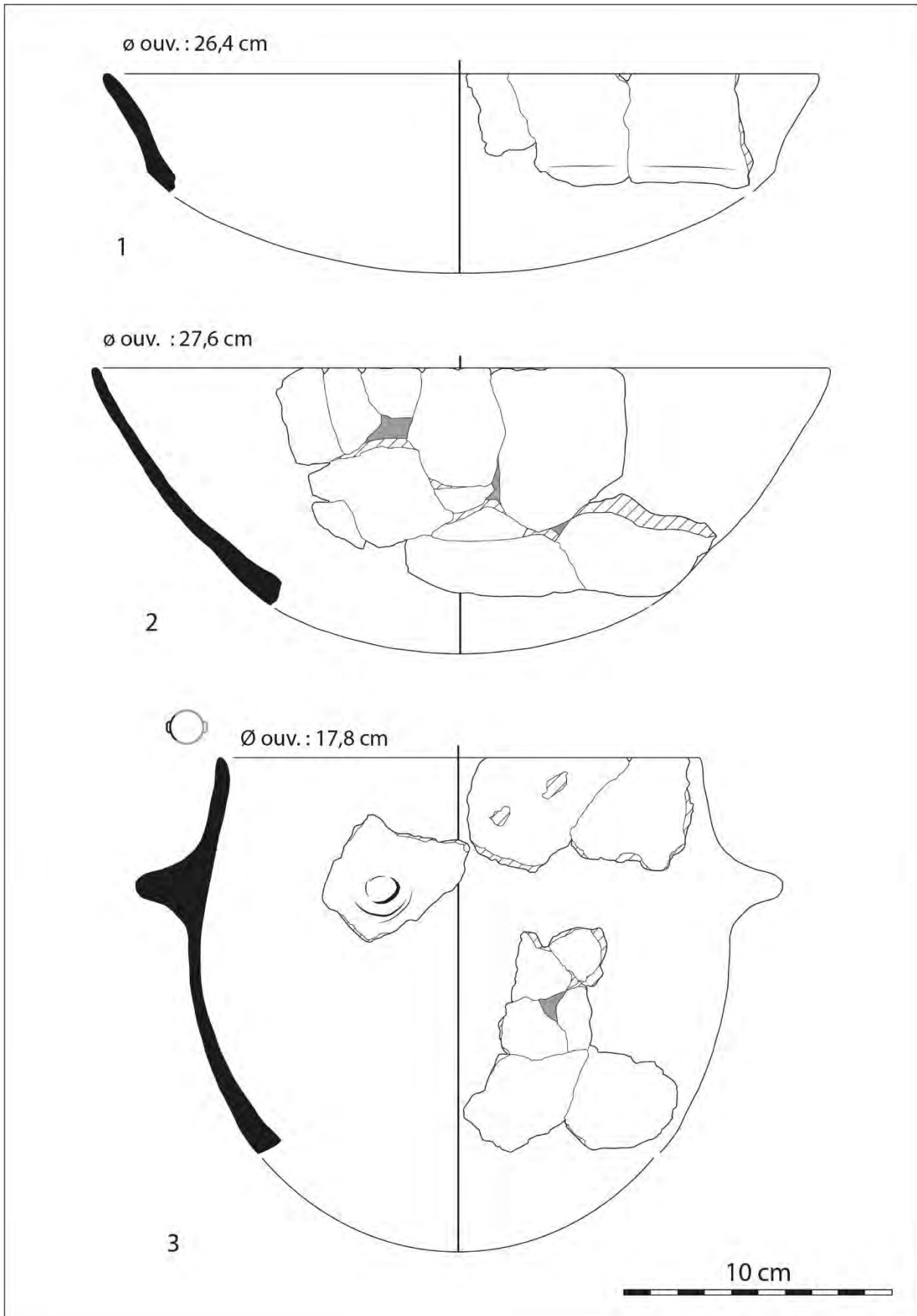


Planche 2 : profils restitués de la fosse FS 5012.

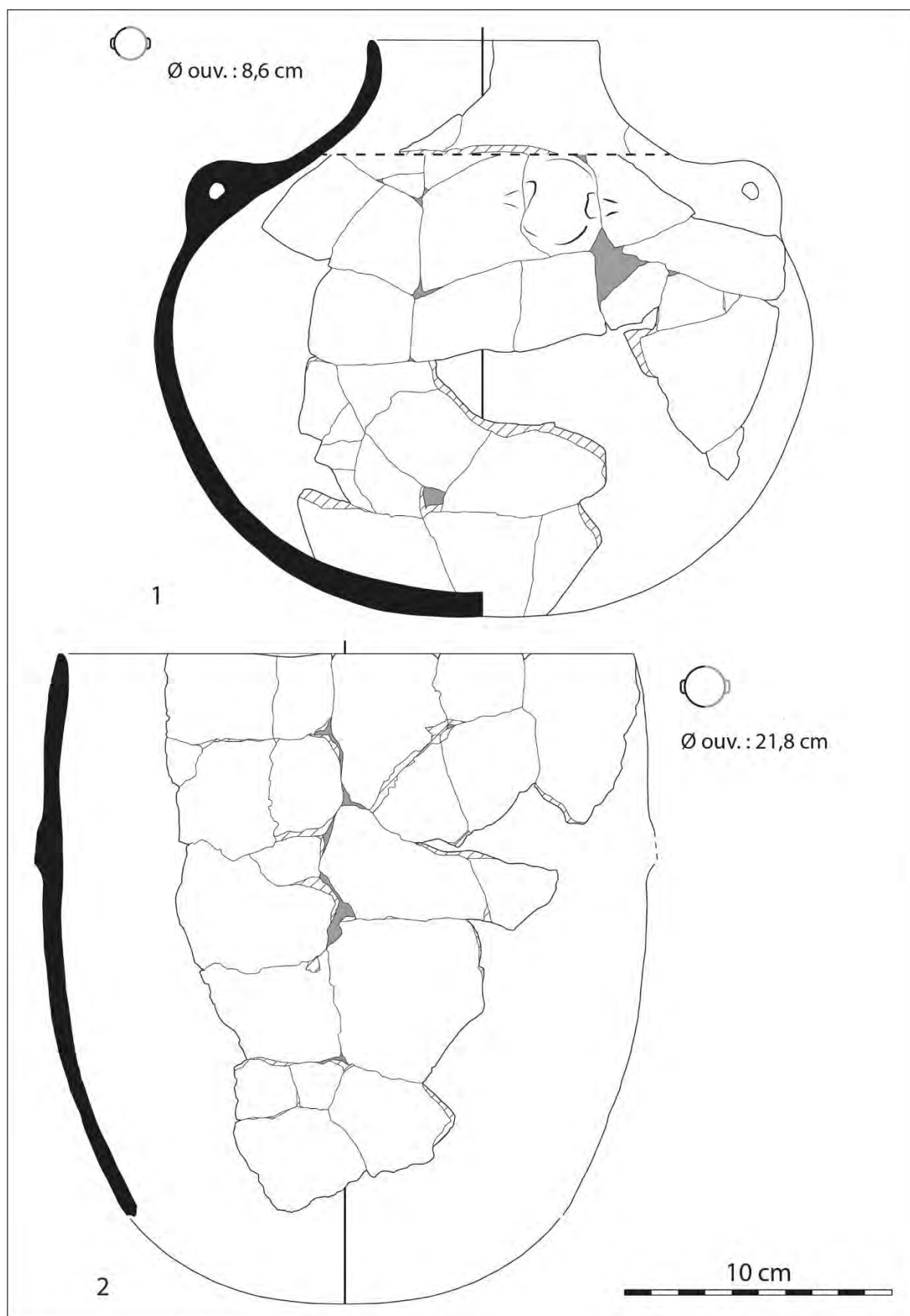


Planche 3 : profils restitués de la fosse FS 5012.

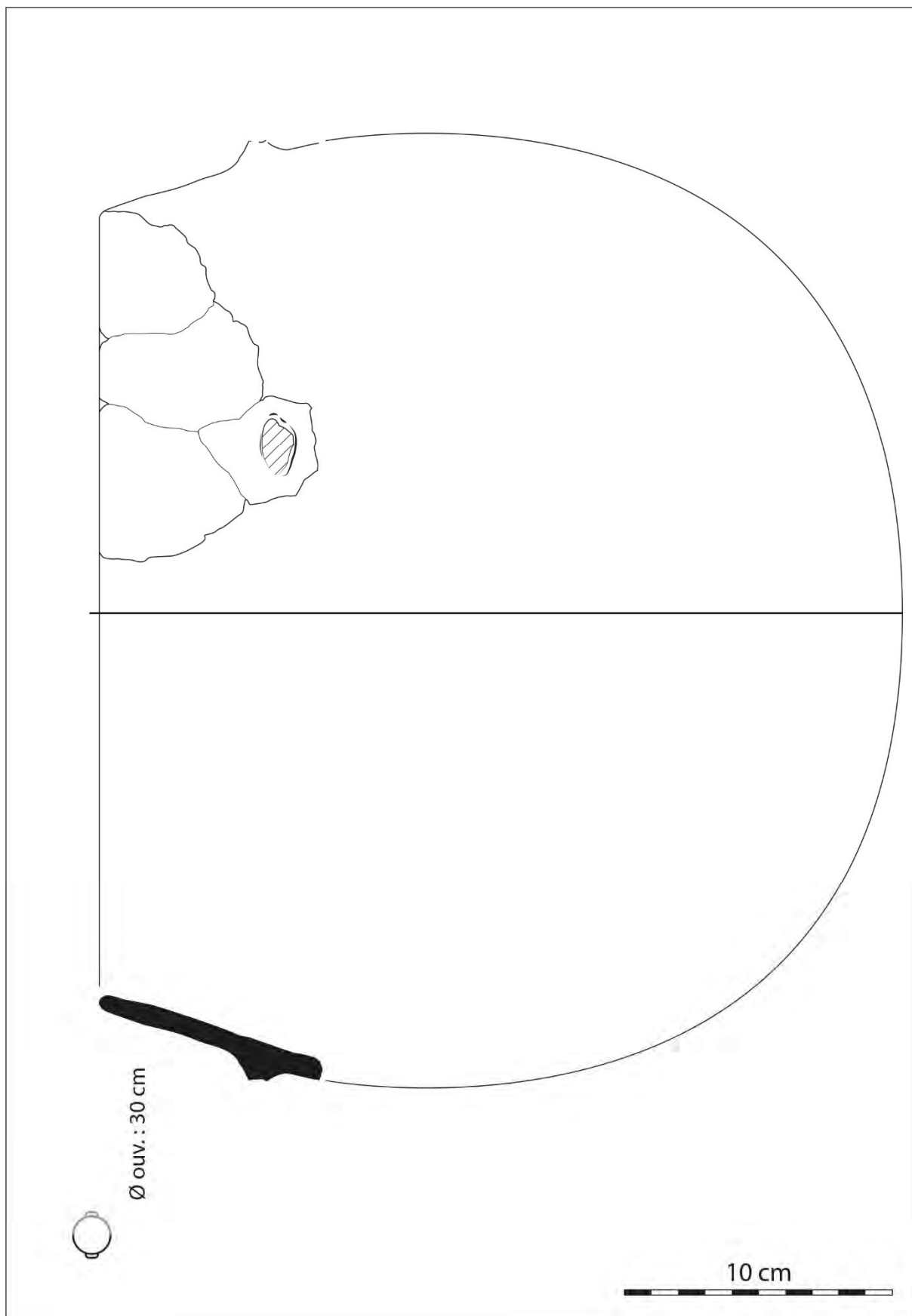


Planche 4 : profil restitué de la fosse FS 5012.

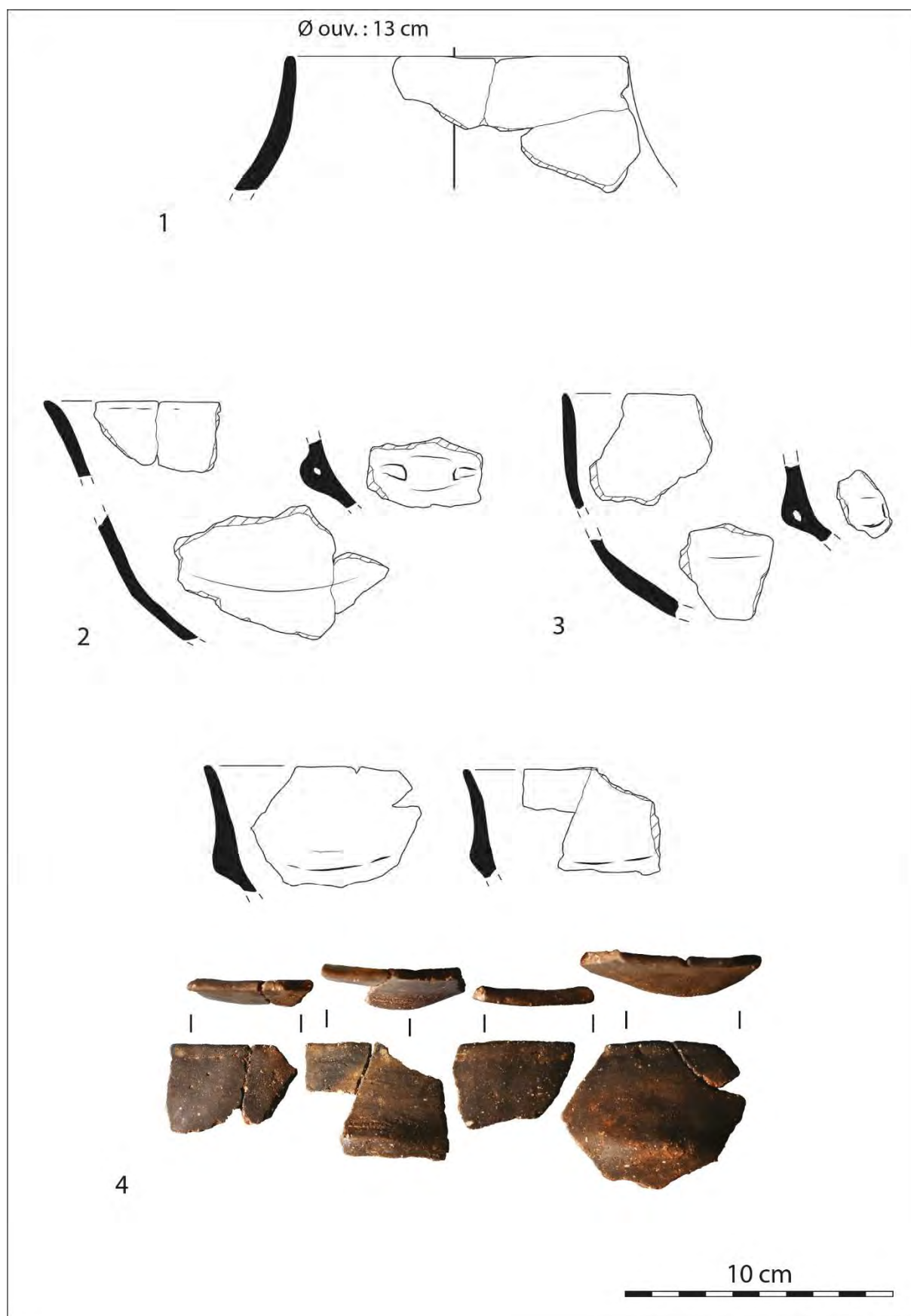


Planche 5 : profil incomplet, éléments de vases et préhensions de la fosse FS 5012.

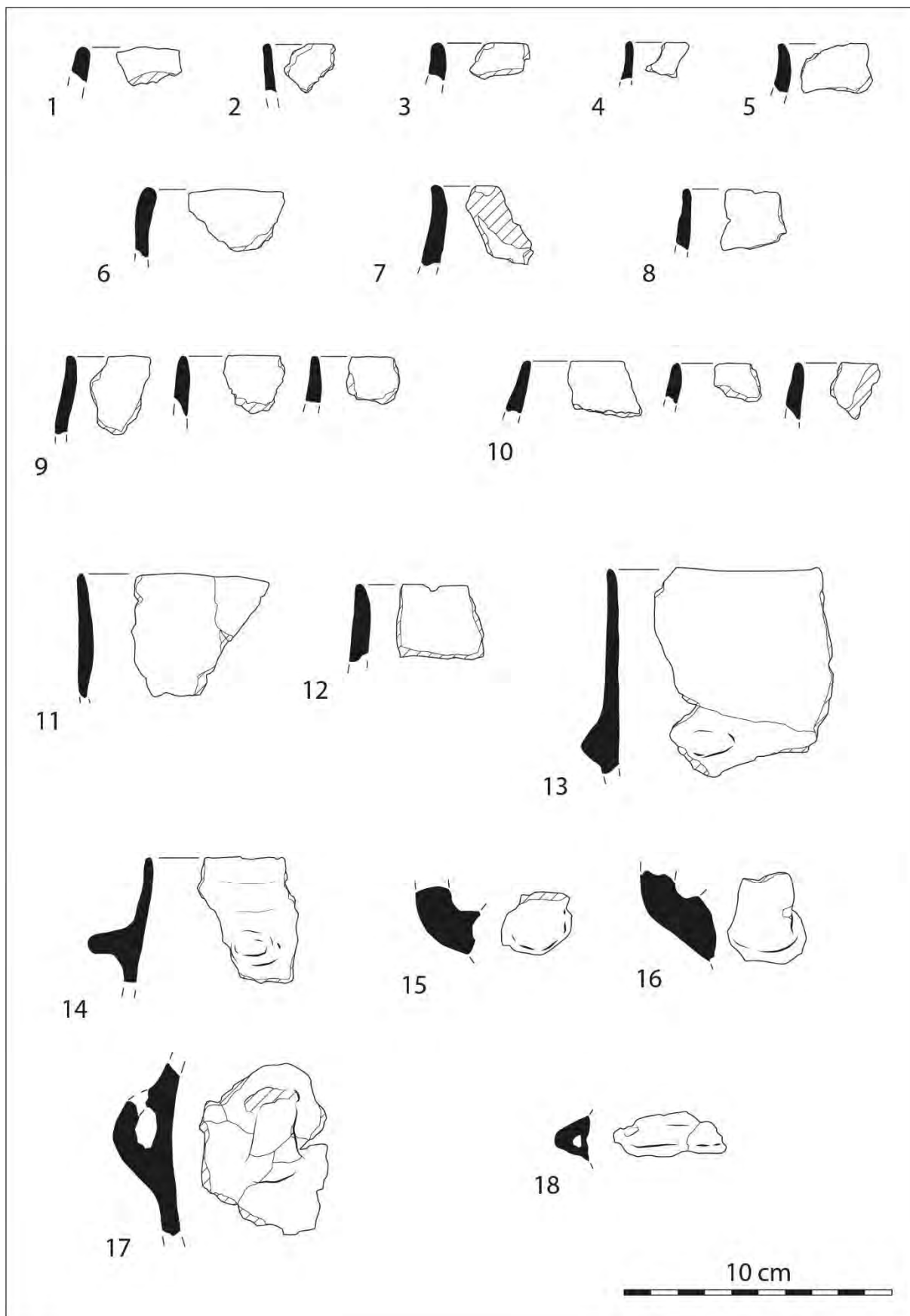


Planche 6 : éléments de vases et préhensions de la fosse FS 5012.

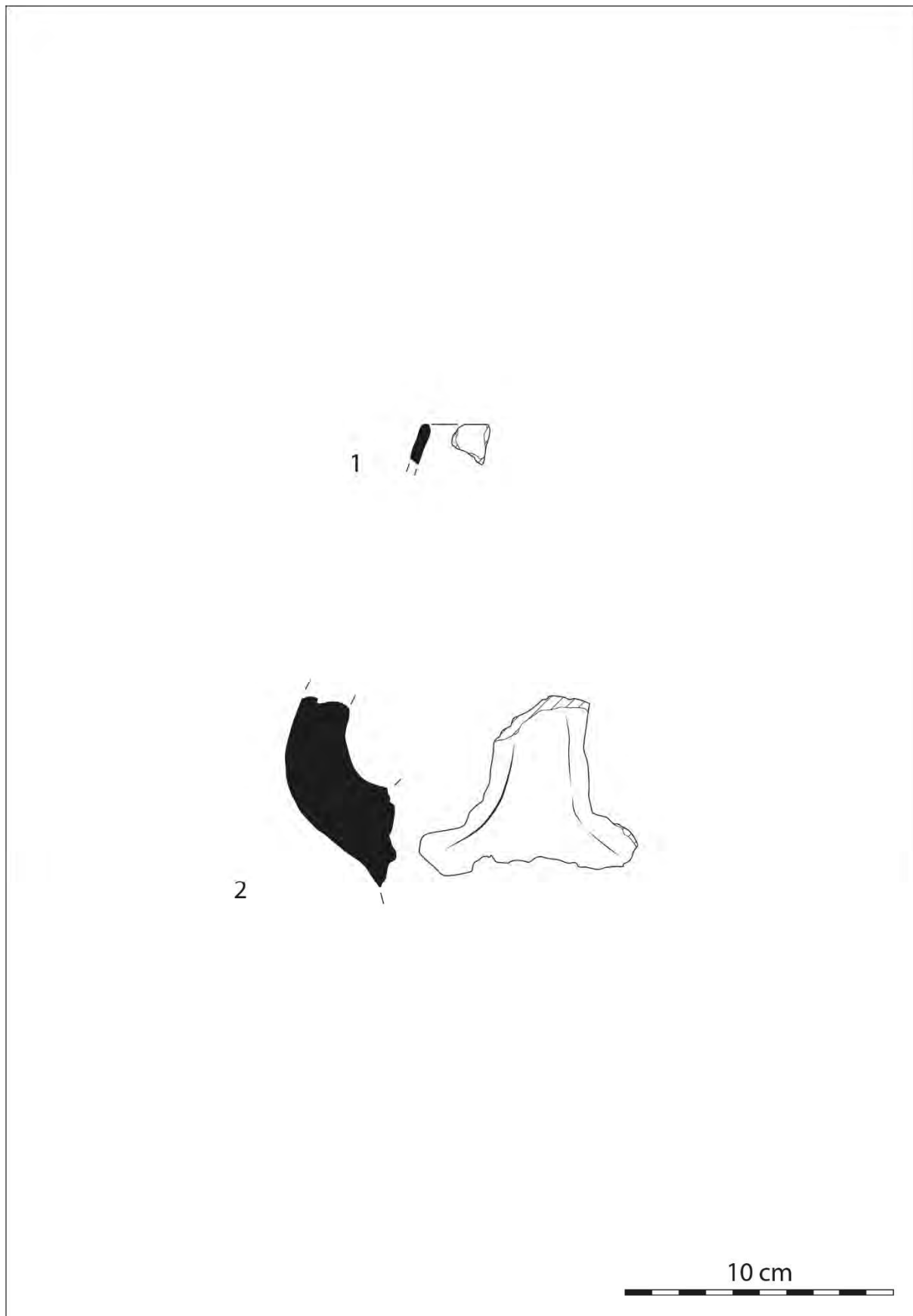


Planche 7 : élément de vase et préhension de la fosse FS 6722.

XIV. La baume de Montclus (Montclus, Gard)

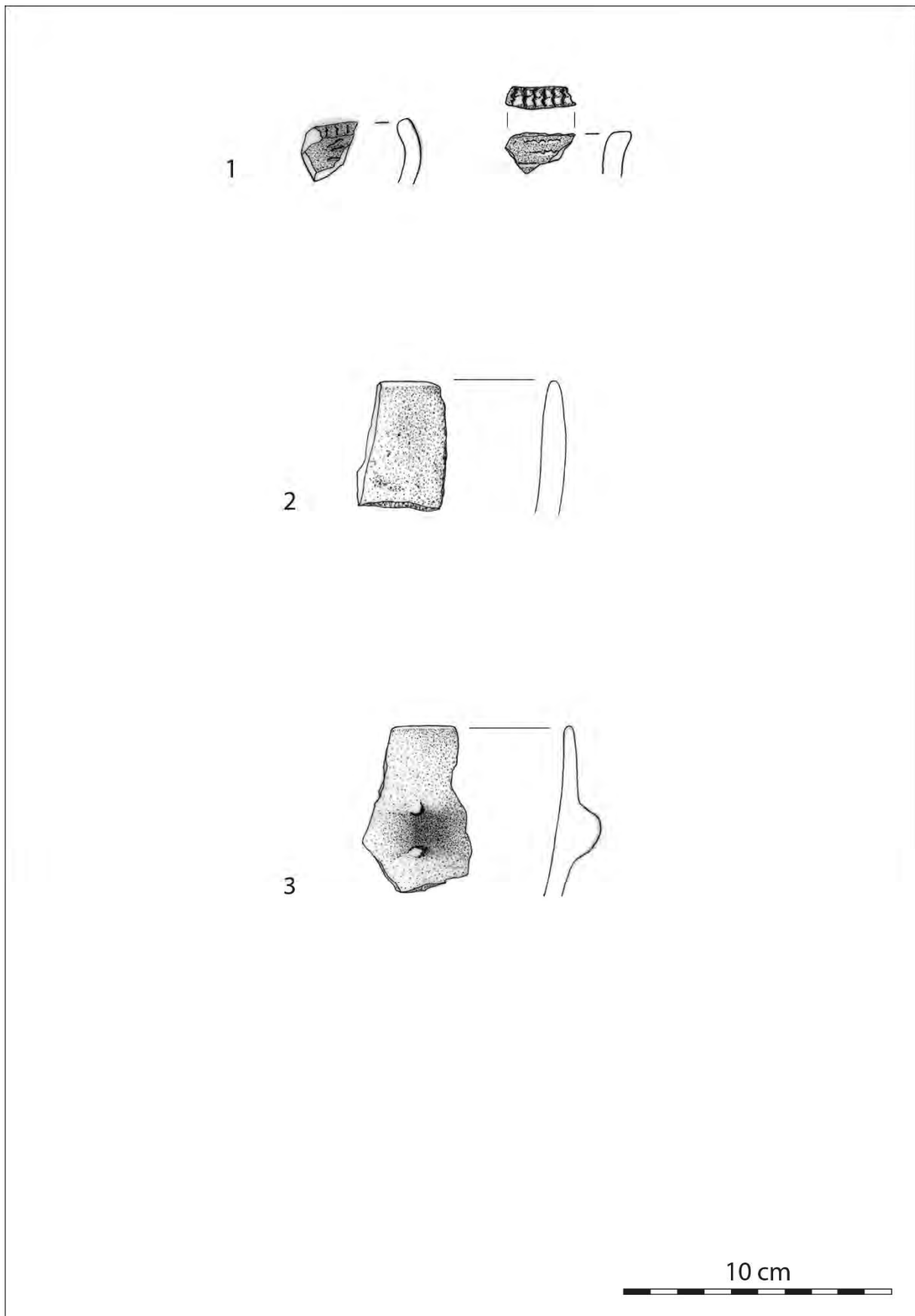


Planche 1 : éléments de vases et décors de la couche C4. Dessins : Sophie Souville.

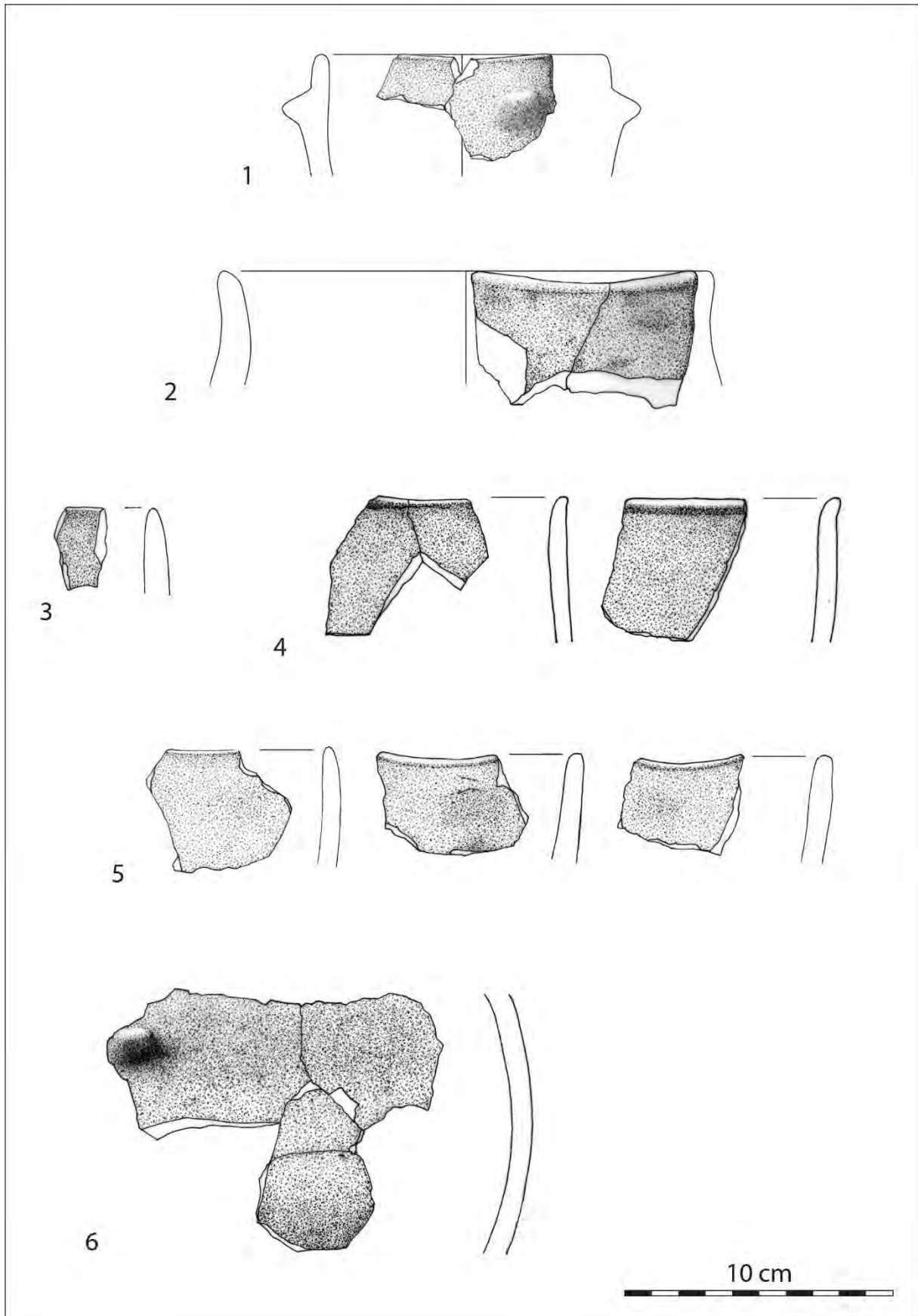


Planche 2 : profils incomplets, éléments de vases et préhensions de la couche C3. Dessins : Sophie Souville.

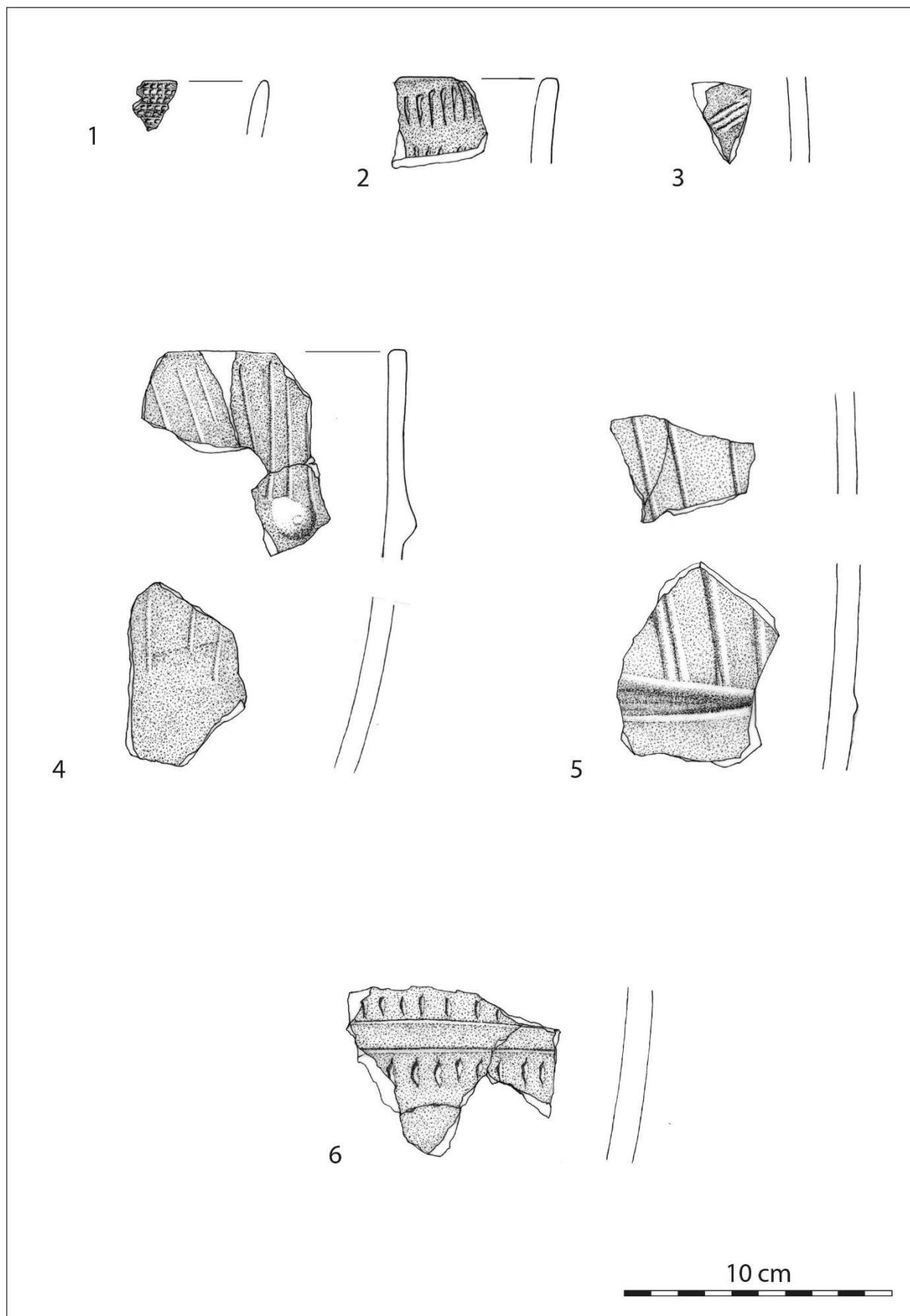


Planche 3 : éléments de vases et décors de la couche C3. Dessins : Sophie Souville.

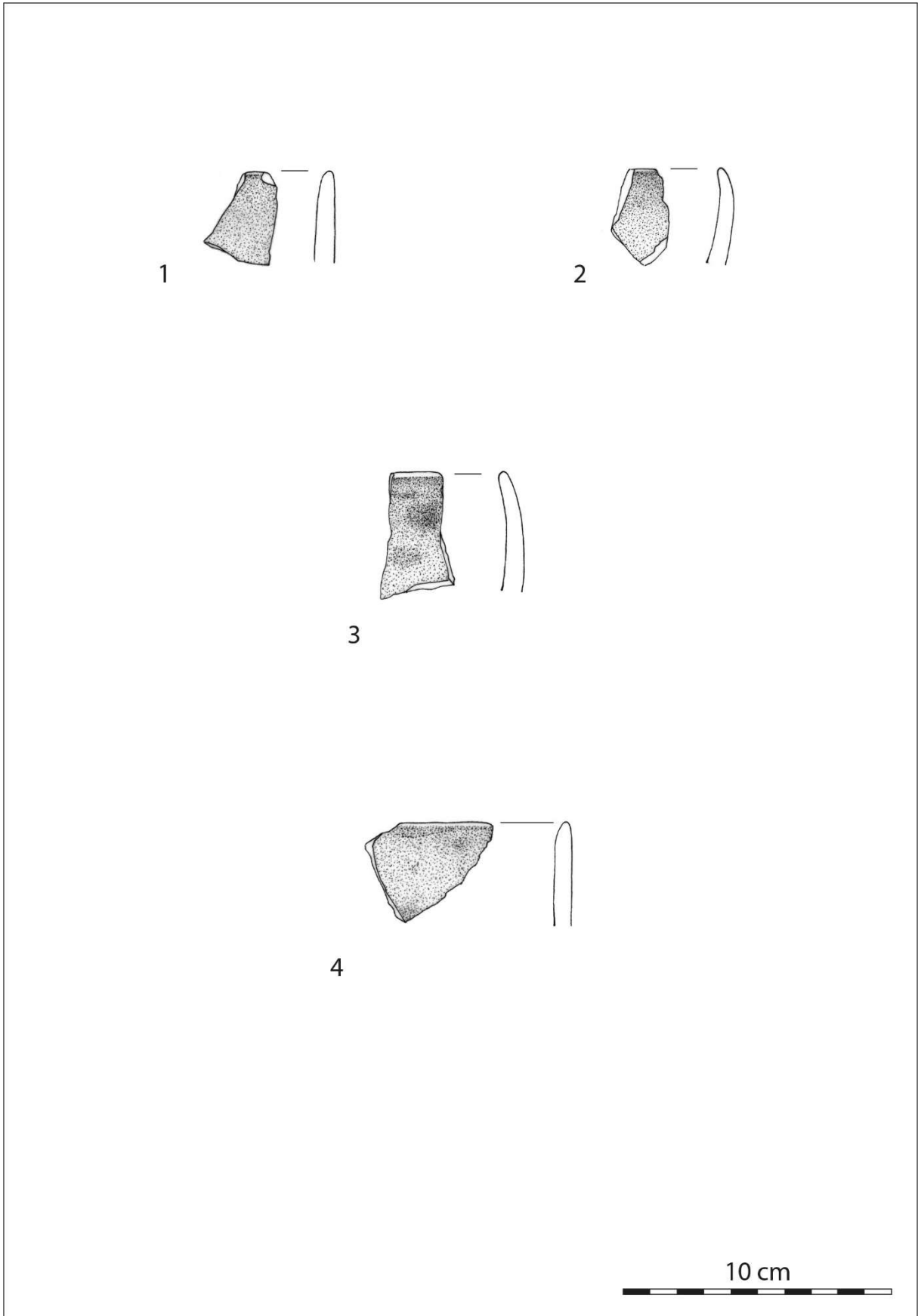


Planche 4 : éléments de vases de la couche C2. Dessins : Sophie Souville.

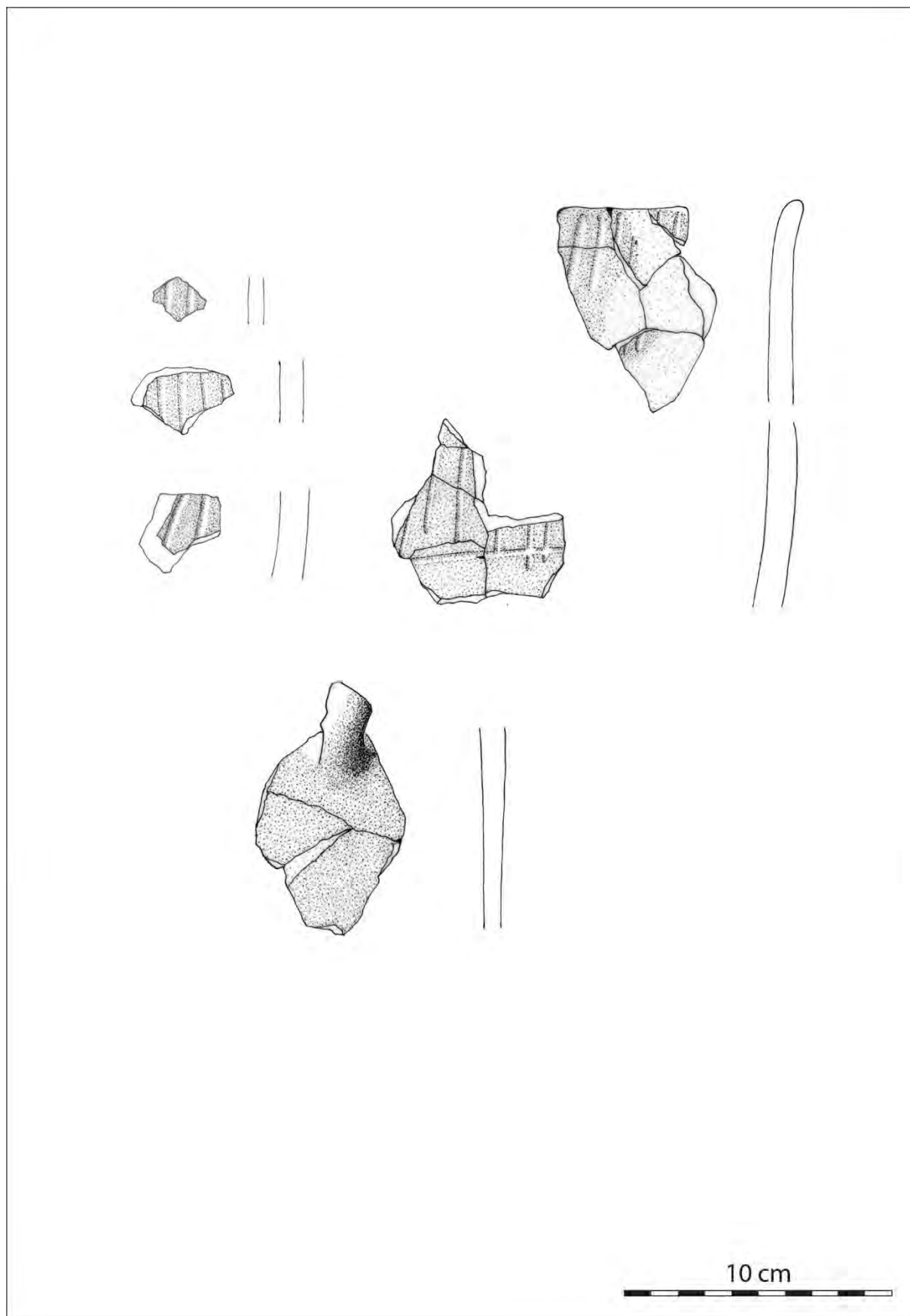


Planche 5 : vase décoré de la Fosse. Dessins : Sophie Souville.

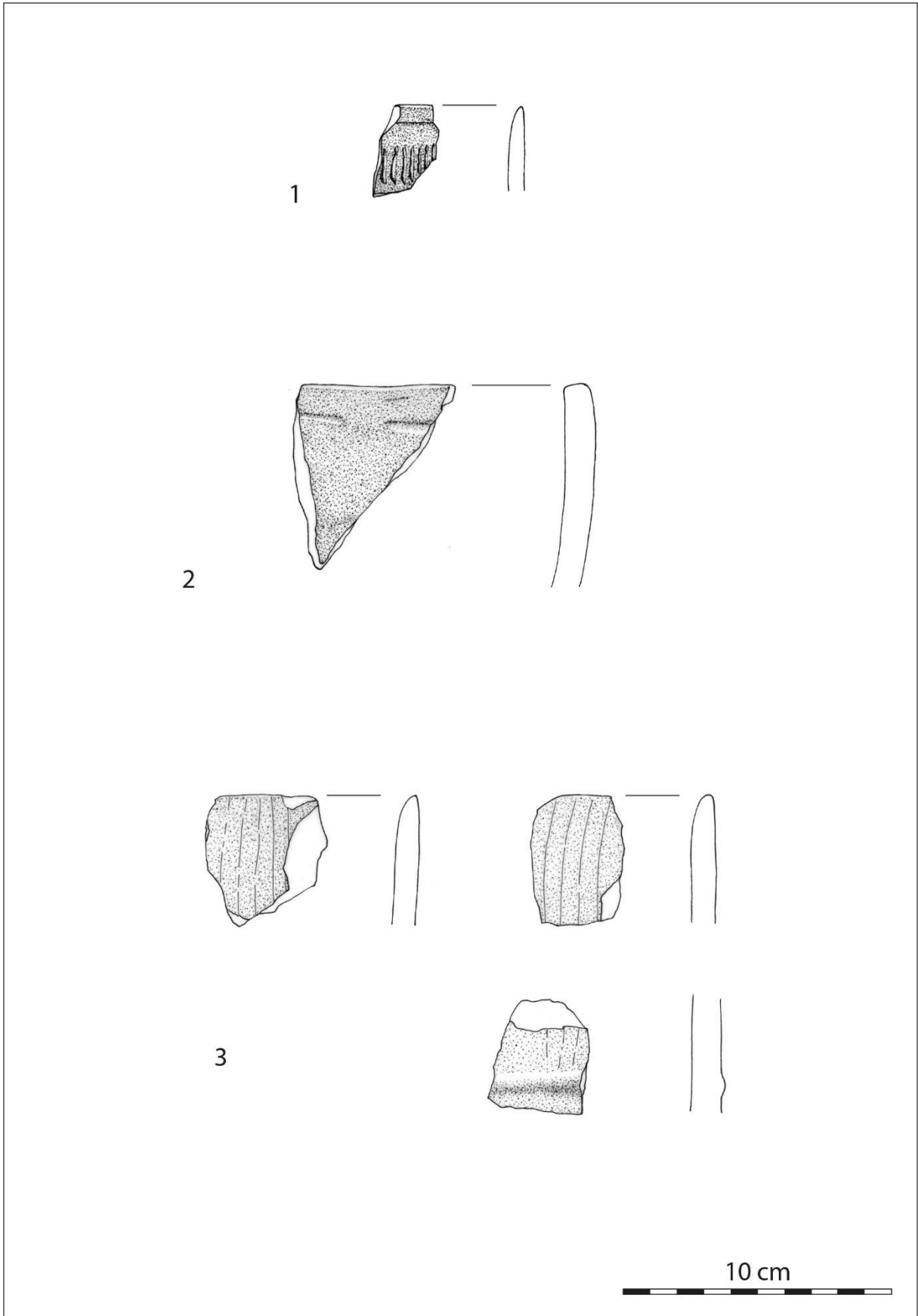


Planche 6 : éléments de vases et décors remaniés. Dessins : Sophie Souville.

XV. Los Cascajos (Los Arcos, Navarre)

Structure	Phase	NR	Structure	Phase	NR	Structure	Phase	NR
Est. 1	Phase 1	69	Est. 145	Phase 1	27	Est. 256	Phase 2	66
Est. 6	Phase 2	94	Est. 147	Phase 1	61	Est. 258	Phase 2	70
Est. 7	Phase 2	76	Est. 149	Phase 1	2	Est. 260	Phase 2	59
Est.10	Phase 2	18	Est. 150	Phase 1	280	Est. 261	Phase 1	16
Est.11	Phase 2	128	Est. 156	Phase 1	4	Est. 264	Phase 2	168
Est.12	Phase 2	58	Est. 159	Phase 2	18	Est. 265	Phase 2	200
Est.13	Phase 2	2	Est. 160	Phase 2	6	Est. 266	Phase 2	134
Est.15	Phase 2	41	Est. 163	Phase 1	110	Est. 267	Phase 2	33
Est.16	Phase 2	216	Est. 164	Phase 1	13	Est. 268	Phase 2	79
Est.17	Phase 2	123	Est. 167	Phase 2	106	Est. 269	Phase 2	62
Est.18	Phase 2	37	Est. 168	Phase 2	72	Est. 352	Phase 2	4
Est. 20	Phase 2	38	Est. 170	Phase 1	4	Est. 353	Phase 2	80
Est. 25	Phase 1	52	Est. 171	Phase 1	15	Est. 357	Phase 1	2
Est. 26	Phase 2	5	Est. 172	Phase 1	9	Est. 369	Phase 1	84
Est. 30	Phase 1	71	Est. 173	Phase 2	37	Est. 373	Phase 2	78
Est. 32	Phase 1	86	Est. 175	Phase 2	118	Est. 374	Phase 2	196
Est. 35	Phase 1	26	Est. 176	Phase 2	100	Est. 375	Phase 2	24
Est. 36	Phase 1	43	Est. 177	Phase 2	133	Est. 376	Phase 2	212
Est. 39	Phase 2	65	Est. 178	Phase 2	44	Est. 379	Phase 2	140
Est. 40	Phase 2	5	Est. 182	Phase 1	3	Est. 390	Phase 2	38
Est. 41	Phase 2	117	Est. 183	Phase 1	14	Est. 392	Phase 2	124
Est. 42	Phase 2	73	Est. 184	Phase 2	152	Est. 394	Phase 2	369
Est. 43	Phase 1	35	Est. 186	Phase 2	71	Est. 398	Phase 1	22
Est. 44	Phase 2	27	Est. 187	Phase 1	23	Est. 402	Phase 2	167
Est. 46	Phase 2	106	Est. 189	Phase 1	20	Est. 403	Phase 1	3
Est. 47	Phase 2	55	Est. 190	Phase 2	115	Est. 404	Phase 2	74
Est. 49	Phase 1	5	Est. 192	Phase 2	14	Est. 405	Phase 2	30
Est. 51	Phase 1	71	Est. 193	Phase 2	339	Est. 461	Phase 1	6
Est. 54	Phase 2	95	Est. 194	Phase 1	3	Est. 473	Phase 1	128
Est. 55	Phase 1	30	Est. 196	Phase 1	1	Est. 475	Phase 1	45
Est. 56	Phase 2	48	Est. 198	Phase 2	38	Est. 479	Phase 1	7
Est. 58	Phase 1	17	Est. 199	Phase 2	179	Est. 487	Phase 1	4
Est. 59	Phase 2	68	Est. 208	Phase 1	22	Est. 493	Phase 1	244
Est. 60	Phase 1	38	Est. 209	Phase 1	105	Est. 497	Phase 1	127
Est. 61	Phase 2	45	Est. 210	Phase 1	103	Est. 500	Phase 1	51
Est. 62	Phase 1	21	Est. 212	Phase 2	63	Est. 513	Phase 1	62
Est. 64	Phase 1	123	Est. 213	Phase 2	190	Est. 515	Phase 1	112
Est. 65	Phase 2	67	Est. 214	Phase 1	62	Est. 516	Phase 1	183
Est. 66	Phase 1	35	Est. 215	Phase 2	116	Est. 517	Phase 1	26
Est. 67	Phase 1	93	Est. 217	Phase 2	225	Est. 537	Phase 1	3
Est. 70	Phase 1	1	Est. 219	Phase 2	12	Est. 546	Phase 1	19
Est. 71	Phase 2	29	Est. 221	Phase 2	132	Est. 548	Phase 1	272
Est. 72	Phase 1	10	Est. 222	Phase 1	14	Est. 549	Phase 1	97
Est. 73	Phase 1	62	Est. 226	Phase 1	75	Est. 550	Phase 1	75
Est. 79	Phase 1	25	Est. 229	Phase 2	74	Est. 551	Phase 1	228
Est. 82	Phase 2	8	Est. 232	Phase 2	248	Est. 561	Phase 1	22
Est. 91	Phase 2	61	Est. 233	Phase 1	41	Est. 570	Phase 1	24
Est. 92	Phase 2	171	Est. 235	Phase 2	93	Est. 571	Phase 1	17
Est. 95	Phase 2	88	Est. 236	Phase 2	42	Est. 572	Phase 1	221
Est. 96	Phase 2	168	Est. 237	Phase 2	62	Est. 575	Phase 1	4

Est. 98	Phase 2	136	Est. 239	Phase 1	37	Est. 600	Phase 1	89
Est. 99	Phase 2	291	Est. 240	Phase 2	18	Est. 624	Phase 2	97
Est. 102	Phase 2	178	Est. 241	Phase 2	12	Est. 635	Phase 2	376
Est. 105	Phase 2	62	Est. 244	Phase 2	23	Est. 636	Phase 2	261
Est. 107	Phase 2	15	Est. 245	Phase 2	52	Est. 637	Phase 2	144
Est. 109	Phase 2	44	Est. 248	Phase 1	21	Est. 638	Phase 2	61
Est. 112	Phase 2	247	Est. 252	Phase 1	6	Est. 639	Phase 2	284
Est. 137	Phase 2	69	Est. 253	Phase 2	2	Est. 108-110	Phase 1	74
Est. 144	Phase 1	3	Est. 255	Phase 2	82			

Figure 1 : liste des structures attribuées aux phases 1 et 2 de Los Cascajos et décompte du nombre de restes.

Phase	N°	Format	Contour	Ouverture	Profondeur	Type	Appellation	Attributs	Douv	Dpanse	Dmax	Hmax	Vol.	IO	IP
Phase 1	CAS001	Petite marmite	Simple	Rétrécie	Très profond	I.2.c	Sub-ellipsoïdale V		6,9	10,2	10,2	11,8	0,55	68	116
	CAS014	Grande coupe	Simple	Evasée	Peu profond	I.1.a	Hémisphérique		26	20,8	26	5	1,4	125	19
	CAS016	Grande coupe	Simple	Evasée	Peu profond	I.1.a	Hémisphérique	Décor d'incisions	31,8	26,4	31,8	8,8	3,8	120	28
	CAS018	Bol	Simple	Evasée	Profond	I.1.a	Hémisphérique	Départ de préhension	15,8	14	15,8	7,8	1	113	49
	CAS019	Bol	Complexe	Sub-V	Profond	II-B.3.bg	A bord éversé		9,2	9,6	9,6	4,8	0,2	96	50
	CAS026	Bol	Simple	Evasée	Profond	I.1.c	Hémi-ellipsoïdale V	Décor d'impressions	15,6	13	15,6	9,6	1,4	120	62
	CAS033	Bol	Simple	Evasée	Profond	I.1.b	Hémi-ellipsoïdale H	Prise ovulaire non perforée dépassant du bord	13,6	10,8	13,6	5,6	0,5	126	41
	CAS034	Grande Jatte	Simple	Evasée	Profond	I.1.b	Hémi-ellipsoïdale H		39,5	34,4	39,5	16,6	12,5	115	42
	CAS037	Petite marmite	Simple	Evasée	Très profond	I.1.e-i	Hémi-ovoïde inversé	Décor d'application/impressions	15,7	14	15,7	18	4,8	112	115
	CAS042	Petite marmite	Simple	Rétrécie	Très profond	I.2.c	Sub-ellipsoïdale V		10	10,6	10,6	9,2	0,8	94	87
	CAS043	Bol	Simple	Evasée	Profond	I.1.a	Hémisphérique	Anse en ruban unique dépassant du bord	9,2	4,2	9,2	4,6	0,2	219	50
	CAS045	Petite marmite	Simple	Rétrécie	Très profond	I.2.a	Subsphérique	Décor d'incisions, anse en ruban ensellée unique	11,4	14,1	14,1	12	1,3	81	85
	CAS046	Bol	Simple	Sub-V	Profond	I.3.f	Sub-cylindrique		15,8	16,2	16,2	7,6	1	98	47
	CAS049	Bol	Simple	Sub-V	Profond	I.3.f	Sub-cylindrique		16	16,4	16,4	10	1,4	98	61
	CAS054	Bol	Simple	Evasée	Profond	I.1.a	Hémisphérique	Départ de préhension	15,5	14,4	15,5	8	1	108	52
	CAS059	Grande coupe	Simple	Evasée	Peu profond	I.1.b	Hémi-ellipsoïdale H		21,8	18	21,8	6,8	1,4	121	31
	CAS060	Bol	Simple	Evasée	Profond	I.1.a	Hémisphérique		9,6	8,4	9,6	4,6	0,2	114	48
	CAS072	Jatte	Simple	Evasée	Profond	I.1.c	Hémi-ellipsoïdale V		20,3	18	20,3	11,7	2,7	113	58
	CAS078	Bol	Simple	Evasée	Profond	I.1.a	Hémisphérique	Anse en ruban ensellée unique	17,8	16,8	17,8	8,8	1,3	106	49
	CAS080	Jarre	Complexe	Rétrécie	Très profond	II-CO.2.eg	A col éversé	Anse en ruban bilobée	17,2	29	29	35	11,8	59	121
	CAS081	Bol	Simple	Sub-V	Profond	I.3.f	Sub-cylindrique	Prise ovulaire triforée dépassant du bord	9,5	9,3	9,5	5,7	0,3	102	60
CAS090	Jatte	Simple	Evasée	Profond	I.1.b	Hémi-ellipsoïdale H	Décor d'incisions et d'impressions	23,8	19,6	23,8	10,4	3	121	44	
CAS093	Jatte	Simple	Sub-V	Profond	I.3.f	Sub-cylindrique	Décor d'impressions	30,2	29,2	30,2	16,6	8,3	103	55	
CAS096	Jatte	Simple	Evasée	Profond	I.1.b	Hémi-ellipsoïdale H		26,2	22,8	26,2	12,2	4,2	115	47	
CAS103	Petite coupe	Simple	Sub-V	Peu profond	I.3.f	Sub-cylindrique		17,8	18,2	18,2	7,1	1	98	39	
CAS106	Grande marmite	Simple	Rétrécie	Très profond	I.2.e-i	Ovoïde inversé	Cordon imprimé	21,2	24	24	26	13,8	88	108	
CAS110	Jatte	Simple	Evasée	Profond	I.1.b	Hémi-ellipsoïdale H	Décor d'application/incisions/impressions	30,7	24	30,7	14	6,6	128	46	

Productions céramiques et dynamiques des sociétés au V^e millénaire avant notre ère : la transition du Néolithique ancien au Néolithique moyen dans le bassin nord-occidental de la Méditerranée

	CAS111	Petite marmite	Complexe	Rétrécie	Très profond	II-CO.2.bg	A col éversé	Anses en ruban diamétralement opposées	8,5	14,2	14,2	17,5	3,4	60	123
	CAS112	Bol	Simple	Evasée	Profond	I.1.b	Hémi-ellipsoïdale H		17,7	15,6	17,7	9,4	1,6	113	53
	CAS121	Jarre	Complexe	Rétrécie	Très profond	II-CO.2.eg	A col éversé	Cordons orthogonaux, anse en ruban	18,5	31,5	31,5	40,5	25,6	59	129
	CAS132	Jatte	Simple	Evasée	Profond	I.1.c	Hémi-ellipsoïdale V		20	18	20	12,8	3,1	111	64
	CAS138	Bol	Simple	Evasée	Profond	I.1.a	Hémisphérique		19,3	17,6	19,3	9,2	1,8	110	48
	CAS139	Bol	Complexe	Sub-V	Profond	II-B.3.bg	A bord éversé	Décor d'incisions et d'impressions	18,4	18,4	18,4	9,4	2,4	100	51
	CAS140	Bol	Simple	Evasée	Profond	I.1.b	Hémi-ellipsoïdale H	Décor d'incisions et d'impressions	19,4	16,8	19,4	9	1,7	115	46
	CAS141	Jatte	Simple	Evasée	Profond	I.1.b	Hémi-ellipsoïdale H		28,7	26	28,7	12,6	5,1	110	44
	CAS146	Jatte	Complexe	Sub-V	Profond	II-B.3.bg	A bord éversé		28,4	28,4	28,4	18,2	8,9	100	64
	CAS149	Grande coupe	Simple	Evasée	Peu profond	I.1.b	Hémi-ellipsoïdale H	Décor d'impressions	26,3	22	26,3	8,4	2,6	120	32
	CAS160	Bol	Simple	Evasée	Profond	I.1.c	Hémi-ellipsoïdale V		16	14,4	16	9,4	1,4	111	59
	CAS484	Bol	Simple	Evasée	Profond	I.1.a	Hémisphérique		6,4	6	6,4	3,6	0,08	107	56
Phase 2	CAS168	Bol	Simple	Evasée	Profond	I.1.c	Hémi-ellipsoïdale V		14	13,2	14	9	1	106	64
	CAS169	Grande coupe	Simple	Evasée	Peu profond	I.1.b	Hémi-ellipsoïdale H		30	23,2	30	10,4	4,2	129	35
	CAS170	Bol	Simple	Evasée	Profond	I.1.a	Hémisphérique		8	6,8	8	4,4	0,1	118	55
	CAS187	Jatte	Complexe	Sub-V	Profond	II-B.3.ag	A bord éversé		24	23,6	24	14,4	4,8	102	60
	CAS193	Jatte	Simple	Evasée	Profond	I.1.c	Hémi-ellipsoïdale V		20	18	20	11,6	2,6	111	58
	CAS195	Jatte	Complexe	Evasée	Profond	II-G.1.bg	Tulipiforme		30,4	27,2	30,4	12,4	5,5	112	41
	CAS215	Jatte	Simple	Evasée	Profond	I.1.c	Hémi-ellipsoïdale V		20	18,8	20	12	2,3	106	60
	CAS218	Bol	Simple	Evasée	Profond	I.1.b	Hémi-ellipsoïdale H		15,6	13,6	15,6	6,4	0,7	115	41
	CAS219	Bol	Simple	Evasée	Profond	I.1.a	Hémisphérique		13,6	12	13,6	6,6	0,6	113	49
	CAS232	Jarre	Complexe	Rétrécie	Très profond	II-CO.2.ef	A col droit	Départ de préhension	16,8	33,2	33,2	39	21	51	117
	CAS235	Bol	Simple	Rétrécie	Profond	I.2.c	Sub-ellipsoïdale V		10,8	12	12	8,8	0,6	90	73
	CAS241	Petite coupe	Simple	Evasée	Peu profond	I.1.b	Hémi-ellipsoïdale H		13,6	11,2	13,6	5	0,4	121	37
	CAS242	Grande Jatte	Simple	Evasée	Profond	I.1.b	Hémi-ellipsoïdale H	Lèvre imprimée	42	38,4	42	18,4	16	109	44
	CAS243	Grande Jatte	Complexe	Evasée	Profond	II-G.1.bg	Tulipiforme		40	34	40	19	15,5	118	48
	CAS244	Jatte	Simple	Rétrécie	Profond	I.2.a	Subsphérique	Prise arrondie non perforée	20	21,2	21,2	15	4,1	94	71
	CAS250	Jatte	Simple	Evasée	Profond	I.1.c	Hémi-ellipsoïdale V		20	17,6	20	15	4,1	114	75
	CAS251	Bol	Simple	Sub-V	Profond	I.3.f	Sub-cylindrique		18,4	18,4	18,4	11,2	2,2	100	61
	CAS252	Jatte	Simple	Evasée	Profond	I.1.b	Hémi-ellipsoïdale H		24	19,6	24	11,4	3,3	122	48
	CAS253	Jatte	Simple	Sub-V	Profond	I.3.f	Sub-cylindrique		28	28,8	28,8	16,4	7,4	97	57
	CAS256	Jatte	Simple	Evasée	Profond	I.1.c	Hémi-ellipsoïdale V		24	20,8	24	13,6	4,3	115	57
	CAS261	Grande Jatte	Simple	Evasée	Profond	I.1.a	Hémisphérique		44	38,8	44	22,2	22,6	113	50
	CAS264	Petite coupe	Simple	Evasée	Peu profond	I.1.b	Hémi-ellipsoïdale H		18	14,4	18	7	1,1	125	39
	CAS267	Jatte	Complexe	Sub-V	Profond	II-B.3.bg	A bord éversé	Prise ovale non perforée	20	20	20	10	2,1	100	50
	CAS269	Jatte	Simple	Evasée	Profond	I.1.b	Hémi-ellipsoïdale H		22,8	18,8	22,8	10	2,6	121	44
	CAS272	Jarre	Simple	Evasée	Très profond	I.1.c	Hémi-ellipsoïdale V	Cordon imprimé	46,4	40	46,4	37,4	21,6	116	81
	CAS275	Bol	Simple	Evasée	Profond	I.1.c	Hémi-ellipsoïdale V		14	12,8	14	7,6	0,8	109	54
	CAS276	Jatte	Complexe	Sub-V	Profond	II-B.3.bg	A bord éversé		20	20	20	11,4	2,6	100	57
	CAS277	Jatte	Complexe	Evasée	Profond	II-G.1.bg	Tulipiforme		22	19,6	22	11,2	2,8	112	51
	CAS279	Bol	Simple	Evasée	Profond	I.1.b	Hémi-ellipsoïdale H		16	13,2	16	6,4	0,8	121	40
	CAS280	Grande Jatte	Simple	Evasée	Profond	I.1.c	Hémi-ellipsoïdale V	Anse en ruban	42	39,2	42	21,8	20,5	107	52
CAS281	Bol	Complexe	Evasée	Profond	II-G.1.ag	Tulipiforme		18	16,4	18	7,4	1,1	110	41	
CAS282	Grande marmite	Simple	Sub-V	Très profond	I.3.f	Sub-cylindrique	Départ de préhension	22,4	22,4	22,4	21	9	100	94	

CAS284	Grande Jatte	Complexe	Evasée	Profond	II-G.1.bg	Tulipiforme		40	36,4	40	18,8	15,3	110	47
CAS285	Jatte	Simple	Evasée	Profond	I.1.c	Hémi-ellipsoïdale V		20,4	17,6	20,4	11	2,5	116	54
CAS286	Jatte	Simple	Evasée	Profond	I.1.b	Hémi-ellipsoïdale H		30	24,4	30	13,4	6	123	45
CAS295	Bol	Simple	Evasée	Profond	I.1.c	Hémi-ellipsoïdale V		18	15,6	18	10,2	1,8	115	57
CAS297	Bol	Complexe	Evasée	Profond	II-G.1.cg	Tulipiforme		18	15,6	18	10,4	1,9	115	58
CAS300	Jarre	Complexe	Rétrécie	Très profond	II-CO.2.ef	A col droit	Anse en ruban	15,2	31,6	31,6	38	24,6	48	120
CAS304	Bol	Complexe	Evasée	Profond	II-G.1.cg	Tulipiforme	Prise arrondie non perforée	19,2	16,4	19,2	10,8	2,2	117	56
CAS305	Jatte	Complexe	Sub-V	Profond	II-B.3.ag	A bord éversé		20	19,2	20	11,6	2,6	104	58
CAS309	Bol	Complexe	Sub-V	Profond	II-B.3.bg	A bord éversé		16	15,6	16	8,8	1,2	103	55
CAS310	Jatte	Simple	Evasée	Profond	I.1.a	Hémisphérique		24	20,8	24	12,4	3,8	115	52
CAS311	Jatte	Complexe	Sub-V	Profond	II-B.3.ag	A bord éversé		24,4	23,6	24,4	15	5,3	103	61
CAS314	Bol	Simple	Evasée	Profond	I.1.a	Hémisphérique		16	14	16	7,8	1	114	49
CAS315	Jatte	Complexe	Sub-V	Profond	II-B.3.bg	A bord éversé		26	24,8	26	14,4	5,4	105	55
CAS319	Bol	Simple	Evasée	Profond	I.1.c	Hémi-ellipsoïdale V		12,4	10,4	12,4	7	0,6	119	56
CAS321	Jatte	Simple	Evasée	Profond	I.1.c	Hémi-ellipsoïdale V		34	31,2	34	18,4	11,6	109	54
CAS349	Jarre	Complexe	Rétrécie	Très profond	II-CO.2.ef	A col droit	Cordons courts liés à l'anse en ruban	20,4	32,4	32,4	40,2	32,4	63	124
CAS350	Jatte	Complexe	Evasée	Profond	II-G.1.bg	Tulipiforme	Décor d'incision	20	18	20	10,4	2,2	111	52
CAS355	Jatte	Simple	Sub-V	Profond	I.3.f	Sub-cylindrique		24	25,2	25,2	17,4	6,7	95	69
CAS356	Bol	Complexe	Evasée	Profond	II-G.1.bg	Tulipiforme		18	16,8	18	9,4	1,6	107	52
CAS363	Bol	Complexe	Evasée	Profond	II-G.1.bg	Tulipiforme		18	16,8	18	12,4	2,6	107	69
CAS371	Bol	Simple	Evasée	Profond	I.1.c	Hémi-ellipsoïdale V		14	12,8	14	8,4	1	109	60
CAS387	Jatte	Simple	Evasée	Profond	I.1.c	Hémi-ellipsoïdale V		22	20	22	13	3,6	110	59
CAS397	Bol	Complexe	Evasée	Profond	II-G.1.bg	Tulipiforme		16	14	16	10,2	3,6	114	64
CAS398	Jatte	Simple	Rétrécie	Profond	I.2.b	Sub-ellipsoïdale H		24,8	27,2	27,2	18,6	7	91	68
CAS401	Jatte	Complexe	Evasée	Profond	II-G.1.bg	Tulipiforme		21,2	20	21,2	11,6	2,8	106	55
CAS402	Jatte	Simple	Sub-V	Profond	I.3.f	Sub-cylindrique		22	22,8	22,8	14,6	4,4	96	64
CAS413	Bol	Complexe	Evasée	Profond	II-G.1.bg	Tulipiforme		18	14	18	11	2,1	129	61
CAS414	Bol	Simple	Evasée	Profond	I.1.c	Hémi-ellipsoïdale V		18	16,4	18	11	2,1	110	61
CAS415	Bol	Complexe	Sub-V	Profond	II-B.3.bg	A bord éversé		16	15,6	16	11,6	2	103	73
CAS417	Bol	Simple	Evasée	Profond	I.1.c	Hémi-ellipsoïdale V		14	12,8	14	7,6	0,8	109	54
CAS421	Grande Jatte	Simple	Sub-V	Profond	I.3.f	Sub-cylindrique	Décor d'impressions, fond conique	50	52	52	36	60	96	69
CAS425	Jatte	Complexe	Sub-V	Profond	II-B.3.bg	A bord éversé		20	19,2	20	12,6	3	104	63
CAS428	Bol	Simple	Rétrécie	Profond	I.2.b	Sub-ellipsoïdale H	Anse en ruban unique dépassant du bord	12	14	14	9	0,8	86	64
CAS432	Grande Jatte	Simple	Evasée	Profond	I.1.c	Hémi-ellipsoïdale V		35,6	32,4	35,6	22,4	17	110	63
CAS435	Bol	Simple	Evasée	Profond	I.1.c	Hémi-ellipsoïdale V		18	16	18	9,8	1,7	113	54
CAS437	Grande Jatte	Simple	Rétrécie	Profond	I.2.c	Sub-ellipsoïdale V		36	42	42	33,2	30,7	86	79
CAS439	Grande coupe	Simple	Evasée	Peu profond	I.1.a	Hémisphérique	Lèvre imprimée	42	24	42	12	9,2	175	29
CAS440	Jatte	Simple	Sub-V	Profond	I.3.f	Sub-cylindrique		22	22	22	13,2	3,7	100	60
CAS441	Jatte	Simple	Evasée	Profond	I.1.c	Hémi-ellipsoïdale V		24	21,2	24	13,6	4,4	113	57
CAS444	Jarre	Complexe	Rétrécie	Très profond	II-CO.2.ef	A col droit	Anse en boudin	14	29,2	29,2	34,4	14,5	48	118
CAS449	Jatte	Complexe	Sub-V	Profond	II-B.3.ag	A bord éversé		20	20	20	14,6	4	100	73
CAS450	Bol	Simple	Evasée	Profond	I.1.b	Hémi-ellipsoïdale H		14	12,4	14	6,2	0,6	113	44
CAS456	Jatte	Simple	Sub-V	Profond	I.3.f	Sub-cylindrique		26	25,2	26	13,4	4,8	103	52
CAS457	Jatte	Complexe	Rétrécie	Profond	II-B.2.bf	A bord redressé		20	21,2	21,2	10,2	2,2	94	48

Productions céramiques et dynamiques des sociétés au V^e millénaire avant notre ère : la transition du Néolithique ancien au Néolithique moyen dans le bassin nord-occidental de la Méditerranée

CAS458	Bol	Complexe	Sub-V	Profond	II-B.3.bg	A bord éversé		12	12	12	6,4	0,5	100	53
CAS459	Jatte	Complexe	Sub-V	Profond	II-B.3.bg	A bord éversé		20	20	20	10	2	100	50
CAS461	Grande Jatte	Simple	Evasée	Profond	I.1.c	Hémi-ellipsoïdale V	Décor d'impressions	47,6	40	47,6	24,4	29,3	119	51
CAS477	Bol	Complexe	Evasée	Profond	II-G.1.bg	Tulipiforme		14	12,8	14	6,4	0,6	109	46
CAS478	Bol	Simple	Evasée	Profond	I.1.a	Hémisphérique		16	14,8	16	7,6	1	108	48
CAS480	Bol	Complexe	Sub-V	Profond	II-B.3.bg	A bord éversé		16	15,2	16	8,2	1,1	105	51

Figure 2 : tableau récapitulatif des caractéristiques morphométriques des profils archéologiquement complets (Paroi : Moy. = épaisseur moyenne, Ep. = paroi épaisse ; Douv = Diamètre à l'ouverture, Dpanse = Diamètre de la panse, Hmax = Hauteur maximum en cm ; Vol. = Volume en litres ; IO = Indice d'ouverture, IP = Indice de profondeur).

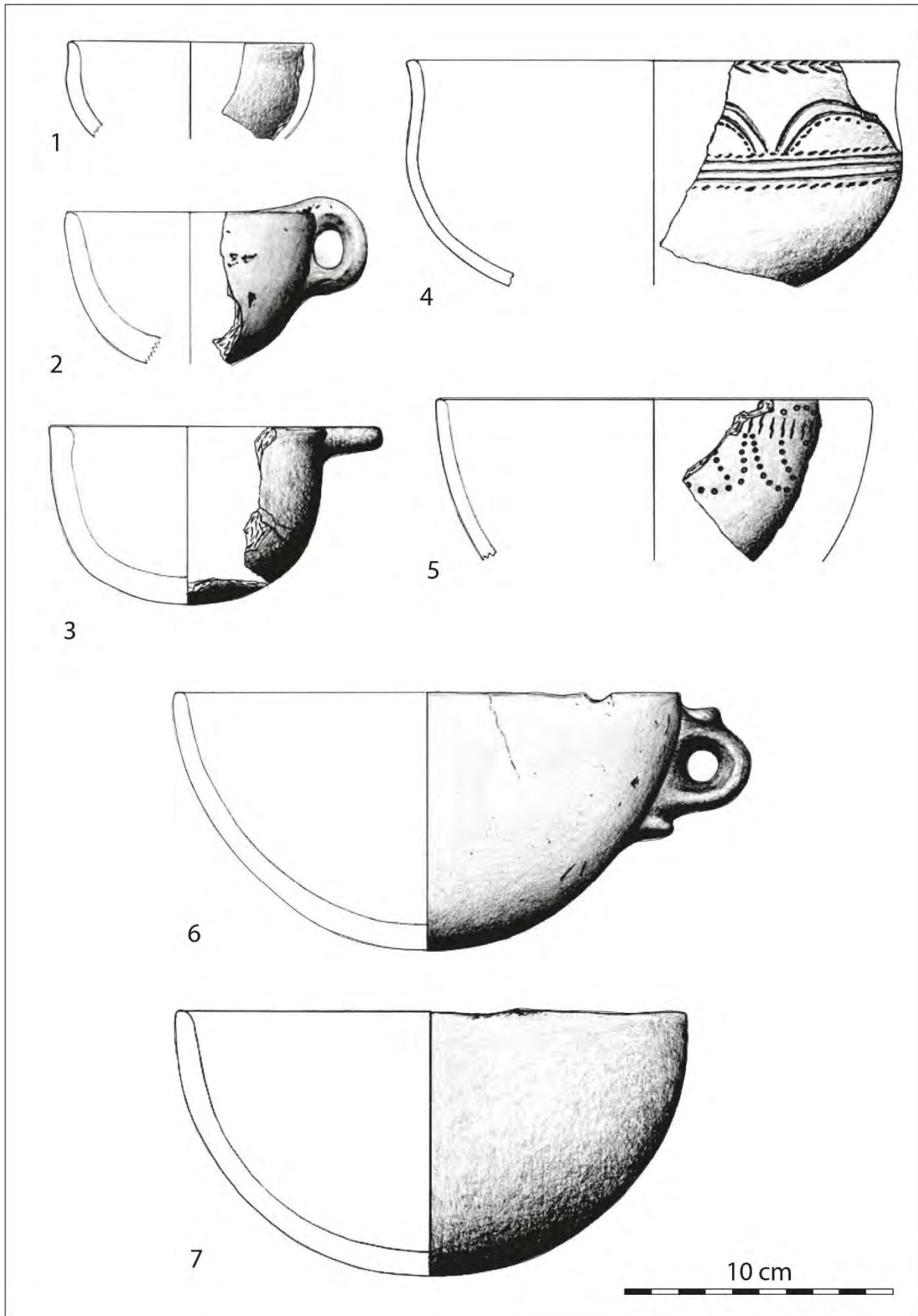


Planche 1 : profils restitués de la phase 1 (Bols). Dessins : J. García Gazólaz/J. Sesma Sesma.

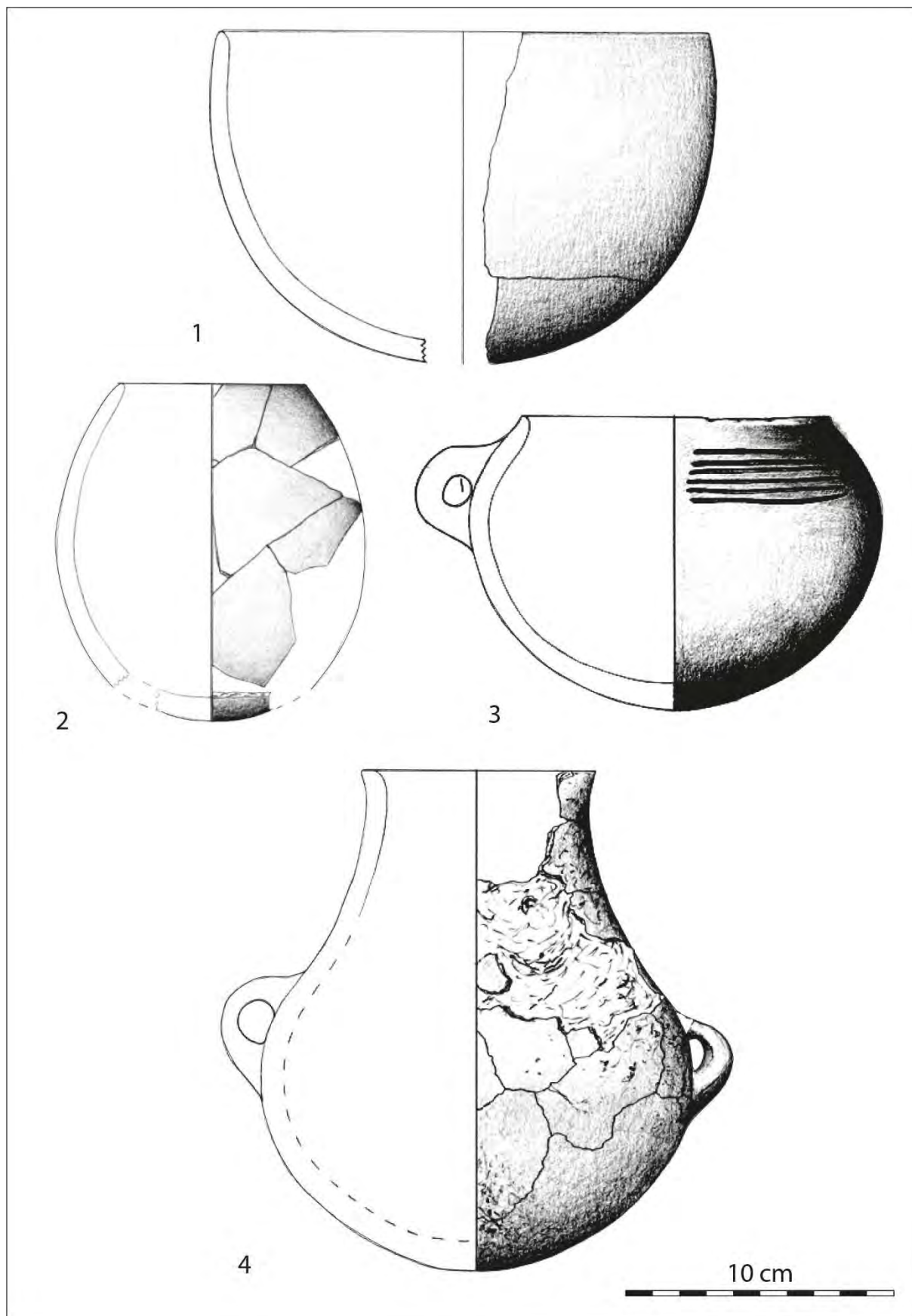


Planche 2 : profils restitués de la phase 1 (bol et petites marmites). Dessins : J. García Gazólaz/J. Sesma Sesma.

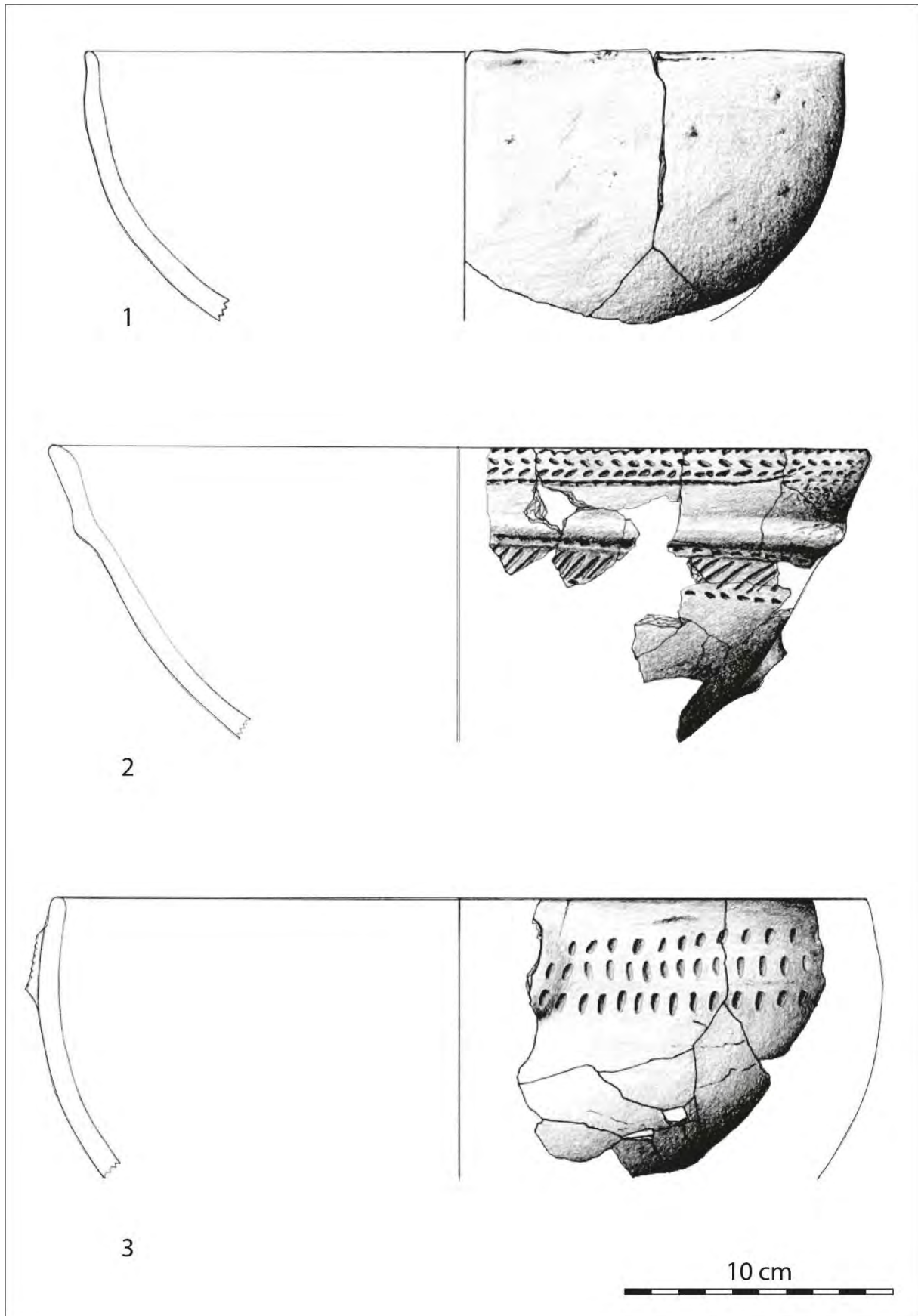


Planche 3 : profils restitués de la phase 1 (jattes). Dessins : J. García Gazólaz/J. Sesma Sesma.

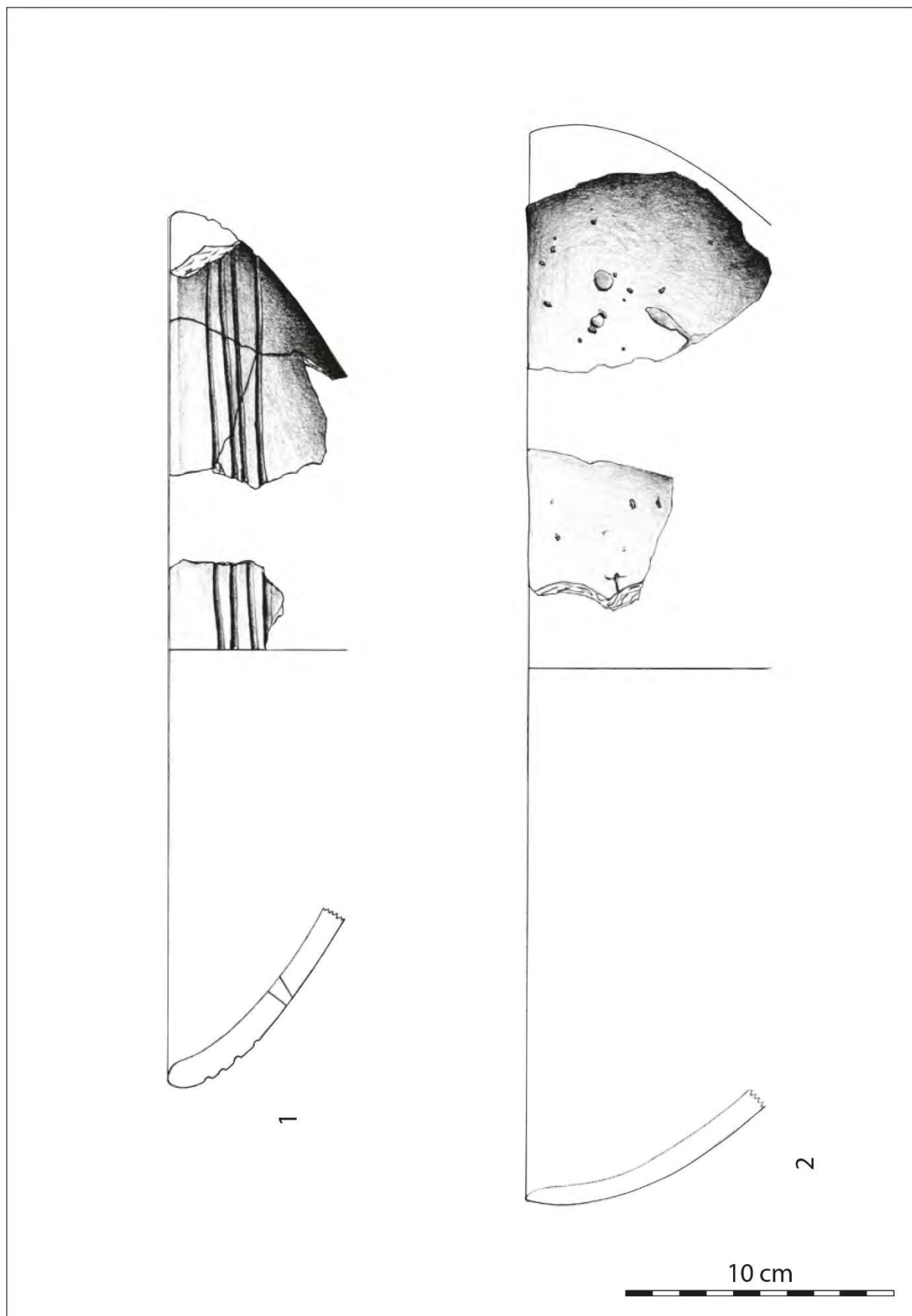


Planche 4 : profils restitués de la phase 1 (grandes coupes). Dessins : J. García Gazólaz/J. Sesma Sesma.

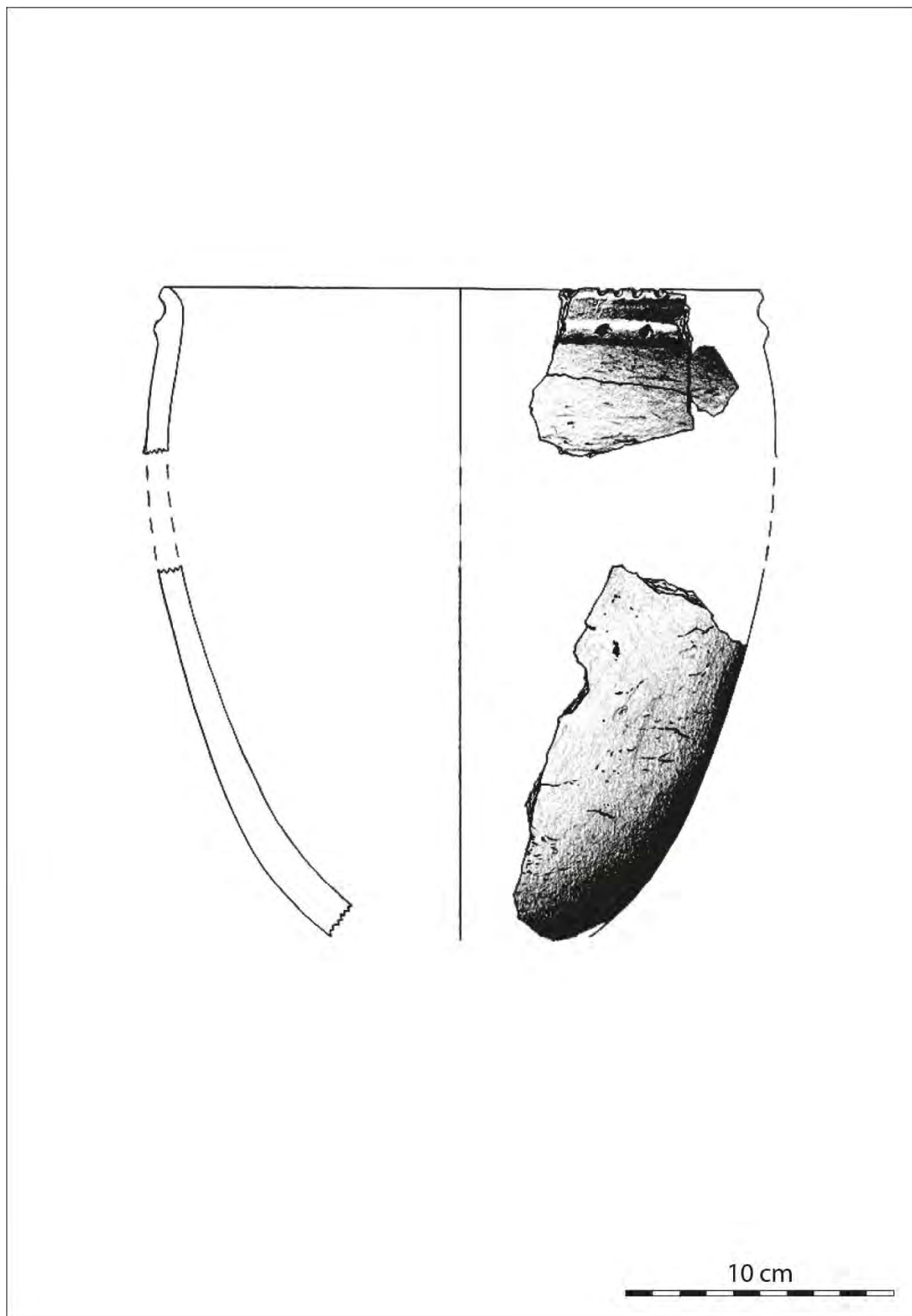


Planche 5 : profil restitué de la phase 1 (grande marmite). Dessins : J. García Gazólaz/J. Sesma Sesma.

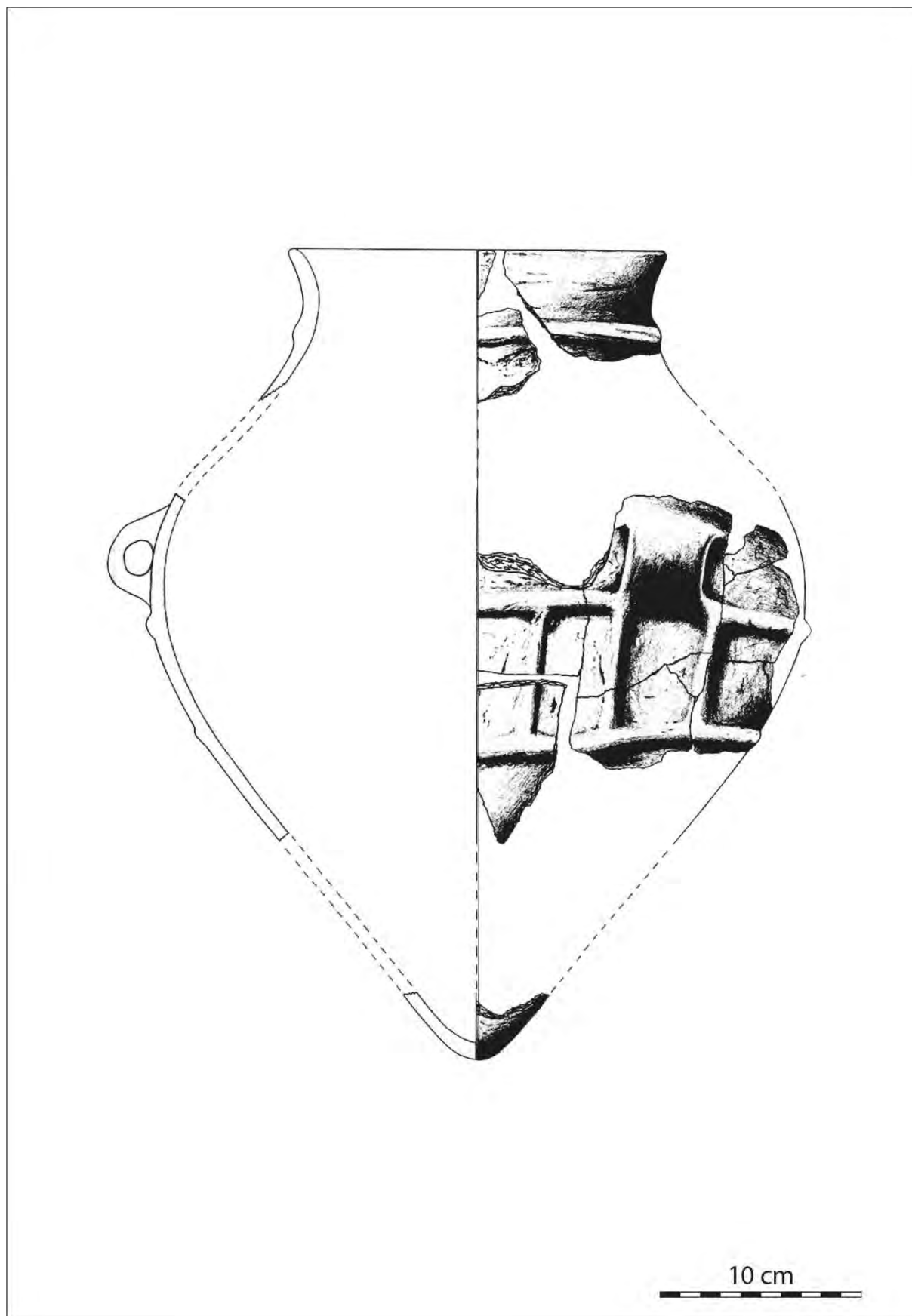


Planche 6 : profil restitué de la phase 1 (jarre). Dessins : J. García Gazólaz/J. Sesma Sesma.

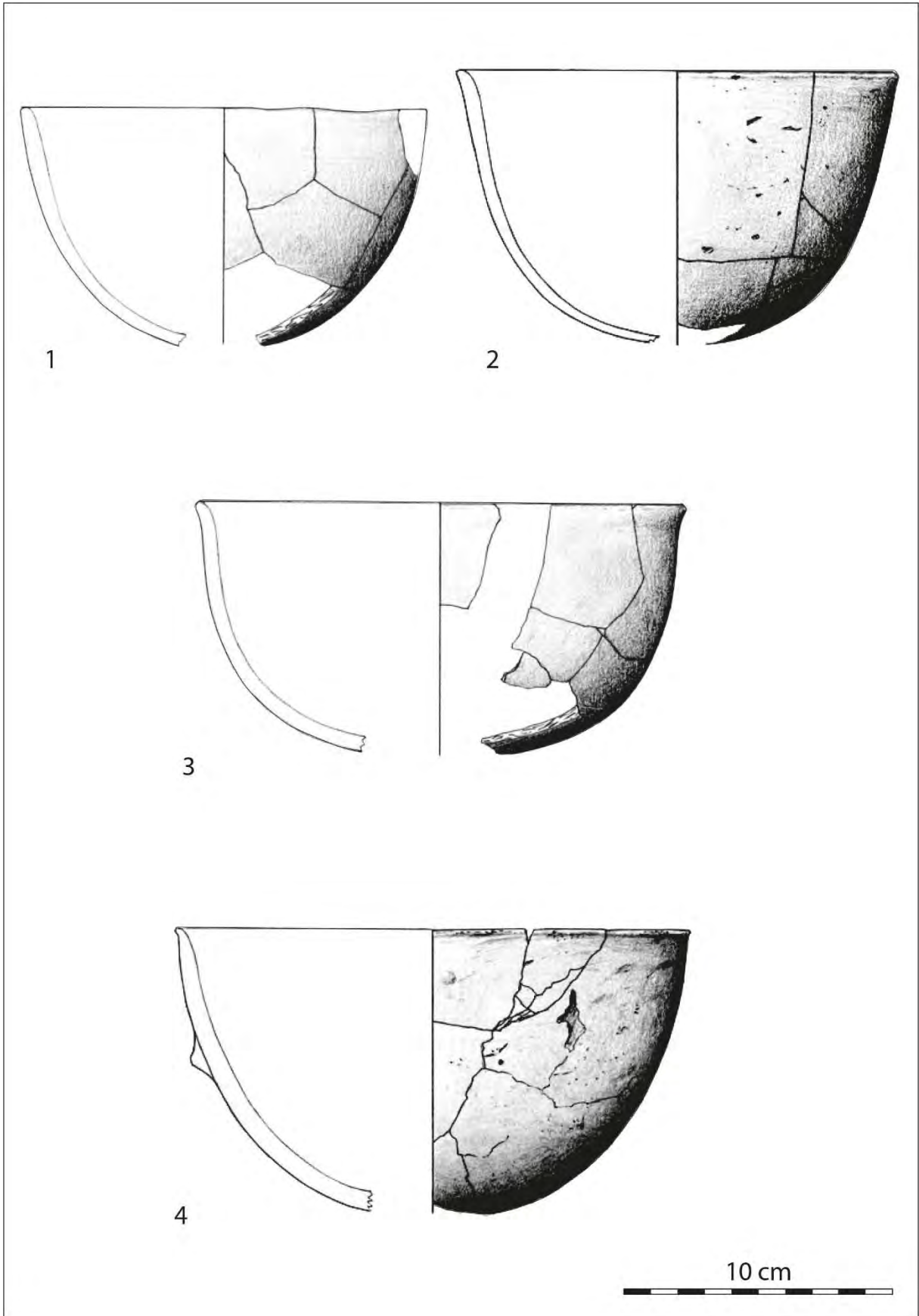


Planche 7 : profils restitués de la phase 2 (bols). Dessins : J. García Gazólaz/J. Sesma Sesma.

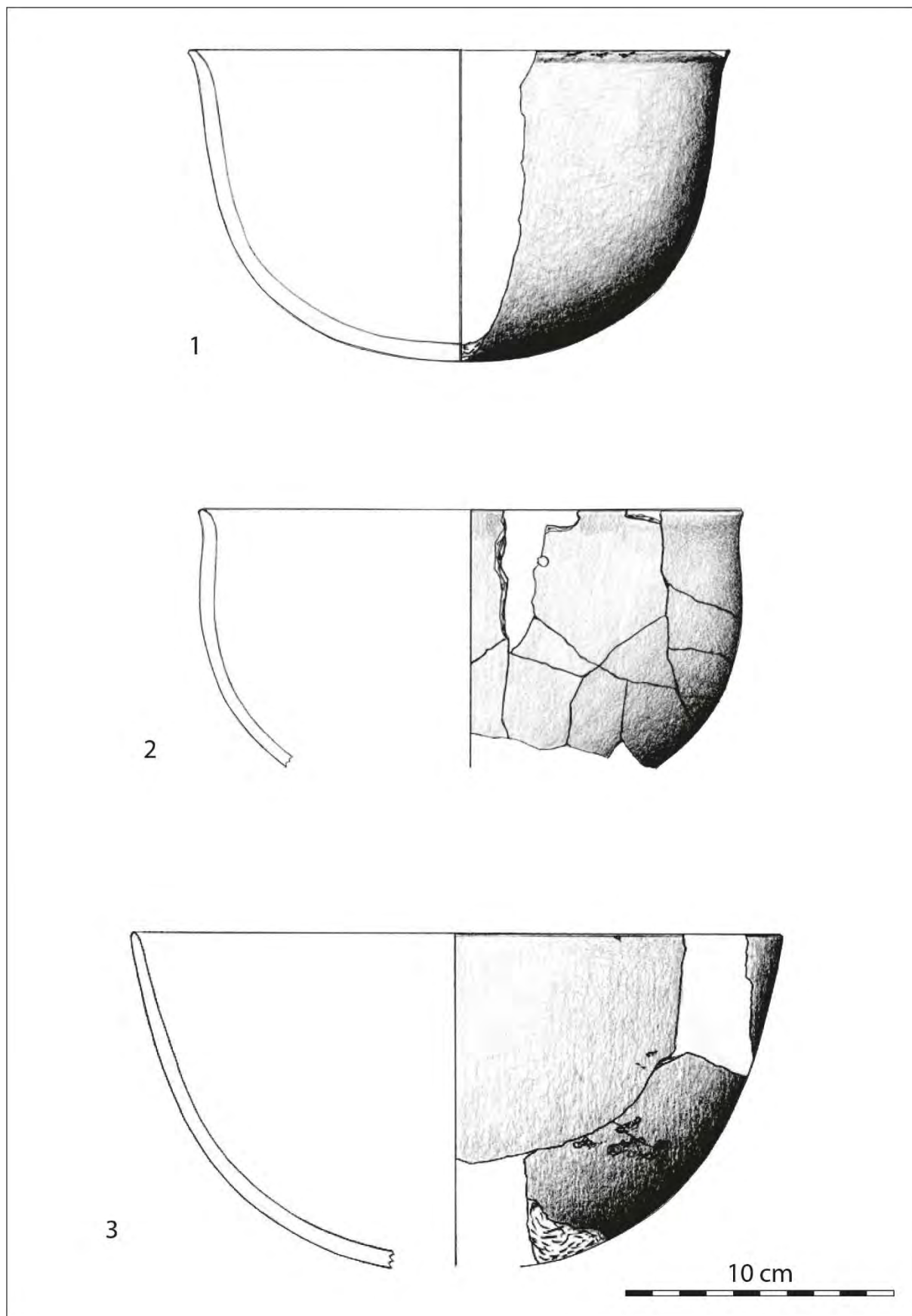


Planche 8 : profils restitués de la phase 2 (jattes). Dessins : J. García Gazólaz/J. Sesma Sesma.

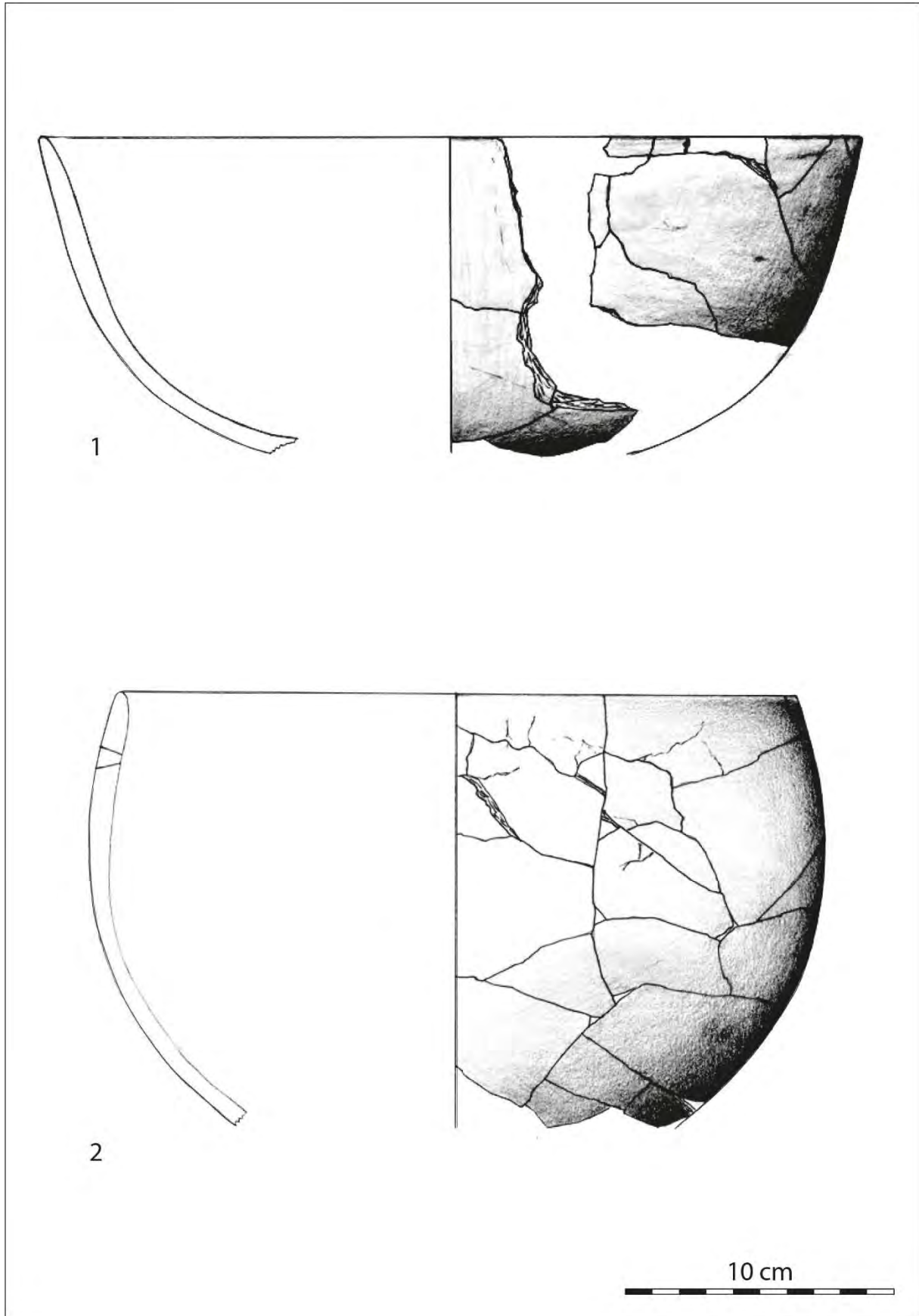


Planche 9 : profils restitués de la phase 2 (jattes). Dessins : J. García Gazólaz/J. Sesma Sesma.

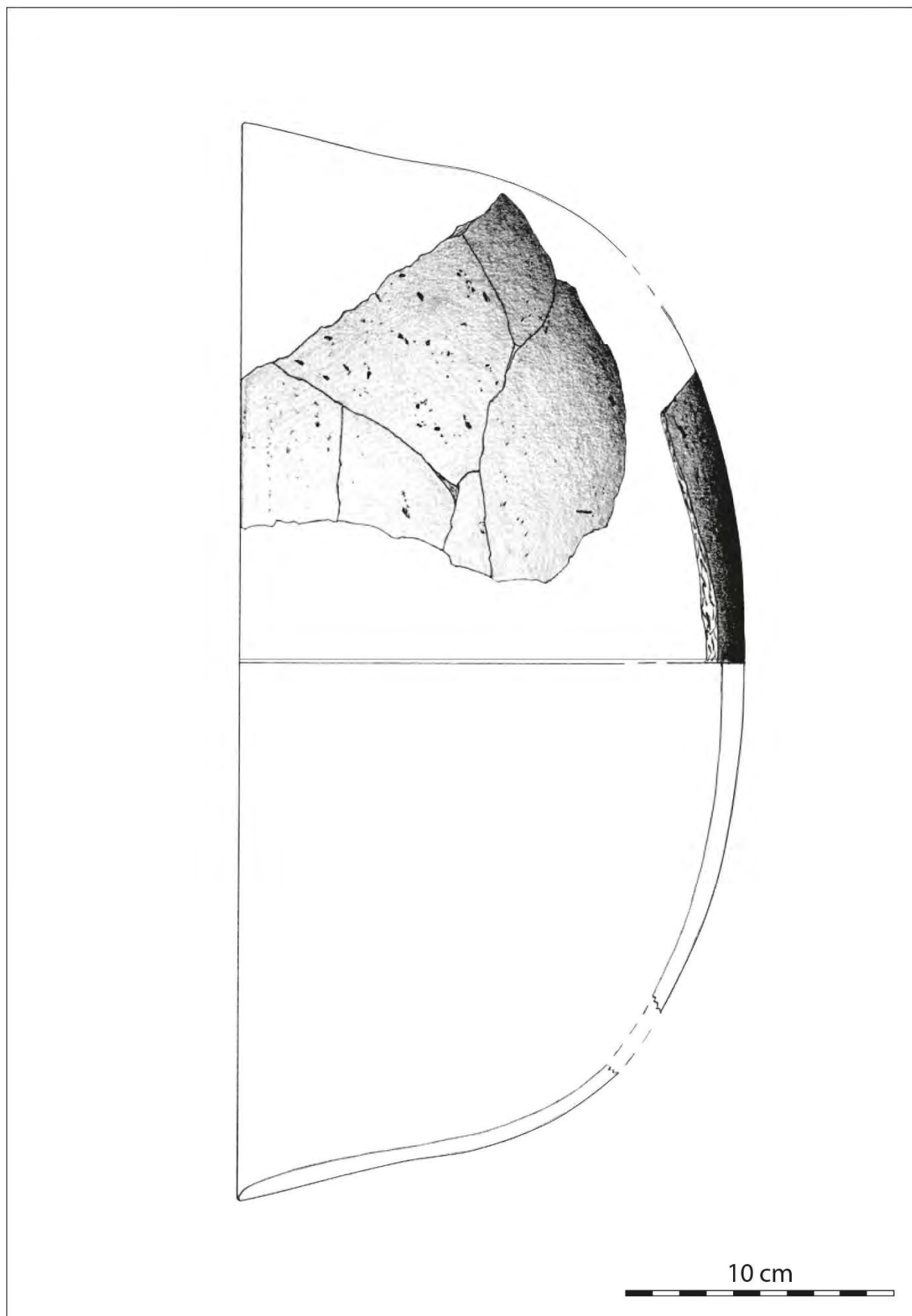


Planche 10 : profil restitué de la phase 2 (grande jatte). Dessins : J. García Gazólaz/J. Sesma Sesma.

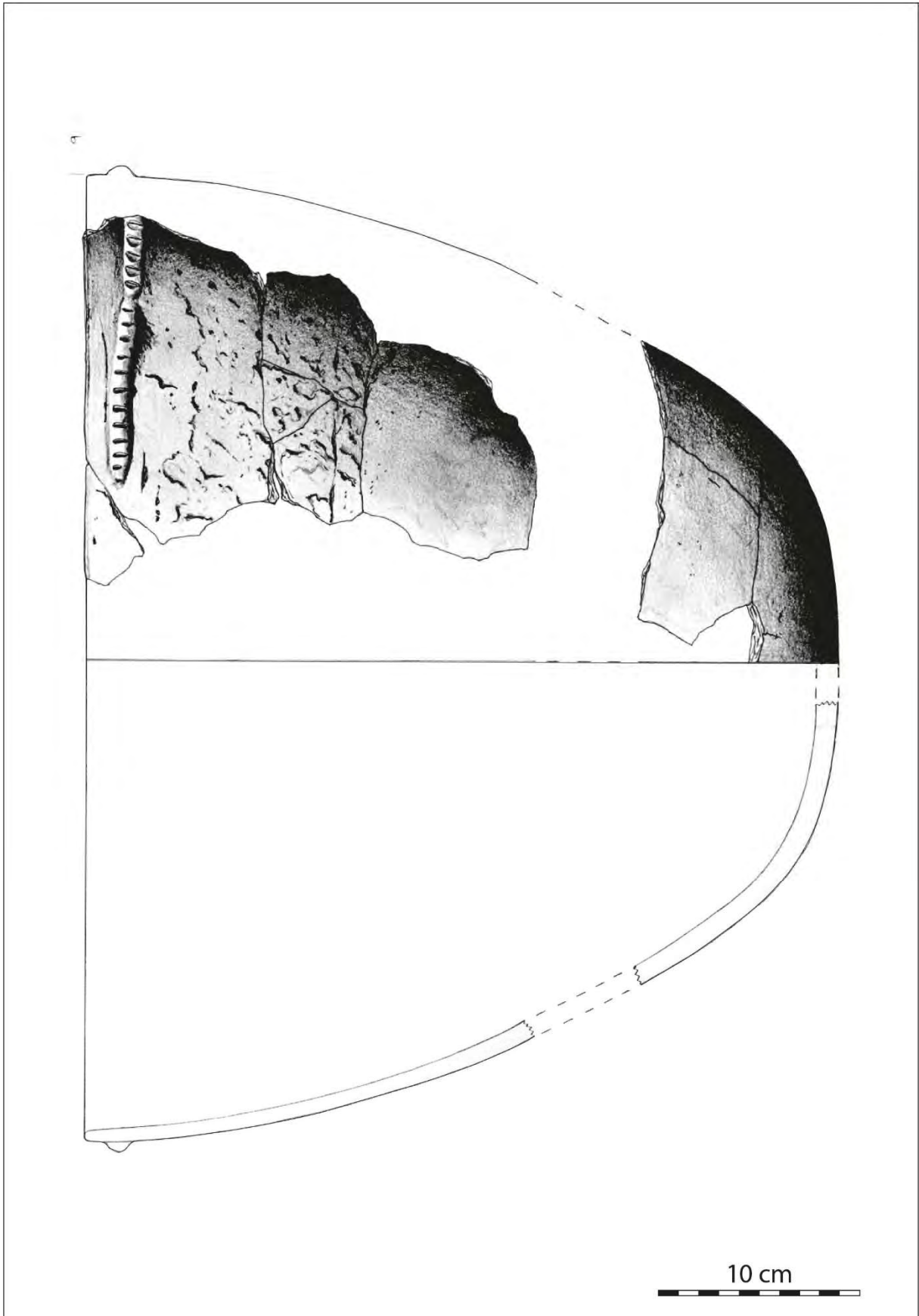


Planche 11 : profil restitué de la phase 2 (grande jatte). Dessins : J. García Gazólaz/J. Sesma Sesma.

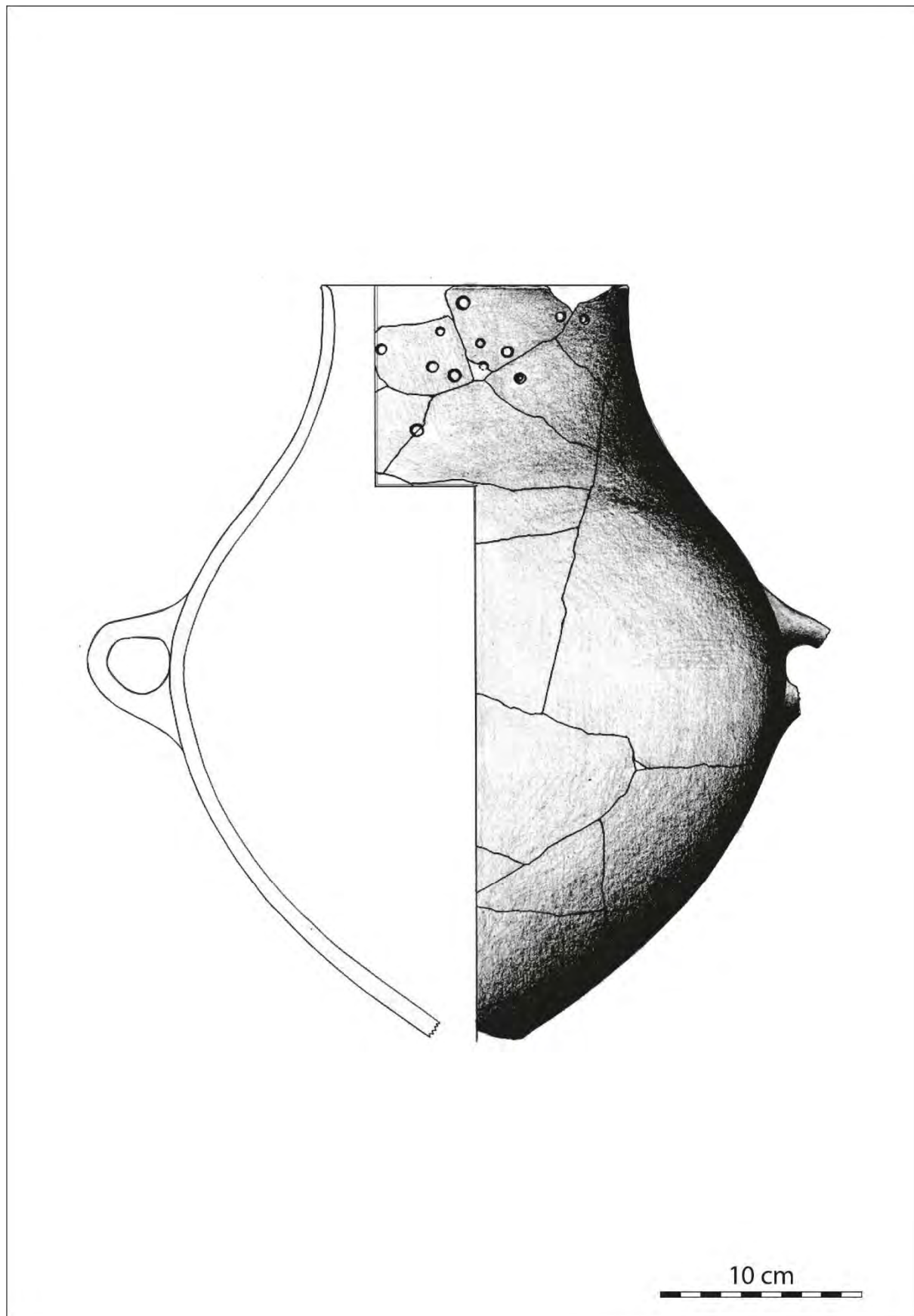


Planche 12 : profil restitué de la phase 2 (jarre). Dessins : J. García Gazóla/J. Sesma Sesma.

ANNEXE IV : SYNTHÈSE

CATALOGUE DES DATATIONS RADIOCARBONES DE FIABILITE 1 ET 2 CLASSEES PAR TRADITIONS TECHNIQUES

Datations radiocarbones associées à la tradition A :

Assemblage	Echantillon	Code labo	Mes. B.P.	Ecart-type	Mes. Cal. BC à 95,4%	Fiabilité
Gazel IV	Faune (Ovis)	Beta-398947	5780	30	4707-4550	1
Gazel IV	Faune (Ovis)	Beta-398944	5870	30	4827-4687	1
Gazel IV	Faune (Ovis)	Beta-398945	5930	30	4897-4722	1
Gazel III	Charbon	Ly-2241(Oxa)	6150	45	5220-4964	2
Gazel III	Charbon	Ly-2242(Oxa)	6400	45	5473-5314	2
Font-Juvénal C10 inf.	Faune (Bos)	Beta-460506	5200	30	4047-3961	2
Font-Juvénal C10 inf.	Faune (Bos)	Beta-460507	5310	30	4236-4046	2
Font-Juvénal C13	Faune (Bos)	Beta-398975	6020	30	4998-4836	1
Font-Juvénal C13	Faune (Caprinés)	Beta-398973	6050	30	5033-4848	1
Font-Juvénal C13	Faune (Caprinés)	Beta-398974	6090	30	5204-4909	1
Font-Juvénal C14	Faune (Caprinés)	Beta-398970	6180	30	5220-5039	1
Font-Juvénal C14	Faune (Bos)	Beta-398971	6250	30	5311-5078	1
Font-Juvénal C14	Faune (Bos)	Beta-398972	6310	30	5351-5218	1
Las Trincados (sect.1)	Os humain	Poz-75692	5310	35	4252-4041	1
Las Trincados (sect.1)	Os humain	Poz-75964	5310	40	4258-4041	2
Las Trincados (sect.3)	Os humain	Poz-69266	5340	40	4322-4048	2
Las Trincados (sect.3)	Os humain	Poz-69265	5360	40	4328-4054	2
Las Trincados (sect.1)	Os humain	Poz-75695	5370	35	4331-4059	2
Las Trincados (sect.3)	Os humain	Poz-69270	5380	40	4335-4060	2
Las Trincados (sect.1)	Charbon	Poz-75780	5400	40	4344-4072	2
Las Trincados (sect.3)	Os humain	Poz-69271	5490	40	4448-4260	2
Las Trincados (sect.3)	Os humain	Poz-69268	5590	40	4494-4350	2
Las Trincados (sect.3)	Os humain	Poz-69269	5640	40	4546-4366	2
Montou S2 inf.	Faune (suiné)	Beta-480013	5240	30	4227-3971	1
Montou S2 inf.	Faune (suiné)	Beta-480015	5260	30	4229-3985	1
Montou S2 inf.	Faune (suiné)	Beta-480016	5280	30	4232-3996	1
Montou S2 inf.	Faune (capriné)	Beta-480012	5340	30	4314-4301	1
Montou S2 inf.	Faune (capriné)	Beta-480017	5350	30	4322-4053	1
Montou S2 inf.	Faune (capriné)	Beta-480014	5360	30	4326-4056	1
Montou S2 inf.	Charbon	LY-9187	5155	30	4041-3814	2
Montou S2 inf.	Charbon	LY-9189	5240	40	4229-3968	2
Montou S2 inf.	Charbon	LY-9188	5240	45	4230-3966	2
Montou S2 inf.	Charbon	LY-9186	5285	30	4232-4000	2
Les Coudoumines I-C	Faune	Beta-480019	5280	30	4232-3996	1
Les Coudoumines I-C	Faune	Beta-480020	5280	30	4232-3996	1
Les Coudoumines I-C	Faune	Beta-480018	5320	30	4243-4047	1
Les Coudoumines I-C	Faune	Beta-480021	5320	30	4243-4047	1

La Teularia	Graine (torchis)	Beta-529479	5150	30	4040-3811	1
La Teularia	Graine (torchis)	Beta-529480	5290	30	4233-4004	1
La Teularia	Charbon	Beta-529477	5240	30	4227-3971	2
La Teularia	Charbon	Beta-529476	5420	30	4340-4236	2
Lautagne	Graine	Poz-86713	5360	40	4328-4054	1
Lautagne	Graine (blé)	Poz-78010	5410	35	4345-4085	1
Montclus-C2	Faune (petit ruminant)	Beta-428101	6070	30	5189-4851	1
Montclus-C2	Faune (petit ruminant)	Beta-428102	6100	30	5207-4935	1
Montclus-C3	Faune (suinés?)	Beta-428103	6140	30	5209-5002	1
Montclus-C3	Faune (<i>Capreolus</i>)	Beta-428104	6220	30	5298-5065	1
Montclus-C4	Faune (petit ruminant)	Beta-460503	6530	30	5558-5391	1
Montclus-C4	Faune (<i>Ovis/Capra</i>)	Beta-253458	6550	40	5615-5458	1
Montclus-C4	Faune (petit ruminant)	Beta-428105	6570	30	5609-5478	1

Datations radiocarbones associées à la tradition B :

Assemblage	Echantillon	Code labo	Mes. B.P.	Ecart-type	Mes. Cal. BC à 95,4%	Fiabilité
Roquemissou Ens. Med.	Faune (<i>Bos</i>)	Beta-481088	5310	30	4236-4046	1
Roquemissou Ens. Med.	Faune (<i>Bos</i>)	Beta-481089	5320	30	4243-4047	1
Roquemissou Ens. Med.	Faune (<i>Sus</i>)	Poz-112907	5410	40	4350-4080	1
Roquemissou Ens. Med.	Faune (<i>Cervus elaphus</i>)	Beta-460505	5590	30	4460-4355	1
Roquemissou Ens. Inf.	Faune (<i>Sus</i>)	Beta-460504	5870	30	4795-4690	1
Roquemissou Ens. Inf.	Faune (<i>Capreolus</i>)	Beta-481090	6380	30	5468-5310	2-3
Clos de Poujol	Charbon (<i>Corylus</i>)	Beta-432163	5400	30	4338-4172	2-3
Clos de Poujol	Charbon (<i>Corylus avellana</i>)	Lyon-2176 (GrA)	5440	45	4366-4082	2-3
Clos de Poujol	Charbon (<i>Pinus sp.</i>)	Lyon-3122 (Poz)	6275	50	5362-5072	2-3
Clos de Poujol	Charbon	Lyon-2670 (GrA)	6600	45	5618-5484	2-3
Combe-Grèze	Charbon	Beta-412725	6140	30	5209-5002	2-3

Datations radiocarbones associées à la tradition C :

Assemblage	Echantillon	Code labo	Mes. B.P.	Ecart-type	Mes. Cal. BC à 95,4%	Fiabilité
Los Cascajos Phase 1	Charbon (<i>Juniperus sp.</i>)	Ua-24425	6145	45	5217-4963	1
Los Cascajos Phase 1	Os humain	OxA-23458	6187	33	5282-5031	1
Los Cascajos Phase 1	Os humain	OxA-23493	6199	33	5290-5049	1
Los Cascajos Phase 1	Os humain	OxA-23460	6221	33	5301-5062	1
Los Cascajos Phase 1	Os humain	Ua-24426	6230	50	5311-5054	1
Los Cascajos Phase 1	Graine (céréale)	Ua-24427	6250	50	5321-5058	1
Los Cascajos Phase 1	Charbon (<i>Juniperus sp.</i>)	Ua-24428	6435	45	5478-5327	1
Los Cascajos Phase 2	Faune	GrA-16208	5250	50	4232-3970	1
Los Cascajos Phase 2	Os humain	OxA-23461	5541	32	4450-4341	1
Los Cascajos Phase 2	Os humain	OxA-23491	5630	31	4531-4369	1
Los Cascajos Phase 2	Os humain	OxA-23462	5643	33	4545-4370	1
Los Cascajos Phase 2	Os humain	OxA-23459	5655	33	4552-4372	1
Font-Juvénal C10 inf.	Faune (<i>Bos</i>)	Beta-460506	5200	30	4047-3961	2
Font-Juvénal C10 inf.	Faune (<i>Bos</i>)	Beta-460507	5310	30	4236-4046	2
Las Trincados	Os humain	Poz-75692	5310	35	4252-4041	2

Las Trincados	Os humain	Poz-75964	5310	40	4258-4041	2
Las Trincados	Os humain	Poz-69266	5340	40	4322-4048	2
Las Trincados	Os humain	Poz-69265	5360	40	4328-4054	2
Las Trincados	Os humain	Poz-75695	5370	35	4331-4059	2
Las Trincados	Os humain	Poz-69270	5380	40	4335-4060	2
Las Trincados	Charbon	Poz-75780	5400	40	4344-4072	2
Las Trincados	Os humain	Poz-69271	5490	40	4448-4260	2
Las Trincados	Os humain	Poz-69268	5590	40	4494-4350	2
Las Trincados	Os humain	Poz-69269	5640	40	4546-4366	2

Datations radiocarbones associées à la tradition D :

Assemblage	Echantillon	Code labo	Mes. B.P.	Ecart-type	Mes. Cal. BC à 95,4%	Fiabilité
Las Trincados	Os humain	Poz-75692	5310	35	4252-4041	2
Las Trincados	Os humain	Poz-75964	5310	40	4258-4041	2
Las Trincados	Os humain	Poz-69266	5340	40	4322-4048	2
Las Trincados	Os humain	Poz-69265	5360	40	4328-4054	2
Las Trincados	Os humain	Poz-75695	5370	35	4331-4059	2
Las Trincados	Os humain	Poz-69270	5380	40	4335-4060	2
Las Trincados	Charbon	Poz-75780	5400	40	4344-4072	2
Las Trincados	Os humain	Poz-69271	5490	40	4448-4260	2
Las Trincados	Os humain	Poz-69268	5590	40	4494-4350	2
Las Trincados	Os humain	Poz-69269	5640	40	4546-4366	2
Lautagne	Graine	Poz-86713	5360	40	4328-4054	1
Lautagne	Graine (blé)	Poz-78010	5410	35	4345-4085	1

Datations radiocarbones associées à la tradition E :

Assemblage	Echantillon	Code labo	Mes. B.P.	Ecart-type	Mes. Cal. BC à 95,4%	Fiabilité
Montou S2 inf.	Faune (suiné)	Beta-480013	5240	30	4227-3971	1
Montou S2 inf.	Faune (suiné)	Beta-480015	5260	30	4229-3985	1
Montou S2 inf.	Faune (suiné)	Beta-480016	5280	30	4232-3996	1
Montou S2 inf.	Faune (capriné)	Beta-480012	5340	30	4314-4301	1
Montou S2 inf.	Faune (capriné)	Beta-480017	5350	30	4322-4053	1
Montou S2 inf.	Faune (capriné)	Beta-480014	5360	30	4326-4056	1
Montou S2 inf.	Charbon	LY-9187	5155	30	4041-3814	2
Montou S2 inf.	Charbon	LY-9189	5240	40	4229-3968	2
Montou S2 inf.	Charbon	LY-9188	5240	45	4230-3966	2
Montou S2 inf.	Charbon	LY-9186	5285	30	4232-4000	2

LISTE DES DATATIONS RADIOCARBONES ECARTEES DU CORPUS

La majorité des datations écartées de notre corpus correspond à des mesures d'indice de fiabilité 3, principalement déterminé par des échantillons de charbons indéterminés et un écart-type supérieur à 50. Quelques données font cependant exception. Dans ce cas, différentes raisons ont pu induire leur mise à l'écart :

- Incohérence avec les résultats obtenus sur l'ensemble de la séquence stratigraphique : Gazel IV (Beta-398946) et Montclus C4 (Beta-460502) ;
- Incohérence avec le contexte archéologique daté : Las Trincados (Poz-75698), Les Coudoumines I-C (Lyon-225), La Teularia (Beta-529478 et Beta-529481), Roquemissou Zone 1 (Lyon-16038, Beta-428100 et Lyon-13887), Clos de Pujol (Lyon-2138), Combe-Grèze (UBA-34885 et UBA-34886), Los Cascajos phase 1 (code labo non renseigné, GrA-16942 et OxA-23492) ;
- Incohérence des résultats pour un même contexte archéologique daté : Font-Juvénal C11 (Beta-398978, Beta-398980 et Beta-398979) ;
- Contexte archéologique hors de notre emprise chronologique : Roquemissou ensemble supérieur (Beta-481087) ;
- Contexte archéologique non associé à une tradition technique : Font-Juvénal C12 (Beta-398977 et Beta-398976).

Les mesures réalisées dans la couche C12 de Font-Juvénal sont cependant d'indice de fiabilité 1 et pourront être réintégrées à la documentation de référence dans le cadre d'analyses plus globales que celle des traditions techniques.

Assemblage	Echantillon	Code labo	Mes. B.P.	Ecart-type	Mes. Cal. BC à 95,4%	Fiabilité
Gazel IV	Charbon	Ly-11644	5655	115	4777-4270	3
Gazel IV	Charbon	Ly-11645	6033	85	5208-4729	3
Gazel IV	Faune (Ovis)	Beta-398946	6190	30	5227-5041	3
Gazel III	Charbon	GRN-6705	6090	65	5211-4846	3
Gazel III	Charbon	Ly-11332	5990	55	5006-4728	3
Font-Juvénal C10 indiff.	Charbon	MC-447	5350	100	4358-3971	3
Font-Juvénal C10 inf.	Charbon	Ly-5006	5140	65	4222-3771	3
Font-Juvénal C10 inf.	Charbon	Ly-4773	5670	110	4777-4333	3
Font-Juvénal C11	Faune (Caprinés)	Beta-398978	5380	30	4333-4072	3
Font-Juvénal C11	Faune (Bos)	Beta-398980	5540	30	4450-4341	3
Font-Juvénal C11	Faune (Capra?)	Beta-398979	5790	30	4712-4552	3
Font-Juvénal C11	Charbon	MC-498	5540	100	4652-4075	3
Font-Juvénal C11	Charbon	Ly-4771	5645	160	4897-4073	3
Font-Juvénal C12	Faune (Caprinés)	Beta-398977	5770	30	4703-4545	1
Font-Juvénal C12	Faune (Bos)	Beta-398976	6150	30	5210-5009	1
Font-Juvénal C12	Charbon	MC-499	5850	100	4950-4465	3
Font-Juvénal C12	Charbon	Gif-7024	5835	120	5001-4403	3
Font-Juvénal C13	Charbon	Gif-7026	6080	70	5213-4834	3
Font-Juvénal C14	Charbon	Ly-4770	6235	85	5459-4958	3
Font-Juvénal C16	Charbon	Gif-7029	6410	100	5613-5083	3
Auriac-Golf	Charbon	Ly-1025	5230	70	4257-3819	3
Auriac-Golf	Charbon	Ly-1026	5725	60	4716-4452	3
Las Trincados (sect.1)	Os humain	Poz-75698	5770	40	4717-4562	3
Montou S2 inf.	Os humain	LY-8175	5095	60	4036-3714	3

Montou S2 inf.	Charbon	LY-5906	5190	70	4232-3801	3
Les Coudoumines I-C	Charbon	Lyon-225	5060	45	3965-3715	3
La Teularia	Charbon (érable)	Beta-529478	4840	40	3704-3526	3
La Teularia	Graine (blé)	Beta-529481	4930	30	3771-3651	3
Roquemissou-Zone 1	Coquille (<i>Corylus</i>)	Lyon-16038 (SacA-55979)	7200	35	6205-6001	3
Roquemissou-Zone 1	Faune (<i>Sus</i>)	Beta-428100	7880	40	6905-6640	3
Roquemissou-Zone 1	Coquille (<i>Corylus</i>)	Lyon-13887 (SacA-48925)	7965	35	7045-6700	3
Roquemissou-Ens. sup.	Faune	Beta-481087	4520	30	3356-3101	3
Clos de Pujol	Charbon (Pin sylvestre)	Ly-9571	5600	95	4685-4265	3
Clos de Pujol	Charbon (Pin sylvestre)	Lyon-2138 (OxA)	7015	40	5992-5802	3
Clos de Pujol	Charbon	Lyon-2496 (Poz)	8908	65	8262-7827	3
Combe-Grèze	Charbon	Gif-446	6420	180	5707-4981	3
Combe-Grèze	Os calciné (petit ruminant)	UBA-34885	7426	32	6385-6233	3
Combe-Grèze	Os calciné (<i>Felis/Lynx</i>)	UBA-34886	6524	31	5556-5385	3
Les Usclades	Charbon	Gif-9143	5550	70	4539-4262	3
Sargel niv. Base	Charbon	Gif-3007	4650	150	3700-2932	3
Montclus-C4	Faune (petit ruminant)	Beta-460502	6090	30	5204-4909	3
Montclus-C4	Charbon	MC-694	6170	200	5520-4619	3
Montclus-C4	Faune	LY-304	6140	140	5375-4725	3
Montclus-C4	Charbon	LY-303	6300	140	5533-4911	3
Montclus-C4	Charbon	KN-181	6400	160	5638-4996	3
Los Cascajos phase 2	Os humain	GrA-16210	5330	60	4327-4000	3
Los Cascajos phase 2	Faune	GrA-16211	5330	60	4327-4000	3
Los Cascajos phase 2	Faune (<i>Ovis/Capra</i>)	Ua-16025	5640	75	4679-4345	3
Los Cascajos phase 1	Faune (<i>Canis familiaris</i>)	x	4402	29	3261-2919	3
Los Cascajos phase 1	Faune (<i>Ovis/Capra</i>)	Ua-17794	4485	80	3367-2924	3
Los Cascajos phase 1	Faune	GrA-16942	5100	50	3990-3775	3
Los Cascajos phase 1	Faune	Ua-16023	5450	85	4456-4053	3
Los Cascajos phase 1	Os humain	OxA-23492	5711	32	4677-4461	3
Los Cascajos phase 1	Faune (<i>Bos taurus</i>)	Ua-17793	5720	90	4770-4363	3
Los Cascajos phase 1	Faune	GrA-16209	5830	60	4834-4541	3
Los Cascajos phase 1	Faune (<i>Bos taurus</i>)	Ua-17795	6125	80	5291-4846	3
Los Cascajos phase 1	Os humain	Ua-16024	6185	75	5311-4947	3
Los Cascajos phase 1	Charbon (<i>Juniperus sp.</i>)	Ua-24424	6380	60	5476-5227	3
Los Cascajos phase 1	Os humain	Ua-24443	5945	95	5194-4558	3

TABLEAUX DE DECOMPTE DES CRITERES ANALYSES EN SYNTHESE

Décompte des types de pâtes classées en fonction de la granulométrie des inclusions. Les effectifs considérés pour chaque assemblage correspondent au nombre d'individus déterminés.

Phase chronologique	Zone géographique	Assemblages	Taille des inclusions		Total
			Fines	Hétérométriques	
Phase 3	Vallée du Rhône	Lautagne	163		
	Total Vallée du Rhône		163		163
	Vallée de l'Aude	Auriac-Golf	20	112	
		Las Trincados	33	104	
		FJ C11	22	4	
		FJ C10 inf.	20	17	
	Total Vallée de l'Aude		95	237	332
	Roussillon	Montou	588	295	
		Coudoumines	62	50	
		La Teularia	62	67	
Total Roussillon		712	412	1124	
Grands Causses	Sargel	66	2		
Total Grands Causses		66	2	68	
Phase 2	Vallée de l'Aude	Gazel IV	7	334	
		FJ C12	6	13	
	Total Vallée de l'Aude		13	347	360
	Grands Causses	Clos de Poujol		118	
		Combe-Grèze	17	163	
		Roquemissou	Maj.	Min.	
Total Grands Causses		17	281	298	
Phase 1	Vallée du Rhône	Montclus C4	3	3	
		Montclus C3	11	21	
		Montclus C2	8	7	
		Montclus Fosse		3	
	Total Vallée du Rhône		22	34	56
	Vallée de l'Aude	Gazel III	9	155	
		FJ C16-15		2	
		FJ C14		5	
		FJ C13		6	
	Total Vallée de l'Aude		9	168	177
Grands Causses	Les Usclades	Min.	Maj.		
Phase 2	Hte V. de l'Ebre	Los Cascajos Ph2	595	382	977
Phase 1	Hte V. de l'Ebre	Los Cascajos Ph1	137	335	472

Décompte des types de pâtes classées en fonction de la présence ou non d'inclusions organiques. Les effectifs considérés pour chaque assemblage correspondent au nombre d'individus déterminés.

Phase chronologique	Zone géographique	Assemblages	Inclusions organiques		Total
			Oui	Non	
Phase 3	Vallée du Rhône	Lautagne		163	
	Total Vallée du Rhône			163	163
	Vallée de l'Aude	Auriac-Golf	36	96	
		Las Trincados	77	60	
		FJ C11		26	
		FJ C10 inf.		37	
	Total Vallée de l'Aude		113	219	332
	Roussillon	Montou	170	713	
		Coudoumines	1	111	
		La Teularia	22	107	
Total Roussillon		193	931	1124	
Grands Causses	Sargel	1	67		
Total Grands Causses		1	67	68	
Phase 2	Vallée de l'Aude	Gazel IV	23	318	
		FJ C12		19	
	Total Vallée de l'Aude		23	337	360
	Grands Causses	Clos de Poujol		118	
		Combe-Grèze		180	
Roquemissou		Min. (5)	Maj.		
Total Grands Causses			298	298	
Phase 1	Vallée du Rhône	Montclus C4		6	
		Montclus C3		32	
		Montclus C2		15	
		Montclus Fosse		3	
	Total Vallée du Rhône			56	56
	Vallée de l'Aude	Gazel III	5	159	
		FJ C16-15		2	
		FJ C14		5	
FJ C13			6		
Total Vallée de l'Aude		5	172	177	
Grands Causses	Les Usclades	Aucun	Maj.		
Phase 2	Hte V. de l'Ebre	Los Cascajos Ph2	99	878	977
Phase 1	Hte V. de l'Ebre	Los Cascajos Ph1	99	373	472

Décompte des classes d'épaisseurs maximum des parois. Les effectifs considérés pour chaque assemblage correspondent au NMI.

Phase chronologique	Zone géographique	Assemblages	Epaisseur des parois			Total
			Fine	Moyenne	Epaisse	
Phase 3	Vallée du Rhône	Lautagne	55	107	6	
	Total Vallée du Rhône		55	107	6	168
	Vallée de l'Aude	Auriac-Golf	79	94	8	
		Las Trincados	116	107	21	
		FJ C11	12	14	3	
		FJ C10 inf.	9	30	2	
	Total Vallée de l'Aude		216	245	34	495
	Roussillon	Montou	1954	853	144	
		Coudoumines	32	64	36	
		La Teularia	36	90	49	
Total Roussillon		2022	1007	229	3258	
Grands Causses	Sargel	29	36	3		
Total Grands Causses		29	36	3	68	
Phase 2	Vallée de l'Aude	Gazel IV	42	191	103	
		FJ C12	7	8	4	
	Total Vallée de l'Aude		49	199	107	355
	Grands Causses	Clos de Poujol	4	83	58	
		Combe-Grèze	4	100	93	
		Roquemissou	Min.	Maj.	Maj.	
Total Grands Causses		8	183	151	342	
Phase 1	Vallée du Rhône	Montclus C4		5	2	
		Montclus C3	2	26	10	
		Montclus C2		13	3	
		Montclus Fosse		1	2	
	Total Vallée du Rhône		2	45	17	64
	Vallée de l'Aude	Gazel III	10	91	67	
		FJ C16-15	1		1	
		FJ C14		4	1	
		FJ C13		4	3	
	Total Vallée de l'Aude		11	99	72	182
Grands Causses	Les Usclades	Min.	Maj.	Maj.		
Phase 2	Hte V. de l'Ebre	Los Cascajos Ph2	370	572	61	1003
Phase 1	Hte V. de l'Ebre	Los Cascajos Ph1	50	446	81	577

Décompte des techniques de finitions et principaux traitements de surfaces pré-cuisson. Les effectifs considérés pour chaque assemblage correspondent à la somme des surfaces internes et externes déterminées.

Phase chronologique	Zone géographique	Assemblages	Techniques de finitions et traitements de surface					Total
			Lissage +Eau	Lissage p. cuir	Lissage/Doucissage ou Brunissage p. cuir	Brunissage p. sèche	Lustrage	
Phase 3	Vallée du Rhône	Lautagne	261		3	28		
	Total Vallée du Rhône		261		3	28		292
	Vallée de l'Aude	Auriac-Golf			190	23		
		Las Trincados			149	16		
		FJ C11			54			
		FJ C10 inf.	1		54	11		
	Total Vallée de l'Aude		1		447	50		498
	Roussillon	Montou	21	110	703	652	36	
		Coudoumines	1		141	14		
		La Teularia	19		121	28		
Total Roussillon		41	110	965	694	36	1846	
Grands Causses	Sargel	5	17	67	39			
Total Grands Causses		5	17	67	39		128	
Phase 2	Vallée de l'Aude	Gazel IV	219		370		2	
		FJ C12	1		32			
	Total Vallée de l'Aude		220		402		2	624
	Grands Causses	Clos de Poujol	118		31			
		Combe-Grèze	247		66			
Roquemissou		Maj.		Min.	Min.	Min.		
Total Grands Causses		365		97			462	
Phase 1	Vallée du Rhône	Montclus C4	2		4		6	
		Montclus C3	12		44		3	
		Montclus C2	14		12			
		Montclus Fosse	4		2			
	Total Vallée du Rhône		32		62		9	103
	Vallée de l'Aude	Gazel III	218		36		10	
		FJ C16-15						
		FJ C14	2	6				
FJ C13		2	11	1				
Total Vallée de l'Aude		222	17	1			240	
Grands Causses	Les Usclades	Maj.		Min.				
Phase 2	Hte V. de l'Ebre	Los Cascajos Ph2	74	57	87	100		318
Phase 1	Hte V. de l'Ebre	Los Cascajos Ph1	64	62	64	7		197

Décompte des traitements de surfaces additionnels pré- ou post-cuisson (patinage, traitements à chaud dont l'abréviation est « TPC » pour Traitement Post-Cuisson). Les effectifs considérés pour chaque assemblage correspondent au nombre de « fragments technologiques » (N_Techno).

Phase chronologique	Zone géographique	Assemblages	Traitements de surface additionnels			Patinage
			Avec TPC	Sans TPC	Total	
Phase 3	Vallée du Rhône	Lautagne	44	119		1
	Total Vallée du Rhône		44	119	163	1
	Vallée de l'Aude	Auriac-Golf	59	73		
		Las Trincados	69	68		8
		FJ C11	3	25		
		FJ C10 inf.	5	36		
	Total Vallée de l'Aude		136	202	338	8
	Roussillon	Montou	351	539		133
		Coudoumines	18	95		16
		La Teularia		129		8
	Total Roussillon		369	763	1132	157
	Causses	Sargel	12	56		2
Total Grands Causses		12	56	68	2	
Phase 2	Vallée de l'Aude	Gazel IV	86	255		
		FJ C12		19		
	Total Vallée de l'Aude		86	274		
	Grands Causses	Clos de Poujol		141		
		Combe-Grèze		183		
Roquemissou		Aucun			Aucun	
Total Grands Causses			324	324		
Phase 1	Vallée du Rhône	Montclus C4		7		
		Montclus C3		38		
		Montclus C2		16		
		Montclus Fosse		3		
	Total Vallée du Rhône			64	64	
	Vallée de l'Aude	Gazel III	28	136		
		FJ C16-15				
		FJ C14	2	3		
		FJ C13	4	3		
Total Vallée de l'Aude		34	142	176		
Grands Causses	Les Usclades	Indét.			Aucun	
Phase 2	Hte V. de l'Ebre	Los Cascajos Ph2	78	908	986	
Phase 1	Hte V. de l'Ebre	Los Cascajos Ph1	31	520	551	

Décompte des types de cuissons classées en fonction de la coloration dominante des fragments. Les effectifs considérés pour chaque assemblage correspondent au nombre d'individus déterminés.

Phase chronologique	Zone géographique	Assemblages	Type de cuisson		Total
			Oxydante/Mixte	Réductrice ?	
Phase 3	V. Rhône	Lautagne	152	11	
	Total Vallée du Rhône		152	11	163
	V. Aude	Auriac-Golf	119	13	
		Las Trincados	125	8	
		FJ C11	20	6	
		FJ C10 inf.	30	8	
	Total Vallée de l'Aude		294	35	329
	Roussillon	Montou	681	198	
		Coudoumines	93	11	
		La Teularia	152	11	
Total Roussillon		926	220	1146	
Causses	Sargel	66	2		
Total Grands Causses		66	2	68	
Phase 2	V. Aude	Gazel IV	273	60	
		FJ C12	15	4	
	Total Vallée de l'Aude		288	64	352
	Causses	Clos de Poujol	130	8	
		Combe-Grèze	174	9	
Roquemissou		Maj.	Min.		
Total Grands Causses		304	17	321	
Phase 1	V. Rhône	Montclus C4	6	1	
		Montclus C3	34	4	
		Montclus C2	13	3	
		Montclus Fosse	3		
	Total Vallée du Rhône		56	8	64
	V. Aude	Gazel III	138	26	
		FJ C16-15	2		
		FJ C14	5		
FJ C13		6			
Total Vallée de l'Aude		151	26	177	
Causses	Les Usclades	Maj.	Min.		
Phase 2	Hte V. de l'Ebre	Los Cascajos Ph2	812	170	982
Phase 1	Hte V. de l'Ebre	Los Cascajos Ph1	511	28	539

Décompte des types de contours classés en fonction de la présence ou non d'une segmentation. Les effectifs considérés pour chaque assemblage correspondent au NMI.

Phase chronologique	Zone géographique	Assemblages	Type de contour		Total
			Simple ?	Complexe	
Phase 3	Vallée du Rhône	Lautagne	159	9	
	Total Vallée du Rhône		159	9	168
	Vallée de l'Aude	Auriac-Golf	160	21	
		Las Trincados	216	28	
		FJ C11	25	4	
		FJ C10 inf.	32	9	
	Total Vallée de l'Aude		433	62	495
	Roussillon	Montou	2321	630	
		Coudoumines	103	37	
		La Teularia	156	19	
Total Roussillon		2580	686	3266	
Grands Causses	Sargel	53	15		
Total Grands Causses		53	15	68	
Phase 2	Vallée de l'Aude	Gazel IV	303	38	
		FJ C12	18		
	Total Vallée de l'Aude		321	38	359
	Grands Causses	Clos de Pujol	142	3	
		Combe-Grèze	196	1	
Roquemissou		Maj.	Min. (5)		
Total Grands Causses		338	4	342	
Phase 1	Vallée du Rhône	Montclus C4	3	4	
		Montclus C3	23	15	
		Montclus C2	13	3	
		Montclus Fosse	1	2	
	Total Vallée du Rhône		40	24	64
	Vallée de l'Aude	Gazel III	158	10	
		FJ C16-15	2		
		FJ C14	5		
		FJ C13	6	1	
	Total Vallée de l'Aude		171	11	182
Grands Causses	Les Usclades	Maj.	Min. (1)		
Phase 2	Hte V. de l'Ebre	Los Cascajos Ph2	816	187	1003
Phase 1	Hte V. de l'Ebre	Los Cascajos Ph1	549	59	608

Décompte des vases munis ou non de préhensions. Les effectifs considérés pour chaque assemblage correspondent au NMI.

Phase chronologique	Zone géographique	Assemblages	Préhensions		Total
			Oui	Non	
Phase 3	Vallée du Rhône	Lautagne	18	150	
	Total Vallée du Rhône		18	150	168
	Vallée de l'Aude	Auriac-Golf	53	128	
		Las Trincados	65	179	
		FJ C11	1	28	
		FJ C10 inf.	14	27	
	Total Vallée de l'Aude		133	362	495
	Roussillon	Montou	512	2439	
		Coudoumines	56	84	
		La Teularia	43	132	
Total Roussillon		611	2655	3266	
Grands Causses	Sargel	18	50		
Total Grands Causses		18	50	68	
Phase 2	Vallée de l'Aude	Gazel IV	21	320	
		FJ C12	2	17	
	Total Vallée de l'Aude		23	337	360
	Grands Causses	Clos de Poujol	0	145	
		Combe-Grèze	2	195	
Roquemissou		Min. (6)	Maj.		
Total Grands Causses		2	340	342	
Phase 1	Vallée du Rhône	Montclus C4	1	6	
		Montclus C3	9	29	
		Montclus C2	1	15	
		Montclus Fosse	1	2	
	Total Vallée du Rhône		12	52	64
	Vallée de l'Aude	Gazel III	7	161	
		FJ C16-15		2	
		FJ C14	1	4	
FJ C13		1	6		
Total Vallée de l'Aude		9	173	182	
Grands Causses	Les Usclades	Min. (8)	Maj.		
Phase 2	Hte V. de l'Ebre	Los Cascajos Ph2	79	924	1003
Phase 1	Hte V. de l'Ebre	Los Cascajos Ph1	127	481	608

Décompte des vases décorés ou non. Les effectifs considérés pour chaque assemblage correspondent au NMI.

Phase chronologique	Zone géographique	Assemblages	Ornementation		Total
			Oui	Non	
Phase 3	Vallée du Rhône	Lautagne		168	
	Total Vallée du Rhône			168	168
	Vallée de l'Aude	Auriac-Golf	4	177	
		Las Trincados	2	242	
		FJ C11	2	27	
		FJ C10 inf.	3	38	
	Total Vallée de l'Aude		11	484	495
	Roussillon	Montou	82	2869	
		Coudoumines	7	133	
		La Teularia	8	167	
Total Roussillon		97	3169	3266	
Grands Causses	Sargel		68		
Total Grands Causses			68	68	
Phase 2	Vallée de l'Aude	Gazel IV	8	333	
		FJ C12		19	
	Total Vallée de l'Aude		8	352	360
	Grands Causses	Clos de Poujol	4	141	
		Combe-Grèze	10	187	
Roquemissou		Min. (6)	Maj.		
Total Grands Causses		14	328	342	
Phase 1	Vallée du Rhône	Montclus C4	3	4	
		Montclus C3	18	20	
		Montclus C2	8	8	
		Montclus Fosse	3		
	Total Vallée du Rhône		32	32	64
	Vallée de l'Aude	Gazel III	29	135	
		FJ C16-15		2	
		FJ C14	1	4	
		FJ C13	3	2	
	Total Vallée de l'Aude		33	143	176
Grands Causses	Les Usclades	Min. (23)	Maj.		
Phase 2	Hte V. de l'Ebre	Los Cascajos Ph2	132	871	1003
Phase 1	Hte V. de l'Ebre	Los Cascajos Ph1	300	308	608

LISTE DES SITES HYPOTHETIQUEMENT AFFILIÉS A LA SPHÈRE D'INFLUENCE MONTBOLOÏDE

Le numéro des sites renvoie à la liste fournie en Annexe I et aux cartes de répartition présentées par aires géographiques dans la partie 1.II.

N°	Site	Commune	Département	Aire géographique
113	La Roquette	Tresques	Gard	Languedoc méditerranéen
116	Piéchegut Ouest 1	Bellegarde	Gard	Languedoc méditerranéen
117	Moulin Villard	Caissargues	Gard	Languedoc méditerranéen
118	Voie urbaine sud	Nîmes	Gard	Languedoc méditerranéen
119	Parc Georges Besse II-1	Nîmes	Gard	Languedoc méditerranéen
120	Parc Georges Besse II-4	Nîmes	Gard	Languedoc méditerranéen
121	Parc Georges Besse II-7	Nîmes	Gard	Languedoc méditerranéen
122	Vistre de la Fontaine	Nîmes	Gard	Languedoc méditerranéen
123	Le Mas des Abeilles II-7	Nîmes	Gard	Languedoc méditerranéen
124	Le Mas de Vignoles IV	Nîmes	Gard	Languedoc méditerranéen
130	Mas Mayan 05	Nîmes	Gard	Languedoc méditerranéen
131	Mas Mayan 06	Nîmes	Gard	Languedoc méditerranéen
134	Valergues St-Brès sud	Valergues-Saint-Brès	Gard	Languedoc méditerranéen
136	La Courconne	Mauguio	Hérault	Languedoc méditerranéen
137	Le Péras	Mauguio	Hérault	Languedoc méditerranéen
151	Grotte IV	Saint Pierre-de-la-Fage	Hérault	Languedoc méditerranéen
154	Cantobres St Jean	Tourbes	Hérault	Languedoc méditerranéen
157	La Resclauze	Gabian	Hérault	Languedoc méditerranéen
160	Le Pech de Montady	Montady	Hérault	Languedoc méditerranéen
162	Grotte de Camprafaud	Ferrières-Poussarou	Hérault	Languedoc méditerranéen
164	Grotte Tournié	Pardailhan	Hérault	Languedoc méditerranéen
165	Cazelles	Agel	Hérault	Languedoc méditerranéen
176	Le Champ du Poste	Carcassonne	Aude	Languedoc méditerranéen
179	Las Trincados	Cépie	Aude	Languedoc méditerranéen
182	Petite grotte de Bize	Bize-Minervois	Aude	Languedoc méditerranéen
190	Abri de Gahuzère 2	Montmaurin	Haute-Garonne	Pyrénées/Catalogne/Aragon
192	La Spugo	Ganties-les-Bains	Haute-Garonne	Pyrénées/Catalogne/Aragon
193	Gouffre et grotte de Gelès	Aspet	Haute-Garonne	Pyrénées/Catalogne/Aragon
194	Arihouat	Garin	Haute-Garonne	Pyrénées/Catalogne/Aragon
195	Abri Martel	Niaux	Ariège	Pyrénées/Catalogne/Aragon
197	Grande grotte Bédeilhac	Bédeilhac-et-Aynac	Ariège	Pyrénées/Catalogne/Aragon
198	Grotte d'Enlène	Montesquieu-Avantès	Ariège	Pyrénées/Catalogne/Aragon
200	Grotte de l'Herm	L'Herm	Ariège	Pyrénées/Catalogne/Aragon
201	Grotte de Rieufourcant	Dun	Ariège	Pyrénées/Catalogne/Aragon
202	Grotte de Las Morts	Benaix	Ariège	Pyrénées/Catalogne/Aragon
204	Abri de Dourgne	Fontanès-de-Sault	Aude	Pyrénées/Catalogne/Aragon
217	Cauna de Belesta	Belesta	Pyrénées-Orientales	Pyrénées/Catalogne/Aragon
218	Grotte de Montou	Corbères-les-Cabanes	Pyrénées-Orientales	Pyrénées/Catalogne/Aragon
222	El Cami de la Coma Serra	Perpignan	Pyrénées-Orientales	Pyrénées/Catalogne/Aragon

231	Cova de la Font Calde	Reynés	Pyrénées-Orientales	Pyrénées/Catalogne/Aragon
232	La Balma de Montbolo	Montbolo	Pyrénées-Orientales	Pyrénées/Catalogne/Aragon
234	Réseau Mitjaville	Ria-Sirach	Pyrénées-Orientales	Pyrénées/Catalogne/Aragon
237	Grotte d'En Gornier	Villefranche-de-Conflent	Pyrénées-Orientales	Pyrénées/Catalogne/Aragon
239	Llo II	Llo	Pyrénées-Orientales	Pyrénées/Catalogne/Aragon
245	La Feixa del Moro	Juberri	Andorre	Pyrénées/Catalogne/Aragon
246	Carrer Llineas 28	Juberri	Andorre	Pyrénées/Catalogne/Aragon
247	Camp del Colomer	Juberri	Andorre	Pyrénées/Catalogne/Aragon
248	Coves A y B d'Olopte	Isóvol	Gerone	Pyrénées/Catalogne/Aragon
358	Villeneuve-Tolosane-Cugnaux	Villeneuve-Tolosane-Cugnaux	Haute-Garonne	Moyenne vallée de la Garonne
361	Pinot 2	Blagnac	Haute-Garonne	Moyenne vallée de la Garonne

BIBLIOGRAPHIE

A

ABELANET J. (1970) – Une tombe néolithique : L'Arca de Calahons (Catlla, Pyrénées-Orientales), *in* : J. Guilaine dir., *Les civilisations néolithiques du Midi de la France*, Actes du colloque de Narbonne (15-17 février 1970), Atacina 5, Carcassonne, Laboratoire de préhistoire et de paléontologie, p. 54-55.

ABRAHAM P. (2011) – Le cadre géographique, *in* : P. Gruat, G. Malige, M. Vidal dir., *Carte archéologique de la Gaule. L'Aveyron (12)*, Paris, Académie des Inscriptions et Belles Lettres, p. 67-69.

ALCALDE G., COLOMINAS L., PONS E., TORNERO C. (2012) – Excavaciones arqueológicas al jaciment de La Dou 2010-2011 (Sant Esteve d'En Bas, La Garrotxa), A. M. Puig Griessenberger dir., *Onzenes jornades d'arqueologia de les comarques de Girona (15-16 de juny de 2012)*, Girona, Generalitat de Catalunya, Departament de Cultura, p. 71-78.

ALDAY RUIZ A. (2009) – El final del Mesolítico y los inicios del Neolítico en la Península Ibérica: cronología y fases, *Munibe*, 60, p. 157-173.

ALDAY RUIZ A., MORAL de HOYO (2011) – El dominio de la cerámica Boquique : discusiones técnicas y cronoculturales, *Sagvntvm*, Extra, 12, p. 65-81.

ALDAY A., MARTICORENA P. (2018) – Néolithisation des Pyrénées : les armatures du Bétey à contre-courant, *in* : P. Marticorena, V. Ard, A. Hasler, J. Cauliez, C. Gilabert, I. Sénépart dir., « *Entre deux mers* » et actualités de la recherche, Actes des 12^{ème} Rencontres Méridionales de Préhistoire Récente (Bayonne, 27 septembre-1^{er} octobre 2016), Toulouse, AEP, p. 25-39.

ALDAY RUIZ A., MONTES RAMÍREZ L., BALDELLOU MARTÍNEZ (2012) – Cuenca del Ebro, *in*: M. Rojo Guerra, R. Garrido Pena, Í. García Martínez de Lagrán eds., *El Neolítico en la Península Ibérica y su contexto europeo*, Madrid, Ediciones Cátedra, p. 291-331.

AMBERT P., GENNA A., TAFFANEL O. (1988) – Contribution à l'étude du Chasséen du Minervois, *in* : *Le Chasséen en Languedoc oriental. Hommage à Jean Arnal*, Actes des journées d'études de Montpellier (25-27 octobre 1985), Préhistoire, Montpellier, Université Paul Valéry, p. 25-36.

AMIÉL C., JÉDIKIAN G. (2003) – Aspect de la céramique du Chasséen ancien en Languedoc occidental : l'exemple du site d'Encombe à Quarante (Hérault), *in* : J. Gascó, X. Guthertz, P.-A. de Labriffe dir., *Temps et espaces culturels du 6^e au 2^e millénaire en France du Sud. Actualité de la recherche*, Actes des IV^{ème} Rencontres Méridionales de Préhistoire Récente (Nîmes, 28-29 octobre 2000), Lattes, Association pour le Développement de l'Archéologie en Languedoc-Roussillon (Monographie d'Archéologie Méditerranéenne, 15), p. 389-392.

ANTOINE J.-M. (2006) – La Haute-Garonne, entre plaine et montagne, *in* : J. Massendari dir., *Carte archéologique de la Gaule. La Haute-Garonne (hormis le Comminges et Toulouse)*, 31/1, Paris, Académie des Inscriptions et Belles Lettres, p. 37-43.

ANTOLÍN F. (2015) – Entre agricultores primitivos, cultures de rozas y pastores transhumantes. Una mirada crítica a los modelos económicos propuestos para los grupos neolíticos del noreste peninsular y una aportación desde el registro carpológico, *Revista d'Arqueologia del Ponent*, 25, p. 11-45.

ANTOLÍN F., NAVARRETE V., SAÑA M., VIÑERTA Á., GASSIOT E. (2018) – Herders in the mountains and farmers in the plain ? A comparative evaluation of the archaeobiological record from Neolithic sites in the eastern Iberic Pyrenees and the southern lower lands, *Quaternary International*, 484, p. 75-92.

ARD V. (2011a) – *Traditions céramiques au Néolithique récent et final dans le Centre-Ouest de la France (3700-2200 avant J.-C.) : filiations et interactions entre groupes culturels*, Thèse de doctorat, Université Paris-Ouest Nanterre La Défense, Paris, 257 p.

ARD V. (2011b) – Apport de la technologie céramique à la caractérisation des cultures du Néolithique récent du Centre-Ouest de la France (3600-2900 av. J.-C.), in : I. Sénépart, T. Perrin, E. Thirault, S. Bonnardin dir., *Marges, frontières et transgressions. Actualité de la recherche*, Actes des 8^{ème} Rencontres Méridionales de Préhistoire Récente (Marseille, 7 et 8 novembre 2008), Toulouse, AEP, p. 101-119.

ARD V., MENS E., PONCET D., COUSSEAU F., DEFAIX J., MATHÉ V., PILLOT L. (2016) – Life and death of Angoumois-type dolmens in west-central France. Architecture and evidence of reuse of megalithic orthostats, *Bulletin de la Société préhistorique française*, 113, 4, p. 737-764.

ARD V., MENS E. (2018) – Le mégalithisme : regards croisés entre mondes atlantique et méditerranéen, in : J. Guilaine et D. Garcia dir., *La Protohistoire de la France*, Paris, Hermann Editeurs, p. 79-93.

ARD V., GALIN W., MATHÉ V., ONFRAY M., PONCET D., LEGRAND V., LEROUX V.-E., BOUCHET E. (2018) – Une enceinte fossoyée et des bâtiments du début du Néolithique moyen dans le Centre-Ouest. « Le Peu » à Charmé (Charente), in : P. Marticorena, V. Ard, A. Hasler, J. Cauliez, C. Gilabert, I. Sénépart dir., « *Entre deux mers* » et actualités de la recherche, Actes des 12^{ème} Rencontres Méridionales de Préhistoire Récente (Bayonne, 27 septembre-1^{er} octobre 2016), Toulouse, AEP, p. 141-151.

ARNAL G.-B. (1977a) – La céramique du Néolithique. Une phase de son évolution technique, in : Tiné dir., *Le ceramiche graffite nel neolitico del Mediterraneo centro-occidentale*, Actes du colloque de Gênes (20-24 juin 1977), Trento, Museo Tridentini de Scienze Naturali (*da Preistoria Alpina*, 13), p. 7-9.

ARNAL G.-B. (1977b) – Le matériel céramique de la Grotte IV de Saint-Pierre-de-la-Fage, in : Tiné dir., *Le ceramiche graffite nel deolitico del Mediterraneo centro-occidentale*, Actes du colloque de Gênes (20-24 juin 1977), Trento, Museo Tridentini de Scienze Naturali (*da Preistoria Alpina*, 13), p. 10-11.

ARNAL G.-B. (1983) – *La Grotte IV de Saint-Pierre-de-la-Fage, Hérault, et le Néolithique ancien du Languedoc*, Lodève, Centre de recherche archéologique du Haut-Languedoc (Mémoire du Centre de recherche archéologique du Haut-Languedoc, 3), 195 p.

ARNAL G.-B. (1987a) – Le Néolithique primitif non cardial, in : J. Guilaine, J. Courtin, J.-L. Roudil, J.-L. Vernet dir., *Premières communautés paysannes en Méditerranée occidentale*, Actes du Colloque international du CNRS (Montpellier, 26-29 avril 1983), Paris, Editions CNRS, p. 541-544.

ARNAL G.-B. (1987b) – La troisième phase du Néolithique ancien, *in* : J. Guilaine, J. Courtin, J.-L. Roudil, J.-L. Vernet dir., *Premières communautés paysannes en Méditerranée occidentale*, Actes du Colloque international du CNRS (Montpellier, 26-29 avril 1983), Paris, Editions CNRS, p. 563-566.

ARNAL G.-B. (1995) – De la définition et de l'utilisation de certains termes chronologiques, *in* : J.-L. Voruz dir., *Chronologies néolithiques. De 6000 à 2000 avant notre ère dans le bassin rhodanien*, Actes du Colloque d'Ambérieu-en-Bugey (19-20 septembre 1992), XI^e Rencontres sur le Néolithique de la région Rhône-Alpes, Ambérieu-en-Bugey, Société préhistorique rhodanienne (Documents du département d'anthropologie et d'écologie de l'université de Genève, 20), p. 75-76.

ARNAL G.-B. (2006) – Le Néolithique ancien des Grands Causses, *in* : J. Gascó, F. Leyge, P. Gruat dir., *Hommes et passé des Grands Causses. Hommage à Georges Costantini*, Actes du colloque de Millau (16-18 juin 2005), Toulouse, AEP, p. 71-84.

ARNAL G.-B., SAHUC M. (2000) – Le Néolithique moyen de l'abri de La Poujade (Millau, Aveyron), *Bulletin de la Société préhistorique française*, 97, 4, p. 637-654.

ARNAL J. (1950) – A propos de la « néolithisation » de l'Europe occidentale, *Zephyrus*, I, p. 23-28.

ARNAL J. (1953) – La structure du Néolithique français d'après les récentes stratigraphies, *Zephyrus*, IV, p. 311-343.

ARNAL J. (1956) – La grotte de La Madeleine, *Zephyrus*, VII, p. 33-77.

ARNAL J., BENALET G. (1951) – Contribution à l'étude de la poterie néolithique, *Bulletin de la Société préhistorique de France*, 48, 11-12, p. 541-564.

ARNAL J., BAILLOUD G., RIQUET R. (1961) – *Les styles céramiques du Néolithique français*, Paris, Presses universitaires de France (Préhistoire, XIV), 200 p.

AUDIBERT J. (1958) – Réflexions sur le Chasséen, *Bulletin de la Société préhistorique française*, 55, 1, p. 94-104.

AUDIBERT J., ESCALON de FONTON (1958) – Nouveaux aperçus sur le Néolithique méridional, *Revista di studi liguri*, 24, 3/4, p. 5-23.

B

BAGOLINI B. (1977) – Le ceramiche graffite nel Neolitico dell'Italia settentrionale, *in* : Tiné dir., *Le ceramiche graffite nel Neolitico del Mediterraneo centro-occidentale*, Actes du colloque de Gênes (20-24 juin 1977), Trento, Museo Tridentini de Scienze Naturali (*da Preistoria Alpina*, 13), p. 12-25.

BAGOLINI B. (1980) – *Introduzione al Neolitico dell'Italia settentrionale. Nel quadro dell'evoluzione delle prime culture agricole europee*, Pordenone, Grafiche editoriali artistiche pordenonesi, Bollettino della Società naturalisti Silvia Zenan, supplemento n°1, 193 p.

BAILLOUD G. (1970a) – Signification de Roucadour C, *in* : J. Guilaine dir., *Les civilisations néolithiques du Midi de la France*, Actes du colloque de Narbonne (15-17 février 1970), Carcassonne, Laboratoire de préhistoire et de palethnologie (Atacina 5), p. 25.

BAILLOUD G. (1970b) – A quoi doit s'appliquer le terme de Cardial, *in* : J. Guilaine dir., *Les civilisations néolithiques du Midi de la France*, Actes du colloque de Narbonne (15-17 février 1970), Carcassonne, Laboratoire de préhistoire et de palethnologie (Atacina 5), p. 16.

BAILLOUD G. (1970c) – Données stratigraphiques et évolution interne du Chasséen, *in* : J. Guilaine dir., *Les civilisations néolithiques du Midi de la France*, Actes du colloque de Narbonne (15-17 février 1970), Carcassonne, Laboratoire de préhistoire et de palethnologie (Atacina 5), p. 47-48.

BAILLOUD G. (1970d) – Evolution interne et devenir du Cardial, *in* : J. Guilaine dir., *Les civilisations néolithiques du Midi de la France*, Actes du colloque de Narbonne (15-17 février 1970), Carcassonne, Laboratoire de préhistoire et de palethnologie (Atacina 5), p. 16-19.

BAILLOUD G., MIEG de BOOFZHEIM P. (1955) – *Les civilisations néolithiques de la France dans leur contexte européen*, Paris, A. et J. Picard et C^{ie}, 244 p.

BAILLS H. (1987) – Eléments pour une chronologie du Néolithique en Catalogne-nord, *in* : M. Grau, O. Poisson dir., *Etudes Roussillonnaises offertes à Pierre Ponsich. Mélanges d'archéologie, d'histoire et d'histoire de l'art du Roussillon et de la Cerdagne*, Perpignan, Le Pubicteur, p. 59-68.

BAILLS H. (1991) – *Le Néolithique des Pyrénées roussillonnaises*, thèse de doctorat, EHESS, Toulouse, 380 p.

BAILLS H. (1992) – Peut-on envisager une périodisation du groupe de Montbolo ?, *in* : *Estat de la investigació sobre el Neolític a Catalunya : centenari del naixement de P. Bosch Gimpera*, IX^e Colloqui international d'arqueologia de Puigcerdà (24-26 d'abril 1991), Andorra, Institut d'Estudis Ceretans, p. 147-149.

BALDELLOU V., UTRILLA P., GARCÍA GAZÓLAZ J. (2012) – Variscita de Can Tintorer en el Neolític antiguo del valle medio del Ebro, *in*: M. Borrell dir., *Neolithic Networks*, Actes del Congrès Internacional Xarxes al Neolític, *Rubricatum*, 5, p. 307-314.

BALFET H., FAUVET-BERTHELOT M.-F., MONZON S. (1983) – *Pour la normalisation de la description des poteries*, Paris, CNRS, 129 p.

BALSAN L. (1931) – Grotte de Sargel, *Journal de l'Aveyron*, 14, n° du 5 avril, p.2.

BALSAN L., COSTANTINI G. (1972) – Etude archéologique et synthèse sur le Chalcolithique des Grands Causses. La grotte 1 des Treilles à Saint-Jean et Saint-Paul (Aveyron), *Gallia Préhistoire*, 15, 1, p. 229-250.

BALSAN L., COSTANTINI G., SERRES J.-P. (1966) – *Grotte I de Sargel (Saint-Rome-de-Cernon, Aveyron)*, Rapport de Fouille, 9 p.

BALSAN L., COSTANTINI G., SERRES J.-P. (1967) – *Grotte I de Sargel (Saint-Rome-de-Cernon, Aveyron)*, Rapport de Fouille, Deuxième campagne de fouille, 8 p.

BARTHÈS P. (1988) – *La céramique du Néolithique moyen de l'abri de Font-Juvénal (Conques, Aude). Etude spatiale et culturelle*, mémoire de diplôme, Toulouse, Ecole des Hautes Etudes en Sciences Sociales, 126 p.

BARTHÈS P. (1994) – L'apport du remontage des vases dans l'analyse et l'interprétation d'une stratigraphie d'habitat néolithique. L'exemple de l'abri de Font-Juvénal à Conques-sur-Orbiel (Aude), in : D. Binder et J. Courtin dir., *Terre cuite et société : la céramique, document technique, économique, culturel*, actes des XIV^e Rencontres internationales d'archéologie et d'histoire d'Antibes (21-23 octobre 1993), Juan-les-Pins, APDCA, p. 199-216.

BATTENTIER J. (2018) – *Gestion des espaces forestiers provençaux et ligures au Néolithique : approche anthracologique*, Thèse de doctorat, Nice, Université Côte d'Azur, 234 p.

BEECHING A. (1983) – Sept années de fouilles dans le Néolithique de la vallée du Rhône (Exposé à la séance spéciale de Lyon), *Bulletin de la Société préhistorique française*, Actualité scientifique, 80, 8, p. 231-232.

BEECHING A. (1986) – Le Néolithique rhodanien : acquis récents et perspectives de recherche, in : J.-P. Demoule et J. Guilaine dir., *Le Néolithique de la France. Hommage à Gérard Bailloud*, Paris, Picard, p. 259-271.

BEECHING A. (1987) – Les gisements de la Baume de Ronze et de Rochas : contribution à l'étude d'un groupe Cardial Cèze-Ardèche et de ses prolongements septentrionaux, in : J. Guilaine, J. Courtin, J.-L. Roudil, J.-L. Vernet dir., *Premières communautés paysannes en Méditerranée occidentale*, Actes du Colloque international du CNRS (Montpellier, 26-29 avril 1983), Paris, Editions CNRS, p. 513-522.

BEECHING A. (1995) – Nouveau regard sur le Néolithique ancien et moyen rhodanien, in : J.-L. Voruz dir., *Chronologies néolithiques. De 6000 à 2000 avant notre ère dans le bassin rhodanien*, Actes du Colloque d'Ambérieu-en-Bugey (19-20 septembre 1992), XI^e Rencontres sur le Néolithique de la région Rhône-Alpes, Ambérieu-en-Bugey, Société préhistorique rhodanienne (Documents du département d'anthropologie et d'écologie de l'université de Genève, 20), p. 93-111.

BEECHING A. (1999) – Les premières étapes de circulation et de peuplement dans les Alpes françaises au Néolithique. Apport de la céramique, in : A. Beeching dir., *Circulations et identités culturelles alpines à la fin de la Préhistoire : matériaux pour une étude*, Programme collectif CIRCALP 1997-1998, Travaux du Centre d'Archéologie Préhistorique de Valence, 2, Valence, Agence Rhône-Alpes pour les sciences humaines, p. 427-480.

BEECHING A. (2002) – La fin du Chasséen et le Néolithique final dans le bassin du Rhône moyen, in : A. Ferrarri, P. Visentini dir., *Il declino del mondo neolitico. Ricerche in Italia centro-settentrionale fra aspetti peninsulari, occidentali e nord-alpini*, Atti del convegno (2001, Pordenone), Quaderni del Museo Archeologico del Friuli Occidentale, 4, p. 67-83.

BEECHING A. (2011) – Habitats pérennes ou précaires au Néolithique, *Techniques et culture*, 56, p. 48-61.

BEECHING A., BINDER D., BLANCHET J.-C., CONSTANTIN C., DUBOULOZ J., MARTINEZ R., MORDANT D., THEVENOT J.-P., VAQUER J. (1991) – Conclusion, *in* : A. Beeching, D. Binder, J.-C. Blanchet, C. Constantin, J. Dubouloz, R. Martinez, D. Mordant, J.-P. Thévenot, J. Vaquer dir., *Identité du Chasséen*, Actes du Colloque International de Nemours (17-19 mai 1989), Nemours, APRAIF (Mémoires du Musée de Préhistoire d'Île-de-France, 4), p. 423-428.

BEECHING A., NICOD P.-Y., THIERCELIN F., VORUZ J.-L. (1997) – Le Saint-Uze, un style céramique non chasséen du cinquième millénaire dans le bassin rhodanien, *in* : C. Constantin, D. Mordant, D. Simonin dir., *La culture de Cerny. Nouvelle économie, nouvelle société au Néolithique*, Actes du Colloque International de Nemours (9-11 mai 1994), Nemours, APRAIF (Mémoires du Musée d'Île-de-France, 6), p. 575-592.

BEECHING A., BERGER J.-F., BROCHIER J. L., FERBER F., HELMER D., SIDI MAAMAR H. (2000) – Chasséens : agriculteurs ou éleveurs, sédentaires ou nomades ? Quels types de milieux, d'économies et de sociétés ?, *in* : M. Leduc, N. Valdeyron, J. Vaquer dir., *Sociétés et espaces*, Actes des 3^{ème} Rencontres Méridionales de Préhistoire Récente (Toulouse, 6-7 novembre 1998), Toulouse, AEP, p. 59-100.

BEECHING A., BROCHIER J.-L., RIMBAULT S., VITAL J. (2010) – Les sites à fosses circulaires du Néolithique et de l'âge du Bronze ancien en moyenne vallée du Rhône : approche typologique et fonctionnelle, implications économiques et sociales, *in* : A. Beeching, E. Thiérou, J. Vital dir., *Economie et société à la fin de la Préhistoire. Actualités de la recherche*, Actes des 7^{ème} Rencontres Méridionales de Préhistoire Récente (3-4 novembre 2006, Bron), Document d'Archéologie en Auvergne et en Rhône-Alpes, 52, Lyon, Association de liaison pour le patrimoine et l'archéologie en Rhône-Alpes et en Auvergne, Maison de l'Orient et de la Méditerranée, p. 147-169.

BERGADÀ M. M., CERVELLÓ J. M., EDO M., ANTOLÍN F., MARTÍNEZ P. (2018) – Procesos deposicionales y antrópicos en el registro holoceno de la Cova de Can Sadurní (Begues, Barcelona, España): aportaciones microestratigráficas, *Boletín Geológico y Minero*, 129, 1/2, p. 251-284.

BERGER J.-F. (1999) – Rapport de l'étude géoarchéologique du site de Carcassonne-Auriac/Le Golf, *in* : A. Gaillard dir., *Carcassonne (Aude). Auriac-Golf*, Rapport de fouille programmée de sauvetage, Service régional de l'archéologie du Languedoc-Roussillon, p. 85-92.

BERGER J.-F. (2005) – Sédiments, dynamique du peuplement et climat au Néolithique ancien, *in* : J. Guilaine dir., *Populations néolithiques et environnements*, Séminaire du Collège de France, Paris, Errance, Collection des Hespérides, p. 155-212.

BERGER J.-F. (2009) – Les changements climato-environnementaux de l'Holocène ancien et la néolithisation du bassin méditerranéen, *in* : J.-P. Demoule dir., *La révolution néolithique dans le monde*, Paris, CNRS, p. 123-146.

BERGER J.-F., CAROZZA J.-M., CASTANET C., CUBIZOLLE H., DENDIEVEL A.-M., DESCHODT L., FRANC O., GHILARDI M., LESPEZ L., SALVADOR P.-G., SIVAN O., VANNIÈRE B., ARGANT J., BOULEN M., BROCHIER J.-L., CAROZZA L., GERMAIN-VALLÉE C., LEMER L. (2018) – Climat et environnements : les étapes de la

première anthropisation de l'espace (6000-2000 BCE) en France, in : J. Guilaine et D. Garcia dir., *La Protohistoire de la France*, Paris, Hermann Editeurs, p. 53-78.

BERNABEU AUBÁN J., MARTÍ OLIVER B. (2012) – Región central del Mediterráneo, in : M. Rojo Guerra, R. Garrido Pena, Í. García Martínez de Lagrán dir., *El Neolítico en la península ibérica y su contexto europeo*, Madrid, Ediciones Cátedra, p. 371- 403.

BERNABEU AUBÁN J., MOLINA BALAGUER L., ESQUEMBRE BEBIA M. A., ORTEGA J. R., BORONAT SOLER J. de D. (2009) – La cerámica impressa mediterránea en el origen del Neolítico de la península Ibérica ?, in : *De Méditerranée et d'ailleurs... Mélanges offerts à Jean Guilaine*, Toulouse, AEP, p. 83-95.

BERNABÓ BREA M. (1977) – La ceramica graffita materana, in : Tiné dir., *Le ceramiche graffite nel deolitico del Mediterraneo centro-occidentale*, Actes du colloque de Gênes (20-24 juin 1977), Trento, Museo Tridentini di Scienze Naturali (*da Preistoria Alpina*, 13), p. 28-30.

BEYNEIX A. (2012) – Le monde des morts au Néolithique en Aquitaine : essai de synthèse, *L'Anthropologie*, 116, p. 222-233.

BINDER D. (1984) – Systèmes de débitage laminaire par pression : exemples chasséens provençaux, in : *Préhistoire de la pierre taillée 2 : économie du débitage laminaire : technologie et expérimentation*, Actes de la IIIe table ronde de technologie lithique (Meudon-Bellevue, octobre 1982), Paris, Cercle de Recherches et d'Etudes Préhistoriques, p. 71-84.

BINDER D. (1986) – Economie des matières premières dans le Néolithique moyen de Giribaldi (Nice), *Bulletin de la Société préhistorique française*, Vie de la Société, 83, 3, p. 71.

BINDER D. (1987) – *Le Néolithique ancien provençal. Typologie et technologie des outillages lithiques*, Paris, CNRS Editions (XXIV^e supplément à Gallia Préhistoire), 205 p.

BINDER D. (1990) – Néolithique moyen et supérieur dans l'aire liguro-provençale : le cas de Giribaldi (Nice, Alpes-Maritimes), in : J. Guilaine, X. Gutherz dir., *Autour de Jean Arnal*, Montpellier, Recherches sur les premières communautés paysannes en Méditerranée occidentale, p. 147-161.

BINDER D. dir. (1991) – *Une économie de chasse au Néolithique ancien : la grotte Lombard à Saint-Vallier-de-Thiery (Alpes-Maritimes)*, Paris, CNRS, 243 p.

BINDER D. (1991) – Facteur de variabilité des outillages lithiques chasséens dans le Sud-Est de la France, in : A. Beeching, D. Binder, J.-C. Blanchet, C. Constantin, J. Dubouloz, R. Martinez, D. Mordant, J.-P. Thévenot, J. Vaquer dir., *Identité du Chasséen*, Actes du Colloque International de Nemours (17-19 mai 1989), Nemours, APRAIF (Mémoires du Musée de Préhistoire d'Île-de-France, 4), p. 261-272.

BINDER D. (1994) – Eléments pour la caractérisation des productions céramiques néolithiques dans le Sud de la France. L'exemple de Giribaldi, in : D. Binder et J. Courtin dir., *Terre cuite et société : la céramique, document technique, économique, culturel*, actes des XIV^e Rencontres internationales d'archéologie et d'histoire d'Antibes (21-23 octobre 1993), Juan-les-Pins, APDCA, p. 255-267.

BINDER D. (1995) – Eléments pour la chronologie du Néolithique ancien à céramique imprimée dans le Midi, in : J.-L. Voruz dir., *Chronologies néolithiques. De 6000 à 2000 avant notre ère dans le bassin*

rhodanien, Actes du Colloque d'Ambérieu-en-Bugey (19-20 septembre 1992), XI^e Rencontres sur le Néolithique de la région Rhône-Alpes, Ambérieu-en-Bugey, Société préhistorique rhodanienne (Documents du département d'anthropologie et d'écologie de l'université de Genève, 20), p. 55-66.

BINDER D. (1998) – Silex blond et complexité des assemblages lithiques dans le Néolithique liguro-provençal, *in* : A. d'Anna et D. Binder dir., *Production et identité culturelle. Actualités de la recherche*, Actes des 2^{ème} Rencontres Méridionales de Préhistoire Récente (8-9 novembre 1996, Arles), Antibes, APDCA, p. 111-128.

BINDER D. dir. (2004) – *Un chantier archéologique à la loupe : villa Giribaldi, Nice*, Nice, Ville de Nice, Direction Centrale des Affaires Culturelles, Musée d'Archéologie, 79 p.

BINDER D. (2015) – Transferts et interculturalités en méditerranée nord-occidentale (VI^e-IV^e millénaire cal. BCE), *in* : N. Naudinot, L. Meignen, D. Binder, G. Querré dir., *Les systèmes de mobilités de la Préhistoire au Moyen Âge*, Actes des XXXV^e Rencontres internationales d'Archéologie et d'Histoire d'Antibes (14-16 octobre 2014), Antibes, APDCA, p. 369-386.

BINDER D. (2016a) – Le Chasséen et ses « cultures sœurs » : apport du colloque de 2014, *in* : T. Perrin, P. Chambon, J. F. Gibaja, G. Goude dir., *Le Chasséen, des Chasséens... Retour sur une culture nationale et ses parallèles, Sepulcres de fossa, Cortailod, Lagozza*, Actes du colloque international (Paris, 18-20 novembre 2014), Toulouse, AEP, p. 541-552.

BINDER D. (2016b) – Approvisionnement et gestion des outillages lithiques au Néolithique. L'exemple de Nice « Giribaldi » en Provence orientale, *in* : A. Tomasso, D. Binder, G. Martino, G. Porraz, P. Simon, N. Naudinot dir., *Ressources lithiques, productions et transferts entre Alpes et Méditerranée*, Actes de la Séance de la Société préhistorique française (Nice, 28-29 mars 2013), Paris, Société préhistorique française, 5, p. 289-311.

BINDER D., COURTIN J. (1986) – Les styles céramiques du Néolithique ancien provençal. Nouvelles migraines taxinomiques ?, *in* : J.-P. Demoule et J. Guilaine dir., *Le Néolithique de la France. Hommage à Gérard Bailloud*, Paris, Picard, p. 83-93.

BINDER D., PERLÈS C. (1990) – Stratégies de gestion des outillages lithiques au Néolithique, *Paleo*, 2, p. 257-283.

BINDER D., MAGGI R. (2001) – Le Néolithique ancien de l'arc liguro-provençal, *Bulletin de la Société préhistorique française*, 98, 3, p. 411-422.

BINDER D., SÉNÉPART I. (2004) – Derniers chasseurs et premiers paysans de Vaucluse. Mésolithique et Néolithique ancien 7000-4700 av. J.-C., *in* : J. Buisson-Catil, A. Guilcher, C. Hussy et al. Dir., *Vaucluse préhistorique : le territoire, les hommes, les cultures et les sites*, Le Pontet, A. Barthélémy, p. 130-162.

BINDER D., SÉNÉPART I. (2010) – La séquence de l'Impresso-Cardial de l'abri Pendimoun et l'évolution des assemblages céramiques en Provence, *in* : C. Manen, F. Convertini, D. Binder, I. Sénépart dir., *Premières sociétés paysannes de Méditerranée occidentale. Structures des productions céramiques*, séance de la Société préhistorique française (Toulouse, 11-12 mai 2007), Paris, Société préhistorique française, Mémoire 51, p. 149-167.

BINDER D., LEPÈRE C. (2014) – From Impresso-Cardial to SMP and Chassey in Provence, *Rivista di Studi Liguri*, LXXVII-LXXIX, p. 21-29.

BINDER D., GASSIN B., SÉNÉPART I. (1994) – Éléments pour la caractérisation des productions céramiques dans le Sud de la France. L'exemple de Giribaldi, in : D. Binder et J. Courtin dir., *Terre cuite et société : la céramique, document technique, économique, culturel*, actes des XIV^e Rencontres internationales d'archéologie et d'histoire d'Antibes (21-23 octobre 1993), Juan-les-Pins, APDCA, p. 255-267.

BINDER D., LEPÈRE C., MAGGI R. (2008) – Epipaléolithique et Néolithique dans l'arc liguro-provençal : bilan et perspectives de recherches, *Bulletin du Musée d'Anthropologie préhistorique de Monaco*, supplément n°1, p. 49-62.

BINDER D., CLOP X., CONVERTINI F., MANEN C., SÉNÉPART I. (2010) – Les productions céramiques du Néolithique ancien entre Provence et Catalogne, in : C. Manen, F. Convertini, D. Binder, I. Sénépart dir., *Premières sociétés paysannes de Méditerranée occidentale. Structures des productions céramiques*, séance de la Société préhistorique française (Toulouse, 11-12 mai 2007), Paris, Société préhistorique française, Mémoire 51, p. 115-129.

BINDER D., CONVERTINI F., MANEN C., SÉNÉPART I. (2010) – Les productions céramiques du Néolithique ancien : proposition d'un protocole d'analyse, in : C. Manen, F. Convertini, D. Binder, I. Sénépart dir., *Premières sociétés paysannes de Méditerranée occidentale. Structures des productions céramiques*, séance de la Société préhistorique française (Toulouse, 11-12 mai 2007), Paris, Société préhistorique française, Mémoire 51, p. 29-42.

BINDER D., GRATUZE B., VAQUER J. (2012) – La circulation de l'obsidienne dans le Sud de la France au Néolithique, in : M. Borrell dir., *Neolithic Networks*, Actes del Congrès Internacional Xarxes al Neolític, *Rubricatum*, 5, p. 189-199.

BINDER D., LANOS P., ANGELI L., GOMART L., GUILAINE J., MANEN C., MAGGI R., MUNTONI I. M., PANELLI C., RADI G., TOZZI C., AROBBA D., BATTENTIER J., BRANDAGLIA M., BOUBY L., BRIOIS F., CARRÉ A., DELHON C., GOURICHON L., MARINVAL P., NISBET R., ROSSI S., ROWLEY-CONWY P., THIÉBAULT S. (2017) – Modelling the earliest north-western dispersal of Mediterranean Impressed Wares : new dates and Bayesian chronological model, *Documenta Praehistorica*, XLIV, p. 54-77.

BINDER D., LARDEAUX J.-M., DUBAR M., DURRENMATH G., MUNTONI I. M., JACOMET S., MONGE G., LEPÈRE C. (2018) – South-eastern Italian transfers toward the Alpes during the 5th millennium BCE: Evidence of « Serra d'Alto » ware within Squarred-Mouth Pottery deposits at the Lare 2 cave (Saint-Benoit, Alpes-de-Haute-Provence, France), *Journal of Archaeological Science*, 21, p. 222-237.

BINTZ P., PICAUVET R., EVIN J. (1995) – L'évolution culturelle du Mésolithique au Néolithique moyen en Vercors et dans les Alpes du Nord, in : J.-L. Voruz dir., *Chronologies néolithiques. De 6000 à 2000 avant notre ère dans le bassin rhodanien*, Actes du Colloque d'Ambérieu-en-Bugey (19-20 septembre 1992), XI^e Rencontres sur le Néolithique de la région Rhône-Alpes, Ambérieu-en-Bugey, Société préhistorique rhodanienne (Documents du département d'anthropologie et d'écologie de l'université de Genève, 20), p. 41-53.

BLASCO A., EDO M., VILLALBA M. J. (2005) – Neolítico Avanzado y cambio cultural. Reflexiones sobre la complejidad de algunas sociedades neolíticas europeas, *in* : P. Arias Cabal, R. Ontañón Peredo, C. García-Moncó Piñeiro eds., *III^e Congreso del Neolítico en la Península Ibérica (Santander, 5-8 de octubre 2003)*, Santander, Universidad de Cantabria, Monografías del Instituto Internacional de Investigaciones Prehistóricas de Cantabria, 1, p. 823-832.

BLASCO A., EDO M., VILLALBA M. J. (2008) – Evidencias de procesado y consumo de cerveza en la cueva de Can Sadurní (Begues, Barcelona) durante la Prehistoria, *in* : M. S. Hernández Pérez, J. A. Soler Díaz, J. A. López Padilla eds., *IV Congreso del Neolítico Peninsular (Alicante, 27-30 noviembre 2006)*, Tomo I, Museo Arqueológico de Alicante, p. 428-431.

BOBOEUF M. (2003a) – Synthèse archéologique, *in* : M. Boboeuf, A. Bridault, J. É. Brochier, E. David, B. Loiseleur, P. Marinval, J.-C. Marquet dir., *Le Clos de Poujol (Aveyron), fouilles programmées triennales 2001-2002-2003. Rapport triennal 2003*, Toulouse, Service Régional de l'Archéologie, p. 19-63.

BOBOEUF M. (2003b) – Synthèse sur les roches tenaces et exogènes, *in* : M. Boboeuf, A. Bridault, J. É. Brochier, E. David, B. Loiseleur, P. Marinval, J.-C. Marquet dir., *Le Clos de Poujol (Aveyron), fouilles programmées triennales 2001-2002-2003. Rapport triennal 2003*, Toulouse, Service Régional de l'Archéologie, p. 95-96.

BOBOEUF M. (2004) – Le Néolithique ancien du Clos de Poujol (Aveyron), premiers éléments, *in* : H. Dartevelle dir., *Auvergne et Midi. Actualité de la recherche*, Actes des 5^{ème} Rencontres Méridionales de Préhistoire Récente (Clermont-Ferrand, 8-9 novembre 2002), *Préhistoire du Sud-Ouest*, supplément 9, p. 313-319.

BOBOEUF M. dir. (2005) – *Le Clos de Poujol (Aveyron), fouilles programmées 2004-2005. Rapport 2005*, Toulouse, Service Régional de l'Archéologie, 52 p.

BOBOEUF M., BRIDAULT A. (1997) – Quelques données sur les occupations mésolithiques du Clos de Poujol (Aveyron), *Bulletin de la Société Préhistorique Française*, 94, 1, p. 51-60.

BOBOEUF M., BRIDAULT A., BROCHIER J.É., DAVID E., LOISELEUR B., MARINVAL P., MARQUET J.-C. dir. (2003) – *Le Clos de Poujol (Aveyron), fouilles programmées triennales 2001-2002-2003. Rapport triennal 2003*, Toulouse, Service Régional de l'Archéologie, 102 p.

BORDES F. (1980) – Question de contemporanéité : l'illusion des remontages, *bulletin de la Société préhistorique française*, 77, 5, p. 132-135.

BORDES J.-G. (2000) – La séquence aurignacienne de Caminade revisitée : l'apport des raccords d'intérêt stratigraphique, *Paléo*, 12, p. 387-407.

BORGEN V. (2016) – *Une approche ethnoarchéométrique : traditions et techniques potières chez les groupes Woloyta et Oromo (Ethiopie)*, Mémoire de Master 2, Université Bordeaux Montaigne, Bordeaux, 91 p.

BORRELL F., GÓMEZ A., MOLIST M., TORNERO C., VIVENTE O. (2013) – Les ocupacions de la Cova de Sant Llorenç (Sitges, Garraf) : noves aportacions al coneixement de la prehistòria del Garraf, *Tribuna d'arqueologia*, Vol. 2011-2012, p. 110-128.

BORELLO M. A. (2012) – De la Méditerranée aux Alpes. Matières premières et biens de prestige entre le V^e et le IV^e millénaire av. J.-C. en Suisse occidentale, *in*: M. Borrell dir., *Neolithic Networks*, Actes del Congrés Internacional Xarxes al Neolític, *Rubricatum*, 5, p. 419-423.

BORELLO M. A., BOSCH J., DE GROSSI MAZZORIN J., ESTRADA MARTÍN A. (2012) – Les parures néolithiques en corail (*Corallium rubrum* L.) d'Europe occidentale, *Rivista di Scienze Preistoriche*, LXII, p. 67-82.

BOSCH i LLORET A. (1991) – *El Neolític antic al N.E. de Catalunya*, thèse de doctorat, Universitat autònoma, Barcelona, 714 p.

BOSCH A., TARRÚS J. (1996) – Les ceràmiques d'estil Montboló dins l'evolució del Neolític a Catalunya, *in* : *Estat del investigació sobre el Neolític a Catalunya. Centenari del naixement de P. Bosch Gimpera*, 9^{ème} colloqui international d'arqueologia de Puigcerdà (Puigcerdà y Andorra, 24-26 de abril 1991), Andorre, Intitut d'estudis ceretans, servei d'arqueologia d'Andorra, p. 139-143.

BOSCH J., FAURA J. M. (2003) – Pratiques funéraires néolithiques dans la région des Bouches de l'Ebre, *in* : P. Chambon et J. Leclerc dir., *Les pratiques funéraires néolithiques avant 3500 av. J.-C. en France et dans les régions limitrophes*, Actes de de la Table-ronde de la Société préhistorique française (Saint-Germain-en-Laye, 15-17 juin 2001), Paris, Société préhistorique française, Mémoire 33, p. 153-158.

BOSCH ARGILAGÓS J., DEL MAR VILLALBÍ PRADES M., FORCADELL VERICAT A. (1996) – El Barranc d'en Fabra (Amposta, Montsía): un assentament neolític a l'aire lliure, *Tribuna d'Arqueologia*, 1994-1995, p. 51-62.

BOUBY L. (1999) – Rapport d'analyse carpologique 1999, *in* : A. Gaillard dir., *Carcassonne (Aude). Auriac-Golf*, Rapport de fouille programmée de sauvetage, Service régional de l'archéologie du Languedoc-Roussillon, p. 83-84.

BOUBY L., DURAND F. (2019) – Rapport d'analyse carpologique 2019, *in* : T. Perrin dir., *Fouille archéologique de Roquemissou à Montrozier (Aveyron)*, Rapport d'opération programmée triennale 2017-2019, Toulouse/Montpellier, Service régional de l'archéologie, p. 197-204.

BOUBY L., DIETSCH-SELLAMI M.-F., MARTIN L., MARINVAL P., WIETHOLD J. (2018) – Ressources végétales et économie de subsistance au Néolithique en France (6000-2000 av. J.-C.), *in* : J. Guilaine et D. Garcia dir., *La Protohistoire de la France*, Paris, Hermann Editeurs, p. 141-152.

BOUBY L., DURAND F., ROUSSELET O., MANEN C. (2018) – Early farming economy in Mediterranean France: fruit and seed remains from the Early to Late Neolithic levels of the site of Taï (ca 5300-3500 cal. bc), *Vegetation History and Archaeobotany*, 18 p.

BOUTIN J.-Y., COSTANTINI G., PUJOL J. (1997) – Le Néolithique ancien de la grotte de l'Ourtiguet, Sainte-Eulalie-de-Cernon, *Vivre en Rouergue, Cahiers d'Archéologie aveyronnaise*, 11, p. 15-18.

BREHARD S. (2011) – Le complexe chasséen vu par l'archéozoologie: révision de la dichotomie nord-sud et confirmation de la partition fonctionnelle au sein des sites méridionaux, *Bulletin de la Société préhistorique française*, 108, 1, p. 73-92.

BRIOIS F. (1997) – *Les industries lithiques en Languedoc méditerranéen, 6000-2000 av. J.-C. : rythme et évolution dans la fabrication des outillages de pierre taillée néolithiques entre mer et continent*, thèse de doctorat, EHESS, Paris, 565 p.

BRIOIS F. (2000) – Variabilité techno-culturelle des industries lithiques du Néolithique ancien en Languedoc, in : M. Leduc, N. Valdeyron, J. Vaquer dir., *Sociétés et espaces*, Actes des 3^{ème} Rencontres Méridionales de Préhistoire Récente (Toulouse, 6-7 novembre 1998), Toulouse, AEP, p. 43-50.

BRIOIS F. (2005) – *Les industries de pierre taillée néolithiques en Languedoc occidental. Nature et évolution des outillages entre les 6^{ème} et 3^{ème} millénaires av. J.-C.*, Lattes, Association pour le Développement de l'Archéologie en Languedoc-Roussillon (Monographie d'Archéologie Méditerranéenne, 20), 341 p.

BROCHIER J. L. (2005) – Des hommes et des bêtes : une approche naturaliste de l'histoire et des pratiques de l'élevage, in : J. Guilaine dir., *Populations néolithiques et environnements*, Séminaire du Collège de France, Paris, Errance, Collection des Hespérides, p. 137-152.

BROCHIER J.-L. (2018) – Cadre géomorphologique. Données sur les dynamiques sédimentaires et paléoenvironnementales sur le plateau de Lautagne du Pléistocène à l'Holocène, focalisation sur les périodes néolithique, gallo-romaine et leur contexte taphonomique, in : M. Kielb Zaaraoui, Y. Zaaraoui, L. Buffat, J.-L. Brochier, W. Galin dir., *Camps de l'armée romaine et occupations diachroniques sur le plateau de Lautagne (Valence, Drôme)*, Rapport final d'opération, Fouille archéologique, Volume 1, Mosaïques archéologie, ACTER, Service régional de l'archéologie Auvergne-Rhône-Alpes, p. 117-188.

BROCHIER J.-L., GALIN W. (2018) – Données taphonomiques des niveaux néolithiques, in : M. Kielb Zaaraoui, Y. Zaaraoui, L. Buffat, J.-L. Brochier, W. Galin dir., *Camps de l'armée romaine et occupations diachroniques sur le plateau de Lautagne (Valence, Drôme)*, Rapport final d'opération, Fouille archéologique, Volume 1, Mosaïques archéologie, ACTER, Service régional de l'archéologie Auvergne-Rhône-Alpes, p. 194-195.

BRONK RAMSEY C. (2017) – Methods for Summarizing Radiocarbon Datasets, *Radiocarbon*, 59, 2, p. 1809-1833.

BUFFAT L. (2018) – Introduction, in : M. Kielb Zaaraoui, Y. Zaaraoui, L. Buffat, J.-L. Brochier, W. Galin dir., *Camps de l'armée romaine et occupations diachroniques sur le plateau de Lautagne (Valence, Drôme)*, Rapport final d'opération, Fouille archéologique, Volume 1, Mosaïques archéologie, ACTER, Service régional de l'archéologie Auvergne-Rhône-Alpes, p. 95-114.

BURRI E. (2007) – *La station lacustre de Concise, 2. La céramique du Néolithique moyen : analyse spatiale et histoire des peuplements*, Lausanne, Cahiers d'archéologie romande, 109, 310 p.

BUXÓ R. (2006) – Les restes des semences et fruits archéologiques de la grotte de Montou. Bilan à la mémoire de Françoise Claustre, *Etudes Roussillonnaises, Revue d'Histoire et d'Archéologie Méditerranéenne*, XXII, p. 33-43.

C

CAMBON C., CAROZZA L., DEVILLIERS B., FUNK F., GANGLOFF N., MALLET L., RUFFAT A., RUFFAT H., SALINIER J.-F. (1995) – Le cadre géographique, *in* : *Carte archéologique de la Gaule. Le Tarn (81)*, Paris, Académie des Inscriptions et Belles Lettres, p. 39.

CANNAVÒ V., BERNABÒ BREA M., LEVI S. T., MAZZIERI P. (2013) – Dati archeologici e analisi archeometrica di vasetti tipo « San Martino » rinvenuti in Emilia, *Rivista di Studi Liguri*, LXXVII-LXXIV, p. 191-201.

CARO J. (2013) – *Entre Mésolithique et Néolithique : quel statut pour les productions céramiques aveyronnaises du VI^e millénaire avant notre ère*, Mémoire de Master 2, EHESS-Université Toulouse 2, Toulouse, 56 p.

CARO J., MANEN C. (2018) – Le mobilier céramique de la Zone 5, *in* : T. Perrin dir., *Fouille archéologique de Roquemissou à Montrozier (Aveyron)*, Second rapport intermédiaire d'opération programmée triennale 2017-2019, Toulouse/Montpellier, Service régional de l'archéologie, p. 57-68.

CARO J., MANEN C. (à paraître) – Les Coudoumines I-C (Caramany, Pyrénées-Orientales) : analyse typotechnologique de la production céramique, *in* : J. Kotarba J., A. Vignaud, M. Martzluff dir. (à paraître) – *Archéologie d'une vallée engloutie. Barrage sur l'Agly (Caramany, Ansignan, Cassagnes, Trilla - Pyrénées-Orientales)*, Volume 1 : Synthèses sur les occupations du Paléolithique à l'Antiquité tardive, Volume 2 : Les sites fouillés, Conseil Général des Pyrénées-Orientales, collection Archéologie Départementale.

CARO J., ROJO GUERRA M. A., GARCÍA MARTÍNEZ DE LAGRÁN Í, ORTEGA L., GARCÍA GAZÓLAZ J., SESMA SESMA J. (à paraître) – Standardisation des productions céramiques au V^e millénaire avant notre ère Analyse des assemblages du site de Los Cascajos (Los Arcos, Navarre), *in* : R. Peake, S. Bauvais, C. Hamon, C. Mordant dir., *La spécialisation des productions et les spécialistes*, Actes XVIII^e Congrès mondial UISPP (Paris, 4-9 juin 2018), Session XXXIV-2, *Séance de la Société préhistorique française*.

CARO J., MANEN C., BAUX A. (à paraître) – Les céramiques du Néolithique ancien et du Néolithique moyen, *in* : C. Manen dir. *Le Taï (Remoulins – Gard). Premières sociétés agropastorales du Languedoc méditerranéen (6e-3e millénaire avant notre ère)*, Toulouse, AEP.

CAROZZA L. (1997) – Un puits du groupe de Bize sur le site de Bram-Buzerens, *in* : J. Guilaine, P. Barthès dir., *La Poste-Vieille à Pezens (Aude). De l'enceinte néolithique à la Bastide d'Alzau*, Toulouse, Centre d'Anthropologie, Carcassonne, Archéologie en Terre d'Aude, p. 200-204.

CAROZZA J.-M. (2009) – Cadre géographique et données géomorphologiques du département de l'Aude, *in* : P. Ournac, M. Passelac, G. Rancoule dir., *Carte archéologique de la Gaule. L'Aude, 11/2*, Paris, Académie des Inscriptions et Belles Lettres, p. 48-53.

CASTETS A. (2018) – Le contexte stratigraphique d'après les données géomorphologiques, *in* : A. Gaillard dir., *PRAE Charles Cros, Las Trincados. Première section : données administratives, deuxième section : résultats*, Rapport final d'opération, Fouille préventive, Acter, Mosaïque Archéologie, Service régional de l'Archéologie d'Occitanie, volume 5, p. 67-87.

CAULIEZ J. (2011a) – Restitution des aires culturelles au Néolithique final dans le Sud-est de la France. Dynamiques de formation et d'évolution des styles céramiques, *Gallia Préhistoire*, 53, p. 85-202.

CAULIEZ J. (2011b) – 2900-1900 av. n.-è. Une méthodologie et un référentiel pour un millénaire de produit céramique dans le Sud-Est de la France, *Préhistoires méditerranéennes*, Supplément, Aix-en-Provence, APPAM, 126 p.

CAULIEZ J., DELAUNAY G., DUPLAN V. (2002) – Nomenclature et méthode de description pour l'étude des céramiques de la fin du Néolithique en Provence, *Préhistoires méditerranéennes*, 10-11, p. 61-82.

CAULIEZ J., MANEN C., ARD V., CARO J., BEN AMARA A., BOCQUET-LIENARD A., BRUXELLES L., CANTIN N., SAVARY X. (2017) – Technical traditions and pottery craftsmanship among the Woloyta and Oromo groups in Ethiopia. Actulist references for refining prehistoric ceramic analytical protocols, *in* : L. Burnez-Lanotte dir., *Matière à penser : sélection et traitement des matières premières dans les productions potières du Néolithique ancien*, actes de la table ronde de Namur (29-30 mai 2015), séance de la Société préhistorique française, 11, p. 29-58.

CAVA A. (1990) – El Neolítico en el País Vasco, *Munibe*, 42, p. 97-106.

CHAMBON P., GIBAJA J. F., GOUDE G., PERRIN T. (2016) – Le Chasséen est-il encore utile ? Un colloque, 25 ans après Nemours, *in* : T. Perrin, P. Chambon, J. F. Gibaja, G. Goude dir., *Le Chasséen, des Chasséens... Retour sur une culture nationale et ses parallèles, Sepulcres de fossa, Cortaillod, Lagozza*, Actes du colloque international (Paris, 18-20 novembre 2014), Toulouse, AEP, p. 5-9.

CIVETTA A., DEVRIENDT W., MAHIEU E., de FREITAS L., SIGNOLI M. (2007) – Apport anthropologique à l'étude des sépultures de la nécropole néolithique du Moulin Villard (Caissargues, Gard), *in* : *Un siècle de construction du discours scientifique en Préhistoire*, « ... Aux conceptions d'aujourd'hui », Actes du XXVI^e Congrès préhistorique de France (Avignon, 21-25 septembre 2004), Paris, Société préhistorique française, volume 3, p. 545-554.

CLAUSTRE F., VAQUER J. (1995) – Grotte ou plein air. Acquis et perspectives pour le Néolithique Nord-pyrénéen, *in* : *Cultures i Medi de la Prehistòria a l'Edat Mitjana. 20 Anys d'Arqueologia Pirinenca. Homenatge al Professor Jean Guilaine*, X^e Colloqui international d'arqueologia de Puigcerdà (Puigcerdà i Osseja, 10-12 de novembre 1994), Puigcerdà, Institut d'Estudis Ceretans, p. 221-239.

CLAUSTRE F., PONSICH P. (2001) – Complément à l'étude de la céramique néolithique de la galerie close de Montou en Roussillon, *Etudes roussillonnaises, Revue d'histoire et d'archéologie méditerranéennes*, 18, p. 79-95.

CLAUSTRE F., ZAMMIT J., BLAISE Y. dir. (1993) – *La Cauna de Belestà : une tombe collective il y a 6000 ans*, Toulouse, Centre d'Anthropologie des Sociétés Rurales, 286 p.

CLEMENTE-CONTE I., GASSIO BALLBÉ E., REY LANASPA J., ANTOLÍN F., OBEA GÓMEZ L., VIÑERTA CRESPO À.0 SAÑA SEGUI M. (2016) – Cueva de Coro Trasito (Tella-Sin, Huesca) : un asentamiento pastoril en el Pirineo central con ocupaciones del Neolítico antiguo y del Bronce medio, *in* : J. I. Lorenzo Izalde y J. M. Rodanés Vicente eds., *I Congreso CAPA, Arqueología Patrimonio Aragonés (24-25 noviembre 2015)*, Colegio Oficial de Doctores y Licenciados en Filosofía y Letras y en Ciencias de Aragón, p. 71-80.

CLOP X. (2004) – La gestión de los recursos minerales durante la prehistoria reciente en el noreste de la Península Ibérica, *Cypsela*, 15, p. 171-186.

CLOTTE J., GIRAUD J.-P. (1991) - Le Chasséen des Grands Causses et du Quercy, *in* : Beeching et al. dir., *Identité du Chasséen*, Actes du colloque international de Nemours (1989), Mémoire du Musée de Préhistoire d'Île-de-France, 4, CNRS, Paris, p. 19-26.

COLAS C. (2005) – Exemples de reconstitutions des chaînes opératoires des poteries du Néolithique moyen II dans la moitié nord de la France, *in* : A. Livingstone-Smith, D. Bosquet, R. Martineau eds., *Pottery Manufacturing Processes: Reconstitution and Interprétation*, acts of the XIVth UISPP Congress (Liège, 2-8 September 2001), Oxford, Archeopress (British Archaeological Report, International Séries, 1349), p. 139-146.

COLAS C. (2018) – Etude technologique de la céramique du Chasséen ancien, *in* : F. Convertini et C. Georjon dir., *Le Champ du Poste (Carcassonne, Aude). Une succession d'occupations du début du Néolithique moyen à l'âge du Bronze ancien*, Toulouse, AEP, p. 177-195.

COLI V. L., LEDEVIN R., CARO J. (2020) – Analyses micro-tomographiques de la céramique néolithique de La Teularia : résultats préliminaires et perspectives, *in* : W. Galin dir., *Domaine de la Tuilerie, La Teularia*, Rapport final d'opération, Fouille préventive, ACTER, Service régional de l'Archéologie d'Occitanie, p. 142-150.

COLOMBO M. (2012) – Forme é decorazioni vascolari standardizzate nella cultura di Catignano (5600-4800 cal. BC): un caso di condivisione di « unità du misura » del Neolitico italiano, *in* : M. Borrell dir., *Neolithic Networks*, Actes del Congrés Internacional Xarxes al Neolític, *Rubricatum*, 5, p. 343-350.

CONSTANTIN C. (2013) – Précisions sur l'étape finale du Rubané récent du Bassin parisien et la formation du groupe de Villeneuve-Saint-Germain, *Bulletin de la Société préhistorique française*, 110, 3, p. 473-494.

CONVERTINI F. (2010) – Bilan des études réalisées sur la provenance de la céramique du Néolithique ancien en Méditerranée nord-occidentale. Mise au point d'un protocole analytique, *in* : C. Manen, F. Convertini, D. Binder, I. Sénépart dir., *Premières sociétés paysannes de Méditerranée occidentale. Structures des productions céramiques*, séance de la Société préhistorique française (Toulouse, 11-12 mai 2007), Paris, Société préhistorique française, Mémoire 51, p. 13-27.

CONVERTINI F. (2014) – Péto-céramologie, origine des argiles, *in* : A. Vignaud dir., *Pyrénées orientales (66), LGV 66, Liaison ferroviaire Perpignan-Le Perthus, Montesquieu-les-Albères, Trompette-Basse. Un ensemble du début du Néolithique moyen associant habitat et zone d'activité*, Rapport final

d'opération, Fouille archéologique, Inrap Méditerranée, Service régional du Languedoc-Roussillon, p. 250-256.

CONVERTINI F. (2017) – Etude microscopique des pâtes de vases du Néolithique ancien issu des fouilles anciennes, *in* : C. Manen dir., *Combe-Grèze, La Cresse, Aveyron*, Rapport de sondages, Montpellier/Toulouse, Service régional de l'archéologie préventive, p. 44-55.

CONVERTINI F. (2018) – Etude pétrographique de la céramique du Chasséen ancien, *in* : F. Convertini et C. Georjon dir., *Le Champ du Poste (Carcassonne, Aude). Une succession d'occupations du début du Néolithique moyen à l'âge du Bronze ancien*, Toulouse, AEP, p. 197-206.

CONVERTINI F., GEORJON C. dir. (2018) – *Le Champ du Poste (Carcassonne, Aude). Une succession d'occupations du début du Néolithique moyen à l'âge du Bronze ancien*, Toulouse, AEP, 497 p.

CONVERTINI F., GEORJON C. (2018) – Le Chasséen ancien, *in* : F. Convertini et C. Georjon dir., *Le Champ du Poste (Carcassonne, Aude). Une succession d'occupations du début du Néolithique moyen à l'âge du Bronze ancien*, Toulouse, AEP, p. 339-363.

COSTANTINI G. (1970) – L'évolution du Chasséen caussenard, *in* : J. Guilaine dir., *Les civilisations néolithiques du Midi de la France*, Actes du colloque de Narbonne (15-17 février 1970), Carcassonne, Laboratoire de préhistoire et de paléontologie (Atacina 5) , p. 31-33.

COSTANTINI G. (1984) – Le Néolithique et le Chalcolithique des Grands Causses, I. Etude archéologique, *Gallia Préhistoire*, 27, 1, p. 121-210.

COSTANTINI G. (1999) – Nouvelle chronologie du Néolithique caussenard, *Vivre en Rouergue, Cahiers d'archéologie aveyronnaise*, 13, p. 35-39.

COSTANTINI G., MAURY J. (1986) – Le Néolithique ancien de l'abri de la Combe-Grèze, commune de La Cresse (Aveyron), *Bulletin de la Société préhistorique française*, 83, 11-12, p. 436-451.

COSTIN C. L. (1991) – Craft Specialization: Issues in Defining, Documenting and Explaining the Organization of Production, *Archaeological Method and Theory*, 3, p. 1-56.

COULAROU J. (1981) – *Le village chalcolithique de Boussargues (Hérault)*, mémoire de diplôme, EHESS, Toulouse, 231 p.

COURTIN J. (1970) – Le Chasséen méridional, *in* : J. Guilaine dir., *Les civilisations néolithiques du Midi de la France*, Actes du colloque de Narbonne (15-17 février 1970), Carcassonne, Laboratoire de préhistoire et de paléontologie (Atacina 5), p. 27-31.

COURTIN J. (1972) – Le problème de l'obsidienne dans le Néolithique du Midi de la France, *Revue d'Etudes Ligures* (Hommage à Fernand Benoit), 1, p. 93-109.

COURTIN J. (1974) – Le Néolithique de la Provence, Paris, Editions Klincksieck (Mémoire de la Société préhistorique française, 11), 359 p.

COURTIN J. (1977) – A propos de pièces en obsidienne dans le Néolithique du Midi de la France, *Bulletin de la Société préhistorique française*, Comptes rendus des séances mensuelles, 74, 7, p. 196-197.

COURTIN J., VILLA P. (1982) – Une expérience de piétinement, *bulletin de la Société préhistorique française*, 79, 4, p. 117-123.

COURTY M.-A. (2019) – Analyse contextuelle des occupations du néolithique moyen dans la zone 5, *in* : T. Perrin dir., *Fouille archéologique de Roquemissou à Montrozier (Aveyron)*, Rapport d'opération programmée triennale 2017-2019, Toulouse/Montpellier, Service régional de l'archéologie, p. 57-76.

COSTIN C. L. (1991) – Craft Specialization: Issues in Defining, Documenting and Explaining the Organization of Production, *Archaeological Method and Theory*, 3, p. 1-56.

COUTARD C. (2009) – Aperçu technologique, *in* : J.-L. Voruz dir., *La grotte du Gardon. Le site et la séquence néolithique des couches 60 à 47*, volume 1, Toulouse, AEP, p. 515-517.

COYE N., MAHIEU E., PERRIN T. (1998) – Des occupations du Néolithique moyen à Saint-Antoine (Vitrolles, Hautes-Alpes). Résultats préliminaires, *in* : A. d'Anna et D. Binder dir., *Production et identité culturelle. Actualités de la recherche*, Actes des 2^{ème} Rencontres Méridionales de Préhistoire Récente (8-9 novembre 1996, Arles), Antibes, APDCA, p. 415-425.

CREPALDI F. (2001) – Le Chasséen en Ligurie, *Bulletin de la Société préhistorique française*, 98, 3, p. 485-494.

CRESWELL R. (2010) – Techniques et culture : les bases d'un programme de travail, *Techniques et culture* [En ligne], 54-55, p. 7-59.

D

DEBELS P. (2018) – Fonction des sites ; fonction des céramiques ? : les apports d'une approche technofonctionnelle et d'une étude des usures, *in* : S. Légli, F. Mathias et J. Ripoche dir., *L'Archéologie, science plurielle*, Paris, Editions de la Sorbonne, Nouvelle édition [en ligne], 22 p., www.books.openedition.org/psorbonne/7060

De CEUNINCK G. (1994) – Forme, fonction, ethnie : approche ethnoarchéologique des céramiques du Delta intérieur du Niger (Mali), *in* : D. Binder et J. Courtin dir., *Terre cuite et société : la céramique, document technique, économique, culturel*, actes des XIV^e Rencontres internationales d'archéologie et d'histoire d'Antibes (21-23 octobre 1993), Juan-les-Pins, APDCA, p. 161-177.

De CEUNINCK G. (2000) – Circulation des poteries dans le Delta intérieur du Niger (Mali), *in* : P. Pétrequin, P. Fluzin, J. Thiriou, P. Benoît dir., *Arts du feu et productions artisanales*, actes des XX^e Rencontres internationales d'archéologie et d'histoire d'Antibes (20-23 octobre 1999), Antibes, APDCA, p. 221-235.

DEFRANOULD E. (2014) – Quel rôle joue le substrat mésolithique dans le processus de néolithisation des Grands Causses ? Etude de l'industrie lithique de Combe-Grèze (commune de La Cresse, Aveyron), in : A. Henry, B. Marquebielle, L. Chesnaux, S. Michel dir., *Des techniques aux territoires : nouveaux regards sur les cultures mésolithiques*, Actes de la table-ronde du 22-23 novembre 2012 à Toulouse, *P@lethnologie*, 6, p. 113-122.

DEFRANOULD E. (2017) – L'industrie lithique de la campagne 2017, in : T. Perrin dir., *Fouille archéologique de Roquemissou à Montrozier (Aveyron)*, Premier rapport intermédiaire d'opération programmée triennale 2017-2019, Toulouse/Montpellier, Service régional de l'archéologie, p. 67-71.

DEFRANOULD E. (2019) – *La néolithisation du sud de la France. Approche de la variabilité typo-technologique des industries lithique*, Thèse de doctorat, EHESS, Toulouse, 488 p.

DEFRANOULD E. dir. (2019) – *Combe-Grèze 2018*, Rapport de fouille programmée annuelle, Toulouse/Montpellier, Service régional de l'archéologie, 106 p.

DEFRANOULD E., FAT-CHEUNG C. (2016) – L'industrie lithique de Roquemissou, in : T. Perrin dir., *Fouille archéologique de Roquemissou à Montrozier (Aveyron)*, Rapport d'opération programmée triennale 2014-2016, Toulouse/Montpellier, Service régional de l'archéologie, p. 91-113.

DEFRANOULD E., PERRIN T. (2019) – Les industries lithiques taillées, in : T. Perrin dir., *Fouille archéologique de Roquemissou à Montrozier (Aveyron)*, Rapport d'opération programmée triennale 2017-2019, Toulouse/Montpellier, Service régional de l'archéologie, p. 147-170.

DEFRANOULD E., CARO J., BOBOEUF M., MANEN C., PERRIN T. (2017) – Mesolithic and Neolithic material productions in Aveyron (France) during the 6th millennium BC: originality or adaptability?, in : I. Garcá- Martínez de Lagrán, E. López-Montalvo, et C. Manen dir, *Contexts without definition, definition without context. Arguments for the characterization of the (pre)historic realities during the neolithisation of the western Mediterranean, Proceedings of the XVIIth World UISPP Congress (1-7 sept. 2014, Burgos), Session B20, Quaternary International*, p. 1-15.

DELCOS N. (1996) – *Le Néolithique moyen dans les stratigraphies de la France méditerranéenne. Inventaire de la documentation et méthodologie envisagée*, mémoire de DEA, EHESS, Toulouse, 145 p.

DEL LUCCHESI A., STARNINI E. (2015) – Aggiornamenti sulla fase antica della cultura dei vasi a bocca quadrata in Liguria da una revisione dei materiali ceramici in corso, in : M. Coventi, A. Del Lucchese, A. Gardini dir., *Archeologia in Liguria*, Nuova Serie, 5, Genova, SAGEP, p. 27-37.

DEMOULE J.-P. (1994) – La céramique comme marqueur social : variabilité spatiale et chronologique, in : D. Binder et J. Courtin dir., *Terre cuite et société : la céramique, document technique, économique, culturel*, actes des XIV^e Rencontres internationales d'archéologie et d'histoire d'Antibes (21-23 octobre 1993), Juan-les-Pins, APDCA, p. 473-492.

DENAIRE A., DOPPLER T. NICOD P.-Y., van WILLIGEN S. (2010) – Espaces culturels, frontières et interactions au 5^{ème} millénaire entre la plaine du Rhin Supérieur et les rivages de la Méditerranée, *Annuaire d'Archéologie Suisse*, 94, p. 21-59.

DIETLER M., HERBICH I. (1989) – The Technology of Luo Pottery Production and the Definition of Ceramic Style, *World Archaeology*, 21, 1, p. 148-164.

DIETLER M., HERBICH I. (1994) – Ceramic and Ethnic Identity: Ethnoarchaeological observations on the distribution of pottery styles and the relationship between the social context of production and consumption, in : D. Binder et J. Courtin dir., *Terre cuite et société : la céramique, document technique, économique, culturel*, actes des XIV^e Rencontres internationales d'archéologie et d'histoire d'Antibes (21-23 octobre 1993), Juan-les-Pins, APDCA, p. 459-472.

DIETLER M., HERBICH I. (1998) – *Habitus, Techniques, Style: An Integrated Approach to the Social Understanding of Material Culture and Boundaries*, in : M. T. Stark eds., *The Archaeology of Social Boundaries*, Washington and London, Smithsonian Institution Press, p. 232-263.

DIETSCH-SELLAMI M.-F. (2004) – L'alternance céréales à grains vêtus, céréales à grains nus au Néolithique : nouvelles données, premières hypothèses, in : F. Giligny dir., *Internéo 5, journée d'information (Paris, 20 novembre 2004)*, Paris, Société préhistorique française, p. 125-136.

DJINDJIAN F. (2013) – Us et abus du concept de « chaîne opératoire » en archéologie, in : S. Krausz, A. Colin, K. Gruel, I. Ralston et T. Dechezleprêtre dir., *L'âge du Fer en Europe. Mélanges offerts à Olivier Buchsenschutz*, Bordeaux, Ausonius, Mémoires, p. 93-107.

DRIEU L. (2017) – *Fabrication et usages des poteries durant le Néolithique et la Protohistoire en Europe : les apports de l'archéologie biomoléculaire*, Thèse de doctorat, Université de Côte d'Azur, Nice, 490 p.

DRIEU L., REGERT M. (2015) – Substances naturelles liées aux céramiques archéologiques, *Les Nouvelles de l'archéologie*, 138, p. 54-60.

DRIEU L., LEPÈRE C., REGERT M. (2019) – The Missing Step of Pottery *chaîne opératoire*: Considering Post-firing Treatments on Ceramic Vessels Using Macro- and Microscopic Observation and Molecular Analysis, *Journal of Archaeological Method and Theory*, 25 p.

DUBOULOZ J. (2018) – Lecture multiscalaire des enceintes du Néolithique moyen (4500-3800 BC) en France du Nord. Hypothèses sur la structuration économique, sociale et politique au Néolithique, in : M. Gandelin, V. Ard, J. Vaquer, L. Jallot dir., *Les sites ceinturés de la Préhistoire récente. Nouvelles données, nouvelles approches, nouvelles hypothèses*, Travaux du Projet Collectif de Recherche « Milieu et peuplement en Languedoc occidental du Néolithique à l'âge du Bronze », Toulouse, AEP, p. 197-213.

DUHAMEL P., MIDGLEY M. (2004) – Espaces, monumentalisme et pratiques funéraires des sociétés néolithiques en voie de hiérarchisation – Les nécropoles monumentales Cerny du bassin Seine-Yonne, in : L. Baray dir., *Archéologie des pratiques funéraires. Approches critiques*, Actes de la Table-ronde de Bibracte, Centre archéologique européen (Glux-en-Glenne, 7-9 juin 2001), Glux-en-Glenne, Bibracte, 9, p. 211-248.

DUNY A., TERROM J. (2018) – Une nécropole tumulaire du Néolithique moyen I en marge de l'habitat, *in* : A. Gaillard dir., *PRAE Charles Cros, Las Trincados. Première section : données administratives, deuxième section : résultats*, Rapport final d'opération, Fouille préventive, Acter, Mosaïque Archéologie, Service régional de l'Archéologie d'Occitanie, volume 3, 254 p.

E

ECHALLIER J.-C. (1984) – *Eléments de technologie céramique et d'analyse des terres cuites archéologiques*, Documents d'Archéologie méridionale, Méthodes et techniques, 39 p.

ECHALLIER J.-C., COURTIN J. (1994a) – Approche minéralogique de la poterie du Néolithique ancien de la Baume de Fontbrégoua à Salernes (Var), *Gallia Préhistoire*, 36, p. 267-297.

ECHALLIER J.-C., COURTIN J. (1994b) – La céramique du Néolithique ancien et moyen de Fontbrégoua (Var) : approche typométrique, *in* : D. Binder et J. Courtin dir., *Terre cuite et société : la céramique, document technique, économique, culturel*, actes des XIV^e Rencontres internationales d'archéologie et d'histoire d'Antibes (21-23 octobre 1993), Juan-les-Pins, APDCA, p. 131-145.

EDO M., BLASCO A., VILLALBA M. J. (2011) – La cova de Can Sadurní, guió sintètic de la prehistòria recent de Garraf, *in* : M. Edo, A. Blasco, J. M. Villalba coord., *La cova de Can Sadurní i la prehistòria de Garraf. Recull de 30 anys d'investigació*, Milano, Hugony, EDAR Arqueología y Patrimonio, p. 13-95.

ESCALON de FONTON M. (1954) – Tour d'horizon de la préhistoire provençale, *Bulletin de la Société préhistorique de France*, 51, 1-2, p. 81-96.

ESCALON de FONTON M. (1955) – Les stratigraphies du Néolithique : les gravures du Mont Bego et la civilisation de La Lagozza, *Bulletin du Musée d'anthropologie préhistorique de Monaco*, 2, p. 243-258.

ESCALON de FONTON M. (1958) – La valeur chronologique relative de la stratigraphie du Néolithique, *Gallia Préhistoire*, 1, p. 79-92.

ESCALON DE FONTON M. (1961) – La Baume de Montclus (Gard), *Cahiers ligures de Préhistoire et d'Archéologie*, 10, 2, p. 176-177.

ESCALON de FONTON M. (1966a) – Origine et développement des civilisations néolithiques méditerranéennes en Europe occidentale, *Palaeohistoria*, 12, p. 209-248.

ESCALON de FONTON M. (1966b) – Du Paléolithique supérieur au Mésolithique dans le Midi méditerranéen, *Bulletin de la Société préhistorique française*, Etudes et travaux, 63, 1, p. 66-180.

ESCALON DE FONTON M. (1967) – La Baume de Montclus (Gard), *Cahiers ligures de Préhistoire et d'Archéologie*, 16, p. 175-179.

ESCALON de FONTON M. (1969) – Recherches sur la préhistoire dans le Midi de la France : Campagne de fouille 1968, *Cahiers ligures de préhistoire et d'archéologie*, 18, p. 111-123.

ESCALON de FONTON M. (1970a) – Languedoc-Roussillon, *Gallia-Préhistoire*, 13, 2, p. 513-549.

ESCALON de FONTON M. (1970b) – La Baume de Montclus, campagne de fouille 1969, *Cahiers ligures de préhistoire et d'archéologie*, 19, p. 106-110.

ESCALON de FONTON M. (1971a) – Les phénomènes de néolithisation dans le Midi de la France, in : J. Lüning dir., *Die Anfänge des Neolithikums vom Orient bis Nordeuropa, Teil VI : Frankreich*, Institut für Ur – und Frühgeschichte der Universität zu Köln (Fundamenta Monographien zur Urgeschichte, Reihe A Band 3), p. 122-139.

ESCALON de FONTON M. (1971b) – Un décor gravé sur os dans le Mésolithique de la Baume de Montclus (Gard), *Bulletin de la Société préhistorique française, Comptes rendus des séances mensuelles*, 68, 9, p. 273-275.

ESCALON de FONTON M., ONORATINI G. (1991) – Découverte d'un Néolithique moyen dans la grotte de l'Adaouste à Jouques (Bouches-du-Rhône) : une nouvelle phase évolutive, Néolithique moyen, anté-chasséenne, *Bulletin de la Société préhistorique française, Actualité scientifique*, 88, 5, p. 137-155.

EVERSHED R. P., MOTTRAM H. R., DUDD S. M., CHARTERS S., STOTT A. W., LAWRENCE G. J. (1997) – New Criteria for Identification of Animal Fats Preserved in Archaeological Pottery, *Naturwissenschaften*, 84, p. 402-406.

F

FABRE G. (1999) – L'espace gardois, in : M. Provost et alli. dir., *Carte archéologique de la Gaule. Le Gard 30/2*, Paris, Académie des Inscriptions et Belles Lettres, p. 57-59.

FABRE G. (2003) – Le milieu « naturel » du Montpellicien et ses marges, impact sur l'anthropisation anté-médiévale, in : J. Vial dir., *Carte archéologique de la Gaule. Le Montpellicien, 34/3*, Paris, Académie des Inscriptions et Belles Lettres, p. 39-49.

FAUVELLE-AYMAR F.-X., BON F., SADR K. (2007) – L'ailleurs et l'avant. Éléments pour une critique du comparatisme ethnographique dans l'étude des sociétés préhistoriques, *L'Homme*, 184, p. 25-46.

FERBER E. dir. (2011) – ZAC du plateau de Lautagne, tranche 1 (Valence, Drôme, Rhône-Alpes), Rapport final d'opération, Diagnostic archéologique, Inrap, Service régional d'archéologie Auvergne-Rhône-Alpes, 259 p.

FERNÁNDEZ ERASO J., de BLAS CORTINA M. Á., DELIBES de CASTRO G., GARCÍA GAZÓLAZ J., IRIARTE CHIAPUSSO J. M., RODANÉS VICENTE J. M. (2009) – Mesolítico y Neolítico. Pasado, presente y futuro de las investigaciones, in : A. Llanos y O. de Landaluze eds., *Medio siglo de arqueología en el Cantábrico oriental y su entorno*, Actas del Congreso Internacional, Disputación Foral de Álava, Instituto alavés de arqueología, p. 73-114.

FERREIRA da COSTA F. (1999) – Etude du matériel lithique d'Auriac-Golf 1998-99, *in* : A. Gaillard dir., *Carcassonne (Aude). Auriac-Golf*, Rapport de fouille programmée de sauvetage, Service régional de l'archéologie du Languedoc-Roussillon, p. 73-77.

FOREST V. (1999) – Etude archéozoologique. Auriac-Golf, Carcassonne (Aude), *in* : A. Gaillard dir., *Carcassonne (Aude). Auriac-Golf*, Rapport de fouille programmée de sauvetage, Service régional de l'archéologie du Languedoc-Roussillon, p. 47-54.

FORTÓ GARCÍA A., VIDAL SÁNCHEZ A. eds. (2016) – *Comunitats agrícoles al Pireneu. L'ocupació humana a Juberrí durant la segona meitat del V^e mil·lenni cal. AC (Feixa del Moro, Camp del Colomer i Carrer Llinás 28, Andorra)*, Andorra, Govern d'Andorra (Monografies del Patrimoni Cultural d'Andorra, 6), 304 p.

FORTÓ GARCÍA A., VIDAL SÁNCHEZ A., PUJOL GIMÉNEZ F., YÁÑEZ ALDECOA C. (2018) – La tomba de Segudet (Ordino), *in* : G. Remolins Zamora i J. F. Gibaja Bao dir., *Les valls d'Andorra durant el Neolític: un encreuament de camins al centre dels Pireneus*, Monografies del MAC 2, Barcelona, Museu d'Arqueologia de Catalunya, p. 197-202.

FOUÉRÉ P. dir. (1999) – *A75, section La Cavalerie-Millau. Le Pla de Peyre, commune de Creissels (Aveyron)*, Document Final de Synthèse de fouille de sauvetage (deuxième phase), Toulouse, Service régional de l'archéologie, 147 p.

FRANCHET L. (1910) – Essai sur la classification céramique depuis le Néolithique jusqu'à nos jours, *L'Homme préhistorique*, 9, p. 257-266.

FRANÇOIS P. (2007) – Les styles céramiques du Chasséen de Villeneuve-Tolosane. Evolution et comparaisons, Oxford, Archeopress (British Archaeological Report, International Series, 1711), 189 p.

FRANÇOIS P., VAQUER J. (2000) – Essai de périodisation des productions céramiques du Chasséen garonnais, *in* : M. Leduc, N. Valdeyron, J. Vaquer dir., *Sociétés et espaces*, Actes des 3^{ème} Rencontres Méridionales de Préhistoire Récente (Toulouse, 6-7 novembre 1998), Toulouse, AEP, p. 319-328.

G

GAILLARD A. dir. (1999) – *Carcassonne (Aude). Auriac-Golf*, Rapport de fouille programmée de sauvetage, Service régional de l'archéologie du Languedoc-Roussillon, 99 p.

GAILLARD A. (1999a) – L'outillage osseux, *in* : A. Gaillard dir., *Carcassonne (Aude). Auriac-Golf*, Rapport de fouille programmée de sauvetage, Service régional de l'archéologie du Languedoc-Roussillon, p. 79-82.

GAILLARD A. (1999b) – L'outillage macrolithique, *in* : A. Gaillard dir., *Carcassonne (Aude). Auriac-Golf*, Rapport de fouille programmée de sauvetage, Service régional de l'archéologie du Languedoc-Roussillon, p. 78.

GAILLARD A. (2003) – Le site d'Auriac-Golf à Carcassonne (Aude) : une aire d'ensilage du Chasséen ancien, in : J. Gascó, X. Guthertz, P.-A. de Labriffe dir., *Temps et espaces culturels du 6^e au 2^e millénaire en France du Sud. Actualité de la recherche*, Actes des IV^{ème} Rencontres Méridionales de Préhistoire Récente (Nîmes, 28-29 octobre 2000), Lattes, Association pour le Développement de l'Archéologie en Languedoc-Roussillon (Monographie d'Archéologie Méditerranéenne, 15), p. 393-396.

GAILLARD A. (2012) – Le mobilier céramique néolithique, in : J.-P. Cazes dir., *Giratoire de la Madeleine RD6113/RD629 (Pezens, Aude). Etablissement du Néolithique moyen*, Rapport final d'opération, fouille archéologique préventive, ACTER archéologie, Service régional du Languedoc-Roussillon, volume 1, p. 125-137.

GAILLARD A. (2018) – L'équipement en matières dures animales du Néolithique et de la Protohistoire, in : A. Gaillard dir., *PRAE Charles Cros, Las Trincados. Première section : données administratives, deuxième section : résultats*, Rapport final d'opération, Fouille préventive, Acter, Mosaïque Archéologie, Service régional de l'Archéologie d'Occitanie, volume 4, p. 80-98.

GAILLARD A. dir. (2018a) – *PRAE Charles Cros, Las Trincados. Première section : données administratives, deuxième section : résultats*, Rapport final d'opération, Fouille préventive, Acter, Mosaïque Archéologie, Service régional de l'Archéologie d'Occitanie, volume 1, 341 p.

GAILLARD A. dir. (2018b) – *PRAE Charles Cros, Las Trincados. Une nécropole tumulaire du Néolithique moyen I en marge de l'habitat*, Rapport final d'opération, Fouille préventive, Acter, Mosaïque Archéologie, Service régional de l'Archéologie d'Occitanie, volume 3, 254 p.

GALIN W. (2018a) – Résultats archéologiques, in : M. Kielb Zaaraoui, Y. Zaaraoui, L. Buffat, J.-L. Brochier, W. Galin dir., *Camps de l'armée romaine et occupations diachroniques sur le plateau de Lautagne (Valence, Drôme)*, Rapport final d'opération, Fouille archéologique, volume 1, Mosaïques archéologie, ACTER, Service régional de l'archéologie Auvergne-Rhône-Alpes, p. 195-216.

GALIN W. (2018b) – Etude technologique de l'assemblage lithique de Lautagne, in : M. Kielb Zaaraoui, Y. Zaaraoui, L. Buffat, J.-L. Brochier, W. Galin dir., *Camps de l'armée romaine et occupations diachroniques sur le plateau de Lautagne (Valence, Drôme)*, Rapport final d'opération, Fouille archéologique, volume 1, Mosaïques archéologie, ACTER, Service régional de l'archéologie Auvergne-Rhône-Alpes, p. 216-233.

GALIN W. (2018c) – Résultats des datations radiocarbone, in : M. Kielb Zaaraoui, Y. Zaaraoui, L. Buffat, J.-L. Brochier, W. Galin dir., *Camps de l'armée romaine et occupations diachroniques sur le plateau de Lautagne (Valence, Drôme)*, Rapport final d'opération, Fouille archéologique, volume 1, Mosaïques archéologie, ACTER, Service régional de l'archéologie Auvergne-Rhône-Alpes, p. 262-267.

GALIN W. (2018d) – Approche technologique des industries lithiques de Cépie-Los Trincados, in : A. Gaillard dir., *PRAE Charles Cros, Las Trincados. Première section : données administratives, deuxième section : résultats*, Rapport final d'opération, Fouille préventive, Acter, Mosaïque Archéologie, Service régional de l'Archéologie d'Occitanie, volume 3, p. 38-59.

GALIN W. dir. (2020) – *Domaine de la Tuilerie, La Teularia*, Rapport final d'opération, Fouille préventive, ACTER, Service régional de l'Archéologie d'Occitanie, 272 p.

GALIN W. (2020a) – Approche techno-économique du mobilier lithique taillé de Saint-Génis-des-Fontaines, in : W. Galin dir., *Domaine de la Tuilerie, La Teularia*, Rapport final d'opération, Fouille préventive, ACTER, Service régional de l'Archéologie d'Occitanie, p. 176-187.

GALIN W. (2020b) – Montbolo, Post-Cardial et Chasséen ancien entre la Catalogne et le Roussillon : apport des données de *La Teularia*, in : W. Galin dir., *Domaine de la Tuilerie, La Teularia*, Rapport final d'opération, Fouille préventive, ACTER, Service régional de l'Archéologie d'Occitanie, p. 242-248.

GALIN W., CARO J., BUFFAT L. (à paraître) – Approche préliminaire des productions matérielles de la fin du V^e millénaire de Lautagne (Valence, Drôme). La fosse FS5012 entre carrefour et cul-de-sac, in : *(Im)mobiles ? Circulation, échanges des objets et des idées, mobilités, stabilités des personnes et des groupes durant la Pré- et Protohistoire européenne*, Actes des troisièmes Rencontres Nord-Sud de Préhistoire récente (Lyon, 29 novembre-1er décembre 2018).

GALLAY A. (1977) – A propos de deux expériences de banques de données sur ordinateur en archéologie, *Archives suisses d'anthropologie générale*, 41, 2, p. 99-110.

GALLAY A. (1990) – L'ethnoarchéologie, science de référence de l'archéologie, in : T. Judice Gamito ed., *Ethno-arqueologia. Coloquio* (Faro, 4-5 marzo 1989), Faro, Università do Algarve, p. 282-302.

GALLAY A. (2000) – Culture, style, ethnie : quels choix pour l'archéologue ?, in : R. C. de Marinis, S. Baggio Simona eds., *I Leponti : tra mito e realtà, 1. Catalogo di mostra (maggio-dicembre 2000, Locarno, Castello Visconteo – Casorella)*, Gruppo Archeologia Ticino, Locarno, A. Dadò, p. 71-78.

GALLAY A. (2002) – Maîtriser l'analogie ethnographique : espoirs et limites, in : F. Djinjian et P. Moscati eds., *Data management and mathematical methods in archaeology*, XIVth Congress of the international union of prehistoric and protohistoric sciences (Liège, Belgium, September 2001), *Archeologia e Calcolatori*, 13, p. 79-100.

GALLAY A. (2011) – *Pour une ethnoarchéologie théorique. Mérites et limites de l'analogie ethnographique*, Paris, Errance, 389 p.

GALOP D. (2005) – La conquête de la montagne pyrénéenne au Néolithique. Chronologie, rythmes et transformations des paysages à partir des données polliniques, in : J. Guilaine dir., *Populations néolithiques et environnements*, Séminaire du Collège de France, Paris, Errance, Collection des Hespérides, p. 279-295.

GANDELIN M. (2011) – *Les enceintes chasséennes de Villeneuve-Tolosane et de Cugnaux dans leur contexte du Néolithique moyen européen*, Toulouse, AEP, 506 p.

GANDELIN M., VERGÉLY H. (2012) – Les productions céramiques du Chasséen méridional entre l'Hérault et l'Orb : nouvelles séquences typo-chronologiques, *Archéopages*, Hors-Série, p. 89-95.

GANDELIN M., LEFRANC P., SAINTOT S., DENAIRE A. (2018) – Morts néolithiques, *in* : J. Guilaine et D. Garcia dir., *La Protohistoire de la France*, Paris, Hermann Editeurs, p. 95-110.

GANDON E., CASANOVA R., SAINTON P., COYLE T., ROUX V., BRIL B., BOOTSMA R. J., (2011) – A Proxy of Potters' Throwing Skill: Ceramic Vessels Considered in Terms of Mechanical Stress, *Journal of Archaeological Science*, 38, p. 1080-1089.

GARCÍA GAZÓLAZ J., SESMA SESMA J. (1999) – Talleres de sílex versus lugares de habitación. Los Cascajos (Los Arcos, Navarra), un ejemplo de neolithización en el Alto Valle del Ebro, *Saguntum*, Extra, 2, p. 343-350.

GARCÍA GAZÓLAZ J., SESMA SESMA J. (2001) – Los Cascajos (Los Arcos, Navarra). Intervenciones 1996-1999, *Trabajos de Arqueología Navarra*, 15, p. 299-305.

GARCÍA GAZÓLAZ J., SESMA SESMA J. (2007) – Enterramientos en el poblado neolítico de Los Cascajos (Los Arcos), *in* : M. Á. Hurtado et al. coord., *La tierra te sea leve: arqueología de la muerte en Navarra*, Pamplona, Gobierno de Navarra, p. 52-58.

GARCÍA MARTÍNEZ DE LAGRÁN Í. (2012) – *El proceso de neolitización en el Interior Peninsular: la Submeseta Norte y el Alto Valle del Ebro. El análisis de la cerámica como herramienta interpretativa*, tesis doctoral, Universidad de Valladolid, Facultad de Filosofía y Letras, Valladolid, 905 p.

GARCÍA MARTÍNEZ DE LAGRÁN Í. (2014) – La neolitización de la Meseta norte y de la alta y media cuenca del Ebro (España): premisas teóricas, análisis del registro y planteamiento de hipótesis, *Zephyrus*, LXXIII, p. 83-107.

GARCÍA MARTÍNEZ DE LAGRÁN Í., GARRIDO PENA R., ROJO GUERRA M. A., ALDAY RUIZ A. GARCÍA GAZÓLAZ J., SESMA SESMA J. (2011) – Cerámicas, estilo y neolithización: estudio comparativo de algunos ejemplos de la Meseta Norte y Alto Valle del Ebro, *Saguntum*, Extra, 12, p. 83-104.

GARRIDO PENA R., ROJO GUERRA M. A., TEJEDOR RODRÍGUEZ C., GARCÍA MARTÍNEZ DE LAGRÁN Í. (2012) – Las máscaras de la muerte: ritos funerarios en el Neolítico de la Península Ibérica, *in*: M. Rojo Guerra, R. Garrido Pena, Í. García Martínez de Lagrán dir., *El Neolítico en la península ibérica y su contexto europeo*, Madrid, Ediciones Cátedra, p. 143-171.

GARCÍA MARTÍNEZ DE LAGRÁN Í., FERNÁNDEZ-DOMÍNGUEZ E., ROJO GUERRA M. A. (2017) – Solutions or illusions? An analysis of the available paleogenetic evidence from the origins of the Neolithic in the Iberian Peninsula, *Quaternary International*, p. 1-16.

GASCÓ J. (1985) – *Les installations du quotidien. Structures domestiques en Languedoc du Mésolithique à l'âge du Bronze d'après les études des abris de Font-Juvéval et du Roc de Dourgne dans l'Aude*, Paris, Maison des Sciences de l'Homme (Documents d'archéologie française, 1), 133 p.

GASCÓ J., MULLER C. (2009) – Architecture et fonctionnement d'une maison chasséenne à Roucadour (Thémines, Lot), *in* : A. Beeching et I. Sénépart dir., *De la maison au village. L'habitat néolithique dans le Sud de la France et le Nord-Ouest méditerranéen*, Actes de la Table-ronde de Marseille (23-24 mai 2003), Mémoire 48, p. 89-98.

GASNIER M. (2018) – Etude des céramiques néolithiques du site de Trets 2 La Burlière, in : M. Tarras-Thomas dir., *Provence-Alpes-Côte-d'Azur, Bouches-du-Rhône, Trets, La Burlière 2. Extension septentrionale de l'occupation du Néolithique moyen*, Rapport final d'opération, Fouille préventive, Inrap Midi-Méditerranée, Service régional de Provence-Alpes-Côte-d'Azur, p. 161-199.

GASSIN B., BICHO N. F., BOUBY L., BUXÒ R., CARVALHO A. F., CLEMENTE CONTE I., GIBAJA J. F., GONZÁLEZ URQUIJO J. E., IBÁÑEZ J. J., LINTON J., MARINVAL P., MÁRQUEZ B., PEÑA-CHOCARRO L., PÉREZ JORDÀ G. PHILIBERT S., RODRÍGUEZ RODRÍGUEZ A., ZAPATA L. (2008) – Variabilité des techniques de récolte et traitement des céréales dans l'occident méditerranéen au Néolithique ancien et moyen : facteurs environnementaux, économiques et sociaux, in : A. Beeching, E. Thiéroult, J. Vital dir., *Economie et société à la fin de la Préhistoire. Actualités de la recherche*, Actes des 7^{ème} Rencontres Méridionales de Préhistoire Récente (3-4 novembre 2006, Bron), Document d'Archéologie en Auvergne et en Rhône-Alpes, 52, Lyon, Association de liaison pour le patrimoine et l'archéologie en Rhône-Alpes et en Auvergne, Maison de l'Orient et de la Méditerranée, p. 19-38.

GAUTHIER E., PÉTREQUIN P. (2017) – Interprétations sociales des transferts de grandes lames polies en jades alpins dans l'Europe néolithique, *ArchéoSciences*, 41, 1, p. 7-23.

GELBERT A. (2003) – *Traditions céramiques et emprunts techniques dans la vallée du fleuve Sénégal*, Paris, Maison des Sciences de l'Homme, Epistèmes, 104 p.

GEORJON C. (2003) – Chronologie, variabilité et phénomène de récurrence dans les corpus céramiques chasséens de la basse vallée du Lez (Hérault), in : J. Gascó, X. Guthertz, P.-A. de Labriffe dir., *Temps et espaces culturels du 6^e au 2^e millénaire en France du Sud. Actualité de la recherche*, Actes des IV^{ème} Rencontres Méridionales de Préhistoire Récente (Nîmes, 28-29 octobre 2000), Lattes, Association pour le Développement de l'Archéologie en Languedoc-Roussillon (Monographie d'Archéologie Méditerranéenne, 15), p. 115-134.

GEORJON C. (2018) – La céramique du Néolithique moyen : évolution des productions sur près d'un millénaire, in : F. Convertini et C. Georjon dir., *Le Champ du Poste (Carcassonne, Aude). Une succession d'occupations du début du Néolithique moyen à l'âge du Bronze ancien*, Toulouse, AEP, p. 141-175.

GEORJON C., JALLET F. dir. (2008) – *Production et circulation des industries lithiques et céramiques en Auvergne dans le contexte chronoculturel du Néolithique moyen*, Rapport scientifique 2004-2008, Action Collective de Recherche, Bron, Service régional de l'archéologie, 618 p.

GEORJON C., LÉA V. (2013) – Les styles céramiques du Néolithique moyen en Languedoc oriental : caractérisation et premières comparaisons avec la périodisation des industries lithiques taillées, *Gallia Préhistoire*, 55, p. 31-71.

GEORJON C., JALLET F., LAGRUE A., LOISON G. (2004) – Le Néolithique ancien et moyen en Auvergne : bilan et perspectives à la lumière des données récentes, in : H. Dartevelle dir., *Auvergne et Midi. Actualité de la recherche*, Actes des 5^{ème} Rencontres Méridionales de Préhistoire Récente (Clermont-Ferrand, 8-9 novembre 2002), *Préhistoire du Sud-Ouest*, supplément 9, p. 107-132.

GERNIGON K. (2004) – *Productions matérielles et identités culturelles dans le Néolithique d'Europe occidentale : réflexions autour de la céramique chasséenne en Quercy*, thèse de doctorat, université Toulouse-Le Mirail, Toulouse, 686 p.

GERNIGON K. (2006) – Le Chasséen sur les Grands Causses : un éclairage local sur un phénomène méridional, *in* : J. Gascó, F. Leyge, P. Gruat dir., *Hommes et passé des Causses. Hommage à Georges Costantini*, Actes du Colloque de Millau (16-18 juin 2005), Toulouse, AEP, p. 85-98.

GERNIGON K. (2013) – *Bilan scientifique des recherches sur la Préhistoire récente en Aquitaine. Potentiel avéré, connaissances renouvelées : une programmation à développer*, Bilan scientifique régional 2011, Bordeaux, Service régional de l'archéologie, p. 11-48.

GERNIGON K. (2014) – Le Chasséen entre temps et espace : 20 ans de périodisations des assemblages céramiques et le retour de l'identité chasséenne, *in* : I. Sénépart, F. Léandri, J. Cauliez, T. Perrin, E. Thirault dir., *Chronologie de la Préhistoire récente dans le Sud de la France. Actualité de la recherche*, Actes des Xème Rencontres Méridionales de Préhistoire Récente (Porticcio, 18-20 octobre 2012), Toulouse, AEP, p. 37-61.

GERNIGON K. (2016) – Sphère d'interactions, complexe culturel : clefs de lecture de la variabilité géographique des expressions stylistiques du Chasséen, *in* : T. Perrin, P. Chambon, J. F. Gibaja, G. Goude dir., *Un Chasséen, des Chasséens... Retour sur une culture nationale et ses parallèles, Sepulcres de fossa, Cortailod, Lagozza*, Actes du colloque international (Paris, 18-20 novembre 2014), Toulouse, AEP, p. 29-46.

GERNIGON K., CLOTTE J., CARRIÈRE M., GIRAUD J.-P. (2007) – Capdenac-le-Haut (Lot) : le Néolithique moyen quercinois stratifié, *Bulletin de la Société préhistorique française*, 104, 1, p. 63-80.

GIBAJA BAO J. (2002) – Las hoces neolíticas del noreste de la península ibérica, *Préhistoires méditerranéennes* [en ligne], 10-11, p. 1-20.

GIBAJA BAO J. (2004) – Prácticas funerarias durante el Neolítico en Cataluña, *Mainake*, XXVI, p. 9-27.

GIBAJA J. F., MORELL B., LÓPEZ-ONAINDÍA D., ZEMOUR A., BOSCH À., TARRÚS J., EULÀLIA SUBIRÀ M. (2018) – Nuevos datos cronológicos sobre la cueva sepulcral neolítica de l'Avellaner (Les Planes d'Hostoles, Girona), *Munibe*, 69, p. 145-155.

GILIGNY F. (1980) – La reconnaissance des formes céramiques : une approche typologique formalisée, *Histoire et Mesures*, 5, 1-2, p. 89-105.

GILIGNY F. (1994) – Variabilité et transferts techniques dans le Jura à la fin du IV^e et au III^e millénaire avant J.-C., *in* : D. Binder et J. Courtin dir., *Terre cuite et société : la céramique, document technique, économique, culturel*, actes des XIV^e Rencontres internationales d'archéologie et d'histoire d'Antibes (21-23 octobre 1993), Juan-les-Pins, APDCA, p. 363-380.

GILIGNY F. (2008) – Une méthode d'analyse spatiale des rejets domestiques par les remontages céramiques. Etude d'un site néolithique jurassien: Chalain station 3, *Archeologia e Calcolatori*, 19, p. 173-186.

GILIGNY F., MÉRY S. dir. (2010) – Approches de la chaîne opératoire de la céramique. Le façonnage, *Les Nouvelles de l'Archéologie*, 119, 64 p.

GILIGNY F., SÉNÉPART I. (2018) – Construire et habiter au Néolithique, *in* : J. Guilaine et D. Garcia dir., *La Protohistoire de la France*, Paris, Hermann Editeurs, p. 27-51.

GIOT P.-R. (1986) – L'impact de la datation par le C-14 sur la recherche néolithique en France, *in* : J.-P. Demoule et J. Guilaine dir., *Le Néolithique de la France. Hommage à Gérard Bailloud*, Paris, Picard, p. 21-26.

GOMART L. (2010) – Variabilité technique des vases du Rubané récent du Bassin parisien (RRBP) et du Villeneuve-Saint-Germain (VSG) : un cas d'étude dans la vallée de l'Aisne, *in* : Y. Maigrot et J. Vieugué dir., *Outils de potiers néolithiques : traditions techniques et organisation des productions céramiques*, Actes de la séance de la Société préhistorique française (Nanterre, 17 mars 2010), *Bulletin de la Société préhistorique française*, 107, 4, p. 537-548.

GOMART L. (2014) – *Traditions techniques et production céramique au Néolithique ancien. Etude de huit sites rubanés du nord-est de la France et de Belgique*, Leiden, Sidestone Press, 341 p.

GOMART L., WEINER A., GABRIELE M., DURRENMATH G., SORIN S., ANGELI L., COLOMBO M., FABBRI C., MAGGI R., PANELLI C., PISANI D. F., RADİ G., TOZZI C., BINDER D. (2017) – Spiralled patchwork in pottery manufacture and the introduction of farming to Southern Europe, *Antiquity*, 91, 360, p. 1501-1514.

GÓMEZ A., GUERRERO E., CLOP X., BOSCH J., MOLIST M. (2008) – Estudi de la ceràmica neolítica del jaciment de la caserna de Sant Pau, *Quarhis, Època II*, 4, p. 25-35.

GONZÁLEZ-SAMPÉRIZ P., UTRILLA P., MAZO C., VALERO-GARCÉS B., SOPENA MC., MORELLÓN M., SEBASTIÁN M., MORENO A., MARTÍNEZ-BEA M. (2009) – Patterns of human occupation during the early Holocene in the Central Ebro Basin (NE Spain) in response to the 8.2 ka climatic event, *Quaternary Research*, 71, p. 121-132.

GOSELAIN O. P. (1992) – Bonfire of the Enquiries. Pottery Firing Temperatures in Archaeology: What For ?, *Journal of Archaeological Science*, 19, p. 243-259.

GOSELAIN O. P. (2008) – Mother Bella Was Not a Bella. Inherited and Transformed Traditions in Southwestern Niger, *in* : M. T. Stark, B. J. Bowser et L. Horne eds., *Cultural Transmission and Material Culture: Breaking Down Boundaries*, Tucson, University of Arizona Press, p. 150-177.

GOSELAIN O. P. (2002) – *Poteries du Cameroun méridional. Styles techniques et rapports à l'identité*, Paris, CNRS, CRA Monographie, 26, 243 p.

GOSELAIN O. P. (2010) – De l'art d'accomoder les pâtes et de s'accomoder d'autrui au sud du Niger. Espaces et échelles d'analyse, *in* : C. Manen, F. Convertini, D. Binder, I. Sénépart dir., *Premières sociétés paysannes de Méditerranée occidentale. Structures des productions céramiques*, Séance de la Société

préhistorique française (Toulouse, 11-12 mai 2007), Paris, Société préhistorique française, mémoire 51, p. 249-263.

GOSELAIN O. P. (2011a) – Pourquoi le décorer ? Quelques observations sur le décor céramique en Afrique, *Azania, Archaeological Research in Africa*, 46, 1, p. 3-19.

GOSELAIN O. P. (2011b) – A quoi bon l'ethnoarchéologie ?, *Le Genre Humain*, 50, 1, p. 87-111.

GOSELAIN O. P., LIVINGSTONE-SMITH A. (2005) – The source clay selection and processing practices in Sub-Saharan Africa, in : A. Livingstone-Smith, D. Bosquet, R. Martineau eds., *Pottery Manufacturing Processes: Reconstitution and Interprétation*, Acts of the XIVth UISPP Congress (Liège, 2-8 September 2001), *British Archaeological Report*, International Series, 1349, Oxford, Archeopress, p. 33-48.

GOUDE G., BINDER D., del LUCCHESI A. (2014) – Alimentation et modes de vie néolithiques en Ligurie, *Rivista di Studi Liguri*, LXXVII-LXXIX, p. 371-381.

GOUJON A.-L. (2017) – *Trois terrains ethnographiques pour documenter les collections : Amhara, Gurague, Oromo et régions voisines*, Rapport d'enquêtes ethnoarchéologiques, Paris, Musée du Quai Branly, 201 p.

GOURLIN B., van WILLIGEN S., REMICOURT M., KHEMIRI K (2016) – Forcalquier, ZAC les Chalus II, lot 1 et le début du Néolithique moyen dans le Sud-Est de la France, in : J. Cauliez, I. Sénépart, L. Jallot, P.-A. de Labriffe, C. Gilibert, X. Guthertz, *De la tombe au territoire et actualités de la recherche*, Actes des 11^{ème} Rencontres Méridionales de Préhistoire Récente (Montpellier, 25-27 septembre 2014), Toulouse, AEP, p. 211-222.

GUILAINE J. dir. (1970) – *Les civilisations néolithiques du Midi de la France*, Actes du colloque de Narbonne (15-17 février 1970), Carcassonne, Laboratoire de préhistoire et de paléontologie (Atacina 5), 133 p.

GUILAINE J. dir. (1974) – *La Balma de Montbolo et le Néolithique de l'Occident méditerranéen*, Toulouse, Institut pyrénéen d'études anthropologiques, 201 p.

GUILAINE J. dir. (1976) – *La Préhistoire française. Tome II : Les civilisations néolithiques et protohistoriques*, Actes du IX^e Congrès de l'UISPP (Nice, 13-18 septembre 1976), Paris, Editions CNRS, 907p.

GUILAINE J. (1988) – *Six millénaires d'histoire de l'environnement : étude inter-disciplinaire de l'abri sous roche de Font-Juvéval (Conques-sur-Orbiel, Aude)*, Rapport ATP « Histoire des milieux naturels, Toulouse, Centre d'Anthropologie préhistorique, 137 p.

GUILAINE J. (1970a) – Sur l'Epicardial languedocien, in : J. Guilaine dir., *Les civilisations néolithiques du Midi de la France*, Actes du colloque de Narbonne (15-17 février 1970), Carcassonne, Laboratoire de préhistoire et de paléontologie (Atacina 5), p. 13-16.

GUILAINE J. (1970b) – Sur le Chasséen du Languedoc occidental, *in* : J. Guilaine dir., *Les civilisations néolithiques du Midi de la France*, Actes du colloque de Narbonne (15-17 février 1970), Carcassonne, Laboratoire de préhistoire et de paléolithologie (Atacina 5), p. 37.

GUILAINE J. (1970c) – Le groupe de Bize (Bizien), *in* : J. Guilaine dir., *Les civilisations néolithiques du Midi de la France*, Actes du colloque de Narbonne (15-17 février 1970), Carcassonne, Laboratoire de préhistoire et de paléolithologie (Atacina 5), p. 60-63.

GUILAINE J. (1970d) – Campagnes de recherches 1969. La grotte Gazel à Sallèles-Cabardès (Aude), *Cahiers ligures de préhistoire et d'archéologie*, 19, p. 149-155.

GUILAINE J. (1974a) – Hypothèse de travail sur la genèse du Chasséen du Midi de la France, *in* : J. Guilaine dir., *La Balma de Montbolo et le Néolithique de l'Occident méditerranéen*, Toulouse, Institut pyrénéen d'études anthropologiques, p. 165-178.

GUILAINE J. (1974b) – Le Néolithique de Montbolo. Extension, chronologie, affinités avec les autres cultures de la Méditerranée occidentale, *in* : J. Guilaine dir., *La Balma de Montbolo et le Néolithique de l'Occident méditerranéen*, Toulouse, Institut pyrénéen d'études anthropologiques, p. 133-153.

GUILAINE J. (1974c) – Conclusions générales, *in* : J. Guilaine dir., *La Balma de Montbolo et le Néolithique de l'Occident méditerranéen*, Toulouse, Institut pyrénéen d'études anthropologiques, p. 181-190.

GUILAINE J. (1976) – Systèmes chronologiques et séquences culturelles des civilisations néolithiques et protohistoriques de la France, *in* : J. Guilaine dir., *La Préhistoire française. Tome II : Les civilisations néolithiques et protohistoriques*, Actes du IX^e Congrès de l'UISPP (Nice, 13-18 septembre 1976), Paris, CNRS, p. 17-23.

GUILAINE J. (1976-1977) – Matériaux Hélène. Le Néolithique, le Chalcolithique et l'âge du Bronze, *Cahiers ligures de préhistoire et d'archéologie*, 25-26, p. 111-350.

GUILAINE J. (1986) – Le Néolithique ancien en Languedoc et Catalogne. Eléments et réflexions pour un essai de périodisation, *in* : J.-P. Demoule et J. Guilaine dir., *Le Néolithique de la France. Hommage à Gérard Bailloud*, Paris, Picard, p. 71-82.

GUILAINE J. (1987) – Expressions culturelles dans le Néolithique ancien méditerranéen, *in* : J. Guilaine, J. Courtin, J.-L. Roudil, J.-L. Vernet dir., *Premières communautés paysannes en Méditerranée occidentale*, Actes du Colloque international du CNRS (Montpellier, 26-29 avril 1983), Paris, Editions CNRS, p. 749-752.

GUILAINE J. (1989) – Interrogation sur les essais de modélisation de l'environnement à partir des stratigraphies néolithiques sous abris : l'exemple de Font-Juvénal, *Bulletin de la Société préhistorique française*, 86, 10-12, p. 312-315.

GUILAINE J. (1993a) – Six millénaires d'histoire de l'environnement. Etude interdisciplinaire de l'abri sous roche de Font-Juvénal (Conques-sur-Orbiel, Aude), *in* : C. Beck, R. Delort dir., *Pour une histoire de l'environnement. Travaux du programme interdisciplinaire de recherche sur l'environnement*, Actes du programme scientifique et du colloque de mars 1991 sur l'histoire de l'environnement et des phénomènes naturels, Paris, Editions CNRS, p. 165-171.

GUILAINE J. (1993b) – Questions ouvertes sur la néolithisation de la haute vallée de l'Aude, *in* : J. Guilaine, M. Barbaza, J. Gascó, D. Geddès, J. Coularou, J. Vaquer, J.-E. Brochier, F. Briois, J. André, G. Jalut, J.-L. Vernet dir., *Dourgne. Derniers chasseurs-collecteurs et premiers éleveurs de la Haute-Vallée de l'Aude*, Toulouse, Centre d'Anthropologie des Sociétés Rurales, Carcassonne, Archéologie en Terre d'Aude, p. 443-476.

GUILAINE J. (1997a) – Le Cerny et le Sud, *in* : C. Constantin, D. Mordant, D. Simonin dir., *La culture de Cerny. Nouvelle économie, nouvelle société au Néolithique*, Actes du Colloque International de Nemours (9-11 mai 1994), Nemours, APRAIF (Mémoires du Musée d'Île-de-France, 6), p. 631-644.

GUILAINE J. (1997b) – La question biziennne, *in* : J. Guilaine, P. Barthès dir., *La Poste-Vieille à Pezens (Aude). De l'enceinte néolithique à la Bastide d'Alzau*, Toulouse, Centre d'Anthropologie, Carcassonne, Archéologie en Terre d'Aude, p. 169-193.

GUILAINE J. (1997c) – La Méditerranée et l'Atlantique. Influx, symétrie, divergence au fil du Néolithique, *in* : A. A. Rodríguez Casal dir., *O Neolítico atlántico e as orixes do megalitismo*, Actas do coloquio internacional (Santiago de Compostela, 1^{er}-6 de abril de 1996), Santiago de Compostela, Costelo da cultura galega, Universidade de Santiago de Compostela, Unión internacional das ciencias prehistóricas e protohistóricas, p. 23-42.

GUILAINE J. (1997d) – Pour conclure : Cerny, cernoïdes, Chalcolithique, *in* : C. Constantin, D. Mordant, D. Simonin dir., *La culture de Cerny. Nouvelle économie, nouvelle société au Néolithique*, Actes du Colloque International de Nemours (9-11 mai 1994), Nemours, APRAIF (Mémoires du Musée d'Île-de-France, 6), p. 711-715.

GUILAINE J. (2001) – La diffusion de l'agriculture en Europe : une hypothèse arythmique, *Zephyrus*, 53-54, Universidad de Salamanca, p. 267-272.

GUILAINE J. dir. (2004) – *Aux marges des grands foyers du Néolithique. Périphéries débitrices ou créatrices ?*, Séminaire du Collège de France, Paris, Errance, Collection des Hespérides, 294 p.

GUILAINE J. (2012) – Les réseaux néolithiques : quelques réflexions préalables, *in*: M. Borrell dir., *Neolithic Networks*, Actes del Congrés Internacional Xarxes al Neolític, *Rubricatum*, 5, p. 21-30.

GUILAINE J. (2014) – Variations sur l'Epicardial, *in* : T. Perrin, C. Manen, P. Séjalon dir., *Le Néolithique ancien de la plaine de Nîmes (Gard, France)*, Toulouse, AEP, p. 5-8.

GUILAINE J. (2016) – Prólog, *in* : Fortó García i Vidal Sánchez eds., *Comunitats agrícoles al Pireneu. L'ocupació humana a Juberrí durant la segona meitat del V^e mil·lenni cal. AC (Feixa del Moro, Camp del Colomer i Carrer Llinás 28, Andorra)*, Andorra, Govern d'Andorra (Monografies del Patrimoni Cultural d'Andorra, 6), p. 11-13.

GUILAINE J. (2018) – Préface, *in* : F. Convertini et C. Georjon dir., *Le Champ du Poste (Carcassonne, Aude). Une succession d'occupations du début du Néolithique moyen à l'âge du Bronze ancien*, Toulouse, AEP, p. 5-6.

GUILAINE J., VAQUER J. (1973) – Le site chasséen d’Auriac, commune de Carcassonne (Aude), *Bulletin de la Société préhistorique française*, 70, 1, p. 367-384.

GUILAINE J., MANEN C. (1997) – Contacts sud-nord au Néolithique ancien : témoignages de la grotte Gazel en Languedoc, in : *Le Néolithique danubien et ses marges entre Rhin et Seine*, Actes du 22^{ème} colloque interrégional sur le Néolithique (Strasbourg, 27-29 octobre 1995), Supplément aux Cahiers de l’association pour la promotion de la recherche archéologique en Alsace, p. 301-311.

GUILAINE J., VAQUER J., GASCÓ J., BARRIÉ P. (1976) – *L’abri de Font-Juvénal. Une stratigraphie néolithique en Languedoc*, Carcassonne, Laboratoire de préhistoire et de paléontologie, 16 p.

GUILAINE J., AMIEL C., BARTHÈS P., COULAROU J., VAQUER J. (1990) – Le Chasséen de l’abri de Font-Juvénal, in : J. Guilaine, X. Guthertz dir., *Autour de Jean Arnal*, Montpellier, Recherches sur les premières communautés paysannes en Méditerranée occidentale, p. 163-175.

GUILAINE J., CREMOSENI G., RADI G., COULAROU J. (1990) – Trasano et la céramique gravée materane, in : J. Guilaine, X. Guthertz dir., *Autour de Jean Arnal*, Montpellier, Recherches sur les premières communautés paysannes en Méditerranée occidentale, p. 123-137.

GUILAINE J., BARBAZA M., GASCÓ J., GEDDES D., COULAROU J., VAQUER J., BROCHIER J.-E., BRIOIS F., ANDRE J., JALUT G., VERNET J.-L. (1993) – *Dourgne. Derniers chasseurs-collecteurs et premiers éleveurs de la Haute-Vallée de l’Aude*, Toulouse, Centre d’Anthropologie des Sociétés Rurales, Carcassonne, Archéologie en Terre d’Aude, 498 p.

GUILAINE J., COULAROU J., BRIOIS F. (1997) – Sondage à la Petite Grotte de Bize, in : J. Guilaine, P. Barthès dir., *La Poste-Vieille à Pezens (Aude). De l’enceinte néolithique à la Bastide d’Alzau*, Toulouse, Centre d’Anthropologie, Carcassonne, Archéologie en Terre d’Aude, p. 195-199.

GUILAINE J., Van WILLIGEN S., CONVERTINI F. (2008) – La céramique du Néolithique ancien de la grotte du Pont à Poussarou (Hérault), *Bulletin de la Société préhistorique française*, 105, 4, p. 749-771.

GUILAINE J., MANEN C., MARTZLUFF M. (2018) – Le Néolithique ancien en Languedoc occidental et Roussillon, in : G. Remolins Zamora i J. F. Gibaja Bao dir., *Les valls d’Andorra durant el Neolític: un encreuament de camins al centre dels Pireneus*, Monografies del MAC 2, Barcelona, Museu d’Arqueologia de Catalunya, p. 77-90.

GUILBEAU D. (2012) – Distribution du silex de Gargano (sud-est de l’Italie) entre 5600 et 4500 BC : des productions spécialisées dans un environnement contrasté, in: M. Borrell dir., *Neolithic Networks*, Actes del Congrés Internacional Xarxes al Neolític, *Rubricatum*, 5, p. 111-117.

GUILBERT-BERGER R. (2011) – Etude lithique, in : E. Ferber dir., *ZAC du plateau de Lautagne - tranche 1 (Valence, Drôme, Rhône-Alpes)*, Rapport final d’opération, Diagnostic archéologique, Inrap, Service régional d’archéologie Auvergne-Rhône-Alpes, p. 59-61 et 133.

GUILLOMET-MALMASSARI V. (2012) – *D’une révolution à l’autre. Pour une épistémologie et la problématique de transition en Préhistoire*, Paris Société préhistorique française, mémoire 54, 132 p.

H

HEDLEY I. (Inédit) – Etude archéomagnétique des foyers néolithiques des Coudoumines 1365-C, à Caramany (Pyrénées-Orientales), 3 p.

HEGMON M. (1992) – Archaeological Research on Style, *Annual Review of Anthropology*, 21, p. 517-536.

HEGMON M. (2000) – Advances in Ceramic Ethnoarchaeology, *Journal of Archaeological Method and Theory*, 7, 3, p. 129-137.

HELMER D., VILLA P., COURTIN J. (1987) – Quelques exemples de découpe dans le Néolithique du Sud-Est de la France, in : *La découpe et le partage du corps à travers le temps et l'espace*, Actes de la table ronde organisée par la RCP 717 du CNRS (Paris, 14-15 novembre 1985), Paris, Editions CNRS (*Anthropozoologica*, premier numéro spécial), p. 107-113.

HELMER D., GOURICHON L., SIDI MAAMAR H., VIGNE J.-D. (2005) – L'élevage des caprinés néolithiques dans le Sud-Est de la France : saisonnalité des abattages, relations entre grottes-bergeries et sites de plein air, *Anthropozoologica*, 40, 1, p. 167-189.

HIRSHMAN A. J., LOVIS W. A., POLLARD H. P. (2010) – Specialization of Ceramic Production: A Sherd Assemblage Based Analytic Perspective, *Journal of Anthropological Archaeology*, 29, p. 265-277.

HOFFMANN A. (2019) – *Impacts de la néolithisation sur l'évolution des systèmes hôtes-parasites. Etude paléoparasitologique des sociétés mésolithiques et néolithiques dans le sud-ouest de la France et le nord-ouest de l'Espagne*, Thèse de doctorat, Université Toulouse 2 Jean Jaurès, 286 p.

HOUDRÉ J.-J., VITAL J. (1984) – Témoins du Néolithique ancien et passage au Néolithique moyen en Velay, in : *Influences méridionales dans l'Est et le Centre-Est au Néolithique : le rôle du Massif central*, Actes du colloque interrégional sur le Néolithique (Le Puy-en-Velay, 3-4 octobre 1981), Clermont-Ferrand, Centre de Recherches et d'Etudes Préhistoriques de l'Auvergne, Cahier n°1, p. 49-56.

HUSI P., CHAREILLE P. (1996) – Méthode d'analyse quantitative et statistique de la céramique de Tours, *Histoire et Mesure*, 11, 1-2, Varia, p. 19-51.

I

IRRIBARRIA R. (1997) – Comparaison céramologique du Cerny et du Chambon, in : C. Constantin, D. Mordant, D. Simonin dir., *La culture de Cerny. Nouvelle économie, nouvelle société au Néolithique*, Actes du Colloque International de Nemours (9-11 mai 1994), Nemours, APRAIF (Mémoires du Musée d'Île-de-France, 6), p. 219-238.

IRRIBARRIA R. (2011) – Le Chambon, culture du Centre et vecteur d'influences, à partir des données céramiques du site du Bas des Flénats à Muides-sur-Loire (41), in : I. Sénépart, T. Perrin, E. Thirault, S.

Bonnardin dir., *Marges, frontières et transgressions. Actualité de la recherche*, Actes des 8^{ème} Rencontres Méridionales de Préhistoire Récente (Marseille, 7 et 8 novembre 2008), Toulouse, AEP, p. 11-24.

ISERN N., FORT J., CARVALHO A. F., GIBAJA J. F., IBAÑEZ J. J. (2014) – The Neolithic Transition in the Iberian Peninsula: Data Analysis and Modeling, *Journal of Archaeological Method and Theory*, 21, p. 447-460.

J

JALUT G. (2005) – Le climat, la végétation et l'Homme en Méditerranée à l'Holocène, in : J. Guilaine dir., *Populations néolithiques et environnements*, Séminaire du Collège de France, Paris, Errance, Collection des Hespérides, p. 215-240.

JALUT G., AMAT A. E., BONNET L., GAUQUELIN T., FONTUGNE M. (2000) – Holocene climatic changes in the Western Mediterranean from south-east France to south-east Spain, *Palaeogeography, Palaeoclimatology, Palaeoecology*, 160, p. 255-290.

JALLET F., GEORJON C. (inédit) – Entre Sud et Nord, l'Auvergne au V^e millénaire : préliminaires à une synthèse culturelle, *Transitions, ruptures et continuité en Préhistoire*, XXVII^e Congrès préhistorique de France (Bordeaux-Les Eyzies-de-Tayac, 31 mai-5 juin 2010), Session I, 4500-4200 avant notre ère en Europe de l'Ouest : le début des inégalités ?, dir. J. Guilaine et J.-P. Demoule.

JÉDIKIAN G. (2004) – Les productions céramiques du site de l'Elisyque, in : A. Vignaud dir., *Mailhac (Aude), L'Elisyque*, Document final de synthèse de fouille archéologique, Nîmes, Inrap Méditerranée, p. 22-31.

JÉDIKIAN G., MANEN C., VAQUER J (2005) – Echanges et territoires culturels entre Rhône et Garonne du VI^e au I^{ve} millénaire avant notre ère, in : J. Jaubert et M. Barbaza dir., *Territoires, déplacements, mobilité, échanges durant la Préhistoire. Terres et Hommes du sud*, Actes du 126^{ème} Congrès national des sociétés historiques et scientifiques (Toulouse, 2001), Paris, CTHS, p. 499-511.

JEUNESSE C. (2018) – « Big men », chefferies ou démocratie primitive ? Quels types de sociétés dans le Néolithique de la France, in : J. Guilaine et D. Garcia dir., *La Protohistoire de la France*, Paris, Hermann Editeurs, p. 171-185.

K

KIELB ZAARAOUI M., ZAARAOUI Y., BUFFAT L., BROCHIER J.-L., GALIN W. dir. (2018) – Camps de l'armée romaine et occupations diachroniques sur le plateau de Lautagne, Valence (Drôme), Rapport final d'opération, Fouille archéologique, Volume 1, Mosaïques archéologie, ACTER, Service régional de l'archéologie Auvergne-Rhône-Alpes, 285 p.

KOTARBA J., POLLONI A. dir. (2018) – *Saint-Génis-des-Fontaines, Domaine de Teulère, La Teularia 185 et 186 : des structures du Néolithique moyen et des vestiges d'habitat*, Rapport final d'opération, Diagnostic archéologique, Nîmes, Inrap Méditerranée, 93 p.

KOTARBA J., VIGNAUD A., MARTZLUFF M. dir. (à paraître) – *Archéologie d'une vallée engloutie. Barrage sur l'Agly (Caramany, Ansignan, Cassagnes, Trilla - Pyrénées-Orientales)*, Volume 1 : Synthèses sur les occupations du Paléolithique à l'Antiquité tardive, Volume 2 : Les sites fouillés, Conseil Général des Pyrénées-Orientales, collection Archéologie Départementale.

KOZATSAS J., KOTSAKIS K., SAGRIS D., DAVID K. (2018) – Inside out: Assessing pottery forming techniques with the micro-CT scanning. An example from Middle Neolithic Thessaly, *Journal of Archaeological Science*, 100, p. 102-119.

L

LACOSTE Y. dir. (1996) – *Atlas 2000, la France et le monde*, Paris, Nathan, 160 p.

LANOS P., PHILIPPE A., LANOS H., DUFRESNE P. (2016) – Chronomodel : Chronological Modelling of Archaeological Data using Bayesian Statistics (version 1.5). Available from <https://chronomodel.com>

LAPORTE L. (1997) – Le Néolithique ancien du Centre-Est de la France, in : A. A. Rodríguez Casal dir., *O Neolítico atlántico e as orixes do megalitismo*, Actas do coloquio internacional (Santiago de Compostela, 1^{er}-6 de abril de 1996), Santiago de Compostela, Costelo da cultura galega, Universidade de Santiago de Compostela, Unión internacional das ciencias prehistóricas e protohistóricas, p. 257-278.

LAPORTE L., PICQ C., OBERLIN C., FABRE L., MARAMBAT L., GRUET Y., MARCHAND G. (2002) – Les occupations du V^e millénaire avant J.-C. et la question du Néolithique ancien sur la façade atlantique de la France. Les occupations néolithiques du vallon des Ouchettes (Plassay, Charente-Maritime), *Gallia Préhistoire*, 44, p. 27-86.

LAPOUGE G. de (1891) – Crânes préhistoriques du Larzac, *L'Anthropologie*, 2, p. 681-695.

LASSERRE-MARTINELLI E. M. (1979) – *La transition entre le Cardial et le Chasséen dans le Midi de la France : groupes-tampons ou termes de passage ?*, mémoire de Maîtrise, université Panthéon-Sorbonne, Paris, 140 p.

LAVIANO di R., MUNTONI I. M. (2009) – Produzione e circolazione della ceramica « Serra d'Alto » nel V millennio a. C. in Italia sud-orientale, in : S. Gualtieri, B. Fabbri, G. Bandini eds., *Le classi ceramiche. Situazione degli studi*, Atti della 10^a Giornata di Archeometria della ceramica (Roma, 5-7 aprile 2006), Bari, Edipuglia, p. 57-72.

LÉA V. (2004) – *Les industries lithiques du Chasséen en Languedoc oriental. Caractérisation par l'analyse technologique*, *British Archaeological Report*, International Series, 1232, Oxford, Archeopress, 215 p.

LÉA V. (2005a) – Raw, pre-heated or ready-to-use: discovering specialist supply systems for flint industries in mid-Neolithic (Chassey culture) communities in southern France, *Antiquity*, 79, p. 1-15.

LÉA V. (2005b) – Qui peut le plus peut le moins, *Cahier des thèmes transversaux ArScAn*, V, p.186-192.

LÉA V., VAQUER J. (2010) – Diffusion et échanges au Néolithique en Méditerranée occidentale, in : X. Delestre et H. Marchesi dir., *Archéologie des rivages méditerranéens : 50 ans de recherche*, Actes du colloque d'Arles (28-30 octobre 2009), Paris, Errance, p. 199-210.

LÉA V., GASSIN B., BRIOIS F. (2004) – Fonctionnement des réseaux de diffusion des silex bédouliens du V^e au IV^e millénaire : questions ouvertes, in : H. Dartevelle dir., *Auvergne et Midi. Actualité de la recherche*, Actes des 5^{ème} Rencontres Méridionales de Préhistoire Récente (Clermont-Ferrand, 8-9 novembre 2002), *Préhistoire du Sud-Ouest*, supplément 9, p. 405-420.

LÉA V., GASSIN B., LINTON J. (2009) – Quelles armatures de projectile pour le Midi méditerranéen et ses marges du milieu du V^e millénaire au milieu du IV^e millénaire ?, *Gallia Préhistoire*, 51, p. 155-177.

LÉA V., BINDER D., BRIOIS F., VAQUER J. (2007) – « Le Chasséen méridional à lamelles » d'Arnal : évolution de notre perception des industries lithiques, in : *Un siècle de construction du discours scientifique en Préhistoire, « ... Aux conceptions d'aujourd'hui »*, Actes du XXVI^e Congrès préhistorique de France (Avignon, 21-25 septembre 2004), Paris, Société préhistorique française, volume 3, p. 263-275.

LECHTMAN H. (1977) – Style in technology – some early thoughts, in : H. Lechtman and R. S. Merrill eds., *Material culture: styles, organization and dynamics of technology*, USA, West Publishing Company, p. 3-20.

LEDUC C. (2016) – Etude archéozoologique de la faune attribuée au Néolithique ancien, zone 5 à Roquemissou, in : T. Perrin dir., *Fouille archéologique de Roquemissou à Montrozier (Aveyron)*, Rapport d'opération programmée triennale 2014-2016, Toulouse/Montpellier, Service régional de l'archéologie, p. 129-136.

LEMERCIER O. (2010) – La transition du Néolithique moyen au Néolithique final dans le Sud-Est de la France : recherches, données et scénarii, in : O. Lemerrier, R. Furestier, E. Blaise dir., *4^e millénaire. La transition du Néolithique moyen au Néolithique final dans le Sud-Est de la France et les régions voisines*, Monographies d'Archéologie Méditerranéenne, 27, Lattes, ADAL, p. 305-321.

LEMONNIER P. (1983) – L'étude des systèmes techniques, une urgence en technologie culturelle, *Techniques et culture*, 54-55, p. 46-67.

LEPÈRE C. (2009) – *Identités et transferts culturels dans le domaine circumalpin : l'exemple des productions céramiques du Chasséen provençal*, thèse de doctorat, université de Provence, Aix-Marseille, 514 p.

LEPÈRE C. (2012) – Chronologie des productions céramiques et dynamiques culturelles du Chasséen de Provence, *Bulletin de la Société préhistorique française*, 109, 3, p. 513-545.

LEPÈRE C. (2014) – Experimental and traceological approach for a technical interpretation of ceramic polished surfaces, *Journal of Archaeological Science*, 46, p. 144-155.

LESTHROSNE H., IRRIBARRIA R., MAREMBERT F. (2018) – Témoignage d'interaction entre le Néolithique méridional et septentrional au Néolithique moyen I entre Chambon ancien et fin du NACA : l'occupation de Maillé « La Forgeais » (Indre-et-Loire) à proximité de la confluence Vienne-Creuse, in : P. Marticorena, V. Ard, A. Hasler, J. Cauliez, C. Gilabert, I. Sénépart dir., « *Entre deux mers* » et actualités de la recherche, Actes des 12^{ème} Rencontres Méridionales de Préhistoire Récente (Bayonne, 27 septembre-1^{er} octobre 2016), Toulouse, AEP, p. 67-76.

LIVINGSTONE-SMITH A. (2001) – *Chaîne opératoire de la poterie. Références ethnographiques, analyses et reconstitution*, thèse de doctorat, université libre de Bruxelles, 203 p.

LIVINGSTONE-SMITH A., BOSQUET D., MARTINEAU R. eds. (2005) – *Pottery Manufacturing Processes: Reconstitution and Interprétation*, acts of the XIVth UISPP Congress (Liège, 2-8 September 2001), *British Archaeological Report*, International Series, 1349, Oxford, Archeopress, 228 p.

LOIRAT D. (2000) – *La faune du niveau Néolithique moyen de la grotte de Montou*, Mémoire de DEA, EHESS, Toulouse, 68 p.

LOISON G., GISCLON J.-L. (1991) – La nécropole de Poncharraud 2 dans le cadre de nouvelles approche du peuplement néolithique de la Basse-Auvergne, in : A. Beeching, D. Binder, J.-C. Blanchet, C. Constantin, J. Dubouloz, R. Martinez, D. Mordant, J.-P. Thévenot, J. Vaquer dir., *Identité du Chasséen*, Actes du Colloque International de Nemours (17-19 mai 1989), Nemours, APRAIF (Mémoires du Musée de Préhistoire d'Île-de-France, 4), p. 399-408.

LONGACRE W. A., XIA J., YANG T. (2000) – I Want to Buy a Black Pot, *Journal of Archaeological Method and Theory*, 7, 4, p. 273-293.

LOUIS M. (1948) – *Préhistoire du Languedoc méditerranéen et du Roussillon*, Nîmes, Cahiers d'Histoire et d'Archéologie, 204 p.

LUGLIÈ C. (2012) – From the perspective to the source. Neolithic production and exchange of Monte Arci obsidians (Central Western Sardinia), in: M. Borrell dir., *Neolithic Networks*, Actes del Congrés Internacional Xarxes al Neolític, *Rubricatum*, 5, p. 173-180.

LUZI C., COURTIN J. (2001) – La céramique des niveaux préchasséens de la Baume de Fontbrégoua (Salernes, Var), *Bulletin de la Société préhistorique française*, 98, 3, p. 471-483.

M

MAGGI R., STARNINI E. (1997) – Some aspects of the pottery production, in : R. Maggi dir., *Arene Candide : a functional and environmental assesement of the Holocene sequence (excavation Bernabó*

Brea-Cardiani 1940-50), Memorie dell'Institutino italiano di paleontologia umana, 5, Roma, Estratto, p. 279-337.

MAILLÉ M., VAQUER J., RODRIGUE A., RECOULES A., DEFRANOULD E. (2016) – *La cinérite de Réquista. Production et diffusion*, Toulouse, AEP, ASPAA, 333 p.

MANEM S. (2008) – *Les fondements technologiques de la culture des Duffaits (âge du Bronze moyen)*, Thèse de doctorat, Université Paris X Nanterre, Paris, 391 p.

MANEN C. (2000) – *Le Néolithique ancien entre Rhône et Èbre : analyse des céramiques décorées*, Thèse de doctorat, EHESS, Toulouse, 398 p.

MANEN C. (2002) – Structure et identité des styles céramiques du Néolithique ancien entre Rhône et Ebre, *Gallia Préhistoire*, 44, p. 121-165.

MANEN C. (2003) – Emergence, développement et évolution des styles céramiques du Languedoc-Roussillon au 6^{ème} millénaire avant notre ère, in : J. Gascó, X. Gutherz, P.-A. de Labriffe dir., *Temps et espaces culturels du 6^e au 2^e millénaire en France du Sud. Actualité de la recherche*, Actes des IV^{ème} Rencontres Méridionales de Préhistoire Récente (Nîmes, 28-29 octobre 2000), Lattes, Association pour le Développement de l'Archéologie en Languedoc-Roussillon (Monographie d'Archéologie Méditerranéenne, 15), p. 43-53.

MANEN C. (2007) – Etude préliminaire des céramiques du site de Caramany – Les Coudoumines 1365B, in : A. Vignaud dir., *Contribution pour la monographie : La nécropole et les habitats néolithiques du Barrage de l'Agly, Caramany (Pyrénées-Orientales)*, Rapport de troisième année, ACR « Espaces et expressions funéraires au Néolithique moyen dans le monde pyrénéen et ses marges, p. 50-96.

MANEN C. (2017) – *La néolithisation Ouest-méditerranéenne. Du package au patchwork...*, thèse d'habilitation à diriger des recherches, université Jean Jaurès, Toulouse, 306 p.

MANEN C. dir. (2017) – *Combe-Grèze, La Cresse, Aveyron*, Rapport de sondages, Montpellier/Toulouse, Service régional de l'archéologie préventive, 84 p.

MANEN C. (à paraître) – Les productions céramiques du Néolithique ancien, in : P.-Y. Nicod dir., *La Bergerie néolithique de la Grande-Rivoire à Sassenage (Isère). Deux millénaires et demi de vie pastorale dans les Alpes du Nord*, Toulouse, AEP.

MANEN C., SABATIER P. (2003) – Chronique radiocarbone de la néolithisation en Méditerranée nord-occidentale, *Bulletin de la Société préhistorique française*, 100, 3, p. 479-504.

MANEN C., CONVERTINI F. dir. (2006) – *Organisation et fonctionnement des premières sociétés paysannes. Structures des productions céramiques de la Ligurie à la Catalogne*, Action Collective de Recherche, Rapport terminal 2003-2006, 180 p.

MANEN C., GUILAINE J. (2010) – Aspects géographiques et chronoculturels du Néolithique ancien languedocien, in : C. Manen, F. Convertini, D. Binder, I. Sénépart dir., *Premières sociétés paysannes de*

Méditerranée occidentale. Structures des productions céramiques, Séance de la Société préhistorique française (Toulouse, 11-12 mai 2007), Paris, Société préhistorique française, mémoire 51, p. 179-189.

MANEN C., SALANOVA L. (2010) – Les impressions de coquilles marines à front denté dans les décors céramiques néolithiques, *in* : C. Manen, F. Convertini, D. Binder, I. Sénépart dir., *Premières sociétés paysannes de Méditerranée occidentale. Structures des productions céramiques*, séance de la Société préhistorique française (Toulouse, 11-12 mai 2007), Paris, Société préhistorique française, mémoire 51, p. 57-64.

MANEN C., CONVERTINI F. (2014) – Les productions céramiques du Néolithique ancien nîmois, *in* : T. Perrin, C. Manen, P. Séjalon dir., *Le Néolithique ancien de la plaine de Nîmes (Gard, France)*, Toulouse AEP, p. 191-242.

MANEN C., HAMON C. (2018) – Les mécanismes de la néolithisation de la France, *in* : J. Guilaine et D. Garcia dir., *La Protohistoire de la France*, Paris, Hermann Editeurs, p. 11-26.

MANEN C., BOUBY L., CARRÈRE I., COULAROU J., DEVILLERS B., MULLER C., PERRIN T., SORDOILLET D., VIGNE J.-D., VORUZ J.-L. (2004) – Nouvelles données sur le Néolithique ancien gardois : résultats des campagnes de fouille 2001-2002 de la grotte du Taï (Remoulins), *in* : H. Dartevelle dir., *Auvergne et Midi. Actualité de la recherche*, Actes des 5^{ème} Rencontres Méridionales de Préhistoire Récente (Clermont-Ferrand, 8-9 novembre 2002), *Préhistoire du Sud-Ouest*, supplément 9, p. 321-336.

MANEN C., MARCHAND G., CARVALHO A. F. (2007) – Le Néolithique ancien de la péninsule Ibérique : vers une nouvelle évaluation du mirage africain ?, *in* : *Un siècle de construction du discours scientifique en Préhistoire*, « ... Aux conceptions d'aujourd'hui », Actes du XXVI^e Congrès préhistorique de France (Avignon, 21-25 septembre 2004), Paris, Société préhistorique française, volume 3, p. 133-151.

MANEN C., SÉNÉPART I, BINDER D. (2010) – Les productions céramiques des groupes cardiaux et épicaux du Sud de la France : zoom régional, *in* : C. Manen, F. Convertini, D. Binder, I. Sénépart dir., *Premières sociétés paysannes de Méditerranée occidentale. Structures des productions céramiques*, Séance de la Société préhistorique française (Toulouse, 11-12 mai 2007), Paris, Société préhistorique française, mémoire 51, p. 179-190.

MANEN C., CAROZZA J.-M., MARCHAND G., PERRIN T. (2018a) – Prolongements continentaux et atlantiques de la néolithisation méditerranéenne, *in* : P. Marticorena, V. Ard, A. Hasler, J. Cauliez, C. Gilibert, I. Sénépart dir., « *Entre deux mers* » et actualités de la recherche, Actes des 12^{ème} Rencontres Méridionales de Préhistoire Récente (Bayonne, 27 septembre-1^{er} octobre 2016), Toulouse, AEP, p. 41-52.

MANEN C., PERRIN T., GUILAINE J., BOUBY L., BRÉHARD S., BRIOIS F., DURAND F., MARINVAL P., VIGNE J.-D. (2018b) – The Neolithic transition in the Western Mediterranean: a complex and non-linear diffusion process. The radiocarbon record revisited, *Radiocarbon*, p. 1-41.

MANEN C., PERRIN T., RAUX A., BINDER D., LE BOURDONNEC F.-X., BRIOIS F., CONVERTINI F., DUBERNET S., ESCALLON G., GOMART L., GUILAINE J., HAMON C., PHILLIBERT S., QUEFFELEC A. (2019) – Le sommet de l'iceberg ? Colonisation pionnière et néolithisation de la France méditerranéenne, *Bulletin de la Société préhistorique française*, 116, 2, p. 317-361.

MAR CET i BARBÉ R. (1981) – El Neolític Antic (Cardial-Epicardial) a Catalunya, *in* : G. M. Camps, M. Llongueras i Campaña, R. Marcet i Barbé, A. Petit i Mendizàbal, J. Rovira i Port dir., *El Neolític a Catalunya*, Taula Rodona de Monserrat (maig 1980), Tortosa, Abadia de Montserrat, p. 15-27.

MARCHAND G. (1999) – *La néolithisation de l'ouest de la France : caractérisation des industries lithiques*, *British Archaeological Report*, International Series 748, Oxford, Archeopress, 381 p.

MARCHAND G., MANEN C. (2006) – Le rôle du Néolithique ancien méditerranéen dans la néolithisation de l'Europe atlantique, *in* : P. Fouéré, C. Chevillot, P. Courtaud, O. Ferullo, C. Leroyer dir., *Paysages et peuplement. Aspects culturels et chronologiques en France méridionale. Actualités de la recherche*, Actes des 6^{ème} Rencontres Méridionales de Préhistoire Récente (Périgueux, 14-16 octobre 2004), Périgueux, ADRAHP, Préhistoire du Sud-Ouest, p. 213-232.

MARINVAL P. (2003) – Rapport de l'analyse carpologique. La Baume du Clos de Poujol (Campagnac, Aveyron). Années 2001-2003, *in* : M. Boboeuf, A. Bridault, J. É. Brochier, E. David, B. Loiseleur, P. Marival, J.-C. Marquet dir., *Le Clos de Poujol (Aveyron), fouilles programmées triennales 2001-2002-2003. Rapport triennal 2003*, Toulouse, Service Régional de l'Archéologie, p. 82-84.

MARQUEBIELLE B. (2016) – Le travail des matières osseuses, *in* : T. Perrin dir., *Fouille archéologique de Roquemissou à Montrozier (Aveyron)*, Rapport d'opération programmée triennale 2014-2016, Toulouse/Montpellier, Service régional de l'archéologie, p. 115-121.

MARQUEBIELLE B. (2017) – Les pièces d'industrie osseuse, *in* T. Perrin dir., *Fouille archéologique de Roquemissou à Montrozier (Aveyron)*, Premier rapport intermédiaire d'opération programmée triennale 2017-2019, Toulouse/Montpellier, Service régional de l'archéologie, p. 83-93.

MARQUET J.-C. (2003) – Résultats préliminaires de l'étude des rongeurs, *in* : M. Boboeuf, A. Bridault, J. É. Brochier, E. David, B. Loiseleur, P. Marival, J.-C. Marquet dir., *Le Clos de Poujol (Aveyron), fouilles programmées triennales 2001-2002-2003. Rapport triennal 2003*, Toulouse, Service Régional de l'Archéologie, p. 85-91.

MARTÍ OLIVER B., BARNABEU AUBÁN J. (2012) – La vida doméstica en el Neolítico peninsular: los lugares de asentamiento, *in*: M. Rojo Guerra, R. Garrido Pena, Í. García Martínez de Lagrán eds., *El Neolítico en la península ibérica y su contexto europeo*, Madrid, Ediciones Cátedra, p. 129-142.

MARTIN L., BOUBY L., MARINVAL P., DIETSCH-SELLAMI M.-F., ROUSSELET O., CABANIS M., DURAND F., FIGUEIRAL I. (2016) – L'exploitation des ressources végétales durant le Chasséen : un bilan des données carpologiques en France entre 4400 et 3500 avant notre ère, *in* : T. Perrin, P. Chambon, J. F. Gibaja, G. Goude dir., *Un Chasséen, des Chasséens... Retour sur une culture nationale et ses parallèles, Sepulcres de fossa, Cortailod, Lagozza*, Actes du colloque international (Paris, 18-20 novembre 2014), Toulouse, AEP, p. 259-272.

MARTINS H., OMS F. X., PEREIRA L., PIKE A. W. G., ROWSELL K., ZILHÃO J. (2015) – Radiocarbon Dating the Beginning of the Neolithic in Iberia: New Results, New Problems, *Journal of Mediterranean Archaeology*, 28.1, p. 105-131.

MARTÍN CÓLLIGA A. (1990) – El Neolítico antiguo en Cataluña. Trayectoria de su investigación, *in* : J. Guilaine, X. Gutherz dir., *Autour de Jean Arnal*, Montpellier, Recherches sur les premières communautés paysannes en Méditerranée occidentale, p. 37-54.

MARTÍN CÓLLIGA A., VILLALBA IBAÑEZ J. (1999) – Le Néolithique moyen de la Catalogne, *in* : J. Vaquer dir., *Le Néolithique du Nord-Ouest méditerranéen*, actes du XXIV^e Congrès préhistorique de France (Carcassonne, 26-30 septembre 1994), Paris, Société préhistorique française, p. 211-224.

MARTÍN A., EDO M. TARRÚS J., CLOP X. (2010) – Le Néolithique ancien de Catalogne (IV^e-première moitié du V^e av. J.-C.) – Les séquences chronoculturelles, *in* : C. Manen, F. Convertini, D. Binder, I. Sénépart dir., *Premières sociétés paysannes de Méditerranée occidentale. Structures des productions céramiques*, Séance de la Société préhistorique française (Toulouse, 11-12 mai 2007), Paris, Société préhistorique française, mémoire 51, p. 197-214.

MARTINEAU R. (2000) – *Poterie, techniques et sociétés. Etudes analytiques et expérimentales à Chalains et Clairvaux (Jura), entre 3200 et 2900 av. J.-C.*, thèse de doctorat, université de Franche-Comté, Dijon, 268 p.

MARTINEAU R. (2005) – Identification of the « beater and anvil » technique in neolithic contexts: experimental approach, *in* : A. Livingstone-Smith, D. Bosquet, R. Martineau eds., *Pottery Manufacturing Processes: Reconstitution and Interpretation*, Acts of the XIVth UISPP Congress (Liège, 2-8 September 2001), *British Archaeological Report*, International Series, 1349, Oxford, Archeopress, p. 147-156.

MARTINEAU R. (2006) – Identification expérimentale des techniques de façonnage des poteries archéologiques, *in* : L. Baray dir., *Artisanat, société et civilisation : hommage à Jean-Paul Thevenot*, actes du colloque organisé par l'UMR 5594, Dijon et le Centre de Recherche et d'Etude du Patrimoine CEREP (Sens, 2-3 avril 2003), Dijon, *Revue archéologique de l'Est*, supplément 24, p. 251-258.

MARTINEAU R. (2010) – Brunissage, polissage et degrés de séchage. Un référentiel expérimental, *Les Nouvelles de l'archéologie*, 119, p. 13-19.

MARTINEAU R., PÉTREQUIN P. (2000) – La cuisson des poteries néolithiques de Chalain (Jura), approche expérimentale et analyse archéologique, *in* : P. Pétrequin, P. Fluzin, J. Thiriote, P. Benoît dir., *Arts du feu et productions artisanales*, actes des XXe Rencontres internationales d'archéologie et d'histoire d'Antibes (20-23 octobre 1999), Antibes, APDCA, p. 337-358.

MARTÍNEZ P. (2016) – Estudi dels materials ceràmics, *in* : Fortó García i Vidal Sánchez eds., *Comunitats agrícoles al Pirineu. L'ocupació humana a Juberrí durant la segona meitat del V^e mil·lenni cal. AC (Feixa del Moro, Camp del Colomer i Carrer Llinás 28, Andorra)*, Andorra, Govern d'Andorra (Monografies del Patrimoni Cultural d'Andorra, 6), p. 87-148.

MARTÍNEZ P., VIDAL A., FORTÓ A., TURU V., AUGÉ Ó., PUJOL F., FÍGULS A., MAESE X., MERCADAL O., GUILAIN J. (2019) – El Juberríà. La primera cultura pirenenca ?, III^e Congrès internacional d'història dels pireneus (La Seu d'Urgell-Andorra la Vella, 16-18 de juny del 2017), Sant Julià de Lòria, Institut d'Estudis Andorrans, p.655-670.

MARTZLUFF M. (2007) – Le contexte géographique, *in* : J. Kotarba, G. Castellvi, F. Mazière dir., *Carte archéologique de la Gaule. Les Pyrénées-Orientales*, 66, Paris, Académie des Inscriptions et Belles Lettres, p. 67-79.

MASSE L. (2012) – Cadre géographique et géologique, *in* : A. Trintignac dir., *Carte archéologique de la Gaule. La Lozère* (48), Paris, Académie des Inscriptions et Belles Lettres, p. 51-60.

MAURY J. (1997) – Les niveaux post-glacières dans l’abri des Usclades (Nant, Aveyron), *Bulletin de la Société préhistorique française*, 94, 4, p. 509-526.

MAURY J., LACAS M. (1965) – Un nouveau gisement Mésolithique inédit sur les Grands Causses : l’abri II de Puechmargues (commune de la Roque Sainte-Marguerite, Aveyron), *Bulletin de la Société préhistorique française, Comptes-rendus des séances mensuelles*, 62, 7, p. 251-256.

MAYOR A. (1994) – Durées de vie des céramiques africaines : facteurs responsables et implications archéologiques, *in* : D. Binder et J. Courtin dir., *Terre cuite et société : la céramique, document technique, économique, culturel*, actes des XIV^e Rencontres internationales d’archéologie et d’histoire d’Antibes (21-23 octobre 1993), Juan-les-Pins, APDCA, p. 179-198.

MAZZIERI P., COLOMBO M., BERNABÒ BREA M., CREMONESI R. G. (2012) – Contatti e scambi tra la cultura Serra d’Alto e i Vasi a Bocca Quadrata : il caso delle ollette tipo San Martino, *in*: M. Borrell dir., *Neolithic Networks*, Actes del Congrès Internacional Xarxes al Neolític, *Rubricatum*, 5, p. 351-361.

MAZZUCCO N., GIBAJA J. F. (2018) – A paleoeconomic perspective on the Early Neolithic lithic assemblages of the N-NE of the Iberian Peninsula, *Quaternary International*, 472, p. 336-245.

MERLEAU M.-L., POISSONNIER B., MARCHAND G., FARAGO-SZEKERES B., ROUQUET J., GEORGES P., BAUDRY-DAUTRY A., WATTEZ J., POIRIER P. (2016) – Entre Sud et Nord : du nouveau à l’Ouest. L’éperon de Buxerolles « La Grande Sablière » (Vienne), une occupation néolithique de longue durée. Résultats préliminaires de la fouille préventive menée en 2013, *in* : J. Cauliez, I. Sénépart, L. Jallot, P.-A. de Labriffe, C. Gilabert, X. Guthertz, *De la tombe au territoire et actualités de la recherche*, Actes des 11^{ème} Rencontres Méridionales de Préhistoire Récente (Montpellier, 25-27 septembre 2014), Toulouse, AEP, p. 187-198.

MÉROC L., SIMMONET G. (1970) – Le Chasséen de la haute et de la moyenne vallée de la Garonne, *in* : J. Guilaine dir., *Les civilisations néolithiques du Midi de la France*, Actes du colloque de Narbonne (15-17 février 1970), Carcassonne, Laboratoire de préhistoire et de paléontologie (Atacina 5), p. 38-47.

MESTRES J. (1981) – Neolític Antic al Penedès, *in* : G. M. Camps, M. Llongueras i Campaña, R. Marcet i Barbé, A. Petit i Mendizàbal, J. Rovira i Port dir., *El Neolític a Catalunya*, Taula Rodona de Montserrat (maig 1980), Tortosa, Abadia de Montserrat, p. 59-68.

MEUNIER K. (2013) – La transition Rubané-Villeneuve-Saint-Germain à travers l’évolution des productions céramiques : la cas de la région Seine-Yonne, *in* : J. Jaubert, N. Fourment, P. Depaepe dir., *Transitions, ruptures et continuité en Préhistoire*, Actes du XXVII^e Congrès préhistorique de France (Bordeaux-Les-Eyzies-de-Tayac, 31 mai-5 juin 2010), volume 1, Session H, *Autour du Néolithique*

ancien. *Les outils du changement : critique des méthodes*, dir. T. Perrin, C. Manen, G. Marchand, P. Allard, D. Binder, M. Illet, Paris, Société préhistorique française, p. 485-502.

MOLIST M., CLOP X. (2009) – Habitations et habitats au début du Néolithique en Catalogne (5500-3500 av. J.-C.), *in* : A. Beeching et I. Sénépart dir., *De la maison au village. L'habitat néolithique dans le Sud de la France et le Nord-Ouest méditerranéen*, Actes de la table-ronde de Marseille (23-24 mai 2003), Société préhistorique française, mémoire 48, p. 73-86.

MOLIST MONTAÑA M., RIBÉ MONGE G., SAÑA SEGUÍ M. (1997) – Les changements du Néolithique en Catalogne durant le V^e millénaire, *in* : C. Constantin, D. Mordant, D. Simonin dir., *La culture de Cerny. Nouvelle économie, nouvelle société au Néolithique*, Actes du Colloque International de Nemours (9-11 mai 1994), Nemours, APRAIF (Mémoires du Musée d'Île-de-France, 6), p. 617-630.

MOLIST M., SAÑA M., BUXÓ R. (2003) – El Neolític a Catalunya : entre la civilització de pastors i agricultors cavernícoles i els primers pagesos del pla, *Cota Zero : revista d'arqueologia i ciència*, 18, p. 34-53.

MOLIST M., CRUELLS W., CASTELLS J. (2007) – Le groupe de « sépultures de Tavertet » dans le cadre des pratiques funéraires du V^e millénaire en Catalogne (Espagne), *in* : P. Moinat et P. Chambon dir., *Les cistes de Chamblandes et la place des coffres dans les pratiques funéraires du Néolithique moyen occidental*, Actes du Colloque de Lausanne (12-13 mai 2006), Lausanne, Cahiers d'archéologie romande, 110, Paris, Société préhistorique française, mémoire 43, p. 61-68.

MOLIST M., BOFILL M., BORRELL F., BOSCH J., BUXÓ R., CHAMBON P., CLOP X., GIBAJA J. F., GÓMEZ A., NADAL J., OLIVA M., ORTIZ A., SAÑA M., VICENTE O. (2012) – La caserna de Sant Pau del Camp (Barcelona): una aproximación a los modelos de circulación de productos et ideas en un contexto funerario postcardial, *in*: M. Borrell dir., *Neolithic Networks*, Actes del Congrés Internacional Xarxes al Neolític, *Rubricatum*, 5, p. 449-458.

MOLIST MONTAÑA M., GÓMEZ BACH A., BORRELL TENA F., RÍOS MENDOZA P., BOSCH ARGILAGÓS J. (2016) – El « Chassense » y los « Sepulcros de Fossa de Cataluña » : relaciones complejas entre culturas arqueológicas vecinas, *in* : T. Perrin, P. Chambon, J. F. Gibaja, G. Goude dir., *Un Chasséen, des Chasséens... Retour sur une culture nationale et ses parallèles, Sepulcros de fossa, Cortailod, Lagozza*, Actes du colloque international (Paris, 18-20 novembre 2014), Toulouse, AEP, p. 143-157.

MONTJARDIN R. (1965) – Contribution à l'étude du Néolithique méridional, *Bulletin de la Société préhistorique française*, Comptes rendus des séances mensuelles, 62, 2, p. 75-81.

MONTJARDIN R. (1969) – Parlons-nous le même langage ?, *Bulletin de la Société préhistorique française*, 66, 8, p. 252-256.

MONTJARDIN R. (1970) – Problèmes du Chasséen à la lumière des fouilles d'Escanin, *in* : J. Guilaine dir., *Les civilisations néolithiques du Midi de la France*, Actes du colloque de Narbonne (15-17 février 1970), Carcassonne, Laboratoire de préhistoire et de paléontologie (Atacina 5), p. 33-35.

MONTJARDIN R. (1977) – Possibilité d'évolution d'un décor du type cardial à un décor pectiné ou cilié, exécuté à sec, *in* : Tiné dir., *Le ceramiche graffite nel neolitico del Mediterraneo centro-occidentale*, Actes du colloque de Gênes (20-24 juin 1977), Trento, Museo Tridentini de Scienze Naturali (*da Preistoria Alpina*, 13), p. 55-56.

MONTJARDIN R (1995) – Le passage du Néolithique ancien au Chasséen en Provence occidentale et Languedoc oriental, *in* : J.-L. Voruz dir., *Chronologies néolithiques. De 6000 à 2000 avant notre ère dans le bassin rhodanien*, Actes du Colloque d'Ambérieu-en-Bugey (19-20 septembre 1992), XI^e Rencontres sur le Néolithique de la région Rhône-Alpes, Ambérieu-en-Bugey, Société préhistorique rhodanienne (Documents du département d'anthropologie et d'écologie de l'université de Genève, 20), p. 77-92.

MONTES L., ALDAY A. (2012) – Enredados en la malla neolítica de la cuenca del río Ebro. Redes, continuidades y cambios, *in*: M. Borrell dir., *Neolithic Networks*, Actes del Congrés Internacional Xarxes al Neolític, *Rubricatum*, 5, p. 51-60.

MULLER-PELLETIER C. (2006) – Les structures de combustions chasséennes de l'ensemble C2c de la doline de Roucadour : micro-histoires, fonctionnements et analyse spatiale, *in* : J. Gascó, F. Leyge, P. Gruat dir., *Hommes et passé des Grands Causses. Hommage à Georges Costantini*, Actes du colloque de Millau (16-18 juin 2005), Toulouse, AEP, p. 223-252.

MUNTONI I. M. (2012) – Circulation of raw materials, final products or ideas in the neolithic communities of southern Italy: the contribution of archaeometric analyses to the study of pottery, flint and obsidian, *in*: M. Borrell dir., *Neolithic Networks*, Actes del Congrés Internacional Xarxes al Neolític, *Rubricatum*, 5, p. 403-411.

N

NICOD P.-Y. (1995) – Le cinquième millénaire dans le Jura méridional, *in* : J.-L. Voruz dir., *Chronologies néolithiques. De 6000 à 2000 avant notre ère dans le bassin rhodanien*, Actes du Colloque d'Ambérieu-en-Bugey (19-20 septembre 1992), XI^e Rencontres sur le Néolithique de la région Rhône-Alpes, Ambérieu-en-Bugey, Société préhistorique rhodanienne (Documents du département d'anthropologie et d'écologie de l'université de Genève, 20), p. 123-136.

NICOD P.-Y. (2009) – Les céramiques du Néolithique moyen I (couches 52 à 48), *in* : J.-L. Voruz dir., *La Grotte du Gardon (Ain). Le site et la séquence néolithique des couches 60 à 47*, volume 1, Toulouse AEP, p. 501-536.

NICOD P.-Y., PICAUVET R., ARGANT J., BROCHIER J.-L., CHAIX L., DELHON C., MARTIN L., MOULIN L., SORDOILLET D., THIÉBAULT S. (2010) – Une économie pastorale dans le Nord du Vercors : analyse pluridisciplinaire des niveaux néolithiques et protohistoriques de la Grande Rivoire (Sassenage, Isère), *in* : A. Beeching, E. Thiébaud, J. Vital dir., *Economie et société à la fin de la Préhistoire. Actualités de la recherche*, Actes des 7^{ème} Rencontres Méridionales de Préhistoire Récente (3-4 novembre 2006, Bron), Document d'Archéologie en Auvergne et en Rhône-Alpes, 52, Lyon, Association de liaison pour le patrimoine et l'archéologie en Rhône-Alpes et en Auvergne, Maison de l'Orient et de la Méditerranée, p. 69-86.

NICOD P.-Y., PERRIN T., BROCHIER J.-L., CHAIX L., MARQUEBIELLE B., PICAUVET R., VANNIEUWENHUYSE D. (2012) – Continuités et ruptures culturelles entre chasseurs mésolithiques et chasseurs néolithiques en Vercors, analyse préliminaire des niveaux du Mésolithique récent et du Néolithique ancien sans céramique de l'abri-sous-roche de la Grande Rivoire (Sassenage, Isère), *in* : T. Perrin, J. Cauliez, I.

Sénépart, E. Thirault, S. Bonnardin dir., *Dynamiques et rythmes évolutifs des sociétés de la Préhistoire récente*, Actes des 9^{ème} Rencontres Méridionales de Préhistoire Récente (8-9 octobre 2010, Saint-Georges-de-Didonne), Toulouse, AEP, p. 13-32.

NIEDERLENDER A., LACAM R., ARNAL J. (1966) – *Le gisement néolithique de Roucadour (Thémines, Lot)*, Paris, Editions CNRS (III^e supplément à Gallia Préhistoire), 206 p.

O

ODETTI G. (1977) – Le ceramiche graffite nella grotta della Pollera, in : Tiné dir., *Le ceramiche graffite nel neolitico del Mediterraneo centro-occidentale*, Actes du colloque de Gênes (20-24 juin 1977), Trento, Museo Tridentini de Scienze Naturali (*da Preistoria Alpina*, 13), p. 56-59.

ODETTI G. (2001) – L’horizon à céramique gravé en Ligurie : état de la question, *Bulletin de la Société préhistorique française*, 98, 3, p. 459-469.

OMS F. X., MARTÍN A. (2018) – Els primers pagesos i ramaders del nord-est de la Península ibèrica: el Neolític ca. 5600-2300 cal. BC, in : G. Remolins Zamora i J. F. Gibaja Bao dir., *Les valls d’Andorra durant el Neolític: un encreuament de camins al centre dels Pireneus*, Monografies del MAC 2, Barcelona, Museu d’Arqueologia de Catalunya, p. 37-62.

OMS F. X., BARGALLÓ A., CHALER M., FONTANALS M., GARCÍA M. S., LÓPEZ J. M., MORALES J. I., NIEVAS T., RODRÍGUEZ A., SERRA J., SOLÉ À., VERGÈS J. M. (2008) – La Cova Colomera (Sant Esteve de la Sarga, Lleida), una cueva-redil en al prepireneo de Lérida. Primeros resultados y perspectiva de futuro, in : M. S. Hernández Pérez, J. A. Soler Díaz, J. A. López Padilla eds., *IV Congreso del Neolítico Peninsular (Alicante, 27-30 noviembre 2006)*, Tomo I, Museo Arqueológico de Alicante, p. 230-236.

OMS F. X., PETIT M. À., MORALES J. I., GARCÍA, M. S. (2012) – Le processus de néolithisation dans les Pyrénées orientales. Occupation du milieu, culture matérielle et chronologie, *Bulletin de la Société préhistorique française*, 109, 4, p. 651-670.

OMS F. X., ESTEVE X., MESTRES J., MARTÍN P., MARTINS H. (2014) – La neolitización del nordeste de la Península ibérica: datos radiocarbónicos y culturales de los asentamientos al aire libre del Penedès, *Trabajos de Prehistoria*, 71, 1, p. 42-55.

OMS F. X., MARTÍN A., ESTEVE X., MESTRES J., MORELL B., EULÀLIA SUBIRÀ M., GIBAJA J. F. (2016) – The Neolithic in northeast Iberia: chronocultural phases and ¹⁴C, *Radiocarbon*, 58, p. 291-309.

OMS X., DAURA J., MONTSERRAT S., MENDIELA S., PEDRO M., MARTÍNEZ P. (2017) – First Evidence of Collective Human Inhumation from the Cardial Neolithic (Cova Bonica, Barcelona, NE Iberian Peninsula), *Journal of Field Archaeology*, 42, 1, p. 43-53.

OMS F. X., MAZZUCCO N., SANTOS F. J., GUILAINE J., SUBIRÀ M. E., GIBAJA J. F. (2018) – Les dades radiocarbòniques i la seva anàlisi durant el Neolític a les valls d’Andorra, in : G. Remolins Zamora i J. F. Gibaja Bao dir., *Les valls d’Andorra durant el Neolític: un encreuament de camins al centre dels Pireneus*, Monografies del MAC 2, Barcelona, Museu d’Arqueologia de Catalunya, p. 91-100.

OMS F. X., SÁNCHEZ DE LA TORRE M., PETIT M. À., LÓPEZ-CACHERRO F. J., MANGADO X. (2019) – Nuevos datos del VI y V milenio cal BC en el llano y Prepirineo de Lleida (NE de la Península ibérica) : el Abric del Xicotó y Les Auelles, *Munibe* [en ligne], 70, p. 1-15.

P

PACOTTE L. (2018a) – Le matériel de broyage et d’abrasion, *in* : A. Gaillard dir., *PRAE Charles Cros, Las Trincados. Première section : données administratives, deuxième section : résultats*, Rapport final d’opération, Fouille préventive, Acter, Mosaïque Archéologie, Service régional de l’Archéologie d’Occitanie, volume 4, p. 60-74.

PACOTTE L. (2018b) – Etude du matériel de mouture, *in* : M. Kielb Zaaraoui, Y. Zaaraoui, L. Buffat, J.-L. Brochier, W. Galin dir., *Camps de l’armée romaine et occupations diachroniques sur le plateau de Lautagne (Valence, Drôme)*, Rapport final d’opération, Fouille archéologique, volume 1, Mosaïques archéologie, ACTER, Service régional de l’archéologie Auvergne-Rhône-Alpes, p. 259-261.

PANELLI C. (2019) – *La grotte des Arene Candide. Productions céramique et dynamiques de peuplement en Ligurie occidentale au cours du VI^e millénaire AEC*, Thèse de doctorat, Université Côte d’Azur, Nice, Università degli studi di Genova, 587 p.

PEÑA-CHOCARRO L., ZAPATA PEÑA L., GARCÍA GAZÓLAZ J., GONZÁLEZ MORALES M., SESMA SESMA J., STRAUS L. G. (2005) – The spread of agriculture in northern Iberia: new archaeological data from El Mirón cave (Cantabria) and the open-air site of Los Cascajos (Navarra), *Vegetation, History and Archaeobotany*, 14, p. 268-278.

PERLÈS C. (2007) – Echanges et technologie : l’exemple du Néolithique, *in* : *Un siècle de construction du discours scientifique en Préhistoire*, « ... Aux conceptions d’aujourd’hui », Actes du XXVI^e Congrès préhistorique de France (Avignon, 21-25 septembre 2004), Paris, Société préhistorique française, volume 3, p. 53-62.

PERLÈS C. (2012a) – Le statut des échanges au Néolithique, *in*: M. Borrell dir., *Neolithic Networks*, Actes del Congrès Internacional Xarxes al Neolític, *Rubricatum*, 5, p. 539-546.

PERLÈS C. (2012b) – Quand « diffusion » ne veut pas dire « interaction », *in*: M. Borrell dir., *Neolithic Networks*, Actes del Congrès Internacional Xarxes al Neolític, *Rubricatum*, 5, p. 585-589.

PERRIN T. (2002) – Les industries lithiques taillées du haut Bassin rhodanien à la transition Néolithique ancien-Néolithique moyen, *in* : M. Bailly, R. Furestier, T. Perrin dir., *Les industries lithiques taillées holocènes du Bassin rhodanien : problèmes et actualités*, Actes de la table-ronde de Lyon (8-9 décembre 2000), Montagnac, Mergoïl, Préhistoire, 8, p. 113-133.

PERRIN T. (2009) – Les silex du Néolithique ancien : technologie et typologie, *in* : J.-L. Voruz dir., *La Grotte du Gardon (Ain). Le site et la séquence néolithique des couches 60 à 47*, Volume 1, Toulouse AEP, p. 267-324.

PERRIN T. (2011) – *Les gisements du second Mésolithique et du Néolithique ancien en Midi-Pyrénées. Rapport de prospection-inventaire*, Toulouse, Service régional de l'archéologie, 169 p.

PERRIN T. (2014a) – Les industries lithiques taillées du Néolithique ancien nîmois, *in* : T. Perrin, C. Manen, P. Séjalon dir., *Le Néolithique ancien de la plaine de Nîmes (Gard, France)*, Toulouse AEP, p. 243-292.

PERRIN T. (2014b) – Méthodes pour l'appréhension raisonnée d'une série de dates radiocarbone : de l'histogramme cumulatif à la modélisation bayésienne, *in* : I. Sénépart, F. Léandri, J. Cauliez, T. Perrin, E. Thirault dir., *Chronologie de la Préhistoire récente dans le Sud de la France. Actualité de la recherche*, Actes des Xème Rencontres Méridionales de Préhistoire Récente (Porticcio, 18-20 octobre 2012), Toulouse, AEP, p. 11-22.

PERRIN T. (2016) – Le délicat séquençage du Chasséen méridional, *in* : T. Perrin, P. Chambon, J. F. Gibaja, G. Goude dir., *Le Chasséen, des Chasséens... Retour sur une culture nationale et ses parallèles, Sepulcres de fossa, Cortaillod, Lagozza*, Actes du colloque international de Paris (18-20 novembre 2014), Toulouse, AEP, p. 437-456.

PERRIN T. (2019) – BDA : une Base de Données Archéologique collaborative en ligne, *Bulletin de la Société archéologique française*, 116, 1, p. 159-162.

PERRIN T. dir. (2012) – *Fouille archéologique de Roquemissou à Montrozier (Aveyron)*, Rapport final d'opération programmée annuelle 2012, Toulouse/Montpellier, Service régional de l'archéologie, 174 p.

PERRIN T. dir. (2013) – *Fouille archéologique de Roquemissou à Montrozier (Aveyron)*, Rapport final d'opération programmée annuelle 2013, Toulouse/Montpellier, Service régional de l'archéologie, 184 p.

PERRIN T. dir. (2014) – *Fouille archéologique de Roquemissou à Montrozier (Aveyron)*, Premier rapport intermédiaire d'opération programmée triennale 2014-2016, Toulouse/Montpellier, Service régional de l'archéologie, 104 p.

PERRIN T. dir. (2015) – *Fouille archéologique de Roquemissou à Montrozier (Aveyron)*, Second rapport intermédiaire (2015) d'opération programmée triennale 2014-2016, Toulouse/Montpellier, Service régional de l'archéologie, 93 p.

PERRIN T. dir. (2016) – *Fouille archéologique de Roquemissou à Montrozier (Aveyron)*, Rapport d'opération programmée triennale 2014-2016, Toulouse/Montpellier, Service régional de l'archéologie, 229 p.

PERRIN T. dir. (2017) – *Fouille archéologique de Roquemissou à Montrozier (Aveyron)*, Premier rapport intermédiaire d'opération programmée triennale 2017-2019, Toulouse/Montpellier, Service régional de l'archéologie, 142 p.

PERRIN T. dir. (2018) – *Fouille archéologique de Roquemissou à Montrozier (Aveyron)*, Second rapport intermédiaire d'opération programmée triennale 2017-2019, Toulouse/Montpellier, Service régional de l'archéologie, 124 p.

PERRIN T. dir. (2019) – *Fouille archéologique de Roquemissou à Montrozier (Aveyron)*, Rapport d'opération programmée triennale 2017-2019, Toulouse/Montpellier, Service régional de l'archéologie, 298 p.

PERRIN T., BOBOEUF M. (2012) – Historique des recherches, in : T. Perrin dir., *Fouille archéologique de Roquemissou à Montrozier (Aveyron)*, Rapport final d'opération programmée annuelle 2012, Toulouse/Montpellier, Service régional de l'archéologie, p. 25-35.

PERRIN T., DEFRANOULD E. (2016) – The Montclus rock shelter (Gard) and the continuity hypothesis between 1st and 2nd Mesolithic in Southern France, *Quaternary International*, 423, p. 230-241.

PERRIN T., CONVERTINI F. (2018) – Chronologie des occupations d'après les datations radiocarbone, in : F. Convertini et C. Georjon dir., *Le Champ du Poste (Carcassonne, Aude). Une succession d'occupations du début du Néolithique moyen à l'âge du Bronze ancien*, Toulouse, AEP, p. 125-135.

PERRIN T., MANEN C., SÉJALON P. dir. (2014) – *Le Néolithique ancien de la plaine de Nîmes (Gard, France)*, Toulouse, AEP, 490 p.

PERRIN T., MANEN C., SÉJALON P. (2014) – Synthèse. Sites, terroirs, territoires, in : T. Perrin, C. Manen, P. Séjalon dir., *Le Néolithique ancien de la plaine de Nîmes (Gard, France)*, Toulouse AEP, p. 353-372.

PERRIN T., BOBOEUF M., CAROZZA J.-M., CAROZZA L., CAULIEZ J., MENSAN R. (2016) – Roquemissou (Montrozier, Aveyron) : premiers résultats et perspectives des nouvelles recherches de terrain, in : J. Cauliez, I. Sénépart, L. Jallot, P.-A. de Labriffe, C. Gilabert, X. Guthertz, *De la tombe au territoire et actualités de la recherche*, Actes des 11^{ème} Rencontres Méridionales de Préhistoire Récente (Montpellier, 25-27 septembre 2014), Toulouse, AEP, p. 199-209.

PERRIN T., MANEN C., VALDEYRON N., GUILAINE J. (2018) – Beyond the sea... The Neolithic transition in the southwest of France, *Quaternary International*, 470, p. 318-332.

PETIT i MENDIZÀBAL A., ROVIRA i PORT J. (1981) – El Montboló com a exemple de transició entre el Neolític Antic i el Mig a Catalunya, in : G. M. Camps, M. Llongueras i Campaña, R. Marcet i Barbé, A. Petit i Mendizàbal, J. Rovira i Port dir., *El Neolític a Catalunya*, Taula Rodona de Montserrat (maig 1980), Tortosa, Abadia de Montserrat, p. 79-85.

PÉTREQUIN P., PÉTREQUIN A.-M. (2012) – Chronologie et organisation de la production dans le massif du Mont Viso, in : P. Pétrequin, S. Cassen, M. Errera, L. Klassen, A. Sheridan, A.-M. Pétrequin dir., *Jade. Grandes haches alpines du Néolithique européen. V^e et IV^e millénaires av. J.-C.*, Besançon, Presse universitaire de Franche-Comté, Cahiers de la MSHE Ledoux, 17, Dynamiques territoriales, 6, p. 214-257.

PÉTREQUIN P., CASSEN S., GAUTHIER E., KLASSEN L., PAILLER Y., SHERIDAN A. (2012) – Typologie, chronologie et répartition des grandes haches alpines en Europe occidentale, in : P. Pétrequin, S.

Cassen, M. Errera, L. Klassen, A. Sheridan, A.-M. Pétrequin dir., *Jade. Grandes haches alpines du Néolithique européen. V^e et IV^e millénaires av. J.-C.*, Besançon, Presse universitaire de Franche-Comté, Cahiers de la MSHE Ledoux, 17, Dynamiques territoriales, 6, p. 574-727.

PÉTREQUIN P., CASSEN S., KLASSEN L., FÁBREGAS VALCARCE R. (2012) – La circulation des haches carnacéennes en Europe occidentale, *in* : P. Pétrequin, S. Cassen, M. Errera, L. Klassen, A. Sheridan, A.-M. Pétrequin dir., *Jade. Grandes haches alpines du Néolithique européen. V^e et IV^e millénaires av. J.-C.*, Besançon, Presse universitaire de Franche-Comté, Cahiers de la MSHE Ledoux, 17, Dynamiques territoriales, 6, p. 1015-1045.

PÉTREQUIN P., ERRERA M., MARTÍN A., FÁBREGAS VALCARCE R., VAQUER J. (2012) – Les haches en jades alpins pendant les V^e et IV^e millénaires. L'exemple de l'Espagne et du Portugal dans une perspective européenne, *in*: M. Borrell dir., *Neolithic Networks*, Actes del Congrés Internacional Xarxes al Neolític, *Rubricatum*, 5, p. 213-222.

PÉTREQUIN P., CASSEN S., CHEVILLOT C., ERRERA M., PAILLER Y., PÉTREQUIN A.-M., PRICHYSTAL A., PRODÉO F. (2015) – La production des anneaux-disques alpins pendant les VI^e et V^e millénaires av. J.-C. et le Mont Viso, *in* : P.-J. Rey et A. Dumont dir., *L'Homme et son environnement : des lacs, des montagnes et des rivières : bulles d'archéologie offertes à André Marguet*, 40^{ème} supplément à la Revue archéologique de l'Ouest, Dijon, SAE, p. 259-302.

PÉTREQUIN P., PÉTREQUIN A.-M., CASSEN S., ERRERA M., GAUTHIER E., PRODÉO F., VAQUER J. (2015) – Les grandes haches polies en jades alpins, *in* : *Signes de richesse. Inégalités au Néolithique*, Catalogue de l'Exposition (27 juin-15 novembre 2015), Les Eyzies-de-Tayac, Musée national de Préhistoire, Edition de la réunion des Musées nationaux-Grand Palais, p. 43-54.

PIERRET A. (2001) – *Analyse technologique des céramiques archéologiques : développement méthodologiques pour l'identification des techniques de façonnage. Un exemple d'application : le matériel du village des Arènes à Levroux (Indre)*, Villeneuve-d'Ascq, Presses Universitaires du Septentrion, 250 p.

PHILLIPS P. (1970) – Détermination de faciès régionaux dans le Chasséen par moyen des mesures de lames et de fragments de lames, *in* : J. Guilaine dir., *Les civilisations néolithiques du Midi de la France*, Actes du colloque de Narbonne (15-17 février 1970), Carcassonne, Laboratoire de préhistoire et de paléontologie (Atacina 5), p. 48-51.

PHILLIPS P., ASPINALL A., FEATHER S. (1977) – Stages of « Neolithisation » in Southern France: Supply and Exchange of Raw Materials, *in*: J. Coles eds., *Proceedings of the Prehistoric Society*, 43, London, The Prehistoric Society, p. 303-316.

PICAVET R. (1991) – *L'abri sous roche de la Grande Rivoire, Sassenage, Isère*, Mémoire de diplôme, EHESS, Toulouse, 216 p.

POLLONI A. (2018) – Inventaires et étude du mobilier préhistorique des sites de La Teularia 185 et 186, *in* : J. Kotarba, A. Polloni dir., *Saint-Génis-des-Fontaines, Domaine de Teulère, La Teularia 185 et 186* :

des structures du Néolithique moyen et des vestiges d'habitat, Rapport final d'opération, Diagnostic archéologique, Nîmes, Inrap Méditerranée, p. 59-66.

PONS F., BRUXELLES L., LÉA V., VAQUER J., BEVILACQUA R., JARRY M., MARTIN L. (2015) – Le site de Pinot 2 à Blagnac (Haute-Garonne) et le début du Néolithique moyen dans le Sud-Ouest de la France, *Préhistoire du Sud-Ouest*, 23, p. 39-100.

PONSICH P., TREINEN-CLAUSTRE F. (1990) – Le gisement néolithique de la galerie clause de la grotte de Montou en Roussillon, *in* : J. Guilaine, X. Gutherz dir., *Autour de Jean Arnal*, Montpellier, Recherches sur les premières communautés paysannes en Méditerranée occidentale, p. 101-121.

POVEDA M. O. (2012) – Los adornos, producto de intercambio de ideas, materias y tecnología. Contactos y influencias entre las comunidades prehistóricas en el noreste peninsular entre el VI-IV milenios ANE, *in*: M. Borrell dir., *Neolithic Networks*, Actes del Congrés Internacional Xarxes al Neolític, *Rubricatum*, 5, p. 257-264.

PROVOST S., BINDER D., DUDAY H., DURRENMATH G., GOUDE G., GOURICHON L., DELHON C., GENTILE I., VUILLIEN M., ZEMOUR A. (2017) – Une sépulture collective à la transition des VIe et Ve millénaires BCE : Mougins – Les Bréguières (Alpes-Maritimes, France). Fouilles Maurice Sechter 1966-1967, *Gallia Préhistoire*, 57, p. 289-336.

PUECH L. (1886) – Mémoire sur les grottes de Sarxgel adressé par M. L. Puech à MM. les Membres de l'Académie des Sciences, *L'Echo de Saint-Affrique*, n^{os} du 25 septembre, 2 octobre et 10 octobre.

Q

QUERRÉ G., DOMÍNGUEZ-BELLA S., CASSEN S. (2012) – La variscite ibérique. Exploitation, diffusion au cours du Néolithique, *in* : G. Marchand et G. Querré dir., *Roches et sociétés de la Préhistoire, entre massifs cristallins et bassins sédimentaires*, Rennes, Presse universitaire de Rennes, p. 307-315.

QUERRÉ G. (2014) – L'origine de la perle en variscite de la structure 297, *in* : C. Billard, F. Bostyn, C. Hamon, K. Meunier dir., *L'habitat du Néolithique ancien de Colombelles « Le Lazzaro » (Calvados)*, Paris, Société préhistorique française, mémoire 58, p. 266-268.

R

REIMER P. J., BARD E., BAYLISS A., BECK J. W., BLACKWELL P. G., BRONK RAMSEY C., GROOTES P. M., GUILDERTON T. P., HAFLIDASON H., HAJDAS I., HATTZ C., HEATON T. J., HOFFMANN D. L., HOGG A. G., HUGHEN K. A., KAISER K. F., KROMER B., MANNING S. W., NIU M., REIMER R. W., RICHARDS D. A., SCOTT E. M., SOUTHON J. R., STAFF R. A., TURNEY C. S. M., van der PLICHT J. (2013) – IntCal13 and Marine13 Radiocarbon Age Calibration Curves 0-50, 000 Years cal. BP, *Radiocarbon*, 55, 4.

REGGIO A., D'ANNA A., van WILLIGEN S. (2020) – La culture matérielle des différentes occupations du Néolithique moyen du site des Bagnoles, *in* : S. van Willigen, M. Bailly, B. Röder, J. Schibler, A. Schmitt

dir., *Les Bagnoles à L'Isles-sur-la-Sorgues. Un site majeur du Néolithique moyen en Vaucluse*, Aix-en-Provence, Presse universitaire de Provence, p. 281-300.

REMOLINS ZAMORA G., GIBAJA BAO J. F. dir. (2018) – *Les valls d'Andorra durant el Neolític: un encreuament de camins al centre dels Pireneus*, Monografies del MAC 2, Barcelona, Museu d'Arqueologia de Catalunya, 349 p.

RENAUD A. (2018) – Etude archéozoologique, in : A. Gaillard dir., *PRAE Charles Cros, Las Trincados. Première section : données administratives, deuxième section : résultats*, Rapport final d'opération, Fouille préventive, Acter, Mosaïque Archéologie, Service régional de l'Archéologie d'Occitanie, volume 5, p. 88-172.

RENAULT-MISKOVSKY J. (Inédit) – Le monde végétal : études palynologiques, 15 p.

REY P.-J. (2008) – *La céramique néolithique de la couche 37 à 48 de la grotte du Gardon (Ambérieu-en-Bugey, Ain) dans son contexte stratigraphique et régional*, Mémoire de Master 2, Paris, Université de Panthéon-Sorbonne, 70 p.

REY P.-J. (2013) – Entre Saint-Uze, Chasséen et NMB dans le Bugey : évolutions techniques et culturelles de la céramique des couches 47 à 38, in : J.-L. Voruz dir., *La Grotte du Gardon (Ain). Du Néolithique moyen II au Bronze ancien (couches 46 à 33)*, volume II, Toulouse AEP, p. 85-164.

REY P.-J. (2016) – Éléments pour une approche de l'évolution des styles céramiques entre l'axe Saône-Rhône et les Alpes savoyardes, de 4500 à 3400 avant notre ère, in : T. Perrin, P. Chambon, J. F. Gibaja, G. Goude dir., *Le Chasséen, des Chasséens... Retour sur une culture nationale et ses parallèles, Sepulcres de fossa, Cortailod, Lagozza*, Actes du colloque international de Paris (18-20 novembre 2014), Toulouse, AEP, p. 501-539.

REY LASPANA J., RAMON FERNANDEZ N. (1992) – Un yacimiento del Neolítico antiguo al aire libre en el llano oscense. El Torrollón I (Usón), in : P. Utrilla Miranda dir., *Aragon/Litoral mediterraneo : intercambios culturales durante la Prehistoria*, (Zaragoza, 1988), p. 309-318.

RIALLAND Y. (2013) – *Le Néolithique en Auvergne : bilan provisoire*, Bilan d'activités 2012, Journée régionale de l'archéologie, Clermont-Ferrand, Service régional de l'archéologie, p. 54-86.

RICE P. M. (1987) – *Pottery analysis: a sourcebook*, University of Chicago press, 559 p.

RIQUET R. (1959) – Chassey où es-tu ?, *Bulletin de la Société préhistorique française*, 56, 5-6, p. 364-374.

RODANÉS VICENTE J. M. (2007) – Neolítico, *Caesaraugusta*, 78, p. 49-66.

RODDA N, BRIL B., GOUJON A.-L., SHIM K. (2015) – Ethnographier le « tour de main ». Une proposition méthodologique pour un défi toujours actuel, *ethnographiques.org* [en ligne], 31, 47 p. [www.ethnographiques.org/2015/Rodda-Bril-Goujon-Shim].

RODRIGUEZ G. (1970) – Sur le Cardial récent languedocien, *in* : J. Guilaine dir., *Les civilisations néolithiques du Midi de la France*, Actes du colloque de Narbonne (15-17 février 1970), Carcassonne, Laboratoire de préhistoire et de paléontologie (Atacina 5), p. 19-22.

RODRIGUEZ G. dir. (1984) – *La grotte de Camprafaud : contribution à l'étude du Néolithique en Languedoc central*, Edition du Groupe archéologique saint-ponais, Montpellier, Office régional de la culture du Languedoc-Roussillon, 417 p.

ROJO GUERRA M., ROYO GUILLÉN J. I., GARRIDO PENA R., GARCÍA MARTÍNEZ de LAGRÁN Í., TEJEDOR RODRÍGUEZ C., ARCUSA MAGALLÓN H., GARCÍA GAZÓLAZ J., SESMA SESMA J., BEGUIRISTAIN GÚRPIDE M. A. (2012) – Los caminos del Neolítico : un proyecto de investigación en el valle del Ebro, *in*: M. Borrell dir., *Neolithic Networks*, Actes del Congrés Internacional Xarxes al Neolític, *Rubricatum*, 5, p. 43-50.

ROJO GUERRA M., GARRIDO PENA R., GARCÍA MARTÍNEZ DE LAGRÁN Í. eds. (2012) – *El Neolítico en la península ibérica y su contexto europeo*, Madrid, Ediciones Cátedra, 290 p.

ROJO GUERRA M., GARCÍA MARTÍNEZ DELAGRÁN Í., GARRIDO PENA R., TEJEDOR RODRÍGUEZ C., SUBIRÀ DE GALDÁCANO E., GARCÍA GAZÓLAZ J., SESMA J., GIBAJA BAO J. F., URZU URMEMETA M., PALOMINO LÁZARO À. L., JIMÉNEZ JIMÉNEZ I., ARROYO PARDO E., ARCUSA MAGALLÓN H. (2016) – Enterramientos del Neolítico antiguo en el interior peninsular: nuevos datos para una actualización de la evidencia empírica, *in* H. BonetRosado (dir.), *Del neolític a l'edat del bronze en la Mediterrani occidental. Estudis en homenatge a Bernat Martí Oliver*, València, Servei d'Investigació Prehistòrica (Trabajos varios 119), p. 181-210.

ROJO GUERRA M., GARCÍA MARTÍNEZ de LAGRÁN Í., GONZÁLEZ SAMPÉRIZ P. (2018) – El Pireneo central y occidental en los inicios del Neolítico, *in* : G. Remolins Zamora i J. F. Gibaja Bao dir., *Les valls d'Andorra durant el Neolític : un encreuament de camins al centre dels Pireneus*, Monografies del MAC 2, Barcelona, Museu d'Arqueologia de Catalunya, p. 17-36.

ROS J. (2018a) – Rapport de l'analyse carpologique, *in* : A. Gaillard dir., *PRAE Charles Cros, Las Trincados. Première section : données administratives, deuxième section : résultats*, Rapport final d'opération, Fouille préventive, Acter, Mosaïque Archéologie, Service régional de l'Archéologie d'Occitanie, volume 5, p. 185-200.

ROS J. (2018b) – Rapport d'analyse carpologique, *in* : M. Kielb Zaaraoui, Y. Zaaraoui, L. Buffat, J.-L. Brochier, W. Galin dir., *Camps de l'armée romaine et occupations diachroniques sur le plateau de Lautagne (Valence, Drôme)*, Rapport final d'opération, Fouille archéologique, Volume 3, Mosaïques archéologie, ACTER, Service régional de l'archéologie Auvergne-Rhône-Alpes, p. 1025-1046.

ROSTAN P., THIRAULT É. (2016) – L'usage du quartz hyalin dans les Alpes durant la Préhistoire : une vue d'ensemble. Nouvelles données en Oisans (Isère et Hautes-Alpes), *in* : A. Tomasso, D. Binder, G. Martino, G. Porraz, P. Simon, N. Naudinot dir., *Ressources lithiques, productions et transferts entre Alpes et Méditerranée*, Actes de la Séance de la Société préhistorique française (Nice, 28-29 mars 2013), Paris, Société préhistorique française, 5, p. 97-136.

ROUDIL J.-L. (1973) – Le Néolithique d'Italie du Sud et ses affinités avec le Chasséen méridional, *Bulletin de la Société préhistorique française*, Comptes rendus des séances mensuelles, 70, 4, p. 108-111.

ROUDIL J.-L., SOULIER M. (1970) – Le Chasséen du Languedoc oriental, in : J. Guilaine dir., *Les civilisations néolithiques du Midi de la France*, Actes du colloque de Narbonne (15-17 février 1970), Carcassonne, Laboratoire de préhistoire et de paléontologie (Atacina 5), p. 36-37.

ROUSSEAU J., ALENET de RIBEMONT G., BERTRAN P., BRAGUIER S., DUPONT C., FOUÉRE P., FORRÉ P., COTUREAU M., JAUNEAU J.-M. (2010) – Les occupations néolithiques de la colline de Port-Punay à Châtellaillon-Plage (Charente-Maritime), in : A. Beeching, E. Thiéroult, J. Vital dir., *Economie et société à la fin de la Préhistoire. Actualités de la recherche*, Actes des 7^{ème} Rencontres Méridionales de Préhistoire Récente (3-4 novembre 2006, Bron), Document d'Archéologie en Auvergne et en Rhône-Alpes, 52, Lyon, Association de liaison pour le patrimoine et l'archéologie en Rhône-Alpes et en Auvergne, Maison de l'Orient et de la Méditerranée, p. 269-293.

ROUSSOT-LARROQUE J. (1976) – Les civilisations néolithiques en Aquitaine, in : J. Guilaine dir., *La Préhistoire française. Tome II : Les civilisations néolithiques et protohistoriques*, IX^e Congrès de l'UISPP (Nice, 13-18 septembre 1976), Paris, Editions CNRS, p. 338-350.

ROUSSOT-LARROQUE J. (1977) – Néolithisation et Néolithique ancien d'Aquitaine, *Bulletin de la Société préhistorique française*, 74, 2, p. 559-582.

ROUSSOT-LARROQUE J. (1986) – Le Groupe de Roquefort dans son contexte atlantique, in : *La néolithisation, les minières à silex, les rapports entre l'Est et l'Ouest de la France, l'homme néolithique et son environnement*, Actes du 10^{ème} Colloque interrégional sur le Néolithique (Caen, 30 septembre-2 octobre 1983), Revue archéologique de l'Ouest, supplément n°1, p. 167-187.

ROUSSOT-LARROQUE J. (1987) – Les deux visages du Néolithique ancien d'Aquitaine, in : J. Guilaine, J. Courtin, J.-L. Roudil, J.-L. Vernet dir., *Premières communautés paysannes en Méditerranée occidentale*, Actes du Colloque international du CNRS (Montpellier, 26-29 avril 1983), Paris, Editions CNRS, p. 681-691.

ROUSSOT-LARROQUE J. (1991) – L'identité du Groupe de Roquefort et le Chasséen dans le Sud-Ouest atlantique, in : A. Beeching, D. Binder, J.-C. Blanchet, C. Constantin, J. Dubouloz, R. Martinez, D. Mordant, J.-P. Thévenot, J. Vaquer dir., *Identité du Chasséen*, Actes du Colloque International de Nemours (17-19 mai 1989), Nemours, APRAIF (Mémoires du Musée de Préhistoire d'Île-de-France, 4), p. 93-108.

ROUSSOT-LARROQUE J. (1997) – Néolithique ancien et Néolithique moyen 1 en Aquitaine, in : C. Constantin, D. Mordant, D. Simonin dir., *La culture de Cerny. Nouvelle économie, nouvelle société au Néolithique*, Actes du Colloque International de Nemours (9-11 mai 1994), Nemours, APRAIF (Mémoires du Musée d'Île-de-France, 6), p. 645-659.

ROUSSOT-LARROQUE J. (2004) – La néolithisation du Sud-Ouest atlantique de la France, *Bulletin des Amis du Musée de Préhistoire du Grand-Pressigny*, 55, p. 25-36.

ROUSSOT-LARROQUE J. (2014) – *Claude Burnez (30 janvier 1927-2 mars 2011). Un demi-siècle de recherches sur le Néolithique du Centre-Ouest*, Paris, Société préhistorique française, 116 p.

ROUX V. (1990) – *Le tour de potier. Spécialisation artisanale et compétences techniques*, Paris, CNRS, Monographie du CRA, 4, 155 p.

ROUX V. (1992) – Ethnoarchéologie expérimentale : de nouvelles perspectives, *in* : F. Audouze dir., *Ethnoarchéologie : justification, problèmes, limites*, actes des XII^e Rencontres internationales d'archéologie et d'histoire d'Antibes (17-19 octobre 1991), Juan-les-Pins, APDCA, p. 45-55.

ROUX V. (1994) – La technique du tournage : définition et reconnaissance des macrotraces, *in* : J. Courtin, D. Binder dir., *Terre cuite et société. La céramique, document technique, économique et culturel*, Actes des XIV^e Rencontres Internationales d'Archéologie et d'Histoire d'Antibes (21-22-23 octobre 1993), Juan-lès-Pins, APDCA, p. 45-58.

ROUX V. (2010) – Lecture anthropologique des assemblages céramiques. Fondements et mise en œuvre de l'analyse technologique, *Les Nouvelles de l'archéologie*, 119, p. 4-9.

ROUX V. (2013) – Ethnoarchaeology in France: Trends and Perspectives, *in* : A. Marciniak and N. Yalman eds., *Contesting Ethnoarchaeologies. Traditions, Theories, Prospects*, New York, Springer, p. 17-34.

ROUX V. (2015) – Standardization of Ceramic Assemblages: Transmission Mechanisms and Diffusion of Morpho-Functional Traits across Social Boundaries, *Journal of Anthropological Archaeology*, 40, p. 1-9.

ROUX V. (2016) – *Des céramiques et des hommes. Décoder les assemblages archéologiques*, Paris, Presses universitaires de Paris Ouest, 416 p.

ROUX V. (2017) – Smoothing and clay coating: reference collections for interpreting Southern Levant Chalcolithic finishing techniques and surface treatments, *The Arkeotek Journal*, 2, www.thearkeotekjournal.org.

ROUX V., MANZO G. (2018) – Social Boundaries and Networks in the Diffusion of Innovations: a Short Introduction, *Journal of Archaeological Method and Theory*, 25, p. 967-973.

ROUX V., BRIL B., CAULIEZ J., GOUJON A.-L., LARA C., MANEN C., De SAULIEU G., ZANGATO E. (2017) – Persisting technological boundaries: social interactions, cognitive interactions and polarization, *Journal of Anthropological Archaeology*, 48, p. 320-335.

RYE O. W. (1981) – *Pottery technology: principles and reconstitution*, Washington, Taraxacum, Manuals on archaeology, 4, 150 p.

S

SABATIER F. (1998) – Le Lodévois : esquisse géomorphologique, *in* : D. Garcia et L. Schneider dir., *Carte archéologique de la Gaule. Le Lodévois*, 34/1, Paris, Académie des Inscriptions et Belles Lettres, p. 31-37.

SABATIER P. (1995) – *Chrono-stratigraphie de la grotte du Gardon (Ain). Exemple méthodologique d'une approche verticale en Préhistoire récente*, Mémoire de diplôme, Toulouse, École des Hautes Études en Sciences Sociales, 169 p.

SABLAYROLLES R. et POIRIER J. *collab.* (2006) – Le cadre naturel entre Val d’Aran et la cluse de Boussens, *in* : R. Sabalyrolles et A. Beyrie dir., *Carte archéologique de la Gaule. Le Comminges (Haute-Garonne)*, 31/2, Paris, Académie des Inscriptions et Belles Lettres, p. 44-48.

SACASAS i LLUÍS J. (2007) – *Geografia de Catalunya*, Espulgues de Llobregat, Publicacions de l’Abadia de Montserrat, 223 p.

SAINTOT S., THOMSON I. (2016) – La nécropole de La Roussille à Verthaizon (Puy-de-Dôme) : première présentation d’une occupation funéraire en contexte d’habitat au Néolithique moyen I en Auvergne, *in* : J. Cauliez, I. Sénépart, L. Jallot, P.-A. de Labriffe, C. Gilabert, X. Guthertz, *De la tombe au territoire et actualités de la recherche*, Actes des 11^{ème} Rencontres Méridionales de Préhistoire Récente (Montpellier, 25-27 septembre 2014), Toulouse, AEP, p. 407-421.

SAINTOT S., CABANIS M., POUENAT P., VALLAT P. (2018) – Evolution des formes d’habitation : territoires et contextes environnementaux du V^e au III^e millénaire av. J.-C en Auvergne, *in* : O. Lemerrier, I. Sénépart, M. Besse, C. Mordant dir., *Habitations et habitats du Néolithique à l’âge du Bronze en France et ses marges*, Actes des secondes Rencontres Nord/Sud de Préhistoire récente (Dijon, 19-21 novembre 2015), Toulouse, AEP, p. 171-186.

SAMBUCY-LUZENÇON (1869) – Mémoire de M. Sambucy-Luzençon, *in* : *Congrès Archéologique de France, XXXV^e session*, Séances générales tenues à Carcassonne, Narbonne, Perpignan et Béziers en 1868 par la Société française d’archéologie, Paris, p. 82-91.

SANTACREU D. A. (2014) – *Materiality, techniques and society in pottery production. The technological study in archaeological ceramics through paste analysis*, Berlin/Munich/Boston, De Gruyter Open, 324 p.

SARGIANO J.-P., van WILLIGEN S., d’ANNA A., RENAULT S., HUNGER K., WOERLE-SOARES M., GADAY R. (2010) – Les Bagnoles à L’Isle-sur-la-Sorgue (Vaucluse). Aspects nouveaux dans le Néolithique moyen du Midi de la France, *Gallia Préhistoire*, 52, p. 193-239.

SALANOVA L. (2000) – *La question du Campaniforme en France et dans les îles anglo-normandes. Productions, chronologie et rôles d’un standard céramique*, Paris, CTHS, Société préhistorique française, 392 p.

SALMON C. (2006) – Aspect de l’industrie lithique du Groupe des Treilles d’après les séries de Sargel 1, du gisement du chat (Gisement Jean-Pierre), et de la Vayssière, *in* : J. Gascó, F. Leyge, P. Gruat dir., *Hommes et passé des Causses. Hommage à Georges Costantini*, Actes du Colloque de Millau (16-18 juin 2005), Toulouse, AEP, p. 99-116.

SAÑA SEGÚÍ M. (1997) – La complexification des rapports entre les groupes humains et les ressources animales au Néolithique dans le Nord-Est de la Péninsule Ibérique, *Anthropozoologica*, 25, 26, p. 545-551.

SAÑA SEGUÍ M. (2011) – La gestió dels recursos animals, in : Bosch A., Chinchilla J., Tarrús J. coord., *El poblat lacustre del Neolític antic de La Draga. Excavacions 2000-2005*, Monografies científiques del CASC, 9, Barcelona, MAC, p. 177-212.

SAÑA M., ANTOLÍN F., BERGADÀ M., CASTELLS L., CRAIG O., EDO M., SPITERU C. (2015) – Prácticas agropecuarias durante el Neolítico antiguo y medio en la cueva de Can Sadurní (Begues, Barcelona), in : V. S. Gonçalves, M. Diniz, A. C. Sousa eds., *5.º Congresso do Neolítico Peninsular (Lisboa, 7-9 abril 2011)*, Lisboa, UNIARQ WAPS, p. 57-66.

SOUTOU A. (1966) – La grotte-sanctuaire de Sargel (St-Rome-de-Cernon, Aveyron), in : *Tradition celtique*, 18, 1-2, Rennes, OGAM, p. 1-15.

SCHIDELIN J., ARGANDA-CARRERAS I., FRISE E., KAYNIG V., LONGAIR M., PIETZSCH T., PREIBISCH S., RUEDEN C., SAALFELD S., SCHMID B., TINEVEZ J.-Y., WHITE D. J., HARTENSTEIN V., ELICERI K., TOMANCAK P., CARDONA A. (2012) – Fiji, an Open Source platform for biological image analysis, *Nature Methods*, 9, p. 676-682.

SCHMITT A., MICHEL J. (2016) – Le traitement des défunts dans le Midi de la France entre 4400 et 3500 avant notre ère, in : T. Perrin, P. Chambon, J. F. Gibaja, G. Goude dir., *Le Chasséen, des Chasséens... Retour sur une culture nationale et ses parallèles, Sepulcres de fossa, Cortailod, Lagozza*, Actes du colloque international de Paris (18-20 novembre 2014), Toulouse, AEP, p. 381-396.

SESTIER C. (2005) – Utilisation du dégraissant végétal en contexte néolithique : hypothèse technologiques et expérimentation, in : A. Livingstone-Smith, D. Bosquet, R. Martineau eds., *Pottery Manufacturing Processes: Reconstitution and Interprétation*, Acts of the XIVth UISPP Congress (Liège, 2-8 September 2001), *British Archaeological Report*, International Séries, 1349, Oxford, Archeopress, p. 81-94.

SIREIX M., ROUSSOT-LARROQUE J. (1968) – Le camp de Roquefort à Lugasson (Roquefort), *Bulletin de la Société préhistorique française*, Etudes et travaux, 65, 2, p. 524-544.

SHEPARD A. O. (1954) – *Ceramics for the archaeologist*, Washington, Carnegie Institution of Washington, 414 p.

SORDOILLET D. (2009) – *Géoarchéologie de sites préhistoriques : Le Gardon (Ain), Montou (Pyrénées-Orientales) et Saint-Alban (Isère)*, *Document d'archéologie française*, 103, 170 p.

STARK M. T. (1995) – Economic Intensification and Ceramic Specialization in the Philippines: a View from Kalinga, *Research in Economic Anthropology*, 16, p. 179-226.

STARK M. T. (1999) – Social Dimension of Technical Choice in Kalinga Ceramic Traditions, in : E. S. Chilton eds., *Material Meanings. Critical Approaches to the Interpretation of Material Culture*, Salt Lake City, The University of Utah Press, p. 24-43.

STARK M. T. (2003) – Current Issues in Ceramic Ethnoarchaeology, *Journal of Archaeological Research*, 11, 3, p. 193-242.

STARK M. T., BOWSER B. J., HORNE L. (2008) – Why Breaking Down Boundaries Matters for Archaeological Research on Learning and Cultural Transmission: An Introduction, *in* : M. T. Stark, B. J. Bowser et L. Horne eds., *Cultural Transmission and Material Culture: Breaking Down Boundaries*, Tucson, University of Arizona Press, p. 2-16.

STARNINI E., BIAGI P. (2018) – I reperti ceramici dell'Arma dell'Aquila (Finale Ligure, Savona), *in* : P. Biagi e E. Starnini dir., *Gli scavi all'Arma dell'Aquila (Finale Ligure, Savona): le ricerche e i materiali degli scavi del novecento*, Trieste, Società per la Preistoria e Protoistoria della regione Friuli-Venezia Giulia, Quaderno 15, p. 49-94.

STOCZKOWSKI W. (1992) – Préhistoire, ethnologie et approche prédictive : la tentation d'une épistémologie spontanée, *in* : F. Audouze dir., *Ethnoarchéologie : justification, problèmes, limites*, actes des XII^e Rencontres internationales d'archéologie et d'histoire d'Antibes (17-19 octobre 1991), Juan-les-Pins, APDCA, p. 33-44.

T

TARANTINI M. (2012) – A View From the Mines. Flint Exploitation in the Gargano (South-Eastern Italy) and Socio-Economic Aspects of Raw Materials Procurement at the Dawn of Metal Production, *in* : C. C. Barbaro and C. Lemorini eds., *Social, Economic and Symblic Perspectives at the Dawn of Metal Production*, Oxford, Archeopress (British Archaeological Report, International Series, 2372), p. 53-63.

TARANTINI M., ERAMO G., MONNO A., MUNTONI I. M. (2016) – The Gargano Promontory Flint. Mining Practices and Archaeometric Characterisation, *in* : A. Tomasso, D. Binder, G. Martino, G. Porraz, P. Simon, N. Naudinot dir., *Ressources lithiques, productions et transferts entre Alpes et Méditerranée*, Actes de la Séance de la Société préhistorique française (Nice, 28-29 mars 2013), Paris, Société préhistorique française, 5, p. 257-275.

TARRÚS i GALTER J. (2008) – La Draga (Banyoles, Catalunya), un poblat lacustre del neolític antic al l'Europa mediterrània, *Catalan Historical Review*, 1, p. 171-182.

TARRÚS i GALTER J. dir. (2017) – *El poblat neolític de Ca n'Isach (Palau-Saverdera, Alt Empordà. Les excavacions de 1987-1994 i 2001-2003*, Girona, Museu d'Arqueologia de Catalunya, 202 p.

TCHÉRÉMISSINOFF Y. (2016) – Diversité et tendances des expressions funéraires chasséennes en Languedoc, *in* : T. Perrin, P. Chambon, J. F. Gibaja, G. Goude dir., *Le Chasséen, des Chasséens... Retour sur une culture nationale et ses parallèles, Sepulcres de fossa, Cortailod, Lagozza*, Actes du colloque international de Paris (18-20 novembre 2014), Toulouse, AEP, p. 367-380.

TCHÉRÉMISSINOFF Y., DONAT R., GOUMY S., HASLER A., GRIMAUD J., ESCALLON G., GEORJON C. (2016) – Témoignage d'une crise de mortalité au Chasséen ancien : la sépulture en puits de Manduel (Gard), *Préhistoires méditerranéennes* [En ligne], 5, 34 p.

TERRADAS X. (2016) – Les échanges comme facteur d'unité du Chasséen, *in* : T. Perrin, P. Chambon, J. F. Gibaja, G. Goude dir., *Le Chasséen, des Chasséens... Retour sur une culture nationale et ses parallèles, Sepulcres de fossa, Cortailod, Lagozza*, Actes du colloque international de Paris (18-20 novembre 2014), Toulouse, AEP, p. 141-142.

TERRADAS X., GIBAJA J. F., BORRELL F., BOSCH J., PALOMO A. (2016) – Des réseaux d'échanges entre les vallées du Rhône et de l'Ebre : un point de vue du nord-est de la péninsule ibérique, *in* : T. Perrin, P. Chambon, J. F. Gibaja, G. Goude dir., *Le Chasséen, des Chasséens... Retour sur une culture nationale et ses parallèles, Sepulcres de fossa, Cortailod, Lagozza*, Actes du colloque international de Paris (18-20 novembre 2014), Toulouse, AEP, p. 191-202.

TERRON J. (2018) – Etude anthropologique des sépultures, *in* : A. Gaillard dir., *PRAE Charles Cros, Las Trincados. Première section : données administratives, deuxième section : résultats*, Rapport final d'opération, Fouille préventive, Acter, Mosaïque Archéologie, Service régional de l'Archéologie d'Occitanie, volume 3, p. 145-172.

TESTART A. (2006) – Comment concevoir une collaboration entre anthropologie sociale et archéologie ? A quel prix ? Et pourquoi ?, *Bulletin de la Société préhistorique française*, 103, 2, p. 385-395.

TINÉ S. dir. (1977) – *Le ceramiche graffite nel neolitico del Mediterraneo centro-occidentale*, Actes du colloque de Gênes (20-24 juin 1977), Trento, Museo Tridentini de Scienze Naturali (*da Preistoria Alpina*, 13), 82 p.

TINÉ S. dir. (1999) – *Il Neolitico nella caverna delle Arene Candide (scavi 1972-1977)*, Genova, Bordighera, collezione di monografie preistoriche ed archeologiche, 10, 621 p.

THIÉBAULT S. (1997) – Early-Holocene vegetation and the human impact in central Provence (Var, France): charcoal analysis of the Baume de Fontbrégoua, *The Holocene*, 7, 3, p. 343-349.

THIÉRIOT F., SAINTOT S. (1999) – La fosse néolithique du site des Estournelles à Simandres (Rhône), *in* : A. Beeching dir., *Circulations et identités culturelles alpines à la fin de la Préhistoire : matériaux pour une étude*, Programme collectif CIRCALP 1997-1998, Travaux du Centre d'Archéologie Préhistorique de Valence, 2, Valence, Agence Rhône-Alpes pour les sciences humaines, p. 403-425.

THÉRY I., GRIL J., VERNET J.-L., MEIGNEN L., MAURY J. (1996) – Coal used for Fuel at Two Prehistoric Sites: Les Canalettes (Mousterian) and Les Usclades (Mesolithic), *Journal of Archaeological Science*, 23, p. 509-512.

THIRAULT E., BEECHING A. (2009) – Un habitat en grotte au Néolithique ancien : les cabanes de Baume de Ronze (Ornac, Ardèche), *in* : A. Beeching et I. Sénépart dir., *De la maison au village. L'habitat néolithique dans le Sud de la France et le Nord-Ouest méditerranéen*, Actes de la Table-ronde de Marseille (23-24 mai 2003), Mémoire 48, p. 49-59.

TORCHY L., GASSIN B. (2011) – Le silex bédoulien sur les sites chasséens du Languedoc : étude fonctionnelle, statut des sites et réseaux de diffusion, *Gallia Préhistoire*, 53, p. 59-84.

TREINEN-CLAUSTRE F. (1986) – Le groupe de Montbolo dans son contexte pyrénéen, *in* : J.-P. Demoule et J. Guilaine dir., *Le Néolithique de la France. Hommage à Gérard Bailloud*, Paris, Picard, p. 217-232.

TREINEN-CLAUSTRE F. (1991) – Rapports entre le groupe de Montbolo et le Chasséen, *in* : A. Beeching, D. Binder, J.-C. Blanchet, C. Constantin, J. Dubouloz, R. Martinez, D. Mordant, J.-P. Thévenot, J. Vaquer dir., *Identité du Chasséen*, Actes du Colloque International de Nemours (17-19 mai 1989), Nemours, APRAIF (Mémoires du Musée de Préhistoire d'Île-de-France, 4), p. 39-44.

TREINEN-CLAUSTRE F. dir. (1983) – *Grotte de Montou, Corbère-les-Cabanes (Pyrénées-Orientales)*, Campagne de fouille de 1983, Toulouse, Centre d'Anthropologie des Sociétés Rurales et Céret, Groupe de Préhistoire du Vallespir et des Aspres, 42 p.

TREINEN-CLAUSTRE F. dir. (1989) – *Grotte de Montou, Corbère-les-Cabanes (Pyrénées-Orientales)*, Rapport de la fouille programmée pluriannuelle 1987-1989, Toulouse, Centre d'Anthropologie des Sociétés Rurales, 33 p.

TREINEN-CLAUSTRE F. dir. (1992) – *Grotte de Montou, Corbère-les-Cabanes (Pyrénées-Orientales)*, Rapport de la fouille programmée pluriannuelle 1990-1992, Toulouse, Centre d'Anthropologie des Sociétés Rurales, 29 p.

TREINEN-CLAUSTRE F. dir. (1995) – *Grotte de Montou, Corbère-les-Cabanes (Pyrénées-Orientales)*, Rapport de la fouille programmée pluriannuelle 1993-1995, Toulouse, Centre d'Anthropologie des Sociétés Rurales, 30 p.

U

UGOLINI D., OLIVE C. (2012) – Le contexte géologique et géomorphologique du Biterrois, *in* : D. Ugolini et C. Olive dir., *Carte Archéologique de la Gaule. Béziers, 34/4*, Paris, Académie des Inscriptions et Belles Lettres, p. 76-80.

V

VALDEYRON N., MANEN C., BOSCH-ZANARDO B. (2013) – Mésolithique récent/final et néolithisation du sud-ouest de la France : vers de nouvelles perspectives ?, *in* : J. Jaubert, N. Fourment, P. Depaepe dir., *Transitions, ruptures et continuité en Préhistoire*, Actes du XXVII^e Congrès préhistorique de France (Bordeaux-Les-Eyzies-de-Tayac, 31 mai-5 juin 2010), volume 1, Session H, *Autour du Néolithique ancien. Les outils du changement : critique des méthodes*, dir. T. Perrin, C. Manen, G. Marchand, P. Allard, D. Binder, M. Illet, Paris, Société préhistorique française, p. 373-390.

VALDEYRON N., HENRY A., MARQUEBIELLE B., BOSCH-ZANARDO B., GASSIN B., MICHEL S., PHILLIBERT S. (2014) – Le Cuzoul de Gramat (Lot, France): A key sequence for the early Holocene in southwest France, *in* : F. W. F. Fould, H. C. Drinkall, A. R. Perri, D. T. G. Clinnick, J. W. P. Walker eds., *Wild things. Recent Advances in Mesolithic and Paleolithic Research*, Oxford, Philadephia, Oxbow Book, p. 94-105.

VALENTIN F., DONAT R., CLAUSTRE F. (2003) – La gestion de l'espace sépulcral Néolithique moyen de la grotte de Montou (Pyrénées-Orientales), *in* : P. Chambon et J. Leclerc dir., *Les pratiques funéraires néolithiques avant 3500 av. J.-C. en France et dans les régions limitrophes*, Actes de de la Table-ronde

de la Société préhistorique française (Saint-Germain-en-Laye, 15-17 juin 2001), Paris, Société préhistorique française, mémoire 33, p. 301-314.

Van BERG P.-L. (1994) – *Grammaire des styles céramiques du Rubané d'Alsace*, Zimmersheim, APRAA, Monographie d'archéologie alsacienne, 2, 171 p.

Van BERG P.-L., CAUWE N. (1998) – De l'objet aux façons de penser : nouvelle approche paléo-ethnographique des civilisations préhistoriques, *Anthropologie et Préhistoire*, 109, p. 293-307.

Van DOOSSELAERE B. (2005) – Perception stylistique et technologie céramique : reconstitution et interprétation des techniques de façonnage des poteries archéologiques de Koumbi Saleh (Mauritanie, IX^e-XV^e siècle), in : A. Livingstone-Smith, D. Bosquet, R. Martineau eds., *Pottery Manufacturing Processes: Reconstitution and Interprétation*, acts of the XIVth UISPP Congress (Liège, 2-8 September 2001), *British Archaeological Report*, International Series, 1349, Oxford, Archeopress, p. 179-200.

Van DOOSSELAERE B. (2011) – *Poterie et histoire au temps des grands empires ouest africain. Etude technologique de l'assemblage céramique de Koumbi Saleh (Mauritanie, 6^e-17^e siècles)*, thèse de doctorat, université Panthéon-Sorbonne, Paris, 467 p.

Van DOOSSELAERE B., DELHON C., HAYES E. (2014) – « Qu'importe le flacon pourvu qu'il y ait l'ivraie » : les constituants d'origine organiques de la céramique de Koumbi Saleh (Mauritanie, VI^e-XVII^e siècles AD), témoins de l'exploitation de sous-produits agricoles, *ArcheoSciences, revue d'archéométrie*, 38, p. 49-72.

Van der LEEUW S. (1993) – Giving the potter a choice: conceptual aspects of pottery techniques, in : P. Lemonnier eds., *Technological Choices. Transformations in Material Culture since the Neolithic*, London, Routledge, p. 238-288.

Van WILLIGEN S., d'ANNA A., RENAULT S., SARGIANO J.-P. (2011) – Le Sud-Est de la France entre 4400 et 3400 avant notre ère. Sériation céramique et outillage lithique, *Préhistoires méditerranéennes, Varia*, 2, p. 123, 175.

Van WILLIGEN S., ANTOLÍN F., D'ANNA A., DELEFOSSE C., ERRERA M., FOLMANN F., JACOMET S., JESUS A., KÜHN M., PÉTREQUIN P., RÖDER B., SCHÄFER M., SCHIBLER J., REGGIO A., SCHMITT A., SCHOCH W. H., VIEL L. (2020) – Conclusions, in : S. van Willigen, M. Bailly, B. Röder, J. Schibler, A. Schmitt dir., *Les Bagnoles à L'Isles-sur-la-Sorgues. Un site majeur du Néolithique moyen en Vaucluse*, Aix-en-Provence, Presse universitaire de Provence, p. 350-351.

VAQUER J. (1975) – *La céramique chasséenne du Languedoc*, Carcassonne, Laboratoire de Préhistoire et de Palé ethnologie, Atacina, 8, 368 p.

VAQUER J. (1977) – Le décor rayé-quadrillé dans la Midi de la France, in : Tiné dir., *Le ceramiche graffite nel neolitico del Mediterraneo centro-occidentale*, Actes du colloque de Gênes (20-24 juin 1977), Trento, Museo Tridentini de Scienze Naturali (*da Preistoria Alpina*, 13), p. 71-76.

VAQUER J. (1986) – Le Chasséen méridional. Etat de la question, *in* : J.-P. Demoule et J. Guilaine dir., *Le Néolithique de la France. Hommage à Gérard Bailloud*, Paris, Picard, p. 233-249.

VAQUER J. (1987) – Le Néolithique ancien dans le bassin supérieur de la Garonne, *in* : J. Guilaine, J. Courtin, J.-L. Roudil, J.-L. Vernet dir., *Premières communautés paysannes en Méditerranée occidentale*, Actes du Colloque international du CNRS (Montpellier, 26-29 avril 1983), Paris, Editions CNRS, p. 555-562.

VAQUER J. (1990a) – L'évolution du Chasséen méridional : essai dans le bassin de l'Aude, *in* : J. Guilaine, X. Guthertz dir., *Autour de Jean Arnal*, Montpellier, Recherches sur les premières communautés paysannes en Méditerranée occidentale, p. 177-189.

VAQUER J. (1990b) – *Le Néolithique en Languedoc occidental*, Paris, CNRS, 397 p.

VAQUER J. (1991) – Aspects du Chasséen en Languedoc occidental. Habitat et culture matérielle, *in* : A. Beeching, D. Binder, J.-C. Blanchet, C. Constantin, J. Dubouloz, R. Martinez, D. Mordant, J.-P. Thevenot, J. Vaquer dir., *Identité du Chasséen*, Actes du Colloque International de Nemours (17-19 mai 1989), Nemours, APRAIF (Mémoires du Musée de Préhistoire d'Île-de-France, 4), p. 27-37.

VAQUER J. (1998) – Le Midi méditerranéen de la France, *in* : J. Guilaine dir., *Atlas néolithique européen*, volume 2, ERAUL, Liège, Université, Service de préhistoire, p. 413-500.

VAQUER J. (1999) – Les origines préhistoriques de Carcassonne, *Bulletin de la Société d'Etudes Scientifiques de l'Aude*, XCIX, p. 17-36.

VAQUER J. (2006) – La diffusion de l'obsidienne dans le Néolithique de Corse du Midi de la France et de Catalogne, *in* : *Materie prime e scambi nella preistoria italiana : nel cinquantesimo anniversario della fondazione dell'Istituto italiano di preistoria e protoistoria*, Atti della XXXIXe riunione scientifica (Firenze, 25-27 novembre 2004), Firenze, Istituto italiano di preistoria e protoistoria, p. 483-498.

VAQUER J. (2007a) – Le rôle de la zone nord-tyrrhénienne dans la diffusion de l'obsidienne en Méditerranée nord-occidentale au Néolithique, *in* : A. d'Anna, J. Cesari, L. Ogel, J. Vaquer dir., *Corse et Sardaigne préhistoriques. Relations et échanges dans le contexte méditerranéen*, Actes du 128^{ème} congrès national des sociétés historiques et scientifiques (Bastia, avril 2003), Paris, CTHS, p. 99-119.

VAQUER J. (2007b) – Les tombes à dalles du Néolithique moyen dans la zone nord pyrénéenne, *in* : P. Moinat et P. Chambon dir., *Les cistes de Chamblandes et la place des coffres dans les pratiques funéraires du Néolithique moyen occidental*, Actes du Colloque de Lausanne (12-13 mai 2006), Lausanne, Cahiers d'archéologie romande, 110, Paris, Société préhistorique française, mémoire 43, p. 13-25.

VAQUER J. (2012) – Réflexions sur les échanges de biens matériels lithiques entre le Midi de la France et le nord de la Péninsule Ibérique au Néolithique et au Chalcolithique, *in*: M. Borrell dir., *Neolithic Networks*, Actes del Congrès Internacional Xarxes al Neolític, *Rubricatum*, 5, p. 565-574.

VAQUER J. (2014) – Les pratiques funéraires au Néolithique moyen dans le Midi de la France, *Revista di Scienze Preistoriche*, LXIV, p. 5-24.

VAQUER J. (2019) – Les éléments de parure en callaïs dans le Midi de la France au Néolithique et au Chalcolithique, *in* : G. Querré, S. Cassen, E. Vigier dir., *La parure en callaïs du Néolithique européen*, Oxford, Archeopress, p. 333-349.

VAQUER J., FRANÇOIS P. (2000) – Essai de périodisation des productions céramiques du Chasséen garonnais, *in* : M. Leduc, N. Valdeyron, J. Vaquer dir., *Sociétés et espaces*, Actes des 3^{ème} Rencontres Méridionales de Préhistoire Récente (Toulouse, 6-7 novembre 1998), Toulouse, AEP, p. 319-327.

VAQUER J., GANDELIN M. (2014) – La problématique des « villages ouverts », *Archéopages*, 40, p. 16-17.

VAQUER J., PÉTREQUIN P. (2015) – La néphrite pyrénéenne, *in* : *Signes de richesse. Inégalités au Néolithique*, Catalogue de l'Exposition (27 juin-15 novembre 2015), Les Eyzies-de-Tayac, Musée national de Préhistoire, Edition de la réunion des Musées nationaux-Grand Palais, p. 55-59.

VAQUER J., RENAULT S. (2015) – Fabrication et diffusion de lames en silex provençaux au Néolithique, *in* : *Signes de richesse. Inégalités au Néolithique*, Catalogue de l'Exposition (27 juin-15 novembre 2015), Les Eyzies-de-Tayac, Musée national de Préhistoire, Edition de la réunion des Musées nationaux-Grand Palais, p. 84-91.

VAQUER J., JÉDIKIAN G., CARRÈRE I., MARINVAL P. (2003) – La Salle, Carcassonne (Aude). Un habitat de plein air du groupe de Bize, *Bulletin de la Société préhistorique française*, 100, 2, p. 323-351.

VAQUER J., MARTÍN A., PÉTREQUIN P., PÉTREQUIN A.-M., ERRERA M. (2012) – Les haches alpines dans les sépultures du Néolithique moyen pyrénéen : importations et influences, *in* : P. Pétrequin, S. Cassen, M. Errera, L. Klassen, A. Sheridan, A.-M. Pétrequin dir., *Jade. Grandes haches alpines du Néolithique européen. V^e et IV^e millénaires av. J.-C.*, Besançon, Presse universitaire de Franche-Comté, Cahiers de la MSHE Ledoux, 17, Dynamiques territoriales, 6, p. 872-917.

VAQUER J., SERVELLE C., BRIOIS F. (2012) – Les haches de pierre polie du Néolithique dans le Languedoc, la zone nord-orientale des Pyrénées et la marge sud-ouest du Massif central, *in* : P.-A. de Labriffe et E. Thirault dir., *Produire des haches au Néolithique. De la matière première à l'abandon*, Actes de la Table-ronde de Saint-Germain-en-Laye (16-17 mars 2007), Paris, Société préhistorique française, Séance de la Société préhistorique française, 1, p. 191-218.

VAQUER J., PÉTREQUIN P., ERRERA M. (2017) – Haches en Néphrite des Pyrénées : le cas de Bédeilhac (Ariège), *in* : P. Pétrequin, E. Gauthier, A.-M. Pétrequin dir., *Jade. Objets-signes et interprétations sociales des jades alpins dans l'Europe néolithique*, Besançon, Presse universitaire de Franche-Comté, Cahiers de la MSHE Ledoux, 27, Dynamiques territoriales, 10, p. 113-137.

VAQUER J., PRÉTREQUIN P., ERRERA M. (2018) – Analyse technologique des pièces d'outillage en pierre polie et des éléments de parure, *in* : A. Gaillard dir., *PRAE Charles Cros, Las Trincados. Première section : données administratives, deuxième section : résultats*, Rapport final d'opération, Fouille préventive, Acter, Mosaïque Archéologie, Service régional de l'Archéologie d'Occitanie, volume 4, p. 99-107.

VERDIN F., ARD V., CARRÈRE I., EYNAUD F., HOFFMANN A., MANEN C., MARCHAND G., SAINT-SEVER G. (2018) – Nouvelles recherches sur le site de la Lède du Gulp (Grayan-et-L'Hôpital, Gironde). Résultats préliminaires, *in* : P. Marticorena, V. Ard, A. Hasler, J. Cauliez, C. Gilibert, I. Sénépart dir., « *Entre deux mers* » et actualités de la recherche, Actes des 12^{ème} Rencontres Méridionales de Préhistoire Récente (Bayonne, 27 septembre-1^{er} octobre 2016), Toulouse, AEP, p. 209-220.

VERNET G. (2004) – Le Néolithique ancien (Epicardial) et le Néolithique moyen/ancien sur le site du Brézet à Clermont-Ferrand (Massif central, France), *in* : H. Dartevelle dir., *Auvergne et Midi. Actualité de la recherche*, Actes des 5^{ème} Rencontres Méridionales de Préhistoire Récente (Clermont-Ferrand, 8-9 novembre 2002), *Préhistoire du Sud-Ouest*, supplément 9, p. 85-90.

VERNET G., RAYNAL J.-P. (2000) – Hommes et volcans en Basse-Auvergne préhistorique, *Revue d'Auvergne*, 114, p. 76-87.

VERNET J.-L. (1997) – *L'Homme et la forêt méditerranéenne de la Préhistoire à nos jours*, Paris, Errance, collection des Hespérides, 248 p.

VERNET J.-L. (2005) – Du site archéologique aux paysages, une contribution de l'anthracologie, *in* : J. Guilaine dir., *Populations néolithiques et environnements*, Séminaire du Collège de France, Paris, Errance, Collection des Hespérides, p. 261-276.

VIDAL A., BOUDOU J., AUDIBERT J. (1955) – Etude préliminaire sur la Grotte de la Calade à Nant (Aveyron), *Bulletin de la Société préhistorique française*, 52, 5-6, p. 310-315.

VIEUGUÉ J., MIRABAUD S., REGERT M. (2008) – Contribution méthodologique à l'analyse fonctionnelle des céramiques d'un habitat néolithique : l'exemple de Kovačevo (6200-5500 av. J.-C., Bulgarie) », *ArcheoSciences, revue d'archéométrie*, 32, p. 99-113.

VIGNAUD A. (1995) – L'occupation néolithique dans la cuvette de Caramany, moyenne vallée de l'Agly (P.O.) : Première approche, *in* : J. Padró dir., *Cultures i medi de la prehistòria a l'edat mitjana : 20 anys de arqueologia pirinenca, Homenatge al Professor Jean Guilaine*, Actes du Xe Colloque International de Puigcerdà (Puigcerdà i Osseja, 1994), Institut d'estudis ceretans, p. 291-297.

VIGNE J.-D. (2007) – Exploitation des animaux et néolithisation en Méditerranée nord-occidentale, *in* : J. Guilaine, C. Manen, J.-D. Vigne dir., *Pont de Roque-Haute. Nouveaux regards sur la néolithisation de la France méditerranéenne*, Toulouse, AEP, p. 221-301.

VIGNE J.-D., HELMER D. (1999) – Nouvelles analyses sur les débuts de l'élevage dans le Centre et l'Ouest méditerranéens, *in* : J. Vaquer dir., *Le Néolithique du Nord-Ouest méditerranéen*, Actes du XXIV^e Congrès Préhistorique de France (Carcassonne, 26-30 septembre 1994), Paris, Société préhistorique française, p. 129-146.

VIGNE J.-D., HELMER D. (2007) – Was milk a « secondary product » in the Old World Neolithisation process ? Its role in the domestication of cattle, sheep and goats, *Anthropozoologica*, 42, 2, p. 9-40.

VIGNE J.-D., BRÉHARD S. (2017) – Matériel faunique des fouilles anciennes, *in* : C. Manen dir., *Combe-Grèze, La Cresse, Aveyron, Rapport de sondages*, Montpellier/Toulouse, Service régional de l'archéologie préventive, p. 66-68.

VILLA P., HELMER D., COURTIN J., BELLUOMINI G., BEYRIES S., BRANCA M. (1985) – Restes osseux et structures d'habitat en grotte : l'apport des remontages dans la Baume de Fontbrégoua, *Bulletin de la Société préhistorique française*, Etudes et Travaux, 82, 10-12, p. 389-421.

VILLALBA J. M. (2002) – Le gîte de variscite de Can Tintorer : production, transformation et circulation du minéral vert, *in* : J. Guilaine dir., *Matériaux, productions, circulations du Néolithique à l'âge du Bronze*, Séminaire du Collège de France, Paris, Errance, p. 115-127.

VILLES A. (2007) – La céramique du Néolithique moyen I de Ligueil-« Les Sables de Mareuil » (Indre-et-Loire) et la culture de Chambon, *in* : *Camps, enceintes et structures d'habitat néolithiques en France septentrionale*, Actes du 24^{ème} Colloque interrégional sur le Néolithique (Orléans, 19-21 novembre 1999), Tours, FERAC (Supplément à la Revue archéologique du Centre de la France, 27), p. 145-178.

VISSEYRIAS A. (2006) – *Les formes de la tradition : techniques et savoir-faire céramiques à la fin de l'âge du Bronze, entre Rhin et Rhône*, Thèse de doctorat, Université de Franche-Comté, Dijon, 454 p.

VITAL J. (1984) – Les problèmes d'identification et de dénomination des cultures en archéologie au travers d'un exemple : le Chasséen ancien, *in* : *Influences méridionales dans l'Est et le Centre-Est de la France au Néolithique : le rôle du Massif central*, Actes du 8^{ème} Colloque interrégional sur le Néolithique (Le Puy-en-Velay, 3-4 octobre 1981), Clermont-Ferrand, Centre de Recherches et d'Etudes Préhistorique de l'Auvergne, cahier n°1, p. 197-199.

VORUZ J.-L. dir. (1995) – *Chronologies néolithiques. De 6000 à 2000 avant notre ère dans le bassin rhodanien*, Actes du Colloque d'Ambérieu-en-Bugey (19-20 septembre 1992), XI^e Rencontres sur le Néolithique de la région Rhône-Alpes, Ambérieu-en-Bugey, Société préhistorique rhodanienne (Documents du département d'anthropologie et d'écologie de l'université de Genève, 20), 420 p.

VORUZ J.-L. (1995) – Introduction, *in* : J.-L. Voruz dir., *Chronologies néolithiques. De 6000 à 2000 avant notre ère dans le bassin rhodanien*, Actes du Colloque d'Ambérieu-en-Bugey (19-20 septembre 1992), XI^e Rencontres sur le Néolithique de la région Rhône-Alpes, Ambérieu-en-Bugey, Société préhistorique rhodanienne (Documents du département d'anthropologie et d'écologie de l'université de Genève, 20), p. 11-15.

VORUZ J.-L., PERRIN T., SORDOILLET D. (2004) – La séquence néolithique de la grotte du Gardon (Ain), *Bulletin de la Société préhistorique française*, 101, 4, p. 827-866.

W

WELLER O., FÍGULS i ALONSO A. (2008) – Première extraction de sel minier : place et rôle du sel de Cardona dans les échanges communautaire du Néolithique moyen catalan, *in* : M. S. Hernández Pérez, J. A. Soler Díaz, J. A. López Padilla eds., *IV Congreso del Neolítico Peninsular (Alicante, 27-30 noviembre 2006)*, Tomo I, Museo Arqueológico de Alicante, p. 353-360.

Z

ZAMMIT J., CLAUSTRE F., BLAIZE Y. (1993) – Le monde des morts et des vivants. La sépulture collective Montbolo de la Salle VII, *in* : F. Claustre, J. Zammit, Y. Blaize dir., *La Cauna de Belesta : une tombe collective il y a 6000 ans*, Toulouse, Centre d'Anthropologie des Sociétés Rurales, p. 45-100.

ZEMOUR A., BINDER D., COPPA A., DUDAY H. (2017) – La sépulture au début du Néolithique (VI^e millénaire et première moitié du V^e millénaire cal BC) en France méridionale et en Italie : de l'idée d'une « simple » fosse à une typologie architecturale, *Bulletins et Mémoires de la Société d'Anthropologie de Paris*, 29, 1-2, p. 94-111.

ZILHÃO J. (2014) – Early prehistoric navigation in the Western Mediterranean: implications for the Neolithic transition in Iberia and the Maghreb, *Eurasian Prehistory*, 11, p. 185-200.